



Sirius

At 312

37019

PHILLIPS LIBRARY

OF

HARVARD COLLEGE OBSERVATORY.

A-1

6





SIRIUS

†

(1908)

SIRIUS.



Zeitschrift für populäre Astronomie.

Beiträge für Freunde und Schüler der Himmelskunde.

Herausgegeben unter Mitwirkung

hervorragender Fachmänner und astronomischer Schriftsteller

von

Professor Dr. Hermann J. Klein

in Köln (Lehrstuhl).

—*—*—*—

XXXVIII. Band oder Neue Folge XXXIII. Band.

1914.



Edward Heinrich Meyer

Verlagsbuchhandlung

LEIPZIG, Hauptplatz 18

100

Inhaltsverzeichnis.

1. Erde

Präziseste Voraussetzungen des Schwerkraftfelds der Erde. 188
Die Grundlagen der Bestimmung der Erdgestalt. 206.

2. Planeten.

Der Doppelstern Castor. 98.
Die Verlierung der Sternschnur. 43.
Der Fall des Doppelsterns C Sagittarii. 43.
Bestimmung von Fluoreszenzlinien durch photographische Analysen am Verrierstern. 52.
Versuch mit von Meteoriten mit veränderlichen Radioaktivität. 95.
Ein ungewöhnlich helles Stern. 81.
Sonne mit veränderlicher Radioaktivität. 95, 104.
Neuer spektroskopischer Doppelstern. 162.
Der Doppelstern 15 Cen. 145.
Der Spektral der Sterne des 4. Leuchtkraft-Typs. 201.
Zur ersten Darstellung der Doppelsternsysteme in der Spektral der Sterne. 205.
Die Bahn des spektroskopischen Doppelsterns C Tauri. 254.
Die Bahn des Doppelsterns + Corvus. 262.

3. Kometen.

Neuer Komet 1904 d. 30.
Der Kometar Komet 1904. 16.
Der Komet Tempel II. 41.
Die Bewegung der Schwefelkometen des Kometen 1903 IV. 92.
Elliptische Bahn des Kometen 1904 a. 92.
Der Komet 1905 i. 149.
Der periodische Komet Bruch 1891 V. 185, 149.
Schwefelkometen und Kometen. 165.
Die Bewegung der Schwefelkometen zweier Kometen. 165.
Neuer Komet (1905-6). 202.

4. Meteore u. Sternschnuppen.

Bestimmung der Periode 1904. 17.
Eine merklich niedrig Sternschnuppe. 18.
Der Fall der gemeinsamen Sternschnuppe Abbruch der Meteoriten von Sternschnuppe, Jettus und Jettus. 17.
Meteor am 1. Juli. 41.
Großer Meteor und Feuerkugel. 10, 42, 45, 49, 158, 211.
Neue Untersuchungen über den Meteoriten von Crater. 160.
Sternschnuppen Beobachtungen im August 1904. 95.
Die Sternschnuppenperiode in der Periode. 95.
Die Bahn des Meteors vom 2. Nov. 1903. 115.
Die große Feuerkugel vom 28. März 1903. 74.
Künstlicher Meteorit. 185.
Übersicht der Jahre von Sternschnuppen. 211.
Der Meteor vom 19. Juli. 75.
Bestimmung der Periode 1905. 274.
Merkwürdige teleskopische Meteore in der Nähe des Mondes. 253.
Der Meteor vom 3. August 1905. 254.
11.11.1905. 254.

5. Mond.

Der Krater Land auf dem Monde. 4.
Die große Rille der Mondlandschaft. 16.
1895. 11.
Der Teil der Alpen auf dem Monde. 28.
Mondlandschaften produziert am Mond. 185.
Die Mondberge in der Nähe des Craters. 185.
Die tiefste Mondlandschaft am 14. Aug. 1905. 190.
Die erste Sichtbarkeit der nächsten Mond. 204.
nach nach. 204.

21. Veränderliche Sterne.

Der veränderliche Stern δ im Cygnus. 31
Beobachtungen neugestellter heller veränderlicher Sterne in Tschirnitz. 40

Ein neuer Stern. Beobachtungen des Veränderlichen α Alet. 51

Ein neuer Veränderlicher im Abollator. 52

Die Entdeckung zahlreicher veränderlicher Sterne im grossen Orionhügel und in der Magellanschen Wolke. 56

Ein wahrscheinlich neuer Stern im Cygnus. 57

Die Veränderlichen in den Sternhaufen Messier 1 und 5. 100

Neuer Veränderlicher in der Leier. 111

Der neue Stern im Adler. 161, 170

Beobachtungsskizzen Beobachtungen einiger veränderlichen Sterne von Prof. E. Prutz. 174

22. Vermischtes

Die Beobachtbarkeit der Himmelskörper. I. Ernst Abbe. 46

Die Astronomie beim japanischen Vulkan. 49

Die Orionierung nach dem Scheitern. 75

Ernst Abbe und die Sternwelt. in Bonn. 94

Karl Gustav Jakob Jacobi. 119

Die astronomische Ableitung des Massens von Planeten und der Planetenmasse. 113

Eine Abweichung zur Ausdehnung eines astronomischen Beobachters. 121

Geometrische Theorie zur Beobachtung der letzten Sonnenflecken am 20. Aug. 1900. 128

G. W. v. Struve. 133

Eine neue Hypothese über die Entstehung der Sternensysteme. 154

Die Astrophysik heute von Prof. Campbell. 166, 167, 171

Wieder die Sterne als Strom zu sehen. 174

Veränderungen in den Dispositionen nordamerikanischer Sternwarten. 126

Wie ein planetarischer Unstet in Rottens. 166

Das Kopperniz-Donatell in Frankreich. 170

Die Bildung kosmischer Systeme. 177

Walter Willmann. 181

23. Zodiakallicht

Zur Frage nach dem Wesen des Zodiakallichtes. 185

Beobachtungen des Zodiakallichtes auf dem Gipfel des Mont. 186

24. Tafeln

I. Beobachtungen der Orionhimmelskörper. 187

II. Beobachtungen der Orionhimmelskörper. 187

III. Die große Hülle des Andromeda nach. 187

IV. Die Kometen während der letzten Sonnenflecken am 10. Jan. 1900 in. 187

V. Die Kometen während der letzten Sonnenflecken am 10. Jan. 1900 in. 187

VI. Die Kometen während der letzten Sonnenflecken am 10. Jan. 1900 in. 187

VII. Die Kometen während der letzten Sonnenflecken am 10. Jan. 1900 in. 187

VIII. Die Kometen während der letzten Sonnenflecken am 10. Jan. 1900 in. 187

IX. Die Kometen während der letzten Sonnenflecken am 10. Jan. 1900 in. 187

X. Die Kometen während der letzten Sonnenflecken am 10. Jan. 1900 in. 187

XI. Die Kometen während der letzten Sonnenflecken am 10. Jan. 1900 in. 187

XII. Die Kometen während der letzten Sonnenflecken am 10. Jan. 1900 in. 187

XIII. Die Kometen während der letzten Sonnenflecken am 10. Jan. 1900 in. 187

XIV. Die Kometen während der letzten Sonnenflecken am 10. Jan. 1900 in. 187

XV. Die Kometen während der letzten Sonnenflecken am 10. Jan. 1900 in. 187

SIRIUS.

Zeitschrift für populäre Astronomie.

Centralorgan für alle Freunde und Förderer der Himmelskunde

Herausgegeben

unter Mitwirkung hervorragender Fachlehrer und astronomischer Schriftsteller

von Prof. Dr. Hermann J. Klein in Köln.

Januar 1905.

„Wissen und Erleben, und die Freude und die
Erleuchtung der Menschheit.“ — Schmidt.

Jeden Monat 1 Heft. — Jährlich 12 Mk.

Verlag von EDUARD HEINRICH MAYER in Leipzig.

INHALT: Die Bewohnbarkeit der Himmelskörper. Von Prof. Dr. Klein. S. 1. — Die Sonnenflecke. S. 8. — Der Kepler Raum auf dem Monde. S. 8. — Der 4. Mond des Saturn (Phoebe) Teil II. S. 13. — Neuer Komet 1904 d. S. 14. — Verschiede Nachrichten (Phoebe) Teil II. S. 15. — Erklärung der Aberrationen. S. 16. — Erscheinungen der Jupiter- und Saturnsonde. S. 20. — Astronomischer Kalender S. 21. — Briefungen der Jupitersonde im Jahr 1903. S. 22.

Die Bewohnbarkeit der Himmelskörper.

Von Prof. Dr. Klein.

Das Interesse, welches das Publikum den astronomischen Forschungen entgegenbringt, wächst zum größten Teile in dem Wunsche, Aufschlüsse über die Bewohnbarkeit der fremden Weltkörper zu erlangen. Man fragt über die Größe der Götter, durchweg so unerschrocken wie von uns selbst, daß es selbst bei den der Erde am nächsten stehenden Weltkörpern, nämlich dem Monde, unangenehm ist, bloße Wesen von der Größe der irdischen Dämonen wahrzunehmen. Es kommt daher in jedem Falle zur Voraussetzung, daß, durch die vor die Augenwelt oder das Fieber von Bewohnern liegt eines Himmelskörpers festzustellen vermögen. Unter Bewohnern werden hierbei aber nicht denkende,

vernünftige Wesen, die in dieser Beziehung dem Menschen vergleichbar sind, verstanden, denn die Annahme der niedrigen tierischen oder pflanzlichen Lebens auf einem fremden Himmelskörper interessiert die meisten Menschen sehr viel weniger als Aufschlüsse darüber, ob auch jenseit unserer Erde vernunftbegabte Geschöpfe, Geisteswesen des unsrigen Geschlechts, ein Dasein gefunden haben. Ziel und Zweck des Lebens liegen sich durch naturwissenschaftliche Forschungen wenig erreichen, daß hervorragende Denker sogar zu dem Schisme gekommen sind, es sei unmöglich, danach zu fragen, aber im menschlichen Geiste wurde unerschütterlich die Schwere, Aufschluß über

das Fiksel des Daseins zu erhalten, und daher nicht auch der Blick auf die besondern Wege, um diese höchsten Standpunkt zu gewinnen und zusammenzufassen. Damit wird in der Tat schon Erhebliches gewonnen, auch wenn wir zugeben müssen, daß uns von der Welt nur so viel als Erleuchtung erkennbar werden kann, wie die Zahl und Beschaffenheit unserer Sinne gestattet, daß aber alle übrigen Daseinsformen und das Wesen des Seins uns unzugänglich bleiben.

Nur die Wissenschaft ruhige Gedächtnisse für die Betrachtung des Weltganzen gewonnen hatte, konnte der Gedanke an Beweiser fremder Himmelskörper sich nur durch vage Spekulationen äußern, aber auch selbst nachdenklich die Stellung der Erde im Weltganzen nicht richtig orientiert werden war, je nachdem bereits das Fernrohr das trübliche Blick des Menschen in ungünstiger Weise geschwächt hatte, blieb das Problem der Beweiserbarkeit der Himmelskörper noch innerhalb der Grenzen wilder Hypothesen, also der wissenschaftlichen Betrachtung entzogen. Was Hugges über die Bewohner der Planeten sagt, ist ebenso phantastisch wie die Ausführungen Kichens im *Hier conclave*, und selbst der gedruckte Fustellat hat in seiner berühmten Dialogen über die Natur der Welten nicht vorgeschrieben, was für uns irdischer Erleuchtung wichtig wäre. Es hätten denn die positiven Unterlagen, aus denen sich mehr als die bloße Vorstellung der Planeten ableiten laßt. Erst die Fortschritte der modernen Wissenschaft, die Verwirklichung der Instrumente und die Erfindung ganz neuer Beobachtungsmethoden haben zusammen mit der Vertiefung der theoretischen Erkenntnis Wagt eröffnet, auf denen das alte Problem sein Sein abgewiesen werden konnte.

Zuletzt war es die Frage nach der Natur, der stofflichen Beschaffenheit der Welkörper, die aus dem Bereiche der bloßen Vermutung in das Licht gehobenes, wissenschaftlicher Er-

kennnis geführt wurde. Kaum ein halbes Jahrhundert ist verlossen, seit es Rußens und Kirchhoffs gelang, den Weg zu finden, auf dem die materielle Beschaffenheit der fernsten Welkörper untersucht werden kann. Das Spektroskop hat seinen gelehrt, daß auf den Himmelskörpern die atomischen stofflichen Elemente vorhanden sind wie auf der Erde, in dieser Beziehung herrscht in der ganzen Welt Übereinstimmung. Untersuchen wir ferner, unter welchen Verhältnissen auf der Erde organische Wesen leben und gedeihen, so ergibt sich, daß deren Dasein unabänderlich gebunden ist an die Vorhandensein von flüssigem Wasser, sowie von Sauerstoff, Wasserstoff und Kohlenstoff, daher aber nicht minder an eine Temperatur, die sich zwischen dem Gefrierpunkt und dem Siedepunkt (180° C.) des Wassers hält. Fehlen diese Bedingungen, so kann nach den Erfahrungen auf der Erde organisiert Leben nicht gedeihen, und so die Naturgesetze keine lebten Veränderungen sind, sondern unabänderliche, allgemeine Gesetze besitzen, so dürfen wir mit voller Berechtigung schließen, daß die gleichen Bedingungen für das organische Leben, welche die Erde erkennen läßt, auch außerhalb derselben Geltung besitzen, je daß sie für das ganze Weltall gelten. Völlig Rechte wäre es daher, auch nur hypothetisch anzunehmen, daß auf fremden Welkörpern Organismen leben, die den der Fauna und der flüssigen Wassermasse zu ihrem Gedeihen bedürfen, denn wären solche überhaupt möglich, so würden wir auch auf der Erde vorhanden sein. Damit haben wir also den Maßstab der Lebensbedingungen für die Organismen gefunden und können ihn mit voller Berechtigung anlegen bei der Prüfung der Frage nach der Beweiserbarkeit fremder Welkörper. Ob aber mindestensfalls ein bewohnbarer Welkörper auch wirklich zu irgendeiner Zeit organisiert Leben beherbergt, ist zwar wahrscheinlich, aber noch keineswegs so und für sich gewiß, und gar nicht

kann man auf Grund allgemeiner Betrachtungen darüber aussagen, welche Höhe der Entschädigung die Organisation auf einem fremden Weltkörper einbringen. Das Menschengeschlecht bestand auf unserer Erde vor hunderttausend Jahren höchst wahrscheinlich nicht, und ob es sich einem schnell längeren Zeitraum nach vorhanden sein wird, ist auch ungewiß. Im Vergleich zum Alter der Erde oder gar des Sonnensystems wirkt unser irdisches Milieu kaum Jahre nach voll beendeten. Ein hervorragender Forscher wie James Newcomb hat daher ausgesprochen, daß, wenn ein Engel in Zwischenzeiten von je zehntausend Jahren die Erde besucht hätte, um nach denkwürdigen Wesen zu suchen, er hundertmal und noch öfter hätte vergeblich kommen müssen, ehe er endlich solche getroffen hätte. Dohal man diesen Gedankengang auf alle unbekannten Planeten aus, die aber Zweifel an die Myriaden Planeten, die im Forscher sichtbar sind, lassen, so würde auch dort die Nachforschung nach denkwürdigen Wesen in zahllosen Fällen vergeblich sein: aber die glückigen Fälle dünken auch zahllos sein, weil kein Grund ersichtlich ist, daß ein Teil des Universums vor dem andern bevorzugt sein sollte.

Blicken wir nun von der Warte unserer Erde in das unermessliche Weltall, so treffen wir dort auf Körper, von denen einige wenige dem Erdkugeln gleichen, die meisten aber aber durchaus unähnlich sind. Die zahlreichsten Sterne, welche die nächtliche Himmelskuppel schmücken, sind, mit ein paar Ausnahmen, völlig von unserer Erde fern verschieden: es sind selbstleuchtende Sonnen wie diejenige, die uns den Tag bringt, kugelförmige Massen im Zustande höchster Hitze, von Absoluten glühenden Dämpfen umgeben. Das Fernste und die photographische Platte zeigen außerdem unzählige nebelförmige Gebilde von seltsamen Formen, in denen aber die Spindelform gewissermaßen als Grundgestalt überall durchblickt. Man hat gute Gründe an der

Annahme, daß diese kosmischen Nebelmassen vom Stadium in Entwicklungsprozess der Himmelskörper entsprechen, aus dem sich die selbstleuchtenden Sonnen oder Fixsterne entwickelten, und in das sie nach langem Verweilen wieder zurück kehren. Jedenfalls ist das Stadium der Nebelstarkbildung und dasjenige der leuchtenden Sonnen oder Fixsterne sehr seltsam, wenn die Existenz lebender Wesen möglich wäre. Wir können daher mit Bestimmtheit behaupten, daß die unzähligen Fixsterne des Universums keine Stätten sind, auf denen irgendwelches Leben vorhanden ist. Anderseits aber sind wir der Quelle der Energie für unermessliche Planeten, die Spender der Wärme für die Oberflächen dieser letzteren und damit der spezialbiologischen Vorbereitung zur Entwicklung von Organismen. Nur die in den oberflächlichen Schichten existieren, in und für sich das Leben wandeln zu können als Weiterstufen organischen Lebens betrachtet werden. Von den Planeten der Fixsterne wissen wir nichts Bestimmtes, außer daß es in einigen Fällen Verdichtungen ihres Zusammenstoßes hervorgehen, ähnlich wie der Mond für uns schwere Sonnenstürme verursacht. So zahlreich also immerhin die Planeten der Fixsterne sein mögen, so müssen wir unsere speziellen Betrachtungen über die Beobachtbarkeit der Himmelskörper doch auf die Planeten beschränken, die unsere Sonne umkreisen, und zu denen die Erde gehört.

In erster Linie ist dabei der Mond zu bedenken, den man schon früh als eine Welt für sich betrachtete, und dessen Beobachtbarkeit von dunklen Werten auch im Schlusse des 19. Jahrhunderts nicht herabgesetzt wurde. Die genauesten Untersuchungen haben seitdem aber ergeben, daß der Mond, wie er gegenwärtig ist, nicht von höherem Organismus bewohnt sein kann, denn ihm fehlt Luft und Wasser in dem für die Existenz menschlichen Lebens erforderlichen Maße. Ob er etwa ein wasser- und luftloser Weltkörper gewesen, ist eine andere Frage

gewiß über diesen die sorgfältigsten Untersuchungen unserer Oberfläche nach, was darauf schließen ließe, der Mond sei in einer früheren Epoche seiner Entwicklung von dunkelnden Wesen bewohnt gewesen, die Spuren ihres Daseins hinterließen. Auch die heutigen Temperaturverhältnisse der Mondoberfläche sind für die Existenz organischen Lebens höchst ungünstig, denn der Boden wird dort während jedes Mondtages durch die Sonne bis zu Temperaturen erhitzt, welche die des kochenden Wassers übersteigen, vor Sonnenuntergang aber sinkt diese Wärme schon wieder unter den Gefrierpunkt, und die Oberfläche erkaltet während der langen Mondnacht bis auf 194° , je höher (ist) auf 390° unter Null.

Finden wir so, daß sich der nichtste und unserer Forschung am besten zugängliche Weltkörper nicht als unser Bewohnersitz von der Erde wesentlich unterscheidet, so dürfte man geneigt sein, auch den entferntesten Planeten diese Eigenschaft von Himm aus abzusprechen. In der That weichen diese in ihrer Beziehung zur Sonne wie in ihrer ganzen Beschaffenheit wesentlich von der Erde ab. Vom Planeten Merkur ist es sicher unrichtig, daß er der Sonne stets die nämliche Seite zuwendet, so daß die Sonnenball ihm nicht nur sehr vielerseits und erschaut als die Erde, sondern noch auf eine ganz andere Weise. Wenn Leben auf diesem Weltkörper besteht, sagt Schlegelmüller, dann wie die Untersuchung der Merkuroberfläche vorzudenken, so findet es dort Verhältnisse, die damit von den unseren abweichen, daß wir kaum wagen, sie uns vorzustellen. Die ewige Gegenwart der Sonne, die sich nicht über Strahlen mit einem Teil der Merkuroberfläche bestehend, und die ewige Abwesenheit dieser Sonne für die entgegengegesetzte Seite erscheinen, um in gleicher Weise unvorstellbar. Der nächste Planet von der Sonne an, der auf Merkur folgt, ist die Venus. Wahrscheinlich wendet auch sie unwiderklicher die nämliche Seite der Sonne zu, und wie vom Merkur gilt, läßt sich an ih-

licher Weiss auch für sie behaupten. Von den großen Planeten Jupiter, Saturn, Uranus und Neptun ist der ursprünglich in seiner Oberfläche höchst wahrscheinlich noch höllisch und deshalb bis zur heutigen Zeit nicht als Wohnplatz für Organismen geeignet. Saturn ist aber schon so weit von der Sonne entfernt, daß diese ihm nur wenig Licht und Wärme zu spenden vermag, und noch mehr gilt dies von Uranus und Neptun. Der frei über dem Äquator des Saturn schwebende Ring, der aus einer großen Anzahl dicker Körperchen besteht, wurde früher als vorzüglicher Ersatz des schwachen Sonnenlichts betrachtet. Die genauere Untersuchung der dort vorhandenen Verhältnisse hat aber ergeben, daß dieser Ring dem Saturn nur wenig Licht zu spenden vermag, daß er aber während des Winters der Saturnoberfläche einen großen Teil des direkten Sonnenlichts abdeckt, je dort Sonnenstrahlung erzeugt, die mehrere Erdjahre hindurch dauern. Wir Menschen würden sehr zu beklagen sein, wenn die Erde gleich dem Saturn auch von einem Ringe umgeben wäre. Dem Planeten Uranus liegt die Umlaufzeitpolo sehr nahe in der Ebene seiner Bahn, und dem verursacht dort höchst eigenartige klimatische Verhältnisse. Unter 5° nördl. oder süd. Br. schließt auf dem Uranus die Dauer des längsten Tages $2\frac{1}{2}$ Erdjahre, unter 50° Br. $21\frac{1}{2}$ Jahre, unter 80° Br. 37, an den Polen gar 49 Erdjahre. Dazu kommt, daß der Sonnenlicht und die von der Sonne ausgehende Wärmestrahlung dem Uranus nur mit dem verhältnismäßigsten Teile von derjenigen zukommt, welche die Erde empfängt. Für den Planeten Neptun liegen diese Verhältnisse noch wesentlich ungünstiger. An die Entwicklung von höherem organischen Leben auf einem entfernteren Planeten ist daher schwerlich zu denken, sie ist im höchsten Maße unwahrscheinlich.

Unter allen Weltkörpern ist es nur Mars allein, dessen Oberfläche Verhältnisse darbietet, die denjenigen der Erde

so weit ähnlich erscheinen, daß man an das Vorhandensein höherer organischer Lebewesen darauf denken kann. Aber dabei unterscheidet sich der Mars von der Erde, daß die freien Wasserräumen seiner Oberfläche, die Meere, ohne beträchtlich zusammenzusinken und, ja daß organisch stich um den Südpol ein zusammenhängender Ozean existiert, während andererseits kein Polargebiet mit tiefer Wasserräumungen vorhanden ist. Diese räumliche Trennung der Wasserbecken voneinander verursacht zudem im Kreislauf des Jahres höchst eigenartige Verhältnisse auf dem Mars. Durch die Schwerkraft des Frühlings entsteht auf der nördlichen Marsoberfläche eine kurze Zeit dauernde Überflut zu Südwasser, und auf diesen hauptsächlich ist das organische Leben ihrer Halbkugel angewiesen. Wenn, sagt Schiaparelli, auf dem Mars eine Bevölkerung von vernünftigen Wesen vorhanden ist, welche die Naturkräfte zu ihrem Zweck verwenden kann, so muß die regelmäßige Vorflut des süßen Wassers über der zur Kultur geeigneten Landschaft die Hauptaufgabe und beständigste Sorge derselben bilden. Solches scheint sich aus tatsächlich in dem Vorhandensein und dem periodischen Schilberwerden der sogenannten Markkanäle unsere Blicken zu offenbaren. Unter den neuern Beobachtern des Mars ist es vor allen der Amerikaner Percival Lowell, der mit mächtigen Instrumenten die Vorlesungen auf der Oberfläche dieses Planeten ausdauernd verfolgt hat. Besonders seine jüngsten Untersuchungen sind von großer Wichtigkeit. Er hat nachgewiesen, daß die Entwicklung (A-B) des Schilberwerdens der Kanäle vom Nordpol des Mars gegen den Äquator hin in ziemlich regelmäßiger Tempe fortschreitet. Sie folgt hauptsächlich dem Schmelzen des Polarschneens, und wie üblichen in dem Vorgange physische Veränderungen, die aber in ihrem Verhalten einen wesentlich andern Gang zeigen als auf unserer Erde. Können wir unsern jetzigen

Standpunkt verlassen und von einem Punkte außerhalb der Erde auf diese herabschauen, so würden wir bemerken, wie im Anlauf des Frühlings eine grüne Welle über die Ärdkugel hinwegzieht, die von den Äquatorialen Gegenden höher und höher gegen den Pol hinzieht. Hier werden wir, deutlicher als auf dem Mars, die Verdickung wahrnehmen in dem Blaujale der Vegetation, das sich über die ozeanische Grundfläche ausbreitet, aber die beiden Welten Erde und Mars würden dann fundamentalen Gegensatz darin zeigen, daß die Vegetationswelle auf der Erde vom Äquator gegen den Pol hin fließt, auf dem Mars dagegen vom Pol gegen den Äquator hin. Woher dieser Gegensatz? Einfach zufolge der Gegenwart oder Abwesenheit von Feuchtigkeits! Auf der Erde ist, mit Ausnahme der Wüsten, Wasser überall ausgetreten, die Erwärmung der Sonne aber nimmt zu und ab, und entsprechend verläuft sich gleich der Kreislauf des vegetativen Lebens. Auf dem Mars dagegen fehlt vielfach das Wasser, es gibt dort im wesentlichen nur solchen, der von dem Schmelzen der Schneen- und Eismassen herrührt. Vegetation kann in saisonal-temperaten Maße nur darauf existieren, nachdem das Wasser aufgetauten ist. Daher muß dort die Vegetation vom Pol ausgehen und gegen den Äquator hin vorschreiten, während auf der Erde genau das entgegengesetzte stattfindet. Bezüglich des Mars kommen dazu die Lichtstärkeverhältnisse der Kanäle ganz hinzu. Zumeist hauptsächlich bestimmt, nicht durch das Kommen der Sonne, sondern durch das des Wassers, folgt das vegetative Leben auf dem Mars nicht den zunehmenden Breitengraden, sondern bewegt sich die Schmelze nach. Wir schließen daraus, sagt Lowell, daß die Kanäle Ströme von Vegetation sind, die gesteuert wird von dem Wasser, das von der polaren Eiszone kommt.

Wir bemerkt, schließt das Aufsteigen des vegetativen Lebens auf dem Mars nach und demnach gleichmäßig vom

Pole her über die Oberfläche des Planeten fort. Die Verdampfung beträgt etwa 34 Tage, um vom 75 Grad nördl. Breiten zum Äquator anzukommen, eine Strecke von 2600 engl. Meilen. Im Durchschnitt entspricht dies 63 engl. Meilen auf den Tag oder 2,2 engl. Meilen in der Stunde. Unter dem Einfluß der Schwere auf dem Mars würde aber Wasser keineswegs vom Pol gegen den Äquator hin fließen, am wenigsten mit der wirklich vorhandenen Geschwindigkeit, und daher scheint der Schluß unabweisbar, daß es dort auf künstlichem, nicht auf natürlichem Wege gewonnen wird. Also, sagt Lowell, würden wir damit geführt, an einer künstlichen Umpumpung und künstlichen Erhaltung der sogenannten Kanäle zu denken, deren Benennung dadurch gerechtfertigt erscheint, und ich sehe keine Möglichkeit, dieser Schlußfolgerung zu entgehen. Diese wird auch unterstützt durch eine wichtige Tatsache. Der Fortschritt in der Entwicklung, der sich vom Pole gegen den Äquator in unserer späteren Epoche vollzieht, macht am Äquator selbst nicht Halt, sondern die Vegetation schreitet auch auf der stählernen Hemisphäre fort. Hinge sie aber von der physischen Beschaffenheit der letzteren lediglich ab, so müßte mit dem Überschreiten des Äquators eine Umkehr eintreten, weil die natürlichen Verhältnisse jetzt die entgegengetreten sind. Das ist aber durchaus nicht der Fall, und so stehen wir hier vor einer Erscheinung, die nicht nur einfach unerkklärbar aus Naturgesetzen ist, sondern deren völlig entgegensteht. Lowell schließt deshalb, daß die Kanäle ihrem

ganzen Verhalten nach auf Vegetationsvorgänge deuten und durchaus künstlichen Ursprungs, d. h. von Bewohnern des Mars angelegt sind. Diese Schlußfolgerung hat er durch höchst sorgfältige Beobachtungen über das Verhalten zweier bestimmten Kanäle jetzt noch dahin präzisieren können, daß bei beiden ein wechselndes Ab- und Zueilen der Kanäle nur durch künstliche Vorstellungen der Kanabewohner zu erklären ist. Diese haben seiner Überzeugung nach Vorrichtungen getroffen, um die relative geringe Wassermenge, die ihnen zu Gebote steht, möglichst auszunutzen, so daß, wenn ein Dürre beobachtet ist, die kanabere Flüssigkeit einem bestimmten angestrichen wird um nach dessen zu befeuchten. Der Planet Mars ist nach unsere derzeitigen Kenntnissen der einzige bekannte Weltkörper außerhalb der Erde, von dem wir mit Bestimmtheit behaupten können, daß er für denkende Wesen bewohnbar ist und aller Wahrscheinlichkeit nach gegenwärtig bewohnt wird. Für zahllose Planeten in der Tiefe des Firmamentes, die wir heute durch nicht wissenschaftliches Vermögen, nur die Bewohnbarkeit an und für sich ebenfalls höchst wahrscheinlich, dem wir nicht behaupten, daß die kleine Erde das Haupttheater im Universum sei, auf dem das Spiel des Lebens aufgeführt wird? So drängt sich dem klaren Denker die Welt eine Antwort darauf auf, daß die irdische Weltordnung überhaupt nur aus weil Sinn und Bedeutung hat, als sie sich im Bewußtsein denkender Wesen darstellt.

Die Sonnenflecke.

Einer der Erscheinungen, welche die Sonne dem bewaffneten Auge darbietet, sind die dunklen Flecke, die in wechselvoller Zahl und Größe auf ihrer Scheibe sichtbar werden, die sogenannten Sonnenflecken. Auch wurden sie schon un-

mittelbar nach der Erfindung des Fernrohrs entdeckt, ja schon früher hat man im gewöhnlichen Zuhilfenahme des bloßen Auges dunkle Punkte auf der Sonne wahrgenommen geglaubt, ohne über deren Wesen richtig denken zu können.

Die Anzahl der Beobachter, welche sich dem Studium der Sonnenflecke gewidmet haben, ist allerdings, demnach aber Inhalt dieser Darstellung selbst keine noch sehr viel Mächtigere, so daß die Ansichten der hiesigen Forscher bezüglich des Wesens der Sonnenflecke wohl auseinandergehen. Da diese Flecke nach Größe, Zahl und Lage auf der Sonne sehr verschieden sind, so haben Beobachtungen derselben unter sonst gleichen Verhältnissen um so mehr Wert, je länger der Zeitraum ist, über den sie sich erstrecken. In dieser Beziehung sind die Sonnenfleckenbeobachtungen, welche Prof. Dr. Th. Epstein in Frankfurt während der letzten 25 Jahre mit großer Ausdauer angestellt hat, von besonderem Werte. An mehr als 4000 Tagen hat er die Sonne beobachtet und dabei mehr als doppelt so viele Fleckengruppen aufgezählt. Diese Arbeit wird Prof. Epstein nach seiner Auffassung, „Denn, sagt er richtig, man gewinnt eine wissenschaftliche Tätigkeit, mit der man während eines großen Teils seines Lebens die Mäuserei ausgefüllt hat, und der man manchmal gering erhaltendes Genuß verbindet, nicht nur von Tag zu Tag lieber, sondern sie wird einem nachgerade so zum Bedürfnis, daß man jeden Tag, an dem man ihr nicht nachgehen kann, als einen verlorenen empfindet, andrerseits besteht das Mäusertum des Gegenstandes darin, dem man nicht entrinnen kann, wenn man sich ihm dienstbar untergeben hat. Jeder Mensch der Astronomie, der sich praktisch betätigen will, sollte die Sonne zum Objekt wählen, denn sie ist und bleibt für uns Menschen, solange wir Astronomen sein oder recht, als der Ursprung und eigige Jugendort eines Mannes. Dieser der wertvollste Himmelskörper, der zudem das bequemste und leichtest zugängliche Objekt der Himmelsbeobachtung ist.“

Prof. Epstein bedient sich zu seinen Beobachtungen um 1879 eines Fernrohres von 3 Zoll Öffnung und zwar des nämlichen Instrumentes, mit dem vorher mehrere Jahrzehnte lang

der Lehrer Weber in Pecheloh (bei Varnsdorf in Wachsenburg) sehr erfolgreich Sonnenbeobachtungen angestellt hatte, und das also auf diesem Beobachtungsgebiet eine ständige Rolle gespielt hat. Es ist noch heute vorzüglich. Das Licht und die Wärme werden durch ein hellfarbiges Prisma abgelenkt, auf welches ein Okular mit ölhafter Vergrößerung und mit blauen Gläsern aufgesetzt ist. Im Brennpunkt desselben befindet sich das Gläsern, auf welcher horizontale und vertikale Linien eingestrichen sind, so daß jedes der Quadrate, welche sie bilden, ein Quadratmillimeter groß ist. Man kann mittels dieser Vorrichtung nicht nur die jeweilige Lage einer Fläche auf der Sonnenscheibe bestimmen, sondern auch dessen Größe schätzen. Prof. Hess in Münster war es, der vor etwa 45 Jahren dem Beobachter Weber diese Vorrichtung machte, auf diese Weise Ort und Größe der Sonnenflecke zu bestimmen.

Prof. Epstein hat nun die Ergebnisse seiner 25jährigen Beobachtungen veröffentlicht¹⁾ und dabei gleichzeitig eine Geschichte und Beschreibung der Sonnenflecke sowie eine Darstellung der heutigen Anschauungen über das Wesen derselben gegeben. Wir haben aus dieser umfassenden Darstellung die nachfolgende heraus.

Entdeckt wurden die Sonnenflecke fast gleichzeitig von verschiedenen Astronomen, die in den Besitz eines Fernrohres gekommen waren. Unter ihnen hat Galilei am nachtheiligsten sich den Ruf verschafft, der erste Entdecker derselben zu sein. Umhüllung von ihm mit aber auch der Jesuitengemeinschaft Scheiner in Ingolstadt die Sonnenflecke und war davon so überzeugt, daß er anfangs nicht wagte, etwas davon zu veröffentlichen. Auch sein Ordensvorgesetzter, Pater Dominus, war gegen das Veröffentlichung, weil er fürchtete,

¹⁾ Darstellung von jahrgespäthender der Beobachtungen Photographen in Frankfurt a. M. 1894.

daß sich der Orden durch solche von ihm ausgehende gewagte Behauptungen sehr bald widerum löste, und weil er selbst nicht recht an die Wahrheit der Entdeckung glauben wollte, sondern geneigt war, sie für eine Täuschung des Fernrohrs oder des Auges zu halten. «Eben solche Meinung, sagt mit Recht Prof. Eysen, war für jene Zeit nicht so absurd, wie wir heute erkennen; denn die Fernrohre waren in den ersten Jahren nach der Erfindung noch sehr unvollkommen und unzuverlässig, sowohl in dem, was sie zeigten, als in dem, was sie nicht zeigten, wie aus verschiedenen Zeugnissen damaliger Beobachter hervorgeht. So hatte z. B. Mercator seinen berühmten Schüler Kapler mit, er habe zwei Fernrohre, konnte aber durch keine der Jagdrevolver, noch weniger die Finnen der Venus sehen, dagegen zeigten sie ihm den Rand der Sonne «nicht aufwärts, d. h. mit Erhöhungen und Vertiefungen besetzt, als ob die Sonne ein grobgerippter Körper wie die Erde und hohe Berge und Täler wie diese: Er war im Zweifel, ob dies von Mängeln des Glases oder des Glases herrühre. Überhauptward antwortet Kapler, er habe ein vorzügliches, von Goldes selbst herstellendes Instrument, aber die Sonne erscheine viereckig, besonders die hellere Jupiter, Mars, Merkur, Venus. Auch andert heutzutage Mikroskope gegen die neue Erfindung.

Schäffer schrieb über seine zufälligen Beobachtungen, erst als direkt in veröffentlichten, dem Briefe, von denen der erste vom 13. November 1611 datiert ist, an seinen Onkel, den Aschbacher Bürgermeister Marcus Weber, und diese gab er in seiner Zeit, aber unter dem Pseudonym «Apelles» bereits postulatam im Januar 1612 heraus.

Zwischen Orlich und Schöner und ihren Anhängern entstand später ein heftiger, mit großer Leidenschaft und sogar Geistesgeißel geführter Streit über die Priorität der Entdeckung, der den Beteiligten keine Ehre machte und eigentlich gegenstandslos war. Denn

wenn es sich um die Frage handelt, wer die Sonnenflecke zuerst wahrgenommen habe, so kommt noch ein dritter in Betracht, der Finen die Finen stieg marte, das ist Johann Fabricius, der mit seinem Vater David Fabricius, dem durch die Entdeckung des ersten veränderlichen Sternes, Mira Ceti, bekannten Planeten in Odell (Gothland), vom 9. März 1611 an mit einem selbstgezeichneten Fernrohr die Sonnenflecke beobachtet hatte und jedenfalls der erste war, der über diesen Gegenstand eine Schrift im Druck erschienen ließ. Diese in Wittenberg herausgegebene, zum 10. Fränkischer Hofbibliothek von 1611 angelegte Veröffentlichung hat den Titel: *Johann Fabricii Physici de maculis in sole observatis et apparetis circa cum solis conversione Narratio*. Sie enthält nur 22 Blätter und schließt damit in weiteren Kreisen unbekannt geblieben zu sein, dass sonst viele der vorerwähnten Privatforscher nicht möglich gewesen. Sie wurde erst mehr als 100 Jahre später von Christian Wolff in Halle wieder aus Leih gezogen und ist auch heute noch aus Privatbibliotheken.

Von den letzten Beobachtungen der Sonnenflecke gibt Prof. Eysen eine ausführliche Zusammenstellung. Das wichtigste Hauptwerk über denselben ist von Scheiner und führt den Titel: *De Maculis in Sole observatis et ab eis dem Haec Christi stantibus Hicogis von Bracciano, dessen Wappen der Hock zeigt) gedruckt 1606/1608 Bracciano im Rom. Es ist, sagt Eysen, durch die Fülle der Beobachtungsmaterials und die daraus vom Verf. gewonnenen Resultate ein besonders Zeugnis innerweltlichen Fleißes und schätzenswerten Urteils. Nach Scheiner beobachtete Hicogis in Genua die Sonne vom 1642 bis 1643, später Cassini und Picard in Paris. Aber im darauffolgenden Jahrhundert schied das Interesse für diese Beobachtungen ab, weil die Flotte in Zahl und Größe bald unmerklich anwuchs, und man mit der Sache nicht rechten anzufangen wollte. Man kam endlich*

nicht über den von Schuster erreichten Standpunkt hinaus. Nicht viel besser war es im 18. Jahrhundert, und Olbers sagte 1798, daß die Beobachtung der Sonnenflecke zu sehr ungenau werde.

Deshalb ist sich erst im ersten Drittel des 19. Jahrhunderts dank dem Elter und der Ausdauer eines Freundes der Himmelsbeobachtung, Schwabe, Apoliker in Dessau, hatte mit Anfang 1826 in dem Göttingen, unter den Sonnenflecken möglicherweise dann schmerzhaften Flecken zu entdecken, die regelmäßige Beobachtung der Sonne unter-

nommen und führte sie so richtig wie möglich fort, bis ihn sein hohes Alter Ende 1866 zwang, das Fernrohr aus der Hand zu geben. Im Jahr 1842 machte er eine statistische Übersicht der von ihm beobachteten Sonnenflecker bekannt und sprach dabei die Vermutung aus, daß diese nicht so regellos ausfallen, wie man bisher geglaubt, sondern daß sie eine Zählung in Zahl zu- und dann wieder abnehmen, so daß sie einer Periode unterworfen zu sein scheinen, die er auf 10 Jahre schätzte.

(Schub. 1894.)

Der Krater Linus auf dem Monde.

Vor sechzehn Jahren hat Prof. Wilhelm H. Pickering geschrieben, daß der hellste Fleck, welcher den Krater Linus umgibt, während einer totalen Mondtotalitätsperiode (Verdunkelung seiner Größe umgibt). Dies hat Dr. C. W. Fiske, Observator an der Sternwarte in Stralburg, bestätigt, der ferner während der Mondtotalität am 13. April 1903 seine besondere Aufmerksamkeit darauf zuwenden und ihn auch später durch eine systematische Beobachtungsreihe zu untersuchen. In dem von ihm vorher veröffentlichten Berichte über seine bezüglichen Beobachtungen¹⁾ bemerkt Dr. Fiske folgendes:

Wenigstens einen kurzen Rückblick auf die Geschichte des Kraters Linus. Der zentrale im östlichen Teil der dunklen, grauen Ober- der Mare nascentis gelegene Krater kommt in Hewitt's „Selenographia“ (Götting 1847) noch nicht vor, weder auf den verschiedenen Placardenbildungen, noch auf der Generalkarte Fig. 8, die Wörten, die im Jahre 1845 hergestellt worden ist, in dem wenige Jahre später erschienenen „Atlasque du monde céleste“ (Götting 1853) von Kieckhof finden wir den hin-

gegen schon auf zwei Karten (Bd. I, p. 304). Auf der ersten Karte, die 22,5 cm Durchmesser aufweist, erscheint er als deutlicher schattenvoller langhafter Krater von im Mittel 1", am Durchmesser, auf der zweiten ist er als schattenvoller weißer Fleck verzeichnet, doch dürfen wir auf den letzten Umstand kein großes Gewicht legen, denn die zweite Karte will eben nur als Indizium der Neuentdeckung dienen. Wir müssen also annehmen, daß Grimaldi — der Urheber beider Karten — Linus, soweit das seiner unvollkommenen optischen Hilfsmittel zuliefen, als einen echten Krater gesehen hat. J. D. Cassini hingegen hat auf seiner von 1682 herausgegebenen großen Mondkarte Linus nicht eingetragen. Man mag es auch zunächst wundernehmen, daß wir die Geschichte auf Tobias Mayer mit Scipione Guiseppe größerer Mondkarte, deren Grundlagen bereits zwischen 1748 bis 1750 entstanden, vermissen. Das wird aber leicht erklärlich, wenn man die 48 Detailzeichnungen anschaut, woraus erhellt, daß Guiseppe ganz Gegend umher Gegenstand seiner genaueren Studien gewesen. Tobias Mayer kann uns also zur Geschichte von Linus einen Beitrag nicht liefern. Als ständiger Linus-Schreiber an die Reihe, der das Mare nascentis

¹⁾ Bonn 1903, S. 41.

²⁾ Annalen der Kaiserl. Universitäts Sternwarte in Stralburg, Bd. 3, Anz. C Bonn 1905, Heft 1.

seiner ganzen Ausdehnung nach am 5. December 1768 sichtbar. Hier ist an der Stelle von Linné eine „graue Flecke“, als ein weisses rundes Fleckchen angedeutet, ohne irgendwelche Einzeichnung! (c. p. 181). Es ist aber ausdrücklich daran erinnert, daß Schreiber der Spiegelteleskope zur Vorhaltung wurden von keineswegs befriedigender Definition. Daß Hermann Schlegels Identifikation von Linné mit Schiller = zutrifft — und nicht, wie Birtswillie, mit Schillers dunklen Fleck *g* — das hat meinen Zechern in überzeugender Weise Herr H. J. Klein in A.N. 2149 dargelegt. Ein anderes Aeussern hat Linné in den von folgenden Sonnengraphen von Lehmann (1834) und Mädler (1837) übereinstimmend gebrauchten Beobachtungen eines deutschen runden Kometens und eines Durchmesser von 10 km. Auch Schmidt sah ihn zu Anfang der vierziger Jahre (1840 bis 1843) nicht anders, bei denselben Beobachtungen im Jahre 1868 nicht mehr bestehende vor, Linné als Krater zu erkennen. Von da an ist Linné vielfach sehr kleinlich beobachtet worden, und unter günstigen Bedingungen sah man in den nächsten Jahren 1867 und 1868 noch einen fasterst nachfolgenden, großen Krater von 40 km Durchmesser, der später recht oder vorhanden ist. Das scheint also ungefähr wieder ein Schreiber zusammen. Heutzutage liegt an der Stelle von Linné ein vom dunklen Marsenlagergrund sich deutlich abhebender, heller, weißer Fleck mit ein wenig ausstrahlendem Gessam und einem mittleren Durchmesser von vielleicht 5 km. Im Zentrum befindet sich ein niedriger Berg mit einer geschlossenen Krateröffnung. Von jenem weißen Fleck nun sagte umschlags W. H. Pickering, daß sein Durchmesser wahrscheinlich sei und in Beziehung steht zum Mondkrater, besser zur Sonnenkrater, und daß die Größenschwankung besonders auffällig sei bei Mondbedeckungen.

Während der Mondbedeckung vom 11. April 1903 gelang es mir nun, im Lichte derselben im ganzen 28 Durchmesser-

bestimmungen des kraterischen Fleckes vorzunehmen. Diese Messungen sind in der Richtung des Deklinationszentrums angeordnet. Die Vergrößerung war 407fach. Linné erschien, wie immer bei Vollmond, als völlig gut begrenzter rundlicher Lichtfleck, in welchem keinerlei Detail sich erkennen ließ, ebenfalls eine leichte, wenig auffällige Aufhellung zur Mitte hin. Um die Phasen der Finsternisse bequem mit den Messungen vergleichen zu können, sind die ersten in der folgenden Übersicht nach mittlerer Zeit von Stralsburg zusammengestellt:

M. Z. Stralsburg		
Erster Kontakt mit dem Halbschatten		19.59m
Beginn der Finsternis		20. 6
Kontakt von Linné		20. 52
Apogäum von Linné		20. 54
Ende der Finsternis		21. 20
Letzter Kontakt mit dem Halbschatten		21. 30

Nach beifälliger graphischer Skizze wurde ferner der Krater Linné von dem Halbschatten der Erde erreicht am

1897 M. Z. Stralsburg
und wieder frei von ihm am
1904 M. Z. Stralsburg.

Die Werte tellen die messbaren Ergebnisse seiner Messungen der Größe des Fleckes mit. Sie begannen 19m 52.8" und endigten 14m 34.4". Das Messungen begannen wenige Minuten, nachdem der Halbschatten Linné erreicht hatte, d. h. genau zu Anfang der für Linné stattfindenden Sonnenbedeckung. Der Durchmesser des Gebildes wird nun zunächst laagen, dass immer mehr größer, während seine Helligkeit abnimmt; der größte Wert wird gemessen, kurz bevor der Krater in Kernschatten verschwindet. Von 5.2 km ist so die Ausdehnung bis auf 5.7 km gewachsen. Als Linné wieder aus dem Schatten hervortritt, hat die Größe sich auf dem Größtwerte gehalten 5.5 km, sie sinkt allmählich auf 5.7 km herab, nimmt dann aber wieder bei zum Abbruche der Beobachtungen, der ein wenig vor dem Verlassen des Linné durch den Halbschatten erfolgt, zu bis auf 7.8 km. Die grösste Schwankung

verlief sich also in einer Ausbuchtung von 3½ km.

Sieht man die Veränderungen in der Größe des Flusses durch große Linsen dar und verbindet dann Endpunkte durch eine Kurve, so erhält man eine periodische Linie, die gegen die Zeit der Verleinerung des Linsel nach unten, nach dem Austritt aus dem Schatten aber etwas weniger nach unten.

Die Zunahme vor der Finsternis während des Vorüberzuges des Halbschattens über Linsel ist durchaus verblüffend, sowohl durch die Sicherheit der Messungen in sich, als auch durch die ungewöhnlichen Ausweichungen in die Kurve, deren Gestalt physikalisch völlig plausibel erscheint, da offenbar die Licht- und Wärmestrahlung um so rascher erfolgt, je weiter die Sonnenstrahlen für Linsel schon vorgedrungen ist.

Nachdruckswertiger, sagt Dr. Wirtz, erhielt sich aber hier noch ein Element, auf den mich Herr Becker aufmerksam machte. Es wäre recht wohl denkbar, daß das scheinbare Größenwerden von Linsel lediglich der Folge einer persönlichen Fehlerquelle sei. Die beobachtete Tangentialgeschwindigkeit der Tidenraue, mit durchschnittlicher Helligkeit einer Mondformation ihres Durchmesser immer größer und größer anwachsend. Dann könnte aber diese Erscheinung nicht auf Linsel beschränkt geblieben sein, sondern sie hätte sich auf alle Mondkanten ausbreiten müssen, die im Hinblick auf diese Bild zeigen. Wieso nicht sich nur neben den Messungen des Krater Linsel auch sich mit einem analog gestellten Nachdruckkrater nach Augenmaß verglich und hierdurch dank dem Wachsen erkannte, da der Vergleichskrater diese nicht indizierte, so schien es doch hinsichtlich wichtig, diesen Nachdruck in Streng durch eine besondere Beobachtungsreihe zu führen.

Der Versuch stützte sich auf die Überlegung, daß das, was in wenig Stunden während einer Halbschatten vor sich geht, in nach innerhalb einer Lunation (monat) der Wechsel von Licht und

Dunkel, von Wärme und Kälte, und daß diese auch die Wirkungen nicht ausbleiben dürfen. Dennoch sollten wir erwarten, daß nach Sonnenanfang über Linsel der hellste Fleck einen großen Durchmesser haben müsse, der im Laufe des Mondtages bis zum Mondmitte oder noch ein wenig darüber hinaus anwuchs, um dann bis zum Sonnenanfang und bis zum Verlassen in der Nachtseite des Mondes wieder anzuweichen. Folgt man nun an der Linsel noch einen sehr geeigneten Vergleichskrater an, so hilft sich aus dem nächsten Gange der beiden Zahlenreihen die gewünschte Entscheidung treffen.

Nach einigen Versuchen fand ich als Vergleichskrater den ebenfalls von dem Mann ebenfalls ausdrücklich von Linsel sich erhaltenden Krater No 22 nach Lehmanns Karte (der Müller, Schmidt und Nelson mit B bezeichnet) am geeignetsten. Er ist etwas weniger kleiner als Linsel, steht aber aber besonders bei hohen Sonnenstände ungemein deutlich.

Der Vergleichskrater liegt nach Messungen von Dr. Wirtz in $+14^{\circ} 43'$ astronomischer Länge und $+30^{\circ} 28' 30''$ astronomischer Breite. Er scheint etwas schärfer begrenzt als Linsel und besitzt aus einer kleinen Kratergrube mit niedrigem Walle, die in einer Mulde des Randes verläuft liegt. Auch im Linsel sah Dr. Wirtz bei niedrigem Sonnenstände eine ähnliche Kratergrube, deren Durchmesser aus zwei Messungen am 2. Juli und 31. August 1943 sich zu $0.34''$ oder 440μ ergab. Als Gegenpaar am 15. Juli (1975 Tage nach dem Neumond) die Lichtgrube des betrachteten Mondes über den Vergleichskrater B ging, Linsel mußte dicht an der Lichtgrube stand, wie Dr. Wirtz denselben als ein verhängenes Häpchen, dessen oberer Schattensaum $1.03''$ breit war. Ein Krater hat sich nicht erkennen, wahrscheinlich weil der Beobachter gerade auf die hellsteigende Ostwand von Linsel blickte. Die Durchmesserbestimmungen des Linsel und des Vergleichs-

kraters β wurden nur in derselben Weise angeordnet wie die während der Fixierung an Land schon vorgenommen und zwar an 13 Tagen, die sich über die Zeitdauer von 7.6 bis 30.7 Tagen nach dem letztverflossenen Neumonde verteilten. Es ergab sich, daß der Krater β im Durchmesser (von 5.76 km) unverändert blieb, während Land bei 5.84 km kleinsten Durchmesser pro Tag des Mondalters im Mittel 0.105 km größer wurde. Der kleinste Wert des Durchmessers ist 0.30 km (7.8 Tage nach dem Neumonde), der größte 0.76 km (19^{te} Tage nach dem Neumonde). «Es scheint somit, sagt Dr. Wirtz, daß in der Tat der Durchmesser von Land im Laufe einer Lunation variabel ist und zwar nach Aussage der Formel damit, daß er, nachdem der Mondtag bei einem Mondalter von ungefähr 7 Tagen für ihn begonnen, mit jedem weiteren Tage um 10^{te} zu nehmen, bis er bei einem Mondalter von 21 Tagen wieder in die Nullstelle läuft. Natürlich nennt die Formel nur den Rang einer Interpolationsformel an, deren Gültigkeitsbereich man keineswegs unter ein Mondalter von 4 Tagen oder über ein solches von 21 Tagen ausdehnen darf.»

«Aber auch so widersprechen ansehnlich die Beobachtungen außerhalb der Fixierung des während derselben gemessenen. Wir hätten erwarten müssen, daß Land mit ziemlich großen Durchmessern aus der Nullstelle hervorgeht, mit höher steigender Sonnensammensetzungsangabe und von dem im Mondalter von 13 Tagen eintretenden Maximum zu weiter gewachsen wäre. Soli Seleni Bodei ein sehr langsame Wachstum während der hellen Lunation statt, solange wir die Formation überhaupt erblicken. Möglich wäre es jedoch anzunehmen, daß infolge der langsamen Erstarrungs- und absteigenden im Laufe eines Mondtages die Änderungen sehr viel geringfügigeren, je es klein hätten, daß sie ungleich dem Range der zukünftigen Beobachtungsfähigkeit gleichblieben.

Entgegen unserer Erwartung wollen

die Beobachtungen, die W. H. Pickering in Arzquipa während der Jahre 1887 und 1894 gemacht, darthun, daß der Durchmesser von Land gleich nach Sonnenanfang am größten ist, daß er dann bis 1 Tag nach Mittag rapide abnimmt (um 1.6%), und daß er danach etwas weniger nach sinkt (um 1.3%) bis zum Vorhau in die Nachtzeit. Anderseits stimmen indes die von demselben Beobachter in Cambridge (U. S.) während der Mondsterns 1902-19 Oktober erhaltenen Durchmesserbestimmungen von Land mit unseren Ergebnissen überein, insofern, als auch dort ein deutliches Wachstum vor der Fixierung und eine starke Vergrößerung des Gebildes beim Austritt aus dem Erdschatten gefunden wurde. Auch die Gestalt der Krater der Lunation stimmt mit der von mir konstruierten gut überein, weniger gut die Amplitude der Schwankung, für die ich die Grenzen 2.8' bis 4.4' setze, während Pickering bei 2.8' bis 3.3' vor der Verhinderung, 5.5' danach.

Die Ursache der beobachteten Erschöpfung betreffendgrad zukünftigen beruht nach einige Schwankigkeiten. Aus rein naturwissenschaftlicher Vorgänge wird man nicht denken dürfen, da diese die genaue Bestimmung des Grades zur Sonnenablenkung nicht wohl plausibel gemacht wäre. Am ehesten wird man vielleicht noch der Annahme mondatmosphärischer Phänomene hängen, die eben der Tonkondensation in unserer Luft ähnlich vergleichbar wäre. Man wird diese Hypothese um so weniger von der Hand weisen dürfen, als je besonders gleich lange neuer Wahrnehmungen auf die Annahme, dass kleine gasförmigen Reduzum in verschiedenen Niederlagen der Mondoberfläche einsetzen. Verglichen dem Verhalten Land scheint nur z. B. dasjenige der großen Weltweite Plut, dass kleine niedrigere Fläche von Sonnenablenkung an langsam sich aufhebt, bis die Sonne etwa 10^{te} Höhe über ihr erreicht, dann bei kleiner Vollmond wieder abnimmt und so auch in der abnehmenden Phase bleibt,



Fig. 1



Fig. 2



Fig. 3



Fig. 4



Fig. 5



Fig. 6

bei der Lichtmenge hat den Anschein durchschneidet, wenn die Fläche hell wie das Meer wird. Ebenso spielen sich auch in der Nähe des Katers neuerer Vergänge ab, die eine sehr streifbare Beziehung zum Sonnensturm besitzen.

Bei ständigen Beobachtungen der Formation Lenz habe ich es für wichtig, neben ihrem Durchgange nach ihrer Flächenbedeutung Aufmerksamkeit zu widmen, und zwar sowohl photographisch als optisch. Auf diese Weise muß man auch zur Entscheidung gelangen, ob man es mit einem atmosphärischen Phänomen zu tun hat oder nicht, sobald nur jetzt geformt

Medien unserer Luftkette schiffartig ähnlich sieht, bei dem Vorüber der Fall, so würde sich die Lichtschwächung von Lenz und der mit verschiedenen Erweiterungen behafteten Kreis allmählich geringer geläuter hervorstellen müssen als optisch, denn die Glimmung der chemisch verformten Strahlen durch unsere Augen schweben. Selbstverständliche Voraussetzung bei alledem ist natürlich, daß der Sonnenstrahl wirklich die entsprechenden Querweiten auf dem Monde durchdringen und erst von der darunterliegenden Oberfläche wesentlich reflektiert werden.

Der neueste Mond des Saturn.

(Hans Taffel.)

Die letzten unter der Harward-Linse wurde die Mitteilung veröffentlicht, daß der bereits 1899 entdeckten angeblich neue Mond des Saturn durch weitere photographische Aufnahmen völlig geöffnet sei, erwiderte alle, welche sich für die Harward-Linse interessierten, mit Spannung genaue Mitteilungen über diesen Satelliten und die Beobachtungen desselben. Diese sind nun durch Prof. W. H. Pickering gegeben worden,¹⁾ und man muß gestehen, daß sie die Interessen an dem neu entdeckten Satelliten des Saturn noch vermehrt haben. Denn wir verstehen jetzt zur großen Überraschung, daß der neueste Mond des Saturn in der entgegengesetzten Richtung wie die acht andern Monde und wie der Ring um seinen Hauptplaneten läuft. Daß im Sonnensystem ein Beispiel gefunden würde, in welchem unter den Monden, die eines Hauptplaneten umkreisen, verschiedene gerieten, dieser und

retrograde Bewegungen vorhanden, habe sich wahrscheinlich kein Astronom oder Kosmologe träumen lassen! Die Tatsache ist aber vorhanden, und man wird sich in den theoretischen Spekulationen über die Entstehung unser Sonnensystems damit abfinden müssen.

Wieder Entdeckungsgeschichte dieses merkwürdigen Tuatara anbelangt, so begann die Nachforschung nach demselben auf der Arquipelago der Harward-Inseln schon 1898, nachdem das 13-jährige Beobachtungs-Jahr ausgereicht worden. Mittels derselben wurden photographische Aufnahmen des Saturn und seiner Umgebung mit Expositionen von 1 Stunde gemacht. Die Untersuchung der Platten ergab indessen keine Spur eines noch unbekannten Saturnmonds, und Prof. Pickering kam zu dem richtigen Ergebnis, was nachträglich, mit diesem bestimmten nach neuen Saturnmonden zu suchen, da letztere, falls vorhanden, erst zu schwach sein, um damit photographisch dargestellt zu werden. Nachdem aber die neue 24-jährige Beob-

¹⁾ Vgl. Science, 1894, S. 226, 232.

²⁾ Annals of Harvard College Observatory, Vol. 148, P. 10.

teleskop aufgestellt war, wurde die Nachforschung von neuem begonnen und in den Jahren 1897 und 1898 eine Reihe von photographischen Aufnahmen unter wesentlich günstigeren Verhältnissen erhalten. Im März 1899 begann die vorläufige Untersuchung der Platen, und es ließ sich, daß auf einem davon, dem Platen vom 12. und 18. August 1897, sowie vom 16., 17. und 18. August 1898, die mit Expositionen von 1 bis 2 Stunden erhalten worden, ein kleines Objekt sichtbar war in beträchtlicher Entfernung vom Saturn, das sich mit demselben bewegte und daher anscheinend ein bis dahin noch unbekannter Mond des Saturn sein mußte. Aus den Festlegungen des Sternsystems gegen den Saturn war aber nichts weiter abzuleiten, als daß dieser Mond entweder in 490 oder in 496 Tagen den Saturn umkreise und die Ebene seiner Bahn schief zur Ebene der Ekliptik geneigt sei.

Prof. William Pickering war soicher von der Existenz des neuen Satelliten überzeugt, daß er demselben schon einen Namen gab. Von den schon bekannten Monden des Saturn haben früher drei die Namen, welche in der Mythologie Schwann des Saturn tragen, erhalten (Tethys, Dione, Rhea), zwei andere führen die Namen von Helden desselben (Phaeton, Japetus), so schenkt dem Entdecker des neuen Mondes der Name Phoebe für denselben am geeignetsten, da Phoebe der alten Mythologie zufolge ebenfalls eine Schwester des Saturn war.

Die photographischen Aufnahmen zum Zweck der Nachforschung nach einem noch unbekannten Monde des Saturn waren abgesehen zu einer Zeit gemacht worden, während Saturn nahezu stationär war. Zu anderer Zeit würde bei einer Exposition der Platte von 2 Stunden Dauer der Satellit, welcher sich mit dem Saturn bewegte, auf der Platte statt eines Punktes eine Linie hinterlassen haben, deren Bild aber dann voraussichtlich so lichtschwach sein würde, daß es nicht mit Sicherheit zu erkennen war. In der That zeigte sich auf drei Platten, die im

September 1898 aufgenommen worden, als Saturn sich nach am Himmel fortbewegte, nur sehr schwache und verwischene Andeutungen des Satelliten und oberhalb zu anderen Stellen, als man erwartet hatte. Letzteres ist leicht erklärlich, weil eine Folge der sehr erstreckten Bahn des Trabanten. So mußten mehrere Aufnahmen ausgeführt werden, bis Saturn wiederum stationär wurde, und auf diese Weise kam der August 1898 heran. Mittlerweile war aber der Saturn in der Region der Milchstraße gelangt, wo die große Menge der Sterne die Nachforschung ebenfalls schwierig macht, und tatsächlich führte die Untersuchung der Platten nach dem neuen Monde zu keinem Ergebnisse. Zahlreiche Platten wurden im Frühling und Sommer 1899 erhalten, aber auch auf diesen ward bei einer ersten Untersuchung nichts von dem Satelliten gefunden. In Prof. Pickering's Briefe der Gedanken ist, ob nicht schließlich die vier Sternpunkte auf der Platte vom 1898 durch Plattenfehler seien oder Strichen, die durch ein sonderbares Spiel des Zufalls sich in solcher Stellung zum Saturn gezeigt hätten, daß sie als ein Satellit desselben angesehen konnten. Indessen ergab eine neue Untersuchung der Platten, daß die Einstriche sicherlich keine Plattenfehler von waren. Prof. Pickering kam nun darauf, die Platten von 1898 in größerer Entfernung vom Saturn abzumachen, und man wurde auf einer derselben 37' westlich vom Saturn ein Sternchen gefunden, welches sich als der Satellit erwies.

Zur Untersuchung der Platten diente eine schwach vergrößernde Lupe. Deshalb zeigt die Platten gleichförmig von zwei klumpen Schichtüberzogen, welche aus dem kleinen Silberparaffinblech besteht, die von Entwickler darauf abgedruckt wurden. Mit Hilfe eines Mikroskops von 200facher Vergrößerung wurden diese kleinen Partikelchen einzeln sichtbar und man erkannte, daß sie unregelmäßig geformte, verschiedenen große Klumpen sind, die durchsichtige

Mittelpunkte besitzen. Die Größen haben einen Durchmesser von etwa 7_{1000} mm. Sie zeigen eine Färbung, die in Gruppen zu lagern, die dann als Körner erscheinen, die vielfach aus sehr kleinen Partikeln bestehen zu Stellen, wo kein Stern abgebildet ist. Ungefähr die Hälfte der Partikeln ist von der Körner herum regular gestreut. An denselben Stellen zeigen sich auf jedem Quadratmillimeter der Platte etwa 75-100 dieser Silberpartikeln. Eine Fläche von Hinmal von $7'$ im Durchmesser enthält auf der Platte etwa 4000 Partikeln. Die best definierten Sternchen, die mit dem Bruckentop erhalten werden, haben einen $7'$ oder bei langem Exponieren in einigen Fällen $7''$ oder $8'$ im Durchmesser. Die Bildgröße der schwächeren Sterne ist unabhängig von ihrer Helligkeit, letztere liefert nur die Dichte des Niederschlages der Silberpartikeln. Die Fläche, welche auf der Platte das Bild eines vollständig hellen Sternes 15. Größe flächig des Trabant Hyperion bedeckt, enthält ungefähr 4000 Partikeln, in großen dunklen Körnern zusammengefaßt, von denen jedeshundert Partikeln enthält. Diese Körner sind durch Intervalle getrennt, welche gegen das Zentrum des Bildes kleiner werden, wo sie übereinander lagern, aber sie wachsen gegen den Rand des Bildes hin. Auch findet man vielfach die Distanz dieser Körner, die ziemlich groß und dunkel sind.

Im Falle auch an einer schwächeren Stern der 18. oder 17. Größe, wie Phoebe, handelt, erscheinen die Körner kleiner und heller, und das ganze Bild enthält höchstens 1100 bis 2000 Partikeln. Die unregelmäßige Gruppierung des leichten Niederschlages der Körner in den Bildern der schwachen Sternchen Gegensatz zu der Silberablagerng, welche die Bilder heller Sterne sehr gleichmäßig erscheinen läßt, beweist, daß beispielsweise bei zwei Stern 15. Größe auf der nämlichen Platte die Bilder in Gestalt und Größe völlig verschieden sind, je nach der Lage

von fest den Being ihrer Durchmesser verdrängen anderen Körner. Aus solchen zufälligen Umständen und der unvollständigen Lichtempfindlichkeit des menschlichen Auges der Platte resultiert auch die Erscheinung, daß eine sehr lichtschwache Sterne bei photographischen Aufnahmen vollständig verschwinden, ohne es tatsächlich zu sein. Diese Verhältnisse haben beim Anbrechen und Klassifizieren des lichtschwachen Trabanten viel mehr Mühe verursacht als die zufälligen Defekte der Platte. Während des Frühjahrs und Sommers 1900 wurde ein besonderer Apparat um photographischen Zwecke benutzt, welcher es ermöglichte, die Bewegung des Planeten auf der Platte zu kompensieren, so daß die Fixsterne als kleine Punkte erschienen, während jedes Objekt von gleicher Bewegung wie Saturn sich als wandernde Platte darstellte. Da der Trabant Phoebe sehr in seiner Bahn niemals um mehr als 60" täglich besonders bewegt, so erscheint er nicht auf der Platte als wanderlicher Fleck.

Um das Aussehen der Platten, auf denen der Trabant gefangen wurde, zu zeigen, gibt Prof. William Pickering vergrößerte Lichtdrucke der Originalnegative. Densities und auf Tab. I reproduziert. Phoebe steht auf jeder der sechs Aufnahmen zwischen den zwei Vorhakenstrichen, die man nahe der Mitte sieht. Fig. 1 ist die Vergrößerung eines Negatives, welches am 1. August 1899 erhalten wurde. Saturns scheinbare Bewegung war damals noch, nämlich 0.34" pro Stunde. Die Exposition der Platte dauerte 185 Minuten, und in der Ecke unten links kann man die Bilder von Hyperion und Japetus in Gestalt von Ringförmigen, nahezu partikeln Platten sehen. Phoebe ist dagegen so klein, daß sie kaum unterschieden werden kann als höchst schwache Linie, deren Enden von zwei schwachen Sternchen überlagert werden. Fig. 2 gibt den Trabanten schon deutlicher erkennen. Das Fotothe war bei der Aufnahme auf die Bewegung des Saturn negativiert,

wechselte die Flutkurvenbildung (siehe Flutkurve erschienen. Die anderen vier Abbildungen wurden erhalten, als Saturn nahezu direkt vor uns, am 28., 29., 30. und 31. August 1900. Seine scheinbare Bewegung betrug damals zwischen 0.69' und 0.69' und die Expositionsdauer schwankte zwischen 96 und 120 Minuten. Die Flutkurven erschienen auf den Platten merklich rund und die tägliche Bewegung des Trabanten ist deutlich zu verfolgen.

Am 2. und 3. September 1902 waren 66 Aufnahmen am Brachtenlopp angestellt worden, und auf 42 davon ist der Trabant gefangen worden. In den Monaten April, Mai und Juni 1904 wurden ebenfalls photographische Aufnahmen erhalten, aber auf diesen war der Mond an den erwarteten Stellen nicht zu finden, wohl aber in einer Position, die mit der früher vorausgesetzt angenommenen Bahn nicht übereinstimmte. Verschiedene Hypothesen wurden zur Erklärung dieser Anomalie aufgestellt und wieder verworfen, bis Prof. Pickering auf den Gedanken kam, der Satellit könne vielleicht eine rückwärtige (retrograde) Bewegung um den Saturn besitzen. Diese Vermutung erwies sich bald als richtig und ist als Tatsache festgestellt worden. Aus zahlreichen Messungen auf den Platten haben sich weiter folgende Bahnelemente des neuen Saturnmonds ergeben:

Halb-große-Achse Saturn 1870000 km

Exzentrizität der Bahn: 0.22

Neigung der Bahnsebene gegen die Ekliptik 1.1°

Neigung der Bahnsebene gegen die Ebene der Saturnringe 6.2°

Länge des aufsteigenden Knotens betr.

Länge des Perisaturniums 295.1°

Epochen, in welcher der Satellit im Perisaturnium war: 1900 März 26 f. u. 26. v. Gr. Unterabstand: 168 1/2 Tage.

Der Exzentrizität von 0.22 ist größer als die der Bahn irgend eines andern Himmels oder Himmelskörpers und wird nur von derjenigen einiger wenigen Planetensatelliten überboten. Die Helligkeit von Phoebe ist sehr gering, etwa zwei- bis dreihundertmal unter dem des Saturnmonds Hyperion, der mit einer 14. Größe ist. Auf dem Saturn selbst kann Phoebe bei voller Beleuchtung nur als Stern 5.5 bis 6.2 Größe erscheinen, je nach der Stellung zu ihrer Bahn. Der Durchmesser von Phoebe kann nicht bestimmt sein, nach der Helligkeit zu schließen, dürfte er etwa 300 km betragen.

Die große Merkwürdigkeit dieses Satelliten ist seine rückwärtige Bewegung um den Saturn, während die acht übrigen Monde dieses Planeten vorwärts gehen. Zur Erklärung dieser Erscheinung greift Prof. Pickering auf eine bereits früher von ihm geäußerten Überlegung zurück, in welcher er die Ursache der Neigungen der Umlaufbahnen der Planeten gegen ihre Bahnebenen zusammengebracht hat.¹⁾ Nach seiner Anschauung rotierte der Planet Saturn in ganz kurzer Zeit, als Phoebe sich bildete, ebenfalls in retrograder Richtung. Saturn war damals eine sehr junge, abgeplattete Nebelmasse, die sich bei der Bahn des neuen Satelliten ausdehnte. Durch die fortwährende Einwirkung der Sonne auf diesen großen Rotationskörper wälzte die Ebene, in der die Umdrehung stattfand, sich nach und nach drehte und dadurch entstand diese retrograde Umlaufbewegung unserer. Dies hat sich, nach Prof. Pickering's Meinung, beim Saturn vor Abtrennung des achten Mondes vollzogen.

¹⁾ Näheres findet sich mitgeteilt im Stern 1900, S. 90.

Neuer Komet 1894 d. Am 13. December 1894 hat Giacobini in Nizza einen schwächlichen Kometen entdeckt, dessen Stellung am Himmel war AR 243° 40' D + 23° 28'. Der Komet ist seitdem auch anderwärts gesehen worden, und nach Prof. Wulfs Annahme am 19. December zeigte er einen kurzen Schwanz und ausströmungsreichen Kern. Seine Helligkeit war gleich der eines Sterns 11. Größe.

Vermischte Nachrichten.

Die große Rille der Hoofland-schaft Arndhausen (Tafel II.) Nahe bei dem Doppelkriester Arndhausen, westlich von der Mündung der Hoochschelde, beginnt eine der wichtigsten und markwürdigsten Rillen des Hooflands. Sie wurde am 26. Juni 1885 von Schiller entdeckt, aber erst später genauer von Lehmann, Grotthausen und Meier getroffen. Auf Tafel II ist der größte Teil dieser Rille nach den Beobachtungen des westen-bornen Salinographen H. Krieger in Triest dargestellt, so wie sich dem dieselbe und ihrer Umgebung am 28. Januar 1885 zeigte. Diese Darstellung enthält sehr viel mehr Detail als irgend eine bis jetzt bekannt gewesene. Die Rille beginnt westlich (links) am nordöstlichen Abhänge des doppelten Kriester Arndhausen und wird nach einem Laufe von zwei Meilen von einer schwachen links ein-mündenden Rille getroffen, die ich zuerst am 21. Januar 1885 sah. Krieger sah am 28. Januar 1885, daß diese Rille die große Rille schräg durchschneidet und sich westwärts nach fünf Meilen weit durch das Hügelgelände rechts fortsetzt. Darauf wird die Hauptfille breiter und tiefer und nimmt zwei Meilen weiter von links eine kleine Seitenfille auf, die nach Kriegers Darstellung mehr in einem kleinen Kriester überfließt und sehr langwierig aufsteigt in einem Meilen weiter trifft die Hauptfille auf einen Hügelzug. Dessen durchschneidet sie nach Krieger in einer höchst schwachen Schachtel und tritt nach weiteren drei Meilen auf ein Hügelgebirg (Arndhausen), das ihren Lauf weiterführt. Aber nur auf einer kurzen Strecke, denn innerhalb desselben beginnt sie schon wieder und steilwärts (rechts) in großer Breite und Tiefe fort, bis sie ebenfalls auf ein geländiges Terrain trifft, in welchem, links von der Rille, der Kriester Silber-schlag als

der Rille. Vor dem Ostabhänge des ersten Bergzuges wird die Rille schach-tig unterbrochen, oder vielmehr sie fließt in eine sehr schmale Schachtel aus. Südlich (rechts) von dieser beginnt im Gebirge eine der ziemlich parallel und ebenfalls sehr schmale Schachtel die sich ebenfalls bald verbreitert und durch die Ebene als mächtige Furche, gewissermaßen als ununterbrochene Fort-setzung des westlichen Teils der Rille zieht. Im Fernsehen ist es nur höchst selten möglich, diese beiden und nebeneinander fließenden Schachteln zu sehen, man muß vielmehr, die Rille unter sich, nur im Gebirge unteruchen, jenseits des östlichen Abhanges des letzteren eine weitere fort. Sie nimmt hier noch eine kleine Rille auf, die Krieger ent-deckte und in der Abbildung darstellte, und mündet in einem (auf der Tafel nicht mehr zur Darstellung gelangenden) län-glichen kleinen Kriester. Die Kriegerische Darstellung ist vorzüglich und kann als Grundlage für die Beschreibung weiterer feiner Details an großen Figuren dienen.

De Krieger.

Beobachtung der Fressen des 1886. Da in diesem Jahre außer un-gewöhnlichen günstigen Bedingungen an-geordnete Wiederkehr der Augenuntersuchung wurde von mir in sechs Nächten und zwar am 5., 7., 8., 11., 14. und 16. je einmal von 9½ bis 15½ beobachtet. Da mir am Gebirge in der Person meines Bruders ein sehr starker, der herabstufte die Schriftgröße der Beobachtung über-nahm, während ich nur die Entzogen in die Struktur beobachtete, hatte die Anzahl derjenigen Methoden, die am un-ternommenen einzigen sind, eine verhältnis-mäßig geringe sein. Doch erforderte die Beobachtung insbesondere am Tage des Maximums, wo nämlich 12 bis 4 Sten-tengruppen per Minute liefen, ganz besondere Aufmerksamkeit, so daß bei dieser Arbeit die Genauigkeit und Sicherheit der Be-obachtungen sehr hoch war.

Seit 1885. Heft 1.

1

Es wurden beobachtet:

von 5.	44	Meteore, darunter 6 Perseiden,
„ 6.	51	„ „ „ 8 „
„ 10.	104	„ „ „ 15 „
„ 11.	220	„ „ „ 35 „
„ 12.	113	„ „ „ 10 „
„ 16.	94	„ „ „ 4 „

Zusammen 681 Meteore, darunter 71 Perseiden, 8 L. u. 128.

Das Maximum fiel auf den 11. August 1871 bis 14¹, wo 51 Sternschnuppen fielen. Am meisten blüht nach sich von dem Perseidenstrome der bei γ beginnend mit 20, der bei γ mit 19, der bei α mit 11 Meteoren. Die Radianten bei α und β lieferten 8, 6 resp. 2 Meteore. Sehr blüht war auch im Radiant bei γ bei 3 Andromeda mit 44 Meteoren, dann bei δ Draconis, der allein am Tage des Maximums achtzwanzigmal 121 Sternschnuppen mit ihr größtmittleren aperten ließ. Ferner traten einflußreich zwischen α und γ Cassiopeia 44 und bei δ bei γ Cygn 16 Sternschnuppen. Die Strahlungspunkte bei δ Draconis und α Cassiopeia waren zugleich schwächer als in früheren Jahren. Wir zählten 34 zur ersten, 74 zur zweiten, 109 zur dritten, alle andere zu niedrigerer Ordinalklasse. Der Farbe nach waren 18 hellgrün, 4 grün, 2 gelblich und 2 weißgrün, alle andere weiß. Die sichtbarsten Bahnen waren größtentheils geradlinig, wenige stark gekrümmt. Einige hochgezogene Phasenoide hinterließen einen Lichtstiel, der jedoch nur länger als 10 Sekunden sichtbar war. Im ganzen aber war die Beobachtung der dinstägigen Augustmeteore die glänzendste mit der bisherigsten Beobachtungserfolgkeit.

Gideon Ringler, und vor.
Windlinges bei Wien

Solide. Am Kandel schreibt man aus: Am 16. November zwischen δ und γ des Fuhrsterns eine hellgelbe Beize und etwas zwischen δ Fuhrstern und γ S40. Der Bahn war dann nach dem Wulder zu umgebogen. Die Dauer war 1 bis 1 $\frac{1}{2}$ Sekunden; die Helligkeit nicht ganz so groß wie Jupiter. Die Zeit war ca. 9 $\frac{1}{2}$ (= stündl.)

Der Backische Komet ist bei seiner dreimaligen Wiederkehr von Prof. Wolf auf dem Astrophysikal. Observatorium Königsberg physikalisch aufgefunden worden sehr dem Orte, wo er nach der Voranberechnung stehen sollte. Nach einer Aufnahme vom 21. Oktober war die Gesamtelligkeit des Kometen etwa demselben eines Sternes 175 Größe. Ein nachwärts gerichteter Schweif war auf der Platte schwach angedeutet. Prof. Abbe, Direktor der Sternwarte des Collegio Romano in Rom, hat den Kometen mittlern 14 $\frac{1}{2}$ helligen Refraktar ebenfalls am 28. Oktober gefunden. Das Gitter war überaus lichtschwach. Auf der Sternwarte zu Bamberg hat Dr. Hartung den Kometen am 28. Oktober gesehen. Er erschien verwaschen, 10 $\frac{1}{2}$ im Durchmesser mit schwacher Verlebung in der Mitte.

Der Doppelstern Antares. Dieser helle Stern in den Zwillingen wurde schon 1710 von Pound als doppel erkannt. Der Hauptstern ist 2,7, der Begleiter 3,7 Größe, und beide sind etwas grünlichweiß. Mit einem Perstrahl von 36 $\frac{1}{2}$ Öffnung ließ man sich bei 38 facher Vergrößerung beide Sterne getrennt, und W. Herschel beschrieb dieses Object mit Recht als eines der schönsten seiner Art am ganzen Himmel. Angaben der Stellung des Begleiters gegen den Hauptstern reichen über Herschels Zeit hinaus, doch begannen die Messungen des Positions winkels erst mit diesem und der Distanz des Begleiters vom Hauptstern erst mit W. Struve (1826). Seitdem ist die Stellung des Begleiters sehr oft gemessen worden, und von 1719 bis 1894 hat derselbe bereits einen Bogen von 133 $^{\circ}$ um seinen Centralstern beschreiben, während der scheinbare Distanz von 4,5 $''$ bis auf 3,8 $''$ allmählich abgenommen hat. Trotzdem ist die Bahn des Begleiters um den Hauptstern noch sehr ungenau bekannt. John Herschel glaubte 1836 auf eine Umlaufzeit des Begleiters von 253 Jahren schließen zu können, später kam Theil auf eine Bahn mit 987 Jahren Umlaufdauer. Lindblad hat W. Dawberd eine

aus Bahnberechnung unternommen und findet als wahrscheinlichste Werte der Bahn Elemente folgende:

Umlaufdauer 340 23 Jahre,
halbe große Achse der Bahn 5750",
Perihelionst 64400,
Zeit des Perihelion 1869.12.

Auch diese Bahnwerte sind nicht sehr genau, besser wurden sich wohl erst nach vielen Jahrzehnten berechnen lassen. Nach der oben angegebenen Bahn wird der Begleiter sich in den nächsten Jahrzehnten wieder langsam dem Hauptstern nähern.

Über eine merkwürdig niedrige Sternschnuppe berichtet E. Cohn vom Astrophysikal. Observatorium Königstuhl-Hellbergfolgendes: Am 12. Aug. 1904 machte ich um 5 1/2 stündige Aufnahme des Andromedanebels und zwar gleichzeitig mit dem zwei-köpfigen Vogelflinderobjektiv, die dem kräftigen Refraktor aufmontiert sind. Während der Aufnahme durchliefen eine ziemlich helle Person die Gesichtsfeld und wurde auf beiden Platten festgehalten. Eine Sternschnuppe ist für den photographischen Astronomen gewöhnlich ein unwillkommenes Objekt, da sie die schwachen Platten verderben kann. Diese Sternschnuppe aber hat großes Interesse, weil sie trotz des geringen Abstandes der zwei photographischen Objektive voneinander eine beträchtliche Parallaxe zeigt. Schon mit bloßem Auge erkennt man auf den beiden Platten eine ganz merkliche Verschiebung. Im Sternkomparator scheint die von der hinteren Linsen-Spur weit vor der Ebene der Fronten-

Die Spur ist geradlinig, dagegen krügt sie in der dritten Dimension eine starke Krümmung so, daß die hintere Spur gegen den Beobachter gebogen ist. Prof. Weiß fand am Sternkomparator eine weitere gewaltigste Verschiebung von 25 12". Eine Nachmessung am Heliostatischen Meßapparat bestätigt das Resultat und gibt für verschiedene Punkte der Linsigen Parallaxen von 28 26", 27 31", 27 28", 25 26", 17 34", 19 00".

Die Bahn der Sternschnuppe-Vogelflinder 1-Vogelflinder II wird von dem Abstand der beiden Objektive gebildet, deren Mittelpunkt 14 cm voneinander entfernt sind. Daraus folgt für die Abstände der Sternschnuppe entsprechend der sechs angegebenen Werte der Parallaxen 4.66, 3.78, 5.05, 5.67, 6.52, 14.61 km.

Der Entfernung des Explosionspunktes kann nicht direkt festgesetzt werden, da er außerhalb des Gesichtsfeldes der beiden Objektive liegt. Wohl aber legt er sich auf der Platte der linken, am Prisma beleuchteten Kamera und befindet sich in der Richtung der abnehmenden Parallaxen, also in großer Entfernung vom Beobachterpost. Derselbe ergibt sich durch Extrapolation mit obigen Werten zu 35.5 km. Die Spur verläuft von $\alpha = 69^{\circ} 33' 6''$ und $\delta = +44^{\circ} 17'$ nach $\alpha = 236^{\circ} 52' 2''$ und $\delta = +35^{\circ} 28'$, dem Explosionspunkt, der sich in zwei, bis zur zweiten Größenklasse verschwundenen Maximen zu erkennen gibt, der unmittelbar schon wieder vergeht. Das erste ist etwas länger als das zweite.

Erklärung der Abbildungen.

In Oberrichtungung mit den Gegenständen in der astronomischen Schalllinie werden im oberen Hauptbild folgende Abbildungen für die durch die anderen anderen Apparate und Augenstellung angegeben:

" Oben" = Haupt, " Unten" (Hauptbild).

" Links" = Haupt, " Rechts" (Zusatzbild).

+ = positiv, — = negativ.

A. R. Rotationswinkel, B. Drehwinkel.

A. Drehung in Gegenrichtung, p. Drehwinkel, i. Drehwinkel der Linsenachsen in Schallrichtung des Hauptbildes.

Astronomischer Kalender für den Monat März 1908.

Sonne				Mond			
Mittlere Berliner Mittag				Mittlere Berliner Mittag			
Monat Tag	Zeitgl. M.Z. — W.Z.	Rektascension	Declination	Rektascension	Declination	Mond im Meridian	
1	+21 16 57	h m s	° ' "	h m s	° ' "	h m	
2	21 16 57	22 49 48-18	- 7 46 10-1	12 51 58-19	-12 29 59	21 50-1	
3	21 16 58	22 50 49-19	- 7 35 46-5	13 2 40-19	-12 38 18-2	22 5-5	
4	21 17 00	22 51 50-20	- 7 25 43-0	13 34 19-19	-12 47 17-9	22 51-2	
5	21 17 03	22 53 5-21	- 7 16 40-9	13 56 57-20	-12 56 47-9	22 57-7	
6	21 17 06	22 54 10-22	- 7 10 42-0	14 19 35-20	- 3 10 11	—	
7	21 17 10	22 55 11-23	- 7 05 34-0	14 42 13-21	- 3 21 18-0	1 12-0	
8	21 17 15	22 56 12-24	- 7 01 31-7	15 4 51-21	- 3 40 13-0	1 24-0	
9	21 17 20	22 57 13-25	- 6 58 28-6	15 27 29-22	- 3 59 11-0	1 47-0	
10	21 17 25	22 58 14-26	- 6 56 27-0	16 10 7-22	- 4 18 7-7	2 10-1	
11	21 17 30	22 59 15-26	- 6 55 26-9	16 32 45-23	- 4 37 5-0	2 33-0	
12	21 17 35	23 00 16-27	- 6 55 27-1	17 15 23-23	- 4 56 42-0	2 57-7	
13	21 17 40	23 01 17-28	- 6 56 28-5	17 38 1-24	- 5 15 39-0	3 21-0	
14	21 17 45	23 02 18-29	- 6 57 30-0	18 20 39-24	- 5 34 36-0	3 45-1	
15	21 17 50	23 03 19-30	- 6 58 31-5	19 3 17-25	- 5 53 33-0	4 10-0	
16	21 17 55	23 04 20-31	- 6 59 33-0	19 25 55-25	- 6 12 30-0	4 35-0	
17	21 18 00	23 05 21-32	- 7 00 34-5	20 8 33-26	- 6 31 27-0	5 0-0	
18	21 18 05	23 06 22-33	- 7 01 36-0	20 31 11-26	- 6 50 24-0	5 25-0	
19	21 18 10	23 07 23-34	- 7 02 37-5	21 3 49-27	- 7 9 21-0	5 50-0	
20	21 18 15	23 08 24-35	- 7 03 39-0	21 26 27-27	- 7 28 18-0	6 15-0	
21	21 18 20	23 09 25-36	- 7 04 40-5	22 29 5-28	- 7 47 15-0	6 40-0	
22	21 18 25	23 10 26-37	- 7 05 42-0	23 31 43-28	- 8 6 12-0	7 5-0	
23	21 18 30	23 11 27-38	- 7 06 43-5	24 34 21-29	- 8 25 9-0	7 30-0	
24	21 18 35	23 12 28-39	- 7 07 45-0	25 36 59-29	- 8 44 6-0	8 5-0	
25	21 18 40	23 13 29-40	- 7 08 46-5	26 39 37-30	- 9 3 3-0	8 30-0	
26	21 18 45	23 14 30-41	- 7 09 48-0	27 42 15-30	- 9 22 0-0	9 5-0	
27	21 18 50	23 15 31-42	- 7 10 49-5	28 44 53-31	- 9 40 57-0	9 40-0	
28	21 18 55	23 16 32-43	- 7 11 51-0	29 47 31-31	- 10 0 54-0	10 35-0	
29	21 19 00	23 17 33-44	- 7 12 52-5	30 50 9-32	- 10 20 51-0	11 30-0	
30	21 19 05	23 18 34-45	- 7 13 54-0	31 52 47-32	- 10 40 48-0	12 25-0	
31	21 19 10	23 19 35-46	- 7 14 55-5	32 55 25-33	- 11 0 45-0	13 20-0	

Planetenkonditionen 1908.

Monat	Tag	Zeitgl.	Planet	Kondition
1	1	21 16 57	Merkur	in größter südlicher heliocentrischer Breite.
2	4	21 16 57	Jupiter	in Konjunktion mit dem Monde.
3	15	21 17 00	Venus	im Perihel.
4	17	21 17 03	Merkur	in Konjunktion mit dem Monde.
5	—	21 17 06	Kometenperiode	
6	19	21 17 10	Jupiter	in Konjunktion mit dem Monde.
7	23	21 17 15	Venus	in Opposition mit dem Monde.
8	27	21 17 20	Merkur	in oberer Konjunktion mit der Sonne.
9	28	21 17 25	Merkur	im aufsteigenden Knoten.
10	29	21 17 30	Jupiter	im Zeichen des Widder. Vollmondtag.
11	30	21 17 35	Venus	im größten Glanz.
12	1	21 17 40	Merkur	in Konjunktion mit dem Monde.
13	2	21 17 45	Uranus	in Quadratur mit der Sonne.
14	3	21 17 50	Merkur	im Perihel.
15	4	21 17 55	Neptun	in Quadratur mit der Sonne.
16	14	21 18 10	Venus	in größter südlich heliocentrischer Breite.
17	27	21 18 25	Saturn	in Konjunktion mit dem Monde.

Planeten Ephemeriden.

Mittlere helioz. Abtäg.							Mittlere helioz. Abtäg.							
Jahr Tag 2	Rektascension			Declination			Jahr Tag 2	Rektascension			Declination			Olymp. Standard- Zeit
	h	m	s	°	'	"		h	m	s	°	'	"	
Merkur							Saturn							
März 1	22	45	19.68	—	5 56	45.0	22	54	54.94	—56	4 56.0	22	54	
10	23	59	57.54	—	6 57	11.0	23	53	47.57	—55	4 57.1	23	53	
15	25	55	1.93	—	1	55.0	23	52	1 25.15	—55	5 54.7	23	52	
20	28	52	20.46	+	3 52	21.0	23	52	5 58.58	—55	5 58.58	23	52	
25	3	2	43.60	+	8 50.0	0.0								
30	5 57	0 55	—	—	14.0	4 57.0								
Venus							Uranus							
März 1	1 46	8 55	—	—	15 56	54.0	1	46	8 55	—56	11 56.5	1	46	
10	1 49	23 54	—	—	10 56	52.0	10	34	37 5 00	—55	11 56.5	10	34	
15	2 12	10 54	—	—	15 57	57.0	12	34	37 50 57	—55	11 57.0	12	34	
20	3 39	27 56	—	—	15 58	54.0	22	35	10 52.58	—55	11 57.0	22	35	
25	5 36	55 11	—	—	15 58	55.0								
30	7 57	55 55	—	—	15 57	5 5								
Mars							Neptun							
März 1	14 18	10 56	—	—	17 58	15.0	14	18	10 56	—55	10 56.5	14	18	
10	15 55	37 43	—	—	17 57	11.0	15	55	37 43	—55	10 56.5	15	55	
15	16 56	58 59	—	—	17 57	5 5	16	56	58 59	—55	10 56.5	16	56	
20	18 28	57 59	—	—	17 57	5 5	18	28	57 59	—55	10 56.5	18	28	
25	21 52	14 54	—	—	17 58	5 5	21	52	14 54	—55	10 56.5	21	52	
30	24 59	10 57	—	—	17 58	52.0	24	59	10 57	—55	10 56.5	24	59	
Jupiter							Mondphasen 1925.							
März 1	1 47	55 54	—	—	16 57	54.0	h			m				
10	1 50	0 55	—	—	16 57	54.0	März 1	12	11.0	Neumond				
20	2 5 39 59	—	—	—	16 57	54.0	11	25	5.01	Erster Viertel				
30	3 12 49 55	—	—	—	16 57	54.0	20	57	47.0	Vollmond				
							27	18	29.4	Letztes Viertel				
							7	26	—	Mond im Erdkeim				
							24	0	—	Mond im Erdkeim				

Sonneneinstrahlung durch den Mond für Berlin 1925

Monatstag	Sonnen- schein	Orbit	Fläche mittler. Zeit		Anzahl mittler. Zeit	
			h	m	h	m
März 11	7 Tage	1.0	11	3.0	11	4.0
12	7 Tage	1.1	11	4.0	11	4.1

Lage und Größe des Schattenringes auf der Erde März 1925
s. s. 33

März 11. Mittlere Größe des Schatten-
Schattenringes
Hauptachse der Sonne
Polarachse

22° 27' 1.10"
22° 28' 1.10"
22° 28' 1.10"
22° 28' 1.10"

Stellungen der Jupitermonde im Juni 1905.



Stellungen am 7h 10m für den Auftrieb im astronomischen Fernrohr.

Tag	Wert	Ort.
1	0	10 - 8 5
2	0	0 1 2
3	4	1 1 0
4	1	0 2 1 - 2
5	0 3	4 1 0
6	4 0	0 1
7	- 2 1 - 2	0 - 2
8	0 1	0 4 1
9	0	0 1
10	0	1 - 4
11	0	1 1 - 1
12	0 1	1
13	1 1	0 1 1
14	0	1 1
15	0	1 1
16	0	1 1
17	0	1 1
18	0	1 1
19	0	1 1
20	0	1 1
21	0	1 1
22	0	1 1
23	0	1 1
24	0	1 1
25	0	1 1
26	0	1 1
27	0	1 1
28	0	1 1
29	0	1 1
30	0	1 1
31	0	1 1

Erscheinungen der Jupitersonde. Die sämtlichen Angaben über die Erscheinungen der Jupitersonde beziehen sich auf mittlere Zeit von Greenwich. Die Trabanten sind der Reihenfolge ihrer Abstände vom Jupiter nach I bis IV benannt. Die vier größten Figuren zeigen die Stellung jedes Mondes mit Bezug auf den Jupiter für den Augenblick der Verflüchtung (d. h. der Wiedererschließung) ist r nicht angegeben, so kann der Anblick aus dem Schatten nicht beobachtet werden. Ferner bedeutet bei den nachfolgenden Zeitangaben:

- Er D das Verschwinden des Trabanten im Schatten des Jupiter,
- Er E den Austritt des Trabanten aus dem Schatten des Jupiter,
- Oc D das Verschwinden des Trabanten hinter der Jupiterscheibe,
- Oc E den Wiedereintritt desselben sichtlich neben der Jupiterscheibe,
- Tr I den Eintritt des Trabanten vor die Jupiterscheibe,
- Tr E den Austritt des Trabanten aus der Jupiterscheibe,
- Sh I den Eintritt des Trabantenschattens auf die Jupiterscheibe,
- Sh E den Austritt des Trabantenschattens aus der Jupiterscheibe.

Es sind nur diejenigen Erscheinungen der Jupitersonde aufgeführt, welche sich ereignen, wenn Jupiter zu Greenwich über und die Sonne außer dem Horizont steht. Um die Momente dieser Erscheinungen nach meteorologischen Zeit zu finden, hat man nur nötig, T^h zu den angegebenen Zeitpunkten zu addieren.

März I. I. Sh. I. 17.40. II. Er. E. 17.40.20. I. Tr. E. 17.40. I. Sh. E. 17.40. März II. II. Tr. I. 17.40. II. Sh. I. 17.40. II. Tr. E. 17.40. März 3. II. Er. E. 17.40.20. März 4. III. Oc. E. 17.40. I. Tr. I. 17.40. I. Sh. I. 17.40. III. Er. D. 17.40.20. I. Sh. E. 17.40. März 5. I. Er. E. 17.40.20. März 6. II. Tr. I. 17.40. III. Oc. D. 17.40. März 7. I. Er. E. 17.40.20. März 8. I. Er. E. 17.40.20. März 9. I. Oc. D. 17.40. März 10. I. Oc. D. 17.40. März 11. I. Tr. E. 17.40. I. Sh. E. 17.40. März 12. III. Sh. I. 17.40. III. Sh. E. 17.40. März 13. II. Tr. E. 17.40. II. Sh. I. 17.40.

Saturn und seine Monde sind im Januar, Februar und März 1905 nicht sichtbar.

Lehrere größere und kleinere

astronomische Fernrohre

sind sehr preiswürdig zu verkaufen. Reflektanten wollen sich wegen älterer Mitteilungen zu recht wenden

Prof. Dr. Hermann J. Klein in KMa-Lindenthal.



SIRIUS.

Zeitschrift für populäre Astronomie.

Centralorgan für alle Freunde und Förderer der Himmelskunde.

Herausgegeben

unter Mitwirkung hervorragender Fachmänner und wissenschaftlicher Zeitschriften

von Prof. Dr. Hermann J. Müller in Köln.

Februar 1905.

„Wissen und Erleben und die Freude und die
Bewertung der Menschheit.“ — Kienow.

Jeden Monat 1 Heft. — Jährlich 12 Mk.

Verlag von EDUARD HEINRICH MAYER in Leipzig.

INHALT: Die Wirkungen der Energiestrahlung der Sonne auf die Weltkörper ihres Systems. S. 34. — Die Sonnenflecken. (Feldt.) S. 38. — Die Komma des letzten Sommers. (Feldt.) S. 40. — Die Frage geschlossener kosmischer Mikrobi der Meteoiten von Schwann, Janssen und Jorssen. S. 37. — Das veränderliche Stern f im Capricorn. S. 39. — Beobachtungen mehrerer hellen veränderlichen Sterne in Teleskop. S. 40. — Kosmische Meteoriten. S. 41. — Astronomischer Kalender. S. 42. — Mitteilungen der Japansmonat von April 1905. S. 43. — Untersuchungen der Japansmonat 1904. — Mitteilungen der Saturnmonat H15. S. 44.

Die Wirkungen der Energiestrahlung der Sonne auf die Weltkörper ihres Systems.

Die von verschiedenen Physikern in neuerer Zeit ausgeführten Untersuchungen über die durch Ausstrahlung in den Weltraum strömende Energie der Sonne führen unter Zuordnung des von Stefan aufgestellten Strahlungsgesetzes, für dessen Richtigkeit so vieles spricht, zu einer Reihe von Folgerungen, die sehr von unseren bisherigen Anschauungen abweichen. Prof. J. H. Poynting hat auf der jüngsten Versammlung der British Association eine gewaltige Darlegung der heutigen Verhältnisse gegeben und in allgemein verständlicher Form die Folgerungen daraus entwickelt. Er ging von den frühesten Versuchen Pouillet aus, um die Wärmestrahlung der Sonne zu messen. Diese Versuche wurden an

gestellt, indem ein Bündel Sonnenstrahlen auf ein Gefäß geleitet wurde, das Wasser füllte, und aus der Schmelzluft, mit der die Temperatur des Wassers stieg, wurde auf die Energie der Sonnenstrahlung geschlossen. Dieser früheste Versuch mußte indessen zu sehr ungenauen Ergebnissen führen, weil dabei der von der Erdatmosphäre absorbierter Teil der Sonnenenergie nicht in Rechnung gezogen werden konnte und es überhaupt sehr schwer und verschiedenartiger anderer Versuche bedurfte, um die ersten Grade der Sonnenenergie einigermaßen näher zu verstehen. Gegenwärtig dürfen wir annehmen, dass ein großer Fehler befürchten zu müssen, daß die Sonnenenergie in der Entfernung der Erde von der Sonne und

Heft 1905. Heft 2.

bei von dem Einflusse unserer Atmosphäre bei verschiedenen Auflagen der Strahlung so groß ist, daß sie ausreicht, um pro Quadratmeter 1 g Wasser in 24 Sekunden um 1°C . zu erwärmen. Da in der Erdentfernung die Oberfläche einer um die Sonne als Zentrum beschriebenen Kugel 46000 mal so groß ist als die Oberfläche der Sonne selbst, so verteilt sich die Energie von 1 gsm der Sonnenoberfläche auf 46000 gsm der Erdoberfläche, sie beträgt also auf der Sonne selbst pro Quadratmeter 46000 mal mehr oder 920 Kalorien pro Sekunde. Nach den Untersuchungen von Karthaus sind aber eine vollständige (schwarze) Oberfläche 920 Kalorien pro Sekunde aus, wenn ihre Temperatur 6250° C. beträgt, und wir dürfen daher mit einem hohen Grade von Annäherung annehmen, daß die strahlende Oberfläche der Sonne eine Temperatur von rund 6000° C. besitzt. Nehmen wir nun, Blott Poynting legt, einen kleinen schwarzen, die Wärme gut leitenden Körper und setzen ihn in die Entfernung der Erde von der Sonne der Strahlung der letzteren aus. Dieser Körper möge 1 gsm Oberfläche haben, er empfangt dann pro Sekunde von der Sonne $\frac{1}{46}$ Kalorien. Bald wird er sich auf eine Temperatur erwärmen, bis der er abgestrahlte Energie abgibt, also er kühlt, und wegen seiner Kleinheit wird die Wärme schnell durch ihn von der einen Seite zur andern fließen, so daß er überall nahezu von derselben Temperatur sein wird. Eine Kugel von 1 gsm im Quadrat hat eine Oberfläche von 1 gsm, so daß sie von jedem Quadrat zentimeter ihrer Oberfläche $\frac{1}{46}$ Kalorien pro Sekunde abgibt. Nach den Untersuchungen von Karthaus tritt dies ein, wenn die Temperatur der Kugel 360° über dem höchsten Nullpunkt, also 27° C. über dem Gefrierpunkte des Wassers liegt.

Wir wollen nun sehen, welchen die Temperatur der kleinen, schwarzen Kugel in anderer Abstände von der Sonne sein wird. Es ergibt sich, daß, da die

empfangene Wärme und also auch die abgegebene sich proportional verändert wie das Quadrat der Entfernung, die Temperatur nach dem Sechstenen Grade auch in diesem Falle ändert wie die Quadratwurzel des Abstandes.

Führt man die einfache Rechnung aus, so findet sich, daß die erwählte kleine schwarze Kugel infolge der Bestrahlung durch die Sonne in der Entfernung des Merkur auf 218° C. erwärmt wird, in derjenigen der Venus auf 25° C., in der Erdentfernung auf 21° C., in der des Mars nur auf — 38° C., endlich in der Entfernung des Neptun sogar nur auf — 215° C.

Was die Erde anbetrifft, so ist der Wärmegewinn ihrer Oberfläche von Seiten der warmen Bodenschichten verschwindend gering, und deshalb stellt er gegen so viel Wärme aus, als sie von der Sonne empfängt, eine mittlere Oberflächentemperatur auf 18° C. geschätzt, sie ist also geringer als die oben berechnete Temperatur des kleinen schwarzen Körpers und dies muß in der Tat der Fall sein, weil wir einen gewissen Teil der Sonnenstrahlung reflektieren. Wenn wir für die vor unsere Planeten annehmen, daß ihre speziellen Verhältnisse demjenigen der Erde gleich sind, so muß die mittlere Temperatur der Oberfläche betragen für Merkur + 180° C., für Venus + 75° C., für die Erde + 17°, für Mars — 38° C. Sehr interessant ist das Ergebnis für den Mars. In bezug auf Dauer seiner Rotation ist er der Erde sehr ähnlich, auch die Neigung seiner Umdrehungsachse gegen die Ebene seiner Bahn weicht nicht sehr von derjenigen der Erde ab, und endlich besitzt er auch eine merkliche Atmosphäre. Sowohl ist es daher anzunehmen, daß seine mittlere Oberflächentemperatur wesentlich von dem Werte — 38° C. abweicht. Sowohl ergibt sich bezüglich des Mars, daß, wenn nach Stunden angeführt werden können, die ihn befeuchten, viel höhere Temperaturen zu erzeugen, als die Erde in demselben

Abstand haben würde, man kann annehmen, daß er Polarkörper von Eis besteht, welches in seinem Sommer fließt und fließen oder Komete verfliebt. Falls er nicht sehr verschieden ist von der Erde, liegt seine ganze Oberfläche unter dem Gekörpunkt.

Wenden wir uns jetzt von der Temperaturwirkungen der Strahlung zu anderen Wirkungen, nämlich zu denen, die vom Druck herrühren.

Clerk Maxwell hat vor mehr als 30 Jahren gezeigt, daß nach seiner elektromagnetischen Lichttheorie das Licht und alle andern dem Licht ähnlichen Strahlen gegen jede Oberfläche, auf der sie treffen, einen Druck ausüben. Ebenso muß ein rückwirkender Druck gegen jede Fläche stattfinden von welcher die Strahlung reflektiert wird, oder von der sie als Quelle ausgeht. Sein Wert ist gleich der Energie in 1 abm des Strahles. Das Vorhandensein dieses Druckes ist vor einigen Jahren bewiesen worden durch Lebedew und durch Nichols und Hull mittels Versuchen, in denen wir einen Lichtstrahl auf eine im Vakuum schwebende Scheibe fallen ließen. Die Scheibe wurde abgetrieben, und die Abtreibung ließ sich gleich der von Maxwell's Theorie geforderten Formel berechnen. Es ist zu bemerken, daß dieser Druck vorhanden ist, und daß er die von Maxwell berechnete Größe hat.

Die von der Sonne ausgehende Strahlung ist also nicht nur ein Energiestrom, sondern auch gleichsam ein Druckstrom, der die Himmelskörper, auf die er trifft, auch außer drückt. Da der Strahl, indem er divergiert, nach dem umgekehrten Quadrat der Entfernung sich verkleinert, so muß auch der Druck auf einer gegebenen Oberfläche nach demselben Gesetze abnehmen. Wir können die Energie pro Kubikzentimeter Sonnenlicht in dem Abstand der Erde, d. h. mit der Lichtgeschwindigkeit bewegend, $\frac{1}{400}$ Kalorien in der Sekunde haben. Es ist nun leicht zu berechnen, daß wir mit einer Kraft von 6×10^{-10} Gramm auf 1 qm drücken muß, das so

kleine Größe, daß wir für die ganze Erde nur 70000 Tonnen beträgt, also verschwindend ist, verglichen mit den 3 Trillionen Tonnen, mit welcher Kraft die Sonne die Erde anzieht.

Man aber wollen wir den merkwürdigen Einfluß der Größe auf das Verhältnis zwischen Strahlungsdruck und Gravitationszug betrachten. Der eine wirkt an der Oberfläche und proportional der Oberfläche, der andere dringt durch die Oberfläche und wirkt jedes Gramm Materie im ganzen Volumen an.

Nehmen wir die Erde in 8 gleiche Kugeln teilen, so würde jede den halben Durchmesser der Erde und ein Viertel ihrer Oberfläche haben. Alle zusammen würden die doppelte Oberfläche besitzen, welche die Erde besitzt, und der ganze Strahlungsdruck würde verdoppelt werden, während der ganze Gravitationszug derselbe bliebe, wurde wir früher.

Setzt man die Teilung fort, so ist klar, daß man zuletzt zu ganz kleinen Kugeln kommt, deren Gesamtfläche so groß ist, daß der Druck der Strahlung dem Gravitationszug des Glühgewichts hält. Die Rechnung zeigt, daß dieses Gleichgewicht eintreten wird, wenn die Erde in 1000 Kugeln von je $\frac{1}{1000}$ des Durchmessers zerlegt wäre. Mit andern Worten die Kugeln von $\frac{1}{1000}$ des im Durchmesser und von der Dichte der Erde würde durch die Sonne weiter angezogen noch abgestoßen werden.

Dieses Gleichgewicht muß für alle Materiewirten gelten, da beide Energien in derselben Weise mit der Entfernung nach sinken. Die Rechnung führt zu dem Ergebnis, daß, wenn die Erde in nur diese Kugelnzahl von Radius des vierfachen Abstandes des Neptun zerlegt würde, die Abstoßung das auf denselben Abstand Sonnenlichtes der Anziehung der Sonne nach oben das Gleichgewicht halten würde.

Bei noch weiterer Teilung muß die Abstoßung die Anziehung überwiegen, und die Teilchen werden abgestoßen.

Die wirkliche Abkühlung wird aber wegen der Diffusion des Lichtes etwas kleiner als die berechnete.

Diese Erwägungen lassen eine interessante Anwendung auf die Kometschwänze zu, welche bereits Prof. Hays gemacht hat. Wir können annehmen, daß der Kern eines Kometen aus kleinen Meteoriten besteht. Sobald diese der Sonne nahe kommen, werden sie erwärmt, es treten Explosionen auf und entstehen kleine Staub, der früher nicht vorhanden war. Wenn der Staub genügend fein ist, kann die Strahlung die Gravitation überwiegen und ihn von der Sonne wegreiben, wir haben mithin derselben Ursache das Schmelzen des Kometen ein Stäubchen dieses ausgestoßenen Staubs vor uns. —

Wir wollen wieder zu unserer kleinen, schwarzen Kugel zurückkehren und betrachten eine solche, die 1 cm im Querschnitt, 1.13 cm im Durchmesser und die Dichte der Erde hat. Der Gravitationsdruck auf dieselbe ist dann 4200 mal so groß als der Strahlungsdruck.

Der Durchmesser der Sonne beträgt jetzt halbiert werden, es wird dann ein achthel der Masse und ein viertel der früheren Oberfläche haben. Während aber ihre Anziehung auf ein achthel vermindert wurde, wird der Strahlungsdruck nur auf ein viertel reduziert. Die Anziehung würde jetzt nur 21.000 mal den Druck überwiegen. Halbiert man den Durchmesser nochmals, so wird die Anziehung nur 10.500 mal so groß als der Druck sein. Vermindert man den Durchmesser auf $\frac{1}{10}$ des ursprünglichen Wertes, also auf etwa 20 mgal Meilen, so werden Druck und Anziehung gleich sein. Eine Sonne, so heiß wie die unsere und von 20 Meilen im Durchmesser, würde also Körper kleiner als 1 cm im Durchmesser ableiten und nur die festhalten, die größer sind.

Es ist fastlich wenig merkwürdig, daß eine Sonne so klein wie diese eine Temperatur von 6800° hat. Vermindert wir daher die Temperatur auf $\frac{1}{10}$,

nämlich auf 680° über dem absoluten Nullpunkt, also auf die Temperatur der Erde. Dann würde die Strahlung auf die vierte Potenz von $\frac{1}{10}$, oder auf $\frac{1}{10000}$ reduziert sein, und der Druck immer noch auf $\frac{1}{10000}$ von 20 Meilen, oder auf etwa 20 cm reduziert werden, wenn wiederum Strahlung und Gravitation sich die Waage halten sollen. Es ist leicht weiter zu zeigen, daß zwei gleiche Kugeln, jede von der Dichte und der Temperatur der Erde, sich niemals zertheilen oder abstoßen würden, wenn ihr Durchmesser 6.5 cm betrage.

Dies gilt aber natürlich nur für Kugeln im Raume, die keine merkliche Strahlung von selbst ihrer Umgebung abstrahlen.

Ich glaube, daß wir können zu einem Ergebnis von Wichtigkeit für die Beschreibung der Anziehung von kleinen Meteoriten gelangt sind. Danken wir unserem durchsichtigen Stern kleinen Meteoriten in dem Momente der Erde von der Sonne. Dann würden wir, selbst wenn sie 6.5 cm im Durchmesser groß waren, keine Tendenz haben, sich gegenseitig zu bewegen. Wenn sie kleiner sind, würden sie sogar streben, sich voneinander zu entfernen und zu zerbrechen.

Zum Schluß will ich eine weitere Wirkung dieses Strahlungsdruckes erwähnen. Ich habe vorher erwähnt, daß die Strahlung nach allen Seiten drückt gegen jede Fläche, von der sie herkommt. Wenn also eine im Raume ruhende Kugel in gleicher Weise nach allen Seiten drückt, wird sie auf allen Seiten in gleicher Weise gedrückt, und der Resultat ist Gleichgewicht. Nehmen wir jetzt an, daß die Kugel sich bewegt. Sie trägt dann der Energie, die sie gegen vorne ausstrahlt, wobei sie diese in einem kleinen Raume zusammenbringt, als wenn sie in Ruhe wäre, d. h. sie verdrängt. Infolgedessen ist der Druck größer, und es läßt sich zeigen, daß er um so größer wird, je größer die Geschwindigkeit und je höher die Temperatur ist. Andererseits wird

Wie einen von der Energie, die an zwei
Enden ansetzt, fortsetzt, so gewis-
sermaßen verhalten, der Druck in der
Richtung wird daher geringer sein,
als wenn sich die Kugel in Ruhe be-
fände.

Das Ergebnis ist eine der Bewegung widerstehende Kraft, mit der Wirkung die Geschwindigkeit der Kugel zu vermindern.

Die Rechnung zeigt, daß eine vor-
schiebende Kraft auf die Erde während
ihrer Bewegung längs ihrer Bahn wirkt,
welche etwa 20 kg beträgt.

Das ist eine völlig ausschließende Größe, denn sie würde nur einen merklichen Einfluß ausüben können, wenn es sich um Perioden von Billionen Jahren handelt. Allen hier spielt wieder die absolute Größe des Energie ausstrahlenden Körpers eine wichtige Rolle. Wählt die Erde auf den Durchmesser von 20 cm zusammengekrümpt, so würde die zugedachte Wirkung schon nach hunderttausend Jahren merklich hervortreten, handelt es sich wirklich um Körperchen wie Staubkörnle, so ist es schon in einem Jahrtausend merklich. Jetzt wollen wir annehmen, es würde ein solches Staubkörnchen von der Erde fortgeschleudert, so daß es eine Bahn um die Sonne beschreibt. Dann ist das erwähnte Wirkung auf das Teilchen aus und letzteres bewegt sich

Allen Seiten Widerstand entgegenzustehen, indem es verdrängt wird, unterliegt es gemäß den obigen Anschauungen der Einwirkung einer widerstehenden Kraft, die seine Bewegung verlangsamt. Dadurch wird es aber allmählich der Sonne genähert und seine Geschwindigkeit vergrößert. Letzteres wiederum vergrößert die Wirkung der widerstehenden Kraft, auch wird hier die Annäherung an die Sonne die Temperatur des Teilchens erhöht, dessen Strahlung verstärkt und der Widerstand ebenfalls vergrößert. Man erkennt leicht, daß das Teilchen nach der Sonne mehr und mehr stürzt und schließlich in dieselbe hineinstürzt muß. Mehrere von diesen Zerkloppern im Durchsauer, die sich um die Sonne in der nächsten Entfernung der Erde von ihrer Bewegung, würden wahrscheinlich im Verlauf von einigen Millionen Jahren auf die Sonne stürzen. Auf diese Weise ist die Tagesstrahlung der Sonne sagt man die letzten gewissermaßen eine reinigende Wirkung aus. Teilchen der Materie, die sehr klein sind, werden in den Raum hineingeströmt, gelähmt aber auf die Sonne hingezogen. Verlangt ist das Zeitabschnitt nicht anders als die Anziehung unsichtbarer Partikelchen der Materie, die so groß sind, daß sie von der Sonne zu sich herbeizuziehen werden.

Del: @mattmcclellan

100

In der wissenschaftlichen Welt stand Scheute nicht die Anerkennung, die ihm gebührte. Die Astronomen konnten zwar die Tatsachen, die er vorbrachte, nicht bestreiten, aber die meisten von ihnen wollten nicht zugeben, daß der durch eine regelmäßige, d. h. nach stets wiederkehrende Perioden abwechselnd sei und hielten sie für ein Spiel des Zufalls, weil eine solche, wenn sie wirklich bestünde, schon längst in den letzten

Beobachtungen kältetoleranter Insekten müssen zu dem wenigen, die sich auf Schwärzen Seite stützen, ergänzt werden. Ein Rudolf Wolf in Bern, später Direktor der Zürcher Sternwarte. Dieser befasste sich neben den Aktivitäten anderer Beobachtungsgruppen mit der Schwärzende. Er war auch anschließend Jahre des Studiums der Sonnenflecken 1818 und 1848 und ab Jahre des Minimums 1809 und 1822, so dass zusammen eine Reihe von vier Maximumen und

4 Monate vorlag, deren Periode schon bis alt Jahre betrug. Wolf untersuchen es, wie von Anfang an gemachten Beobachtungen von Sonnenflecken, deren er nur halbalt werden konnte, zusammenzutragen, um nach früheren Spuren einer Periode zu suchen, und demgemäß ihm mit überraschendem Erfolge. Selbst für die Zeiten, wo die Quellen der Literatur spärlich waren, konnte er aus Deutschland, Frankreich, Holland, England und anderwärts ein umfangreiches, zum Teil nur in Manuskripten vorhandenes Material zusammenbringen. Es zeigte sich, daß im 18. Jahrhundert zwei, wie schon erwähnt, verhältnismäßig wenig publiziert worden war, daß man aber doch zu vielen häufig beobachtet hatte. Wolf gelangte dahin, alle Maxima und Minima von 1610 an bis zur Gegenwart hinzulegen und daraus eine Periode von 11 $\frac{1}{3}$ Jahren abzulesen. Neue war kein Zweifel an der Richtigkeit der Periode sehr möglich, und sie ist seitdem eine wissenschaftlich anerkannte Tatsache.

Um aus den Beobachtungen einen Maßstab für die Beobachtungsstärke Tätigkeit der Sonne zu gewinnen, stützte Wolf sowohl die Fleckengruppen als die in ihnen enthaltenen Flecke. Da er die Bildung einer neuen Gruppe für ein wichtiges Merkmal der Sonnenaktivität hielt als das Entstehen einer neuen Flecke in einer schon vorhandenen Gruppe, so legte er der Gruppenzahl g ein höheres Gewicht bei und multiplizierte sie mit 10, während er die Fleckenzahl f nur einfach nahm. So entstanden die für die Sonnenphysik so wichtig gewordenen Wolfischen Relativzahlen r , deren Formel also lautet:

$$r = 10g + f.$$

Aus dem täglichen Relativzahlen bildet Wolf zunächst Monatsmittel und aus diesen Jahresmittel. Infolge der willkürlichen Annahme des Faktors 10 und der Ungleichwertigkeit der von verschiedenen Beobachtern mit verschiedenen Instrumenten gemachten Beobachtungen, ferner wegen der noch übrig

gebliebenen Lücken des Materials, vornehmlich aber, weil die Tätigkeit der Sonnenfleckenherrschaft, sondern nur Schwankungen zu- und abnehmend pflegt, zeigen die Monatsmittel meist die unregelmäßigsten Verläufe. Um diese Unregelmäßigkeiten möglichst zum Verschwinden zu bringen und die Gesetzmäßigkeit in der Erscheinung deutlicher hervorzuheben zu lassen, wendete Wolf folgendes Ausgleichsverfahren an. Er nahm aus 12 aufeinanderfolgenden beobachteten Monatsmitteln die Gesamtsumme, dieselbe wiederholte er unter Bezeichnung des nächsten und Wegglassung des ersten Monats, dann ist das Mittel der beiden Gesamtsummen ein gleiches Relativmittel des nächsten der zu betrachten kommenden 12 Monate. So fuhr er fort, sich unter Wegglassung eines Monats am Anfang und Hinzufügung eines neuen am Ende jedes ausgeglichene Monatsmittel entsteht also aus der Zusammenfassung von 24 Zahlen, die den 12 symmetrisch zu beiden Seiten liegenden Monaten angehören, und jedes ausgeglichene Jahresmittel aus 273 Zahlen, von denen 258 dem betreffenden Jahre und je 30 dem vorhergehenden und nachfolgenden Semester entstammen. Um die Wirkung dieser Ausgleichung zu erkennen, gibt Epinus die folgenden beobachteten Monatsmittel des Jahres 1885:

61.1, 67.2, 61.6, 76.3, 67.5, 71.5, 47.8,
68.4, 53.7, 67.6, 41.1, 79.7,

was doch nun schwerlich anzusehen wird, ob das Zu- oder Abnehmen stattdes. Vergleicht man damit die folgenden ausgeglichenen Monatsmittel:

61.2, 68.2, 64.6, 64.2, 61.6, 63.6, 62.6,
60.7, 59.9, 58.1, 55.6, 52.5,

so erkennt man deutlich, daß das Jahr 1885 in die Zeit der Abnahme fiel.

Das Studium der ausgeglichenen Relativzahlen Wolfs vom Jahre 1750 ab bis zur Gegenwart zeigt, daß die Dauer der Sonnenfleckperiode immerwährend unveränderlich ist und ebenso, daß das Maximum der Fleckenzunahme

in der Regel nicht in der Mitte zwischen den beiden Maxima liegt, sondern daß die Zunahme der Flecken meist schneller erfolgt als die Abnahme. Auch sind die Maxima und Minima der Fleckenhäufigkeit nicht gleich groß. Die meisten Flecken traten 1778, die wenigsten 1800, und zwischen des Jahres 1800 und 1833 war die Fleckenhäufigkeit auf der Sonne überhaupt schwach. Die andersartigen Arbeiten Woll's haben nicht wenige Privaten zur Beobachtung der Sonnenflecke angereizt, und die Sternwarte Zürich ist für diese Seite der astronomischen Beobachtung gewissermaßen ein Zentralpunkt geworden. Von großer Bedeutung war auch die von Woll und namentlich gleichzeitig von Götter gemachte Entdeckung, daß die Schwankungen des Erdmagnetismus, wie sie sich in den Bewegungsn der Magnetnadel ausdrücken, ihrer Größe nach einer Parabelkurve mit der Häufigkeit der Sonnenflecke und die nördliche Periode von 11 Jahren folgen.

Die Tatsache, von der es sich dabei handelt, stellt Prof. Bessel in folgender Weise dar: »Die Magnetnadel, welche die Deklination angibt, steht, wie man schon seit langer Zeit weiß, nur in der Nacht ruhig, vollführt dagegen am Tage kleine Schwankungen, und zwar geht sie bei etwa 8 Uhr vormittags aus ihrer Ruhelage nach Ost, kehrt dann um und schwingt bei 1 oder 2 Uhr nachmittags über ihre Ruhelage hin sowohl nach West. Diese kleinen regelmäßigen Schwankungen, Variationen genannt, wiederholen sich alle Tage, und obendrein immer weit größer als im Winter. Die Ursache liegt offenbar in der nach Tages- und Jahreszeit wechselnden Intensität der Sonnenstrahlung. Damit stimmt überein, daß auf der nördlichen Halbkugel die stärkste Ablenkung vorwärt, wenn bei uns die schwächere herrscht, und umgekehrt, und die Jahreszeiten auf beiden Halbkugeln entgegengesetzt liegen.

Alexis Lenoir, Direktor der Münchener Sternwarte, ist ein großer Beobachter des Erdmagnetismus, seine regelmäßigen

Aufzeichnungen der Variationen im Jahresverlaufe zusammenzufassen, machte er die Wahrnehmung, daß diese nicht, wie man erwartet hatte, um einen mittleren Wert herum schwankten, gleich der Jahresamplitude oder einem meteorologischen Mittelwerts, sondern im Laufe der Jahre in ein periodisches Zu- und Abnehmen zeigten.

Seine damaligen Beobachtungen umfassen die Zeit von 1815 bis 1850 und ergaben, daß die stärkste Variation 1818 und 1848, die geringste 1844 stelligenbunden hatte. Lenoir schloß daraus auf eine schwingende Periode der Variation. Woll aber erkannte zugleich den Parallelismus der Kräfte mit der von ihm oben mit aufgestellten Sonnenfleckenperiode, die 1817 und 1848 Maxima und 1843 ein Minimum hatte.

Dieser höchst merkwürdige Zusammenhang zwischen dem Fleckenstande der Sonne und der magnetischen Deklination auf der Erde hat auch sehr für die Folgerung herangezogen und ist jetzt als etwas Gesetzmäßiges außer allem Zweifel, wenn auch noch nicht erklärt.

Verschieden vorübergehendsten täglichen Variationen sind die kleinen plötzlichen und mit einer größeren Stärke auftretenden sog magnetischen »Störungen« (von Humboldt »magnetische Stürme« genannt). Aber auch diese Unregelmäßigkeiten folgen sich beschleunigend, wenn in die stehende Fleckenperiode, dann mit der Zunahme der Sonnenflecke trafen sie sich und mit deren Abnahme verschwinden sie wieder. Das wurde zuerst (1852) von Seaton erkannt, als er seine langjährigen magnetischen Beobachtungen mit der Schwabenstern Fleckensätze verglich, kurz bevor Woll und Götter mit ihrer Entdeckung hervortraten.

Das merkwürdigste an diesen Schwankungen der Magnetnadel ist der Umstand, auf den man später aufmerksam wurde, daß sie dann am größten zu sein pflegen, wenn gerade im besondern großen Sonnenfleck die Sonnenschwäche herrscht!

André in Lyon hat diesen Zusammenstoß nur eine längere Zeit nachgewiesen. Carrington und Hodgson konstataren aus von wunderbaren Lichtausbrüchen auf der Sonne beglaubigtem Konsens am 1. September 1858, von welcher die euffallendsten Einwirkungen herrschten worden. »Die magnetische Sturm von unvergleichlicher Stärke, Ausdehnung und Dauer ging über die ganze Erde fort, der telegraphische Verkehr war überall unterbrochen, Fünfsen gingen von dem Dröhnen aus, prächtige Polarlichter schmückten den Himmel auf beiden Hemisphären, die Magnetnadel verlor jede Spur von Stetigkeit in ihren Bewegungen und Hing hin und her, als wenn sie von einer unsichtlichen Hand angegriffen wäre. Solche Folgeerscheinungen auf der Erde sind typisch für den Einfluß, den große Sonnenflecken ausstrahlen können. Das neueste Beispiel hierfür haterte der 31. Oktober 1873.

Eine weitere Naturerscheinung, bei der ein Komet mit dem Sonnenflecken gebunden wurde, sind die Nordlichter. Nachdem einmal der Einfluß der Sonne auf die Magnetnadel erkannt war, lag die Frage nahe, ob auch die Nordlichter, deren ungeheure Ausdehnung an dem Magnetismus der Erde schon längst konstatiert war, in ihrer Zahl und Größe eine den Sonnenflecken paralleltende Abhängigkeit hätten, und diese Frage wurde zuerst von Fiske in Zürich im bejahenden Sinne beantwortet. —

Was das Aussehen der Sonnenflecke anbetrifft, so schildert Prof. Espinasse daselbst auf Grund seiner vorzüglichen Beobachtungen wie folgt:

»Sie variieren vielfach in Größe, Gestalt und Dauer. Die Kleinsten, die kleinen Plättchen auftretenden nennt man Poren. Der schäbste GröÙe ist nur ein Beispiet einer Sekunde, aber weitere GröÙe kann trotzdem hundert von Kleinstem betragen, die eine Tagewoche auf der Sonne — an 72h im m. Die größten Flecke sind gewöhnlich von einem weniger dunklen, breiten, grauen Rand umgeben, und so entsteht das typische

Bild eines Sonnenflecks. In der Mitte des Sonnenrandes ist er immer perpendicular zum äußeren Rand der Sonne. Der dunkle Fleck im Innern heißt der Kern (umbra), der graue Rand der Hof (penumbra). Der Kern erscheint im Vergleich zur übrigen Sonnenfläche schwarz, aber diese Farbe ist nur eine Wirkung des Kontrastes, wie sich bei Sonnenfinsternissen und Durchgängen von Planeten (Merkur, Venus) deutlich zeigt, da sie stehen viel heller als der dunkle Körper des Mondes und der Planeten sind. Die Gestalt der Kerne ist sehr verschieden, bald rund, bald eiförmig, bald lang und schmal, bald gerade, bald gebogen usw., und der Hof pflegt in seinen Konturen die Gestalt des Kernes wiederzugeben. Es kommt auch oft vor, daß mehrere Kerne in einem Hofe liegen, dann richtet sich meist ebenfalls die Gestalt des letzteren nach der Konfiguration der Kerne, und es entstehen manchmal die haarigen Formen. Zwischen den Kernen eines Hofes tritt bläuliches der graue Grund, und der Zwischenraum ist dann so hell wie die umgebende Sonnenoberfläche. Solche helle Stellen zwischen den Kernen nennt man Leuchtflecken, als ob sie wie helle Brücken über das dunkle Tied gespannt wären. Was die Größe der Kerne betrifft, so kann die unter Umständen die der Erde ähnelnden, die Höfe sind dann natürlich verhältnismäßig noch größer und können eine Ausdehnung von fünf oder mehr Erddurchmessern erreichen. So große Flecke werden dann selbst für das bloße Auge sichtbar, natürlich nur als Punkte ohne allen Detail. Viele dieser Art kommen namentlich in den Zeiten der größten Flackendigkeit vor, sie stehen die Flecke nicht nur zahlreicher sind, sondern auch größer zu sein pflegen als in der Zeit geringerer Sonnenaktivität.

Wie auch nur an einigen aufeinanderfolgenden Tagen die Flecke auf der Sonne beträchtlich, wird bemerkt, daß sie sich sichtlich nach Westen hin zu verziehenden abzuweichen Fort-

rotiert nach Osten) bewegen. Aus dieser alten Platon's gemeinsamen Bewegung haben schon die Entdecker der Sonnenflecke auf eine Umdrehung des Sonnenkugels um seine Achse von Ost nach West geschlossen. Infolge dieser Rotation kommt der Sonnenstapel wie der Erdstapel im Äquator zu, welchem parallel die Flecke ihre Bewegung ausführen, ferner eine auf der Ebene des Äquators senkrecht stehende Achse mit einem Nord- und einem Südpol. Die weitere Bestimmung der Lage dieses Äquators gegen die Ellipse, nämlich seine Neigung gegen diese Ebene und die Lage der Durchschnittsebene beider Ebenen (die Knotenlinie), leitet die Dauer der Umdrehung, d. h. die Rotationsperiode der Sonne, bei, wenn in schiefwinkliger Weise der ständige Beobachter jener Erscheinungen, Peter Schöner, ermittelt. Er fand, daß die Bahnen der Flecke nicht immer parallel verlaufen, was an der Pole sein würde, wenn sie sich parallel zur Ellipse bewegten, sondern meist gekrümmt, mehr nach Norden, mehr nach Süden, und schloß daraus mit Recht, daß der Äquator der Sonne nicht parallel zur Ellipse liegt oder — was dasselbe ist — daß die Rotationsachse der Sonne nicht senkrecht auf derselben steht.

Schöner fand, daß die Fleckenbahnen stets in den ersten Tagen des Decembers und Juni geradlinig waren, der Sonnenäquator mußte also die Ellipse in den beiden Perioden schneiden, was auch zu dieser Zeiten die Erde betraf, das war nach seinen Beobachtungen in 69° , $6'$ Länge für den nördlichen und 249° , $11'$ für den südlichen Knoten. Diese Knotenlängen stimmen ganz gut mit den jetzt geltenden Werten (75° und 294° nach Spörer), wobei zu berücksichtigen ist, daß sie wegen der vollständigen Rückkehr der Neigungspunkte, der jährlich $9004''$ beträgt, seit jener etwa 27½ Jahre zurückgelegten Zeit fast $4''$ gewachsen sind. Die Neigung des Äquators zur Ellipse leitete Schöner aus der Abweichung der Flecke von der

Ellipse am Rande der Sonne ab und fand dafür im Durchschnitt 7° , $5'$ wobei er bemerkt, daß er sie um kleiner als $4''$ und um größer als $8''$ gefunden habe.

Auch die Rotationsdauer der Sonne bestimmte Schöner, indem er die Zeiten ermittelte, wenn derselbe Fleck in zwei Umläufen wieder an denselben Rande oder in der Mitte der Scheibe erschien und fand dafür 27° , $1/2$ Tage. Dem ist aber nicht die wahre (siderische) Rotationsdauer, sondern die scheinbare (synodische), weil inzwischen die Erde ebenfalls in der Rotationsrichtung um sich selbst gedreht hat. Die wahre Dauer ist daher etwas kleiner und beträgt 25° , $1/2$ Tage. Die unsere Bestimmungen geben ungefähr dasselbe (Spörer 25.234, Carrington 25.360 Tage).

Schöner hat also die Grundlagen der Sonnenrotation so bestimmt, wie sie noch heute im großen und ganzen angenommen werden. Aber noch andere zuträffliche Beobachtungen über die Sonnenflecke veröffentlichte er in seinem Buche. Er bemerkte, daß die Flecke nicht an beliebigen Stellen der Sonne erscheinen, sondern hauptsächlich in einem dem Äquator umschließenden Gürtel, und er nannte daher diese bevorzugte Gegend die „Via regia“ der Flecke. Dieses Verhalten hat sich bis auf die Gegenwart nicht verändert. Ferner erging es ihm auch, daß die Umlaufzeit der Flecke verschieden war, nämlich kürzer bei den äquatorialen als bei den polardien. Diese merkwürdige und vielfach zugeworfene Behauptung ist erst in neuerer Zeit durch Carrington, Spörer und andere bestätigt worden. Sie ist von größter Wichtigkeit, da aus ihr gefolgert werden muß, daß die Flecke nicht Teile eines festen Sonnenkörpers sein können, sondern entweder in einer flüssigen Sonnenoberfläche schwimmen oder in einer der Sonne umgebenden Atmosphäre wie Wolken schweben.

Als Ergänzung von Schöner's Beobachtungen wird Prof. Epton noch auf eine gewisse von der Zeit abhängige Gesichtsfähigkeit in der Vorbereitung der

Flocke hin, die Carrington gefunden hat. Sie besteht darin, daß die ersten Flecke, die nach einem Minimum entstehen, in höheren Breiten, d. h. bei der Distanz der Via regia, entstehen pflegen, daß dann mit Zunahme der Helligkeit die Flecken geringer werden und die letzten Flecke vor einem Minimum sich in der Nähe des Äquators bilden. Die Fleckenbildende Tätigkeit wandert also während einer Periode allmählich zum Äquator zu und macht beim Übergang zu einer neuen Periode einen Sprung nach den Polen hin.

Prof. Epstein antwortet auch die Methoden, nach denen man aus den Beobachtungen über die Flecke die Rotationsperiode der Sonne berechnet, und gibt Beispiele ihrer Anwendung. Wenn die Elemente der Sonnenrotation aus den Beobachtungen verschiedener Flecke berechnet, so ergibt sich größere Abweichungen, welche beweisen, daß die Flecke aufeinanderder keine parallelen Kreise auf der Sonnenoberfläche beschreiben und auch die Rotationsdauer in verschiedenen Abständen vom Äquator verschieden ist, was schon Schaefer gefast hat. Im allgemeinen kann man nach den Ergebnissen von Spörer, Carrington und Faye annehmen, daß die Flecke unter 35° nördl. oder südl. Br. auf der Sonne etwa zwei Tage mehr zu einer Umdrehung brauchen als am Äquator. Prof. Epstein trägt hervor, auf welche Weise die Berechnungen der Positionen der Flecke auf der Sonne (die heliographische Länge und Breite der Flecke) ausgeführt werden, und gibt Beispiele dazu. Die eigenen Beobachtungen von Prof. Epstein umfassen die Jahre 1889 bis 1893.

Aus diesen lassen sich durch den reichlichen Zeichnungsreichtum ständiges Beobachtungen des Beobachters leicht die oben erwähnten Rotationszeiten der Fleckenabstände für die betreffenden Jahre ablesen. Prof. Epstein hat aber eine andere Zählweise befolgt, die durch Wolf ähnlich geworden ist. Wolf hat das Hauptgewicht auf die Zahl der Gruppen

gelegt, im übrigen aber die Flecke nur einfach gezählt, ohne Rücksicht darauf, ob sie groß oder klein, ob sie beständig oder verloschen waren. «Es ist klar, sagt Prof. Epstein, nicht zu bezweifeln, daß ein großer Fleck und die Bildung eines Flecks gleichbedeutende Symptome einer intensiven Tätigkeit auf der Sonne sind. Ich habe dementsprechend die Flecke, so gut es ging, nach ihrer Größe eingeteilt und ihnen fortwährend, wenn es ein Halb versetzen waren, das doppelte Gewicht gegeben. Die dadurch entstehenden Zahlen haben daher einen anderen Charakter als Wolfschen Rotationszeiten, und ich erlaube die zum Unterschiede von diesen als «intensivzahlen» bezeichnen. Auf diese habe ich dann noch die Wollfche Ausgleichswerte angewandt, was mir so nützlich war, als die Beobachtungsmaterialien bereits unvollständig, meistens ungleichmäßig über die einzelnen Jahre verteilt ist.

Der Vergleich dieser Zahlen für die einzelnen Jahre mit den entsprechenden Wollfchen Rotationszeiten zeigt eine befriedigende Übereinstimmung. Die Ziffern, sagt Prof. Epstein, muß angeben, ob der Intensivzahlen also wirklich Berücksichtigung zukommt. Dies wird auch davon abhängen, ob sie (wie die Heliographen) wirklich sein werden, nach dem Einfluß der Sonne auf irdische Phänomene, namentlich den Erdmagnetismus, andauernd befriedigend die Mittel.

Was die eigentliche Natur der Flecke anbelangt, so bringt Prof. Epstein letztere in enge Beziehung zu den Protuberanzen. Er sagt: «Der schwarze, dichten Umriss der protuberanten Protuberanzen sinken von ständiger Höhe, so flüchtig oder hohen Tuffen bedeckt, durch die Chromosphäre auf die Photosphäre herab, verbleiben diese, wenn sie hoch genug sind, und erzeugen dadurch einen belohnten Fleck, dessen Kern der Schmelz ist, aus dem sie hervorstehen. Die niedrigere, hellere Massen können sich in der hellen Photosphäre wohl bald wieder auf, der Hof verschwindet

aber daraus resultiert, dass er wird durch immer eine aufsteigende metallische Dämpfe umhüllt, und so erfüllt sich die blauen monatelange Dauer eines Hofflecks. Ein solcher Ausbruch scheint sich gewöhnlich in der Weise ab, daß zuerst ein Fleck oder Schland entsteht, aus dem eine reichliche Gasströmung ausströmt. Sogar oft der Eruption, so erweitert sich der Schland, aber es entstehen neue Öffnungen in der Mitte, größere und dichtere Massen werden ausgeschleudert, und es bildet sich der Fleck. Man sieht nie einen größeren Fleck ohne einen solchen, und wäre er auch nur unvollständig vorhanden. Wenn die Entwicklung ihren Höhepunkt überschritten hat, so ist der Ausbruch der des Fleck ausströmenden Massen auch, der Fleck wird kleiner oder tritt sich, danach ist der Kern, und zuletzt bildet sich ein kleiner, wie im Anfang, ein kleiner Fleck übrig, aus dem noch eine Zirkulation ausströmt,

besitzt auch diese Öffnung schließt. Nie besteht ein Fleck länger als ein Kern, und es gibt wohl viele Flecke ohne Hülle, aber nie Hülle ohne Fleck. Zuvor und Abnahme durchlaufen so die gleichen Phasen, aber die letzten geschah in der Regel langsamer als die ersten, ganz wie bei der Gesamthelligkeit der Sonne. Der hohe Gasstrom, der aus einem Schland aufsteigt, bildet eine starke Absorptionsschicht, und daher sind die dunklen Linien im Spektrum verstärkt und verstärkt. Wegen der Mithridat der metallischen Probenströmungen und des Hofflecks haben beide auch dieselbe gelbe Beschädigung auf das mittlere Drittel der heliographischen Breite, und wo am Centrum eine größere metallische Probenströmung auftritt, da gibt auch in der Regel nachher ein helofer Fleck auf, und wo am Westende ein größerer Hoffleck entsteht, dort entsteht nachher gewöhnlich eine metallische Probenströmung.

Die Korona bei der totalen Sonnenfinsternis am 18. Mai 1901.

Herrn Tafel III

Eine Sonnenfinsternis, welche durch die ungewöhnlich lange Dauer der Totalität ausgezeichnet ist, wurde u. a. von einer Expedition beobachtet, welche die kais. japanische Universität in Tokio ausgesandt hatte, und die Station zu Peking auf Sumatra nahm. Diese Expedition stand unter Führung von S. Horigata und wie möglich mit Instrumenten für photographische und spektroskopische Beobachtungen ausgerüstet. Der offizielle Bericht über die Ergebnisse dieser Expedition, welche von der kaiserlichen kaiserlichen Regierung nicht veröffentlicht waren, ist unbekannt zu Tokio erschienen. Wir entnehmen demselben die auf Tafel III wiedergegebene Darstellung der Sonnenkorona durch K. Horigata. Die markantesten Eigenheiten desselben ist die am oberen (nördlichen) Teile sichtbare Strahlung,

welche sich scharf, fast geradlinig und tangential zum Sonnenrand weit über einen Durchmesser der Sonne hinaus erstreckt. Bei aufmerksamer Betrachtung gewinnt man den Eindruck, als wären diese geradlinigen Lichtstrahlen und Strahlen, welche sich längs des ganzen Sonnenrandes nach oben und unten ausbreiten, gar nicht aus eigentlichen Korona gehören, sondern diese letztere (durch radial verlaufende Strahlen ausgezeichnet) ist in denselben sichtbar wird, besonders in den Polargegenden der Sonne, wo die radial verlaufende Strahlung fehlt. Alle diese geraden Strahlen sind markant genug, um dem Sonnenquadrat parallel? Das allgemeine Aussehen dieser Korona gleicht demjenigen der Korona, welche bei der totalen Sonnenfinsternis im December 1899 sichtbar war.

Das Tal der Alpen auf dem Mond.

10 In vorigen Alpengehirge auf dem Mars trennt die graue Flächen des Mars Indurus und des Mars Freggus voneinander. Von dem letzteren führt ein sehr schmal, dann zunehmend breiter und tiefer werdender Einschnitt nach dem tiefer liegenden Mars Indurus und endet in dessen mit einer weissen, kreisförmigen Mündung. Dieses ist das berühmte Alpenal auf dem Monde, dessen Aussehen an schwebender Vergrößerung vielfach mit der Ägäer verglichen worden ist, welche der Projektil beim schrägen Durchdringen einer halbkugigen Masse zurückläßt. Julius Schmidt führt dieses Tal als Rille auf, Müller jedoch nicht, und bei grosser Vergrößerung dieser Bildung kann man wohl kaum sich der Überzeugung verschliessen, daß diese Formation ungenau von den Rillenbildungen verschieden ist. Im Jahre 1885 Seite 177 bis 180 habe ich alles zusammengefaßt, was über diese Formation damals bekannt war, auch ist auf Tafel 9 jenes Jahrgangs eine Abbildung des Mondalpenals reproduziert, welche Th. Geyr-Erger am 25. Januar 1885 gemacht hat. Später Beobachtungen, welche namentlich Neuss über dieselbe einige gefördert, sind nicht bekannt geworden. Jetzt berichtet jedoch C. D. Porrett über einige interessante Wahrnehmungen, die er zufällig im April und Mai 1904 an dieser Formation machte. Als Beobachtungsinstrument diente der Woodliffs Refraktor der Lick-Stationen. Die erste Wahrnehmung geschah am 23. April 9h 30m P. M., 8 Tage 6h 54m nach Neumond, an 220-facher Vergrößerung. Die Luft war recht günstig, doch zeigte der große Refraktor, daß das Tal auf einem Boden der ganzen Länge nach und sehr nahe der Mitte folgend von einer feinen Rille durchzogen wird. Am folgenden Abende konnte dieselbe nur an verschiedenen

Positionen vermehrt werden (mit dem Woodliffs Refraktor), wahrscheinlich stand die Sonne schon zu hoch, und wegen der allgemeinen Richtung der Rille konnten Schatten ihrer Abhänge nur an einzelnen Stellen sichtbar werden. 23. Mai, 11 15h nach Neumond, zeigte der 30-zöllige Refraktor eine seltene Spalte der Rille in der Mitte des Tales. Am 23. 6h 17m nach Neumond erschien die Rille wohl breiter als der Faden des Mikroskopes (21^h), und dies entspricht mit dem Monde einer Breite von 660 Fuß. Am westlichen Ende des Tales war die Rille nicht zu sehen, sowie zeigte sie vier Unterbrechungen (A, B, C, D). Der Hölzhang der Rille lag im Schatten, während der Nordabhang sehr hell war. Die schmalsten Partien der Rille hatten kaum die Hälfte der Dicke des Mikroskoptubes, also 330 Fuß Breite. Die Luft war schlecht. 4. Juni, 22h 1m nach Neumond, 300-facher Refraktor, 330-fache Vergrößerung. Das Tal der Alpen liegt im Schatten, außer an dem nördlichen Ende. Hier ist die Rille, durch die unebene Fläche bestehend, sichtbar.

10. August, 1904 22h nach Neumond, 30-zölliger Refraktor, 330-fache Vergrößerung. An dem ersten, westlichsten Unterbrechungspunkte A der Rille (vergl. 22. Mai) oben ist die Rille kaum durchgehend, die darauffolgende Unterbrechung B besteht auch jetzt, doch zeigt sich in der Mitte desselben ein kleiner Krater. Vermutet wurde, daß die Rille auch auf dieser schwächeren Unterbrechung durch vorhanden ist und durch den kleinen Krater nicht, doch ist dies nicht sicher. Bei anderer Gelegenheits wurde in der Nähe noch ein kleiner Krater gesehen und ebenso mehrere Krater bei A, sowie anderwärts längs der Rille. Auch macht Porrett darauf aufmerksam, daß an allen Unterbrechungen der Rille kleine Krater sich zeigen, die Rille also in solchen endigt. Er glaubt, daß unter günstigen Umständen wahr-

1. Lick-Observatory Bulletin No. 64.

genommen wird, daß auch auf dem drei sekularen Schalen der Rille in Wirklichkeit, doch überaus feinst, vorhanden ist. Die Beobachter bei riesengroßer Anzahl von photographischen Aufnahmen dieser Ringe des Mondes, welche auf der Lichthauswand erhoben worden sind, konnte und mit einem Vergrößerungs-

glas untersucht, eine jedoch das Spiel der Rille zu finden. Das wird allerdings einander überlassen, der weiß, daß auch die beiden Mondphotographien in Bezug auf Helligkeitsteilung weit hinter dem zurückbleiben, was ein 4 maliger Kollimator bei unvollkommener Beobachtung dem Auge zeigt. Dr. Klein.

Die Frage gemeinsamer kosmischer Abkunft der Meteoriten von Stannern, Jensee und Juvavus.

Es ist einer Zeit wieder hervor-
gehoben große wissenschaftliche
Überwindung, welche die bei Stan-
nern, Jensee und Juvavus gefallenen
Meteoriten ergriff, hat den bekannten
Meisnerländer Prof. Dr. von Neill in
Berlin zu einer reinverbalen Unter-
suchung darüber veranlaßt, ob eine ge-
meinsame Herkunft der genannten
Meteoriten angenommen werden konnte.
Der ursprüngliche Meteorit bei Im Mü
1868, der wurde im Jahr 1869, der
dritte im Jahr 1871. Die Untersuchung,
welche der K. K. Akademie in Wien
durch Hofrat E. Weib vorgelegt wurde,
ergab folgendes:

Die Epochen und schätzbaren Bahnen
von der drei Meteoriten sind:

	Rechnung	
	AB	D
1 Stannern 1868, April 21, 17 ^h 30 ^m — Im Mü	105°	— 15°
1 Jensee 1849, April 12, 17 ^h 45 ^m —	105°	+58.5°
1 Juvavus 1871, Juni 15, 5 ^h —	140°	— 112.5°

Wie schon diese Strömungspunkte
einem kann, stellen sich die Bahnen,
welche die Meteoriten anstreifen vor
dem Zusammenstoß mit der Erde
verfolgt haben können, als sehr wesent-
lich voneinander abweichend heraus,
welche Geschwindigkeiten aus ihnen
auch hervorgehen mag. Namentlich
unterschiedlich sich die Bahn der Mete-

oriten von Stannern von jenen der beiden
anderen Fälle dadurch, daß sie sich streng
richtigkeits erweist, während diese, wenn
auch mit verschiedenen Neigungen,
schiefstehend waren.

Daraus muß unbedingt geschlossen
werden, daß ein starrer kosmogoni-
sche Zusammenhang zwischen den
drei Fällen nur in einer unternen
früheren Bewegungsphase gesucht
werden könnte. Die in dieser Richtung
geführte Untersuchung kammerlich jedoch
nur auf die Möglichkeit eines solchen
Zusammenhangs erkrankte, da für die
Abschätzung der Wahrscheinlichkeit aus
den vorliegenden Beobachtungsresultaten
ganz verlässliche Grundlagen nicht zu
gewinnen waren.

Die Prüfung sehr verschiedenartiger
Annahmen führte die Hauptfrage nach
zu folgenden Ergebnissen:

1. Der Versuch, diese voneinander
schwerwiegendes behauptenden Bahnen
aus einer im Weltraum, außerhalb
des Sonnensystems für alle drei hertig-
lich der Spaltung und Geschwindigkeit
ebenen identischen Bewegung abzuleiten,
begegnete keiner Schwierigkeiten. Er
führte ein positives, mögliches und be-
züglich der beiden letzten Fälle nach
wissenschaftlichen Resultat. Hinsichtlich
des Falles von Stannern würde sich
jedoch für die ursprüngliche Bahn, vor
dem Eintritt in das Sonnensystem, der
letzte Abstand von den beiden andern
sehr groß ergeben. Es müßte also dann
für die Quelle dieser Meteoriten ein
unvollständiger ständiger Strom von sehr be-

*) Wiener Abh. Ser. 1864, S. 247.

deutenden Querschnitte angenommen werden.

3. Bei der Prüfung der Hypothese, daß die drei verschiedenen Systeme innerhalb des Sonnensystems noch überlapp waren, aber durch Störungen aus dem einen der großen Planeten, insbesondere Jupiter, und die nachgewiesenen Abweichungen erlangten, sollte die Frage geklärt werden,

a. Die Bahnen von Jowar und Jowar können ohne sehr unwahrscheinliche Annahmen durch solche Störungen aus ursprünglich einheitlichen erzeugt worden sein.

b. Aus denselben oder ähnlichen ursprünglichen Bahnen in gleicher Weise aus der Meteoriten von Jowar ableiten, ist ohne Festsetzungen, diese nur geringer Wahrscheinlichkeit zuzumessen würde, kaum möglich.

3. Würde man dagegen den Ort solcher Störungen im Sonnensystem sehr weit über die Grenzen der uns bekannten Planeten hinaus annehmen, so wäre allerdings noch die Ableitung der rückwärtigen Bahn von Jowar, mit der beiden einheitlichen, aus wenig voneinander abweichenden primären Bewegungen möglich.

4. Würde man diese Meteoriten als vollständige Auswülfungen eines interplanetarischen Körpers betrachten, so könnte letzterer auch nur in großer Form, weit über die unsere Beobachtungen zugängliche Planetengrenzen hinaus, angenommen werden.

Aus jedem Gesichtspunkt erscheint zunächst die Zusammengehörigkeit der Meteoriten von Jowar und Jowar viel wahrscheinlicher als deren gemeinsame Beziehung zu den Meteoriten von Jowar.

Der veränderliche Stern δ im Cepheus.

Sowar von Goodricke 1783 als veränderlich erkannt Stern ist durch die schon von Argelander nachgewiesene Regelmäßigkeit seines Lichtwechsels und seiner Periodendauer bemerkenswert. Argelander fand 1840 die Dauer des Lichtwechsels 54^h 47^m 34^s und die größterelligkeit δ 14.5^m nach dem Maximum. Etwa 29^h nach der größten Helligkeit findet eine Verengung der Lichtkurve statt, eine Ausbuchtung der Lichtkurve statt. Belopolsky hat den Stern 1894 spektroskopisch untersucht. Hieraus gehtel von Spektrum zum Typus Ha und ist ähnlich dem Sonnenpektrum. Helix Linien fehlen darin gänzlich. Nach Belopolskys Untersuchungen beschreibt dieser Stern mit einem veränderlichen Begleiter um den gemeinsamen Schwerpunkt beider ein geschlossenes Bahn mit einer Geschwindigkeit von 2%, Meilen in der Sekunde, während das ganze System sich der Sonne mit einer Schnelligkeit von 2 bis 5 Meilen in der Sekunde nähert. Jüngst hat Dr. M. Weyermann den Licht-

wechsel von δ Cephei auf Grund eines ausgedehnten Beobachtungsmaterials von neuem untersucht.¹⁾ Aus den Helligkeitskurven von Argelander, Schmidt, Feld, Schmidt, Helix, Penstock, Hellmann und Knecht ergibt sich, daß der Stern im Maximum nahe 16, im Minimum 4.2 Grade ist, der Lichtwechsel also 98 Gradenklasse ausfällt. Die Gestalt der Lichtkurve ergiebt eine Ausbuchtung etwa 29^h nach dem Maximum. Was die Periodendauer anbetrifft, so ergibt sich, daß auch die neuen Beobachtungen mit einer unmerklichen Periode vereinbar sind. Dr. Weyermann macht schließlich einige interessante Bemerkungen über die mögliche Ursache des Lichtwechsels dieses Sterns. Er sagt: δ Cephei ist ein Doppelstern, dessen Elemente von Belopolsky²⁾ berechnet worden sind. Aus ihnen ergiebt sich, daß die Umlaufperiode mit der Lichtwechselperiode übereinstimmt. Die Ex-

¹⁾ Astron. Nachr. No. 265.

²⁾ Astron. Nachr. Bd. 135 und 140.

vertrieben beträgt 0.5, das Maximum tritt etwa 0.64 nach dem Periastron ein. Ferner führen die Elemente zu dem Schluss, daß die Neigung der Bahnsebene gegen die Tangentialebene am Himmel ebenfalls nicht groß sein wird, da sonst die Masse des Sterns unwahrscheinlich klein wie würde (bei 45° 0.64, bei 10° 4 Sonnenmassen).

An gegenwärtige Vorstellungen ist bei diesen Spüren von Veränderlichkeit zu denken. Man wird daher auf eine Erklärung durch Flutbewegungen zugeworfen sein. Versucht man es zunächst mit der Klinkerhumboldtschen Fluthypothese, so hat man es hier mit dem gewöhnlich nicht betrachteten Falle zu tun, daß man nahezu senkrecht auf die Ebene einer sehr exzentrischen Bahn blickt. Man wird dann ein Maximum zur Zeit des Periastrons zu erwarten haben, wo die atmosphärische Kappe von dem Fuß des Hauptsterns stärker weggezogen ist, ein Minimum zur Zeit des Apastrons. Schreift man der Flut eine Verdünnung von 0.64 im Anfang und 1.84 in der Abnahme zu, so kommt man zu einer befriedigenden Erklärung der beobachteten Lichtkurve.

Herr Edin glaubt⁵⁾ das Aufleuchten des Sterns auf Erleuchtung desselben durch starke Flutbewegung zurückführen zu können, so daß die zum Aufleuchten genutzte Energie der Bewegungsenergie des Systems entnommen wird. Diese Annahme legt die Frage nahe, wie groß wohl die Masse des Sterns sein müsse, damit die durch das jetzigen Energieverbrauch bedingte Änderung der Bewegungsvektoren, speziell die Periodenlänge so klein bleibt, daß die Vorhandensein den bisherigen Beobach-

tungen noch bei weitem können. Eine Berechnung, welche der von Herrn Darwin⁶⁾ angegebenen völlig analog ist, ergibt bei plausible Annahmen, daß das Maximum der Massenmasse 3.2 (resp. 1.7) Sonnenmassen sein muß bei einer Periode von 0.1° (resp. 0.06°), wenn die Änderung der Periode pro Umlauf nicht über 0.00000001 betragen soll. Die Edinische Hypothese ist von diesem Gesichtspunkte aus also zulässig, so lange die Entförmung des Sterns nicht zu groß (etwa größer als 0.15°) angenommen wird.

Eine dritte mögliche Vorstellung über die Art, wie die Flut zum Helligkeitswachstum hervorgerufen kann, wäre etwa die folgende. Während der Zeit der Lichtabnahme (gleichzeit Zeit der größten Entfernung des Begleiter) herrscht Gleichgewicht in den äußeren strahlenden Schichten des Hauptsterns. Dasselbe kühlen sich durch Ausstrahlung ab, beginnen verdichtet auch die von innen kommende Strahlung stärker zu absorbieren, so daß die Helligkeit des Sterns langsam abnimmt. Zugleich wird das Gleichgewicht durch die Dichtezunahme in den äußeren Schichten instabil. Kommt man der Begleiter näher, so durch die von ihm erzeugte Flut das Gleichgewicht um, es tritt Machung mit heftigen, heftigen Schütteln ein, wodurch die Temperatur und Strahlung rasch auf ihren Höchstwert steigt. Man hat also einen Lichtwechsel zu erwarten, bei welchem das Maximum in mehren Ansätzen der Helligkeit bald nach dem Periastron, das Minimum einige Zeit nach dem Apastrum erreicht wird, so wie es die Beobachtungen in Wirklichkeit ergeben.

⁵⁾ The starry period variable # Cephei, Astroph. Journ. III

⁶⁾ Proceedings of the Royal Society No. 107, London 1879

Beobachtungen mehrerer hellen veränderlichen Sterne in Taschkent.

Beobachtungen über veränderliche Sterne durch Schätzungen ihrer Helligkeit nach Angländer's Methode hat W. Strassow auf dem Observatorium zu Taschkent in den Jahren 1895 bis 1897 angestellt und gibt veröffentlicht. ¹⁾ Die Beobachtungen wurden vorwiegend mit bloßem Auge angestellt, beschränken sich also auf hellere Veränderliche. Die geschätzten Helligkeiten wurden in Sterngrößen umgerechnet und für letztere der photometrische Potsdamer Katalog als Norm angenommen.

Unter den beobachteten Veränderlichen sind folgende bemerkenswert:

« Castor (α) nahm von 1896 abwärts an Helligkeit ab, erreichte sein Minimum im August 1897 und nahm dann wieder zu. Seine Helligkeit schwankt im ganzen zwischen 2.11 und 2.56 Größe.

β Ursae varians zeigte sich unregelmäßig veränderlich zwischen den Größen 1.60 und 2.50.

γ Persei schwankte zwischen 3.86 und 3.90 Größe, eine feste Periode des Lichtwechsels zeigte sich indessen nicht. Die Beobachtungen von 1890 deuten hier solche von 56 Tagen Dauer an, während die Beobachtungen 1896 und 1897 diese nicht bestätigen.

« Rigel. Dieser Stern zeigte Veränderungen seines Lichtes zwischen 3.6 und 4.1 Größe, ohne daß eine Periode derselben erkennbar war.

« Ophiuchi. Schon verschiedene Male ist dieser Stern als Veränderlicher vermutet worden und solchen wird durch die Beobachtungen in Taschkent bestätigt. Während der Jahre 1895 bis 1897 hat die Helligkeit dieses Sterns zwischen 3.05 und 3.85 Größe geschwankt.

« Hercules. Mehr 1895 bis 1897 in seine Helligkeit schwankungen unregelmäßig.

nützlich, so daß keine Periode derselben erkennbar war. Der Stern erreichte im Maximum 3.03, im Minimum 3.60 Größe. Er ist bekanntlich von stöcherlicher Farbe.

β Lyrae. Die Beobachtungen über diesen oft untersuchten Stern ergaben ähnliche Abweichungen von der vor 45 Jahren von Angländer aus zahlreichen Beobachtungen abgeleiteten Lichtkurve, wie solche in den letzten 15 Jahren nach von Lindemann und Penzance erhalten worden sind. Nach Angländer erreicht der Stern 3^h 2^m nach seinem schwächsten Licht (Hauptminimum) sein erstes Maximum, 3^h 7^m darauf ein zweites Maximum, dessen Höhe nach 3^h 2^m ein zweites Minimum, worauf der Stern während weiterer 3^h 9^m wieder zum Hauptminimum herabsinkt. Nach den Beobachtungen von Strassow und der Gesamtheit der Beobachtungen von Schae, Pfaffhausen, Penzance, Glassopp und Neave, welche zusammen den Zeitraum von 1877 bis 1897 umfassen, ergibt sich folgendes: Der Stern verläuft eine unregelmäßige Lichtkurve, wie die von Angländer bestimmt, sondern es finden Schwankungen und Abweichungen von derselben statt, die bei 0.1 Größenklasse gehen. Die gesamte Lichtveränderung von β Lyrae schwankt zwischen 3.85 und 4.50 Größenklasse.

R Lyrae. Dieser Stern ist überhaupt noch nicht genügend untersucht worden. Die Beobachtungen von Strassow deuten mehrere Maxima und Minima an, doch sind die Lichtschwankungen gering, denn der Stern schwankt nur zwischen 4.32 und 4.58 Größe.

γ Aquilae. Der Stern gehört zur nämlichen Klasse der Veränderlichen wie β Lyrae. Seine Helligkeit schwankt nach Strassow zwischen 3.61 und 4.43 Größe.

α Capri. Die Lichtschwankungen dieses neuen Sterns waren zwischen 3.80 und 4.23 Größe und dauerten das Periode von 680 Tagen an.

¹⁾ Publications de l'Observatoire de Taschkent No. 3. Taschkent 1898.

β Capell. Dieser Stern gehört auch nach den Beobachtungen Starkewitz nicht zu den sehr regelmäßigen Veränderlichen und bedarf weiterer Beobachtungen. Im Maximum war er 3.78, im Minimum 4.34 Größe.

γ Pegasi. Dieser Stern zeigte während der Beobachtungsperiode eine regelmäßige Helligkeitschwankung zwischen 1.53 und 3.10 Größe. Doch müssen zahlreiche Beobachtungen darüber entscheiden, ob er wirklich zu den regel-

mäßigen oder zu den unregelmäßigen Veränderlichen gehört.

γ Pegasi. Die Beobachtungen waren nicht ausreichend, um mit Sicherheit über die Veränderlichkeit dieses Sterns zu entscheiden. Jedenfalls kann sein Maximum nur 2.5 Größe überschreiten.

δ Pegasi. Der Variable scheint diese (höchstwahrscheinlich) Sterne zu sein, denn er schwankte 1885 bis 1887 nur zwischen 3.7 und 3.1 Größe, auch ließ sich Beobachtung des Lichtwechsels erkennen.

Vermischte Nachrichten.

Der rote Fleck auf dem Jupiter.

A. Stanley-Williams hat in den Jahren 1903 und 1904 mit einem 6 $\frac{1}{2}$ fährigen Spiegelteleskop und ein 150facher Vergrößerung Beobachtungen über den roten Fleck auf der Jupiterscheibe angestellt, indem er die Zeitpunkte feststellte, wenn der Mittelpunkt des Fleckes dem Äquator nach mitten auf der Jupiterscheibe stand. Aus diesen Schätzungen berechnete er eine Rotationsdauer von 9h 55m 41.50s. Ob dieser Beobachter tatsächlich in früheren Jahren aus der Bewegung des nördlichen roten Fleckes die Rotationsdauer wie folgt:

1900	9h 55m 41.55s
1900	41.50
1902	40.00
1902	39.00

Der rote Fleck war im letzten Jahre etwas besser sichtbar als früher, und seine Umriss konnte deutlich erkannt werden. Stanley-Williams folgert aus seinen Beobachtungen, daß die Rotationsdauer seit 1902 sich vergrößert habe. W. F. Denning hat den roten Fleck ebenfalls beobachtet und findet für die Mitte des Jahres 1904 eine Rotationsdauer von 9h 55m 38.6s, welche kleiner ist als irgend ein anderer Wert derselben, den Denning seit 1844 beobachtet hat. Dies ist also entgegen den Ergebnissen von Stanley-Williams. Auch weist Denning, daß der Fleck gewöhnlich

sehr schwach, also sehr schwer zu sehen sei.¹⁾

Sachster Jupitermond. Auf der Lichtenbergsche hat Perrine auf Photographen, die im großen Cassini-teleskop aufgenommen waren, einen hellstehenden Stern in der Nähe des Jupiter entdeckt, der die letztere Eigenbewegung nahezu teilt. Die Aufnahmen geschahen 1903 December 2, 8, 9, 10, sowie 1904 Januar 2, 3, 4. Der Sternchen ist 14. (absoluter) Größe und steht in 45' Distanz vom Jupiter, maßstabes, wenn nicht etwa die Entfernung des letzteren ist, mindestens die tatsächliche Entfernung vom dem Stern. Wie der viele Jupitermond. Prof. Bortwich hat jedoch darauf hingewiesen und richtigweise wahrscheinlich gemacht, daß das Sternchen nicht sowohl ein Teilchen des Jupiter, als vielmehr ein Planet aus der Gruppe der kleinen Planeten vom Komet, der zufällig in der Nähe des Jupiter stand. Es ist nach Prof. Bortwich nicht ausgeschlossen, daß es sich um einen früher photographisch beobachteten, aber rechnerisch nicht gesicherten kleinen Planeten handelt. Weitere Beobachtungen sind also erforderlich, um die wahre Stellung des kleinen Sterns im Planetensystem sicher zu erkennen.

¹⁾ Astron. Nachr. No 3995.

Der Komet Tempel II ist am 30. November 1904 von Javelle am großen Refektor zu Nizza bei seiner damaligen Visitation zur Sonne aufgefunden worden. Er erschien in dem großen Instrument als schwache Nebelstelle von $1\frac{1}{2}'$ bei 2 Durchmesser und ohne Kern. Der Komet besitzt bekanntlich eine Umlaufdauer von 526 Jahren und war zuletzt am 26. Juli 1899 in seiner Sonnenbahn. Entdeckt wurde er von Tempel 1873.

Meteor am Tage. Am 15. Nov. 2^h 54^m mitteleuropäische Zeit wurde von mir ein ziemlich helles Meteor beobachtet. Ich wurde auf dasselbe aufmerksam, als ich die Venus mit einem Feldstecher bei Tage suchte. Da das Meteor rasch südwestlich schen, so daß ich es für den Planeten hielt, sah ich den Anfangspunkt der Bahn. Dasselbe hatte nahezu die Koordinaten 18° , — 25° . Während die Bewegung immer schneller wurde, erreichte das Meteor den höchsten Punkt etwa 25 bis 30° westlich vom Zenith, zog dann in nordwestlicher Richtung weiter und verschwand etwa in 11° — 20° . Die Dauer der Sichtbarkeit betrug 4 bis 10^m; die Farbe war gelb. Ein Schweif war nicht sichtbar, auch wurde kein Verschwinden beim Zersplittern bemerkt.

K. Schaller

Astronomisch-Oberstudium
Königsplatz-Hausberg.

Großes Meteor. Aus Leuchterschreibt uns Herr A. J. Poppe:

Am 12. Dezember abends 8^h 28^m mitteleuropäische Zeit sah ich hier die schwere Feuerkugel, die ich je gesehen. Da gerade ich am 3 $\frac{1}{2}$ -200er beobachtete, ist die Position nicht allzu genau. Ausgangspunkt Perseus über Andromeda — Endpunkt genau Südwest zwischen 20 und 21 $\frac{1}{2}$ R. in Höhe des Sterns verflüchtend. Fliegende Wolken vermochten die Erscheinung nicht zu unterbrechen. Helligkeit 4-mal Jupitergröße, Farbe grüngelb. Lauf nord-ost, gleich Spitzengefüge. Bahnspur sehr stark leuchtend und wellenförmig. Dauer: 4^m

verschwindend ohne Flitzen und ohne Schell.

Die Bahn des Doppelsterns ϵ Sagittarii hat W. Doherty aus den Beobachtungen von 1679 bis 1891 berechnet. Er findet die Umlaufdauer des Begleiters = 21 82 Jahre, die halbe große Achse der Bahn = 6.576'', die Excentricität = 0.1619, Zeit des Periastrons 1899.95. Gegenwärtig beträgt der scheinbare Abstand des Begleiters von seinem Hauptstern, $d = 621''$, der Positionswinkel $p = 205.6^{\circ}$. Die Distanz wird sich in dem nächsten Jahrzehnte langsam vergrößern und 1905 etwa 63'' betragen.

Eine sonderbare Helligkeitsänderung des Hauptsterns Atlas soll der englische Beobachter Green wahrgenommen haben. Am 26. October 1904 erschien ihm dieser Stern, der gewöhnlich als 3. Größe angesehen wird, schwächer als Phebus, deren Helligkeit 5.2 Größe ist. Später erlosch Atlas wieder dem normalen Glanz.

Die Anzahl der kosmischen Nebelsternen. Nachdem im Laufe vieler Jahre durch die Nachforschungen der beiden Herschels, des Lord Rosse, d'Arrests, Tempels und anderer die Zahl der bekannten kosmischen Nebelflecke auf etwa 5000 gestiegen war, hat die Einführung photographischer Aufnahmen des Himmels gleich anfangs ergeben, daß damit nur der kleinste Teil dieser Gebilde entdeckt sei. Prof. Koderker, nachdem er eine große Anzahl von Aufnahmen mittels des Gresserrefraktors untersucht hatte, sagte in dem Ausspruch, daß die wahre Häufigkeit tagelichtbarer Nebelflecke des Himmels wohl auf 120 000 an Zahl zu veranschlagen sein müßte. Genaß dem von dem erwähnten Programm stammenden photographische Aufnahmen von 104 der hellen Nebelflecke und Sternhaufen in allen Teilen des Himmels nördlich von 20° nördl. Declination auf der Licksternwarte angestellt worden, um über Zahl und Vertheilung dieser Objecte ge-

5. Astron. Nachr. No. 3070

neuer urteilen zu können. Nachdem dieses Programm längst vollständig ausgeführt worden ist, gibt C. D. Perrine jetzt eine neue Schätzung über die Menge der kosmischen Nebel.¹⁾ Er teilt mit, daß in 57 der erweiterten Regionen des Himmels 745 neue Nebel auf den Platten entdeckt wurden sind, von denen fast alle sehr lichtschwach und klein sind. Regionen, in welchen keine neuen Nebel entdeckt wurden, sind durchgängig diejenigen rings um Sternhaufen und sehr große Nebel, diese 142 an der Zahl. Letztere der vorgenannten ausreicht, gibt eine Gesamtsumme von 667 Nebelflecken. Das gibt für jede Platte durchschnittlich 801 Nebelflecke. Da man 62000 solcher Platten erforderlich sind, um die ganze Fläche des Himmels zu bedecken, so folgt, daß an dieser 500 000 Nebel vorhanden sind, welche der Crossley-Reihe unter gewöhnlichen Verhältnissen darstellbar wären. Man ist aber nach Perrines Ansicht überzeugt, daß Singulare Exemplare, empfindlicher Platten empfindlicherer Photographien unverweifelhaft noch eine Menge von Nebeln herausbringen würden, die uns jetzt entgehen oder mit schwachen Sternen zusammengeworfen werden. Daher schließt er Perrine schließlich wahrscheinlich, daß die schließliche Zahl der für uns wahrnehmbaren kosmischen Nebelflecke eine Million überschreitet.

Ein neuer Verleiderleher der Algol-Klasse wird von Prof. Edward C. Pickering angegeben.²⁾ Derselbe wurde auf photographischen Platten von 10 1/2 Zoll als solcher erkannt und steht im Sternfeld des Schiffs in $\text{AR} = 15^{\text{h}} 8^{\text{m}} 28^{\text{s}} \cdot 9$ $\text{D} = -15^{\circ} 24' 0''$ (Jhr 1885 G). Erstgewöhnlich 9.5. Größe und kommt in der neueren Durchmusterung unter der Bezeichnung — 15 4895* von Ober 200 Platten wurden zur Feststellung der Lichtschwäche untersucht. Es ergibt sich, daß die Periode der Verdunkelung 4.48312 Tage beträgt. Im

Maximum ist der Stern schwächer als 10.5 Größe. Bemerkung ist, daß der Stern in der Zwischenzeit von einem zum andern Maximum seiner Helligkeit eine sekundäre Lichtabnahme um etwa 0.3 Größenklassen zeigt. Seine Lichtkurve steht hienach etwa in der Mitte zwischen denjenigen, welche die Veränderlichen γ Cygni und α Herkules zeigen, denn bei jenem ist das sekundäre Minimum fast ebenso stark ausgeprägt als das Hauptminimum, bei α Herkules aber nimmt die Helligkeit im sekundären Minimum kaum um mehr als 0.1 Größenklassen ab.

Die Verteilung der Sternspektren. Untersuchungen über die Verteilung der Fixsterne der einzelnen Spektralklassen im Himmelsgewölbe sind wiederholt angestellt worden, aber es haben zu entscheidenden Ergebnissen nicht geführt, weil die Anzahl der Sterne, deren Spektrum genauer bekannt ist, nicht groß genug war. Endgültig wurde dadurch die bewundernswürdige Arbeit, welche die Harvard Sternwarte veranstaltete, viele tausend Sterne in Bezug auf ihr Spektrum und ihre Lichtstärke photographisch aufgenommen sind (Starnummer 10351 Stereo 8. Großrandbrennweitenwechsel des Nierdopel und 25" nach Dallmeyer), hat eine solche Untersuchung gewöhnliche Unterlagen, um zu sicheren Ergebnissen führen zu können. Dementselb wurde auf der Harvard Sternwarte eine wichtige Arbeit über die Verteilung der Sterne der verschiedenen Spektralklassen in Bezug auf die Milchstraße ausgeführt.³⁾ Als Spektralklassen wurden diejenigen festgehalten, welche schon früher von der Harvard Sternwarte adoptiert wurden sind. Hiernach wurden die Sterne des 1., 2. und 3. Spektraltyps in 3 Klassen unterteilt, welche durch die Buchstaben A, G und M bezeichnet sind, Sterne des 1. Typus, in welchen die Linien des Hydium erschienen (die Sterne des Oerotypus), fallen in die Klasse B,

¹⁾ Lick-Observ. Bulletin, No. 34.

²⁾ Harv. Coll. Observ. Circular, No. 36.

³⁾ Annal. of Harvard Coll. Obs., Vol. I/VI, No. 1.

Sterne, deren Spitzen zwischen dem 1 und 2 Typus eingetrennt sind in Klasse F, und Sterne zwischen dem 2 und 3 Typus in Klasse K ausgebeugt. Es ergab sich zunächst die völlige Bestätigung der schon früher aus einer Untersuchung der Sterne des Draper Katalogs⁵⁾ gefundenen Ergebnisse, daß die Milchstraße hauptsächlich aus Sternen des 1. Spektraltypus besteht. Die harkins gehörigen Sterne konnten überall an Himmelsgegenden vor, über und überwiegen flugs einer Ebene, die durch den Lauf der Milchstraßenbahn wird. Die übrigen Sterne des 2. und 3. Spektraltypus sind im allgemeinen gleichmäßig über den Himmel verteilt und zeigen keinerlei Anklänge gegen die Milchstraße hin. «Denn beiden Abteilungen von Fixsternen, sagt Prof. Pickering, müssen also bei allen Diskussionen über das Bau des Universums getrennt voneinander behandelt werden, ebenso bei Untersuchungen über die Bewegung der Sterne im Raum, über Parallelismus etc. Das Verhalten der Sterne des 1. Spektraltypus zur Gesamtheit aller Sterne weist, wenn man die schwachen Sterne mit einschließt, während bei den Sternen des Orontotypus das entgegengesetzte Verhalten scheint. Das sind sehr wichtige Ergebnisse, die auch bei allen kosmogonischen Hypothesen von jetzt ab eine Rolle spielen müssen.

Die Aenderung der Sterne in dem großen Strahlensystem des Herkules hat J. H. Schaeberle an der Hand einer größten Anzahl photographischer Aufnahmen dieses Objektes studied⁶⁾. Diese Aufnahmen geschieden mit einem photographischen Spektroskop von 13 Zoll Öffnung und nur 32 Zoll Brennweite. Schaeberle bemerkt, daß bei ungedeckten Objekten mehrere Negative aufgenommen werden müssen, wobei natürlich verschiedene Teile derselben an der Mante des Gesichtsfeldes zu bringen sind. Indem er dieses Verfahren auf den großen Sternhaufen im

Herkules anwandte, kommt Schaeberle zu dem Ergebnisse, daß in diesem mehr weniger als Färschichte Sternströmungen zu erkennen sind. Er glaubt den Nachweis führen zu können, daß dieser Sternhaufen nicht anders ist als die zentrale Kondensation einer ungeheuren Nebelgirle.

Ernst Abbe. Am 13. Januar ist mit Prof. Abbe, dem Inhaber der Zeiss'schen Anstalt, einer der hervorragendsten Naturforscher und Mathematiker, dabei ein edler Menschenfreund, von einem geschieden. Was er der Wissenschaft gewesen, besonders seine Bedeutung für die Theorie des Mikroskops, wird von beruhter Seite dargestellt werden. Der «Genie» verlor in ihm einen hochgeschätzten Mitarbeiter. Abbe war geboren 1840 zu Jena als Sohn eines kleinen Handwerkers, studierte in Jena und Göttingen und promovierte dort 1861 mit einer Dissertation über die «Erleuchtungsflüge Begründung des Satzes von der Äquivalenz zwischen Wärme und Arbeit». In Jena als Privatdozent habilitiert, kam er in Beziehungen zu dem Mikroskopverfertiger Zeiss, und diese Beziehungen wurden sehr bald für die Wissenschaft und für Abbe's Zukunft. Auf streng wissenschaftlichem Wege schloß er die Bedingungen fest, welche für die höchste erreichbare Vervollkommenung der Mikroskope möglich sind. Seit 1875 war er Mitinhaber der Firma Zeiss, später alleiniger Besitzer und begründete dann die weitbekannte Carl Zeiss Stiftung, welche den Besitzen und Arbeiten der Zeiss'schen Anstalt Mitbeteiligung in einem fast unerschöpflichen Maßstabe gewährt. Als Inhaber die Mittel für wissenschaftliche Institute der Universität, so hat die Entwicklungsaufforderungen der Professoren durchzuführen, so gab 17 Millionen Mark zum neuen Universitätsbau, so baute das Volkshaus mit der Lesehalle und Bibliothek, ein Institut, wie wir aus Deutschland aus vollkommenster Form nicht wieder finden. Der Name Abbe wird unvergänglich leben

⁵⁾ Journal Vol. XXV, p. 192.

⁶⁾ Astronomical Journal, No 268, p. 253.

Astronomischer Kalender für den Monat April 1905.

Sonne				Mond			
Mittlerer Berliner Mittag				Mittlerer Berliner Mittag			
Monat Tag	Zeit- M. L. — W. L.	Rektascension	Declination	Rektascension	Declination	Monat Tag	Monat Tag
1	5 39.34	0 48 29.41	+ 0 59 11.6	22 24 55.40	— 0 53 39.4	22	27.9
2	5 47.17	0 48 54.05	0 48 48.2	22 5 8.18	0 54 38.0	23	47.3
3	5 55.00	0 49 18.00	0 49 12.8	22 15 23.76	0 55 36.5	24	56.4
4	6 02.43	0 49 41.45	0 50 12.3	22 35 39.15	+ 0 56 35.0	—	—
5	6 10.27	0 50 05.00	0 51 11.2	22 55 54.54	0 57 33.5	1	55.0
6	6 18.10	0 50 28.45	0 52 10.5	23 16 10.00	0 58 32.0	2	53.5
7	6 25.53	1 0 52.91	0 53 10.4	23 36 25.45	0 59 30.5	3	52.0
8	6 33.36	1 0 55.34	0 54 10.3	23 56 40.90	1 00 29.0	4	41.4
9	6 41.19	1 0 57.77	0 55 10.2	24 16 56.35	1 01 27.5	5	30.9
10	6 49.02	1 0 59.95	0 56 10.2	24 37 11.80	1 02 26.0	6	20.4
11	6 56.45	1 10 21.04	0 57 10.2	24 57 27.25	1 03 24.5	7	10.0
12	7 04.28	1 10 42.00	0 58 10.2	25 17 42.70	1 04 23.0	8	0.0
13	7 12.11	1 11 02.91	0 59 10.2	25 37 58.15	1 05 21.5	9	9.4
14	7 19.54	1 11 23.82	0 60 10.2	25 58 13.60	1 06 20.0	10	9.0
15	7 27.37	1 11 44.73	0 61 10.2	26 18 29.05	1 07 18.5	11	8.6
16	7 35.20	1 12 05.64	0 62 10.2	26 38 44.50	1 08 17.0	12	8.2
17	7 43.03	1 12 26.55	0 63 10.2	26 59 00.00	1 09 15.5	13	7.8
18	7 50.46	1 12 47.46	0 64 10.2	27 19 15.50	1 10 14.0	14	7.4
19	7 58.29	1 13 08.37	0 65 10.2	27 39 31.00	1 11 12.5	15	7.0
20	8 06.12	1 13 29.28	0 66 10.2	27 59 46.50	1 12 11.0	16	6.6
21	8 13.55	1 13 50.19	0 67 10.2	28 19 62.00	1 13 09.5	17	6.2
22	8 21.38	1 14 11.10	0 68 10.2	28 39 77.50	1 14 08.0	18	5.8
23	8 29.21	1 14 32.01	0 69 10.2	28 59 93.00	1 15 06.5	19	5.4
24	8 37.04	1 14 52.92	0 70 10.2	29 19 10.00	1 16 05.0	20	5.0
25	8 44.47	1 15 13.83	0 71 10.2	29 39 25.50	1 17 03.5	21	4.6
26	8 52.30	1 15 34.74	0 72 10.2	29 59 41.00	1 18 02.0	22	4.2
27	9 00.13	1 15 55.65	0 73 10.2	30 19 56.50	1 19 00.5	23	3.8
28	9 07.56	1 16 16.56	0 74 10.2	30 39 72.00	1 20 00.0	24	3.4
29	9 15.39	1 16 37.47	0 75 10.2	30 59 87.50	1 21 00.0	25	3.0
30	9 23.22	1 16 58.38	0 76 10.2	31 19 10.00	1 22 00.0	26	2.6
31	9 31.05	1 17 19.29	0 77 10.2	31 39 25.50	1 23 00.0	27	2.2

Planetenkonstellationen 1905.

April	2	16	Merkur in größter östlicher Elongation 16° 11'
„	4	18	Merkur in größter westlicher Inkonjunktion Sonne
„	7	8	Merkur in Konjunktion mit dem Monde
„	8	9	Jupiter in Konjunktion mit dem Monde
„	9	10	Venus in Konjunktion mit dem Monde
„	20	19	Mars in Konjunktion mit dem Monde
„	23	22	Merkur in letzter Konjunktion mit der Sonne
„	24	23	Venus in letzter Konjunktion mit der Sonne

Planeten: Ephemeriden.

Wächter: Berliner Freitag						Mallner: Berliner Freitag					
Tag 1906	Rechnungen			Orbitale		Tag 1906	Rechnungen			Orbitale	
	h	m	s	°	'		h	m	s	°	'
Merkur:						Saturn:					
April 1	1 05	38 48		+88 55	218	1 51	April 20/21	6 12 08		-32 44	51 8
2	1 04	47 04		18 57	41 1	2 5	20/21	12 50 52		33 27	27 2
10	1 05	8 50		16 28	54 4	9 48	21/22	18 52 05		-38 15	24 9
18	2 30	54 56		25 38	50 5	1 50	Uranus:				
26	2 40	9 12		19 33	37 8	23 48	April 20	16 19 42		-25 17	12 7
30	3 45	47 30		+11 13	21 5	33 22	20/21	16 13 52		23 17	30 9
							21/22	17 10 51		-32 26	2 2
Venus:						Neptun:					
April 2	5 48	15 15		+20 54	26 1	1 29	April 21	6 18 47 64		+23 23	58 4
8	5 56	17 40		25 54	55 1	2 51	21	8 18 28 52		32 12	38 3
16	2 24	37 48		22 23	39 5	1 7	26	8 18 28 52		+23 23	58 4
24	1 38	8 40		26 54	37 9	9 30					
32	5 54	20 31		18 54	38 5	1 8	Mond phasen:				
36	5 4	16 48		+20 5	55 17	55 17					
Mars:											
April 4	21 32	18 31		-37 48	0 2	34 44	April 4	19 17 8		Neumond	
5	21 34	1 48		37 48	18 2	34 58	20	19 18 8		Erster Viertel	
14	10 28	36 54		37 48	45 5	34 1	26	2 1 20 8		Vollmond	
22	14 56	18 07		37 48	38 5	35 59	30	5 2 8		Letztes Viertel	
30	20 10	12 54		37 27	2 8	35 10	6 10	—		Mond in Erdtrichter	
38	24 12	68 08		-37 26	57 8	35 47	10 11	—		Mond in Erdtrichter	
Jupiter:											
April 10	1 31	46 36		+43 13	7 7	1 10					
18	1 18	13 46		23 57	27 8	9 28					
26	1 48	12 34		+34 34	55 8	8 8					

Sternbedeckungen durch den Mond für Berlin 1906

Mondtag	Stern	Größe	Einstieg währender Zeit		Ausgang währender Zeit	
			h	m	h	m
April 21	γ Virgo	3	6	20 1	10	29 7

**Lage und Größe des Saturnrings im Mond April 1906
nach 10 Beobachtungen:**

April 10, Mallner Saturne des Ringe	22° 27' 17"
Schubert " " "	22° 28' 47"
Mallmann des Sonne	22° 47 48"
Parfitt " " "	2 79"



Stellungen der Jupitermonde im April 1896.

I.



r

III.



r
d
r

II.



r

IV.

Keine
deutl.



Verfinsterung
des Jovis

Stellungen um 1^h 10^m für den Abbild im astronomischen Periscope.

Tag	Westl.	Ort
1		O 8 4 21
2		1 30 2
3	2 4 3	O 4
4	1 2 1 2	O
5	1 1 1 2	O 1 1 1
6	1 1 1 2	O 1 1 1

Wegen Nähe bei der Sonne ist Jupiter und seine Monde
vom 7. April bis Ende Mai nicht zu beobachten.

Ercheinungen der Jupitermonde. Die nachstehenden Angaben über die Ercheinungen der Jupitermonde beziehen sich auf mittlere Zeit vom Greenwich. Die Trabantn sind der Reihenfolge nach Merkur, Europa vom Jupiter nach III bis IV bezeichnet. Die vor größten Figuren zeigen die Stellung jedes Mondes mit Bezug auf den Jupiter für den Augenblick der Verfinsternng (A) oder des Wiedereintrittes (E). Ist r nicht angegeben, so kann der Antritt aus dem Schatten nicht beobachtet werden, Ferner bedeutet bei den nachfolgenden Zeitangaben:

- Er D das Verschwinden des Trabanten im Schatten des Jupiter.
- Ea E den Antritt des Trabanten aus dem Schatten des Jupiter.
- Or D das Verschwinden des Trabanten hinter der Jupiterschibe.
- Or E das Wiedereintrittens welche neben der Jupiterschibe.
- Tr I den Eintritt des Trabanten vor die Jupiterschibe.
- Tr E den Antritt des Trabanten aus der Jupiterschibe.
- St I den Eintritt des Trabantenshatten auf der Jupiterschibe.
- St E den Antritt des Trabantenshatten aus der Jupiterschibe.

Es sind nur diejenigen Ercheinungen der Jupitermonde aufgeführt, welche sich erwarten, wenn Jupiter zu Greenwich über und der Sonne unter dem Horizont steht. Um die Momente dieser Ercheinungen nach mittlernapflicher Zeit zu finden, hat man nur nötig, 1^{te} zu den angegebenen Zeitpunkten zu addieren:

April 2. I. Ea II. 15^h 42^m 30^s April 2. III. Tr I. 16^h 30^m April 6. II. Tr I. 21^h 12^m.

Stellungen der Saturnmonde. (Erklärung S. 24.)

Zeiten der optischen Elongation im April 1904

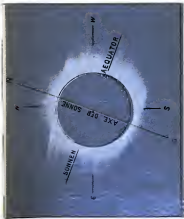
Saturn. April 16. 18^h 4^m; April 27. 10^h 7^m; April 28. 18^h 0^m; April 29. 7^h 0^m;
April 30. 4^h 5^m; April 1. 1^h 50^m; April 12. 22^h 4^m; April 23. 11^h 5^m; April 26. 20^h 4^m;
Uran. April 16. 21^h 5^m; April 18. 18^h 5^m; April 28. 11^h 10^m; April 29. 12^h 5^m;
April 30. 1^h 4^m; April 1. 11^h 5^m;
Nept. April 15. 1^h 5^m; April 23. 11^h 5^m; April 26. 11^h 5^m; April 28. 11^h 4^m;
Uran. April 16. 11^h 5^m; April 20. 11^h 5^m E; April 21. 11^h 5^m E; April 26. 11^h 5^m W;
Neptun. April 16. 12^h 4^m W.

Mehrere grössere und kleinere

astronomische Fernrohre

sind sehr preiswürdig zu verkaufen. Reflektoren weisen auch wegen starker Mithelungen zu nicht wenden.

Prof. Dr. Hermann J. Klein in Köln-Lindenthal.



1951 1951 Die Sonne während der totalen Sonnenfinsternis am 18. Mai 1951. 1951
 Gezeichnet von K. Hagen nach Photographien der japanischen Expedition in Peiking und Samsara

... die astronomischen Aufgaben über die Er-
 ... und die Zeit von Geschehnissen. Die
 ... vom Japaner auch mit Hilfe der
 ... die Stellung jedes Planeten zum Beobachter
 ... die Lage der Weltregionen zu
 ... die Sonne nicht beobachtet werden
 ... Zeit gegeben

- 1. die Aufgaben im Schatten des Japans
- 2. die Aufgaben im Schatten des Japans
- 3. die Aufgaben im Schatten des Japans
- 4. die Aufgaben im Schatten des Japans
- 5. die Aufgaben im Schatten des Japans
- 6. die Aufgaben im Schatten des Japans
- 7. die Aufgaben im Schatten des Japans
- 8. die Aufgaben im Schatten des Japans
- 9. die Aufgaben im Schatten des Japans
- 10. die Aufgaben im Schatten des Japans

... die Japaner auch mit Hilfe der
 ... die Stellung jedes Planeten zum Beobachter
 ... die Lage der Weltregionen zu
 ... die Sonne nicht beobachtet werden
 ... Zeit gegeben

1. April 2, 10 Uhr 30 Min. April 3, 10 Uhr 30 Min.



Sonne gesehen und höhere

astronomische Fernrohre

und wie präzisierend zu verstehen. Refraktoren sollen sich
 ... zu machen.

Prof. Dr. Hermann J. Klein in Köln-Lindenthal





SIRIUS.

Zeitschrift für populäre Astronomie.

Centralorgan für alle Freunde und Förderer der Himmelskunde.

Herausgegeben

unter Mitwirkung hervorragender Fachmänner und astronomischer Schriftsteller

von Prof. Dr. Hermann J. Klein in Köln.

März 1905.

„Wissen und Erkennen sind die Freunde und die
Erleichterung der Menschen.“ Goethe.

Jeden Monat 1 Heft. — Jährlich 12 Mk.

Verlag von EDUARD HEINRICH MAYER in Leipzig.

INHALT: Der Atramenten beim hebräischen Volke. S. 45. — Die Bewegung der Schwermetalle des Kosmos 1904. S. 54. — Bestimmung von Fixsternpositionen durch photograpische Aufnahmen am Yerkes-Reflektor. S. 58. — Die Bedeutung astronomischer Aufschlüsse im großen Universalien und in der Hauptkategorie Welten. S. 64. — Double Leonidas Heliosman. (Flares Teil II) S. 61. — Eine neue Methode der Annäherung von Sonnenfleckenpaaren. S. 68. — Veränderte Nachbarn. S. 63. — Stellung der Saturnen. S. 70. — Astronomischer Kalendar. S. 71.

Die Astronomie beim hebräischen Volke.

Die astronomischen Kenntnisse der alten Völker sind an und für sich nicht bedeutend gewesen. Sie können recht eckig mit demjenigen der Babylonier, Indier und Ägypter oder gar der Griechen in Parallele gestellt werden, aber sie sind von höherem Interesse wegen der Bedeutung, welche die jüdischen Schriften des alten Testaments für uns besitzen. Aus diesen Schriften ist es auch nur möglich, ein Bild der astronomischen Kenntnisse der Israeliten zu gewinnen, und dazu ist diese Aufgabe außerordentlich schwierig. Um so freudiger darf man mit berechtigter Arbeit befragen, welche kein Geringerer als Prof. O. Schaperoth über die Astronomie im Alten Testament veröffentlicht hat, und die nun auch in einer vorläufigen deutschen Ausgabe

vorliegt¹⁾. Schaperoth hat seine Untersuchungen mit derjenigen Gründlichkeit ausgestattet, welche der astronomischen Fachmann an einem wissenschaftlichen Arbeiten kennt und bewundert. Er hat alle Kameopetren gezogen, und man kann mit vollem Rechte die beständigen Untersuchungen für lange Zeit als abgeschlossen betrachten. Für die vorliegende deutsche Übersetzung hat er gegen die ursprüngliche Fassung mehrere Veränderungen gemacht, nach der Übersetzer hat einige Zusätze gegeben, so daß die deutsche Ausgabe ein vollständiges selbstständiges Interesse beanspruchen darf.

¹⁾ Der Astronom im Alten Testament von Oskar Schaperoth, 1891/1892 von Dr. Willy Löffler. Gießen 1904. Koberstein Verlagbuchhandlung.

Wir wollen nun an dieser Stelle einen kurzen Überblick des Inhalts geben.

Es ist zunächst ein Irrtum, wenn angenommen wird, die Hebräer seien gegen die Dinge der Natur gleichgültig gewesen. Schon Humboldt sagt sehr richtig, es sei ein charakteristisches Kennzeichen der Naturpoesie der Hebräer, daß sie Stellen des Kosmos, wie sie stets die Träger des Weltalls in seiner Einheit umfaßt, sowohl das Erdnischen als die leuchtenden Himmelsräume, und Schöpfungsbericht mit Blick, das Buch Hiob enthält ein vollständiges Bild der physischen Welt, wie es den Hebräern vorliegt noch von niemand verlassen worden war. Man hielt es aber für unmöglich, zum Begreifen der Geheimnisse des Himmels zu gelangen, und vor allem hielt die Hebräer vom Studium der Himmelskörper der Umstand ab, daß die Nachbarn ihrer durch ihre Astronomie zur Astrologie, d. h. zur Vorhersage der Sonne, des Mondes und des ganzen Himmels des Himmels gehört worden waren. »Denn Vorhersage«, sagt Schopenhauer, »vorzusagen ist nicht minder, als dem Tode, den Artzeln oder dem Moloch zu opfern, und sie wurde ihnen noch mehr zum Gesetz, nachdem unter einigen Völkern jeder ein solcher Kultus sogar in Jerusalem eingebracht war und den Tempel jahreslang umschwebte. Darum wurden die Propheten nicht müde, den Anbetern der Götter die schrecklichsten Strafversuche anzuwenden. Einer der größten Schriftsteller des Exils, der Verfaßer des zweiten Teiles des Buches, das den Namen des Jesaja trägt, versuchte die Demütigung Babels und rief aus: »Es möge doch scheitern und doch stehen, die des Himmels Jüngling und, der nach den Sternen schaut, die alte Ninive, die Kunde geben von dem, was dich befallen wird! Schon sind sie wie Stöcke geworden, die Feuer verzehrt hat, sie werden ihr Leben nicht aus der Gewalt der Flamme retten.« Die ernüchterte Bevölkerung, in welche das Volk Israel mit ihnen aspien und

babylonischen Bedrückern kam, konnte es gewiß nicht verfehlen, an ihren Sitten, ihren Künsten und ihrem Wissen teilzunehmen, es veranlaßte auch in die eigene Trauer und die eigenen Hoffnungen, bessere Zeiten erwartend, in Anbetracht dessen, daß sich niemand darüber wunderte, daß die Astronomie bei den Hebräern ungefähr auf jener selben Stufe stehen geblieben ist, die, wie wir wissen, längst barbarische Völker Amerika und Polynesien erreicht und teilweise überschritten haben. Doch wir haben das Glück, durch die Jahrhunderte hindurch den besten Teil ihrer Literatur zu bewahren, und das andere noch außerordentliches Glück, diese Literatur als erste Grundlage des Christentums über die ganze Welt verbreiten und so geläufige Besitztümer, wenn nicht des großen, so doch des intelligenten Teiles der Menschheit werden zu sehen. Darum und wir viel besser, als für die Babylonier und die Ägypter, für die Phönizier und die persischen Araber rühmend, aus der besten Vorrichtung von deren astronomischen Kenntnissen und ihrer Kosmologie zu machen; um begünstigt fern der Umstände, daß die biblischen Schriftsteller häufig auf solche Gegenstände aspien.

Eine sehr bemerkenswerte Tatsache ist, daß die kosmographischen Vorstellungen der Hebräer mit denjenigen der Babylonier weit weniger Übereinstimmung zeigen, als mancher erwarten könnte. Von 144 oder sechs Sternbildern, die im alten Testament vorkommen, ist in der Bibel kein in den alten Namen ein Sternbild wiedergefunden worden, die sich in den Katakomben finden.

Die Erde war nach Ansicht der Hebräer eine kreisförmige, ebene ebene Fläche, über der der Himmel (schon gesagt), der sich auf die höchsten Enden der Erde stützt, unter der die Tiefe (schon gesagt). Sie ist unbeweglich im Räume aufgehängt. Himmel, Erde und Meer sind begrenzt, aber für den Menschen unmittelbar groß. »Im letzten Teile der Abgelenkte befindet sich der Schatz, der

Ort, in dem die Dabinggeschiedenen im Zustande von Ekstase, das ist Schauen, wehnen. Es ist dies der vor allem am niedrigsten gelegene Ort, er wird im Buche Hohe (10, 21—22) als das Land beschrieben, in dem der Schauen des Todes herrscht, in dem die Fremden zum vorwiegend schwachen Dämmerschlafes durchbrechen wird, in dem keine Ordnung herrscht, und aus dem man niemals zurückkehrt: kurz als etwas, das dem Hades der Griechen, dem Geos der Latiner und dem Asch der Babylonier sehr analog ist.⁴

Die Himmelskugel galt als kreisförmig, aber als durchsichtig. Dieses Gewölbe trennt die obere Wasser, welche den Regen bilden, von der niedrigen des großen Abgrundes. Jedem Himmelsgraden wurden vier Richtungen unterschieden, ebenso nur vier Winde. Diese vier Richtungen entsprachen den vier Hauptwindgraden, aber für jede waren drei verschiedene Namenysteme in Gebrauch. Diese drei Weisen, die Richtungen zu bezeichnen, werden von den biblischen Schriftstellern durcheinander angewandt, manchmal ohne Regel für die Hervorhebung der einen vor der andern. So sagt Gott zu der Genes (23, 14) bezüglich der Beratung Abrahams in der: „Richte deine Augen und schau von dem Orte, an welchem du dich befindest, nach dem norden und auch dem west und auch dem ost und auch dem süd“. Hier sind zusammengefaßt Ausdrücke gebraucht, die allen drei Systemen angehören. Manchmal kommt es auch vor, daß ein und dieselbe Richtung durch Nebeneinanderstellung zweier ihrer Namen angegeben wird. So wird in Kapitel 27 des Exodus die städtische Richtung mit west-Norden und die städtische mit ost-Nord-Nord-Ost bezeichnet.

Der bisher geschilderte Organismus bildet den unbeweglichen Teil der Welt. Um ihn kreisen die Gestirne, zuerst Sonne und Mond, die auseinander nur wenig voneinander entfernt angenommen wurden. „Es kam,“ sagt

Scheperski, „John Zweifel darüber bestehen, daß die Sonne und der Mond über das Firmament und die obere Wasser getrennt wurden. Wenn daher die Genes (1, 14, 15, 17) die Leuchten von Gott am Firmament des Himmels gesetzt sein laßt, müssen wir dies so verstehen, daß man mehr den Schauen als die Wirklichkeit bezeichnen will. Diese Leuchten erschienen sich für den Beschauer scheinlich auf der Wölbung des Firmaments.“

Obgleich Mond und Sonne eine gewisse Regelmäßigkeit der Bewegungen und Perioden erlebten, sah man es doch nicht als unmöglich an, daß sie auf Befehl Jovans und anderer von Jovans beordneter Manner ihren Lauf aufhoben oder auch sich rückwärts lehten. Ein alter hebräischer Dichter, der den Seg Jovans über die Austerie besang, wies diesem Feldherrn des Hades an, die Sonne und den Mond aufzuhalten zu haben, und gewiß konnte man sich wirkungsvoller und zur Erhabenheit einer lyrischen und auch zugleich heroischen Komposition gegenseitig Beispiele erinnern. Doch war es im Altertum bei andern Nationen vertrieben, so ging auch bei den Hebräern der Stolz der Heldenepik nicht selten in die Geschichte über, und ganz Epyche der Krieger wurde und noch heute von vielen als Geschichte angesehen. — Nach dem Berichte im geschichtlichen Teile des Buches, das den Namen des Jesaja trägt, hätte dieser Prophet die Sonne nicht nur stillstellen, sondern rückwärts gehen lassen. Auch von Elimelech, dem Mann der Naam, erzählt eine dunkle Überlieferung, daß er die Sonne aufzuhalten habe, und nach der Vulgata (1. Chron 4, 22) hätte ein Nachkomme Jovans, der Schen-Jakob, die städtische Zeit vollbracht.⁵

Die Sonnen- und Mondkalendarien waren den Hebräern wohl unbekannt;

⁴ Für diese letzten weniger bekannten Fälle vergleiche man den Kommentar des Monseigneur Martin zu 1. Chron. 4, 22.

aber sie wußten nicht ihre Ursachen und pflegten sie als Vorzeichen göttlicher Strafgerichte zu betrachten. Die totalen Mondfinsternisse waren nicht zu jeder Zeit und an jedem Ort häufig genug; der in Babel versammelte Rat konnte sich daher auf jene stützende dunkle Farbe, die man oft bei solchen Finsternissen beobachtet. Zu den Zeiten des Jesu und Amos haben die Bewohner Palästinas wohl Gelegenheit, totale Sonnenfinsternisse zu beobachten: in der Tat verzeichnet Oppolzer und Olshuf⁷⁾ in dem großen Kanon der Finsternisse als sichtbar an den römischen Grenzen Palästinas eine totale Sonnenfinsternis am 15. August 831 v. Chr. und als sichtbar an andern von Palästina wenig entfernten Orten andere totale Finsternisse am 2. April 834 v. Chr. und am 15. Juni 843 v. Chr. In jener selben Zeit waren in Palästina auch zwei ringförmige Finsternisse, am 2. März 832 und am 6. Oktober 835 v. Chr., sichtbar. Alle diese Erscheinungen mußten damals auf die Erbitterungskraft des Volkes einen großen Eindruck machen.

Der Sternenscheinmal hing genau der Sonne und dem Monde an, die kühnste Götterdämonologische Deutung bezeichnend. Man dachte, der dünn und blass und der Stern dann aufgehört, nach Art einer Stachel. Der im Alten Testament nicht selten vorkommende Ausdruck ganz heutzutage wird in der Septuaginta mit «Knie des Menschen», in der Vulgata mit «Horn des Hirns» übersetzt, in den nachgewiesenen Schriften hat man wahrscheinlich darunter eine Klasse von Göttern zu verstehen, die bei den Hebräern teilweise gebieterisch angesehen wurden, er waren nach Schapassi große oder kleine Götter des babylonischen Pantheons, oder auch nur gute oder böse Götter,

von denen einen jeden je ein Stern oder eine Sterngruppe als Sitz oder Reich zugewiesen war. Von den Planeten lassen sich nur zwei im Alten Testament nachweisen. Einer der großen Propheten des Exils, dessen Weissagungen jetzt unter die des Jesu gerechnet sind, beschloß über den bevorstehenden Fall des babylonischen Reiches und beschloß in folgende Worte aus: «Wie bist du vom Himmel gefallen, o Hölle, Sohn der Morgensonne, bist du zu Boden gekommen, der du Völker niedertricktest! Das Wort Hölle kommt von der Wurzel *hald* hat, die heißt, splendid, gloriat, es bedroht und kann daher nicht auf einen Stern bezogen werden, wie ich meinte, als außer Sonne und Mond eben nur Sterne vom Himmel fallen konnten. Und der Stern Sohn der Morgensonne pflegt darum angemessen auf die morgendliche Venus gedeutet zu werden. So haben die die LXX und die Vulgata verstanden, indessen wackelnde beiden Übersetzungen der Venus, als Morgen- und Abendstern, von den Hebräern wahrscheinlich als zwei verschiedene Götter mit dem Namen *mazzoth* angesehen. Eine Hinsendung auf Venus könnte man auch in den bei Hölle (38, 7) genannten Morgensterne verstehen.

Der Name eines andern Planeten ist wahrscheinlich bei Amos (5, 26) zu finden, nach der massoräischen Punktation wird er *Kijto* gelesen, doch es ist jetzt bekannt, daß er, wie der syrische Übersetzer gut hat, *Kijon* gelesen und gelesen werden muß. Man war gewiss der Name des Saturn bei den alten Arabern und den alten Syrern und, wie Eberhard Schröder nachgewiesen hat, auch bei den Ägyptern. Die Worte des Amos lauten: «So sollst du denn nun den Stolz, dein König, und den Stern eines Gottes, den Kijon, eine Bild, die du auch gemacht hast, [auf den Nacken] nehmen». Der Prophet wird also den Hebräern die Anbetung des Saturns ver-

Hierbei ist die Zahl der Planeten, dassa Ninatun wir bei den Kindern

⁷⁾ Oppolzer, Kanon der Finsternisse, in den Denkschriften der k. Akademie der Wissenschaften in Wien, Math.-nat. Cl. Bd. 18 (Wien 1867). — Olshuf, Synoptischer Kanon der Sonnen- und Mondfinsternisse (Berlin 1896).

Israel annehmen können, erschließt, denn es ist nicht ganz sicher, daß die Namen Ost und West, die in dem nach Joseph benannten Buche vorkommen, die Planeten Jupiter und Venus vorstellen. Sie scheinen hier den Gott des Ostens und die Göttin des Westens oder des Nubens zu bezeichnen, und ihre Beziehung zu den Planetengöttern Belykna ist noch nicht überzeugend nachgewiesen.

Frägt man, wie sich die Calabren in Israel die Anordnung und Reihenfolge der Entfernungen der Planetenkörper dachten, so antwortet Schiaparelli, daß das Firmament, von dem Schnee, Regen und Hagel herabkam, als Ergänzung des Erdgebäudes angesehen wurde, als eine Art unterer meteorologischer Himmel. «Über dem kreist in taglicher Bewegung der obere astronomische Himmel; in ihm mit ihrer Bewegung Sonne und Mond. Dieser oberste Himmel erfüllt nach allen Richtungen hin die Erde und das Firmament, und über ihm ist der Sitz der Allmächtigen. An einigen Stellen der Bibel kommt der Ausdruck selbst bei schamajim, Himmel der Himmel, vor, daraus Verstärkung des Begriffes Himmel auch schließt, wie es nach hebräischem Sprachgebrauch auch für andere Begriffe angewandt wird. Der Himmel der Himmel ist also nichts anderes als der höchste der Himmel, jener, der alles umfaßt. Es ist nicht anzüglich, daß die Ägypter und Babylonier zusammen mit einigen astronomischen Kenntnissen auch den schlechten Samen der Astrologie in Palästina eingeführt haben. Das Volk Israel, das in der Sprache der Kirche Israel und Juda sich den astrologischen und weltlichen Aberglauben überließ, Wahrsager jüdischer Art hieß, der Sonne Pfunde weinte und seine kleinen Kinder im Tale Tapheth opferte, wird gegen den astrologischen Aberglauben, der weniger abgemessen und weniger überauslich als mancher andere ist, nicht gelist gewesen sein. Gleichwohl waren dies nur vorübergehende Vor-

stellungen, und es ist keine kleine Ehre für das Volk, daß es die Nichtigkeit jener und aller andern Arten der Divination erkannt hat.

Was die Sternbilder anbelangt, so findet sich im Alten Testament eine sichere Bezeichnung nur für sechs, die mehr oder weniger anschaulich mit den folgenden gleichzusetzen waren: mit dem Großen Bären, dem Kleinen Bären, den Hyaden und Aldebaran, Orion, den Plejaden und dem sogenannten Kammern des Südens. Der Große Bär, die Hyaden, Orion und die Plejaden finden sich auch in Homer und allgemein in fast allen primitiven Kosmographien. Auf die Kammern des Südens dagegen spielt Homer nicht an, welcher, da er unter einer höhern Breite, ungefähr 38° lebte, von jenen Sternen den ersten (z. B. Canopus) nicht sehen konnte und andere zu hell und in die Dämme der Hadeswelt eingetaucht sah.

Der bürgerliche Tag begann bei den Hebräern mit dem Abende (wie heute noch in der nachemmeschen Welt gebräuchlich); schon in der Genesis heißt es: Es wurde Abend und wurde Morgen, der erste Tag. Auch der mehrteiligen Feste der Hebräer begann man deshalb mit dem Abende und endete dadurch: «Euer-Gebetsbuch, der bürgerliche Tag oder das ephemeron endet dem Abende zu beginnen, ursprünglich bei denjenigen Völkern so Übung, bei welchen als Regel galt, den Anfang des Monats auf den Augenblick zu legen, in dem der neue Mond sich Barm in der Abenddämmerung zeigte. Wie höher hinaus richtig bemerkt, war eine von andern gewohnheiten abhängig, es war in der Tat anzunehmen, daß man den ersten Tag des Monats von demselben Augenblicke an zu rechnen begann, mit dem, wie man annahm, der Monat selbst seinen Anfang nahm, und man kann leicht denken, welche Unzorgfältigkeiten der Gebrauch mit sich geführt hätte, den Monat in dem einen Augenblicke und den ersten

Tag desselben Monats in dem andern zu bequemen. Nun war es bei den Hebräern in jeder Epoche ihrer Geschichte Brauch, die Monate von dem Augenblicke an zu rechnen, in dem die künftige Zeit des Monats nach der Konjunktion mit der Sonne sichtbar zu werden begann; das ist vom Augenblicke des aufsteigenden Neumondes an. Die Übung, den Tag mit dem Abende zu beginnen, stellt dieses als notwendige Folge, bei den Hebräern, wie bei andern Völkern, unter denen auch die Griechen zu rechnen sind.

Der Monat, mit welchem der bürgerliche Tag begann, ist eben $\frac{1}{2}$ Stunde nach Sonnenuntergang zu verlegen. Die Nacht wurde in drei Theile eingetheilt. Die Einteilung des Tages war sehr ungleich. »Die Idee der Stunde, das ist eine regelmäßige Einteilung des Tages in gleiche Theile, scheint den Hebräern noch einige Zeit nach dem Exil unbekannt gewesen zu sein, wenigstens steht es fest, daß das Wort und die entsprechende Idee im Alten Testament nicht erwähnt werden. Das Stillstehende in betref der Einteilung des Tages in Stunden oder in andern Bruchtheile ist uns so bezeichnender, als die des Wochen, in welche die Nacht eingetheilt war, als drei mit Berücksichtigung dieses Grundes werden. Dies führt uns zu dem sehr wahrscheinlichen Schlusse, daß solche Einteilungen nicht in Gebrauch waren. Ein Wort für Stunde beginnt erst in den Dialecten aufzutreten, welche in Palästina gebräuchlich wurden, nachdem man aufhörte, die Hebräische im gewöhnlichen Verkehr zu sprechen, dass Dialect gehörte zu dem aramäischen Zweige der semitischen Sprachen.«

»In welcher Zeit der Gebrauch der Stunden sich bei den Juden zu verbreiten anfang, kann man nicht sicher angeben. Dasselbe steht fest, daß wir zur Zeit Christi für die Nacht die vier Nachwachse der Römer angenommen hatten, und daß sie nach dem Platon der Griechen den Zeitraum zwischen

Sonnenaufgang und Sonnenuntergang und ähnlich die Nacht in je zwölf gleiche Teile theilte. Es waren das die temporären Stunden, deren Dauer nach den Jahreszeiten verschieden war, und die erste, zweite, dritte . . . bis zur zweiten Stunde getheilt wurden, nach denen meistens noch Stunden in der Griechischen Komik die Zeit theilweise der kirchlichen Liturgie vertheilt ist.

Der Monatsrechnung und der Festkalender wurden bei den alten Hebräern, wie heute noch bei den Juden, nach dem Pläne des Monats gegest, man findet keine Spur eines vom alten ägyptischen Kalender. Der Anfang des Monats war gegeben durch das erste Erscheinen der Mondsichel im Westen während der Abenddämmerung und wurde, wenn irgend möglich, durch direkte Beobachtung bestimmt. Schon zur Zeit Davids wurde der erste Tag des Monats als Festtag gefeiert. Die Namen und die Reihenfolge der Monate waren nach der Eroberung Palästinas die der hebräischen Kanones, nach Erbauung des Salomonischen Tempels wurden die Monate nach der Folge ihrer Zahlun berechnet, und für religiöse Zwecke diente diese Bezeichnungswiese bis zur Zerstörung Jerusalems durch Titus fort. Im biblischen Vorleser wurde nach der Rückkehr aus der babylonischen Gefangenschaft die babylonischen Namen in Gebrauch, welche endlich nach Vernichtung des Tempels auch auf religiösen Gebiete die Oberhand gewonnen und heute ausschließlich in den Synagogen gebraucht werden. Es wird folgender, der unsere hebräischen Monatsnamen ungefähr entsprechen.

1. Monat	Nisan	April
2. "	Ijar	Mai
3. "	Sivan	Juni
4. "	Tammuz	Juli
5. "	Ab	August
6. "	Elul	September
7. "	Tisri	Oktober
8. "	Marxeswan	November
9. "	Kislev	Dezember

10. Monat Tebeth	Januar
11. „ Schebat	Februar
12. „ Adar	März

Das babylonische Jahr war ein Sonnenjahr, indem die Feste und Monate vom Stande der Feldfrüchte, also vom Sonnenlaufe, abhängen, ähnlich der Artan pōas-silben und der Verlauf der Monate wurde von den Mondphasen geregelt. Das Jahr begann mit demjenigen Neumonde, der den Anfang des ersten Monats bezeichnet. Dieser Anfangspunkt war indessen in den verschiedenen Perioden der mesopotamischen Geschichte nicht immer der gleiche. Der früheste Bruch war, das Jahr mit dem Herbst, nach Beendigung der landwirtschaftlichen Arbeiten, zu beginnen, um die Zeit zusammenzuwerfen der Jahresanfang auf den Frühling verlief, oder um dieselbe Zeit, als auch die alten Monatsnamen abgeändert wurden. Mit der Epoche der persischen Herrschaft fand die Zeit wieder Eingang, das folgende Jahr mit dem Herbst zu beginnen, was jedoch der Sonne tat. Da die zwölf Monate nicht den ganzen Jahreslauf der Sonne deckten, so mußten notwendig Einschaltungen vorgenommen werden, wenn der Kalender an den Lauf der Sonne gebunden bleiben sollte. Es ist nun erwiesen, daß im Alten Testament gewisse Nachrichten enthalten sind, die über die sogenannte Schaltmethode Aufschluß geben. Und doch muß man selbst notwendig studieren haben.

Für die Zwecke des täglichen Lebens ist die Monatsdauer vielfach zu lang, auf einer gewissen Kulturstufe angebracht, haben jedoch verschiedenen Völkern können Abteilungen derselben beigefügt. So finden wir eine Periode von drei Tagen bei den Mayas der Hochstufe von Bogaik, eine von fünf Tagen bei den Mexikanern vor der spanischen Eroberung, die Woche von sieben Tagen bei den Phöniziern, den Babyloniern und den Persern zur Zeit der Iken. Bekannt wird die achttägige Periode (assassas), welche die Römer zur Zeit der

Republik anwandten, und schließlich die achttägige, die bei den alten Ägyptern und bei den Arabern gültig war. In der Monatszahl der Feste waren diese Perioden so angeordnet, daß sie dem Mondlaufe in gleiche oder fast gleiche Teile zerlegten. So die Dekade, die bei den Ägyptern genau, bei den Arabern annähernd gleich dem dritten Teile des ganzen Monats war. Die Woche wurde bei den Babyloniern durch die Mondviertel bestimmt.

Da der Dauer eines Mondlaufes ungefähr 28 $\frac{1}{2}$ Tage beträgt, so ergibt ein viertel dieses 7 $\frac{1}{2}$ Tage. Doch man konnte hier nur ganze Zahlen gebrauchen und war deshalb gezwungen, sich an die nächste ganze Zahl zu halten. So entsteht die Periode von sieben Tagen als möglichst genaue Darstellung des Mondviertels. Die erste und älteste Form der Woche war also, vom Anfang des Monats (oder vom Neumonde) an nacheinander 7, 14, 21 und 28 Tage zu zählen, indem man am Ende eines oder zwei Tage fest hielt, um in gleicher Weise die Rechnung vom folgenden Neumonde ab zu beginnen. Diese Form einer in die Mondphasen gebundenen Woche war in alter Zeit bei den Babyloniern in Gebrauch, wie aus einem Teile eines babylonischen Kalenders hervorgeht, der im Britischen Museum aufbewahrt wird.

Es war leicht und auch naheliegend, von der in die Mondphasen gebundenen Woche zu der sehr konventionell und streng periodischen Woche überzugehen, die wir heute haben. Ob die Hebräer durch eigene Überlegung zu diesem Begriffe gelangt sind, oder ob sie ihn von andern übernommen haben, läßt sich nicht mehr entscheiden. Sicher ist die Einführung der Woche zu den ältesten Erweiterungen der hebräischen Nation zu rechnen, und der Sabbat als obligatorischer Ruhetag wird in den ältesten Urkunden des Gesetzes, wie in den beiden Schöpfungs und im ersten Kodex erwähnt, freier

nach in den Büchern der Könige für die Zeit des Propheten Elia und in den Propheten des Amos und Hana. Es ist möglich, daß ihr Ursprung bis auf die ersten Anfänge des hebräischen Volkes, noch in die vorhistorische Zeit, zurückgeht. Von den Hebräern bei ihrer Zerstreuung durch die ganze Welt verbreitet, von den altägyptischen Astrologen zum Zwecke ihrer Wahsagungen eingeführt, vom Christentum und vom Islam übernommen, ist dieser für die Chronologie so bequeme und so nützliche Zyklus namentlich in der ganzen Welt angenommen. Sein Gebrauch hält sich seit 3800 Jahren ununterbrochen, und alles läßt vermuten, daß er in den nächsten Jahrhunderten dauern und der Macht noch unerschütterlicher Neuzugewinn und der Annahme der gegnerischen und kommenden Revolutionen widerstehen wird.

Die Entstehung der hebräischen Woche hat mit den sieben Planeten durchaus nichts zu tun, ebensowenig wie die Woche der Babylonier eine Planetenwoche, sondern wurde nach dem Mondlaufe geregelt. Schiaparelli ist der sehr begünstigten Ansicht, daß die Wochenrechnung von einem zum andern Sabbath sich vergrößert von der Zerstörung des ersten Tempels bis zur Zerstörung Jerusalems durch Titus eine Unterbrechung erhalten hat. «Daneben aber,» sagt er, «war der Gebrauch des Sabbath schon in die Gewohnheiten der römischen Welt und selbst ins Christentum eingedrungen, wo von Anfang an keine Schwierigkeit vorlag, eine Rechnung anzustellen, nach welcher das Leben und die letzten Geschicke des Jähren geregelt waren. Die einzige wichtige Änderung fand statt, als man an Stelle des Sabbath zum Festtage den Tag der Sonne setzte, der sodann Tag des Herrn (*dominus*) genannt wurde, weil

Christus an jenem Tage auferstanden war. Diese Änderung, auf welche in der Apokalypse (Jesum des Himmels zuerst hingewiesen wird, tritt auf die periodische Aufeinanderfolge der Wochentage keinen Einfluß aus und hatte nur diese eine Folge, daß die Reihe der Juden und des wöchentlichen Fest der Christen nicht mehr zu gleicher Zeit gelangt wurden. Doch für die einen wie für die andern hat der Sabbath auf den gleichen Tag. Auch wurde nicht geändert, als man zu dem Zeitalter Konstantins die Namen des Lenz, des Herbst, des Merkur, . . . durch die weniger heilsamen Benennungen *luna secunda*, *luna tertia*, *luna quarta* usw., obwohl mit wenig Erfolg, zu ersetzen suchte. Nach Konstantin ging die Woche definitiv als wesentlicher Bestandteil in die christliche Liturgie über, und von jener Zeit ab hat sich keine Gelegenheit zur Änderung. Die Woche setzte ihren Lauf auch ungestört zu der Zeit fort, in welcher der christliche Kalender von Gregor XIII. im Jahre 1582 reformiert wurde. Juden, Christen und Mohammedaner sind in den Epochen des Sabbath vollkommen einig, obwohl das wöchentliche Fest von ihnen an verschiedenen Tagen gefeiert wird. Darum ist die Woche ein goldenes Faden geworden, der den Geschichtsforscher oftmals in den Unirichtungen der Chronologie leitet.

Wir müssen hier schließen. Die vorstehende Übersicht aber zeigt, welche Bedeutung die Sabbath Fest, Schaparelli beanspruchend, und welches Interesse sich daran knüpft. Der Fortschritt der Astronomie, der Chronologie und nicht minder der Ethnologen werden in ihr eine reiche Quelle von Daten und eine gründliche, wissenschaftliche Erklärung des gesamten hebräischen Materials finden.

Die Bewegung der Schweifmaterie des Kometen 1908 IV.

Auf Grund einer genaueren Untersuchung, welche sich auf photographische Aufnahmen des Schweifes des genannten Kometen am 24. Juli 1908 stützt, hat H. Jägersmann eine höchst merkwürdige Tatsache gefunden.)

Diese Untersuchungen betreffen die Bewegung eines vom Kometen des Kometen vor dessen Periheldurchgang stützigen logarithmischen Schweifstriches und stützen sich auf die photographischen Aufnahmen, welche auf der Verkei- und Licksternwarte sowie an anderen Orten gemacht worden sind. Es ergibt sich daraus das interessante und für die Theorie der Kometenschweife wichtige Ergebnis, daß jener Schweifstrich mit der dem Kometenkern am nächsten liegenden Seite sich innerhalb eines Zeitraumes von 64 50^m nicht allein von der Sonne fort, sondern zugleich mit einer äußeren Geschwindigkeit von 1000 km in der Sekunde in einem der Sonne konvergen Bogen bewegt. Gleichzeitig entfernt er sich von der Sonne mit einer mittleren Geschwindigkeit von 12.2 km in der Sekunde. Der Kern des Kometen bewegt sich um dieselbe Zeit in seiner Bahn mit einer Schnelligkeit von 43.5 km und entfernt sich der Sonne mit einer solchen von 15.0 km pro Sekunde. „Wie es erscheint,“ sagt Jägersmann, „haben wir es hier mit Geschwindigkeiten zu tun, welche sehr weit entfernt sind von den Geschwindigkeiten des Lichtes, der Elektrizität, der Kathodenstrahlen. Es ist also eine ponderable Materie, welche sich in dem Schweife unter dem unvorstellbaren Einfluß einer von der Sonne ausgehenden, im allgemeinen sehr gleich der gewöhnlichen Abstrahlung unbekannten repulsiven Kraft befindet, da diese Materie sich auf einem zur Sonne konvergen Bogen mit einer stützigen Geschwindigkeit fortbewegt, während der Kern sich der Sonne auf einem zu derselben konvergen Bogen entfernt. Der konvergen Bogen ist ein Teil einer zur Sonne konvergen Hyperbel, deren zweiter Brennpunkt sich im Sonnenzentrum befindet. Er ist der Perihel der Kometen ausgeübter Stoß bewegt sich, der Theorie gemäß, zuerst zur Sonne hin, geht dann durch ein hyperbolisches Perihel, um sich darauf wieder von der Sonne zu entfernen. Im gegenwärtigen Falle wurde die Schweifmaterie erst nach deren Durchgang durch das hyperbolische Perihel beobachtet.“

Als Beispiel der Ausbreitung aus dem Kern findet sich der Nachweg nach Juli 23 50^m in Zt. v. Berlin. An jenem Tage ist der Komet sowohl auf dem Lick als auf dem Yerkesobservatorium photographiert worden. Das in Rede stehende Schweifende ist aber auf diesen Photographien nicht zu sehen, weil es in fast derselben Richtung und Zeit mit derselben Geschwindigkeit wie der Kern des Kometen sich bewegt und darum von demselben sich in einer Entfernung befand, welche kleiner als der Durchmesser der Nebelblende des Fernokuliers war. „Später,“ des andern, vom Kern entfernt, schon früher ausgestoßene Schweifstrichendurchgänge auf beiden Photographien schon deutlich ausgesprochen. Am 25. Juli wurde der Komet wiederum zuerst von Harvard, darauf von Cassini photographiert. Auf beiden Photographien war das Schweifende ebenfalls nicht mehr zu sehen, weil es sich der Theorie gemäß entfernt ganz am Ende, resp. außerhalb des beobachteten Schweifes befand und demnach, weil es sich wiederum mit der normalen Bahngeschwindigkeit von 43.5 resp. 31.8 km pro Sekunde bewegt, so daß die ausgesprochenen Schweifstrichen infolge der hierdurch hervorgerufenen großen Zerstreuung im Raum keine Wirkung mehr auf die photographische Platte auszuüben konnten.“

„Der von Cassini ausgestoßene

mechanische Kometentheorie,*) sagt ja allgemein, verläßt die beim Kometen 1403 IV beobachtete Bewegung der Schweifmaterie vollständig. Auch diejenigen Formen, welche gerade die Schärfe dieser Theorie bilden, sind bei diesem Kometen beobachtet worden. Es ist dieses die auf der Aufnahme von S. Albrecht am 12. August 1903¹⁾ in der bekannten Weise ausgesprochene Wellenform und ihre Komplexion, die Cateniform, auf der Zeichnung von Foerster am 13. August 1903²⁾. Diese Formen, welche schliesslich durch schwingende Bewegungen eines oder zweier gleichzeitiger Ausströmungspunkte entstehen, können ebenfalls auf das beobachtete Kometa 1403 IV sich auch an anderen Tagen mit außerordentlich grosser Geschwindigkeit — im Vergleich zu der des Lichtes nur — den Schweif hinsetzen, von der Sonne fortbewegt haben muß, so entgegengesetzten Falls könnten niemals solche Formen entstehen und beobachtet werden.

Ein Kometenschweif ist also ein außerordentlich Gebilde, welches mit dem Koma aber nicht konstant verbunden ist, sondern sich nur aus demselben mehr oder weniger regelmäßig und stetig bei zu einer früher oder später eintretenden Erschöpfung erregt, um dann für den Kern infolge der ständigen Einwirkung der repulsiven Sonnenkraft ganz verloren zu gehen.

Ein Kometenschweif ist also ein außerordentlich Gebilde, welches mit dem Koma aber nicht konstant verbunden ist, sondern sich nur aus demselben mehr oder weniger regelmäßig und stetig bei zu einer früher oder später eintretenden Erschöpfung erregt, um dann für den Kern infolge der ständigen Einwirkung der repulsiven Sonnenkraft ganz verloren zu gehen.

¹⁾ Vgl. über denselben Kometa 1903
²⁾ *Mittheil. Berl. Akad.* 1903.
³⁾ *Bull. de la Soc. astr. de France*, Sept. 1903.

Bestimmung von Fixsternparallaxen durch photographische Aufnahmen am Yerkesrefraktor

Die grossen Erfolge, welche Prof. Hähner bei photographischen Aufnahmen astronomischer Objekte am 44-Zolligen Yerkesrefraktor errzielte, indem er eine mit Kalkhydrat beschichtete glasplatte Objekte (falschlich) unmittelbar von der lufttrockneten Schicht der Komarschen nachentstehenden Monoroplasten schenkte, und den Plattenhalter im Gesichtsfeld des Fernrohrs zu verschieben, daß die Bilder während des Exponierens unverändert auf denselben Stelle verharrten, haben Prof. Schöninger veranlaßt, nach derselben Methode und an dem nämlichen Instrumente Aufnahmen von Fixsternen zu machen, zu dem Zwecke diese Parallaxen zu ermitteln. Es stellte sich dabei gleich sehrbige heraus, daß zu diesem Zwecke die Anwendung des Falschschermes nicht erforderlich ist, indem auch ohne diesen die Bilder

der Fixsterne im Brennpunkte der achromatischen Strahlen des Objektivs scharf genug waren. Dies ist ein nicht geringer Vorzug, denn die Zwischenstellung eines lebigen Schermes muß immerhin gewisse Fehlerquellen in der Bildschärfe auf der Platte herbeiführen, die, wenn sie auch sehr klein sind, doch bei Bestimmung von Sternparallaxen darüber im Gewicht fallen könnten. Bei Expositionen von fünf Minuten Dauer unter den besten atmosphärischen Verhältnissen und direktem Sonnenlicht, die auf der Platte gemacht worden können, 11-5 Grösse mit einem Durchmesser von 0.07 mm, welchem ein Winkel von 0.79' entspricht. Die Sterne 9-2 Grösse messen 0.20 mm entsprechend 2.1" im Bogenmaße, und diejenigen 8 Grösse messen 0.18 mm oder 1.8" im schärferen Durchmesser. Für gestirnte Messungen auf den Platten waren die Sterne 9-2 Grösse am geeignetsten. Die eingetragene Untersuchung der resultierenden Platten ergab,

¹⁾ *Astron. Phys. Journ.* 1904, 20, Nr. 2 S. 123

daß der wahrscheinlichste zufällige Fehler einer Sternposition etwa $\pm 0.03''$ beträgt, die Genauigkeit dieser photographischen Bestimmungen ist also größer als die der besten unmittelbaren Messungen am Himmel. Aber auch der Einfluß der sogenannten systematischen Fehler, welche bei Aufnahmen von vom Meridian und infolge der Dispersion des Lichtes in der Atmosphäre entstehen, ist durch die Art und Weise der Aufnahmen bereits wesentlich gemindert. Die nächsten auf dem Parallaxen untersuchten Sterne sind folgende:

Kronzeiger 40 (AR = 23^h 24^m D = +57° 10'). Dieser Stern, bei dem Prof. Barnard eine merkliche Parallaxe vermutete, ist ein Doppeld Stern 5.8 und 11.0 Größe von 7" Distanz und rascher Bewegung des Begleiters um den Hauptstern. Außerdem hat dieser ganz Doppeldsternsystem eine Eigenbewegung am Himmel von fast 1" pro Jahr, was

auf größere Nähe deutet. In der Tat ergab sich aus den Messungen auf der Platte eine Parallaxe von nahezu 0.18".

Polaris (AR = 2^h 3^m D = +50° 7'). Dies ist ein Doppeld Stern, dessen Komponenten 8.5 Größe sind. Die Messungen auf vier Platten lieferten als Wert der Parallaxe im Mittel 0.025". Früher hat Dr. Peters am Leipziger Helioskop durch direkte Messungen diese Parallaxe zu 0.18" bestimmt.

Struve 2368 (AR = 18^h 41^m D = +58° 23'). Ein Doppeld Stern 8.5 und 9.5 Größe von 17" Distanz, mit starker Eigenbewegung am Himmel (2.1" pro Jahr). Die Messungen der Platte ergaben im Mittel als Parallaxe des Systems 0.029", in guter Übereinstimmung mit dem Werte von 0.12" und 0.16", welche Fizeau und Lamp durch direkte Messungen erhalten haben.

Die Entdeckung zahlreicher veränderlicher Sterne im großen Orionnebel und in den Magellanschen Wolken.

Der große Nebel im Orion ist während des 19. Jahrhunderts Gegenstand eingehender Studien von wissenschaftler mit mächtigen Fernrohren verschiedener Beobachter gewesen. Unter diesen und die Arbeiten von Prof. G. P. Bond von der Harvard Sternwarte unverfälscht der Bedeutendsten. In seiner großen Arbeit, welche 1887 erschien, hat er nach mehreren Sternen dieses Nebels als veränderlich bezeichnet, doch ist von diesen nur der Stern T Orion bisher beobachtet worden. In den Jahren 1901 und 1903 hat Prof. Wolf in Helsingborg durch Untersuchung der von ihm aufgenommenen Photographien mittels des Sternkomparators eine Anzahl veränderlicher Sterne in diesem Teil des Orion gefunden, doch sind mehrere davon so schwach, selbst im Maximum, daß sie nur auf wenigen photographischen Aufnahmen verfolgt werden

könnten. Aus diesem Grunde hat Prof. Edward C. Pickering eine eingehende Prüfung der in der Sammlung des Harvardobservatoriums befindlichen Aufnahmen mit langen Expositionen des Objektivs veranstaltet, nachdem die erheblichen Kosten dieser Untersuchung 1903 durch eine Zahlung der Carnegie-Stiftung aufgebracht waren. In jenem Jahre waren nicht weniger als 6 Personen mit Untersuchung der Photographien beschäftigt, im Jahre 1904 jedoch nur H. H. Norris, S. Lavin. Letztere konnte die Veränderlichkeit von 16 der durch Prof. Wolf angegebenen Sterne bestätigen, fand auch noch einige neue dazu und machte es wahrscheinlich, daß auch Nebelflecke (tatsächlich mit großen Sternhaufen) ein fruchtbares Feld für die Entdeckung veränderlicher Sterne sind. Bei den Untersuchungen wurde die Karte und der

Katalog der Sterne des Orionnebelzentrums gelangt, die U. P. Band in seiner oben erwähnten Arbeit veröffentlicht hat. Derjenigen Sterne, welche hier nicht erwähnt sind, wurden durch Schätzungen bezüglich ihrer Größe bestimmt. Als Basis für die Sternschätzungen wurde eine solche angenommen, welche mit derjenigen von Prof. Wolf vergleichbar ist, und nach welcher der schwächste Stern, welcher sich auf Tafel 26 von Roberts photographischen Atlas der Nebel und Sternhaufen findet, als 14.8 Größe gilt. Der schwächste Stern auf Tafel 23 der Decandol-Publikation der Yorksterwerke hat die Größe 15.5 und das Originalgröße dieser Platte ist mit einem 24-stufigen Belichtungs bei 40 Minuten Exposition am 11. Oktober 1908 erhalten worden.

Prof. Pickering gibt¹⁾ als Resultat der Untersuchungen von MRS. Larrin ein Verzeichnis von 71 Veränderlichen im Orionnebel, darunter befinden sich auch 16 Veränderliche, die Prof. Wolf entdeckt hat, ein Stern, dessen Veränderlichkeit Prof. Hallas schon vermutet hatte, sowie ein Stern, den J. Schmidt schon für veränderlich hielt. In einem zweiten Verzeichnis führt Prof. Edward Pickering noch 35 Sterne des Orionnebelzentrums auf, deren Veränderlichkeit wahrscheinlich ist. Die untersuchte Fläche umschließt sich $2^{\circ} 42'$ östlich und ebenso weit westlich, sowie $57'$ nördlich und $41.3'$ südlich von dem Sterne θ^1 Quasar und umschließt 14458 Quadratbogenminuten oder etwa 4 Quadratgrade. Die Anzahl der auf dieser Fläche untersuchten Sterne beträgt ungefähr 3000. Die Veränderung der Sterne resultiert ihre enge Verbindung mit dem großen Orionnebel selbst. Sie finden sich hauptsächlich auf einer schmalen Fläche, welche sich südwärts von α Orionis über θ und γ Orionis hin ausdehnt. Nördlich von $— 4^{\circ} 44'$ Deklination wurde unter 900 untersuchten Sternen nur ein Veränderlicher gefunden. Inner-

halb der Grenzen des östigen Teiles von Bonds Karte wurde unter 550 Sternen nur ein Veränderlicher entdeckt. Die Flächen dieser drei Regionen umfassen 3524, 1417 und 2673 Quadratbogenminuten. In der nach östigen Region von 8885 Quadratminuten fanden sich unter 1100 untersuchten Sternen 15 solcher und 30 wahrscheinlich Veränderliche.

In einer zweiten Publikation²⁾ teilt Prof. Pickering weitere Ergebnisse der Untersuchungen von MRS. Larrin mit. Durch diese wurden noch 4 Veränderliche entdeckt, von denen 3 außerhalb der Fläche stehen, die Bonds Karte umschließt.

Ferner wurde die Umgebung von γ Carinae auf 4 Platten studiert und darauf 11 neue Veränderliche außer den bereits bekannten U Carinae entdeckt, jedoch keine derselben im Nebel selbst stehend. Eine ähnliche Untersuchung der kleinen Magellanschen Wolke ergab 37 Veränderliche, ausschließlich von drei, die in dem Sternhaufen 47 Tucanae stehen, der auf den gleichen Platten erscheint. Diese Veränderlichen betrafen aber nach Prof. Pickering's Ansicht nur einen kleinen Teil der dort wirklichen Veränderungen, da hier zwei Platten verglichen wurden. Eine sorgfältige Untersuchung wurde dem sogenannten Gruppenartigen Nebel (AR 175 58 = D — 23° 2') im Schützen gewidmet. Auf einer Fläche von 16 Bogenminuten im Quadrat wurden 66 Sterne auf 2 Platten geprüft, aber kein einziger Veränderlicher gefunden. Eine ähnliche Untersuchung des Nebels NGK 2670 des sogenannten Leuchtbogens in der großen Magellanschen Wolke ergab von 662 geprüften Sternen nur zwei als geringen Grade veränderlich. In den östigen Teilen der großen Wolke aber fanden sich auf den mit dem 24-stufigen Brucktelescope erhaltenen Platten und Expositionen von 1 bis 5 Stunden zahl-

¹⁾ Harvard Observ. Circular No. 78.

²⁾ Harvard Observ. Circular No. 79.

rechte Veränderliche, so daß die Gesamtzahl derselben gegenwärtig 152 beträgt.¹⁾ Die Helligkeit hat öfter derselben verändert sich nach. Die meisten dieser stehen in Gruppen zusammen, hat die Hälfte von allen nahe in einer Linie, danach von dem Nebel NGK 1858 bis zu NGK 2023 erstreckt, und sie sind durch besondere Lichtschwäche, selbst im Maximum charakterisiert. Der stärkste Lichtwechsel zeigt die Stern, der im Maximum 11,4, im Minimum 15,5 Größe ist, und bildet die Helligkeitsveränderungen meist unter einer Größenklasse. Merkwürdig sind drei äußere nahe hintereinander stehende Sterne,

insgesamt, wenigstens zum mindesten in Größenklasse, veränderlich sind, und deren Lichtschwächephasen offenbar nur kurze sind. Ein anderer Veränderlicher scheint vom Algoltypus zu sein. Die genauere Untersuchung der Art und Weise des Lichtwechsels, die Bestimmung der Periodendauer etc. ist eine sehr umfangreiche Arbeit, zu deren rascher Ausführung mehr Arbeitskräfte erforderlich sind, als dem Harvard-observatorium hier sonst völlig im Anspruch gesonnenen Mitteln zu Gebote stehen.

*) Harvard Observ. Circular No. 65.

Dunkle kosmische Nebelmassen.

(Siehe Tafel IV.)

Unter Vorhandensein nichtleuchtender oder wenigstens für unsere Beobachtungsmittel durch unsichtbarer kosmischer Nebelmassen ist wiederholt von Astronomen und Kosmologen vermutet worden, je doch je besonders strengen oder dunkle Stellen des Himmels gewisser hat man auf diese Weise zu erklären versucht. An und für sich ist eine derartige Annahme wohl kaum für unzulässig zu halten; allein der Charakter des Hypothetischen heißt ihr notwendig so lange an, bis der direkte Nachweis nichtleuchtender kosmischer Nebel erbracht ist. Unlängst machte nun der britische Astronom W. S. Fraunhofer eine Eigenständigkeit an Aussagen gewisser Nebelflecke aufzumachen²⁾ welche nach seiner Ansicht durch die Vorhandensein einer nichtleuchtenden Nebelmassen im Welt-raum sprechen. Er hat eine nicht geringe Anzahl photographischer Aufnahmen von Nebelflecken gemacht und knüpft seine Berechnungen an diese. Aus der Zahl derselben wählte er vier

aus und gibt Abbildungen derselben, welche hier auf Tafel IV in Lybrastrich geizen reproduziert sind. Wie man sieht, gehören diese Nebel einer Aus-nahme zu den sogenannten spindel-förmigen und zeigen jeder einen mehr oder weniger der großen Achse des Nebels parallel laufenden dunklen Strich. Fraunhofer hat daher, daß dieser dunkle Strich nicht etwa eine Trennung der Nebel bedeuten, sondern einer mehr oder weniger dunkle Materie angehören; auf diese Weise erklären sich nach seiner Meinung auch ein bester gewisse Un-regelmäßigkeiten, welche manche aus-gebildete Nebelflecke zeigen.

Wir wollen die von Fraunhofer ge-ggebenen Darstellungen etwas genauer betrachten.

Figur 1 zeigt das Aussehen des Nebels H. VII in der Andromeda, der im neuen Generalatlas der Nebel die Nummer 691 führt, und dessen Ort am Himmel (für 1900) in AR 2^h 16,3^m, D. - 41° 54'. Mit L. Herschel hat ihn im August 1783 entdeckt und W. Herschel beschreibt ihn als 5' langen, 3' breiten Nebel mit schwacher Teilung in der Mitte. Später hat Sir John

¹⁾ Monthly Notices Royal astron. Soc. Vol. LXV, p. 161.

Herschel eine Abbildung eines Nebels gegeben und kam zu dem Ergebnisse, daß er in Wirklichkeit ein flacher Ring sei, der von uns schräg anblickt gesehen werde. Die Herschel'sche Abbildung ist nicht sehr charakteristisch, der obigen Photographie von Fraunhofer in dieser Beziehung verliert der Vorschlag merkant sein. Die Erklärung, welche Fraunhofer von der Natur des dunkeln Nebelschleiers gibt, scheint indessen weniger zutreffend, der Augenschein ergibt, daß die Dichtung sehr Herschel, der das Ganze als sternen, nur Gesichtsbildungsgrundförmige leuchtenden Nebelring auffaßt, entscheidend vorzunehmen ist. Auf zwei stunden gegenüberliegenden Seiten dieses Ringes sieht man starke Verdichtungen, und man kann vermuten, daß hier Konzentrationen der Nebelmaterie stattfinden die in ihrem Fortzuge verfaßt zu einer Zerteilung des Nebels und zur Bildung eines Doppelsternes führen werden.

Der Nebel H V24 Cassio, wurde von W. Herschel am 8. April 1785 im Hau der Burrene entdeckt. Es ist Nr. 4968 im neuen Generalatlas der Nebelfarbe und von Ost um Himmel für 1900: AR = $12^h 20.4^m$ D = $+ 28^{\circ} 35'$. W. Herschel beschreibt ihn als hellen Nebelschleier 20 lang, 3—4 breit, gegen die Mitte hin sehr viel heller. John Herschel sah zuerst den lichtschwachen schmalen, parabolischen Streif und erklärte das Ganze für einen schief zur Gesichtslinie nach der Erde liegenden flachen Nebelring. Wer diese Verlegenheit der Photographie diesen Nebels betrachtet, kann dieser Deutung auch aus der Vorweg von der Fraunhofer'schen Hypothese eines dunkeln Nebelschleiers, der den hellen Nebel durchdringt, gehen.

Figur 3 zeigt den hellen Nebel PL 143 in der Jungfrau, im neuen Generalatlas Nr. 4994 in AR $12^h 35^m$ D = $- 11^{\circ} 4'$, von W. Herschel am 8. Mai 1784 entdeckt. Das schwache Nebelstrich über dem Hauptstiel wurde

schon von J. Herschel bemerkt, der die Zeichnung als möglicherweise durch ein dunkles Stratum verursacht betrachtet. Man kann aber ebensogut an einem Spindelstern denken, der aus einer flachen Seite zuwächst und dessen schwächere Partien auch von der Photographie nicht dargestellt werden.

Das gleiche gilt von dem Nebel H V8 Loris (Neuer Generalatlas Nr. 3628, AR = $12^h 15.3^m$ D = $+ 14^{\circ} 51'$), nach W. Herschel 19 lang. Auch hier fehlt der unmittelbare Anblick der photographischen Darstellung, daß der Annahme einer dunklen Zwischenschicht sehr wahrscheinlich ist, daß zwischen der dunklen Fläche zwischen den beiden Nebelstrichen weit wahrscheinlicher Nebel ist.

Somit scheint es, als wenn die von Fraunhofer beigebrachten Beispiele für die Existenz dunkler kosmischer Nebel nicht gerade sehr geeignet hierfür zu sein. Nebelverfälschung ist das Vorhandensein solcher dunkler Weltwolken a priori nicht ausschließen, schon weil es sich dabei nur um relative Helligkeit handelt kann. Wo in einem solchen Teleskop nichts von Nebel sichtbar ist, kann darüber in einem sehr lichtstarken Instrumente vollst. gesehen werden, und was dieses nicht ausreicht, zeigt möglicherweise die photographische Platte das Vorhandensein von lichtschwachen Nebeln an. Aber in dem Sinne, den Fraunhofer damit verbindet, nämlich wie das Vorhandensein dunkler Weltnebel zunächst noch nicht als erwiesen betrachten. Ganz anders verhält es sich mit dem von Prof. Hermann wahrscheinlich gemachten Vorhandensein einer Weltwolke von Kaliumdampf in der Gesichtslinie von der Erde zu dem Stern 4 Orions im Sirius 1904, S. 129 ff. ist nämlich das Nilius mitgeteilt, ebenso wie die Ansicht von Prof. Hermann, daß diese Wolke vielleicht mit den umgedrehten Nebelmassen in Verbindung stehen möge, welche Barnard in der Umgebung nachgewiesen hat.

Eine neue Methode der Ausmessung von Sternspektrogrammen.

Fürsich haben K. Kostentz und E. Harshek ganz selbständig erfolgreich in Anwendung gebracht¹⁾. Die bisher übliche Methode der Ausmessung der photographisch aufgenommenen Sternspektre unter dem Mikroskop und die Bestimmung der Wellenlängen der Linien auf diesem Wege ist überaus schwierig und mühsam. Deshalb trifft man auch vollständige Ausmessungen aller Linien und Sternspektrogramme nur selten, während solche doch von allgrößter Wichtigkeit sind. Eine durchaus andere und neue Methode der Ausmessung von Spektrogrammen wurde von F. Diner und E. Harshek in Wien angegeben und zur Bestimmung der Wellenlängen der elementaren Fusions- und Bogenpektren aller bekannten Elemente angewandt. Die großen Vorteile, welche diese Methode sowohl in Bezug auf Raschheit, als auch in Bezug auf Genauigkeit der Messung bietet, sind auf solche K. Kostentz bereits vor einigen Jahren hingewiesen hat, sollten es ihm in hohem Maße gereizt erscheinen, die Anwendung dieser Methode auch auf die Ausmessung von Sternspektrogrammen zu versuchen. Auf seine Bitte gestand Prof. Dr. Franz Diner die Benutzung von Apparaten und Räumen des physikalischen Instituts der Wiener Universität.

Die neue Methode der Ausmessung, welche Kostentz und Harshek in Anwendung brachte, besteht kurz in folgendem:

Da einem verkleinerten Zoster wird mit einer Projektionslinse ein Bild des Spektrogramms in entsprechender Vergrößerung — in vorliegendem Falle um 34-fache — auf einem

weiten Schirm so abgeworfen, daß es auf eine an diesem Schirme angebrachte entsprechend getheilte Maßskala 189. Wird das Spektrogramm mit einem Oeffnungsbildographen aufgenommen, entspricht eine linear getheilte Skala, um diese Wellenlängen messen zu können, bei Aufnahmen mit Prismenapparaten muß für diesen Zweck erst eine, der Dispersion des Spektrogramms entsprechende Skala angefertigt werden. Schirme und Skala sind Spektrogrammen und in geeigneter Weise vorstellbar angeordnet. So vorbereitet können dann die Messungen sehr rasch mit geringer Ermüdung und großer Genauigkeit ausgeführt werden. Man überblickt mit einem Blick das ganze Spektrum, die Stellung des Beobachters, der vor dem Schirm sitzt, ist frei von aller Unbequemlichkeit, das Auge ermüdet nur wenig, namentlich dann, wenn man alles überflüssige Seitenlicht abblendet, und die Fotografierten, die auf der Uebersicht der Einstellung des Fadens von rechts oder von links und auf der Genauigkeit des Beobachters beruhen, immer eine und dieselbe, durch eine bestimmte Körnung der Silberseiche gekennzeichnete Stelle der Linse zu messen, helfen können.

Für die Messungen wurde den Genannten von Prof. Dr. H. C. Vogel in Potsdam Kopien eines Spektrogramms von γ Cygni, von Prof. W. W. Campbell und Mount Hamilton drei Originalspektrogramme von α Cassiopeiae, α Leonis und α Pegasi und von Prof. G. E. Hale zwei Verkleinerungen am nachfolgend noch 2 Spektrogramme von α Pegasi zugehört. Die Spektrogramme sind sämtlich mit Prismenapparaten aufgenommen, zeigen also keine lineare Dispersion, und Kostentz und Harshek wählten daher, um die beschriebene Meßmethode in ihrem vollen Umfange anwenden zu können, erst eine der

¹⁾ Sitzber. der Kaiserl. Akad. in Wien Mathem. naturw. Klasse Bd. CXIII, Abs. II v. Juli 1904.

Dispersion entsprechende Wellenlängen berechnen und zeichnen, was unter Zugrundelegung der Harknessschen Formel und mit Hilfe einer Teilmaschine von Pommers geteilt.

Die auf diesen Wege erhaltenen Resultate der Messung sind sowohl in bezug auf Reichheit als auch in bezug auf Genauigkeit durchaus befriedigend. Die Bestimmung der Wellenlängen einzelner Linien eines Spektrogramms (etwa rund 200 beobachteten Linien) erforderte bei sorgfältiger Ableitung und nachträglicher Bildung der Mittel im ganzen nur einen Zeitaufwand von etwa fünf Stunden, und als verbleibende Fehler ergaben sich aus einer kleinen Anzahl willkürlich herausgegriffener Linien folgende Werte in Zehnmillionstel des Millimeters:

	für die einzelnen Ablesung	für das Resultat
± Cymä	± 0.005	± 0.005
± Cyl. mm	± 0.005	± 0.011

Korrektur betont, daß die zur Verfügung gestellte instrumentelle Ausrüstung nur eine provisorische war, und daß bei besserer und vollständiger Ausrüstung eine noch weitere große Genauigkeit sich zweifelloser errichten lassen werde.

Haeckel und Kastritz erläutern in ihrer Abhandlung die Schwierigkeiten, welche die Identifizierung der einzelnen Linien darstellt, und die zum Teil darin liegen, daß man es an dem beobachteten Spektrum mit einer gegenseitigen Überlagerung von Teilpektren zu tun hat, welche durch die Verschiedenheiten der physikalischen Bedingungen sowohl in bezug auf Temperaturverteilung wie auch Oberflächenverteilung der beschallenden Dampfe bedingt sind. »Es wird also allerdings die Annahme der einzelnen Spektrallinien hauptsächlich den vorherrschenden physikalischen Bedingungen entsprechen; jedoch werden wir nicht in der Lage sein, im Laboratorium zu kontrollieren, in welcher Weise jene überaus feine gelagerten Teilpektren sich gegenseitig mischen.

Wenn und eine Abweichung des spektralen Bildes von der den vorherrschenden Bedingungen entsprechenden Form beobachtet.

Auch das Auftreten von rötlichen Störungen in der Atmosphäre des Sternes würde schon hinreichen, um infolge der Linsenverfälschung ein Unsicherwerden, eine Verkleinerung, der Linien herbeizuführen, da wir es aber bestimmt dann mit der Lichtablenkung aus verschiedenen konvergenzen Gegenständen zu tun haben, so wird auch eine verschiedene Intensitätsverteilung der Linien in der Erscheinung treten müssen. Daß auch die Reflexion des Sternes als Ganzes hierbei mitgespielen kann, soll ebenfalls nicht unerwähnt bleiben. Ebenso wird die anamale Dispersion, welcher bei den Spektren vieler Sterne rechtlich eine große Rolle spielt, in ähnlichen Fällen zur Erklärung von Eigentümlichkeiten des spektralen Bildes des Sternes herangezogen werden können.

Auch wenn man von den eben erwähnten Umständen absteht, ist eine Messung der Wellenlängen von Sternlinien auf Hundertel des Einheits von ein zehnmillionstel Millimeter (die gewöhnlich mit den Buchstaben AE bezeichnet wird) oder noch genauer gewiß eine große Sache. Aus dem von Haeckel und Kastritz untersuchten, mit dem Mikrospektroskop des Lick-observatoriums aufgenommenen Spektrogrammen ergaben sich in den einzelnen Spektallinien folgende Maße für die Größe von AE auf dem Originalnegativ bei der Wellenlänge:

4100	4380	4500
ist 1 AE.	= 0.115	0.304 0.063

des Millimeters

Eine Wellenlängenbestimmung auf 0.01 AE. entspricht demnach im Hopten der Messung einer Entzwei der Linien des Sternspektrums von einer bestehenden Vergleichslinie bis auf 0.0012 beziehungsweise 0.0008 und 0.0005 mm. »Eine solche Genauigkeit,« sagen sehr richtig die beiden Beobachter, »ist aber für Längenmessungen, wohl

nur erreichbar bei scharf definierter Form Teilchen eines Normalstrahles, kann aber für die Linien des Spektrums, die namentlich unter dem Mikroskop sehr unbestimmt sind und nur eine schwache, überdies noch durch das Korn der photographischen Platte sehr beeinflusste und gestörte Einstellung ermöglichen. Dazu kommt, daß die Mikroskopobjekte darauf beruhen ist, die kleinen Einzelstrahlen mit der größtmöglichen Präzision darzustellen, man sieht daher bei einer Vergrößerung von beiläufig 34 die einzelnen Silberkörner in der photographischen Schicht vollkommen klar und muß Stellung, Intensität und Charakter der Linien erst aus der verschiedenen dichten Lagerung der Silberkörner im Gesichtsfelde erschließen. Ein Versuch aber, dies durch ein Hartstrahlen aus der scharfen Einstellung des störenden Einfluß des Korns der Platte abzumildern zu wollen, wird fruchtlos, da durch eine Verkleinerung der scharfen Einstellung sofort das ganze Bild völlig verunstaltet und für die Messung gänzlich unbrauchbar wird.

Ungleich besser liegen hingegen die Verhältnisse bei der objektiven Methode der Ausmessung. Im projizierten Bilde ist nämlich das Silberkorn überhaupt nicht sichtbar, oder aber es erscheint höchstens im demselben Maße dunkel, wie etwa bei einem Lichtdruck oder einer Holzschnitt, ohne daß also die Möglichkeit der Erkennung von Einzelheiten, welche die Spektrallinie zeigt, irgendein beeinträchtigt wäre, bei man das Bild auf dem Schirm doch so weit „anscharft“, um nicht durch die Verunstaltung des Silberkorns gestört zu sein.

Was die Verschiebungen der Spektrallinien aus ihrer normalen Lage infolge der Bewegung des Sterns (die sogenannte Dopplersche Verschiebung) anbelangt, so haben Harkick und Katersta diese bei den von ihnen untersuchten Spektrogrammen nach Ermitteln des Korns bestimmt. Die Verschiebung wurde am Schirme für

die Situationen Linien direkt abgelesen und das Mittel gebildet wie bei Wellenlängenmessungen selbst. Auf diese Weise erhielten wir für jeden Stern eine Reihe von Zahlen zur Bestimmung der Geschwindigkeit des Sterns in der Gesichtsbildung, die wieder zu einem Mittelwerte vorzuzugewandt wurden. Sie geben diese Zahlen bei den einzelnen Sterns nur auf Zehntelkomma an, obgleich auch aus den einzelnen Worten eine größere Genauigkeit erreichten ließe, in der Überzeugung, daß gerade bei den Geschwindigkeiten der Sterns im Vergleich zu gemessenen Angaben als bis auf Zehntelkomma hinreichend sind. «Genügen ja doch schon Bewegungen innerhalb der beobachtenden Atmosphäre des Sterns, um einzelne Linien so weit voneinander zu rücken, daß ein höherer Grad von Genauigkeit wenig Wert hat. Auch die eventuelle Dispersion wird durch Veränderungen der Lichtwellenlänge innerhalb der Linie in dem Sinne wirken, «Verschiebungen» vorzuzuschieben, die nicht auf die Bewegung des Sterns als Ganzes im Weltraum hin zurückzuführen sind. Wollte man also die Geschwindigkeit im Weltraum noch genauer bestimmen, so würde man zwar zweifelhafte Zahlenangaben machen, ohne jedoch über die Genauigkeit der Angaben irgend ein ausreißendes Urteil gewinnen zu können.» Die Messungen der Sternspektren, welche die beiden Forscher ausführten, umfassen nämlich nur einen Bereich, der auf das Spektrumsgesamte mit größtmöglicher Sicherheit zur Darstellung gelangt war. Für eine genau Bestimmung der chemischen Konstitution des Sterns ist allerdings dieser Bereich viel zu klein, denn die Aufnahmen der Sternspektren, die heute zur Verfügung stehen, umfassen nämlich nur den maßbaren Bereich zwischen den Wellenlängen von etwa 4100 bis 6600. Eine große Zahl von Elementen hat aber die Hauptstrahlung in anderen Teilen des Spektrums, und es muß noch eine große Anzahl von Elementen aufzählen,

der in dieser Spektralanalyse nicht einmal schwache Linien aufweisen.

„Daß man“, sagen die Verfasser, „bei der Klassifikation in vielen Fällen nicht mit Sicherheit auf das Vorhandensein von Verhältnissen schließen wird, die aus Labordiagrammen bekannt sind, erscheint wohl ziemlich selbstverständlich, wenn man bedenkt, daß wir über die Bedingungen des Leuchtens der Sterne eigentlich noch keine sichere Vorstellung haben. Man wird daher aus dem Auftreten von „Funktionslinien“ nicht ohne weiteres schließen dürfen, daß auf dem Sterne analoge physikalische Verhältnisse herrschen wie im elektrischen Funken, und es wäre unrichtig, in einem solchen Falle sich lediglich auf die Identifizierung nach den Tabellen für die Funktionspeaks der Elemente beschränken zu wollen. Andererseits unterliegt aber wohl auch der Schluß, daß wohl Identifizierungslinien des Spektrums unbedingt Elementen zugeordnet müssen, die aus von der Erde her noch nicht bekannt sind, einigen Bedenken. Es ist ja bekannt, daß es noch nicht gelungen ist, die Linien der vom Spektrum von ϵ Puppe her bekannten Linienreihe des Wasserstoffspektrums im Labordiagramm herzustellen. Und so kann auch die Möglichkeit, durch irgend welche passende Versuchsbedingungen von der bekannten ϵ -Linienreihe Elementen außer denen aus bereits bekannten normalen Spektren noch neue Spektren herzustellen, gewiß nicht von vornherein als ausgeschlossen betrachtet werden. Für die Richtigkeit dieser Annahme besitzen wir gewisse Fragesteige; wir beschränken uns an das „Funktionspektrum“ des Quecksilbers zu denken, oder uns zu erinnern, wie außerordentlich das Aussehen der Spektren der Gase im Gefäßleuchten sowie je nach Verschiedenheit von Druck und Entladungswert sich verändert. So kennen wir z. B. für Argon drei, für Krypton und Xenon je zwei Linienpakete.“

„Wenn wir“, sagen die Verfasser

weiter, „mit spektral-analytischer Grundlage Schlüsse auf physikalische Verhältnisse und chemische Konstitution eines Sternsystems ziehen wollen, so können wir dies im allgemeinen nach drei Richtungen hin tun:

1. Schlüsse aus dem Aussehen und Charakter des ganzen Spektrums;

2. Schlüsse auf gewisse spezielle physikalische Verhältnisse, wie Aggregatzustand, Druck, Temperatur usw., endlich

3. Schlüsse auf die elementare Zusammensetzung.

Gegen die erste Art von Schlüssen ist keine wesentliche Einwendung zu erheben, weil sie vorläufig nur das Klassifizieren der Sterne nach dem Spektraltypus gibt, die eine Festlegung nach allgemeinen Gesichtspunkten ermöglicht.

Gerade die Tatsache, daß in Beziehung auf die Deutung von Spektren unsere Kenntnisse leider noch recht mangelhaft sind, muß uns größte Vorsicht bei der zweiten Art von Schlüssen bedenklich machen. Diese Bedenken werden noch vermehrt durch den Umstand, daß es bisher noch nicht möglich war, Sternspektralanalysen von socherer Deutbarkeit zu erhalten, wie sie für Labordiagramme solcher Art erreichbar waren.

Bei diesem Anlasse möchten wir, wie es auch vor uns schon wiederholt geschehen ist, mit allem Nachdrucke darauf hinweisen, wie dringend notwendig es ist, die spektrale Forschung durch eingehende Untersuchungen im Labordiagramm Hand in Hand mit der spektralen Durchforschung des größten Himmels reichthums auszugleichen. Änderungen im Aussehen oder im Auftreten von Linien beschließen uns nicht, Schlüsse auf eine bestimmte physikalische Konstitution des leuchtenden Körpers zu ziehen, solange wir nicht genau wissen, unter welchen Verhältnissen wirklich diese Phänomene beobachtet werden.

Wie leicht man in den Schlüssen, die auf dem Auftreten bestimmter

Linien bestehen, so ganz divergierende Resultate gelangen kann, zeigt die Streifung über das Auftreten der Magnetkurve γ 4481 in den Spektren. Der Schluß, daß dieses Auftreten auf eine besonders hohe Temperatur der leuchtenden Gase hindeute, beruhte darauf, daß früher diese Linie nur im Punktspektrum bekannt war, hingegen nicht im Bogenpektrum. Da man nun allgemein dem Funken eine besondere hohe Temperatur, jedenfalls eine höhere als dem Bogen zu-

zuschreiben pflegt, so war die erwähnte Folgerung selbstredend. Man wissen wir aber eigentlich gar nichts Bestimmtes über die Temperatur des elektrischen Funkens und fast ebenso wenig über die Temperatur des elektrischen Bogens, weshalb wir dürfen wir schäupen, die Temperatur des Funkens sei höher als jene des Bogens, wenn wir diesen Schluß aus dem verschiedenen Aussehen des spektralen Bildes im Funken und im Bogen ziehen wollen.

(Johst folgt.)

Vermischte Nachrichten.

Ein Fleckenherd auf der Sonne. Herr Dr. Epstein schreibt darüber: *) So kann man füglich eine Gegend auf der Sonnenoberfläche bezeichnen, wo in einem verhältnismäßig beschränkten Bezirk im Verlaufe eines Jahres in mindestens acht Rotationen Flecke, alle größeren, alle kleineren, alle von kleineren, teils von größeren Beständen, aufgetreten sind. Es ist die Gegend um das 173 Meridian der heliographischen Länge (nach Spörers Zahlweise) im 12. bis 16° nördl. Breite. Diese Entdeckung steht um so mehr hervor, als die gewöhnliche Entwicklung der fackelbildenden Tätigkeit der Sonne weder Erwarten, selbst langsam vor sich geht, so daß es, wenn nicht eine plötzliche Steigerung eintritt, den Anschein hat, als ob das kommende Maximum noch beträchtlich verjüngt, oder aber, daß es nach Art des Maximums zwischen 1836 und 1838 nur eine mäßige Höhe erreichen werde.

In der besagten Gegend entstand nach dem Wiederauftreten des Fleckenphänomens das erste Mal am 23. August 1903 in der Nähe des Ostendes ein Fleckchen, das aber nur zwei Tage dauerte. Am 23. September dagegen entwickelte sich dieselbe unter reichlich

vom Sonnenstrahl eine Gruppe, die sich in ihrem vorangehenden Teile in einem schönen beholten Fleck auswuchs und am 26. September im NW unterging. Am 14. Oktober erschien sie im Ostende als isolierter Hoffleck wieder, der bis zum Verschwinden am Nordwestende in unveränderter Größe verblieb werden konnte. Er fand sich dann auf der abgewandten Seite der Sonne auf, denn bei der ersten Rotation im November war sein Fleck leer. Aber im Dezember war seine Stelle wieder durch einen schönen Hoffleck besetzt, dem im Abstand von 12° Länge und 6° nördlich ein gleicher folgte. Nach dem Verschwinden beider Flecke war diese Gegend während der drei nächsten Rotationen leer. Gegen Ende März 1904 erwachte dort die Tätigkeit von neuem und dokumentierte sich in einem regelmäßigen Hoffleck. Dieser kehrte bei der nächsten Rotation vergrößert wieder und hatte heute sich eine noch größerer Gruppe, die sich über 10 Längengrade erstreckte und mit einem kleinen Hoffleck anlagte. Eine letzte Entdeckung zeigt diese Gruppe am 28. und 29. April, aber danach sah sie noch ab und hielt sich nach ihrem Untergange am WSW-Ende verhältnismäßig auf, denn die nächste Rotation brachte nichts von ihr wieder

*) Astron.-Nachr. 306.

zum Verschluß. Dagegen mußte der selbe Gegenstand im Juli einen neuen Flack, gefolgt von einigen kleinen Flackern, die vom 15. bis 25. Juli über die Scheibe zog. Ob er wiedereröffnet ist, kann ich nicht sagen, da ich zu der betreffenden Zeit (18. bis 22. Juli) nicht beobachtet habe. Endlich entstand am 10. August noch einmal in dieser Gegend ein kleiner Flack, der auch am 14. August aufhob. Schöner herrscht hier Ruhe.

Es hat sich ein Jahr lang (25. Aug. 1903 bis 14. August 1904) auf demselben Räume wiederholt eine sehr Tätigkeit gezeigt, die von den sonstigen Veränderungen auf der Sonne entstammt abwich.

Erwähnt zu werden verdient noch, daß derselbe Meridian auch in ungefähr gleicher südlicher Breite durch ein Gebäl gebildet, jedoch erst am dem April dieses Jahres mit kaudgebender Flackentigkeit zog. Hier sollte die Entwicklung gleich mit voller Stärke an und wurde denselben Tagen wie südlich vom Äquator auf ihrem Höhepunkte. Ausgewirkt hat sie sich nur bei der nächsten Wiederkehr, in der zweiten Hälfte des Mai, und bei der in der ersten Hälfte des Oktober. Gegenwärtig, Ende Oktober, ist dort wieder eine solche Gruppe zu sehen.

Ein Vorschub von 3 Sternen mit veränderlichen Radialbewegungen, die also spektroskopische Doppelsterne sind, veröffentlicht P. Lowell¹⁾. Es sind die folgenden:

a. *Andromeda* (AR = 0° 32', D = + 20° 30', 25 Grös.) Die Geschwindigkeit, deren Bestimmung hauptsächlich auf den Verschiebungen der Wasserstofflinie H γ und der Magnesiumlinie λ 4481 beruht, variiert zwischen — 45 und + 30 km pro Sekunde, wobei = Apulierung, + Entfernung des Sternes bedeutet. Die Beobachtungen scheinen nach Lowell

dies Periode von ungefähr 100 Tagen umschreiben.

α *Lilava* (AR = 14h 15m, D = — 15° 37', 25 Grös.) Das Spektrum zeigt zahlreiche Merkfälle, doch sind diese für genaue Messungen nicht sehr geeignet. Das Aussehen und Verhalten der Wasserstofflinie H β vermuten, daß die beiden Komponenten des Sterns heiß sind. Die Geschwindigkeit variiert zwischen — 60 und + 20 km in der Sekunde.

β *Scorpi* (AR = 16h 15m, D = — 20° 21', 3-5 Grös.) Die radialen Geschwindigkeiten schwanken zwischen — 25 und + 25 km. Das Spektrum ist vom Chromtypus, und seine Linien sind gut definiert.

χ *Sagittari* (AR = 17h 41.3m, D = — 21° 42', 4-8 Grös.) Ein veränderlicher Stern, dessen Lichtwechsel eine Periode von 7 Tagen besitzt. Sein Spektrum hält etwa die Mitte zwischen dem Spektrum von α *Canis minoris* und dem Sonnenspektrum. Lowell hat nur Aufnahmen von zwei Tagen, aus denen sich als mittlere Geschwindigkeiten + 1 und — 12 km ergeben.

γ *Capricorn* (AR = 21h 31.5m, D = 10° 54', 4-5 Grös.) Das Spektrum ist eigenartig und ähnelt dem der Sterne des Chromtypus. Die Messungen beruhen auf der sehr im allgemeinen sehr schwach durchfallenden Wasserstofflinie H γ und liefern Geschwindigkeiten, die zwischen — 45 und + 5 km pro Sekunde schwanken. Lowell hält es für möglich, daß beide Komponenten dieses spektroskopischen Doppelsterns heiß sind.

Ein prästardialer Meteor. Am 26. = J. strom 2h 9m nach der Stadt ist in Trichtach (Hörsen) ward ich durch eine schöne Naturerscheinung überrascht. Ich sah ein Meteor aufleuchten und nach langer Ruhe verschwinden. Die Farbe war die des Abendsterns, nur noch glänzender, und die Hellenheit jedenfalls heftiger als der Durchmesser des grossen Sterns.

¹⁾ Lowell Observ. Bulletin No. 11.

Die Halbkugel demselben war sehr bedeutend, denn ich sah im Zimmer auf dem Sofa an der Wand mit dem Rücken gegen WNW., vor mir auf dem Tische knaggen zwei Petroleumlampen. Dazu erblickte ich die Ercheinung durch ein weißliches Doppelgitter mit langen Sehnen. Der Himmel war völlig schwarz. Über die Position der Erscheinung bemerke ich folgenden Wink aus von Deneb im Schwanz einer Gerade nach der West nicht, diese in 3 Teile teilt, so machte das Meteor im ersten Teilgastisch (näher an Deneb) aufzuwachen, schenke ich als eine sehr lange Bahn, nicht senkrecht, sondern etwas weniger von der Senkrechten gegen Westen abweichend, verschwinden. Die Bahn war vollkommen gerade. Anfangs wollte ich sie auf 10° schätzen, bin aber jetzt gewiß, daß sie mindestens 15 Vollmonddurchmesser betrug. Die Erscheinung dauerte höchstens 2 Sekunden.

Tychostr., 14. Januar 1908.

Theodor Wronsky,
Hörschallmeister.

Neue Untersuchungen über den Meteoriten von Calum Diablo.¹⁾
Das in Arizona bei Calum Diablo gefundene glockenförmige Eisen ist mehrfach Gegenstand der Untersuchung gewesen, und es demselben sind sehr viele, kleine Bestandsheile, sondern schwere Diamanten und von Henry Mosson selbst auch mehrere durchsichtige Diamanten zugewiesen worden. Für seine erste Untersuchung hatte letzterer aber nur ein kleines, 4 g wiegendes Stückchen Eisen zur Verfügung gestanden; jenseit wurde ihm Gelegenheit, an einem vollkommenen Stücke des Eisens von Calum Diablo von 102 kg Gewicht diese Untersuchung wieder anzustellen.

Das Probstück hatte die von den Meteoriten bekanntermaßen glatte Oberfläche von dunkelbraun-schwarzer Farbe und ließ beim Zerschneiden die kugelige

Form deutlich bis zur Tiefe von wenigen Zentimetern eindringen. Bald aber schen die Mitte viel etwas sehr harten Körper vorhanden zu sein, und der Einschnitt nahm nicht so, erst mit einer anderen Seite und kostbaren Zügen gelang es nach mehreren Stunden, den Widerstand zu überwinden, und man konnte weiter sitzen, um sehr bald wieder auf einen ähnlichen Widerstand zu stoßen. Das Probstück war so oft, daß erst eine Arbeit von 20 Tagen den Eisenblock in zwei Teile zerlegt hatte.

Das Schnittstück maß 600 mm, die war auf der einen Hälfte kleineren von der Farbe und dem Glanz des Eisens, während auf der anderen fast große und drei kleinere Flecke sichtbar waren, die große oder schwarze Farbe, elliptische oder kugelförmige Gestalt besaßen und durch schwarze, unregelmäßige Linien oder schwarze Spalten zusammenhängen. Diese Flecken waren die Stellen, welche keine Zeugen des großen Widerstand dargeboten hatten, was man an der Verformung der Metallfläche erkennen konnte. Unter dem Mikroskop zeigten der metallische Teil kleineren, während die elliptischen Flecke heller und kugelförmig erschienen, manche waren von einem schwarzen Rinde umgeben, die Spalten waren mit einer schwarzen, kugelförmigen Haut gefüllt. In den Höhlen einiger Ellipsen trübte man häufig glänzender Kristalle von metallischem Aussehen, an anderen Stellen erschienen die Höhlen und Spalten schwarze, sehr kugelförmige Massen.

Für die chemische Analyse dieses Meteoriten wurden 50 kg in einer Schmelze gegossen, wobei die Schnittfläche sehr bald parallel Störungen hervorgerufen ließ, die hin und wieder von schwarzen Stellen punktiert wurden. Fürner sagte sich, daß die elliptischen Flecke die Quarzkrystalle Kanten entsprechen, die in der Schmelze eingebettet, angegriffen wurden und zu Boden sanken, man sah auf ihnen scharf-

¹⁾ Compt. rend. 1908, vol. 138, p. 772 bis 773.

randige Nüpfen, wie an der Oberfläche der meisten Meteoriten. Der sich während der Lösung entwickelnde Wasserstoff enthält Kohlenwasserstoff, Schwefelwasserstoff und Phosphorwasserstoff. Einer besonderen Analyse wurden das Metall der Krusten und die Kohlenstoffverbindungen unterworfen.

Das Metall zerfiel sich als Legierung von Eisen und Nickel, welche geringe Mengen von Phosphor, Silicium, Selen, Tellur, Kalium, Magnesium und Spuren von Kobalt enthält. Seine Zusammensetzung war keine gleichmäßige, der Nickelgehalt variierte an den verschiedenen Stellen zwischen 1.86%, und 3.61%, während ein aus dem Innern 3.84% Nickel enthält. In der Nähe der Krusten wurde im Metall mehr Phosphor und Kalb gefunden als fern von diesen. Die Krusten enthalten teils metallische Bruchstücke, teils schwere und amorphe Teile. Mit Salzsäure erhält man sehr starke Entwicklung von H_2 , eine Lösung, die viel Eisen, Nickel und etwas Kalb, ferner eine geringe Menge Phosphor, Silicium, Kalium und Magnesium enthält. Der unlösliche Teil bestand aus Kieselerde, amorpher Kohle, Gra-

phit und schwarzem, sowie durchscheinendem Diamant. Der in Salzsäure unlösliche Rückstand enthält glänzende, teils nadel-, teils würfelförmige Kryställchen, die aus Phosphorsäure von der Formel P_2Fe_3 bestanden. Ferner hat Herr Masing die Anwesenheit von Kohlenstoffdioxid nachgewiesen. Der Kohlenstoff endlich, der auch in wechselnder, aber sehr geringer Menge in der Eisenanlagerung fern von den Krusten gefunden, wie teilweise bei der Lösung des Meteoriten in Form von Kohlenwasserstoff auswichen. Der Rückstand, in dem zweiten Brückchen von $\frac{1}{2}$, wenn angetroffen wurden, zeigte den Kohlenstoff in verschiedenen Zuständen: als sehr leichte, durchscheinende, kugelförmige Kohle, aus der Zersetzung von Harzen stammend, als leichte Kohlenstoffkörner, die durch Druck zusammengebacken schienen, als Graphit, der stark amorph war, als schwarzer Diamant aus runden Körnern in großer Menge und als durchsichtiger Diamant in Form von Tropfen und Oktaedern auf abgerundeten Krusten.¹⁾

¹⁾ Meteorwissenschaftliche Rundschau 1905. No. 2.

Stellungen der Saturnringe. (Erläuterung S. 24.)

Zeiten der größten Elongation im J. 1905.

Tethys. Mai 2. 10^h 5; Mai 6. 10^h 5; Mai 9. 9^h 5; Mai 9. 7^h 5; Mai 10. 4^h 5; Mai 11. 9^h 5; Mai 12. 12^h 5; Mai 12. 10^h 5; Mai 13. 11^h 5; Mai 13. 11^h 5; Mai 14. 11^h 5; Mai 15. 11^h 5; Mai 16. 11^h 5; Mai 17. 11^h 5; Mai 18. 11^h 5; Mai 19. 11^h 5; Mai 20. 11^h 5; Mai 21. 11^h 5; Mai 22. 11^h 5; Mai 23. 11^h 5; Mai 24. 11^h 5; Mai 25. 11^h 5; Mai 26. 11^h 5; Mai 27. 11^h 5; Mai 28. 11^h 5; Mai 29. 11^h 5; Mai 30. 11^h 5; Mai 31. 11^h 5.

Dione. Mai 1. 10^h 5; Mai 4. 10^h 5; Mai 7. 10^h 5; Mai 9. 10^h 5; Mai 10. 10^h 5; Mai 11. 10^h 5; Mai 12. 10^h 5; Mai 13. 10^h 5; Mai 14. 10^h 5; Mai 15. 10^h 5; Mai 16. 10^h 5; Mai 17. 10^h 5; Mai 18. 10^h 5; Mai 19. 10^h 5; Mai 20. 10^h 5; Mai 21. 10^h 5; Mai 22. 10^h 5; Mai 23. 10^h 5; Mai 24. 10^h 5; Mai 25. 10^h 5; Mai 26. 10^h 5; Mai 27. 10^h 5; Mai 28. 10^h 5; Mai 29. 10^h 5; Mai 30. 10^h 5; Mai 31. 10^h 5.

Rhea. Mai 1. 10^h 5; Mai 4. 10^h 5; Mai 7. 10^h 5; Mai 9. 10^h 5; Mai 10. 10^h 5; Mai 11. 10^h 5; Mai 12. 10^h 5; Mai 13. 10^h 5; Mai 14. 10^h 5; Mai 15. 10^h 5; Mai 16. 10^h 5; Mai 17. 10^h 5; Mai 18. 10^h 5; Mai 19. 10^h 5; Mai 20. 10^h 5; Mai 21. 10^h 5; Mai 22. 10^h 5; Mai 23. 10^h 5; Mai 24. 10^h 5; Mai 25. 10^h 5; Mai 26. 10^h 5; Mai 27. 10^h 5; Mai 28. 10^h 5; Mai 29. 10^h 5; Mai 30. 10^h 5; Mai 31. 10^h 5.

Titania. Mai 1. 10^h 5; Mai 4. 10^h 5; Mai 7. 10^h 5; Mai 9. 10^h 5; Mai 10. 10^h 5; Mai 11. 10^h 5; Mai 12. 10^h 5; Mai 13. 10^h 5; Mai 14. 10^h 5; Mai 15. 10^h 5; Mai 16. 10^h 5; Mai 17. 10^h 5; Mai 18. 10^h 5; Mai 19. 10^h 5; Mai 20. 10^h 5; Mai 21. 10^h 5; Mai 22. 10^h 5; Mai 23. 10^h 5; Mai 24. 10^h 5; Mai 25. 10^h 5; Mai 26. 10^h 5; Mai 27. 10^h 5; Mai 28. 10^h 5; Mai 29. 10^h 5; Mai 30. 10^h 5; Mai 31. 10^h 5.

Hyperion. Mai 1. 10^h 5; Mai 4. 10^h 5; Mai 7. 10^h 5; Mai 9. 10^h 5; Mai 10. 10^h 5; Mai 11. 10^h 5; Mai 12. 10^h 5; Mai 13. 10^h 5; Mai 14. 10^h 5; Mai 15. 10^h 5; Mai 16. 10^h 5; Mai 17. 10^h 5; Mai 18. 10^h 5; Mai 19. 10^h 5; Mai 20. 10^h 5; Mai 21. 10^h 5; Mai 22. 10^h 5; Mai 23. 10^h 5; Mai 24. 10^h 5; Mai 25. 10^h 5; Mai 26. 10^h 5; Mai 27. 10^h 5; Mai 28. 10^h 5; Mai 29. 10^h 5; Mai 30. 10^h 5; Mai 31. 10^h 5.

Astronomischer Kalender für den Monat Mai 1908.

Tag	Sonnen			Mond		
	Mittlere Sonnen Zeit			Mittlere Sonnen Zeit		
	Zeit M. Z. — W. Z.	Rektascension	Declination	Rektascension	Declination	Stand im Meridian
1	— 3 54 29	5 30 55 52	+44 59 52 9	5 30 42 53	— 5 5 49 9	29 11 1
2	— 3 54 28	5 30 47 59	45 34 45 5	5 30 35 30	+ 5 48 51 1	29 8 9
3	— 3 54 26	5 30 39 59	45 52 28 9	5 30 27 21	7 26 50 1	29 5 9
4	— 3 54 25	5 30 32 40	46 10 24 7	5 30 19 11	20 51 4 2	—
5	— 3 54 23	5 30 25 40	46 27 58 9	5 30 11 13	23 19 48 9	5 52 1
6	— 3 54 21	5 30 18 40	46 44 45 9	5 30 3 6	25 44 59 9	5 55 4
7	— 3 54 20	5 30 11 40	46 61 23 9	5 30 35 55	27 19 5 9	5 58 9
8	— 3 54 17	5 30 4 40	46 78 5 9	5 30 28 49	28 49 59 7	5 5 4
9	— 3 54 16	5 30 4 40	47 14 29 1	5 30 21 34	29 44 11 7	5 59 9
10	— 3 54 15	5 30 3 40	47 30 55 9	5 30 14 29	30 41 55 7	5 5 9
11	— 3 54 14	5 30 26 40	47 46 51 1	5 30 7 23	31 39 52 5	5 49 9
12	— 3 54 13	5 30 19 40	48 1 50 5	5 30 0 18	32 38 48 9	5 57 9
13	— 3 54 11	5 30 12 40	48 16 42 9	5 29 53 14	33 37 40 7	7 59 9
14	— 3 54 10	5 30 5 40	48 31 27 9	5 29 46 9	+ 3 36 40 9	5 55 7
15	— 3 54 9	5 30 0 40	48 46 15 9	5 29 39 33	— 5 4 11 7	5 58 9
16	— 3 54 8	5 30 0 40	48 61 3 9	5 29 32 54	4 38 50 9	10 58 5
17	— 3 54 7	5 30 0 40	48 76 42 9	5 29 26 38	5 38 29 4	11 5 1
18	— 3 54 6	5 30 0 40	48 91 52 9	5 29 20 24	6 37 58 1	12 49 9
19	— 3 54 5	5 30 0 40	48 106 54 9	5 29 14 11	10 37 44 9	13 37 9
20	— 3 54 4	5 30 0 40	48 121 54 9	5 29 8 0	15 37 31 3	14 27 9
21	— 3 54 3	5 30 0 40	48 136 54 9	5 29 1 48	20 37 18 5	15 18 9
22	— 3 54 2	5 30 0 40	48 151 54 9	5 28 55 36	25 37 5 9	16 10 9
23	— 3 54 1	5 30 0 40	48 166 54 9	5 28 49 24	30 37 52 9	17 52 9
24	— 3 54 0	5 30 0 40	48 181 54 9	5 28 43 11	35 37 39 7	18 47 9
25	— 3 54 0	5 30 0 40	48 196 54 9	5 28 36 59	40 37 26 5	19 44 9
26	— 3 54 0	5 30 0 40	48 211 54 9	5 28 30 46	45 37 13 7	20 42 9
27	— 3 54 0	5 30 0 40	48 226 54 9	5 28 24 34	50 37 0 9	21 40 9
28	— 3 54 0	5 30 0 40	48 241 54 9	5 28 18 21	55 36 48 7	22 38 9
29	— 3 54 0	5 30 0 40	48 256 54 9	5 28 12 0	60 36 35 5	23 36 9
30	— 3 54 0	5 30 0 40	48 271 54 9	5 28 5 48	65 36 22 7	24 34 9
31	— 3 54 0	5 30 0 40	48 286 54 9	5 28 0 0	70 36 9 9	25 32 9

Planeteneintritte 1908.

Ma	1	11 1/2	Merkur in Konjunktion mit dem Monde.
"	8	1	Venus in Konjunktion mit dem Monde.
"	10	10	Jupiter in Konjunktion mit der Sonne.
"	11	9	Jupiter in Konjunktion mit dem Monde.
"	18	0	Merkur am Ästel.
"	19	0	Mars in Opposition mit der Sonne.
"	18	23	Mars in nächstfolgendem Knoten.
"	17	11	Mars in Konjunktion mit dem Monde.
"	22	4	Merkur in größter westlicher Elongation, 13° 30'.
"	30	10	Venus am nächstfolgenden Knoten.
"	24	25	Saturn in Opposition mit der Sonne.
"	25	14	Saturn in Konjunktion mit dem Monde.
"	28	27	Merkur in größter östlicher heliocentrischer Breite.
"	30	9	Venus in Konjunktion mit dem Monde.
"	31	21	Merkur in Konjunktion mit dem Monde.
"	31	29	Jupiter in Konjunktion mit dem Monde.

Planeten-Ephemeren.

Mittlere Berliner Stellung							Mittlere Berliner Stellung							
M Jahr	Rektascension			Declination			M Jahr	Rektascension			Declination			
	h	m	s	°	'	"		h	m	s	°	'	"	
Merkur							Saturn							
Mai 4	1	48	10.93	+	9	7.49.9	26	38	33	27	17	47.96	—13	0.55.1
5	1	48	20.02	9	0.57.0	26	38	33	27	18	48	15	1.5	13.9
14	1	48	5.00	9	48.14.9	27	37	38	28	50	56	48.34	—1.48	22.9
24	1	48	3.00	9	29.47.9	28	36	43	29	50	56	48.34	—1.48	22.9
34	1	48	40.97	23	24.17.9	29	35	48	30	50	56	48.34	—1.48	22.9
35	1	48	19.27	+10	30.10.9	30	35	48	30	50	56	48.34	—1.48	22.9
Venus							Uranus							
Mai 4	1	48	37.93	+10	17.11.9	30	35	48	30	50	56	48.34	—1.48	22.9
5	1	48	37.93	14	34.9.9	30	35	48	30	50	56	48.34	—1.48	22.9
14	1	48	31.9	17	56.14.9	31	34	53	31	50	56	48.34	—1.48	22.9
24	1	48	45.9	19	30.49.9	32	34	53	31	50	56	48.34	—1.48	22.9
34	1	48	7.98	18	30.49.9	33	34	53	31	50	56	48.34	—1.48	22.9
35	1	48	19.9	+18	34.33.9	34	34	53	31	50	56	48.34	—1.48	22.9
Mars							Neptun							
Mai 4	18	8	10.79	—37	33.40.9	35	34	53	31	50	56	48.34	—1.48	22.9
5	18	8	10.79	38	55.17.9	36	34	53	31	50	56	48.34	—1.48	22.9
14	18	8	10.79	38	55.17.9	37	34	53	31	50	56	48.34	—1.48	22.9
24	18	8	10.79	38	55.17.9	38	34	53	31	50	56	48.34	—1.48	22.9
34	18	8	10.79	38	55.17.9	39	34	53	31	50	56	48.34	—1.48	22.9
35	18	8	10.79	38	55.17.9	40	34	53	31	50	56	48.34	—1.48	22.9
Jupiter							Plutonium am 1. Mai							
Mai 17	0	40	19.29	+18	50.40.9	39	34	53	31	50	56	48.34	—1.48	22.9
27	0	40	19.29	18	50.40.9	40	34	53	31	50	56	48.34	—1.48	22.9
37	0	40	19.29	+18	50.40.9	41	34	53	31	50	56	48.34	—1.48	22.9

Sternbedeckungen durch den Mond für Berlin 1905

Mondtag	Stern	Größe	Eintritt wahre Zeit		Ausgang wahre Zeit	
			h	m	h	m
Mai 17	Δ Leonis	4.5	0	47.5	27	23.5
18	γ Leonis	3.5	0	34.0	0	43.9
27	δ Pleiades	3.5	14	35.5	14	38.5

Lage und Größe des Saturnrings am 1. Mai 1905 nach den Beobachtungen

Mai 17, Mittlere Scheitel der Ellipse	33° 51'	4° 11'
Scheitellänge " " "	33° 30'	31° 34'
Halbmesser der Sonne	25	30.94"
Periode " " "		0.11"

Bezeichnungen: Zeit (in Berlin) — Zeit in Greenwich — Zeit von dem Index in Leipzig —
Ausgegeben am 1. März 1905.

Fig. 1.



18 9 18 Andromeda.

Fig. 2.



18 9 20 Comae.

Fig. 3.



18 11 50 Virgo.

Fig. 4.



18 9 8 Leo.

Seite 106

Nebelwolke,
photographiert von W. S. Fraun.

Seite 107

SIRIUS.

Zeitschrift für populäre Astronomie.

Gesamtleitung für alle Freunde und Förderer der Himmelskunde.

Herausgegeben

unter Mitwirkung hervorragender Fachmänner und astronomischer Schriftsteller

von Prof. Dr. Hermann J. Klein in Köln

April 1905.

„Wissen und Erleben sind die Freunde und die
Bewährung für Menschheit.“ — Emerson.

Jeden Monat 1 Heft. — Jährlich 12 Mk

Verlag von EDUARD HEINRICH MAYER in Leipzig.

INHALT: Der Bau des Bruckteleskops des Astrophys. Observatoriums Königsfeld-Heidelberg. (Fortsetzung. Oberes Teilt. V) S. 72. — Der große Sonnensturm am 30. Aug. 1902. S. 74. — Die Orientierung nach dem Schiffe. S. 75. — Die neuen Teleskope des Lick und Liller. S. 77. — Spektroskopische Bestimmung der Umlaufgeschwindigkeit der Sonne. S. 80. — Die Verstellung zur Bestimmung der Konstanten. S. 81. — Vier neue Methoden der Auswertung von Spektroskopierungen. (Schluß). S. 83. — Drei Jahre nach Jähke. S. 84. — Nordische Nachrichten. S. 88. — Astronomischer Kalender. S. 93. Skizzen der Jagdmunde. S. 95. — Entdeckungen der Japannische. S. 95. — Skizzen der Japannische. S. 95.

Der Bau des Bruckteleskops des Astrophys. Observatoriums Königsfeld-Heidelberg.

(Fortsetzung. Oberes Teilt. V)

Der Bau hat sich von letztem Quartal angesetzt. Die Spaltbreite beträgt 200 cm und geht 100 cm über die Zerstreuung. Die zwei Schieber decken sich von zwei Enden der Photographie nach vollständig verstellte Achsen und haben den Durchmesser der Kugel zum Radius ihrer Bewegung. Die Photographie zeigt beide möglichst weit zur Seite geschoben, so daß der Spalt vollkommen frei liegt. Die Kugel ist in Eisenkonstruktion ausgeführt, mit Eisenblech gedeckt und innen mit Korkschicht gegen das Schmelzen versehen. Sie wird durch Druckluftstrom mit der

Hand bewegt und kann in 25 Sekunden rotiert werden.

Das Bruckteleskop, eine Stiftung der vereinigten Köln. W. Bruck in New York, ist im Prinzip nach dem sogenannten System aufgebaut, d. h. mit einer langen Polarisation, die an beiden Enden gelagert ist, während in der Mitte ein Deltakontaktsystem in der Mitte liegt. Dadurch kann jedes Gitter von Anfang bis zum Untergang ohne Untergang des Instruments verlagert werden. Es sind zwei photographische Schieber mit einem achsenförmigen Leitersystem verbunden. Der Zerstörer ist von Zeit, die Schieber sind von Zeit.

Die grosse Sonnenfinsternis am 31. August 1905.



In diesem Tage findet eine Sonnenfinsternis statt, bei welcher um die Zeit der Mitte in unsere Gegenden nahezu 8/7 des scheinbaren Sonnendurchmessers von der Menschheit verdeckt werden, während auf einer Zone, die sich von Brisch Nordamerika über den Atlantischen Ocean durch das nördliche Spanien, die Sahara, Algerien und Tunis nach Oberägypten und von dort nach der südlichen Küste Arabiens erstreckt, die Sonne total verfinstert wird. Gemäß der Berechnung durch das Kgl. sächs. Rechnungsbüro in Berlin sind folgendes die allgemeinen Schätzwertverhältnisse der Finsternis.

	M. Zeit		Ges. L.		Höhen v. Berlin
	h	m	°	'	
Beginn der Finsternis überhaupt	23	36.1	262	40	39 10
Beginn d. totalen Finsternis	8	29.9	268	37	40 50
Ende d. totalen Finsternis	1	43.8	267	30	45 52
Ende der Finsternis überhaupt	3	28.5	56	47	18 10
Ende der Finsternis überhaupt	4	30.9	57	38	5 32

Die Dauer der totalen Verfinsternung beträgt für den Ort von 23° 33' S. L. Gr. und 50° 7' n. Br. 120 Sekunden und nimmt zu bis 339 Sekunden an dem Punkte der Erdoberfläche von 30° 18' S. L. und 47° 48' n. Br. und nimmt wieder ab bis zu 146 Sekunden an dem Punkte von 38° 11' S. L. und 16° 36' n. Br. Die Finsternis überhaupt ist sichtbar in der Osthälfte Nordamerikas, in der nördlichen Hälfte des Atlantischen Oceans, in der nördlichen Hälfte Afrikas, in Europa, im westlichen Asien und in den nördlichen Polargegenden. Die Zone innerhalb der die Sonne total verfinstert gesehen wird, hat an Spitzen das Breite von ungefähr 200 Kilometern. In Canada dauert die totale Verfinsternung 85, in Fenn 131, in Harz 225, in Terra-Manca 224, in Canada de Fleuve 210, in Philippinen (Aliphan) 214, in San Maharo in Tunis 204, in Assam in Ägypten 153 Sekunden. Je weiter nördwärts (oder südwärts) von der Zone der Totalität ein Ort liegt, um so größer ist natürlich derjenige Teil der Sonnenscheibe, welcher zur Zeit der Mitte der Finsternis unbedeckt bleibt.

Länge Inhalt von Grönland

start Breite	9°			10°			11°			12°							
	Anfang		Ende	Anfang		Ende	Anfang		Ende	Anfang		Ende					
	h	m	s	h	m	s	h	m	s	h	m	s					
45	12	50	3	26	0.1	1	7	3	30	0.6	1	16	3	34	0.7	1	24
46	58	25	0.8	7	28	0.7	15	32	0.7	23	34	0.7	23	34	0.7	23	34
47	58	33	0.8	8	28	0.7	14	36	0.7	23	36	0.7	23	36	0.8	23	36
48	57	21	0.8	5	24	0.7	13	27	0.7	20	36	0.8	20	36	0.8	20	36
49	57	19	0.7	5	23	0.7	13	26	0.7	20	36	0.7	20	36	0.8	20	36
50	57	17	0.7	4	20	0.7	12	23	0.6	19	35	0.6	19	35	0.8	20	36
51	56	15	0.7	4	18	0.7	11	23	0.6	19	35	0.6	19	35	0.8	20	36
52	56	13	0.7	3	16	0.6	11	19	0.6	18	34	0.6	18	34	0.8	20	36
53	56	11	0.7	3	14	0.6	10	16	0.6	17	34	0.6	17	34	0.8	20	36
54	56	9	0.6	3	12	0.6	10	14	0.6	16	34	0.6	16	34	0.8	20	36
55	56	7	0.6	2	10	0.6	9	12	0.6	15	34	0.6	15	34	0.8	20	36

Von die selben Umstände der Fixierung für Orte des mittleren Europas zu bestimmen, hat das Berliner Astron. Jahrbuch mehrere Tabellen gegeben, aus denen die nachstehende Tabelle abgelesen ist. Die Angaben für Anfang und Ende der Verfinstörung sind in mitteleuropäischer Zeit ausgedrückt, die große Verfinstörung in Teilen des Sonnendurchmessers.

Aus obiger Tabelle ergibt sich, daß beispielsweise für Berlin unter $52^{\circ} 5'$ n. Br. und $13^{\circ} 3'$ ö. L. von Greenwich der Anfang der Finsternis eintritt 14.16^h, das Ende 14.31^h und die größte Verfinstörung 0.7 des Sonnendurchmessers betragen wird. Der Eintritt des Mondes in die Sonnenscheibe findet für Mitteleuropa schon am westlichen Punkte der letztern statt.

Die Orientierung nach dem Schatten.

Die einfachste bekannte, von Theon von Smyrna bewährte, eingetragene Vorrichtung, um bei Sonnenschein mit Hilfe der Taschenuhr die Nordrichtung festzustellen, stellt sich in folgende Worte zusammenfassen: Auf das Zifferblatt einer horizontal gehaltenen Taschenuhr lege der Schatten einer vertikalen Kante längs des Stundenzeigers, die Spitze des Zeigers des gegen den Schatten gebildeten Körper gerichtet; der Winkel zwischen XII und der in beschriebenen Tagesstunde war halber: — oder halber geteilt; die Halbierungslinie zeigt gegen Süden, deren Verlängerung über die Oberfläche des Zeigers hinaus weist nach Norden.

Das (auch Orrius) gehende) Uhr kann auch horizontal gehalten, der obige Schatten mittels eines Niveaus, eines Niveaus oder auch durch den verstellbaren Finger erzeugt werden.

Diese Regel vermittelte Dr. Max Müller, Vornehme über ihre Richtigkeit anzustellen, so begann er eine mathematische Untersuchung darüber, welche Genauigkeit bei einem solchen Verfahren erreichbar ist, und innerhalb welcher Grenzen der Fehler liegt, der der Methode an und für sich anhaftet. Die Ergebnisse dieser Untersuchung hat er in einer interessanten Schrift veröffentlicht.¹⁾ Derselbe enthält sehr

vieler mehr als die mathematische Lösung der unmittelbar vorliegenden Frage, denn Dr. Müller hat das Problem nach allen Seiten hin durchdringt und erörtert. Die mathematischen Erörterungen muß der interessierte Leser in dem Werke selbst nachsehen, hier sollen nur die hauptsächlichsten Ergebnisse in der vom Verf. gegebenen Form kurz zusammengefaßt werden. Es sind folgende:

a) Orientierungsregel für die ständige Halbkugel: Eine nach Ostwest gehende Taschenuhr wird horizontal so gehalten, daß der Sonnenschatten einer vertikalen Kante längs des Stundenzeigers gegen dessen Deckfläche hin fällt, jene Linie, welche den Winkel zwischen XII und dem Stundenzeiger halbiert, hat die Lage der Mittagslinie.

Wird der zu bestimmende Winkel an Nachmittagen abgelesen von XII aus im Sinne der Uhrumkehrung bis zur Tagesstunde hin geführt, an Vornmittagen ebenso konsequent von XII aus im entgegengegesetzten Sinne des Uhrzeigers bis zur Tagesstunde, zu welcher die Bestimmung gemacht wird, so zeigt die Winkelhalbierende nach Süden, ihre Verlängerung aber den Mittelpunkt hinaus nach Norden (Nordpunkt).

b) Die Bestimmung des Nordens ist mit einem Fehler verknüpft, welcher gleich ist dem Unterschiede zwischen dem Stundenwinkel und dem Azimut der Sonne. Der Fehler verursacht eine Abweichung in der Orientierung um

¹⁾ Orientierung nach dem Schatten. Studien über eine Taschenuhrregel. Von Dr. Max Müller. Wien 1906. Verlag von Alfred Hölder.

ebenartigen Bogengrade, als die Größe des Fehlers zunimmt. — Der Stundenwinkel wächst der Zeit proportional, ist gemessen das Maß für die Zeit; das Azimut wächst mit der Zeit auch einem hochkomplizierten Gesetze. Die Substitution des Stundenwinkels für das Azimut, wie es in der Orientierungstafel geschieht, ist nur ausnahmsweise bei vom Azimut Fehler.

c) Ist das Azimut größer als der Stundenwinkel, dann ist VM (vormittags) der Fehler positiv, NM (nachmittags) negativ; ist das Azimut kleiner als der Stundenwinkel (d), dann ist der Fehler an VM —, NM +.

d) Zu einer VM-Stunde und einer NM-Stunde, die gleichweit vom Mittag absteht, gehören im selben Orte und Tage gleich große, dem Zeichen nach entgegengesetzte Fehler, bzw. an Gegenständen gehören entgegengesetzt gleiche Fehler.

e) Ein + Fehler verursacht immer eine Abweichung gegen Westen; der Nordpunkt wird nach der Westhälfte des Horizontes hin verlegt, ein — Fehler bringt eine Abweichung nach Osten her.

f) Die Abweichung hängt ab: 1. von der Tagesstunde; 2. vom Kalenderstage; 3. von der geographischen Breite des Ortes, wo die Bestimmung gemacht wird.

g) Beispiele. — Nachmittagsfehler unter dem 45. Breitengrade.

	am 21./6.	am 22./6. u. 23./6.	am 21./6. u. 22./6.	am 18./6. u. 24./6.	am 20./6.
um 1 Uhr	— 12° 54'	— 8° 45'	— 4° 55'	— 1° 58'	+ 8° 44'
„ 2 „	— 24° 31'	— 14° 13'	— 7° 25'	— 3° 13'	+ 1° 15'
„ 3 „	— 35° 31'	— 20° 32'	— 11° 25'	— 1° 25'	+ 4° 15'
„ 4 „	— 45° 54'	— 26° 38'	— 16° 50'	+ 0° 50'	+ 7° 28'
„ 5 „	— 55° 55'	— 32° 41'	— 22° 58'	+ 4° 7'	
„ 6 „	— 65° 54'	— 37° 58'			
„ 7 „	— 75° 38'				
bei Sonnen- anfang	— 7° 25'	— 4° 19'	0	+ 4° 19'	+ 7° 25'

h) Während auf der nördlichen Halbkugel in der australischen Zone der Schatten (verlängerter Gegenstand) sich nach im Sinne unseres Uhrzeigers dreht, erfolgt diese Drehung auf der nördlichen Halbkugel außerhalb des Wendekreises

immer dem Sinne unseres Uhrzeigers entgegengekehrt. Zum Zwecke der Orientierung müssen unsere Gegenstände eine Uhr besitzen, deren Zeiger sich nach links herum drehen (Gegenuhr oder Schinder) und in Erregungslage einer solchen um 1 Uhr die Ziffer XI als die Scheitelposition anzeigt, um 2 Uhr die Ziffer X usw. und umgekehrt. Die Winkelhalbierende zeigt bei unsern Gegenständen nach Norden, deren Vorrichtung nach Süden (Südnagel). Ein positiver Fehler verlegt den Südpunkt in die Westhälfte des Horizontes, ein negativer in die Osthälfte.

i) Innerhalb der Tropen dreht sich der Schatten des geneigten Gegenstandes während eines Tages im Sommerhalbjahre ebenso wie in der Herbstperiode derselben Halbkugel. Unter dem Äquator erfolgt diese Drehung vom XI (3) bis XI (6) im entgegen gesetzten Sinne unseres Uhrzeigers, an den Tagen der Äquinoktien dreht sich der Schatten gar nicht, die nach längere Jahreszeiten hindurch im Sinne unseres Uhrzeigers. Während letzterer Zeit bedient sich der Äquatorbewohner mit Vorteil der Nordnagel, während unseres Sommers der Südnagel, Gefeuch werden aus den großen Sommerzeiten die viel kleineren Winterfehler mit dem Halbzeiger. — In den übrigen Tropenregionen zeigt der Schatten eine gemischte Drehungsrichtung. An jenen Sonnentagen, während welcher

die Sonnen declination größer ist als die geographische Breite, erfolgt in den nördlichen Tropen die Drehung des Schattens während der Morgen- und Abendstunden im Sinne unseres Uhrzeigers; in der Zwischenzeit im ent-

gegenwärtigen Sonne. Die Stängel bringt an solchen Tagen die kleinen Fächer — Umgekehrt ist es in den nördlichen Tropen; im Sommer gilt für diesen Gürtel die Zeit vom 20. September bis 21. März.

k) Der Schatten, den die Spitze eines vertikalen in den Boden gesteckten Stabes wirft, beschreibt im Laufe eines Tages einen Kreisbogen, im allgemeinen den Arc einer Hyperbel. Der Fußpunkt des Stabes liegt in der ersten Hyperbeläste oder deren Verlängerung. Daraus eine Schattenanleihe auftritt, muß dieser Fußpunkt außerhalb der Hyperbel liegen, und zwar in einem Achsenpunkte, von welchem aus eine Tangente an die «Schattenhyperbel» möglich ist; nur innerhalb des Tropen sind diese Bedingungen gleichzeitig erfüllt. — Der Schatten von der Spitze eines schief gegen den Horizont gestellten Stabes beschreibt denselben Hyperbel, welche das von freier Statuette herabgelassene Lot bilden würde, wenn dessen Spitze schattenspiegelnd wäre. Dem Fallende des gestellten Stabes kann überall und jeden Tag so pariert werden, daß es außerhalb der Schattenshyperbel liegt und in einem Punkte, aus welchem eine Tangente

an diese Hyperbel gezogen werden kann; denn trägt der Statuettende eine Umkehr in seiner Drehungsrichtung im Momente, wenn dieser Schatten die Hyperbel tangiert. — Eine Schattenanleihe kann sonst überall beobachtet werden, eine Umkehr des Schattens vertikaler Gegenstände nur innerhalb der Wendekreise. —

Die Umkehr der Schattenbewegung wird erwähnt in der Bibel, im 2. Buche der Könige, erwähnt, in einer Zeit etwa 742 v. Chr. Der Portugieser Peter Nonus war der erste, welcher bewies, daß eine retrograde Bewegung des Schattens einer horizontalen Sonnentuhr mit vertikalem Ziffer, dessen Schattenspitze an einem zwischen Äquator und den Wendekreisen gelegenen Orte die Stunden angibt, tatsächlich eintreft, wenn der Sonne zwischen dem Zenit und dem nächsten Wendekreise hindurchgeht. Montucla beweist in seiner Geschichte der Mathematik, daß man die nämliche Erscheinung an jedem Orte hervorbringen könne, wenn man die Ebene der Sonnentuhr eine solche Neigung gegen den Horizont giebt, daß der Zenit zwischen dem Scheitelpunkte des Ovals und dem nächsten Wendekreise liegt.

Die neuen Trabanten des Saturn und Jupiter.

Die Entdeckung höchst schätzbaren Saturnen in der Nähe des Saturn und des Jupiter deren schwebend Bewegungen auf eine kleine Bewegung derselben zu einem Planeten, d. h. auf eine Trabantenstellung derselben, hinweisen, haben mit Herd das größte Aufsehen in der astronomischen Welt erregt. Während aber sonst die Entdeckung eines neuen Trabanten ziemlich rasch und leicht veröffentlicht wurde (wie die Entdeckungen der Marsmonde und des 5. Jupitermondes bekannt), blieb es bei vorliegenden Falle schwieriger, zu einem endgültigen Urtheile zu gelangen. Prof. E. Pickering hat sich für die Trabantenexistenz der

«Phoebe» entschieden und giebt auf gute Gründe gestützt. Prof. Berberich, dem in diesen Fragen eine besondere große Autorität gebührt, behält dagegen die Möglichkeit, daß es früher zu Ängstigen aufgenommenen Objekten mit dem 1904 beobachteten Gekörns nicht ähnlich sein könnten. Er sagt: ¹⁾ «An diese Möglichkeit hat auch Prof. Pickering gedacht, er hat sie aber als eine sehr unwahrscheinliche Annahme zurückgewiesen. Seine Schilderung der ganzen Entdeckungsgeschichte der Phoebe zeigt aber, daß dessen Annahme auch nicht fast begründet ist.

¹⁾ Nature. London 1905 S. 43

Aus den Aufnahmen von 1904 allein kann man graphisch alles Mögliche ableiten, und für eine strengste Rechnung fehlen die nötigen Voraussetzungen der Platzpositionen. Wenn auf die Reihe Polierings manche ältere Positionen sich beziehen lassen, so ist dagegen nicht zu vergessen, daß daher viele andere, zumal schon bestimmt der Phoebe zugeordnete Positionen, sich nicht legen lassen, daß die betreffenden Objekte zu den allerschwachen und als unbedeutenden Gegenständen gehören, die nur auf den Platten selbst laien, und daß es zahlreiche ähnliche Objekte gibt, die bei jeder Beobachtung verloren, weil nicht zur frischen Belau paarend, vollständig ganz gut zur nächsten Belau streuen können. Darum und es über wohl lange keine Bilder der Phoebe von 1904. Die Kopien von Aufnahmen der Saturnabgabung lassen den Verdacht von Verwerstungen und Täuschungen aller Art als keineswegs unbedingt ausschließen.

Eine gute Probe auf das Exempel würde eine Reihe ähnlicher Aufnahmen, denn man ja das Licht großer Sorgfalt durchaus nicht vernachlässigen kann, aus einer beliebigen andere der Elipse geben. Stelle des Himmels ist. Wenn man bedenkt, daß die Anzahl der Platten mit abnehmender Leuchtkraft rasch höher wird, daß es denn mindestens 1000 geben dürfte mit der mittleren Helligkeit der Sonne 14 Größe oder höher und vielleicht 10000, die nach photographisch erreichbar sind, dann wird man begreifen, daß überall sehr kleine oder auch sehr kleine Platten von 16 bis 17. Größe mit den stärksten photographischen Fernrohren aufgefunden werden können, also auch in der schließlichen Nähe des Saturn. Es liegt kein zwingender Grund oder Beweis gegen die Annahme von Platten jenseits der Jupiterbahn vor, laufen doch auch viele kometenähnliche Kometen über die Jupiterbahn hinweg. Die Bewegungen von Platten in Bahnen jenseits des Jupiter

können sehr wohl notwendig der Bewegung des Saturn ähnlich sein, und eine Verwerstung eines solchen Platten mit einem Saturnmond wäre nicht möglich, aber auch verhältnißmäßig lange würde es ja nicht dauern, denn bei der verschiedenen Empfänger durch wieder vom Saturn weg.

Ergibt eine kleine Platte, nämlich (49) Venus, der notwendig immer als neuer Jupitermond sich darstellen konnte. Wenn allgemein, einmal in einer Saturnperiode schließlich, zugleich dem Jupiter ein ähnliches kommt, dann ist ein Lauf von der Sonne gesehen mehrere Jahre dem Laufe des Jupiter fast parallel, von der Erde aus gesehen scheint er um den Jupiter hin und her zu pendeln. Freilich muß man hierbei absehen von seiner dann stärker als beim Jupiter nach Norden gerichteten Bewegung im Sinne. Wenn es aber einen solchen Planeten gibt, dann ist auch noch mehr größer, wenn auch schwächer, die ebenso oder auch noch mehr der Jupiterbahnzone sich anschließen.

Für Barthelemy, Venus würde sich, obwohl 6000:100 im Gegensatz des Jupiter laufend, mit 1900 mehrere Jahre hindurch, wenn man von der Deklinationsdifferenz abzieht, innerhalb von ein bis zwei Stunden leicht und westlich vom Jupiter hin und her bewegt haben, und die Deklinationsdifferenz würde ebenfalls gering sein, wenn die Neigung der Venusbahn oder der Bahn eines ähnlich statten Planeten gegen die Jupiterbahn sehr klein wäre. Dazwischen befindet sich die Venus freilich in einer ganz anderen Gegend ihrer Bahn, aber aus der hier vorausgesetzten entsprechenden Konstellation mit dem Jupiter wird früher oder später einmal entstehen und dann auch die Vermutung eines kleinen, die neuer Jupitermond sein könnte.

«Die weitere Verfolgung und Berechnung der im vorigen Jahre 1904 entdeckten beobachteten Phoebe,» sagt Prof. Baumbach, «dann also noch zu

neuen Überdeckungen führen. Es wäre gewiß eine ebenso wertvolle Entdeckung, die von interplanetarischen Plasmakolonien wie die zum weit stehenden Saturnmond. Auch an unentdeckten Kometen könnte man denken, auf denen vorübergehend eine schwache Lichtentwicklung aufgetreten hätte. Als planetarischer oder interplanetarischer, fester Körper dürfte die Plache einen Durchmesser von etwa 100 km (200 km) besitzen, ähnlich dem größten unter den Planeten. Nur die große Entfernung würde diesen Körper zu einem so unerschwinglichen Objekt herabdrücken, das für die besten Beobachtungsmittel ausstrahlen könnte, die wir gegenwärtig besitzen, an der Grenze der Wahrnehmbarkeit steht.

Ein merkwürdiger Zufall ist es nun, daß fast gleichzeitig mit den vorstehend wiedergegebenen Ausführungen Prof. Berberich die Möglichkeit der Entdeckung eines 6 Jupitermondes andeutet, dessen Stellung und Bewegung gegen Jupiter vollständig im Einklang mit denen der Venus nahe entspricht. Doch ist dies nur Zufall, denn Prof. Pickering spricht sich entschieden für die Teilnannahme des in der Nähe Jupiters gelagerten Mondens aus und C. D. Perrine gibt 7 genauere Mitteilungsn über die Beobachtungen, welche zur Entdeckung des sechsten jupitermondes führen. Hiernach war schon seit mehreren Jahren die photographische Nachforschung nach diesem noch unbekannten Monden der oberen Planeten in das Arbeitsprogramm für die neuangelegten Cassini-Expeditionen aufgenommen. Die ersten Aufnahmen der Umgebung des Jupiter wurden am 3. Dezember 1904 erhalten, andere am 5. 9. und 10. Das Prüfung der Negative zeigte ein Objekt 14. Größe, welches sich unter den Sternen mit einer sehr kleinen Geschwindigkeit bewegte, die nicht sehr von derjenigen des Jupiter verschieden war. Dieses Objekt stand westlich vom Jupiter und

bewegte sich etwas schneller als diese, doch war es bei dem kurzen Zeitintervall (vom 3. bis 10. Dezember) nicht möglich zu entscheiden, ob dieses Objekt zum Jupitersystem gehöre oder ein fester Planet sei, der sich zufällig mit nahe der gleichen Geschwindigkeit wie Jupiter und in dessen scheinbar gleicher Nähe bewege. Am 2., 3. und 4. Januar 1905 wurden weitere Aufnahmen erhalten, welche zeigten, daß das Objekt dem Jupiter folgt und in solcher Weise, daß seine Zugehörigkeit zu diesem offenbar wurde. Der größte westliche Abstand des Trabanten während der erwähnten Aufnahmen 50 Gewisse ist sein und am den 25. Dezember v. J. stehendes zu haben. Eine genauere Bahnberechnung desselben ist noch nicht möglich, doch scheint die Bahnform des Trabanten etwas mehr gegen die Ebene der Ekliptik geneigt zu sein als die der ersten jupitermonde. Der neue Trabant schien sich in entgegenge-setzter Richtung zu bewegen wie die anderen fünf andern, doch kann vorläufig noch nicht entschieden werden, ob diese rückfällige Bewegung wirklich oder nur scheinbar ist. Unter Annahme einer kollektiven Bahn würde die Umlaufzeit des Trabanten etwa sechs Monate betragen und sein Abstand vom Jupiter auf dem sechs Millionen engl. Meilen oder das Fünftel des Abstandes des vierten jupitermondes. Der sechste Trabant wurde 14 Größe (photographisch) geschätzt, was etwa 125 oder 13 Grade entspricht. Seine Helligkeit wäre also gleich derjenigen des fünften von Barnard (1892) entdeckten Mondes.

H. R. G. Allan teilte unter dem 10. Januar folgendes mit: „In der Nacht des 26. Januar bot sich die erste Gelegenheit, Portraits vom Jupitermond zu 30-zähligen Refraktoren zu machen. Da das Teleskop an diesem Sonntag abends zur regelmäßigen Benutzung für Beobachtung der Sternwarten verfügbar war, so stand der Planet bereits ziemlich tief. Die atmosphärischen Verhältnisse waren

*) Publ. of the Lick, Ser. of the Pacific No. 100

ungläubig, doch der Luft war klar. Beim ersten Versuche wurde der Satellit an dem durch die Croley-Photographie in dem vorhergehenden Nächten angelegten Orte gesehen und in wenigen Minuten wurde die Bewegung desselben in Relationen die Identifizierung unzweifelhaft. Der Satellit wurde um Stunde lang verfolgt, und die Messungen zeigten eine ständige Bewegung in Rechtskurve von $+30''$, in guter Übereinstimmung mit den photographischen Ergebnissen. Die augenbliklichen Luftverhältnisse machten Helligkeits-schätzungen sehr unsicher, aber nach dem Aussehen kleiner Sterne von bekannter Helligkeit glänzte er etwa gleich einem Sterne 15. Größe sein. So viel

mir bekannt, ist dies das erste Mal, daß dieser Mond direkt gesehen worden ist, obgleich Prof. Haase in einer früheren Nacht nahe an dem vorherbestimmten Orte auch ein Objekt sah, dessen Bewegung aber wegen aufkommender Bewölkung von ihm nicht festgestellt werden konnte.

Schließlich ist durch die Aufnahmen mittels des Croleyrefraktors von Paris noch ein weiterer Jupitermond entdeckt worden, der 16 Größe ist, und von dem merkwürdiger Weise verläutet, daß seine Bewegung eine starke Helligkeits-Veränderung der alten Jupitermonde besitzt. Weitere Mittheilungen folgen noch.

Spektroskopische Bestimmung der Umdrehungsdauer der Sonne.

1901. Danks hat vor mehr als 15 Jahren zuerst den Versuch gemacht, auf Hilfe des Spektroskop aus den Verschiebungen der Spektrallinien am Sonnenrande die Geschwindigkeit der Umdrehungsbewegung der Sonne in verschiedenen Abständen vom Äquator derselben zu bestimmen. Diese Untersuchungen hat er in den Jahren 1866 bis 1901 mit demselben Spektroskop am Rotations der Sternwarte zu Upsala wiederholt und erweitert. Eine Anzahl der einzelnen Beobachtungen ist sehr groß und das Endresultat darf man deshalb, angesichts der Schwierigkeiten dieser Art von Messungen, eine beachtliche Genauigkeit zusprechen. Prof. Danks hat jetzt die Ergebnisse seiner ähnlichen Untersuchungen mitgeteilt. Er hat die Beobachtungen in 5 Gruppen zusammengeordnet und für jede die mittlere heliographische Breite und die ihr entsprechende Rotationsgeschwindigkeit der betreffenden Sonnenregion in

Kilometern abgeleitet, ebenso den mittleren Rotationswinkel φ oder den Bogen, um welchen sich die betreffende Zone der Sonnenscheibe innerhalb 24 Stunden dreht. Daraus hat man also den Kreisumfang ($2\pi r$) durch den mittleren Rotationswinkel, so erhält man die Dauer einer vollständigen Rotation in Tagen und deren Dekimaltheile. In der nachstehenden Tabelle bezeichnet φ die heliographische Breite, v die entsprechende Umdrehungsgeschwindigkeit in Kilometern pro Sekunde und τ den entsprechenden mittleren Rotationswinkel.

φ	v	τ
8.4°	1.09	14.77
10.0	1.07	14.85
16.0	1.20	13.66
45.0	1.77	11.74
65.0	2.21	11.50
75.0	2.16	10.75

Man ersieht hieraus, wie bedeutend die Rotationsgeschwindigkeit und Rotationsdauer in den Gegenden des Sonnenäquators von denjenigen in der Region nahe den Polen der Sonne ver-

schönen ist. Nahe unter dem Äquator beträgt die Rotationsdauer

$$360^{\circ} : 14,77^{\circ} = 24,37 \text{ Tage,}$$

unter 75° Breite

$$360^{\circ} : 10,79^{\circ} = 33,40 \text{ Tage.}$$

Diese Ergebnisse stimmen mit den-

jenigen, welche aus den Beobachtungen der Sonnenflecke abgeleitet wurden, gänzlich überein, sie sind aber um so wertvoller, als Flecke in der äquatorialen Region der Sonne und ebenso in hohen Breiten auf denselben nicht vorkommen.

Ein Vorschlag zur Bestimmung der Venusrotation.

Der berühmte Akademie der Wissenschaften in Wien hat vor einiger Zeit F. Liechardt einen Vorschlag unterbreitet, um das in gewisser Weise noch immer stiefmütterliche Problem der Venusrotation einem Schrit weiter zu bringen.¹⁾

Erstmalen Jahre sind schon verfloßen, sagt er, seit Schiaparelli durch seine das größte Aufsehen erregende Arbeit über die Rotation des Planeten Venus²⁾ die astronomische Welt hinsichtlich dieser Frage in zwei Lager spaltete, indem die Teil derselben im Anschluß an ihn für die Rotationsdauer von 224,7 Erdtagen, der andere aber für eine weit schnellere, beläufig 24-stündige, sich erklärte. Wohl hat Schiaparelli Andromas schwebende Beobachter verschickt, die Pläntzen zum Gegenstande ständlicher sorgfältiger Untersuchungen zu machen und die Ergebnisse in eingehenden, oft mit Zeichnungen ausgestatteten Berichten mitzuteilen.

Es scheint aber, daß die Lösung dieser Frage in dem größten Fortschritt, je mehr Nähe auf sie verwandt wird. Denn aus der direkten Beobachtung wandernder Flecke auf der Planetenoberfläche ist man noch zu keinem sichern Resultat gelangt.

Es ist gewiß von auffallender Tatsache, daß trotz fortgesetzter Andromungen es noch nicht gelungen ist, bei

unserm Nachbarplaneten die Rotationsdauer auch nur annähernd sicher zu bestimmen. Die Andromen sind viel kleinerenwertes Schattens und einem Kraterfleck in die tiefen Tüfen des Weltmeeres eingedrungen und haben dort mitunter vorübergehende Entdeckungen gemacht. Aber unsere nächsten Nachbarn, die — wenn man sich so ausdrücken darf — populärsten, von den Dichtern bezauberten, vom gemeinen Manne viel bewunderten, von manchen Völkern als Gottheiten verehrten, dem westlichen Abend- und Morgenlande schönsten Schmuck beleuchteten Stern wenigstens ebenso genau wie seine weit entfernteren Sternengemeinen Mars, Jupiter und Saturn kennen zu lernen, ist ihnen bis heute noch nicht gelungen.

Liechardt sucht deshalb einen anderen Faktor der Sonnenwirkung behufs Aufklärung hervor, nämlich die Wärme. Er sagt:

«S. P. Langley in Amerika hat durch seine Untersuchungen der Sonnenstrahlung nachgewiesen, daß die Sonnenstrahlung, welche als Wärmestrahlen von unserem Zentralkörper ausgesandt wird, fast so groß ist als diejenige, welche als Lichtstrahlung in Erscheinung tritt. Wir haben demnach in den Wärmestrahlen ein Mittel von fast doppelt so großer Differenzierungsfähigkeit, als die leuchtenden Strahlen besitzen, zur Verfügung zur Beobachtung von Veränderungen in den Reflektivitäts- und Absorptionsverhältnissen des Planeten und insbesondere Teilen der Wärmefläche. Unter der Voraussetzung, daß die Oberfläche des

¹⁾ Mitgeteilt durch die k. k. Akad. d. Wiss. in Wien, Math.-naturw. Klasse, Bd. CXXX, Abt. III.

²⁾ «Comptes rendus des seances de l'Academie des sciences de Paris, Vol. CXXIII, 1894.

Planeten keine gleichförmige Dichte hat, sondern wie die der Erde aus Festlandern und Meeren besteht, müssen die Wärmestrahlen der Sonne von stärkerer Reflektivität, von letzteren stärker absorbiert werden. Es handelt sich also darum, die Zeit des Maximums und Minimums der von Venus kommenden Wärmestrahlung zu ermitteln. Ist Venus unter obiger Voraussetzung eine sehr hohle, sehr trophoballastige Kugel mit einer Oberfläche wie Rotationsdauer von 2247 Erdtagen, wie Schiaparelli meint, so muß um ihn oben Kompression herrschen und unter der Minusmax, um die untere Grenze des Minusmax zu verstehen, d. h. Maximum und Minimum und der Übergang von einem zum andern wird an den Phasenwechsel gebunden sein. Die Lichtzeit wird einer sehr kalten, die Schattenzeit eine sehr heissen Temperatur zeigen. Bei einer kürzern Rotationsdauer wird der Verlauf der Kurve während eines Venusphases ein ganz anderer sein. Im Vorhinein dies zwischen werden mehrere Rotationen verstrichen, jede wird ein Maximum und Minimum der Wärmestrahlung aufweisen, und die Tageszeit werden im Laufe eines Venusphases eine Kurve bilden, deren Größe und Ausschlagswert von der Größe des Winkels abhängig ist, welchen die Rotationsachse mit der Ekliptik bildet — dies alles unter der Annahme, daß die Verteilung von Festland und Wasser (die Ursache der Strahlungsdifferenzen) auf der Oberfläche des Planeten ungleichmäßig und asymmetrisch ist, was auch mit größter Wahrscheinlichkeit der Fall sein wird. Diese Betrachtung zeigt, daß es an der Zeit ist, bei diesen Beobachtungen außer dem Reflektor und dem Spiegelteleskop auch noch das Bolometer zu Hilfe zu nehmen und nicht den Beleuchtungsveränderungen (helle und dunkle Flecke) auch die Änderungen der Wärmestrahlung auf dem Planeten zu beobachten.

Wenn es wahr ist (und es ist kein Grund daran zu zweifeln), daß Langley verheirateter Botaniker eine Tempera-

veränderung von einem Hunderttausendtel eines Grades des hundertfachen Thermometers empfinden (s. unten) ist, *) so kann es nicht ausbleiben, daß man mittels dieses Instrumentes bei so verschiedenen Orten der Erde durch einige Vorausankunft festgesetzter Registrierung der Wärmestrahlung des Planeten unter gekannter Beleuchtungszeit aller dabei wirklich lebenden Störungen zu einer befriedigenden Kenntnis seiner Rotationen gelangen wird. Die Beobachtung mit dem Bolometer dürfte wohl auch ihre Schwierigkeiten haben, aber dennoch wahrscheinlich ein bestimmtes Resultat an der Zeit des Späteren geben.

Natürlich wird damit nicht bloß der Wärmestrom des erdachtigen Teiles der Venusphase, sondern mit der zugleich auch die des dunkeln Teiles zur Registrierung gelangen.

Daher macht Loebhardt auch in Betreff der Nachteile der Planeten, welcher man in Bezug auf dieses Problem bisher wenig Aufmerksamkeit schenkte, einige Bemerkungen.

Nicht wenige Beobachter, sagt er, haben seit mehr als 100 Jahren dasselbe bewiesen in ganzen Lichtschauern sehen. Ich selbst habe diese Erscheinung wiederholt beobachtet. So finde ich in meinen Beobachtungsnotizen unter dem Datum 3. Mai 1892 folgende Aufzeichnung, begleitet von einer (allzu reichhaltigen) Handschrift: „0113 Venus nicht hinter freien Cern und zeigt einen höchst überraschenden Anblick. Von Flecken ist zwar nichts außer der gewöhnlichen Schattierung an der Lichtgrenze und dem sehr heißen Nordpol wahrzunehmen, doch zeigt sich die ganze Nachtseite als bedeckt kleinere Fleckchen in unterschieden Licht, welches an der Lichtgrenze am dunkelsten, viel dunkler als der Himmelsgrund ist und gegen den Ostend mehr so intensiv abnehmend ins Grau übergeht. Man

*) S. die Schrift: The new spectrum, by S. P. Langley. From the Astronomical report for 1884, p. 163—165. Washington, 1884.

nicht best des ganzen Orizont mit Ausnahme eines kleinen Stückes in der Mitte. Leider konnte ich die Erscheinung nur durch etwa 4 bis 5 Minuten beobachten, da sich die Cime allmählich verdichteten, und der Planet fast ganz verschwinden liess. — Ferner am 18. Juni desselben Jahres 54 10m. — Venus ist ruhig, scharf. Länge der Lichtstrahlen in der Nachtseite zeigt sich ein luftloses Band, dunkler als der Himmelsgrund.

«Dieses seltene, eben erwähnte, merklich beglaubigte Erscheinung hat bisher noch keine stichhaltige Erklärung gefunden. Nur dass stromen die Ansichten überaus, daß sie nicht der Widerschein des reflektierten Erdlichtes sein kann. Vielleicht handelt es sich gerade der dunkle Teil der Phase, der immer größer wird, je mehr der Planet sich der Erde nähert, ein progressiver Mittel, des Rotationsdauer durch Beschattung seiner Wärmestrahlung; es ließe man sich denken, daß die Nachtseite nicht ewig von der Sonne abgewandt, so muß deren Temperatur wenigstens sinken, je mehr sie von der Sonne oder ihrem Lande ausgesetzt wird, ebenso wie die der Lichtseite veränderlich sein und desentsprechend der dunkeln Seite, falls es periodisch auftritt, die Widerschein ähnlicher Verhältnisse anzeigen. — In dieser Beziehung merkt Lombardi noch auf einen besonders Umstand aufmerksam.

«Wir sehen,» bemerkt er, «da der Nachtseite fehlend, aber nicht immer der Planetenrand so scharf von dem Himmelsgrunde sich abheben, als ob gar keine Atmosphäre dort vorhanden wäre. Diese Erscheinung kann wohl nur der glatte Spiegel eines oder mehrerer Meere verursachen. Es fragt sich nun, ob es bloß eine zufällige, lediglich von unserer Atmosphäre abhängige oder eine periodische ist. Meine oben angeführten Beobachtungen rögen, daß selbst das Vorhandensein von Coriolis eine ungleichen Einfluß habe und hervorbringe, daß bei klarem, ruhiger Luft und scharfer Definition recht die ganze Nachtseite, sondern nur ein luftloses Band an der Lichtgrenz sich zeigt. Man kann also annehmen, daß man es mit einem periodischen und wohl zeitlichen Wechsel zu tun habe, welchem zu beobachten von großem Interesse. Da aber das Spektroskop hier gar keine Anwendung finden kann, so dürfte das Mikrometer besonders um die Zeit der ersten Konjunktion, wenn der Venusrand schon sichtbar ist und daher die neu eingeführte Wärme nur einen geringen Bruchteil der Wirkung auf das Instrument ausmacht, sich zur Anwendung ganz besonders empfehlen. Der große Mangel und der bedeutend wachsende Durchmesser der Scheibe dürfte die Beobachtungen sehr erschweren.»

Eine neue Methode der Ausmessung von Sternspektrogrammen.

(fortg.)

 des von Herrn astronomischen Spektres bemerkten Mangel und Korrektur mit Rücksicht auf die vorstehenden dargelegten Beobachtungen folgende:

«Das starke Auftreten der Emmissionslinien und des Vorhandenseins der Absorptionslinien aller sternen Erden läßt darauf schließen, daß die Atmosphären dieser Sterne eine be-

trächtlich kalte Temperatur besitzen, da je mehr diese schwer flüchtigen Materien in der Sternatmosphäre nicht in so beträchtlichen Quantitäten vorhanden sein könnten.

Man kann aus dieser Tatsache leicht weiter folgern, daß auf diesen Sternen noch ein früher Zustand der Weltbildung herrscht, und daß noch keine Schmelzung, keine aus-

gesprochene Schätzung nach dem Gewicht, nach größeren Teilen hin aufgefunden habe, jedenfalls bestehend sich noch als Elemente in gasförmigen Zustände, und sind noch nicht zur Bildung eines festen Kernes gekommen, der die schweren Elemente an sich gezogen hat. Dieser Zustand unterscheidet sich also von dem Zustande auf unserer Sonne, wo die schweren Enden schon mehr gegen den Kern hin gewendet sind.

Der Umstand, daß die leicht flüchtigen Materialien, wie die Alkalien, Erdalkalien usw. von uns entfernt nicht oder nur in wenigen Vertretern aufgefunden wurden, widerspricht dieser Auffassung nicht, sondern erklärt sich daraus, daß in dem gemeinsamen Spektrenbereich eben nur das Ca bedeutsame Linien ausweist.

Um von dem spektroskop. Bilde auf die Konstitution des Sterns halbwegs sichere Schlüsse ziehen zu können, ist es übrigens notwendig, eine Reihe voneinander stehender spektroskopischer Beobachtungen desselben Sterns miteinander verglichen zu können. Denn wenn es auch unabweislich ist, daß kleine lokale Störungen auf dem Pasternus den Gesamtcharakter des Spektrens oder einzelner Linien wesentlich ändern werden, so ist doch klar, daß eine ausgeprägtere Veränderungen in der Dichte, dem Druck usw., auch auf das Aussehen und die Stellung der Spektrallinien, sowie auf den Charakter des spektroskop. Bildes im allgemeinen Einfluß ausüben müssen. Dies wird besonders dann der Fall sein, wenn solche Veränderungen und Störungen einer zufällig in jenen Teilen der Fixsternatmosphäre vor sich gehen, welche die äußerste Hülle des Sterns, also auch dessen visible Porphyrie bilden. In diesem Falle kann nämlich in den Randstrahlen infolge der anomalen Dispersion ebenfalls auch noch Licht von der Rückseite des Pasternus zu uns gelangen, das einer wesentlich andern Charakter haben kann, als das

unter normalen Umständen emittierte Licht. So ist es namentlich möglich, daß durch die anomale Dispersion unter Umständen helle Linien verschluckt werden, welche sonst zu den verschiedensten, in sich selbst abgestimmten multiplizierten Doppelungen Anlaß geben können.

Solange übrigens nicht im Laboratorium alle Bedingungen genau erforscht sind, die auf das Aussehen der Spektrallinien Einfluß haben, und solange man nicht ganz weiß, welchen Wert die hier in Betracht kommenden Umstände haben müssen, damit die einzelne Spektrallinie die bestimmten Aussehen erziele, solange wird man auch von dem Aussehen der Spektrallinien und aus dem ganzen Charakter des spektroskop. Bildes keinen sicheren Schluß auf die Konstitution des Sterns ziehen können.

Mit Sicherheit aber dürfen wir wohl aus der Tatsache der Veränderung des Spektrens darauf schließen, daß nach der Zustand der lichtemittierenden Körper sich in irgend einer Art verändert haben muß. Wegen der Kleinheit des Fixsternbildes und der dadurch bedingten Unmöglichkeit, es anders als das „mittlere“ durchschnittliche Spektrum des Sterns zu beobachten, können wir natürlich keine Fixsternspektren nur zufällige Veränderungen des Sterns als Ganzes wahrnehmen, wir sind aber — im Gegensatz zu Spektren von Himmelskörpern, deren Bilder genügende Flächenvergrößerung besitzen, um Detailbeobachtungen zu ermöglichen — nicht imstande, lokal begrenzte Veränderungen, z. B. Störungen, Wirbel, Schichtungen in einzelnen Teilen der Oberfläche usw. als solche zu beobachten. Allerdings wird es auch im Falle der spektroskop. Untersuchung eines Fixsterns, der verhältnismäßig geringe Entfernung von uns Flächenausdehnung zeigt, nämlich von unserer Sonne, notwendig sein, Schlüsse, die sich auf partielle, von der untersuchten Oberfläche abhängige Veränderungen des spektroskop. Bildes aufbauen,

mit großer Vorsicht zu ziehen und zwar eben wegen der Störungen durch atmosphärische Dispersion.

Was schon erdriht, läßt sich in bezug auf die Konstitution der Fixsterne aus deren spektralem Bilde nach dem bisherigen Stande unserer Kenntnisse nur eine Art von Schlüssen mit einiger Sicherheit ableiten, und das sind jene Schlüsse, die aus dem Fraunhofer-Spektrum auf die chemische Zusammensetzung des interstellaren Sternes gezogen werden konnten. Freilich wurden unter den ungünstigen Verhältnissen, unter denen wir die Spektren der Fixsterne untersuchen müssen, diese Untersuchungen nie vollständig und unbedingt ausrüttelt werden können. Die Absorption der Fraunhofer-Linien verhindert uns ja, im ultravioletten Teile wesentlich weiter, als bis zur Wellenlänge λ 3000 vorzudringen; für eine große Zahl von Elementen findet sich aber die Hauptenergie gerade in dem Wellenbereiche von λ 3000. Für den Nachweis solcher Elemente in einer Sternatmosphäre läßt man dann angewiesen auf die verhältnismäßig schwachen oder wenig scheinbaren Linien im anderen Spektralbereiche, die bei einem etwas geringem Promengehalte der Sternatmosphäre an dem betreffenden Materiale noch vollständig sichtbar können; Elemente, die nur im äußeren Ultraviolet Linien geben, werden überhaupt nicht nachgewiesen werden können.

Wenn also nach dem Gesagten die Schlüsse auf die chemische Konstitution der Fixsterne auch nicht vollständig sein können, so haben sie doch in diesem ihrem beschränkten Umfange den Vorteil relativer Sicherheit für sich. Allerdings wird man Linien, die zwar nach den aus dem Laboratorium her bekannten Spektren nicht zu identifizieren vermag, deshalb noch nicht ohne weiteres als Linien von irgend nicht vorzukommenden oder auch nicht bekannten Elementen ansprechen dürfen.

Aus dem Aussehen der Spektral-

linien Schlüsse auf die physikalische Konstitution der Sternatmosphäre abzuleiten, ist ganz abgesehen von den Störungen durch atmosphärische Dispersion bei den Aufnahmen mit Fraunhofer-Photographen, wie sie uns derzeit allein zur Verfügung stehen, auch aus dem Grunde nicht möglich, weil infolge der geringen schließenden Kraft dieser Spektrophotographen fast jede der beobachteten Linien einem Komplex mehrerer Linien darstellt. Betrachtet man nämlich das Sonnenspektrum unbefürdeltichtig nach, daß die von uns untersuchten Sternspektren mit dem Sonnenspektrum große Ähnlichkeit haben, so drängt sich sofort die Vermutung auf, daß eine oder wesentlich mehrere Sternspektren, als wir uns vorlegen, auch bezüglich der Zahl der Linien ein ganz ähnliches Aussehen aufweisen würden wie das Sonnenspektrum. Da sich nun im beobachteten Sonnenspektrum im Intervalle von einer Å. selten bis hundert Spektrellinien vorfinden, so daß man im beobachteten Sternspektrum über im glücklichen Falle von Linien innerhalb einer Å. gesamt zu erkennen wäre, so darf man schließen, daß in dem Sternspektrum wohl fast jede der gemeinsamen Linien ein Komplex einer ganzen Reihe einzelner Linien sein wird.

Was die untersuchten Photogramme anbetrifft, so ist über die betreffenden Sterne folgendes zu bemerken:

1. *Ogma*. Es wurden 137 Linien gemessen. Zur Bestimmung der Größe der Verschiebung wurden 3 Elementen benutzt. Die Ausmessung ergab für die Geschwindigkeit in der Umdrehung zur Erde $+ 35.1$ km pro Sekunde (mit der sich der Stern relativ zur Erde für den Augenblick der Aufnahme von dieser entfernt).

2. *Cornu minor*. Es wurden 113 Linien gemessen. Als Rotgeschwindigkeit für den Zeitpunkt des Photogramms ergab sich $- 34.4$ km pro Sekunde.

3. *Lucida*. In diesem Spektrum wurden 385 Linien gemessen. Die

Messungen von 8 Eisensteinen ergaben für die Geschwindigkeit im Vakuumradius des Wirt von +314 Åm pro Sekunde selbst nur Ende für die Zeit der Aufnahme.

• Fazit! Das vorliegende Spektrogramm dieses Sternes zeigt eine von den Spektren der des andern Sternes durchaus abweichenden Charakter, der nicht nur in dem Gesamtansehen des

spektralen Bogen, sondern auch in dem Aussehen und der Beschaffenheit der einzelnen Linien zur Geltung kommt. Wiederholte sorgfältige Untersuchungen des Spektrogramms bekräftigen die Vermutung, daß sie es in anderen Teilen des Spektrums möglicherweise mit hellen Linien zu tun haben könnten, doch müßten darüber fernere Aufnahmen entscheiden.

Karl Gustav Jakob Jacobi

(geb. 1804 am 16. März, gest. 1874 am 18. März)

Karl Gustav Jakob Jacobi gehört neben Gauss und Helmholtz als Einflußreicher zu den Geniesystemen auf mathematisch - naturwissenschaftlichem Gebiete, welche das vorige Jahrhundert hervorbrachte. Zwar knüpfen auch an dessen Namen keine Entdeckungen, die auch dem großen Publikum interessant oder verständlich erscheinen, es ist nur eine ganz kleine Genetische, welche richtig zu schätzen vermag, was Jacobi für die exakte Wissenschaft geleistet hat, aber innerhalb dieser wissenschaftlichen Enge hat er die Wahrnehmung bewahrt, daß Jacobi der erste Schritt neben dem großen Mathematiker aller Zeiten, neben Gauss gebildet. Es ist das große Verdienst von Leo Königsberger in Heidelberg, der wissenschaftlichen Welt eine umfassende Schilderung des Lebens und Wirkens von Jacobi geschenkt zu haben, eine Schilderung, die aus geschichtlichen Menschen einen Einblick in das Denken und die Genetischen dieses großartigen Genies gestattet. Das vorliegende, einer kurzen Besprechung des Werkes von Königsberger im B. T. durch J. Koster entnommene, mag an diesem Orte größeren den unerbittlichen Danks als Menschen des Lesers aller zu bringen.

Jacobi's pikareske Biographie macht sich frühzeitig bemerkbar. Der Potsdamer Generaladjutant war schon auf alle hohe Rufe des Genies der

Aktiveren Jacobi hin und folgte die Worte: „In jedem Felde wird er sich nicht mehrwärtig machen.“ Und diese Voraussage ist in jedem Betracht wahr geworden. Wie und wodurch das geschah, das hat Prof. Königsberger, selbst ein begabter Schüler eines unerbittlichen Meisters, der in voller Ehrlichkeit dem Ehrgeiz geblühender Genie sich zur Seite stellen kann, in der Beschreibung von dessen Leben dargestellt. Das Werk erschien als Festschrift zur Feier der hundertsten Wiederkehr des Geburtstages Jacobi im Jahre 1904.

Neben der Entwicklungsgeschichte des geklärten Genieschicks kann wir es in eingehender Anschaulichkeit abgefaßtes Kapitel aus der deutschen Genetischen- und Universitätsgeschichte in der ersten Hälfte des vorigen Jahrhunderts kennen. Es war damals die blühende Zeit der deutschen Mathematik. Um den Stern Gauss gruppierten sich die großen Kämpfer — „Athenen“ nennt ein Königsberger richtig — Jacobi und sein norddeutscher Beistand Abel, Dirichlet, Steiner, Hermann, Jordan und vor allem Bessel, der mit Jacobi in ein unauflösliches Freundschaftsbündnis trat. Alle diese Männer, originale Denker und Meister an Reiche der mathematischen Wissenschaft, erschienen in einer schon ausgesprochenen geistigen Individualität schon charakterisiert vor uns. Prof. Königsberger hat es vollständig

verstand, dass jedem dieser Männer und Dränger dem Leben unendlich näher zu bringen. Aus kleinen, unebenheiten brechenden Meilungen lernen wir dann Wahrheit kennen und gewinnen Verständnis für die dem Weltlichen weit abgewandeten Dingen und Werten. Mit diesem gewonnenen Verständnis für die so ungemein anstehenden Persönlichkeiten verbindet sich ein Gefühl von Bewunderung für ihre Gestalten, in die völlig einströmten einem Kopfe wie dem Alexander v. Humboldt's nach dessen eigenen Bekenntnis nicht immer möglich war. Wir können die Gesteirnte dieser Männer nur ahnen, aber es umschließt uns was im Ehrfurchtschauer, wenn wir in dem Rache Königsbergern von dem steigenden Ruhme des jungen Potsdamer Universitätslehrers lesen, dem die gelehrten Akademiker Europas ihre Mitgliedschaft antrugen, und deren Stolz erwarb. Aber alle Ruhm, die Ehrenbewehrungen, selbst die Freundschaft mit dem von ihm so liebsten hochgeschätzten Basel vernehmen die Leute eines innern Daseins nicht ausfüllen. Jede war kein ungeschickter Mathematiker, dass wir es zu ungeschickvoll, in seinem Herzen habe die zukunfts Liebe zu einem kaiserlichen Mächtigen einen unerbittlichen Sturz der Leidenschaft empfunden, der so ein Philosoph selbst gefährlich werden konnte. Der Werbefried an Friedrich Schwegel ist ein unerschütterliches document hiesiger. «Von Jugend auf,» so schreibt er, «mit dem reinen Arbeits begünstigt, in ihnen den Kreis meiner Daseins erschöpfend glaubend, von ihnen volle Befriedigung über dieses erschöpfend, was jegliche Lebensbedeutung nur können konnte, wollte ich mir selbst beinahe vollständig vornehmen, als ein schwebendes rotes Dasein mir mit einem Male hier und Ruhe und Ehr und Wissenschaft gar nicht mehr wesentlich erschienen und streng gegen mein menschliches Glück vor ihnen Auge, wenn nur dieser würde. Und so war mir die geist-

liche Ruhe und Heiligkeit unter der Hand ersehnt, und ich mochte doch die Ursache und die Angst um alles nicht lassen. Bei dieser schmerzlichen Lage der Dinge nahm Sie nun wohl, Sie wunderbaren Mädchen, daß nur Sie mir Heilung und Heil gewähren könnten, da Sie mir die Ruhe geschenkt hätten, und daß Sie, die Sie mir gegen alle Dasein gewährt haben, nur mehr etwas gründen können.» Friedrich Mann Schwegel hatte den großen Mathematiker mit den Mächtigen Augen ebenfalls begreift und gab für jetzt. Die glücklichsten Tage seines Lebens hat er in Königsberg verbracht. In der Vollkraft seiner Schaffens genoss er die höchsten Wesen, die einem Geiste auf Erden beschaffen sein konnten. Die Gesteirnte hüllten ihn, seine Schüler hingen mit Begierde an seinen herrlichen Lippen und wanden die Apostel ausen Ruhm auf den Lehrstühlen an den deutschen Hochschulen, die er nun selber erreichen durfte. Doch des Königsberger Klima wurde ihm verhängnisvoll, und er nicht sich genügt, um Urlaub und um eine Reiseunterstützung beim Könige nachzusuchen. Humboldt bewilligt die Angabengabe, 1500 Taler werden schenkt. Friedrich Wilhelm IV. weist dagegen 2000 Taler an und befehlt «gütliche Berücksichtigung». Er selbst aber schreibt es jetzt. «Mit lebhaften Bedauern habe ich von Ihrem unheiligen Gesundheitszustande Kenntnis erhalten, in meiner Beratung aber auch bezüglich der Versicherung, daß Sie von dem Aufenthalt in einem milden Klima eine glänzende Wiederherstellung erwarten dürfen. In der Voraussetzung, daß Sie sich hierzu baldmöglichst entschließen werden, habe ich den Oberpräsidenten Bülcher autorisiert, Ihnen zur Beilegung der Reisekosten mit dem nötigen Mitteln zu Hilfe zu kommen, und wünsche den besten Erfolg dieser Reise.» Jacob ging nun nach Italien, wo er seiner Gesundheit leben durfte. An glänzenden Ehrenbewehrungen hat

es ihm auch da nicht gefehlt. Papst Gregor XVI. hat ihn und Dirichlet in den vatikanischen Palast antworten und antworten sich mit den beiden Mathematikern über eine Studie (Jacobi berichtet an Bessel), «dass der Papst nicht nur von Newton, Kepler, Kopernikus, Laplace mit großer Teilnahme spricht, sondern genau wissen auszusprechen, dass sich der Grad der Umlaufzeiten (der Planeten) wie die Kuben der mittleren Entfernungen verhalten. Es war interessant, dass er auf der großen Bewunderung von Kopernikus sprach. . . . Derselbe Geist wie Kopernikus scheint ihm Galilei doch nicht zu fehlen. . . .»

Diese rühmende Reise wurde zum entscheidenden Wendepunkt im Leben Jacobi's. Er kehrte nicht mehr nach Königsberg zurück, sondern wurde in seiner Eigenschaft als Professor nach Berlin an die Akademie berufen. Seine Gehaltsbezüge wurden, den Verhältnissen in der neuen Berlin entsprechend, aus kaiserlicher Gnadenbewilligung erhöht. Hier lebte er von neuen mathematischen und astronomischen Arbeiten, bis auch die die Jahre 1814 erfüllte. Er trat im damaligen konsolidierten Klub einige glänzende Reden, und dieser Umstand genügt, um später, als die Reaktion wieder bei Kräfte war, den großen Mann auf jede nur denkbare Weise zu drängen. Er wurde beim König verdrängt. Die Grundgesetze wurden dem Kaiser, schließlich auch die der schwedischen Akademie, die letzte Zucht der Berliner Akademie der Wissenschaften, gedrungen, seine Geistesarbeit den vielen Kindern nach Guthe überlassen zu lassen und sich selbst in dem den älteren Berlinern wohlbekannten Hotel «Zur Stadt London» in Pension zu geben, um auf dem Wege der Privatstudien herabzukommen. Das Persönliche jedoch war dem unsterblichen Forscher, dass er noch vor den Unsterblichen Leibniz geladen wurde, der ihm postum

seine akademische Überlegenheit zu bilden gab. Man muss auch diesen Herrn gekannt haben, um sich einen Begriff von solch einer Sache machen zu können. Inzwischen wurden von Seiten des kaiserlichen Ministeriums — man bedenke, dass Leo Thun damals Minister des Innern in Wien war! — Verhandlungen mit Jacobi eingeleitet, um ihn zu einer Überredung nach Wien unter den christlichen Bedingungen zu bestimmen. Die Verhandlungen wurden dann auch glücklicherweise, und Jacobi schied mit dem 1. April nach Wien gehen. Da lagerten er sich im Lager der Freunde tüchtig zu rühre. Johannes Schuler, der Dozent im Mathematikstudium, erklärte, dass er alle bei auf Jacobi verlassen wolle, der sei eine «Naturkraft». Er stellte dem König den wehrten Sachverhalt vor. Der kaiserliche Leibarzt, der Jacobi als einen «Kompartiment» zu bezeichnen sich gelassen hatte, wurde förmlich ausgeschlossen. Feindliche Wilhelm IV. willigte in alles, und so blieb Jacobi Berlin und der Akademie der Wissenschaften erhalten. Humboldt meldet den kaiserlichen Ausgang der Antwort an Dirichlet mit den Worten: «Je plus on oppose, que nous n'avons pas à déplorer une perte à craindre».

Jacobi hat diese Katastrophe nicht lange überlebt. Das Verbot der Mensch-gekauften kaiserlichen Klage gegen den unsterblichen Mathematiker genügt jedoch mit zu dem persönlichen Verurtheilungsgeschicklichen Zeit, der der mathematischen Ende erst mit dem Einfall der Regenschneise des Prinzen Wilhelm von Preußen nahmen sollte. Inzwischen einer Fülle geschlossener Entwürfe in Karl Gustav Jakob Jacobi am 15. Februar 1811 vom Tode dankenswerth werden. «Der Tod», so sagte der berühmte Berliner Mathematiker Dirichlet, Felix Mendelssohn-Schwartz, «hat der Wissenschaft zu große Bereicherungen nicht gegeben.»

Vermischte Nachrichten.

Die künstliche Chromosphäre. E. Fraunhofer hat in der Phys. Gesellsch. zu Berlin über einen einfachen Vorversuchbericht, der die Erscheinungen der Chromosphäre und der Protuberanzen darstellt, als die bei Gelegenheit einer totalen Sonnenfinsternis zu beobachten sind. Die experimentellen Bedingungen wurden dabei möglichst vollkommen den Verhältnissen angeglichen, welche nach der von W. H. Julius aufgestellten Sonnentheorie diese Erscheinungen auf der Sonne hervorbringen. Die von dem weißen Lichte einer elektrischen Zungenlampe beleuchtete kreisförmige Öffnung einer Glasglocke stellt die Photosphäre dar. Von einer Projektionslinse wird ihr Bild zunächst auf einem weißen Schirm erhalten. Jetzt wird ein geeignet ausgeschalteter Pappschirm in den Weg der Strahlen gebracht, so daß er das Bild der künstlichen Sonne ablenkt und nur ganz wenig über denselben hinausragt. Dieser Schirm stellt also in dem Versuche dieselbe Rolle, wie bei einer totalen Sonnenfinsternis der Mond. Zur Nachahmung der anormal dispergierten Sonnenatmosphäre dient ein «Prisma» aus Natriumdampf, welches nach dem von Wood herrührenden Methode hergestellt wird. Ein eisener Kasten, an beiden Enden mit Glasplatten verschlossen, füllt man mit etwas metallischem Natrium, welches durch eine unter der Röhre gebildete Benzenflamme erhitzt wird. Das Natrium verdunstet und bildet ein «Prisma», in welchem die Dispersivität des Dampfes von unten nach oben schnell abnimmt. In diesem wird das gelbe, des Natriumfreies nach der violetten Seite des Spektrums hin unsichtbar beschriebene Licht durch anormale Dispersion von seiner geraden Richtung nach oben abgelenkt, es nimmt seinen Weg an dem Pappschirm vorbei und bildet sich auf dem weißen Schirm als eine gelblichweiße Chromosphäre ab, welche der bei einer

totalen Sonnenfinsternis sichtbaren vollkommen entspricht.

Diese künstliche Chromosphäre ist allerdings nicht rötlich, wie die wirkliche, sondern gelb, weil ein experimentelles Gefäß der Natriumdampf als anormal dispergierendes Gas angewendet wird, während auf der Sonne hauptsächlich der Wasserstoff vorherrscht. An einigen Stellen gehen gelbe Strahlen noch weiter in den Roten hinein, die als eine kleine, lichte Nachbildung der Protuberanzen angesehen werden können.

Dalß es sich wirklich um anormal dispergierte Strahlen handelt und nicht etwa um das vom Natriumdampf emittierte gelbe Licht, zeigt sich sofort, wenn man das Licht der Lampe unmittelbar vor der kreisförmigen Öffnung ablenkt. Dann verschwindet nicht bloß das Bild, sondern auch die gelbe Chromosphäre.¹⁾

Helles Meteor. Herr Prof. Dr. Krutz teilt uns folgende ihm gewordene Mitteilung des Herrn Dr. Hochbauer in Badgöppel über ein von diesem beobachtetes Meteor mit: «Vom 17. auf den 18. Dezember 1904 in der Nacht habe ich mit meinem Vierzöller Mondbedeckungen gemacht. Es war Luft 2, frostig, völlig klarer Himmel. Ich hatte lange Zeit beobachtet und wollte mein Auge etwas mehrheit, als plötzlich aus der Gegend zwischen γ und δ Ursa majoris ein helles «Faden» sichtbar wurde.

Der kleine «Faden» wurde in einem breiten, weiß und hell trachtenden «Strahlen», und gleich hernachmals ich in diesem drei ganz verschiedene knopfartige Körper, der kaum 1—2 Sekunden später platzte. Keine Detonation war hörbar, doch die Frauentheile stoben radialen Strahlen.

Dies geschah so plötzlich, daß ich ganz verpaß, daß ich doch bei

¹⁾ Dard deutsch phys. Gesellschaft 1905, S. 14.

mittlere Instrumente stiftet, und mit diesem vollständig noch nicht sehen könnte. Als ich dann auf den besprochen Punkt einstellte, war absolut nichts mehr zu sehen. Die Richtung der „Weissen“ war gegen 65 Linse Norden.

Das ganze Phänomen war vielleicht 2 Minuten lang sichtbar. Zeit 23^h 14^m.

Um den Radiokompaß zu bestimmen, nahm ich Klaus Stern-Arkes zur Hand und sehe, daß dieser Punkt beiläufig jener Stelle entspricht, die mit dem Zeichen Nobel 1943 G. K. versehen ist.

Sternschuppen-Beobachtungen in den Nächten vom 9 bis 12. und am 16. August 1904 *) und von den Herren V. Fournier, A. Chaudet und G. Fournier in Rouvray, Côte d'Or, angestellt worden, sind im Ergebnis, daß die im ganzen 274 Meteoriten verzeichnet haben, darunter 126 Perseiden. Die Maximen des Perseidenmaximums waren nach den angegebenen Zahlen am Abend des 12. eingetreten, doch muß bemerkt werden, daß am 11. August nur eine Streichung beobachtet werden konnte, so daß der Schluss über das Eintreten des Maximums kein zureichender ist. Die Magnitud der Sternschuppen war von weißer Farbe und 3 bis 4. Größe, der Hauptstrichungspunkt der Perseiden wurde täglich bestimmt, und die deutliche Verschiebung desselben in der Richtung des Merkes 51 der Größe, die bereits bekannt war, bestätigt. — Am 16. August wurden an zwei 10,1 km voneinander entfernten Stationen gleichzeitige Beobachtungen von Sternschuppen zur Ermittlung ihrer Höhere aufgenommen. Auf der einen Station sind 23, auf der andern 52 Sternschuppen beobachtet worden, unter ihnen waren 19 gleichzeitig beobachtet worden, und von diesen haben vier die Bedingungen, die zur Bestimmung der Höhe notwendig sind. Es wurden folgende Werte erhalten:

	Höhe des Erbsenbrenns	Höhe des Vordereisens	Längender Bahn
1.	148,92 km	19,71 km	120,46 km
2.	148,92 „	95,58 „	56,86 „
3.	148,92 „	51,95 „	265,16 „
4.	139,34 „	34,67 „	150,1 „

Relative Sauerstörung neu entdeckter Planeten. Prof. Baumbach, Vorstand des Astron. Reichsinstituts zu Berlin, teilt die ergebnisse Neuentdeckungen der letztgenannten 1904 entdeckten kleinen Planeten mit: †)

Nr.	Prov.	Ben.	Entdecker	entdeckt	1904
100	1904	HC	Wolf	Jan	18
101	1904	ND	Duggen	Jan	23
102	1904	NS	Wolf	Febr.	14
103	1904	ND	Wolf	März	14
104	1904	ND	Wolf	März	14
105	1904	ND	Wolf	März	20
106	1904	NT	Wolf	März	26
107	1904	NT	Wolf	April	11
108	1904	NH	Wolf	April	12
109	1904	NT	Wolf	April	25
110	1904	ND	Duggen	April	19
111	1904	OA	Duggen	April	19
112	1904	OC	Duggen	April	7
113	1904	OC	Perini	Febr.	18
114	1904	OC	Chapman	Febr.	7
115	1904	OC	Chap.	Febr.	18
116	1904	OC	Wolf	Aug.	2
117	1904	OC	Wolf	Aug.	3
118	1904	OC	Wolf	Aug.	4
119	1904	OC	Gibbs + Koepf	Aug.	15
120	1904	OT	Gibbs	Sept.	16
121	1904	OT	Gibbs	Sept.	16
122	1904	OT	Gibbs	Oct.	3
123	1904	PA	Gibbs	Oct.	10
124	1904	PA	Gibbs	Oct.	16
125	1904	PC	Gibbs	Oct.	16

Der 8. Mond des Saturns ist auch auf der Lick-Observator mit dem 34-Zögligen Dreifeldreflektor von C. D. Perrine photographisch aufgenommen worden ‡) Sogar in der ersten Nacht, welche für diese Aufnahme bestimmt war, wurde der neue Trabant mit 14 47^m Expositionszeit auf der Platte sichtbar, am 6. Nov. 1904, abends um 3, 4, 5 u. 10 Np. mit 3-stündigen Expositionen. Auf der Platte vom 6. Nov. ist das Bild von Phoebe schwach und diffus; auf den andern Platten zeigt sich der Trabant

*) Compt. rend. 1904, t. 138, p. 168, Nature, Bruxelles 1905, 8. 11

†) Ann. Meteor. Nr. 2004.
‡) Perseus.
§) Lick-Observat. Bulletin Nr. 64.

als hasser Stroh. Nach Perseus wird die Exposition von 30 Minuten genügen, um ein mäßiges Bild des Tinktons zu erhalten, was ein neuer Beweis für die gewaltige photographische Wirkkraft des 3-felligen Croëly-Spiegels ist. Phaeos erscheint auf der Platte als Stern 11. (photogr.) Größe und die Vergrößerung seiner Stellung auf der von Prof. Pickering erhaltenen Vorlaufzeichnung ist bedauernd.

Ein merkwürdiger farbiger Stern ist von Prof. M. Wolf aufgefunden worden¹⁾. Derselbe findet sich auf einer von diesem Astrophysiker aufgenommenen Platte von 2. Januar 1903 und zeigt sich auf dieser als ein kleiner Ring. Auf einer älteren Platte, die am 11. Januar 1904 erhalten wurde, zeigt der Stern außer dem Ring noch einen ganz kleinen Kern. Dieser Stern hat, wie Prof. Wolf vermutet, sehr wenig blaues, dagegen reichliches rotes Licht und dürfte zu den Veränderlichen gehören. Sein Ort am Himmels ist (für 1905 b) nach Prof. Wolfs Bestimmung:

$\text{AR} = 54^{\text{h}} 56^{\text{m}} 10.58^{\text{s}}$, $\text{Dec} = 27^{\circ} 39' 16''$. Die Helligkeit, sagt Prof. Wolf, schwimmt umher, weil das Bild mit dem zu anderen Sternen nicht verglichen werden kann, vielleicht ist der Stern 11. Größe. Selber auf einer früheren Aufnahme von Prof. Wolf kommt der Stern vor, und zwar auf einer etwa um halbe Größenklassen schwächer als auf der ersten.

Sterne mit veränderlicher Radiationsgruppe. Auf dem Lowell-Observatorium hat W. M. Sipher entdeckt das große Spektrophysikalische (das Sonnen) totalstele Wesen, daß es eine veränderliche Eigenbewegung in der Größtenlinie zur Erde besitzt, also spektroskopische Doppelsterne sind.²⁾ Es sind folgende Funde:

• Andromedae, 2,1 Größe. Die 13 spektrophysikalischen Aufnahmen umfassen die Zeit von 1902 Okt. 30

bis 1904 März 22 und die Geschwindigkeiten des Sterns variieren zwischen $+ 20$ und $- 45$ km pro Sekunde. Die Periode scheint etwa 100 Tage zu betragen.

• Ursa, 2—3 Größe. Es liegen 4 Aufnahmen vor aus dem Zeitraum Mai bis Juli 1904. Sie liefern Geschwindigkeiten zwischen $+ 20$ und $- 60$ km pro Sekunde. Das Aussehen und Verhalten des Wasserstoffline Hy im Spektrum (kern Sipher) auf die Vermutung, daß beide Komponenten dieses spektroskopischen Doppelsternes hell sein müssen.

• Scapae, 3,0 Größe. Die 4 Aufnahmen in den Monaten Juni und Juli 1904 lieferten Radiationsgeschwindigkeiten des Sterns zwischen $+ 25$ und $- 25$ km pro Sekunde. Das Spektrum ist das des Oriontypus.

• X Sagittarii (A. Rev. 17^h 41,3^m, Dec. $- 27^{\circ} 48'$, 4,9 Größe. Dies ist ein optisch veränderlicher Stern, dessen Periode 7 Tage beträgt. Es liegen nur zwei Spektrogramme vor, welche Radiationsgeschwindigkeiten von $+ 1$ und $- 21$ km ergeben, da das Spektrum aber reichlich gut definierte Linien zeigt, so glaubt Sipher, daß die Veränderung der Geschwindigkeit genügend gesichert ist.

• Caprae, 4,5 Größe. Im ganzen wurden 5 Aufnahmen zwischen 1900 August 21 und 1904 Juli 6 erhalten. Sie zeigen Änderungen der Radiationsgeschwindigkeit des Sterns zwischen $+ 5$ und $- 45$ km pro Sekunde. Das Spektrum gehört zum Oriontypus und ist optisch hell. Das Wasserstoffline Hy erscheint im allgemeinen sehr schwach auf einigen Platten erschienen andere schlecht definierte Linien und der Beobachter glaubt, daß vielleicht beide Komponenten dieses spektroskopischen Doppelsterns hell sind.

Kennel Abbe und die Sternwerke zu Jena. Herr D. O. Knapf macht hierüber (A. N. 3095) einige auch für weitere Kreise interessante Mitteilungen.

¹⁾ A. N. Nr. 3084.

²⁾ Lowell Observatory Bulletin Nr. 11.

Hierarch Hermann Abbe 1877 auf dringendes Bitten des Universitätskanzlers Jersack die Direktion der jenseitigen Universitätsbibliothek, um die vollständige Eingehen derselben nach vernünftigen Maßstäben zu veranlassen. Auf der neuen seiner Wohnung mit der Stelle verbundene jährliche Gehalt von 900 Mark verzichtete er jedoch, weil er nur wenig Zeit auf die Verwaltung der Sternwarte verwenden konnte und darum auf das Gehalt keinen Anspruch zu haben glaubte. Als Abbe späterhin durch die gewählten, seinen Leistungen zu dankenden Aufzeichnung des Zeitlichen Geschäften, an dem er Teilhaber geworden war, zu Vermögen gekommen war, hat er die Regierung um die Entlassung, von diesem Pünkt die die in freierem Zustandsbedingte Sternwarte abzuleiten und einige Schritte davon entfernt die neuen Observatorium erbauen und mit Instrumenten versehen zu dürfen. Als Observator stellte er nach Vollendung des Baues im Jahre 1889, während aus eigenen Mitteln, die Kasse an. Im Jahre 1891 legte er die Leitung der Sternwarte nieder, nachdem er ihren Bau in ausnehmender Weise aus den Mitteln der Carl Zeiss-Stiftung schickte hatte, während er früher das Gehalt jährlich selbst gestrichelt hatte.

Elliptische Bahn des Kometen 1804 n. Der am 28. Dec. v. j. von Bessel auf der Sternwarte zu München entdeckte lichtschwache Komet hat sich in der Bahnberechnung von C. Piaz vom Pariser Observatorium als ein solcher von kurzer Umlaufzeit erwiesen. Hiernach erreichte er sein Perihel 1865 Januar 1865 n. 21 von Paris, der zugehörige Kasten seiner Bahn liegt (für 1865) in $76^{\circ} 41' 34''$, die Neigung seiner Bahnebene gegen die Ebene der Erdbahn beträgt $38^{\circ} 31' 58''$, seine Perihelidistanz ist 1.300, die halbe große Achse seiner Bahn ist 3.624 und der Umlaufzeit beträgt 7 Jahre.

Das Sternschnuppenwetter der Perseiden hat Henri Perrotin im vergangenen Jahre unter sehr günstigen Umständen beobachtet können. Auf dem Berg Mouren (2740 m) bei Nizza hat er im Verding mit Heymerlins den 12. Nüchtern vom 9 bis 14 August in den Stunden 8^h abends bis 3^h morgens ununterbrochen bei klarem Winter beobachtet können und gibt in einer Tabelle die stündliche Anzahl der Perseiden, sowie der gleichartigen sporadischen Sternschnuppen an. Man merkt daraus, daß die Perseiden sehr zahlreich waren und das Maximum in der Nacht vom 11. zum 12. (85), nämlich zwischen 1 und 3h (66 und 75 stündlich) eingetreten ist. Bemerkenswert, daß die Sternschnuppen oft paarweise und einzelnen, im Moment des Maximums, in Gruppen von 5 und 7 erschienen sind, außerdem folgten sie sehr häufig schnell während einer kurzen Zeit, und dann kurzen Ruhepausen von 5 bis 15 Minuten. Die Sternschnuppen durchdrachten den Himmel nach allen Richtungen und der Stellungspunkt des Schutzes schien eine ziemlich ausgedehnte Fläche, deren Mitte etwa γ Perse nahe war. Die Perseiden erschienen weiß, kurz und sehr schnell, die sporadischen Sternschnuppen hingegen zeigten eine rötlich-gelbe Farbe, waren weniger schnell und beschrieben lange Bahnen, dieselben gaben Lichtspuren, die über 10 Sekunden anhielten.¹⁾

Formulare für Freunde der Himmelsbeobachtung. Aus dem Lesezettel des „Sinn“ und vier mehrere größere und kleinere sehr gut erhaltene Formulare zum Verleihen zugewendet worden. Freunden der Himmelsbeobachtung, welche die Anschaffung eines solchen Instrumentes beabsichtigen und sich darüber zu nach wissen, bin ich zu jeder gewünschten Auskunft gerne bereit. Dr. Klein.

¹⁾ Compt. rend. 1894, I. COCCIG, p. 412. Naturwissenschaft. Gesellschaft 1894, Nr. 35

Astronomischer Kalender für den Monat Juni 1905.

Jahr	Sonne			Mond		
	Mittlere Berliner Zeit.			Mittlere Berliner Zeit.		
	Zeitl. M. Z. — W. Z.	Rektaszension	Declination	Rektaszension	Declination	Mond im Meridian
1904	h. m. s.	h. m. s.	° ' "	h. m. s.	° ' "	h. m.
1	— 3 264.01	4 24 33.71	+23 45 48.0	5 34 44.66	+12 1 53.9	20 57.0
2	0 373.61	4 24 39.33	30 7 48.1	4 4 34.93	10 41 48.3	— —
3	0 57.28	4 24 44.93	30 10 41.0	4 31 11.66	10 45 36.1	0 13.0
4	0 9.60	4 24 50.51	30 13 34.6	4 40 5.70	10 55 3.5	1 3.4
5	1 42.98	4 25 57.09	30 16 31.1	5 40 34.93	11 3 34.0	1 54.0
6	1 43.96	4 26 3.66	30 19 18.9	7 38 45.45	14 15 36.5	3 28.0
7	1 38.60	4 26 12.37	30 22 17.0	9 34 5.10	16 34 39.7	5 41.4
8	1 18.87	4 26 38.86	30 24 38.3	11 29 5.63	18 42 37.1	8 26.0
9	0 7.28	4 27 29.93	30 26 55.7	13 23 28.18	20 5 33.0	11 20.0
10	0 40.94	4 28 40.19	30 28 47.4	15 17 4.10	22 55 32.4	13 5.0
11	0 40.99	4 29 44.55	30 3 32.0	17 10 51.43	+ 1 44 38.7	7 5.0
12	0 30.79	4 30 53.10	30 7 43.0	19 0 1.02	— 2 31 34.1	4 1.0
13	0 18.74	4 32 1.37	30 11 36.7	20 5 30.63	7 42 42.7	1 49.0
14	— 0 7.03	4 33 15.66	30 15 39.3	22 50 43.53	14 48 38.7	0 18.4
15	+ 0 10.76	4 34 11.91	30 17 43.5	24 54 48.46	22 53 33.0	10 47.0
16	0 17.76	4 34 59.18	30 19 30.6	26 58 55.19	27 36 36.1	11 44.0
17	0 38.63	4 35 28.46	30 21 30.5	27 53 34.15	28 58 47.8	12 40.0
18	0 42.54	4 36 47.93	30 23 33.1	28 53 3.44	29 5 53.0	13 38.0
19	0 48.33	4 38 47.87	30 25 39.3	29 48 1.48	30 3 18.4	14 33.6
20	1 5.76	4 39 5.78	30 26 59.4	30 43 38.53	30 4 49.3	15 30.6
21	1 38.93	4 37 18.98	30 28 47.0	31 38 33.86	31 33 42.0	16 18.0
22	1 34.98	4 38 37.71	30 29 44.0	32 34 38.96	30 7 5.1	16 40.4
23	1 47.94	4 40 26.37	30 30 33.0	33 31 40.40	29 58 5.9	17 34.7
24	0 39.66	4 42 44.78	30 31 39.1	34 27 35.38	— 0 44 49.1	18 21.4
25	0 10.79	4 44 34.16	30 32 33.6	0 23 28.79	+ 1 7 33.0	19 3.0
26	0 39.66	4 47 3.41	30 33 5.4	1 17 56.44	4 53 49.4	19 48.0
27	1 37.00	4 50 13.89	30 34 5.4	2 12 40.44	8 40 49.0	20 36.0
28	1 48.93	4 52 22.94	30 35 37.8	3 10 47.94	11 56 18.1	21 18.6
29	0 31.4	4 53 59.64	30 36 49.1	4 10 39.10	14 58 39.0	22 5.0
30	+ 0 10.47	4 54 59.94	+30 37 39.1	4 58 37.61	+17 4 30.4	22 49.7

Planetenkonstellationen 1905.

Jahr	1	235	Merkur in Konjunktion mit Jupiter.
"	8	19	Venus im größten Glanz.
"	18	9	Mars in Konjunktion mit dem Monde in Schiessbaum.
"	28	14	Merkur im nördlichsten Knoten.
"	30	11	Merkur im Perihel.
"	27	11	Sonne tritt in das Zeichen des Krebses. Sonnensturm.
"	26	10	Saturn in Konjunktion mit dem Monde in Schiessbaum.
"	18	16	Merkur in einer Konjunktion mit der Sonne.
"	24	7	Uranus in Opposition mit der Sonne.
"	26	7	Venus im Apog.
"	26	12	Merkur in Konjunktion mit Mars. Merkur 17° 32' nördl.
"	28	11	Venus in Konjunktion mit dem Monde in Schiessbaum.
"	30	12	Jupiter in Konjunktion mit dem Monde in Schiessbaum.
"	30	11	Neptun in Konjunktion mit der Sonne.

Planeten-Ephemeriden.

Waldseel Berliner Miting							Waldseel Berliner Miting						
Jahr Juli 18	Rektascension			Declination			Jahr Juli 18	Rektascension			Declination		
	h	m	s	°	'	"		h	m	s	°	'	"
Mars													
Juli 1	0	20	55.49	+25 10	18 0	22 37	Juli 1	0 10 51 58.98	-15 40	7 0	17 33		
10	0	0	27.87	19 26	28 0	22 53	10	0 10 51 58.98	15 40	28 0	18 38		
15	0	40	29.41	50	2	23 14	20	0 10 51 58.98	-12 44	28 0	18 53		
20	0	50	33.43	55 35	40 0	23 48	Uranus						
25	0	58	47.65	56 55	48 0	24 0	Juli 1	0 10 51 58.98	-17 40	28 0	19 4		
30	1	0	55.18	+58 15	19 0	24 30	10	0 10 51 58.98	17 40	28 0	19 33		
Venus													
Juli 1	0	0	27.87	+18 40	27 0	24 20	Juli 1	0 10 51 58.98	-17 40	28 0	19 43		
10	0	0	27.87	18 40	27 0	24 2	10	0 10 51 58.98	17 40	28 0	19 33		
15	0	40	29.41	19 2	2 0	24 3	20	0 10 51 58.98	-17 40	28 0	19 43		
20	0	40	29.41	19 2	2 0	24 30	Neptun						
25	0	0	4.70	14	33 4	24 34	Juli 1	0 10 51 58.98	+27 18	19 0	2 33		
30	0	33	4.70	+14 33	43 0	24 38	10	0 10 51 58.98	27 18	19 0	3 44		
							20	0 10 51 58.98	+27 18	19 0	3 7		
Merkur													
Juli 1	14 59	49.69	-14 59	22 0	0 33		Mondphasen						
10	14 59	29.77	14 59	22 0	0 33		h m						
20	14 59	27.96	14 59	22 0	0 38		Juli 1	10 51 58.98	Neumond				
30	14 59	24.76	14 59	24 0	0 38		10	1 51 58.98	Erster Viertel				
Jupiter													
Juli 1	0	2 27	24.45	+17 19	17 7	24 4	20	1 51 58.98	Vollmond				
10	0 34	27.87	17 40	49 0	24 34		30	2 51 58.98	Letztes Viertel				
20	0 34	17.77	+19 23	49 0	24 3		10 14	—	Mond in Erdlinie				
30	0 34	7.77	+19 23	49 0	24 3		20 14	—	Mond in Erdlinie				
							30 14	—	Mond in Erdlinie				

Starbedeckungen durch den Mond für Berlin 1905

Anmerkung	Stern	Größe	Reine minut. Zeit		Ansch. minut. Zeit	
			h	m	h	m
Juli 15	1. Vesper	1.0	0	27 4	20	27 0
" 20	2. Vesper	2.0	10	27 1	30	27 0
" 30	3. Tauri	4.0	12	14 0	34	28 0
" 30	4. Tauri	4.0	14	27 5	24	28 0

Lage und Größe des Saturnrings (nach Struve)

Juli 18 Große Achse der Ringfläche 49 16"; Kleine Achse 9 11".
Erhebungswinkel der Erde über der Ringebene 10° 44' nördl.

Juli 1 Mittlere Scheitel des Ellipses 10° 27' 27.72"
Scheitel " " 10° 28' 28.87"
Halbmesser der Sonne 14' 55 1/2"
Parallaxe " " 0.75"

Stellungen der Jupitermonde im Juni 1908.

I.

d



III.

d
f



II.

d



IV.

Klein
denn



Verfinstert
Monden.

Stellungen am 10^{ten} für den Anblick im astronomischen Fernrohr.

Tag	West	Ost
1		0 1 2 3 4
2		0 1 2 3 4
3		0 1 2 3 4
4		0 1 2 3 4
5		0 1 2 3 4
6		0 1 2 3 4
7		0 1 2 3 4
8		0 1 2 3 4
9		0 1 2 3 4
10		0 1 2 3 4
11		0 1 2 3 4
12		0 1 2 3 4
13		0 1 2 3 4
14		0 1 2 3 4
15		0 1 2 3 4
16		0 1 2 3 4
17		0 1 2 3 4
18		0 1 2 3 4
19		0 1 2 3 4
20		0 1 2 3 4
21		0 1 2 3 4
22		0 1 2 3 4
23		0 1 2 3 4
24		0 1 2 3 4
25		0 1 2 3 4
26		0 1 2 3 4
27		0 1 2 3 4
28		0 1 2 3 4
29		0 1 2 3 4
30		0 1 2 3 4
1		0 1 2 3 4
2		0 1 2 3 4
3		0 1 2 3 4
4		0 1 2 3 4
5		0 1 2 3 4
6		0 1 2 3 4
7		0 1 2 3 4
8		0 1 2 3 4
9		0 1 2 3 4
10		0 1 2 3 4
11		0 1 2 3 4
12		0 1 2 3 4
13		0 1 2 3 4
14		0 1 2 3 4
15		0 1 2 3 4
16		0 1 2 3 4
17		0 1 2 3 4
18		0 1 2 3 4
19		0 1 2 3 4
20		0 1 2 3 4
21		0 1 2 3 4
22		0 1 2 3 4
23		0 1 2 3 4
24		0 1 2 3 4
25		0 1 2 3 4
26		0 1 2 3 4
27		0 1 2 3 4
28		0 1 2 3 4
29		0 1 2 3 4
30		0 1 2 3 4

Ercheinungen der Jupitermonde. Die scheinbaren Angaben über die Ercheinungen der Jupitermonde beziehen sich auf mittlere Zeit von Greenwich. Die Trabanten sind der Reihenfolge ihres Abstandes vom Jupiter nach mit I bis IV bezeichnet. Die vier größten Figuren zeigen den Stellung jedes Mondes mit Bezug auf den Jupiter bei dem Augenblick der Verhinderung (M) oder des Wiedererscheinens (M) mit r nicht angegeben, so kann der Austritt aus dem Schatten nicht beobachtet werden. Ferner bedeutet bei den nachfolgenden Zeitangaben:

- Er D das Verschwinden des Trabanten im Schatten des Jupiter
 Er E den Austritt des Trabanten aus dem Schatten des Jupiter
 Oc D das Verschwinden des Trabanten hinter der Jupiterscheibe
 Oc R das Wiedererscheinen desselben unter der Jupiterscheibe
 Tr I den Eintritt des Trabanten vor die Jupiterscheibe
 Tr E den Austritt des Trabanten aus der Jupiterscheibe
 Sh I den Eintritt des Trabantenshadows auf der Jupiterscheibe
 Sh E den Austritt des Trabantenshadows aus der Jupiterscheibe

Es sind nur diejenigen Ercheinungen der Jupitermonde aufgeführt, welche sich ereignen, wenn Jupiter zu Greenwich über und die Sonne unter dem Horizonte steht. Um die Momente dieser Ercheinungen nach mittlerezeitpolarer Zeit zu finden, hat man nur nötig, Δ^h zu den angegebenen Zeitangaben zu addieren.

Juni 6. I Tr. I. 12^h 34^m. Juni 6. III Er. R. 14^h 10^m 30^s. 18 Oc. D. 16^h 20^m. Juni 18. II Tr. E. 16^h 41^m. Juni 21. I Er. D. 17^h 30^m 30^s. Juni 22. I. Sh. E. 14^h 27^m. Juni 22. III Tr. I. 12^h 27^m. Juni 25. III Tr. I. 14^h 17^m. Juni 28. I Sh. I. 14^h 10^m. II Tr. L. 12^h 38^m. Juni 29. I Oc. R. 14^h 10^m.

Stellungen der Saturnmonde. (Rechnung S. 24)

Zeiten der scheinbaren Opposition im Jahr 1905

Tethys. Juni 2. 22^h 54^m; Juli 3. 17^h 5^m; Juli 4. 18^h 5^m; Juli 7. 12^h 7^m; Juli 8. 9^h 5^m; Juli 11. 6^h 5^m; Juli 15. 4^h 1^m; Juli 16. 3^h 4^m; Juli 17. 2^h 1^m; Juli 18. 22^h 4^m; Juli 20. 17^h 4^m; Juli 22. 14^h 4^m; Juli 24. 12^h 5^m; Juli 26. 10^h 5^m; Juli 28. 8^h 5^m; Juli 30. 6^h 5^m; Juli 31. 5^h 5^m.

Mimas. Juni 4. 16^h 5^m; Juli 4. 12^h 5^m; Juli 7. 9^h 5^m; Juli 11. 6^h 5^m; Juli 14. 4^h 5^m; Juli 17. 2^h 5^m; Juli 20. 2^h 5^m; Juli 22. 12^h 5^m; Juli 24. 10^h 5^m; Juli 26. 8^h 5^m; Juli 28. 6^h 5^m; Juli 30. 5^h 5^m.

Encke. Juni 1. 9^h 5^m; Juli 1. 10^h 5^m; Juli 12. 7^h 5^m; Juli 14. 10^h 5^m; Juli 15. 9^h 5^m; Juli 21. 10^h 5^m; Juli 22. 9^h 5^m.

Titan. Juni 2. 2^h 5^m 5^s; Juni 7. 12^h 5^m 5^s; Juli 11. 9^h 5^m 5^s; Juli 14. 7^h 5^m 5^s; Juli 18. 22^h 5^m 5^s; Juli 22. 12^h 5^m 5^s; Juli 27. 9^h 5^m 5^s; Juli 31. 7^h 5^m 5^s.

Hyperion. Juni 24. 10^h 5^m 5^s.

Neuere größere und kleinere

astronomische Fernrohre

sind sehr preiswürdig zu verkaufen. Reflektoren wollen sich wegen mangelhafter Einrichtungen, zu nicht verwenden.

Prof. Dr. Hermann J. Klein in Köln-Lindenthal.



Baum 1111

Der Dom des Baum-Tickets
des atmosphärischen Observatoriums Klugschütz-Hochberg

Tafel V

SIRIUS.

Zeitschrift für populäre Astronomie.

Centralorgan für alle Freunde und Förderer der Himmelskunde.

Herausgegeben

unter Mitwirkung hervorragender Fachmänner und renommierter Schriftsteller

von Prof. Dr. Hermann J. Klein in Köln

Mai 1905.

„Wissen und Erziehung sind der Fülle und der
Überwindung der Menschheit.“ — Kant

Jedes Heft 1 Hefl. — jährlich 12 Mk.

Verlag von EDUARD HEINRICH MAYER in Leipzig.

INHALT: Das projektierte Sonnenobservatorium der Carnegie Institution auf Mount Wilson in Kalifornien. S. 17. — Der große Sonnenfleck im Februar 1905. S. 122. — Meteor. beschreibung der Nacht vom Ferkelstein. Von Jakob Müller. (Hörers Teil VI.) S. 124. — Der Unbekannte der Sonnenzeit. S. 125. — Ein von anderen Faktoren des Jupiter und Saturn. S. 126. — Die Frage nach dem Wesen des Schwebestars. S. 127. — Neue spektroskopische Doppelsterne. S. 128. — Die astronomische Abteilung des Museums von Berlin. Bericht der Sternwart und Teilzeit in München. S. 129. — Vermehrte Kometen. S. 130. — Astronomische Kometen. S. 131. — Stellung der Jupitersterne. S. 132. — Erscheinungen der Jupitersterne. S. 133. — Stellung der Saturnsterne. S. 134.

Das projektierte Sonnenobservatorium der Carnegie Institution auf Mount Wilson in Kalifornien.

Im Jahre 1902 reichte der berühmte Forscher auf dem Gebiete der Sonnenphysik Prof. Dr. S. P. Langley der Carnegie-Institution in Washington eine Denkschrift ein, in welcher er die Wichtigkeit der Errichtung eines Observatoriums in großer Höhe über dem Meer zum Zwecke der genauen Messung der Sonnenstrahlung auseinandersetzte. In dieser Abhandlung erwähnte Prof. Langley die Gründe für seine Ansicht, daß die Sonnenstrahlung möglichst genaue Bestimmungen erfordert, die mit den großen Änderungen der Sonnenstrahlung, welche sich in dem obigen Punkte ausprägen, korrespondieren. Diese Denkschrift wurde dem

Komitee zur näheren Prüfung übergeben, welches sich beauftragt sah, auf die Erreichung einer besonders Kommission vorzuschlag, welche sich über die Errichtung eines vollständigen Sonnenobservatoriums spreche. Außerdem und nach dem Projekt rings um der nördlichen Hemisphäre zu errichtenden Observatoriumsgründen sollte. Diese besondere Kommission wurde im Dezember 1902 errichtet und bestand aus dem Herrn Prof. Lewis Roll als Vorsitzenden, Prof. W. W. Campbell und Prof. George E. Hale. Dem Beschlusse, den Observatorium, waren Ausführungen von Prof. Huxley beigefügt, welcher auf Grund eigener Prüfungen ausdrücklich Mount Wilson bei Pasadena im nördlichen Kalifornien zur näheren Prüfung übergeben,

hiesige Inseliki. Prof. Hale, welcher zufällig Gelegenheit hatte, den Winter 1903—1904 in Südkalifornien zuzubringen, beschloß diese zu besuchen, um die atmosphärischen Verhältnisse Mt. Wilson genau zu studieren. Er fand, daß dort im Winter starke Winde zwar durchaus nicht so selten waren als Prof. Hanny angenommen, aber es seien auch völlig windstille Tage und wechsellagte regte sich kein Windchen am Himmel. Auch die Bilder der Sonne im Parabol waren ungewöhnlich scharf, ebenso die der Sterne, so daß Prof. Hale Mount Wilson ebenfalls als ausgezeichnete Lokalität für ein Sonnenobservatorium erkannte. Der der Vorstand war zugehörige Meiss Oerstedt, der im Jahre 1906 zur Erection während der Sonnenfinsternis nach Nordkalifornien und 1901 nach Sonne mitgenommen worden war, wurde auf Mount Wilson aufgestellt und die erhaltenen Sonnenbilder zeigen, daß dort die atmosphärischen Verhältnisse für solche Aufnahmen in sehr hohem Grade günstig sind.

Was Platz und Zweck eines Sonnenobservatoriums anbelangt, so bemerkt Prof. Hale, daß dieser Name im wesentlichen Sinne aufgelegt werden müsse, da sich die Untersuchungen hauptsächlich auf die Sonne beschränken, sondern auch Arbeiten, welche die Fixsterne betreffen, ausgeführt werden müssen. Denn die Sonne ist ein Stern vergleichbar andern Sternen des Himmels, und wenn wir die Vergleichbarkeit und Zweck der Sonne ergreifen wollen, so müssen wir die physikalischen Verhältnisse von Sternen studieren, welche einen früheren oder späteren Entwicklungsstand repräsentieren. Daher ist erforderlich, daß ein Sonnenobservatorium auch mit Instrumenten ausgerüstet wird, die sich zur Untersuchung der Fixsterne eignen. Der vornehmste Arbeitplan für das Observatorium umschließt demnach folgende Klassen von Beobachtungen: 1. Mäßige Messungen der Sonnenstrahlung, um festzustellen,

ob dieselbe Veränderungen innerhalb der 11-jährigen Sonnenfleckenperiode unterliegt ihrer Bestimmung der relativen Strahlung der verschiedenen Teile der Sonnenoberfläche. 2. Untersuchungen der verschiedenen Erscheinungen auf der Sonne mit Hilfe mächtiger Spektroskope und Spektroheliographen. 3. Spektrographische und spektroskopische Untersuchungen der Sterne und Nebelsterne mittels eines sehr kostbaren Spektroheliographen, hauptsächlich zu dem Zwecke, die Entwicklungsstadien der Sterne klar zu legen. Vor kurzem hat Prof. Langley Tatsachen berichtet, welche wahrscheinlich machen, daß im Monate März 1903 eine merkliche Schwankung der von der Sonne der Erde kommenden Wärmemenge stattgefunden hat. Welche Wichtigkeit ein solcher Nachweis dieser Art für viele Fragen, die sich auf unsere Erde beziehen, hätte! Auch, bedarf keiner näheren Begründung, Langley-Beobachtungen mußten unter sehr ungünstigen Umständen in Washington angestellt werden, wenn die in großen Höhen, an einem Punkte, der über dem dichtesten und bewegtesten Teile der Atmosphäre liegt, fortgeführt würden, so könnte die Frage zweifello in bestimmter und zufriedenstellender Weise beantwortet werden. Überhaupt ist in Untersuchungen der Sonne, ihrer Oberfläche und Atmosphäre mittels der vollkommenen Instrumente der Gegenwart eine hoch gelegene Beobachtungsstation in möglichster, starrer Lageformen durchaus erforderlich.

In den letzten Jahren ist die große Bedeutung der Spektroheliographie für gewisse Forschungen nachgewiesen worden. Es ist daher von Wichtigkeit, ein möglichst mächtiges Teleskop dieser Art herzustellen, das ein unverwundliches Feld für die Untersuchung aller auf die Entwicklung der Sterne bezüglichen Probleme eröffnet wird. Allein der ungünstige atmosphärische Verhältnisse, unter denen fast alle her-

igen Observatorien arbeiten müssen, würde die Benützung eines so großen Teleskops dort so gut wie unmöglich machen, um dessen Risch voll auszumachen, muß es an einem Orte Aufstellung finden, wo die Luft in der Nacht vollkommen ruhig und klar und der Wind schwach ist. Denn aber würde ein solches Instrument zweifellos Ergebnisse liefern, welche die bis jetzt erhaltenen weit übersteifen. Zu Untersuchungen über die Strahlungsemission der Sonne würde, wie Prof. Langley hervorhebt, ein Observatorium in 20000 Fuß Höhe über dem Meere am wünschenswertesten sein, da in solchen Höhen der sonst in hohen Grade störende Wasserdampf der Luft nur noch von geringen Einflüssen ist. Allein die Schwierigkeiten der Errichtung eines so hoch gelegenen ständigen Observatoriums sind außerordentlich, anderseits aber haben die jüngsten Arbeiten Langleys in Washington gezeigt, daß ein großer Teil der Beobachtungen mit Erfolg auch in geringeren Höhen angestellt werden kann. Prof. Hale ist daher der Ansicht, daß ein Observatorium in 5000 oder 6000 Fuß Höhe in einem trockenen Klima, wo während langer Zeit der Himmel andauernd klar ist, genügen würde, um die hauptsächlichsten Arbeiten auszuführen. Zur Ergänzung könnte in einer Höhe von 12000 bis 15000 Fuß während zweier oder dreier Sommer vorübergehend eine Station errichtet werden. Was speziell Mount Wilson anbetrifft, so liegt dieser Berg etwa 30 engl. Meilen vom pazifischen Ozean entfernt und steigt steil aus der Ebene empor, nur stüch von einigen wenigen hohen Bergen begrenzt, unter denen Mount Harvard der höchste ist. Östlich und westlich von Mount Wilson zieht sich eine tiefe Schlucht hin, in welcher der Westarm des St. Gabriel-Flusses fließt. Der Berg selbst hat auf seinem Gipfel eine Gruppe schöner Klüfte und in nicht großer Entfernung vom höchsten Punkte mehrere Wasser-

quellen, die auch in der trockenen Jahreszeit nicht versiegen.

Prof. Hale bezieht sich in einer zweiten Abhandlung speziell über die Ausrüstung und die Arbeiten, welche dem Sonnenobservatorium zufallen müssen. Er betonte die Wichtigkeit der Aufstellung des im Kreise der Vorlesenenwerte befindlichen Reflektorspiegels von 1 Fuß Durchmesser, dessen Herstellung nahezu beendet ist und welcher, wenn genügend montiert, Resultate liefern würde, die voraus allen übersteifen, wie die größten jetzt vorhandenen Instrumente erreichen lassen. Ein solches Spiegelteleskop würde auf Mount Wilson zur Photographie der Nebelflecke und bei Untersuchung der Spektra der Fixsterne und Nebel Anwendung finden, ebenso zu Messungen der Wärmestrahlung der hellen Sterne. Was die Wohnquartiere der Beobachter an dem Observatorium betrifft, so ist Prof. Hale der Ansicht, daß unter den obwaltenden Umständen keine Familien dort Aufenthalt nehmen sollen, schon wegen der Schwierigkeit der Kindererziehung in einer hoch gelegenen, abgeschlossenen wissenschaftlichen Kolonie. In dieser Beziehung bietet sich für Mount Wilson der günstige Umstand dar, daß von dort die Stadt Pasadena in 2½ Stunden erreicht werden kann, die sich zum Wohnort für die Familien der an dem Observatorium tätigen Gelehrten sehr gut eignet. Gemäß dem ausgearbeiteten Plan wird die Einrichtung des neuen Observatoriums in bezug auf die Wohnungen der Insassen nach Analogie der Klöster getroffen. Jeder Beobachter oder Bediente erhält einen kleinen Schlaf- und Arbeitsraum für sich allein, während Küche, Speisekammer und Esszimmer gemeinschaftlich sind. Provisorisch sind bereits mehrere Gebäude errichtet u. a. zur Aufnahme des von Mt. Surrey-Chicago gestifteten großen Spiegelteleskops, das in Form des sogenannten Colossals für Sonnen- und Sternbeobachtungen

gleich gelagert ist und der Verlesermerks ist. Zur Überführung und Aufstellung dieses Instrumente nach Mount Wilson bewilligte die Verwaltung der Carnegie-Institution im April 1904 die Summe von 10000 Dollars. Für das laufende gegenwärtige Jahr sind 150000 Dollars bereit gestellt, und die erste Auszahlung des in Aussicht genommenen Observatoriums dürfte wohl das Doppelte dieser Summe erfordern. Das Summe von 1000 Dollars wird von John D. Hooker in Los Angeles gesprochen werden, um das photogra-

phische Braun-Teleskop der Verlesermerks für die Dauer einiger Monate nach Mount Wilson zu versetzen. Prof. Barnard hat mit demselben bereits ausgezeichnete Photographien des Orions und anderer Sternfelder erhalten und weitere wichtige Erfolge stehen in Aussicht, sobald das Instrument lang dauernde Expositionen gestatten wird. Der Projektionsapparat besteht zunächst aus dem Direktor George E. Hale, dem Astronomen G. W. Ritchey aus den Assistenten Ferdinand Hermann und Walter S. Adams.

— 120 —

Der grosse Sonnenfleck im Februar 1905.

 Am ersten Ende des Januar tritt am Südlichen Rande der Sonnenscheibe ein dunkler Fleck in Sicht, der sich am Ende der folgenden Tage als einer der größten Sonnenflecke entpuppt, die jemals beobachtet worden sind. Seine größte Ausdehnung am 2. Februar betrug mehr als 4, d. h. fast $4''$, des sichtbaren Sonnendurchmessers. Da in der nördlichen Entfernung der Erdoberfläche 176'' beträgt, so übertrifft der Sonnenfleck Anfangs Februar den Durchmesser unserer Erde fast 14 mal. Sonnenflecke von dieser Größe sind abermals selten. Der größte, von dem genaue Messungen vorhanden sind, erschien im September 1858, und Schwabe in Genesee bestimmte seinen Durchmesser am 30. September genau Jahre zu 5.3 oder mehr als 15000 km). Schwabe fand am 8. November 1867 den Durchmesser eines Sonnenflecks zu 4.4. Würde man die Verdickungen der Sonne, von denen gelegentlich alle Chroniken melden, auf Sonnenflecke zurückführen, so sind in alten Zeiten bewiesen noch größere Flecke als die oben beschriebenen erschienen, allein Schwabe wußte man darüber nicht. Jedenfalls ist die

Entstehung des Sonnenflecks Anfang des vergangenen Februar eine durchaus selbsterhellende. Am 3. Februar bestand sich der von einem verlassenen Hain umgebene Fleck mehr auf dem südlichen Meridiane der Sonnenscheibe zwischen $30''$ und $10''$ südlich heliographischer Breite und konnte bequem mit bloßem Auge gesehen werden. Im Fernrohr bot er einem großartigen Anblick dar. Der Hauptkern war von einem wellenförmigen hellen Kranz umgeben und leuchtende Strahlen schienen aus der Peripherie in den schwarzen Schilddarm hineinzuströmen. Neben diesem, sowie nördlich und südlich davon, bestanden sich noch kleinere, aber kleinere und kleinere schwarze Flecke, alle von hellen Gefäßen umgeben und als zusammenhängender Gans chemisch betrachtet demselben faden ununterbrochen die geschlossenen Umarmungen stift, dass der Fleck regte nicht nur von Tag zu Tag, sondern fast von Stunde zu Stunde Änderungen seiner Gestalt und deren Entziffern. Nach den Messungen von Spore am 10. belgischen Observatorium bestand der Fleck am 31. Januar hinsichtlich seiner größten Flächenausdehnung, derselbe nahm bis zum 3. Februar merklich ab, aber bis zum 7. wieder zu, um dann bis zum 10.

wo der Fleck dem Sonnenrande nahe kam, stark abzumindern. Nach dem Auslesen dieses Riesensfides stellte sich am 3. Februar morgen anläßt

magereichte Strömungen an, auch wurde am Abende dieses Tages in England ein Nordlicht gesehen.

Nordlandschaften gezeichnet am Fernrohr.

Von Jakob Meier.

(Berna Telet 90)

Eine Nordlandschaften, welche auf Tafel VI getreu nach den Handzeichnungen von Jakob Meier dargestellt sind, bekräftige ich noch die zeichnerische Fertigkeit, welche dem den Lesern des „*Journal*“ seit Jahren bekannte, seltige Nordlandschaffler in den Dienst der Stereographie stellt.

Figur I stellt die Rippen und Euclydes mit Umgebung dar, wie solche Herr Meier am 16. September 1864 abends 8^U, bei 11° N, E. Z. in einem 3^U-stündigen Refraktor bei 220-facher Vergrößerung und etwas wolkiger Luft gezeichnet hat. Herr Meier macht darauf folgende Bemerkungen: Das Detail westlich von Euclydes war mir momentane schwer. Die in Notizen Karte westlich der Rippen vorhandenen Kraterchen waren nicht zu sehen. Der größte Krater nördwestlich bei Euclydes erschien nicht als solcher, sondern als runder Berg. Nördlich vom Euclydes findet sich ein eigenständiger kleinerer Schatzen, der nicht zu denen war.

Fig. II stellt die Landschaft zwischen Euclydes und Wabmann dar, am 20. Oktober 1864, abends 8 bei 11 Uhr bei Vergrößerung 220 und guter Luft gezeichnet.

Die Zeichnung, sagt J. Meier, schließt sich an die am 16. September gezeichnete Rippen und Euclydes an und enthält also auf einem 3^U-stündigen Refraktor welches Detail. Die Mitte der Zeichnung wird von einem halb verfallenen niedrigen Ringwall eingenommen, der nach Süden und Norden offen ist und nur niedrige Höhenzüge in die nördlich über Gelände anhebt.

Nachdem Karte zeigt in der ganzen Gegend so gut wie gar kein Detail.

Fig. III Arctifilus, Puzos Smyth und Umgebung, am 15. November 1864 abends 8 bei 4^U Uhr gezeichnet bei Vergrößerung 220, Luft gut.

Bei Arctifilus wurde der Ringwall, der inner, sowie das nördliche Terrain von dem Walle genau aufgenommen. Die von Arctifilus auslaufenden Bergketten, sowie der Trümmersfeld im Osten des Walles, welche Objekte ich erst bei Schluß der Zeichnung sah, und daher nur unvollständig zeichne, da es nicht möglich war, bei der dies schlechter werdenden Luft das Detail genau zu sehen. Das Rand der Alpen mit dem karawankischen Schatzen hatte ich genau gezeichnet zu haben.

Der Bergpuzos Puzos tritt eben an der Nacht herein.

Fig. IV Krater D und a nördwestlich von Krater D, am 18. Februar 1865 abends 8^U, bei 4^U Uhr gezeichnet bei Vergrößerung 220, Luft gut.

Südlich von D zeigte sich eine dunkle Linie, die etwas deutlicher eingetieft wurde, als wie sie vorher war, wahrscheinlich ist es die von Hansen angegebene Rille. Merkwürdig ist die breite, tiefe Tal, dessen Wände im Osten in Terrassen absteigen. Es zieht von D nach Osten und hinter während es e vorher nach Norden. Westlich von D schneidet ein Ausläufer dieses Tales nach nach Süden zu ziehen. Der Krater D von e hatte im Osten eine Lücke, die bei höherem Stande der Sonne nicht mehr sichtbar war.

ringumbelegendes Gases betrachtet, nicht eine ebene Fläche sei, oder genauer ausgedrückt, daß das Verhalten der das Ringsystem bildenden Körper wenigstens teilweise nicht alle in nahe derselben Ebene liegen. Berücksichtigt der Realität des Phänomens kann man von der statischen Beobachtung kaum eine definitive Entscheidung erwarten, wenn man sich auf einen so vorläufigen Standpunkt stellt wie Hall (der meint), daß die Wahrscheinungen auf einer Täuschung beruhen, die durch eine gewisse Stenographie der Schattenwürfe hervorgerufen werde, und die Erklärung gibt das Licht. Vielleicht ist aber die Photographie entweder schon gegenwärtig oder in nicht zu ferne Zukunft fähig, die Frage endgültig zu entscheiden. Diese Ziele werden vielleicht dazu beitragen, eine gewisse Verfolgung der Erklärung von dieser Seite während der nächsten Opposition des Planeten nutzbringend.

Unter der Annahme, daß die beobachtete Konvexität des Schattens real ist, geht Dr. Gullmich dazu über, die Konsequenzen, die sich daraus ergeben, einer mathematischen Prüfung zu unterziehen. Unter „Ringsbane“ versteht er die Äquatorialebene der Saturn, die mit der Beobachters oder Saturnischen Ringebene zusammenfällt.

Er zeigt, wie man die Abweichung der wirklichen Ringfläche von der vorausgesetzten Ringebene berechnen kann, und führt diese Rechnung für seine Beobachtungen im November 1894 durch. Es ergibt sich, daß die Erklärung der westlichen Seite der unteren Ringbahn an der Stelle, welche der äußere Rand des Planetenschattens zur Zeit der Beobachtungen traf, rund 3000 km betragen hat. Die beobachtete Form des Schattens deutet an, daß diese Erhebung ungefähr in der Mitte des hellen Ringes am größten, an den Rändern dagegen gering war. Um die Beurteilung des Gegenstandes zu erleichtern, hat er sich allerdings wenig zahlreichen Beobachtungen zu-

zuletzt fügen Dr. Gullmich noch einige Bemerkungen über die vorerwähnte Ansicht des Saturn im 11-zelligen Hohlkammer Refraktornetz „Aufnahme“, sagt er, „trahen die nette, grobe Ansicht der Cassinischen Trennung selbst dort auf den Hohlkammer, wo sie in voller Breite erscheinen muß. Ferner war besonders November 15 die Flächenbedeckung des Ringes gegenüber der des Planeten beträchtlich gering, so daß der Ring sich als fast ganz Zone von der Scheibe abhob, das nicht vollkommen im Einklange mit Sedgwick's Theorie. Die grobe Nordpolansicht des Planeten sowie die Abnahme der Helligkeit nach dem Rande zu waren überraschend deutlich; die beiden gegenwärtig vorhandenen Äquatorialansichten haben sich bestimmt von der Umgebung ab und waren durch eine hellere Zone deutlich getrennt. Außer der Cassinischen Trennung konnte keine weitere von mir wahrgenommen werden. Ring C, der dunkle oder Obergang, war ein schwacher dunkler Streifen auch vor der Scheibe sichtbar, an den beiden inneren Rändern der Hohlkammer er sich erweitert sehr deutlich. Dort, wo er an diesen Stellen in den Ring B, den inneren hellen Ring, übergeht, wurde in letzterem eine eigentümliche Durchbohrung wahrgenommen. Beim Durchsehen von Abbildungen des Planeten finde ich diese Schattierung des Ringes B auch auf einer Zeichnung Barnard vom 2. Juli 1894 (Lickobservatorium), jedoch dort in größerer Ausdehnung und um den ganzen Ring herum. Nach Schluß der Untersuchung wurde der Planet noch einmal am 13. Dezember gesehen und zeigte früher unverändert gefunden. Der Schatten auf dem Ringe war noch entschieden konvex.“

„Es scheint“, sagt schließlich Dr. Gullmich, „daß eine die Hauptmasse der Ringkomponenten ihre Bahnen in einer Ebene beschreiben, die mit der mathematischen Ringebene zusammenfällt, daß aber darüber beständig oder

mindestens eine beträchtliche Anzahl der Körperchen sich weit außerhalb dieser Ebene befindet. Eine direkte Bestätigung dieser Ansicht könnte man in der Winternachschau Bands vom Nov. 1896 erblicken, der zur Zeit des Durchgangs der Erde durch die Ebene des Ringes dieses als breiten Streich, beiderseits umgeben von einem relativ breiten diffusen Saume, sah. Freyer würde auch nach H. Strövers Ansicht hierdurch auch der Umstand gerechtfertigt erklären,

dass der Ring beim Durchgange der Erde durch seine Ebene nursofort selbst für die größten Instrumente verschwand, zu anderen Zeiten dagegen für mehrere sichtbar blieb. Freyer hält die Kesselsicht des Saturns für real und erklärt sie durch polycentrische Konstellationen der Ringkörperchen, wie oben auch von mir angenommen wurde.) Weitere Folgerungen zu ziehen, ist vorläufig wohl zu gering.

Die neu entdeckten Trabanten des Jupiter und Saturn

Es ist dem kleinen Vortel des vorigen Jahreshefts zu die Welt an überraschende Entdeckungen auf astronomischem Gebiete gewöhnt, aber die Auffindung der kleinen Trabanten des Jupiter und Saturn zu noch etwas ganz Unerwarteten, das aus dem Rahmen der gewöhnlichen Planetenentdeckungen völlig heraus tritt. Eingestuft wurden diese Entdeckungen zwar in gewisse Sinne durch Prof. Barnard's Auffindung der 5. (innersten) Jupitermonde am 8. September 1892 mit Hilfe des Lickrefraktors, aber sicherlich hätte sich niemand, der eingeweiht auf dem Gebiete der Planetenwissenschaft besonders ist, bekümmert lassen, daß jemals der vor hehlen und großen Jupitermonde auch noch kleine Trabanten um diesen Planeten laufen. Solches schiene jeder Analogie zu spotten und wohl mehr der kühnsten kosmologischen Vorstellungen. Was aber würde man beim Satzen an einen kleinen, noch unbekannten Trabanten gedacht haben, zunächst eben zwischen Rhea und Titan, nach jenseits des Jupiter, wie sich letzterer in der That jetzt gezeigt hat. So ist die Auffindung der beiden äußeren kleinen Jupitermonde wohl die merkwürdigste Planetenentdeckung der neuen Zeit.

Die Bedeutung derselben liegt aber nicht in dem Nachweise des Vorhanden-

seins dieser kleinen Monde, sondern vielmehr mehr in den Ausschlüssen, welche diese Trabanten hinsichtlich ihrer Bildungsgeschichte verheißt, also in den kosmologischen Erörterungen, die sich an diese Ausbeute unserer teilschönen Wissens kugeln werden. Allerdings sind solche Erörterungen bis zur Handlung einer genügend ausgebildeten Kosmogonie theorie der neuen Monde des Jupiter und Saturn durch aus hypothetisch, und es hätte bedenklich vom Platte der verlässlichen Wissenschaft absehen, wenn man schon jetzt in willkürwefenden Spekulationen übergehen würde. Indessen gibt doch das Wenige, was wir gegenwärtig erst über die drei jüngst entdeckten kleinen der beiden größten Planeten wissen, manchen sehr Anhaltspunkte zu weiterer Betrachtung. Was zunächst den Saturnmond Phoebe betrifft, so unterscheidet er sich von den acht früher bekannten Trabanten des Saturn charakteristisch durch seine rückwärtige Bewegung. Prof. Pickering hat dafür eine mechanische Erklärung gegeben¹⁾, nämlich für diese Hypothese ist der Umstand bedenklich, daß die Bahnlinie des neuen kleinen Mondes jenseits, bei rückwärtiger Bewegung des letzteren, HP gegen die Ebene der

¹⁾ Science 1895, S. 14, vergl. auch Science 1903, S. 19.

Ellipsoid geneigt ist, während die übrigen sieben Monde eine fast zwischen 32° und 38° Neigung ihrer Bahnebene gegen die Elliptik annehmen, und ganz nahe mit der Ebene des Saturnäquators zusammenfällt. Zu dieser Sachverhaltung des neuen Mondes kommt die stark Excentrisch seiner Bahn, die 0,32 beträgt, und damit nicht nur der Excentricität der Bahnen aller Neptunplaneten, sondern auch die der Hauptplaneten überein. So finden sich bei Phoebe vorzugsweise retrograde Bewegung, sehr bedeutende Excentricität der Bahn, und sehr abweichende Neigung der Bahnebene von derjenigen der übrigen Saturnmonde, bei 1° Neigung gegen die Ebene der Saturnbahn. Das sind Eigenschaften, welche zusammen sehr an die Eigenschaften der Bahnen der Kometen mit kleinen Umlaufzeiten erinnern. Hält man dieses nicht für Zufall, so könnte man, im Hinblick auf die Theorie der geologischen Cirkulationen von Kometen durch die großen Planeten, zu der Ansicht kommen, daß der neue Saturnmond, sehr nach der heute herrschenden kosmogonischen Anschauung der kleinen Monde des Saturn zu sein, vielmehr dessen jüngsten Formstadium ist, indem die Hypothesen dieser Schlußfolgerung nicht abzuweisen werden soll, kann dann ergänzt werden, daß die Entstehung der drei kleinen Jupitermonde derselben nicht widerspricht. Diese unterscheiden sich von den vier ältesten Trabanten zugleich augenscheinlich durch ihre Kleinheit. Es ist wohl denkbar, daß der Vorläufer, vorer denen die vier großen Jupitermonde sich gebildet haben, ebenfalls von denselben verschiedenes gewesen sein müssen, die zur Entstehung der drei kleinen Trabanten Veranlassung gaben. Das beweist nicht schon der so überaus große Unterschied beider Gruppen im Volumen oder, was hier auf dasselbe hinausläuft, in der scheinbaren Helligkeit. Die vier alten Monde des Jupiter haben von innen an geradlinig nach

Prof. Pickering folgende Helligkeiten an Sterngrößen 5,8, 6,0, 5,5, 6,5, die drei neuentdeckten sind, in der nächsten Reihenfolge geradlinig 10, 10—14 und 16. Größe, so daß der Helligkeitsunterschied zwischen beiden Gruppen im Durchschnitt sechsacht Sterngrößen beträgt, während er bei den alten Saturnmonden im Maximum nur auf vier Sterngrößen steigt, bei den beiden Marsmonden ganz unwesentlich ist und auch bei den vier Uranusmonden im Maximum schwerlich mehr als 1,5 Größenklassen beträgt. Von dem sehr kleinen jupitermonde waren wir bis jetzt überzeugt, daß seine Umlaufzeit etwa sechs Monate betragen mag, und seine Bewegung möglicherweise rückwärts ist, vom nächsten jupitermonde wird lediglich erwähnt, seine Bewegung so unbestimmt direkt, auch aber in einer Richtung einen großen Winkel mit der Ebene der Elliptik. Welche Umlaufzeit dieser Mond besitzt, darüber verläßt sich noch nicht. Wenn man die retrograde Bewegung des nächsten als tatsächlich annimmt und die große Bahnneigung des nächsten Mondes erwägt, so gewinnt die Vermutung, daß diese Trabanten auf andere Weise entstanden sind als die vier ältesten Monde des Jupiter, eine weitere Stütze. Ganz von selbst wird man hierbei an das Vorgehen denken, welcher sich 1856 im jupitersystem abspielte, und der nach den Beobachtungen von L. Piaz darin bestand, daß der Komet 1856 V vom 18. bis 21. Juli innerhalb der Bahnen der vier alten Jupitermonde verweilte und mit einem oder mehreren derselben zusammengetroffen ist. Es ist der merkwürdige Komet, welcher bei seinem Sichtbarwerden 1855 von vier kleinen Nebenkometen begleitet war, die Sturms 11. Größe und darunter kleiner und sehr veränderlich waren, nach bei der Rückkehr des Hauptkometen 1856 nicht mehr gesehen wurden. Nach den Berechnungen von Prof. Brückner ist wahrscheinlich für den heilsten der kleinen Begleitkometen anzunehmen, daß die

Aberration nahe um die Zeit der großen Jupiterverfinst., also im Sommer 1880, stattgefunden hat. Ob bei dieser Gelegenheit auch die drei kleinen Jupitermonde als solche entstanden sind, ist eine Vermutung, die nicht

liegt, die aber erst durch genauere Prüfung Bestätigung oder Abweisung erfahren kann, wenn die Bewegungen der beiden äußeren Monde genauer untersucht worden sind.

Zur Frage nach dem Wesen des Zodiakallichtes.

 Es ist eine mehrfache Tatsache, daß, während auf allen Gebieten der wissenschaftlichen Wissenschaft in den letzten Jahrzehnten die bedeutendsten Fortschritte zu verzeichnen sind, ganz allein nur unsere Kenntnisse vom Wesen des Zodiakallichtes wenig zugenommen haben. Selbst man von den jüngsten, noch durchaus nicht zu abgeschlossenen Ergebnissen gelungenen photographischen Versuchen, die Prof. M. Wolf angestellt hat, ab, so erscheinen als Wichtigstes auf diesem Gebiete die theoretischen Untersuchungen Prof. vorderlings. Auf diesem letzten Felde, hat nun Dr. Karl Schwend die Zodiakallichtfrage zum Gegenstande einer besonders Studie gemacht¹⁾ und dabei auch die bisher vorliegenden Beobachtungen einer ausführlichen und kritischen Darstellung unterzogen. Wie sogleich bemerkt werden soll, hat die Arbeit Schwends auch nicht zu ungünstigen Ergebnissen geführt, dass können vielmehr erst durch Beobachtungen festgelegt werden, welche aber in dem erfindlichen Umfang mit der notwendigen Präzision wohl nicht in unsere Kräfte zu erlangen sind. Indessen ergibt sich aus den theoretischen Betrachtungen vornehmlich, daß die Hypothese Prof. von Seeligen's (kosmische Staubbewegungen) mit derjenigen, welche Patta de Dallier (der als Dominant Cassini 1851 das Zodiakallicht zu Paris zuerst beobachtete und diese Beobachtungen im 1866 in Göttingen) aufstellte, im wesentlichen übereinstimmt. Über die wichtige Abhandlung Prof.

von Seeligen's „Kosmische Staubbewegungen und das Zodiakallicht“ ist früher ausführlich an dieser Stelle berichtet worden²⁾, hier soll nur die von ihm aufgestellte Hypothese wiederholt werden. Sie lautet: „Der Raum des Sonnensystems in der Nähe der Sonne bis zu Gegenden, welche die Erdbahn jedenfalls noch überschreiten, ist ausgefüllt mit Teilchen kosmischen Staubes, welche das Sonnenlicht reflektieren. Diese Staubbewegung wird sich nun in einer Ebene, in welcher der Äquator des Zodiakallichtes liegt, gruppieren, so daß sie in einer auf die Ebene senkrechten Richtung eine relativ geringe Ausdehnung besitzt. In der Hauptache wird also diese Staubbewegung die Form einer Kosmoscheibe annehmen, deren Mitte in der Sonne liegt und die über die Erdbahn hinausreicht. Die Dichtigkeit der Massenverteilung wird wahrscheinlich von der Sonne nach außen zu abnehmen, und es wäre möglich, daß sich die staubförmige Materie bei zu großen Entfernungen von der Sonne nachweisen ließe, aber in viel größerer Sonnenentfernung als die der Erde wird sie jedenfalls überaus dünn und ihr Einfluß sehr gering sein müssen.“

Es ist bemerkenswert, daß bis um die Mitte des 12. Jahrhunderts keinerlei Erwähnungen des Zodiakallichtes zu finden sind. Man kann das, wie wirklich geschieht, damit erklären, daß das Vorhandensein dieses schenken Lichtes aus dem Alten eben umgangen ist, insofern darf man doch auch daran erinnern, daß die alten Astronomen in

¹⁾ Zur Zodiakallichtfrage. Inaugural-Dissertation von K. Schwend, Schwenfurt, Göttingen Buchhandlung.

²⁾ Siles 1882, S. 98

Babylonien und am Nil sowie die Araber in Gegenden beobachteten, wo das Zodiacallicht sehr viel deutlicher als bei uns sichtbar ist, und daß es gerade dem Planetenhimmel besonders Aufsehenbarend zusehen, von der Herstellung ihrer Sternkataloge beweist. Wie dem aber auch immer sein möge, jedenfalls war der Schriftsteller und spätere Pflarer J. Chabrey der erste, von dem eine auf eigenes Wahrnehmungen begründete Beschreibung des Zodiacallichtes veröffentlicht ist¹⁾. Er erzählt, daß er seit mehreren Jahren im Februar sowie etwas früher und später, gegen 6 Uhr Abends, während der Dämmerung am Horizont bei verschwundenem Mond, einen Lichtschimmer, bis zu den Plejaden reichend, wahrgenommen habe, dessen Natur er nicht entscheiden könne, und den er der Beobachtung durch mathematisch geübten Laie empfiehlt. «Eine Frage», bemerkt Dr. Schmidt, «haben schon unzählige vor ihm und nach ihm diese Erscheinung in gleicher Weise beobachtet. Solange jedoch niemand mehr sah, wußte es keine Zeitschreibung schreiben, die angebliche Dämmerungserscheinung weiter zu verfolgen. Seit niemand der Beobachtung derselben sich zuwendete, lag also wohl weniger an mangelnder Lust und Ausdauer, als vielmehr an mangelndem Fortschrittsgeiste. Demnach Forscherblick besaß aber Giovanni Domenico Cassini. Indem er als das Wesentliche die Lage im Zodiacus erkannte, rißte er die Erscheinung in ein vollständig neues Licht: die Beziehung zur Ekliptik, der in unserem Sonnensystem so bevorzugten Ebene, wurde der Angelpunkt jeglicher Erklärung. Nun verstand die Erscheinung wohl die Maße einer physikalisch vermittelten Beobachtung, da denn auch Cassini nicht schaute. Wir dürfen also mit Recht Cassini den Entdecker des Zodiacallichtes

rechnen. Hätte Chabrey diese Haupteigenschaft des Zodiacallichtes erkannt, er hätte sich sofort sagen müssen, daß wegen der schiefen Lage der Ekliptik zum Horizont das nur bis auf eine gewisse Entfernung von der Sonne (nach Cassini 60° bis 75°) sichtbare Zodiacallicht in andern Jahreszeiten als im Frühling wohl kaum für einen ungebildeten Beobachter sichtbar sein konnte, in der Tat das der ersten Folgerungen, die Cassini zog. Denn je kleiner der Neigung der Ekliptik gegen den Horizont wird, die um so größeren Stücker des Zodiacallichtes blüht in der Dämmerung verbleiben (da außerdem noch in der Zeit vom Frühling zum Sommer zunimmt, während die Neigung zur Ekliptik abnimmt), die um so kleineres wird also darüber hinausgehend, ganz abgesehen von der immer mehr zunehmenden Wirkung der atmosphärischen Absorption. Da das Zodiacallicht, wie Cassini gleich bemerkt, der Sonne in ihrer Bewegung auf der Ekliptik vorausgeht, so muß es offenbar auch an den Stellen sich zeigen, wo die Ekliptik die Milchstraße kreuzt. In diesen beiden Lagen zwischen Gemini und Taurus einmündet, zwischen Sagittarius und Scorpio endend, sind natürlich die beiden Erscheinungen nur sehr schwer voneinander zu trennen. Dazu kommt noch der verschiedene Dauer der Dämmerung in den einzelnen Jahreszeiten. So kommt es, daß für ein ungebildetes Auge das Zodiacallicht etwa von Anfang Dezember bis Anfang Mai (nach Cassini in den Monaten Februar, März, April, Mai) sichtbar ist, am besten nach Hinaus Anfang April. Für ein gebildetes Auge dagegen, das es von Tag zu Tag verfolgt, ist es nach dem Urteil aller kompetenten Beobachter jederzeit sichtbar, wenn nicht Wolken oder der Mond die Beobachtung unmöglich machen; aber auch in diesem Falle ge-
 1) *Journal de l'Observatoire*, 1802.

¹⁾ Giovanni Cassini, welche 1682 erschien.

möglich, der Beobachter jeden günstigen Moment auszunutzen kann.

Das Hauptaugenmerk lagten die früheren Beobachter auf die Feststellung der äußeren Gestalt des Zodiaklichtes, indem sie die Grenzen zwischen dem Streifen beobachteten. So Hain, Schmidt und Weber. Es ist aber möglich, von einer bestimmten Begrenzung dieses Lichtschimmers zu sprechen, denn deren Auffassung hängt in hohem Grade von der Helligkeit (Qualität) des Himmels, von der Geschwindigkeit des Beobachters und von der größeren oder geringeren Helligkeit und Anzahl der in der Nähe stehenden Sterne ab. »Daß eine Grenze«, berichtet Dr. Schmidt, »in dem Sinne existiert, was in das Wort ausgedrückt, also daß man sagen kann, derselbe der Grenze ist Licht, jenseits aber nicht, ist wohl von keinem Beobachter behauptet worden, nur das Wort Grenze hat, wie es scheint, den Widerspruch hervorgezogen. Die Bedeutung des Wortes, wie es hier gebraucht wird, hat wohl niemand besser und klarer dargestellt als J. F. Julius Schmidt, der sagt: »Was aber unter dem Rande des Zodiaklichtes zu verstehen sei, hat bei uns so sehr schwanken, als höchst unbestimmten Erscheinung jeder Beobachter für sich auszumachen. Der jetzige Zustand der Luft ist von großem Einfluss und nicht weniger die ungleiche Stärke der Augen. Der aufmerksam geübte Beobachter wird aus einer Grenze auflassen können, die nur zu beiden Seiten nicht die äußerste ist, aber in Hinsicht eines allgemeinen mit einiger Sicherheit zu verfolgenden Zuges zwischen den Sternen für die Vorstellung eines Streifens hinreicht. Wirkliche Eigenschaften der Lichtkurve der Grenze ihre Entschiedenheit im Auge verleiht, ist bei uns noch nicht festgestellt.«

Neuere Beobachter, zuerst wie es scheint, George Jacob, haben innerhalb des Kugels, welchen das Zodiaklicht darstellt, mehrere Abtheilungen der Helligkeit unterschieden. H. C. Lewis un-

terscheidet zwischen dem Zodiakkegel und dem Zodiakstreifen und theilt, ferner, der Form der schwachen dem bloßen Auge nichtbemerkt Objekte im Himmel an, sechs sich etwas breiter als die Milchstraße längs des Zodiaks quer über den Himmel von Horizont zu Horizont. Um Mitternacht sei er an seiner höchsten Stelle am hellsten, und diese hellste Region falle mit derselben zusammen, die Brown 1834 zuerst sah und die Gegenstraße benannt hat. Diese Benennung beruht sich darauf, daß der folgende Lichtschimmer an dem der Sonne gegenüberstehenden Punkte der Hemisphäre sichtbar ist. Brown sagt, daß er im Frühlings in den Monaten Februar, März, April im Helligkeit und Ausdehnung zunehme, kleiner und lichtschwächer im Herbst in den Monaten September, Oktober, November sich zeige. Indessen ergaben die Beobachtungen von Prof. Barnard, daß der Gegenstreifen jederzeit sichtbar ist, selber in den Monaten Juni und Dezember, weil dann der Gegenpunkt der Sonne in den Kreuzungspunkten von Ekliptik und Milchstraße liegt, also die Milchstraße dem schwachen Seitenstreifen des Gegenstreifens überwiegt.

Siehe untenstehend¹⁾ auf Grund seiner Beobachtungen den Lichtbänder im Zodiaklicht: das Lichtband (I) von Aquila zu den Pijaden beginnt zwischen α und β Aquila, geht zwischen α und β Aquila hindurch, bei α Aquila vorbei, kreuzt die Ekliptik, geht zwischen γ und ϵ Pegasus hindurch und endet bei den Pijaden. Der Farbe im Gegensatz nur gelblichem Farbe des Zodiaklichtes scheint nach Sieffs weißlich zu sein. Das Lichtband (II) verläuft von Coma Berenices mit der Milchstraße. Vom Coma Berenices ausgehend erstreckt es sich in südlicher Richtung, bei α Coma, wendet dann nordwärts,

¹⁾ A. N. Jg. 44 (1868) p. 94, Bd. 122 (1865) p. 265, 124, 126 (1866) p. 267. Ann. Harvard Coll. Obs. Vol. 21 No. 2 u. 3

haben es dem Zodiakus entlang gelüft, passiert α Leonis und endet bei der Pleiade, die mit der Milchstraße durch eine hellere Gegend verbunden ist. Das Lichtband β III, südlich von β und γ Virgo, ist nahezu parallel der diese beiden Sterne verbindenden Linie und endet nahe bei α Virgo. Die Abweichung mit dem Lichte der Milchstraße scheint Searle geringer zu sein als mit dem des Zodiaklichtes. Auch Mauder berichtet von einem Lichtband von α zu β Perseus und von α zu γ Perseus (bestenfalls Band also das Band β von Searle). Nach Searle sind nun durch diese Bänder einige Erscheinungen zu erklären, so das lange Scheitern des Spinn des Zodiaklichts bei den Pleiaden durch Band β , die Ausdehnung und Verstärkung des Gegenstrahls im Oktober ebenfalls durch Band β , die Helligkeit des Gegenstrahls in den Monaten Februar und März durch Band III, im Februar, weil nach noch das dunkle Band in einem Teil von Leo sich befindet.

Der Mittelpunkt des Gegenstrahls liegt, wie schon Hies gefunden, nicht genau im Gegenpunkt der Sonne, sondern einige Grad davon entfernt, nach Lewis etwa nördlich von der Ekliptik und bald westlich, bald östlich vom Gegenpunkt, was aber beides nach Meinung von Prof. Barnard nur eine Folge der mit abnehmender Höhe über dem Horizont zunehmenden atmosphärischen Absorption ist. Dagegen ist es Barnard auf der hochgelegenen Lichterwaage gelungen, den Gegenstrahl des ganzen Jahr hindurch zu beobachten und dessen Veränderungen festzustellen. Hierarch ist der Gegenstrahl im Mai noch rund nach dem Durchmesser $< 10\%$, besteht nach dem Überwachen der Milchstraße im Juni zwar immer noch seine ganze Gestalt, ist aber viel breiter (Durchmesser 20%) und in der Mitte merklich heller. Im Laufe der Monate Juli, August zeigt er keine Veränderungen, erst in der Folge des Frühlingsgleichstehens in der Ho-

hen September, Oktober sieht sich seine Gestalt langs der Ekliptik in die Länge, wird elliptisch, bis er schließlich durch um etwa 4° breiten Zodiakband mit dem Zodiaklicht verbunden ist und nur noch als Ausbuchtung und Verstärkung des Zodiaklichtes (16° bis 12° breit) erscheint. Bis April zeigt sich dann keine weitere Veränderung.

Dieses letztere als Schlangenhaut in der Nacht des 5. Mai 1902 gegen Mitternacht in Gestalt einer zusammenhängenden Brücke die ganze sichtbare Halbkugel des Himmels überdeckt, indem es in einer Breite von ungefähr 15° die Sternbilder Zwillinge, Löwe, Jungfrau, Waage, Skorpion durchstreicht.

Über die Farbe des Zodiaklichtes läßt sich nicht viel sagen, nach Lewis ist sie gelblicher als der hellere, weißer Schimmer der Milchstraße, nach Hies schätze ich weißgelblich. Vom Spektrum desselben weiß man nur, daß es kontinuierlich ist und sich etwa von D nach Q erstreckt, die von einigen darin wahrgenommenen grünen (violett-) Linien gerast das schwach sieht an. Da Schwartz entwickelt die photometrische Theorie des Zodiaklichtes auf Grund der mikroskopischen Hypothese von Fohn, nach der wir uns in einer schwarmartigen Masse lichtreflektierender Körperchen, in einer sogenannten kosmischen Staubwolke befinden. Die Formeln werden auf dieselbe Weise abgeleitet, wie es Prof. v. Seeliger in seiner Theorie der Beleuchtung des Saturnrings getan hat. Das Unerwünschte ist dabei nur, daß Lichtquelle und Beobachter beide innerhalb der Staubwolke sich befinden.

Für die Helligkeitsverteilung wird dabei die Lemard-Seeligerische Beobachtungsformel angenommen. Er findet auf diese Weise, daß die beobachteten Helligkeitsverhältnisse des Zodiaklichtes, vor allem der sogenannte Gegenstrahl, durch die genannte Hypothese im allgemeinen genügend dargestellt werden, besonders wenn die Ausdehnung der Zodiakstrahlung von

der Sonne bis zu 1—2 des Erdhalbmessers angenommen, die Dichte sehr gering und mit der Entfernung von der Sonne abnehmend vorausgesetzt wird, und die Zodiakalwolke eine diskontinuierliche Gestalt besitzt. Die von Hill und Jones aufgestellte Hypothese, die allerdings auch von Barnard wieder aufgenommen ist, und nach der die Zo-

dienkabeln des reflektierten Sonnenlichts einer kreisförmigen Staubwolke oder Ringwolke folgen, deren Zentrum die Erde bildet, würde dagegen nach Dr. Schwach mechanischer Darlegung auf eine andere sehr seltsame Helligkeitsverteilung führen, die wirklich beobachtet wird, und ist daher nicht zulässig.

Neue spektroskopische Doppelsterne.

Die Zahl der Sterne, welche bei der spektroskopischen Untersuchung ihre unmerklichen Geschwindigkeiten ihrer Periodenbewegung (d. h. ihrer Bewegung in der Geisteslinie zur Erde) zeigen, nimmt mit der Ausdehnung und wachsenden Genauigkeit dieser spektroskopischen Untersuchungen sehr und sehr zu. Es scheint, daß die richtige Anordnung, welche wir in unsere Sterngruppen vorfinden (nämlich einen einzigen Zentralkörper mit 10 zufallsförmlich überwiegender Masse, daß der Schwerpunkt des ganzen Systems stets sehr nahe bei dem Schwerpunkt dieses Zentralkörpers verläuft), unter den Planeten keineswegs ausnahmslos vorherrscht. Hier scheint vielmehr die Form des Doppel- oder mehrfachen Systems vorzuherrschen, dessen Komponenten zwar in einem Plane nebeneinander verschoben sind, daß der Schwerpunkt des ganzen Körpers des Systems verläuft. Während daher bei unserer Sonne deren Eigenbewegung um den Schwerpunkt des ganzen Systems so gering ist, daß sie auf spektroskopischem Wege unmerklichbar bleibt und nur mechanisch beobachtbar wird, ist diese Bewegung bei zahlreichen Fixsternen sehr merklich und führt darauf, diese als Doppelsterne zu betrachten, auch dann, wenn der Begleiter nicht direkt gesehen werden kann. Von solchen spektroskopischen Doppelsternsystemen sind auf der Lick Sternwarte mit dem Miltzspektrographen bereits 46 nachgewiesen worden, unge-

achtet vieler anderer, welche durch die Miltzspektiven nach Chile gefunden worden¹⁾ und umgerechnet die veränderlichen Sigma W und Y Sagittae, sowie δ Sagittae, die von Dr. Curtis als spektroskopische Doppelsterne erkannt wurden²⁾. Jetzt wird nun³⁾ seitens der Lick Sternwarte ein neues Verzeichnis von neun spektroskopischen Doppelsternen veröffentlicht. Die Sterne, welche es enthält, sind zum Teil schon mit verschiedenen Jahren durch Beobachtungen auf der Lick Sternwarte abwechselungsweise spektroskopisch als Doppelsterne erkannt worden und zum Teil ihrer in Andromeda und γ Sagittae wurden bekannt, doch als solche erkannt, die dieselbe Tatsache von anderen Beobachtern veröffentlicht wurde. Folgendes ist die Zusammenfassung aus dem Bereiche der Lick Sternwarte.

a. Andromeda (A R = 34 32^m D = + 33° 13'). Dieser Stern zeigt a. a. eine scharfe Linie des Magnesium bei λ 4481. Er wurde auf dem Lowell-Spektroskop von Shipher als spektroskopischer Doppelstern erkannt. Die Beobachtungen der Lick Sternwarte zeigen Geschwindigkeiten desselben, die zwischen — 36 und + 2 km in der Sekundenschwankung. Entdeckt wurde diese Schwankung von Dr. H. D. Curtis Ende September 1903.

ϵ Cyg (A R = 14 45^m, D = — 11° 30'). Als spektroskopischer

¹⁾ Lick Observ. Bulletin Nr. 82
²⁾ Ibid. 85, 86
³⁾ Ibid. 84, 85

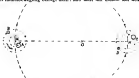
Doppelstern 1895 von Campbell erkannt. Die Veränderungen der Geschwindigkeit variieren zwischen $+3.8$ und $+10.9$ km.

γ Geminae (A R = $4^h 31.9^m$ D = $+16^\circ 29'$). Das Spektrum ist ähnlich dem des Sirius und gestattet scharfe Messungen. Die Geschwindigkeit variiert zwischen -4.7 und -17 km und die Veränderlichkeit desselben wurde im Oktober 1896 von Burne gefunden.

α^2 Geminae (A R = $7^h 38.2^m$ D = $+32^\circ 7'$). Von Herber D. Curtis im Oktober 1894 als spektroskopischer Doppelstern erkannt. Die Veränderlichkeit seiner Radialbewegung beträgt nach

Barb und um direkt messbares Niveau einen Umlauf in wenigen Tagen.

Die nachstehend nach Prof. W. W. Campbell wiedergegebene Zeichnung gibt eine schematische Darstellung der Bewegungen der zwei Hauptsterne des Systems Kastor nach dem unsichtbaren Begleiter A und C und die beiden sichtbaren Komponenten des Systems, in denen ist A mit dem unsichtbaren Stern B zu einem engen System verbunden, in welchem beide um den Schwerpunkt M in drei Tagen sich bewegen. Der helle Stern C ist ebenfalls mit dem dunklen Stern D verbunden und läuft mit diesem um den Schwer-



Das System des Kastor

25 Platten, die am Heliostadtopographien erhalten wurden, über 26 km und die Periode derselben 937 Tage. Der Stern ist die schwächere Komponente von Castor und 3.7 Größe, während die andere (α_2) Größe hat. Man hat schon 1896 Heliophotie im Folgenden gefunden, daß dieser Stern (α_2) ebenfalls ein spektroskopischer Doppelstern ist mit einer Umlaufzeit um den Schwerpunkt von 2934 Tagen. Diese beiden hellen Sterne zeigen Spektrum, die dem Siriuspektrum scheinbar völlig gleich sind. Somit ist also das System des Castor viertel, und während der beiden hellen Hauptsterne sich in einer Periode von etwa 347 Jahren (nach Dubreils Rechnung) um ihren Schwerpunkt bewegen, macht jeder von ihnen um dies eine Besch-

leunigung (oder Ω) in einer bis jetzt noch unbekannten Periode. Die beiden Systeme A.B und C.D aber umkreisen den Schwerpunkt O des ganzen Systems in 3 1/2 Jahrhunderten, wobei O.H. den Halbmesser der Bahn des hellsten Sternes des Kastor und H.Q. den Halbmesser der Bahn des weniger hellen Sternes bezeichnet. Der Durchmesser halber sind Obergrenze der Bahnen von A und B, sowie von C und D im Vergleich zu dem Durchmesser M.N zu groß gemacht. Es ist übrigens nicht notwendig, daß die beiden Begleiter der hellen Komponenten des Kastor völlig dunkel sind, die können möglicherweise nur dem sehr mehr-Größenklassen schwächer sein, denn stattdessen ist es unmöglich, für Licht von dem

die beiden heißen Sterne zu unterscheiden. Auch im Lickrefraktor zeigt sich keine Spur der dunklen Begleiter, die beiden heißen Sterne stellen sich als völlig runde Scheiben dar. Die Entfernung des Systems Kasten von der Erde beträgt also zweifellos viele Millionen Meilen, und die Entfernung der beiden sichtbaren Komponenten desselben voneinander kann unter keinen Umständen geringer sein als die Entfernung des Saturn von der Sonne.

γ Boötis (A.R. = 12^h 49^m, D. = + 18° 54'). Die spektroskopischen Aufnahmen begannen Anfang 1897, und die veränderliche Radialgeschwindigkeit wurde von D. Hoegs abgelesen. Sie variiert zwischen + 7 und — 19 km. Die Periode beträgt nachfolgend mehrere Jahre.

δ Serpentis (A.R. = 17^h 31^m, D. = — 15° 38'). Das Spektrum dieses Sterns zeigt mehrere Metalllinien und steht im allgemeinen dem des Sirius. Die Aufnahmen gehen vom Jahre 1902 bis 1904 an und zeigen Geschwindigkeiten, die zwischen — 63 und — 36 km variieren. Die Veränderlichkeit dieser Bewegung wurde von Dr. H. D. Curtis 1903 zuerst erkannt.

ε Lyrae (A.R. = 18^h 41^m, D. = + 33° 30'), der in Rekenarmen verlaufende dieser bekannten Doppelstern. Sein Spektrum zeigt zahlreiche Linien des Triakonts und verleiht ihm das von Dr. Curtis entdeckte Veränderlichkeit der Radialbewegung schwankt zwischen + 22 und — 31 km.

ε Sagittarii (A.R. = 19^h 47^m, D. = — 23° 48'). Die Veränderlichkeit der radialen Bewegung wurde im Mai 1903 von Dr. Curtis bemerkt und im Oktober 1904 Jahre später bestätigt. Interessant war sie von der Milweglinie auf der nördlichen Hemisphäre ebenfalls gefunden und schon publiziert worden. Die Geschwindigkeit schwankt zwischen + 60 und + 34 km.

η Argelae (A.R. = 20^h 33^m, D. = — 1° 37'). Nachschuß Aufnahmen

1900 bis 1904 wiesen die Radialgeschwindigkeit dieses Sterns zwischen + 3 und — 13,7 km. Die Entdeckung dieser Veränderlichkeit wurde 1903 von Dr. Curtis gemacht.

Prof. Campbell macht gleichzeitig weitere Mitteilungen über die Radialgeschwindigkeiten anderer Sterne, denen folgendes mitgeteilt wird.

α Ursae minoris (A.R. = 11^h 23^m, D. = + 53° 48'). Gruppen von Platen mit Spektroskopieren des Polarsterns während der letzten vier Jahre zeigen, daß die Geschwindigkeit des Zentrums der Masse dieses dreifachen Systems sich sehr regelmäßig ändert, und zwar innerhalb einer Periode von 11 oder zwölf Jahren. Diese Periode könnte jedoch auch bedeutend länger sein, da die Beobachtungen bis jetzt noch nicht zu einer genauen Bestimmung derselben ausreichen.

α Perseus (A.R. = 11^h 36^m, D. = + 14° 50'). Im Jahre 1904 hat Prof. Lohd spektroskopische Aufnahmen dieses Sterns veröffentlicht, aus denen er schließt, daß dessen Radialgeschwindigkeit zwischen 9,5 und 26,4 km pro Sekunde variiert, und diese Veränderlichkeit wahrscheinlich in einer langen Periode eingeschlossen ist. Die Beobachtungen auf der Licksterne zeigen Veränderungen dieser Geschwindigkeit zwischen + 13,3 und + 16,8 km und sprechen weder für noch gegen die Ergebnisse des Prof. Lohd.

α Aurigae (A.R. = 41^h 54^m, D. = + 43° 41'). Die Tatsache, daß diese veränderliche Sterns spektroskopischer Doppelstern ist, wurde 1903 von Prof. Vogel (Potsdam) entdeckt. Die jüngsten Beobachtungen auf der Licksterne bestätigen die Veränderlichkeit der Radialbewegung und die von Prof. Vogel bereits gegebene Schlussfolgerung, daß die Periode mehrere Jahre beträgt.

δ Orionis (A.R. = 5^h 9^m, D. = — 5° 19'). Aus 14 Spektrogrammen, die 1886 bis 1890 zu Potsdam erhalten waren und Geschwindigkeiten zwischen + 3 und + 34 km pro Sekunde ze-

Abende deutlich glänzen der Jupitermonde mit einem Zylinderförmigen Plasmamantel gemessen, das in dem 11 stündigen Lichttag ausgedehnt war. Eine längere Reihe besserer Nächte um den 15. Januar 1903 hat diese Beobachtungen sehr begünstigt. Die Messungen am 1. und 2. Januar ergaben von diesem Zeitpunkt als so regelmäßige Helligkeitsänderungen der Welt, deren Perioden gleich den Umläufen um Jupiter sind, daß aus ihnen mit großer Wahrscheinlichkeit die Gleichheit der Umdrehungs- mit der Umlaufdauer dieser Monde zu folgen ist.

Die Bahn des Uranusmagnetkriat ist von H. Neugebauer sehr berechnet worden¹⁾, wobei er sich auf die Beobachtungen von 1813 bis 1891, also auf die frühesten Beobachtungen Lasalle, dann die von Marth, Copeland, Newcomb, Holden, Bessiers, Perrinis, Barnard, Huxley, Adams und Seccaldi²⁾ im ganzen Japan sind 330 Beobachtungen dieses kleinen hellschwachen Satelliten vor, und so lieferten für die Umlaufzeit den Wert 2520369 Tage, nur unbedeutend von der früher (1875) durch Newcomb bestimmten Umlaufzeit abweichend. Für die Epoche 1871 Dek. 31.0 ist Zi. von Washington ergibt sich als mittlere Länge des Triebweins in einer Bahn 22° 51', als Exzentrizität der letzteren 0.001. Die Länge des Periastrons vom Knoten gemittelt ist 24° 4' 18" 03.0 — 1898.51. Die wahrscheinliche Achse der Bahn ergibt sich zu 0.0011 oder 0.156 Meilen von der von Newcomb berechneten Wert. Da die Massen der übrigen Uranusmonde jedenfalls sehr gering sind, so ist deren Einfluß auf die Bewegung des Periastrons des Ariel fast gleich Null, und diese Bewegung wird hauptsächlich von der äquatorialen Anschwellung des Uranus verursacht. Man kann daher aus dieser Bewegung die Abplattung des Uranus berechnen, falls man plausible

Annahmen über die Dichteverteilung dieses Planeten gegen seinen Mittelpunkt hin zu machen wüßte. Wird die Dichte des Uranus in allen Teilen als gleich angenommen, seine Materie also als homogen, so findet sich für die Abplattung der Wert $\frac{1}{100}$, unter anderen, beim Saturn gut zureichender Annahme würde die Abplattung sogar $\frac{1}{10}$ sein und die Rotationsdauer etwa $\frac{1}{10}$ betragen. Die Masse des Ariel berechnet Neugebauer zu 1:232089 der Uranusmasse und die letztere zu 1:22383 der Saturnmasse.

Mars in der diesjährigen Opposition. Prof. Wilhelm H. Foerster macht darauf aufmerksam, daß während der diesjährigen Annäherung des Mars an die Erde außerordentlich die grüne Farbe eines bedeutenden Teils seiner Oberfläche besonders deutlich hervortreten werde. Leider steht der Planet für Beobachter in einem Breiten zu tief, um scharfe Bilder zu Formieren zu geben.

Die Bahn des Meteor 1 vom 2. November 1893 ist von Hultet O. a. N. in Berlin untersucht worden³⁾. Obwohl der letzte Morgenstunde (4. 4.5 m nach Wiener Zeit), bis und wieder auch Halbwander der Beobachtung des Meteors nicht günstig war, so merkte doch die außerordentliche, was viele Berichte sagen, schwach leuchtende Lichtströme, welche durch Feuerkugel entstehen, so großen Eindruck, daß die infolge des Auftrats der k. k. Wiener Universitätsverwaltung und anderer Erhebungen gelangten Nachrichten hinsichtlich der Vorgänge zur Festimmung der Bahnverhältnisse beizutragen.

Da in dieser Richtung vorgenommenen Untersuchungen stellen bemerk, daß das erste Aufleuchten sehr ungewöhnlich war, als sich der Meteor ungefähr 195 km über der Gegend von Schwanau in Bayern an der Westseite des Böhmerwaldes befunden hatte. Vor

¹⁾ Archiv für Mathematik, Astronomie und Physik 1904, Bd. 1.

²⁾ Wien Akad. Ber. 1898. S. 40.

Hier ging dessen Bahn nahezu gegen OWO quer über Bahnen hin, dabei aber die Gegend von Jüts und All-Pala, wo deutliche Detonationen vernommen wurden, dann aber noch weiter, bis in einer Höhe von nicht ganz 64 km ungefähr über Wogawa nördlich von freies völlige Flammung und Erleuchten stattfand.

Fast über der Hälfte dieser dann 360 km langen und nur 12.4° gegen den Horizont des Endpunktes geneigten Bahn kleine Kreistreifen des Meteors in Form eines, namentlich im mittleren Teile sehr breiten, durch einige Minuten vollständig nachschickenden Strahles zurück.

Aus 14 sichtbaren Bahnen ergaben sich der Ort des sichtbaren Reaktionspunktes im Himmelsgewölbe in 40.8° Rechtszirkon und 5.2° südlicher Deklination.

Für die Bestimmung der Geschwindigkeit lag es 20 Durchmesserungen von 188 bis 1900er Beobachtung der gegen, welche sich auf mehrwöchige Bahnstrecken beziehen, konnte die geometrische Geschwindigkeit zu 60 km, die heliocentrische zu 67 km, entsprechend einer sehr ausgeprägten Hypothese, abgeleitet werden.

Legt man diese Geschwindigkeit zu Grunde, so ergibt sich die heliocentrische Richtung des Eintritts in das Sonnensystem oder der heliocentrische Ausgangspunkt in 13.7° Länge und 23.6° nördlicher Breite.

Ungefähr aus demselben Grund des Wertes ist das am 19. November 1861 4h 38.4m mittl. Greenwich Zeit in England beobachtete große detonierende Meteor gekommen. Da die Beobachtung der darauf bezüglichen sehr interessanten Beobachtungsmaterialien noch nicht veröffentlicht wurde, findet sie sich in einem Anhang der Originalabhandlung beifolgt. Im Gegensatz des Ergebnisses hervor, daß die Zusammenstoßigkeit der beiden Meteore be-

stimmlich ihrer Abweichung, selbst bei sehr verschiedenen Annahmen über die Geschwindigkeit, große Wahrscheinlichkeit besitzt.

Der Doppelstern 11 Cent. Dieser Stern 8. Größe, dessen Ort am Himmel für 1900 in A.R. 20° 40' D. — 6° 15', hat einen äußerst schwachen Begleiter 15. Größe, den Burnham 1877 um 15-tägigen Refraktor zu Chicago entdeckte, während der Hauptstern völlig rund erschien. Im Jahre 1888 fand Prof. Hough an dem nämlichen Instrumente, daß der Hauptstern selbst wieder doppelt sei, aber nur einmal im folgenden Jahre konnte er dies deutlich erkennen und schickte die Daten beider Sterne auf 63". Im Jahre 1896 und 97 vermochte Burnham selbst am 24-Zollor der Licksternwarte keine Trennung der Sterne zu erkennen, nach hiesiger Verlangung einer Scheibe, dagegen sah Dr. See 1889 am 24-Zollor zu Washington die Trennung leicht, und seitdem hat R. G. Aiken auf der Licksternwarte dem Begleiter jedesmal zu messen vermocht. Seine letzte Messung gegen Ende 1904 ergab, daß die Trennung nur 4.12" betrage. Die Beobachtungen der letzten 5 Jahre zeigen unzweifelhaft, daß die Bahnbewegung dieses namlosen Begleiters sehr rasch ist, und sein Abstand von dem Hauptstern etwa 25 Jahre beträgt. Das ganze System bewegt sich jährlich um 0.4" am Himmelsgewölbe.

Feuerrohr für Freunde der Himmelsbeobachtung. Aus dem Leontine des „Stern- und der mehrere größere und kleiner sehr gut erhaltene Feuerrohr ganz Vorhanden angekommen wurden. Freunden der Himmelsbeobachtung, welche die Anschaffung eines solchen Instrumentes beabsichtigen und sich dieselbe zu nützlich werden, bei sich zu jeder gewünschten Auskunft gern bereit. Dr. Kida.

Astronomischer Kalender für den Monat Juli 1908.

Sonnen				Mond			
Mittlere Berliner Zeit.				Mittlere Berliner Zeit.			
Tag	Zeit M. Z. — U. Z.	Rektascension	Declination	Rektascension	Declination	Mond im Meridian	
h. m. s.		h. m. s.	° ' "	h. m. s.	° ' "	h. m.	
1	— 0 39 41	8 39 47 54	+23 4 57.1	8 39 38 73	+23 43 36.8	13 42 0	
2	— 0 39 12	8 42 58 66	23 4 54.9	8 42 11 60	23 4 33.6	— — —	
3	— 0 38 38	8 47 3 30	23 5 24.5	8 47 13 26	19 14 51.0	0 42 5	
4	— 0 38 0	8 51 15 00	23 6 38.5	8 50 46 56	17 4 54.8	1 38 0	
5	— 0 37 23	8 55 19 00	23 8 52.6	8 55 49 53	14 54 45.8	2 32 0	
6	— 0 36 43	8 59 39 54	23 11 45.3	9 0 31 55	11 11 40.8	3 25 0	
7	— 0 36 00	9 3 59 45	23 15 42.3	9 5 36 57	7 50 50.5	4 16 0	
8	— 0 35 13	9 7 39 33	23 19 57.8	9 10 4 56	5 42 38.8	5 0 0	
9	— 0 34 22	9 11 43 12	23 24 26.3	9 15 49 44	— 1 14 58.8	5 40 0	
10	— 0 33 27	9 16 09 51	23 29 38.4	9 20 55 11	— 8 26 3.8	6 10 0	
11	— 0 32 30	9 20 49 55	23 35 45.8	9 26 02 40	10 35 50.3	7 45 0	
12	— 0 31 30	9 25 5 12	23 3 45.4	9 31 10 31	16 8 42.8	8 38 0	
13	— 0 30 36	9 30 4 30	23 54 28.9	9 36 18 00	18 51 18.4	9 30 0	
14	— 0 29 40	9 35 7 45	23 63 20.3	9 41 25 37	19 58 13.7	10 35 0	
15	— 0 28 43	9 40 11 00	23 52 52.4	9 46 32 55	19 4 44.1	11 39 0	
16	— 0 27 45	9 45 34 45	23 37 8.0	9 51 39 44	19 33 45.4	12 39 0	
17	— 0 26 45	9 50 38 51	23 17 18.0	9 56 45 51	19 59 32.8	13 34 0	
18	— 0 25 43	9 55 27 46	23 7 3.0	10 1 51 44	19 33 37.4	14 3 0	
19	— 0 24 39	10 0 0 00	22 57 19.3	10 7 57 13	18 38 24.0	15 45 0	
20	— 0 23 33	10 5 38 11	22 45 38.3	10 14 30 73	17 55 56.1	16 55 0	
21	— 0 22 25	10 11 59 15	22 34 15.3	10 21 4 40	17 33 37.9	17 59 0	
22	— 0 21 15	10 18 44	22 22 47.5	10 27 58 55	— 0 58 31.1	18 58 0	
23	— 0 20 03	10 25 37 00	22 10 51.7	1 12 53 00	+ 3 53 23.5	19 45 0	
24	— 0 18 50	10 32 38 00	21 58 34.8	1 19 55 51	7 16 5.4	19 30 0	
25	— 0 17 35	10 39 37 30	21 45 59.8	1 26 58 55	10 46 40.7	19 15 0	
26	— 0 16 20	10 46 35 00	21 33 1.3	1 34 0 44	14 48 51.6	19 00 0	
27	— 0 15 03	10 53 7 33	21 19 40.7	1 41 1 44	18 19 42.5	18 45 0	
28	— 0 13 45	10 59 5 45	21 6 58.4	1 48 2 57	21 1 17.5	18 30 0	
29	— 0 12 25	11 6 10 33	20 53 29.4	1 55 3 48	23 57 53.5	18 24 0	
30	— 0 11 03	11 12 59 24	20 40 3.5	2 2 4 59	26 56 0.0	18 19 0	
31	— 0 9 39	11 20 48 47	+20 53 53.8	2 9 55 46	+12 48 56.0	— — —	





Planetenkonstellationen 1908.

Tag	h. m. s.	Tag	h. m. s.	Merker in größter nördlicher Heliozentrischer Distanz
— 0	0	7	0	Sonne im Apogäum
— 1	0	8	0	Merkur in Konjunktion mit dem Monde
— 4	0	11	0	Venus in Konjunktion mit Jupiter. Venus 2° 30' süd
— 5	0	12	0	Venus in größter nördlicher Heliocentrischen Distanz
— 10	0	17	0	Mars in Konjunktion mit dem Monde
— 18	0	25	0	Venus in Konjunktion mit 4 Tyari. Venus 1° 15' süd
— 27	0	33	0	Venus in größter nördlicher Heliozentrischen Distanz
— 29	0	35	0	Sonne in Konjunktion mit dem Monde
— 30	0	36	0	Merkur in größter nördlicher Distanz
— 31	0	38	0	Jupiter in Konjunktion mit dem Monde
— 31	0	38	0	Venus in Konjunktion mit dem Monde

Planeten: Epheemeriden.

Jahr Juli	Merkur				Jahr Juli	Mars				
	Rektascension		Declination			Rektascension		Declination		
	h	m	s	° ' "		h	m	s	° ' "	
1900	Merkur				1900	Mars				
Jul 1	5	7	28	81° 48'	Jul 1	10	10	10	10° 10'	
10	5	10	48	79° 15'	10	10	10	10° 10'		
20	5	15	10	76° 42'	20	10	10	10° 10'		
30	5	20	30	74° 10'	30	10	10	10° 10'		
Aug 10	5	25	50	71° 38'	Aug 10	10	10	10	10° 10'	
Aug 20	5	30	10	69° 05'	Aug 20	10	10	10	10° 10'	
Aug 30	5	35	30	66° 32'	Aug 30	10	10	10	10° 10'	
Sept 10	5	40	50	63° 00'	Sept 10	10	10	10	10° 10'	
Sept 20	5	45	10	60° 27'	Sept 20	10	10	10	10° 10'	
Sept 30	5	50	30	57° 54'	Sept 30	10	10	10	10° 10'	
Oct 10	5	55	50	54° 21'	Oct 10	10	10	10	10° 10'	
Oct 20	5	60	10	51° 48'	Oct 20	10	10	10	10° 10'	
Oct 30	5	65	30	49° 15'	Oct 30	10	10	10	10° 10'	
Nov 10	5	70	50	46° 42'	Nov 10	10	10	10	10° 10'	
Nov 20	5	75	10	44° 09'	Nov 20	10	10	10	10° 10'	
Nov 30	5	80	30	41° 36'	Nov 30	10	10	10	10° 10'	
Dec 10	5	85	50	39° 03'	Dec 10	10	10	10	10° 10'	
Dec 20	5	90	10	36° 30'	Dec 20	10	10	10	10° 10'	
Dec 30	5	95	30	33° 57'	Dec 30	10	10	10	10° 10'	
Jan 10	5	100	50	31° 24'	Jan 10	10	10	10	10° 10'	
Jan 20	5	105	10	28° 51'	Jan 20	10	10	10	10° 10'	
Jan 30	5	110	30	26° 18'	Jan 30	10	10	10	10° 10'	
Feb 10	5	115	50	23° 45'	Feb 10	10	10	10	10° 10'	
Feb 20	5	120	10	21° 12'	Feb 20	10	10	10	10° 10'	
Feb 30	5	125	30	18° 39'	Feb 30	10	10	10	10° 10'	
Mar 10	5	130	50	16° 06'	Mar 10	10	10	10	10° 10'	
Mar 20	5	135	10	13° 33'	Mar 20	10	10	10	10° 10'	
Mar 30	5	140	30	10° 00'	Mar 30	10	10	10	10° 10'	
Apr 10	5	145	50	7° 27'	Apr 10	10	10	10	10° 10'	
Apr 20	5	150	10	4° 54'	Apr 20	10	10	10	10° 10'	
Apr 30	5	155	30	2° 21'	Apr 30	10	10	10	10° 10'	
May 10	5	160	50	0° 48'	May 10	10	10	10	10° 10'	
May 20	5	165	10	0° 25'	May 20	10	10	10	10° 10'	
May 30	5	170	30	0° 02'	May 30	10	10	10	10° 10'	
Jun 10	5	175	50	0° 39'	Jun 10	10	10	10	10° 10'	
Jun 20	5	180	10	1° 06'	Jun 20	10	10	10	10° 10'	
Jun 30	5	185	30	1° 33'	Jun 30	10	10	10	10° 10'	
Jul 10	5	190	50	2° 00'	Jul 10	10	10	10	10° 10'	
Jul 20	5	195	10	2° 27'	Jul 20	10	10	10	10° 10'	
Jul 30	5	200	30	2° 54'	Jul 30	10	10	10	10° 10'	
Aug 10	5	205	50	3° 21'	Aug 10	10	10	10	10° 10'	
Aug 20	5	210	10	3° 48'	Aug 20	10	10	10	10° 10'	
Aug 30	5	215	30	4° 15'	Aug 30	10	10	10	10° 10'	
Sept 10	5	220	50	4° 42'	Sept 10	10	10	10	10° 10'	
Sept 20	5	225	10	5° 09'	Sept 20	10	10	10	10° 10'	
Sept 30	5	230	30	5° 36'	Sept 30	10	10	10	10° 10'	
Oct 10	5	235	50	6° 03'	Oct 10	10	10	10	10° 10'	
Oct 20	5	240	10	6° 30'	Oct 20	10	10	10	10° 10'	
Oct 30	5	245	30	6° 57'	Oct 30	10	10	10	10° 10'	
Nov 10	5	250	50	7° 24'	Nov 10	10	10	10	10° 10'	
Nov 20	5	255	10	7° 51'	Nov 20	10	10	10	10° 10'	
Nov 30	5	260	30	8° 18'	Nov 30	10	10	10	10° 10'	
Dec 10	5	265	50	8° 45'	Dec 10	10	10	10	10° 10'	
Dec 20	5	270	10	9° 12'	Dec 20	10	10	10	10° 10'	
Dec 30	5	275	30	9° 39'	Dec 30	10	10	10	10° 10'	
Jan 10	5	280	50	10° 06'	Jan 10	10	10	10	10° 10'	
Jan 20	5	285	10	10° 33'	Jan 20	10	10	10	10° 10'	
Jan 30	5	290	30	11° 00'	Jan 30	10	10	10	10° 10'	
Feb 10	5	295	50	11° 27'	Feb 10	10	10	10	10° 10'	
Feb 20	5	300	10	11° 54'	Feb 20	10	10	10	10° 10'	
Feb 30	5	305	30	12° 21'	Feb 30	10	10	10	10° 10'	
Mar 10	5	310	50	12° 48'	Mar 10	10	10	10	10° 10'	
Mar 20	5	315	10	13° 15'	Mar 20	10	10	10	10° 10'	
Mar 30	5	320	30	13° 42'	Mar 30	10	10	10	10° 10'	
Apr 10	5	325	50	14° 09'	Apr 10	10	10	10	10° 10'	
Apr 20	5	330	10	14° 36'	Apr 20	10	10	10	10° 10'	
Apr 30	5	335	30	15° 03'	Apr 30	10	10	10	10° 10'	
May 10	5	340	50	15° 30'	May 10	10	10	10	10° 10'	
May 20	5	345	10	15° 57'	May 20	10	10	10	10° 10'	
May 30	5	350	30	16° 24'	May 30	10	10	10	10° 10'	
Jun 10	5	355	50	16° 51'	Jun 10	10	10	10	10° 10'	
Jun 20	5	360	10	17° 18'	Jun 20	10	10	10	10° 10'	
Jun 30	5	365	30	17° 45'	Jun 30	10	10	10	10° 10'	
Jul 10	5	370	50	18° 12'	Jul 10	10	10	10	10° 10'	
Jul 20	5	375	10	18° 39'	Jul 20	10	10	10	10° 10'	
Jul 30	5	380	30	19° 06'	Jul 30	10	10	10	10° 10'	
Aug 10	5	385	50	19° 33'	Aug 10	10	10	10	10° 10'	
Aug 20	5	390	10	20° 00'	Aug 20	10	10	10	10° 10'	
Aug 30	5	395	30	20° 27'	Aug 30	10	10	10	10° 10'	
Sept 10	5	400	50	20° 54'	Sept 10	10	10	10	10° 10'	
Sept 20	5	405	10	21° 21'	Sept 20	10	10	10	10° 10'	
Sept 30	5	410	30	21° 48'	Sept 30	10	10	10	10° 10'	
Oct 10	5	415	50	22° 15'	Oct 10	10	10	10	10° 10'	
Oct 20	5	420	10	22° 42'	Oct 20	10	10	10	10° 10'	
Oct 30	5	425	30	23° 09'	Oct 30	10	10	10	10° 10'	
Nov 10	5	430	50	23° 36'	Nov 10	10	10	10	10° 10'	
Nov 20	5	435	10	24° 03'	Nov 20	10	10	10	10° 10'	
Nov 30	5	440	30	24° 30'	Nov 30	10	10	10	10° 10'	
Dec 10	5	445	50	24° 57'	Dec 10	10	10	10	10° 10'	
Dec 20	5	450	10	25° 24'	Dec 20	10	10	10	10° 10'	
Dec 30	5	455	30	25° 51'	Dec 30	10	10	10	10° 10'	
Jan 10	5	460	50	26° 18'	Jan 10	10	10	10	10° 10'	
Jan 20	5	465	10	26° 45'	Jan 20	10	10	10	10° 10'	
Jan 30	5	470	30	27° 12'	Jan 30	10	10	10	10° 10'	
Feb 10	5	475	50	27° 39'	Feb 10	10	10	10	10° 10'	
Feb 20	5	480	10	28° 06'	Feb 20	10	10	10	10° 10'	
Feb 30	5	485	30	28° 33'	Feb 30	10	10	10	10° 10'	
Mar 10	5	490	50	29° 00'	Mar 10	10	10	10	10° 10'	
Mar 20	5	495	10	29° 27'	Mar 20	10	10	10	10° 10'	
Mar 30	5	500	30	29° 54'	Mar 30	10	10	10	10° 10'	
Apr 10	5	505	50	30° 21'	Apr 10	10	10	10	10° 10'	
Apr 20	5	510	10	30° 48'	Apr 20	10	10	10	10° 10'	
Apr 30	5	515	30	31° 15'	Apr 30	10	10	10	10° 10'	
May 10	5	520	50	31° 42'	May 10	10	10	10	10° 10'	
May 20	5	525	10	32° 09'	May 20	10	10	10	10° 10'	
May 30	5	530	30	32° 36'	May 30	10	10	10	10° 10'	
Jun 10	5	535	50	33° 03'	Jun 10	10	10	10	10° 10'	
Jun 20	5	540	10	33° 30'	Jun 20	10	10	10	10° 10'	
Jun 30	5	545	30	33° 57'	Jun 30	10	10	10	10° 10'	
Jul 10	5	550	50	34° 24'	Jul 10	10	10	10	10° 10'	
Jul 20	5	555	10	34° 51'	Jul 20	10	10	10	10° 10'	
Jul 30	5	560	30	35° 18'	Jul 30	10	10	10	10° 10'	
Aug 10	5	565	50	35° 45'	Aug 10	10	10	10	10° 10'	
Aug 20	5	570	10	36° 12'	Aug 20	10	10	10	10° 10'	
Aug 30	5	575	30	36° 39'	Aug 30	10	10	10	10° 10'	
Sept 10	5	580	50	37° 06'	Sept 10	10	10	10	10° 10'	
Sept 20	5	585	10	37° 33'	Sept 20	10	10	10	10° 10'	
Sept 30	5	590	30	38° 00'	Sept 30	10	10	10	10° 10'	
Oct 10	5	595	50	38° 27'	Oct 10	10	10	10	10° 10'	
Oct 20	5	600	10	38° 54'	Oct 20	10	10	10	10° 10'	
Oct 30	5	605	30	39° 21'	Oct 30	10	10	10	10° 10'	
Nov 10	5	610	50	39° 48'	Nov 10	10	10	10	10° 10'	
Nov 20	5	615	10	40° 15'	Nov 20	10	10	10	10° 10'	
Nov 30	5	620	30	40° 42'	Nov 30	10	10	10	10° 10'	
Dec 10	5	625	50	41° 09'	Dec 10	10	10	10	10° 10'	
Dec 20	5	630	10	41° 36'	Dec 20	10	10	10	10° 10'	
Dec 30	5	635	30	42° 03'	Dec 30	10	10	10	10° 10'	
Jan 10	5	640	50	42° 30'	Jan 10	10	10	10	10° 10'	
Jan 20	5	645	10	42° 57'	Jan 20	10	10	10	10° 10'	
Jan 30	5	650	30	43° 24'	Jan 30	10	10	10	10° 10'	
Feb 10	5	655	50	43° 51'	Feb 10	10	10	10	10° 10'	
Feb 20	5	660	10	44° 18'	Feb 20	10	10	10	10° 10'	
Feb 30	5	665	30	44° 45'	Feb 30	10	10	10	10° 10'	
Mar 10	5	670	50	45° 12'	Mar 10	10	10	10	10° 10'	
Mar 20	5	675	10	45° 39'	Mar 20	10	10	10	10° 10'	
Mar 30	5									

Stellungen der Jupitermonde im Juli 1906.

I.	d		III.	d	
II.	d		IV.	Keine Daten	 Vorüberweg Mondes.

Stellungen am 24^{te} für den mittl. im astronomischen Paradies.

Tag	West		Östl.
1		1, 2, 3, 4, 5, 6, 7, 8, 9, 10, 11, 12, 13, 14, 15, 16, 17, 18, 19, 20, 21, 22, 23, 24, 25, 26, 27, 28, 29, 30, 31	
2			
3			
4			
5			
6			
7			
8			
9			
10			
11			
12			
13			
14			
15			
16			
17			
18			
19			
20			
21			
22			
23			
24			
25			
26			
27			
28			
29			
30			
31			

Ercheinungen der Jupitermonde. Die stündlichen Angaben über die Ercheinungen der Jupitermonde beziehen sich auf mittlere Zeit von Greenwich. Die Zeiten sind der Reihenfolge ihrer Abstände vom Jupiter nach mit I bis IV bezeichnet. Die vier größten Figuren zeigen die Stellung jedes Mondes mit Bezug auf den Jupiter bei dem Augenblick der Verhinderung (2) oder des Wiedererscheinens (2) bei 1 nicht angegeben, so kann der Antritt aus dem Schatten nicht beobachtet werden. Finer bedeutet bei den nachfolgenden Zeitangaben.

Ca D der Verschwinden des Trabanten aus Schatten des Jupiter.

Ca H den Antritt des Trabanten aus dem Schatten des Jupiter.

Ca D den Verschwinden des Trabanten hinter der Jupiterschale.

Ca E den Wiederautreten desselben neben der Jupiterschale.

Tr I den Eintritt des Trabanten vor der Jupiterschale.

Tr E den Antritt des Trabanten aus der Jupiterschale.

Sh I den Eintritt des Trabantenhinteren auf die Japiterschale.

Sh E den Antritt des Trabantenhinteren aus der Jupiterschale.

Es sind nur diejenigen Ercheinungen der Jupitermonde aufgeführt, welche sich ereignen, wenn Jupiter zu Greenwich über mitt die Sonne unter dem Horizont steht. Um die Momente dieser Ercheinungen nach mittheilsprechender Zeit zu finden, hat man nur nötig, 1) zu den angegebenen Zeitangaben zu addiren:

Juli 2. II. Ca. R. 12^h 24^m. Juli 4. II. Sh. I. 12^h 30^m. Juli 7. I. Ca. D. 12^h 40^m.
Juli 8. I. Sh. E. 12^h 30^m. I. Tr. E. 12^h 17^m. Juli 10. II. Ca. D. 12^h 37^m.
Juli 11. I. Ca. D. 12^h 30^m 30^s. Juli 12. I. Sh. I. 12^h 30^m. III. Ca. D. 12^h 32^m.
I. Tr. I. 12^h 28^m. I. Sh. E. 12^h 28^m. III. Ca. R. 12^h 10^m. Juli 13. I. Ca. R. 12^h 32^m.
Juli 14. II. Tr. I. 12^h 30^m. II. Sh. E. 12^h 31^m. II. Tr. E. 12^h 28^m. Juli 15. II. Ca. D. 12^h 33^m 40^s. III. Ca. R. 12^h 30^m 30^s. I. Sh. I. 12^h 31^m. I. Tr. I. 12^h 28^m. Juli 16. I. Ca. D. 12^h 28^m 20^s. I. Ca. R. 12^h 30^m. Juli 17. I. Tr. E. 12^h 24^m. Juli 18. II. Sh. I. 12^h 30^m. II. Tr. I. 12^h 31^m. III. Sh. E. 12^h 28^m. Juli 19. II. Ca. R. 12^h 30^m. Juli 20. I. Ca. D. 12^h 34^m 15^s. Juli 21. I. Tr. I. 12^h 30^m. I. Sh. E. 12^h 30^m. I. Tr. E. 12^h 27^m.

Stellungen der Saturnmonde. (Erklärung S. 34.)

Zeiten der helischen Oppositionen am Joh. 1905

Tethys. Juli 2. 12^h. Juli 9. 22^h 40^m. Juli 16. 22^h. Juli 23. 22^h 20^m. Juli 30. 22^h.
Juli 11. 12^h 15^m. Juli 18. 22^h. Juli 25. 22^h 40^m. Juli 31. 22^h. Juli 1. 22^h 20^m.
Juli 12. 12^h 15^m. Juli 19. 22^h 40^m. Juli 26. 22^h 20^m. Juli 31. 22^h. Juli 1. 22^h.

Mimas. Juli 2. 12^h 20^m. Juli 9. 12^h 40^m. Juli 16. 12^h. Juli 23. 12^h 20^m. Juli 30. 12^h 15^m.
Juli 11. 12^h 15^m. Juli 18. 12^h 40^m. Juli 25. 12^h 20^m. Juli 31. 12^h 15^m. Juli 1. 12^h.

Encel. Juli 2. 12^h 15^m. Juli 9. 12^h. Juli 16. 12^h 15^m. Juli 23. 12^h 15^m. Juli 30. 12^h 15^m.
Juli 11. 12^h 15^m. Juli 18. 12^h 15^m.

Titan. Juli 4. 12^h 5^m. Juli 11. 12^h 15^m. Juli 18. 12^h 15^m. Juli 25. 12^h 15^m. Juli 31. 12^h 15^m.
Juli 12. 12^h 15^m. Juli 19. 12^h 15^m. Juli 26. 12^h 15^m.

Hyperion. Juli 11. 12^h 15^m.

Cin stiller Wunsch

an manche Amateurphotographen auf der Seite einer Camera mit gutem Anschnitt, insbesondere eines Goetz Objectivs. War bisher vor der vorstehenden hohen Baringsche nachschreibende, beachte den diesem Heft beiliegenden Prospekt der Firma Stöckig & Co., Dresden, Bodenbach, Zürich. Der von dieser Firma in Handel gebrachten Umsonstern werden jetzt ausschließlich mit Anschnitt der besten optischen Anstalten Goetz, Berlin und Meyer, Göttinge ausgerüstet.



Fig. 1. *Hypoxys* and *Diadema*. D. F. 196.



Fig. 2. *Microstomatid* (species *Widmann*) and *Diadema*. D. F. 195.



Fig. 3. *Asaphites*, *Pleurotypus* and *Diapirgus*. D. F. 198.



Fig. 4. *Crinoid* B and C, *acanthoporella* *Beltracchi*. D. F. 192.

SIRIUS.

Zeitschrift für populäre Astronomie.

Centralorgan für alle Freunde und Förderer der Himmelskunde.

Herausgegeben

unter Mitwirkung hervorragender Fachmänner und sachverständiger Zeitschriften

von Prof. Dr. Hermann J. Klein in Köln.

Juni 1905.

„Wissen auf Erreuen hat der Mensch und die
Erweckung der Menschheit.“ — Kanten.

Jeden Monat 1 Heft. — Jährlich 12 Mk

Verlag von EDUARD HEINRICH HAYER in Leipzig.

INHALT: Eine Anweisung zur Ausführung astrologischer Rechnungen. Von Dr. Klein S. 144. — Die alte neue und zweite Sonnenkorrektur S. 145. — Das astronomische Bild der Mars S. 147. — Untersuchungen über die Lichtausbreitung des Lichts, S. 149. — Die verschiedenen Methoden, im Welten, (Paris Teil VI) S. 151. — Untersuchungen zur Bestimmung der letzten Sonnenkorrektur am 20. August 1905 S. 152. — Verhältnisse der Erde S. 153. — Astronomischer Kalender S. 154. — Rechnungen der Jephimonde S. 155. — Rechnungen der Jephimonde S. 156. — Rechnungen der Jephimonde S. 157.

Eine Anweisung zur Ausführung astrologischer Rechnungen.

Von Dr. Klein

Sie jüngste Zeit hat das bebilderte Schauspiel eines Wiederauflebens des alten längst beseitigten Aberglaubens der Astrologie dargestellt. Im Gefolge des Mystizismus, des Okkultismus und Spiritismus ist die Sternrechnung wieder aufgetaucht und wird von verschiedenen Seiten als einträgliche Gewerbe betrachtet. In den Tagesblättern trifft man auf Anzeigen, in welchen die Stellung des »Horoskops« angeboten wird, natürlich gegen gute Bezahlung, und einer dieser modernen Astrologen, ein gewisser Albert Kaeppel, prahlt seine Dienste noch besonders dadurch an, daß er behauptet, seine astrologischen Prognostiken beruhen auf einem vollkommenen System! Ein anderer »Astrolog«, Namens Georg Wilde, hat es

schon 1900 astrologisch herausgefunden, daß besonders der Kaiser von Rußland für die nächsten Jahre (1904) wird speziell genannt auf viel Glück und Erfolg rechnen können, sein Ansehen werde wachsen, und der Selbstmörder in der News werde auch ein wissenschaftliches Unternehmen, wahrscheinlich eine literarische Arbeit, bekommen! In welchem Grade diese astrologische Prognose richtig eingeht, sei, wird heute jeder. Aber im Jahre 1902 hat die akademische Schriftsteller seine Lehren mit dem Worte empfohlen: »Um kommt es nur darauf an, auf die ungeliebte Wirklichkeit der-zeitigen Arbeiter hinzuweisen. Der Schlüssel zur Beherrschung unserer Schicksale liegt in unsern Händen,

wenn wir die verursachenden Triebkräfte kennen. Deshalb studiert Astrologie!» Als Herr A. Knepf sein «verbessertes System» der Astrologie dem Publikum «eingeweiht» hatte, ich die Behauptung aufstellte, man könne das Welt-darum sagbaren, daß die «Verbesserung» hauptsächlich darin bestünde, daß die karmatischen Rechnungen, welche die alten Astrologen ihrem Publikum wenigstens noch nagende legten, bei Herrn neu entstandenen Nachfolger fehlten, weil er sie nicht ausführen könne, d. h. mit andere Worten, weil dieses Herrn selbst die Kenntnis der elementaren Trigonometrie abging. Diese Behauptung hatte Herr Knepf zu seiner Entgegnung veranlaßt, in der er das Bureau betonte wollte, daß er doch imstande sei, jene karmatischen Rechnungen der alten Astrologen auszuführen und eine trigonometrische Formel zu benutzen. Man möchte hierauf glauben, er werde ein beliebiges Beispiel aufstellen und durchrechnen, wie man solchen bei den alten Astrologen beobachtet findet. Statt dessen erging sich der moderne Astrologe in einem Colloquium, der so erheiternd ist, daß ich ihn auch hier ausführlich anführen will. Herr Knepf schreibt: «Da in dem von Wille angegebenen, sehr ausreichenden Disquisition zum Ausdruck kommende Methode ist einfach in den rechnerischen Beweislagen, so ist der Gedankengang nach den Ephemeriden im Zodiak nach dem Prinzip, daß man so viel Tage und Stunden in den Ephemeriden verteilt, als Jahre und Monate verlossen sind. Dabei kann man nicht gut errn und beschränkt sich nur die geistliche Gehörtheit, nicht die Klarheit des Hirns auf die Minute. Aber dieses Verfahren ist ungenügend und ganz Nickhaft, weil es die sehr wichtigen Periodendiskussionen außer acht läßt, die aber leider das Kern der Nebelastrologie bilden, weil sie nur trigonometrisch berechnet werden können, die Reklamationen in sich schließen und sehr schreibbare Zeilen und

viele Mäße erfordern. Im Horoskop des Zaren wara im zweiten Verfalljahr 1908 die sehr seltene und ausgedehnte «karmatische» Präzessionsknoten gleichmäßig in Wirkung: «Max Parallel Sonnen und «Mont Parallel Mars» im Bogenwert von 32° bis 32° 18' über, und den karmatischen den Krieg in China. Das Maß ist 1° = 1 Lebensjahr, 1880 + 32 = 1908. Der Karm selbst aus weisheit seine «Welle», ich sei, die karmatischen Rechnungen der alten Astrologen zu machen, aufstehende, zerbröck. Er würde es gleich verfahren.»

Die völlige Unwissenheit des Herrn Knepf auch in den ältesten Aufhängen der astronomischen Rechnungen, wiegen gemäß dem vorstehenden auf der Hand, und mit Herrn Wille ist es nicht anders. Ich bin hier nur näher auf diese neu entstandenen «Astrologie» eingegangen, um zu zeigen, daß denselben nicht einmal die karmatischen Rechnungen der alten Astrologen ausführen und ausführen können, sondern sich statt deren einfach auf aus der Luft gegriffene Regeln berufen und aus ihrer Hand weghängen. Jetzt ist aus ein Buch erschienen: «Mathematisch-physikalisches Lehrbuch der Astrologie (Stundentafel zur Überarbeit)», das nach den Absichten seines Verfassers, Karl Bräuer-Praet, «streng, wissenschaftlicher Stand der Wissenschaft zu weitem Fortschritt und Fortschritt anregen soll». Dieses Buch enthält in einem besonderen Abschnitt die rechnerische Technik der alten Astrologie, d. h. die Formeln, nach denen die karmatischen astrologischen Prophezeiungen erforderlichen Schichten der Planeten berechnet werden können. Dieser Teil des Buches ist möglichst populär gehalten, aber fastlich doch für Leute, die wie Herr Knepf keine trigonometrische Formel rechnerisch anwenden können, noch zu hoch. Deshalb sagt die Verlagsbuchhandlung §) am Schluß des Buches: «Wer ein Horoskop zu stellen wünscht, der damit verbunden rechnerische Mäße aber nicht anwenden kann oder will, mag sich an den Verfasser,

dessen Adresse in der Verlagsbuchhandlung zu erfahren ist, wenden. Derselbe ist jedoch bereit, die obigen Beschreibungen zu stellen, so daß dem Auftraggeber nur die Mühe der Diversion (Auslegung) bleibt.

Es bedarf auch für den Leser keinen Zweifel, daß die Anwendung mathematischer Formeln zur Berechnung der Planetenstände vom 16. zum gewöhnlichen Zeitpunkt, durch die Nichtigkeit und absolute Torheit der Grundlagen der Astrologie nicht zulässig. Diese ist selbstverständlich, wenn auch nicht für den Verfasser Brander-Peschl des obigen Buches. Derselbe sagt sogar, ein mehrjähriges wissenschaftliches Studium sei ein ganzes Meeres von glücklichen, mit den Thesen vollständig übereinstimmenden Prozessen, habe ihm die Übersetzung beigebracht, »daß die Astrologie die ihr von der Wissenschaft angedehnte Schikalee anstandslos verdient, da sie weder auf Schlußfolgerung beruht, noch es nötig hat, ihre »berechneten« Vorzeichen vom bewiesenen Nutzen zu zwingen. Jedes, der sich eingehend mit dieser Wissenschaft befaßt hat und gewohnt ist, der Wahrheit immer die Ehre zu geben, wird es obigen Schlüsse zustimmen.«

Man sollte man meinen, der Verfasser müsse sich vor allem befleißigen, die Erfahrungsthatsachen anzuführen, auf denen angeblich die astrologischen Schlußfolgerungen beruhen; er werde sagen, wo, wann und von wem z. B. festgestellt wurde, daß der zur Zeit der Opposition vom Monde und Saturn Obersee und von Erdbeben herrührende Krankheiten und viel Unglück in Italien haben werde; oder von wem nachgewiesen ist, daß, wenn die Sonne in Konjunktion mit Venus nicht am Tage der Geburt eines Kindes, diese Konstellation für das Vater dasselbe Glück bedeute. Statt dessen sagt der Verfasser einfach: »Die Astrologie fußt auf feststehenden Regeln, welche dadurch entstanden sind, daß man seit alters her bei auffallenden Himmelserscheinungen

auf gleichzeitige Naturerscheinungen auf der Erde, oder auf gleichzeitige politische Vorgänge im Leben einzelner Völker, sowie persönliche Ereignisse im Leben von besonders hervorragenden Personen, Fürstlichkeiten usw. aufmerksam wurde, diese Ereignisse und Erscheinungen mit den Himmelserscheinungen in Verbindung brachte und allgemein aufzeichnete. Die so entstandenen Beobachtungen wurden, da sie sich wiederholten, zu festen Regeln, welche durch die mehrtausendjährige Erfahrung ihre unbestreitbare Richtigkeit erweisen. Schon vielfach wurde es versucht, eine Begründung des Zusammenhanges der Coelestia mit den Schicksalen der Erdbewohner anzugeben, und fast jeder große Astronom hatte sich darüber eine eigene Meinung. Es muß an dieser Stelle zugestanden werden, daß es nicht leicht sein dürfte zu erklären, wie es kommt, daß die Stellung des Mondes die Gesundheit beeinflussen können, die dem unbewußten Menschen beugen und wunderthätigen Charakter werden, daß der Mars Kriegswuth, der Saturn Trägheit und Schwerfälligkeit mache. Indessen wurden diese Regeln durch mehrere Jahrtausende als richtig erprobt und somit zur Gewißheit.«

Das Letztere ist es nun aber, was ganz und gar bestritten wird. Die astrologischen Regeln stützen sich nicht auf nachweisbare statistische Beobachtungen, sie sind auch nicht durch die Jahrhunderte als richtig erprobt und dadurch zur Gewißheit geworden. Der Verf. führt eine lange Reihe von Astrologen auf, aber diese gehören dem Alterthum und Mittelalter an bis zum Aufblühen der modernen astronomischen Wissenschaft. Was kann es aber regiments der Astrologie bedeuten, daß der heiligsprechende Albrecht Magnus behauptete, oder daß Kaiser Friedrich II. ihr sehr zugewogen war oder Ludwig XI von Frankreich? Hieronymus Cardanus war auch ein ehrlicher Astrologe und nebenbei ein großer Lügner und Schwärmer, woraus schon, darüber habe die französische

Verhältnisse mit einer Scherzschalkens-
schaft vorangesagt? Am liebsten be-
ruhen sich die Anhänger der Sternzauberei
auf Kepler, und auch Brauer-
Prachtzucht: «Die wichtigste Astrologie war
Johannes Kepler, von welchem sich
Wallerstein, als er noch ein junger,
unberufener Edelmann war, vom
Horoskop stellen ließ, und der ihm da-
mit schon seine spätere Macht pro-
phetsagte. Wenn man sich nach von
wissenschaftlicher Seite aus gegenwärtig
sehr viel Mühe gibt, Kepler als Zusage-
astrologen zu erklären, der nur durch
seine Verhältnisse bestimmt die Astro-
logie gewöhnlich wählte, ja ihn sogar
als Gegner der Astrologie aufstellen
will, so erweist man ihm eigentlich da-
durch schmerzhaft einen Danks. Kepler
schien nur gegen den Mißbrauch dieser
Kunst, konnte aber doch nicht so
charakterlos sein, die Astrologie prin-
zipiell zu bekämpfen und sie doch ge-
werbend zu verurtheilen.»

Es ist gar keinem Zweifel unter-
worfen, daß Kepler im Anfang seiner
öffentlichen Thätigkeit dem astrologischen
Abglauben holdwar, aber er hat sich
nach und nach von dem Wahn, daß
die Gestirne der Menschen Schicksale
bestimmen, befreit, und nach und nach
seiner astrologischen Irrthümer, wozu
wegen seiner astronomischen Ent-
deckungen im Kepler unendlich ge-
worden.

Der Verfasser meint: «So sehr gegen
die Astrologie gerichtet wird, so sehr man
versucht, denselben als Schwendel oder
Schalkzucht zu brandmarken, so wenig
gelingt dies, da fast jeder besser Astro-
loge als hochbedeutendes Tatsachenmaterial
im Feld zu führen hat. Es ist ja nicht
abzuleugnen, daß sich unter den ge-
wöhnlichsten Astrologen viele glänzend
unterrichtete, seltene Personen find
machen, welche ohne jede rechnerische
Hilfe nach irgend einer tabellarischen
oder tabellarischen Methode die Zukunft
entziffern wollen.

Wenn solche glatte Wahnsinnig-
keiten mit dem Wandel der Astrologie,
in die Welt trat, kann man sich freilich
nicht wundern, daß die Gegnerschaft
an wissenschaftlichen Kreisen aus so
große ist, welche so gerne die Astro-
logie auf gleiche Stufe mit dem Karto-
legen stellen möchte, ohne zu wissen,
daß die praktische Ausübung der schies
Astrologie unbedingt einige mathema-
tisches und astronomisches Wissen
verlangt.»

Inzwischen gibt er bezüglich der
Astrologie doch zu, daß auch das öffentliche
Menschen zu beschuldigen an. Denn
da man einen richtig berechneten Horo-
oskop nach der geistigen und moralischen
Qualitäten eines Menschen zu richten
wisse, so wäre es z. B. bei einem Kinde,
dessen Horoskop man stellt, sehr leicht
möglich, die vertheidigt dann geschäftlichen
schlechten Anlagen frühzeitig genug
unterdrücken zu können. Man dürfe
als glauben, daß die Astrologie an un-
wissenschaftliches Fatale perfide will; ein
sehr belangswürdiger Satz der Astro-
logie herbei.

«Die Sterne machen nur gödte,
aber sie zwingen nicht.»

Der Geist müsse sich seinen Gestirns-
entzifferungen, denen er durch seine
eigene freie Erkenntnisthätigkeit entgegen-
setzt, dadurch erweisen, daß er sich entgegen-
setze aus seiner Niedrigkeit, nach und nach
von allen irdischen Schicksalen, die
gesungen Gesetze der Welt erkennen
wird und somit sich ein besseres Schicksal
zu schenken, als es ihm die Gestirns-
entzifferungen bei seiner Geburt ver-
sprochen habe. Platon ergehe sich
die zweite schöne Regel, die da lautet:

«Die Gestirne beherrschen das Schicksal,
die Wissenschaft aber regiert die Sterne.»

Damit ist man Brauer-Prachtzucht dem
abköchlich aus dem Gebiete der Wissen-
schaft heraus und übergeben auf die
Götter der Poesie und Allegorie, wo
jeder sein Räthsel tummelt, wie er kann
und mag.

erschließungen, entsprach im engsten Sinne dem Grade als die alte den physikalischen Anschauungen, so daß es als die älteste richtige angenommen wurde infolgedessen die vorübergehende ist. Inzwischen sind allmählich Bedenken gegen ihre Richtigkeit aufgelaufen und diese hat zuerst Prof. A. Schmidt (Süßgart) in einer neuen Sonnentheorie zu besorgen versucht.¹⁾ Nach dieser bildet die Sonne einen ungeheuren glühenden Gasball, dessen Dichte vom Zentrum nach außen hin allmählich abnimmt, ohne daß das bestimmte Grenz-erkennbar wäre. Die scharf begrenzte Gestalt der Sonnenscheibe ist nur eine optische Täuschung, die Wirkung der Strahlenbrechung, indem die von den tieferen, inneren Schichten der Sonne stehenden, braunlich-gelblichen Lichtstrahlen sich für die Beobachtung auf der Erde in eine kreisförmige Zone zusammenziehen und einen scharfen Rand vorlauchen, der in Wirklichkeit gar nicht existiert. Dieser Theorie hat Prof. Jeline eine Ergänzung gegeben²⁾ dadurch, daß er die Schwärzungen herausgibt, welche die ungeheuer großen Geschwindigkeiten der Protuberanzbewegungen entsprechend darüber. Gemäß den Entwicklungen von Professor Jeline ist das Aufgehen der Protuberanzen eine optische Täuschung, diese Gebilde sind nichts anderes als die durch atomare Lichtströmung sichtbar werdenden Teile von Wirbeln oder Wellen im gekörnten Sonnenmeer. Wenn eine Protuberanz aufzusteigen scheint, so bedeutet damit nur, daß die Bewegung sich in verschiedenen Stufen

nacheinander zeigt. Die selben, den sichtbaren Sonnenscheibe äußeren Punkte werden nach Ausrichtung der in den Wirbeln bestehenden Strömungsrichtungen wiederum unsichtbar, höher Teile, wo die Wirbelung im allgemeinen später eintritt, heben sich, und weil es also nicht die oberste Materie ist, welche man in den schimmernden Grenzen der Fluten einer Protuberanz erblickt, sondern innerer andere Teile der Gasmasse durch atomare Dispersion sichtbar werden, findet gar kein Ausbilden der glühenden Materie mit der unvergleichbar vorwärtigen großen Geschwindigkeit statt. Diese Theorie hat nun verschiedene Stellen in Versuchen gefunden, welche anfangs E. Frenkelius in der Physikalischen Gesellschaft zu Berlin vorführte, und worüber im vorigen Hefte des *Sonnens* (S. 88) berichtet worden ist. In den Kreisen der Astronomie ist die Schmidt-Jeline'sche Sonnentheorie, wie bemerkt, noch nicht zur allgemeinen Annahme gelangt, insofern ist es wahrscheinlich, daß sie über kurz oder lang widerlegt wird, denn physikalisch ist sie offenbar die am besten begründete.

Wie groß aber der Fortschritt der Erkenntnis auf diesem Gebiete während eines Jahrhunderts von kaum mehr als einem halben Jahrhundert war, erkennt man am besten aus der Gegenüberstellung der zu Anfang und Ende dieser Zeitspanne als begründet angesehenen Vorstellungen von der Beschaffenheit der Sonne! Damals die Annahme, daß die Sonne ein leeres, dunkles Weltkörper sei, umgeben von einer welligen, braunen Hülle, gegenwärtig die Theorie eines glühend-gekörnigten Sonnenballes, nach unten ohne bestimmte Begrenzung sich vordrängend und nur scheinbar optischer Täuschung eine scharf umrissene Scheibe zeigend. S

¹⁾ Vgl. *Berliner Stern* 1902 S. 73, 1902 S. 95, 1904 S. 108.

²⁾ *Stern* 1902 S. 26, 1903 S. 31, 140.

nach Gerdtl ebenfalls über das wahr-
scheinliche Detail der Marsoberfläche
ausgesprochen und seine frühere Be-
hauptung noch entschieden verteidigt.
»Zehn Jahre, während denen ich des
Mars beobachte,« so schreibt er, »haben
mich davon überzeugt, daß die Studien
der Marsfläche ebenso sehr die phy-
siologische Optik als die Astronomie in-
teressiert und für beide Wissenschaften
ein gemeinsames Arbeitsfeld darstellt.
Man wird man bald in glänzende Be-
obachtungsergebnisse für uns kommen und
Phantasien wie Astronomie sollten
sich verfliegen über zu studieren. Es
würde ein Irrtum sein, zu glauben, daß
solche Studien erfolgreich nur in sehr
glänzigen Klimaten und mit besonders
großer Instrumenten ausgestattet wären.
Diese Bedingungen werden erst erforder-
lich in Zukunft, nachdem in der Mars-
beobachtung das ganze physiologische
Element erkannt ist, welches sie gegen-
wärtig besitzt, und die Mittel erkannt
sind, dessen Einfluß auszuschließen.
Aber gegenwärtig, wo es sich zunächst
daran handelt, diese physiologischen
Einflüsse erst kennen zu lernen und
ihren wahren Wert zu bestimmen, ist
jedes Instrument und jeder Luftzustand
verwendbar, sowohl solche Marsatmo-
sphäre, Fläche und der Marsfläche
zu zeigen. Das Fehlen von gewöhn-
lichen Disziplinieren, die nötig glänzigen
Klima, lassen größere Annäherungen
von Flächen erlauben, ein mächtiges
Formen und besser atmosphärische
Verhältnisse zeigen können und kleinen
Flächenverhältnissen, aber diese sind
nur eine Entlastung der größten auf
größerer Maßstäbe und unterliegen der
gleichen Gesetzen in Bezug auf Gestalt-
ung und Verkleinerung. So ist es mög-
lich, diese Gesetze zu einem wie in
anderen Fällen zu studieren. Jedemal,
wenn ich den Mars beobachte, habe
ich einen kleinen Kissen und selbst an
den wichtig auf Detail anderer Bildern
habe ich den physiologischen Vorgang,

welcher die Bildung desselben regelt,
studiert können, je besser offenbar
sich bei den astronomischen Bildern
zeigen desselben. Nachdem das einmal
erkannt war, ich ich das ganze Gesicht
der Bildungen zusammenbrechen,
welches die Marsbeobachtung ermöglicht
haben, lediglich auf das unmittelbar
Zugewandte ihrer Augen hin und ich bin
zu der Überzeugung gekommen, daß
wir gegenwärtig die wahre Gestalt, die
einfachste Form der Flächen des Mars
noch gar nicht kennen. Alles, was wir
wissen besteht darin, daß diese Fläche
höflicher in gewissen Teilen der Mars-
oberfläche existieren als in anderen. Die
bestimmten Marsatmosphären Schup-
pen zeigen nicht die wahre Fläche
des Mars, sondern nur die Maske ihrer
Vorrichtung. Aber, wenn die astronomi-
sche Seite des Problems durch diesen
Nachweis verliert, so gewinnt dagegen
die physiologische sehr viel. Das ganze
moderne Marsbeobachtung können wir
nun vor wie ein wunderbares, phy-
siologisches Kapitel, welches man behan-
deln sollte als »die wahrende Wahr-
nehmung, d. h. die Wahrnehmung von
Dingen, die auf der Grenze der Sicht-
barkeit liegen und folglich unbekannt
werden, die aber das Auge weiter
eine bestimmte Gestalt zu zeigen sich
bereitet.« Schon 1896 hat Gerdtl,
seiner Ansicht nach, den ersten Vor-
schritt gemacht, daß in dem Felde des
Mars gewisse subjektive Elemente an-
halten seien und dieser Verdacht hat
ihn weiter geführt zu Studien über die
Beziehungen, welche stattfinden zwischen
dem ersten vorwärtigen Bild: des Mars
bei Beginn der mikroskopischen Betrach-
tung und dem definitiven Bild, welches
sich später einstellt, mehr oder weniger
nach, je nach der Erfahrung, welche
das Auge in der Betrachtung der Mars-
scheibe gewinnt. In der Verfolgung
dieser Studien ist Gerdtl sich darüber
klar geworden, wie sich die Frage ver-
hält, was aus unbekannten Einflüssen
eine bestimmte Gestalt zu bilden. »An
Stelle einer Gruppe von sehr schwachen

Flecken kommt es dazu, einen einzigen und wohl definierten Fleck zu sehen und um diesen zu kreiseln, begnügt es sich nicht damit, die Zwischenräume zwischen einem und dem andern Fleck zu unterdrücken, was wenig bedauern würde, sondern es geht sogar zu einer falschen Operation über: Es wählt die Intensitäten aller Flecke einer Gruppe und lokalisiert die Maximummaxima-Summe in einem gewissen Zentrum. Der so entstandene Komplex ist eine Fleck-erschöpfung in einem Punkte, welcher keine physikalische Bedeutung in der wirklichen Flecke der Gruppe hat und man sich selbst außerhalb jeder wirklichen Flecke befindet. Mit anderen Worten: ein idealer, mathematischer Punkt, ein Baryzentrum wird natürlich, wird selbst ein Fleck, während die wirklichen Flecke verschwinden. Man mag wohl die ganz Ungewisse dieser Operationen der Augen erwidern: Was die Gestalt betrifft, welche der so entstehende falsche Fleck annimmt oder vielmehr dessen peripherische Linie, so wird dieselbe durch folgende vier Faktoren bestimmt: 1 durch die wahre Gestalt der Flecke die unter dem falschen Fleck verschoren sind, 2 durch die Sonnenablenkung, welche mehr oder weniger der Teleskop glänzig ist, welche die wirklichen Flecke besitzen um sichtbar zu werden, 3 durch die Kraft des Teleskops, 4 durch die relative Fähigkeit des Auges einfache Formen so kleinen Objekten beizulegen, wie die wirklichen Flecke des Mars sind. Dieser letzte Umstand ist bei weitem der einfachste, rechts und daraus folgt, daß die Operation der falschen Flecke am häufigsten ein geometrisches Aussehen darbieten, z. B. das eines Bogens oder einer geraden Linie oder einer andern einfachen Figur. Diese fundamentalen Operationen wiederholt das Auge systematisch bei allen natürlichen Fleckengruppen des Planeten. Corvelli betont, daß es sich bei dieser Behauptung nicht um Hypothesen handelt, sondern um wirkliche Tatsachen der Beobachtung, die er mit

Hilfe der obenbesprochenen Wahrnehmungen in demselben Momente bestätigen konnte, einer Momente, deren Dauer überdauern des Auges besteht ist. Diese einfache Wahrnehmung dauert kein Aufsteigen länger als beim einfachen Handstock-schießen und erst, wenn letzterer sich davon befreit hat, glaubt man im allgemeinen, er habe nun gelernt das Mars zu beobachten. Das ist aber, sagt Corvelli, ein Irrtum, «das wenige, was wir vom Mars erfahren können, liegt ganz im Gebiete der angeblichen Wahrnehmungen». Die Illusion punktförmiger Flecke oder Baryzentren (als «Sonne» auf der Marsoberfläche bekannt) wird noch gefährlicher, wenn es sich um ein Analogon, nämlich die Illusion baryzentrischer Linien (der Kanäle), handelt, hauptsächlich auf der niedrigen Marschosphäre, wo die wirklichen Flecken sehr schwach und in gewissen Richtungen zusammengeklümpert sind, trotz sich ihrer Erhebung mit Vorliebe. Diese wirklichen Richtungen sind keineswegs solche Linien, aber so bald sich ein primäres Bild gebildet hat, ergänzt die Teleskop nicht, dieses lineare Flecke, dieselbe Linie zu markieren. Corvelli bemerkt, daher häufig unter seinen Augen einen Kanal eingestrichen am Stellen, wo er keine wirkliche Flecke zur Schärfe, die über eine längliche Zone verstreut waren, gesehen hatte. «Es schien, als wären die Achse dieser Zone alle umgebenden dunkle Elemente aus ihren wahren Positionen, so sehr zogen. Andererseits lag unter gewissen sehr seltenen Verhältnissen, wo meine Gesichtsvorgänge ungewöhnlich intensiv war, das Umgekehrte vor, nämlich, daß ein Kanal, den ich vor Augen hatte, verschwand und an seiner Stelle für einige Momente nur drei oder vier selbständige Fleckchen erschienen. Endlich ist es mir bereits gelungen, die Bildung eines Kanals zwischen zwei punktförmigen Fleckchen zu beobachten, welche beide wie ein Balken auf der Scholle erschienen und in diesem Falle schien auch der Kanal

prüfen, wie ein Regenbogen. Diese baryzentrische Reaktion oder dazugehörige Wirkung der punktförmigen Baryzentren, ist die zweite fundamentale Operation, welche die Auge des Mann vollzieht. Sie verläufen wie die wunderbare Bäckerei die wir auf der Scheibe dieses Planeten geschaut haben. Nehmen wir eine Gruppe von Flecken an, die über einer kugelförmigen runden Oberfläche verteilt sind, so wird die erste Operation sein, welche das Auge, um einen politischen Eindruck zu erhalten, vollzieht, diese Flecke in gewisse Baryzentren oder Mittelpunkte zusammen zu ziehen, die natürlich recht viel näher und denselben Leere Bogen und auch an Größe und Lebenskraft verschieden sind. Aber sobald beginnt sie aufeinander einzugreifen und die Saure wechselt. Die baryzentrischen Punkte gleiten sich aus, der größte Fleck gibt einen Teil von sich dem kleinsten ab und der Ende ist, daß alle verschwinden, während eine schöne, typologische Kurve an ihrer Stelle entsteht. Die gegenseitige Wirkung der sehr dichten baryzentrischen Punkte der städtischen Flächensphäre erzeugt gekrümmte bandförmige Strahlen wie den Stern Auroras, den Stern Sabalos und andere. Auf der scheinbaren Menschheit ruft die Wirkung von Leon Andel, Niklaus und Leon Lense eines Bogen ähnlich einem farbigen Halbmonde hervor, dem man schon auf den Zeichnungen von Turky begegnet. Es ist sehr belehrend, sich dieser Mittelschicht zu geben, wie während der Vereinigungsperiode Leon Andeline und Niklaus, Flecken von doch ziemlich großer Ausdehnung, hin werden und schließlich über Kanäle verfahren, d. h. derartige von ihrem Bestande, was sich in die Bildung des von Turky gezeichneten Bogen ergibt. Für den Augen, welcher genau bei der Erscheinung dieses Bogens optisch hervorgerufen, testet die Gleichmäßigkeit und hat geometrische Regelmäßigkeit der Kanäle nicht Enttäuschtes mehr. Die

die »Baryzentren«, führt Coroll fort, sowohl die punktförmigen als die strichförmigen, objektiven Bildungen sind, so ist es nicht schwierig eine Verdopplung derselben zu verstehen. Wenn mehrere Flecke, die um den städtischen Punkt gruppiert sind, sich in diesem vereinigen und in der Empfänger eines Baryzentrens verschmelzen, so ist klar, daß die eine Hälfte der Flecken durch die andere verdrängt wird. Um einen bestimmten zu erhalten, muß das Auge eine Zusammenfassung (Integration) auf alle Fleckengruppen ausüben. Wenn man diesen die Verhältnisse, unter denen die Beobachtung geschieht, sich ändern, so es wegen starker Intensität der Beleuchtung durch die Sonne, so es infolge schwächerer Wahrnehmungsfähigkeiten seitens des Beobachters, kann jede der beiden Hälfte der Fleckengruppe die nötige Intensität gewinnen, um unabhängig von der anderen wahrbar zu werden. Das Auge ist jetzt nicht mehr zu einer einzigen Vereinigung gezwungen, sondern erfüllt zwei, es erblickt zwei klaren, getrennten Flecke. Die Verdopplung der Kanäle ist vollkommen analog, sie vollzieht sich für die Kanäle von einer gewissen Länge in dem Momente, wo die Baryzentren deren Gegenwärtigen den Kanal erzeugt, selbst verdoppelt erscheinen. Die Kolonien der vorangehenden Wahrnehmungen ist gewöhnlich folgende: Zunächst ein langer Zug fast senkrecht hoher Schoten, dann ein zweiter Kanal längs der Achse dieses Zuges, zuletzt zwei parallele Kanäle. Erst vom Fluss, welche ich nur vereinzelt beobachtet habe, es folgte die beiden Linsen sind verschwunden, aber nicht um wie gewöhnlich das aufeinanderfolgende Eindruck wiedergegeben, sondern statt dessen der Anblick von drei oder vier großen Flecken, die in einem geometrischen Figuren gleichen ich glaube diese Flecke verglichen zu können mit dem Anblick, den auf der Menschheit für das bloße Auge des Mann Neptun, M. Traupfelds und

Hi. Sonst müßte das, nämlich das Aussehen eines breiten rechtseitigen Kanals. Hier könnte dann die Illusion nicht weiter gehen wegen der vollkommenen Fülle des mit unvollkommenen Augen gesehenen Mondbildes und der beträchtlichen Deutlichkeit (Intensität) der Mondfinde, d. h. w. wenn diese auf bei telegraphischer Betrachtung an 200- bis 300-facher Vergrößerung sichtbar zu werden anläßt, so würde der erwähnte große Kanal nicht weniger verknüpfungsfähig sein als die. Analogie der Gänge auf dem Mars. Der Ganges der Kanalverknüpfung ist demnach folgende: Gegeben ein System wirklicher Fläche in langer Erstreckung aufgestellt, im Rohen eine Art Zehn-Milieu. Diese wird durch ihre starke Linie in zwei Hälften geteilt, von denen jede für sich, aber gewöhnlich allein nicht sichtbar ist, sondern das Auge faßt die Illusion der Art als Ganzes zusammen. Unter günstigen Umständen vermögen aber jede der beiden Hälften für sich doch eine Einkerbung hervorzubringen, und dann läßt das Auge jede der beiden Hälften für sich zusammen und es entstehen scheinbar zwei parallele Linien. So wird ein einfacher langlicher Strich (eine horizontale Linie) in zwei geteilt mit einer hellen Fläche in der Mitte.

Das wirkliche Bild der Oberfläche des Mars ist nach Cerulli von dem scheinbar aufgestellten sehr verschieden und das Verfahren, die durch wahrgenommene dunkle Linien und Flecke in ein Netz aus Mercatorprojektionen einzusetzen, liefert das richtige keine Merkmale. Man erhält auf diese Weise kein Bild der wirklichen Formgebung, sondern nur Phantasie, es besteht aus Art unvollständiger Sprache zwischen Mars und dem Auge, deren Interpretation erst durch die Physiologie vermittelt werden muß. »Wenn ich, sagt Cerulli, behaupte, daß das Bild des Mars, wie es durch diese Wissenschaft erst gegeben wird, ist ganz anders von den häufigen Mandarinschiffen abweichen

wird, so möchte ich durchaus nicht zu überreden. In der Tat, wenn man von den unbekannten Inhalten dieser Mandarinschiffe absieht, d. h. also von den Punkten und Linien (Gang und Kanäle), was bleibt dann noch an reellen Inhalten? Vielleicht das große Fleckel. Aber die Gestaltung dieser Flecken, welche deren Konfigurationen und Physiognomie bestimmen, sind selbst nur bloße Linien. Ein großer Fleck ist lediglich das Produkt des Auseinandergehens »reiner« selbst nicht sehr abgegrenzter harnsteinreicher Fläche. So sind alle Figuren, die wir auf der Mars-Oberflächengestaltung, nur physische Produkte von »reinen« logischen Wahrnehmungen d. h. so sehr an der Schwelle der Empfindung, die in dem Maße verschwinden werden, als die Wahrnehmung scharfer und objektiver wird. Das einzige, was davon bleiben wird, ist das Ansehen der Orte auf dem Planeten wo die wirklichen Flecke am meisten zusammengepackt sind.

»Gewiß,« fährt Cerulli fort, »wird es manchmal beinahe möglich erscheinen, daß zahllosig Karren des Mars figurieren werden, auf denen die große Synt, welche unflügeln Zehen als nur der charakteristischen Fläche des Planeten gilt, nicht mehr enthalten ist. Aber die wirklichen Merkmale, die der Erscheinung der großen Synt vorgegeben, habe ich in meinem November an einem 155-zölligen Sehrohr gesehen und sie strecken sich mindestens bis zum Mars-Gang des Euphrates. Ich darf daher behaupten, daß der Unrat der großen Synt eine Schöpfung des Auges ist und dort besteht, wo die wirklichen, für uns im Detail unverständlichen Flecken sichtbar werden und auflösen. Auf diese Weise erlaube ich mir, zu behaupten, wenn Mars aus einem Südpol zu werden, die Synt so ausgeartet erscheint, daß sie zwischen fast die ganze Schiefe bedeckt, während, wenn der Nordpol des Planeten gegen die Erde gerichtet ist und die Synt über auf der Schiefe erscheint, sie mehr vor-

kleinert ist als der Perspektive zufolge der Fall von selbst. Der Grund dieser Entzerrung ist in dem Umstand zu suchen, daß die Begrenzungslinie des großen Flecks in dem ersten Falle eine andere ist als im zweiten. Wenn die Seite um unten auf der Scheibe sichtbar ist, hat die seitliche Scheibe umklippt, welche nicht mehr der Augenlinie, sondern wie sie oben auf der Scheibe erscheint. Es würde aber nach Coullins Überzeugung aus Irrtum sein, anzunehmen, daß das Bild des Mars, welches stimmt mit den Fortschritten der Optik erhalten wird, eine Analogie mit dem Vorgange bei den Mondflecken nach Erfindung des Fernrohrs darstellen werde. Denn das Bild des Mondes, wie er dem bloßen Auge erscheint, sei ein natürliches Bild mit

scharfen Konturen, von denen uns die Fernrohr-weißen Details zeigt, während die Fläche des Mars nur schwache Umrisse und, höchst geringe Empfindungen, die das Auge erst summieren muß, um ein Bild davon herzustellen, was bei dem Mondbilde völlig wegliegt.

Es ist wohl kaum Zweifel unterworfen, daß die Ausführungen Coullins auf guten Überlegungen beruhen. Ihre prinzipielle Richtigkeit wird man nicht bestreiten wollen, wohl aber kann man über die Grenzen, innerhalb derer sie richtig sind, verschiedener Meinung sein, d. h. über den Punkt, bis dem die Übertriebung zugeht. Wer nicht selbst Marsbeobachter ist und selbst Erhöhung auf diesem Gebiete hat, soll sich aber füglich eines eignen Urteils enthalten.

Untersuchungen über die Lichtausstrahlung des Orionnebels.

56 Der große Nebelfleck im Orion ist, wie die größte und interessanteste Nebelform der heimatlichen Himmelskugel, so auch das am häufigsten beobachtete und dargestellte. Von den unvollkommenen Zeichnungen der beiden Herschel bis zu den wunderbar vollsten Darstellung und den Zeichnungen Lord Rosse haben sich viele Ausgewandene in der graphischen Wiedergabe dieses komplizierten Nebelgebildes versucht, also die Schwierigkeiten des Gegenstandes und der große Einfluß des Instrumentes, haben diese Versuche aus Unschärfehaftigkeit, welche vor allem die Frage nach dem eigentlichen Verhältnisse in der Gruppierung oder der Lichtintensität des Details der Nebelmasse unentschieden lassen. Die großen Fortschritte der Photographie in ihrer Anwendung auf optische Objekte sind aber auch bezüglich des Orionnebels von Wichtigkeit geworden und besonders die Aufnahmen am Cruesley-Refraktor die Lichtintensität haben das Vorhandensein von selbstiger Materie in

einer Ausdehnung gezeigt, von der auch die Zeichnungen Rosse in dem 8-felligen Spiegelteleskope keine Ahnung geben. Nur allein die Zeichnung, welche W. Tempel 1872 im 10^{ten}-völligen Refraktor von Amos in Arcetri bei Florenz, anfertigte, und im „Sitzungs-“ Jahrg. 1873 Taf. 8 publiziert, kann in Bezug auf die Ausdehnung der Nebelmasse mit der Cruesley-Photographie verglichen werden.

Im Jahre 1888 hat Professor W. G. Poggenberg auf der Harvardsternwarte das Spektrum des Orionnebels photographisch aufgenommen mittels eines Instrumentes, vor dessen Objektiv die Prisma umgekehrt war, was Anordnung, die besonders nützlich von Fraunhofer getroffen worden ist. Bei dieser Anordnung wurde eine Reihe von Feldern der sogenannten Huygensochen Region des Nebels erhalten, von denen jedes durch das Licht einer und derselben hellen Linie des Spektrums des Nebelgebildes ist. Jedes Bild korrespondiert also einer bestimmten Wellenlänge des vom Nebel ausgehenden Lichtes.

Von den 18 der Aufnahmen von Prof. Pickering vorhandenen 11 Linsen ist die Linse mit der Wellenlänge 1—1080 die beste für das Auge, während an ultravioletten Teile der Linse 1—3127, dem Auge damit unerschreibbar, aber in der photographischen Aufnahme äußerst intensiv hervorsteht. Besonders am südlichen Rande der Hugginschen Region erschien dieselbe sehr stark, ebenso an dem Teile westlich vom Trapes. Prof. Pickering hat diese spektroskopische Beobachtungswert des Orionnebels nicht weiter verfolgt, dagegen ist diese neuerdings auf dem astronomischen Observatorium zu Potsdam von Prof. Dr. J. Hartmann wieder aufgenommen und wesentlich vervollständigt worden, wobei sehr wichtige Resultate ergaben. Derselben sind vorläufig der *Pross. Ak. d. Wiss.* vorgelegt worden¹⁾ und sollen hier in Kürze mitgeteilt werden.

Schon vor einigen Jahren hat Prof. Hartmann eine kleine Spektrographen mit Objektiven hergestellt, dessen optische Teile zur Vermeidung der Lichtabsorption aus Quarz bestehen. Dieser kleine und leichte Quarzspektrograph hat sich in der Tat, insbesondere für die ultravioletten Teile des Spektrums, als äußerst schätzenswert erwiesen. So liegt beispielsweise eine 150 Minuten belichtete Aufnahme des Nebels NGC. 6573 flüchtige Linien des Nebelspektrums, während die mit dem großen Huggins-Reflektor verbundenen Spektrographen in der gleichen Belichtungszeit nur mehr als vier Linien abbilden. Die besonders wichtigen Resultate ergeben über die Aufnahmen des Orionnebels mit diesem Apparat, indem sie zeigen, daß die meisten Teile des Nebels Licht von verschiedener Zusammensetzung ausstrahlen, und daß besonders ausgebeugene und charakteristisch gefärbte Gebiete fast nur in dem ultravioletten

Lichte von der Wellenlänge 3127 bestehen.

«Die einander entsprechenden Bilder,» sagt Prof. Hartmann, «in welche das Licht des Nebels durch das Objektiven zerlegt wird, sind wegen der kurzen Brennweite der Kameralinse natürlich sehr klein, da Millimeter auf der photographischen Platte entspricht einem Bildwinkel von nahe 10 Bogenminuten. Diese Größe genügt jedoch, um die Gestalt des Nebels deutlich erkennen zu lassen. Während sich nun die des übrigen Spektrums entsprechenden Bilder ziemlich gleichen, weicht das durch die Strahlen von der Wellenlänge 3127 entworfene Bild ganz auffällig von ihnen ab, indem es viel unregelmäßiger und gut begrenzten Teilen um mehr als 10 über die Gestalt der anderen Bilder hinausgreift. Auf dem ersten Anblick hat es den Anschein, als ob der Nebel im Lichte der Wellenlänge 3127 eine gänzlich andere Form hätte als im Lichte der übrigen Farben, und erst bei schärferem Nachsehen kann man auf lange belichteten Aufnahmen eine Andeutung der umhüllten Gegenstände auch in dem Lichte anderer Linien, insbesondere der beiden ersten Nebellinien H₄ und H₃ von der Wellenlänge 5007 und 4869, erkennen. Jedoch überwiegt die Intensität der Strahlen von der Wellenlänge 3127 so stark, daß man von einem fast rein ultravioletten, ultravioletten Lichte der betreffenden Gebiete sprechen darf.

«Eine so auffällige Erscheinung,» fährt Prof. Hartmann fort, «kann nur bei den sehr zahlreichen früheren Beobachtungen des Spektrums des Orionnebels wohl ganz verborgen bleiben. Huggins, der das Vorhandensein der Linse 1.3127 im Spektrum des Orionnebels im Jahr 1893 zuerst nachwies, sowie Campbell, der die eingehendsten Studien über dieses Spektrum angestellt hat, benutzten Spektrographen und konnten daher nur über das Spektrum dazwischengehenden Strahlen etwas berichten, dessen Bild während

¹⁾ *Böden. d. K. Preuss. Ak. d. Wiss.* 1905 S. 90

der Spektralanalyse gerade auf den Spalt fiel. Dieser Strahl hatte bei den Aufnahmen von Huggins eine Länge von 25 Bogenminuten, wußte also nur einen Querschnitt durch die hellste Gegend des Nebels, die sogenannten Hugginschen Rippen, nach demselben Aufnahmen, bei denen der Spalt eines Refraktors von etwa 7" ausfiel, welche nicht bis an die von mir beobachteten ultravioletten Zweige kamen, die mehr als 10" vom Tropen entfernt sind. Aus demselben Grunde laßen auch die andere Beobachter, welche Spektrographen benutzten, nichts von der Erscheinung bemerkt.

Glücklicher lagen natürlich die Verhältnisse bei den mit spaltlosen Spektrographen ausgeführten Beobachtungen, wie die oben erwähnte von Professor Pickering. Nachdem Prof. Hartmann die Wertbestimmungen der ultravioletten Nebellinie durch mehrere Aufnahmen mit dem Querspektrographen zweifelsfrei festgestellt hatte, suchte er auf einem andern Wege deren Form und Lage genauer zu ermitteln und die Erscheinung weiter zu verfolgen. Er fand ein für diese Untersuchungen sehr geeignetes Verfahren in der Anwendung von Farbenscheiben bei direkten photographischen Abbildungen des Nebels. Die Benützung von Strichschirmen bei astrophotographischen Arbeiten wurde schon verschiedentlich zu dem besondern Zwecke vorgeschlagen, um mit einem für die optischen Strahlen schirmierten Rechner scharfe photographische Aufnahmen zu erhalten. Über denartige Aufnahmen berichteten Lohse im Jahre 1886, Spiller 1890, und im Jahre 1890 stellte Ritchey nach diesem Verfahren prächtige Aufnahmen eines des großen Vorkorn-Refraktors her.

Diese Farbenscheibe stellte Ritchey in der Weise her, daß er eine Anzahl kleiner planparalleler Glasplättchen mit Colloiden von einer gelblichgelben Färbung bedeckte und nach dem besondern bestimmten Tönen in unmittelbarem Kontakt mit der strahlenden

Scheibe brachte. Durch Prüfung im Spektroskop ergab sich, daß diese Plättchen nur die grünen, roten und gelben Strahlen durchließen, die violetten dagegen völlig absorbieren. Natürlich kann man auch Filter herstellen, welche andere Strahlen durchlassen oder abschneiden. So ist z. B. Prof. Krieger 1889 für seine Aufnahmen im Crookley-Refraktor verfahren. Er machte ebenfalls durch ein Filter, welches nur die beiden ersten Nebellinien sowie die Wasserstofflinie H β durchließ, eine Aufnahme auf einer orthochromatischen Platte, außerdem ohne Filter eine Aufnahme auf einer gewöhnlichen Platte und zog dann aus der Vergleichung beider Platten den Schluß, daß an demjenigen Stellen des Nebels, die sich auf der zweiten Aufnahme selbst intensiver abgezeichnet hatten, das Licht der Linie H γ sowie der übrigen Wasserstofflinien, und vielleicht auch H δ , intensiver vorhanden als die beiden Nebellinien N $_1$ und N $_2$. Dieser Schluß ist jedoch, wie jetzt die Aufnahmen von Professor Hartmann ergeben haben, keineswegs nicht zutreffend, da die große photographische Heftigkeit der von Krieger benutzt gemachten Stellen nicht von H γ , sondern von der Linie I 5727 herrührt. Der Ausgangspunkt der Kriegerschen Arbeit, nämlich der Nachweis, daß das Licht nicht in allen Stellen des Nebels dieselbe spektrale Zusammensetzung hat, ist jedoch völlig richtig.

Für die Filteraufnahmen mit Prof. Hartmanns dem Spaltlosen des Nebels in drei Abschnitte, deren erster der des Linien N $_1$, N $_2$ und H δ , also die Gesamtheit des bei optischen Beobachtungen verbotenen Lichts, umfaßt. Der zweite Abschnitt erstreckt sich von H δ oben bis zur Wellenlänge 37000 oder 36000 und enthält die Stelle der Wasserstofflinien. Im dritten Abschnitt, welche von 33600, liegt die einzige Hauptlinie, die oben erwähnte ultraviolette Linie I 5727. Von den wenigen außer den hier aufgeführten noch im Spektrum des Großen Nebels vorkommenden

Linie konnte wegen deren äußerst geringer Intensität, ebenso wie von dem schwachen kontinuierlichen Spektrum des Nabele abgezogen werden.

Prof. Hartmann hat von Filter herzustellen gesucht, welche für μ eines der drei Absorptionsmaximume durchlässig sind, während sie die beiden übrigen absorbieren, und ist nach längeren Versuchen bei den folgenden sehr glücklich, die den genannten Zweck sehr gut erfüllen und überall leicht zu beschaffen sind.

1. Nitrosulfidfilter. Man kocht eine unbeschichtete photographische Platte aus und taucht sie dann einige Minuten in eine konzentrierte Lösung von Nitrosulfid. Die Gelbenschicht löst sich intensiv gelb und absorbiert von $\lambda = 4400$ an alle kürzeren Wellenlängen vollständig, während die größeren Wellenlängen, speziell also die Linien N_1 , N_2 und $H\beta$, fast ungeschwächt durchgelassen werden.

2. Chromkohlenfilter. Man kocht in gleicher Weise eine Gelbplatte in Chromkohlenwasseröl und taucht sie sodann mit einem blauen Kobaltglas. Diese Kombination läßt nur den Spektralbereich zwischen $\lambda = 3660$ und $\lambda = 4740$ ziemlich gut durch und absorbiert alle übrigen Strahlen.

3. Nitrosulfidfilter. Bietet man eine Gelbplatte in konzentrierter Lösung von Nitrosulfidmethylen, so nimmt dieselbe eine dem Nitrosulfidfilter fast völlig gleichende Gelbfärbung an, unterscheidet sich aber von demselben erheblich in ihrer absorbierenden Wirkung. Der rote, der gelbe und der grüne Teil des Spektrums werden fast ungeschwächt durchgelassen. Die Absorption beginnt etwa bei $\lambda = 5850$ und steigt dann rasch an, so daß $H\beta$ schon vollständig absorbiert wird; die Linien N_1 und N_2 werden, wenn auch geschwächt, noch durchgelassen. Die starke Absorption erstreckt sich bis $\lambda = 4800$, von da an nimmt die Durchlässigkeit nach an, und $\lambda 3727$ wird wieder gut durchgelassen. Die geringe Durchlässigkeit

dieses Filters für N_1 und N_2 macht man dadurch unschädlich, daß man für die Aufnahmen eine an dieser Stelle unempfindliche Plattenorte wickelt, während man ungeachtet für die Aufnahmen hinter dem Nitrosulfidfilter im Maximum möglichst empfindliche Platten verwendet wird.

Durch gleichzeitige Benutzung des ersten und dritten Filters kann man auch Aufnahmen herstellen, bei denen nur N_1 und N_2 zur Wirkung gelangen, während $H\beta$ ausgeschlossen wird.

Diese Filter hat Prof. Hartmann nun verwendet, um mit Hilfe eines Strahlenspektroskopes von 28 cm Öffnung und 40 cm Brennweite das Spektrum von Aufnahmen des Orionnebels zu machen. Leider war in den letzten Winternächten die Witterung ungünstig, daß er die geplante Untersuchung nicht im vollen Umfange durchführen konnte.

Nur am 25. Januar war der Himmel völlig klar, an allen anderen Abenden stürte, wie die teilweise sehr kurzen Beobachtungszeiten zeigen, einander derart die Aufnahmen. Doch auch diese wenigen Aufnahmen haben schon zu interessanten Resultaten geführt, auf die Prof. Hartmann an der Hand einer Skizze kurz hinweist, da zu einer genaueren Beschreibung eine photographische Reproduktion der Aufnahmen unerlässlich ist.

Zunächst heißt er die außerordentlich große Intensität der ultravioletten Linie $\lambda 3727$ in allen Teilen des Nebels hervor. Da mit dem Nitrosulfidfilter in zweifelhafte Richtung am 25. Januar erhaltene Aufnahmen zeigt ein Bild des Nebels von 45 Durchmesser, welchen eine Menge Einzelheiten der Struktur erkennen läßt. Prof. Hartmann hat den Eindruck gewonnen, daß sich die Vertheilungen der Nebelmasse, welche dem Orion nebels die charakteristische bewegte Aussehen verleiht, am stärksten unter Anwendung dieses Filters darstellt, während das Licht der Wasserstofflinien

nach einem gleichmäßigen Untergang zu bilden scheint.

Neben dieser allgemeinen Verteilung und Intensität des ultravioletten Lichts, die eine vollständige Aufnahme aller Teile des Nebels durch das Mikroskoper ermöglicht, läßt dieses Licht aber an einigen Stellen noch besonders intensiver leuchten. Die auffälligste Erscheinung ist in dieser Beziehung eine Reihe von bogenförmigen Stellen 14' westlich vom Trapes, welche den schon mit dem Quaspektographen aufgenommenen ultravioletten Teil bilden. Das Licht der Linien N_1 und N_2 sowie der Wasserstofflinien ist in diesem Teile so schwach, daß dasselbe für das Auge völlig unsichtbar ist, während es mit jeder mit einem Reflektor gemachten Aufnahme eines der verfügbaren Objektivs brennt. Koeler schreibt das Licht dieser Partie, wie oben erwähnt, irreführenden Wasserstofflinien, also besonders $H\gamma$ zu.

Die zweite von Koeler auf seiner Aufnahme mit dem Crossky-Reflektor aufgekommene Stelle leuchtet ebenfalls nicht im Lichte der Wasserstofflinien, sondern vielmehr der Linie $\lambda 3721$ so intensiv, daß dieser Teil auf der mit dem Mikroskop gemachten Aufnahme gleichsam anders aussieht als auf der nach Okularbeobachtungen angeführten Darstellung des Nebels oder auch auf Platten, die auf Objektivs, die ja nicht das Ultraviolett schon stark absorbieren, aufgenommen sind. Auf letztere ist sie mit ihrer scharfen Begrenzung auf der westlichen Seite sehr auffällig und befindet namentlich in dem flachen Bogen, der den Stern Band 134 umgibt, eine charakteristische Figur, während der koelerische Strifen kaum sichtbar ist. Im ultravioletten Lichte ist diese Stelle dagegen mindestens ebenso hell wie die intensiveren Teile des großen Bogens, und es läßt an einer Stelle mit letztem Ergebnis zusammen, daß der gesamte Stern völlig überstrahlt wird.

Auch andere durch ultraviolette

Strahlung ausgezeichnete Teile des Nebels hat Prof. Hartmann aufgefunden, so sind hauptsächlich die äußeren Teile der Hoggenschen Region, besonders die bogenförmige nördliche Begrenzung derselben, sowie die vom Trapes flühenden Ströme, auch in dem äußeren Teile des Nebels schon das ultraviolette Licht zu überwiegen. Eine merkwürdige Tatsache ist ferner, daß in dem Nebel der 35 südlich vom Trapes den Stern ϵ umgibt, das Licht der Linien N_1 und N_2 fast vollständig fehlt. Auf den durch das Präparatentfernen gemachten Aufnahmen ist auch bei zweifelhafte Beobachtung kaum eine Spur dieses Nebels entstanden, während er auf den anderen Platten, insbesondere auf der ultravioletten Aufnahme vom 25 Januar sehr schön abgebildet ist. Da dieser Nebel jedoch auch die Wasserstofflinien zeigt, so ist er trotz der Schwäche von N_1 und N_2 auch für das Auge gut wahrnehmbar.

Eine weitere Beachtung Professor Hartmann bewahrt sich auf die Intensität des Sternschwebens, die auf den verschiedenen Filmentnahmen äußerst stark unterschiede zeigt. So sind schon auf der zweifelhafte Ultraviolettaufnahme vom 25 Januar von manchen Sternen kaum Spuren entstanden, die schon auf einer nur 7 Minuten belichteten Aufnahme im grünen Teile des Spektrums deutlich abgebildet sind; als Beispiele werden die Sterne Band 162 und 168 erwähnt. Eine vollständige Durchmusterung nach derartigen Objekten will Prof. Hartmann später vornehmen, wenn auch für den mittleren Abschnitt des Spektrums eine gleich gute Aufnahme wie für die äußeren Teile vorliegt. Man kann sich, sagt er, das Verhalten dieser Sterne wohl nur aus ihrem Spektraltypus erklären; während man leicht annimmt, daß auch die schwächeren in der Nähe des Chenchels stehenden Sterne wegen des hellen, dem Spektrum unterworfenen Lichtes, dem ersten Typus angehören, deutet obige Beobachtung

darauf hin, daß auch Sterne vom zweiten oder gar vom dritten Typus in dieser Gegend vorkommen.

«Durch die hier mitgeteilten Beobachtungen», sagt Prof. Hartmann, «sind zunächst die schon von Huggins vermittelte und später ausweitung von Campbell bestätigte Tatsache, daß das Licht des Ötenscheit nicht homogen, sondern an den verschiedenen Stellen von wechselnder Zusammensetzung ist, aufs neue bestätigt. Die Schlüsse, die sich bisher über nur auf das vorübergehende Verhalten der Nebellinien N_1 und N_2 gegenüber der Wasserstofflinie $H\beta$ bezogen, sind nunmehr auch auf die Linie $\lambda 3727$ ausgedehnt worden. Nach allen bisherigen Schätzungen ist das Intensitätsverhältnis der beiden Linien N_1 und N_2 in allen Nebeln und auch an den verschiedenen Stellen des Ötenscheit konstant, und dies wurde auch durch die Messungen von Witing und Schuster auf das sicherste bestätigt. Schluß man ziehen, daß diese beiden Linien dem Spektrum desselben Gases angehören, und wurde es durch die wechselnde Intensitätsverhältnisse zu der Wasserstofflinie wahrscheinlich gemacht, daß dieses Gas vom Wasserstoff verschieden sei, so ist erreicht durch das von den genannten beiden Liniengruppen wiederum abweichende Verhalten der Intensität der Linie $\lambda 3727$ mit derselben Wahrscheinlichkeit nachgewiesen, daß selber jenen beiden Gasen mindestens noch ein drittes Gas mit ihnen vermischt, teils aber auch räumlich getrennt in den Nebeln vorhanden ist. Es ist nicht sehr wahrscheinlich, daß dieses dritte Gas

der Sauerstoff sei, der bei $\lambda = 3721.3$ eine ziemlich kräftige Linie hat, während die letzter beste Bestimmung von Wright für die Wellenlänge der Nebellinie des Wert 3726.4 ergaben hat, da diese Bestimmung jedoch noch nicht sehr sicher ist, dürfte es angebracht sein, eine möglichst scharfe Wellenlängenmessung beider Linien vorzunehmen.

Es ist schon wiederholt darauf hingewiesen worden und wird auch durch die hier besprochenen Beobachtungen wieder bestätigt, daß es eine Nachweise einiger Veränderungen oder Bewegungen in einem Nebel unerlässlich ist, um unter ganz gleichzeitigen Bedingungen hergestellte Abbildungen des betrachteten Objekts miteinander zu vergleichen. Gerade zur Herstellung dieser konstanten Bedingungen sind von die Statistiker von größter Werte, die man durch dieselben als von der Farbempfindlichkeit der zur Aufnahme verwendeten Platten sowie von der relativen Absorption in den optischen Teilen des Instrumentes und in der Atmosphäre herrührende Fehlerquellen vollständig weichen kann. Werden beispielsweise durch das Mikroskop betrachteten Platten von nahe demselben Empfindlichkeitsgraden gleich dicht entwickelt, so sind sie direkt miteinander vergleichbar, und eine direkte Vergleichung, die eventuell mit dem Zeitschen Spektroskopometer ausgeführt werden kann, wird, wenn auch erst nach vielen Monaten, zur Ermittlung der bei jetzt noch gänzlich unbekannten Bewegungsvorgänge in den Nebeln führen.

Ein merkwürdiger Nebelfleck im Schwan.

(Hans. Teel VII.)



Der Berliner Zeit hat Prof. Max Wolf darauf aufmerksam gemacht, daß eine große Menge ausgedehnter Nebelflecke in ihrer nächsten Umgebung nur wenige und schwache Sterne

sagen, gewissermaßen auf sterilen Flächen erscheinen. Diese Tatsache, welche auch W. Herschel schon aufgestellt war, ist von Dr. Koopf bestätigt worden. Unter den von Prof. Wolf

angestrichenen Belegen ist ein ausgezeichneter Nebel im Scheitel von besonderem Interesse. Er steht 2° südlich von α° Cygn und liegt in seiner Mitte einen Stern 9.5 Größe, der bereits in der Bonner Durchmusterung unter der Bezeichnung +49^h 3474 angeführt wird. Sein Ort am Himmel ist nach Argander (Jhr 1885 G) $AR_{1875}=21^{\circ}47'=34.4$ $Dec=+49^{\circ}34.9$. Das zweite Stern 9.5 Größe steht etwas südlicher und ebenfalls in dem Nebel. Prof. Wolf hat letztere am 26. Juli 1894 mit einer 8-zölligen Kamera zuerst aufgenommen, dann 1894 Juli 10 mit einer 18-zölligen Kamera von Stunden dauernder Exposition. Der Nebel ist ziemlich rund, hat 10 am Durchmesser und eine sehr komplizierte Struktur, mit welcher er dem ungewohnten Einblicken in Schläfen ähnelt. Das Ganze steht ziemlich central in einer dunklen sternlosen Gegend, die in größerer Entfernung von der leuchtenden Wolke der Milchstraße ausstrahlt wird. Das dunkle runde Fläche setzt sich in Gestalt eines dunklen Kanals gegen die nächsten hellen Wolken der Milchstraße weiterhin fort und dieser Kanal gebt sich am Ende in mehrere kleine Zunge. Veranlaßt durch die Aufnahme von Prof. Wolf hat W. S. Francis vom Sheffield Observatorium (Cromborough Beacon) den Nebel mit dem 30-zölligen Reflector dieses Observatoriums am 13. Nov. 1894 ebenfalls aufgenommen. Dank der großen photographischen Kraft des Instrumentes ist diese Aufnahme vorzüglich gelungen und zeigt eine Menge Details im Aussehen des Nebels. Tafel VII gibt eine grobe Wiederholung des Originals derselben in Lichtstriche. Bei derselben ist Süd oben, Nord unten, Ost rechts und West links. Man erkennt deutlich die sternarme Umgebung des Nebels und den dunklen Kanal, der sich von dieser Seite herhin hinzieht.

Prof. Wolf hat sich auf der Astronomerversammlung in Lund über die Erscheinung ausgesprochen. Er schreibt: »Es scheint mir, sehr müssen annehmen, daß sich hier etwas bewegt hat, etwas, das entweder der Sterne vertrieben oder zerlegt hat. Es wäre nicht möglich, daß die Vorgänge auf ihrem Wege unbedingte Hindernisse zurückgelassen haben, obwohl dies nicht sehr wahrscheinlich ist. Jedenfalls hat sich aber ein Vorgang fortbewegt, das ist die Wahrscheinlichkeit ist die Ursache der Gravitation. Die Nebel könnten aus der Gase der größten Massenanhäufung und der veranlaßten fortgesetzten Zusammenstöße bestehen. Die Massenwellen bringen dann aus der Umgebung die kleinen Sonnen immer näher an sich, und so entsteht die umgebende sternreiche Zone. Der ganze Komplex bewegt sich schließlich weiter, und die großen Hüllen bleiben zurück. So konnte man sich die Erscheinung vorstellen etwas plausibel machen. Aber warum hat sich diese Masse hier so weit durch den Raum zwischen den zahllosen Sonnen hingeschoben? Das spricht vielleicht gegen diese Anschauungen. Jedenfalls sind wir noch sehr weit davon entfernt, diese Vorgänge zu verstehen. Aber trotz alledem scheint mir wohl die Durchsicht vorhanden zu sein, schon jetzt nach solchen großen Erscheinungen zu suchen und Material zu sammeln.«

Prof. von Seeliger hat mir dagegen, daß er nach seinen Anschauungen über die Anordnung des Fixsternsystems die Erklärung der Sternlosen um die Nebel durch Gravitationswirkung nicht für zulässig halten konnte, daß er vielmehr eher zu einer Art von Absorptionwirkung glaube. Es sei ihm wahrscheinlich, daß die Nebel mit starker Hämmer komprimierter Materie im Zusammenhang stehen.

Gesellschaftsreise zur Beobachtung der totalen Sonnenfinsternis am 30. August 1905.

Die Firma P. Cagnoli & Co. in Genua hat ein Reiseunternehmen nach Spanien zur Beobachtung der totalen Sonnenfinsternis am 30. August projektiert und lädt die Freunde astronomischer Beobachtung zur Teilnahme dazu ein. Sie beruht sich dabei auf die folgenden Ausführungen des Hrn. Prof. F. Porro in Genua:

«Die nächste totale Sonnenfinsternis, auf welche sich die Astronomen schon mit verschiedenen Jahren künftighin verheissen, wird sich einer selten günstigen Bedingungs in Bezug auf Zeit, Dauer sowie Ort darbieten. Was die Dauer anbelangt, so wird diese Sonnenfinsternis mit der bedingungslossten sein, die Sonne wird auf der nordwestlichen Küste der iberischen Halbinsel um 12 Uhr 28 Minuten und um 1 Uhr 36 Minuten auf der Insel Mallorca vollständig verdeckt sein. Von allen astronomischen Phänomenen ist die totale Sonnenfinsternis dasjenige, welches wegen seiner Seltenheit und der gigantischen den stärksten Einfluß auf die Seelen der Zuschauer ausübt, und es ist begreiflich, daß der begeisterte Willgehr der Astronomen sich diejenige andre Passage auszuwählen wird, auf die das unvergleichbare Schauspiel eine ergreifende Wirkung ausübt.»

Um nun die Erhebungen während der Sonnenfinsternis zu gestalten ist es unbedingt nötig, einen Ort zu wählen, der in jeder Beziehung diesem Zwecke entspricht.

Palma de Mallorca ist sicherlich der geeignetste Ort, wegen der geographisch und günstigen Lage, welche es bietet, und wegen seiner milden Klimate. Er wird ohne Zweifel von allen vorgezogen werden, die sich bei der Beobachtung nicht gerade der großen Hitze, sowie den Unbehaglichkeiten christlicher Regionen aussetzen wollen.

Das große Lick-Observatorium auf dem Mount Hamilton in Kalifornien entsendet drei Expeditionen, je eine nach Labrador, Spanien und Ägypten, um diese Sonnenfinsternis zu studieren.

Um nun auch den Gelehrten und Freunden der Astronomie in Europa Gelegenheit zu geben, an der Beobachtung teilzunehmen, hat die genannte Firma an Einverständnis mit Hrn. Prof. Francesco Porro eine Colonie nach Barcelona und Palma de Mallorca organisiert und zu diesem Zwecke den Dampfer «Hesperus» der Compagnie Italo-Spannische gechartert, welcher mit allen nötigen Komfort ausgerüstet ist.

Mit dem Anlaufen von Barcelona wird sogleich einem allgemeinen Wunsch Rechnung getragen, insofern aus der schönsten Stadt der Welt, wo das Stadtbild sich zur Ruhe kommt und der blaue Himmel und himmlische Lüfte den Fremden freude und zum Vorwärtz erheben.

Palma, die Hauptstadt der Insel Mallorca zählt 60000 Einwohner und bietet an Naturschönheiten ebenfalls viele und in dem berühmten Mausee befinden sich die Höhlen del Drach und del Pendo mit herrlichen und unbekannten Grotten, sowie der altberühmte Palast der früheren Könige von Mallorca, von demo deren Heir «Mareadocles» von dem Plataner bezeugt und gestützt wurde.

Im Interesse derjenigen Leute des «Sonnens», welche an dieser Reise teilnehmen wollen, ist erfindlich, daß ebenfalls Teilnehmer in Genua am 29. Aug. 1905 einreisen können. Der Abfuhr per Dampfer «Hesperus», welcher am 30. «Palermo» Gaglianeri» anfährt hat, ist für diesen Tag um 8 Uhr abends fragentat. Die Verpflegung und Behandlung der Passagiere am Dampfer selbst ist eine einstellende, der Unterschied des Passagiers von besitz. Indigentlich in der Wahl der Kabinen und in selbiger wie folgt fragentat.

Passage inklusive toller Verpflegung auf dem Dampfer, inklusive Wein: Lire 300 — in Kabinen mit zwei und vier Betten, Lire 250 — in Kabinen mit sechs Betten, Lire 200 —

in Kabinen mit ganzem oder halbem Schlafkammer.

Befriedigungsverhältnisse müssen lediglich an der obengenannte Firma gerichtet werden.

Vermischte Nachrichten.

Der kleine Planet Eosopola (40) zeigt, wie die Telegramme Prof. Pickering's an Prof. Dr. Kruetz melden, Helligkeitsänderungen, die eine halbe Größenklasse erreichen.

Beobachtung des 5. Jupitermondes. Einer Benachrichtigung des Admiral C. R. Chester vom Naval-Observatorium zu Washington an Prof. E. Pickering zufolge,*) ist am vorigen Mittwochs Abende der 5. Jupitermond ebenfalls gesehen worden. In der Nacht des 5. Januar bemerkte der Amateurastronom Hammond ein außerordentliches Lichtpunkchen an dem Orte, wo nach dem Lichtdiagramm dieser Mond stehen mußte. Die fortgesetzte Beobachtung zeigte durch die Ortsänderung, daß es in der That dieser Mond war.

Ein neuer Saturnmond. Auf der Harvardsternwarte zu Cambridge (Mass.) ist wiederum eine höchst merkwürdige Entdeckung im Trabantensternchen des Saturn gemacht worden. Der Amateurastronom an dem großen photographischen Teleskop hat bei den Vorübergehenszeiten eines neuen (10.) Saturnmondes entdeckt, der seinen Umlauf in 21 Tagen vollführt. Das auffallende hierbei ist, daß dieser Mond sich beinahe in derselben Bahn um den Saturn bewegt wie der im Jahre 1848 (ebenfalls auf der Harvardsternwarte) entdeckte Saturnmond Hyperion. Diese Entdeckung steht zu allen bisherigen Erfahrungen über die Trabantenbahnen im Sonnensystem in einem solchen Gegensatze, daß der Vorstand der astronomischen Zentralstelle, Prof. H. Kruetz, telegraphisch in

Cambridge anfragte, ob nicht möglich sei, die Beobachtungen sich auf den Trabanten Hyperion beschränken könnten. Die telegraphische Rückantwort lautet, daß außer dem erwähnten Mond sich noch Hyperion auf der nämlichen photographischen Platte zeige, aber der Götterknecht heller sei als der neue Trabant. Sonst hat also die Harvardphotographie einen neuen und großen Triumph zu verzeichnen, denn mit dem Auge wäre der neue Mond direkt auch an den größten Fernrohren nicht gefunden worden.

Der Komet 1905a, des Jacoben in Mizen entdeckte, ist seit dem 27. März mit M. Hamilton, zu Guel, Strathburg, Bombay und Washington beobachtet worden. Den vorläufigen Beobachtungen zufolge, erscheint er am 3. April ohne Sonnennähe mit einem Abstand von der Sonne, der etwas größer ist als die mittlere Entfernung der Erde. Die Helligkeit des Kometen, die allerdings gering war, nahm seit dem zweiten Drittel des April weiter ab.

Der periodische Komet Brooks 1899 V, der durch seinen Durchgang durch das System der Jupitermonde im Jahr 1888 und der ihn 1898 begleiteten des vier Nebelkometen merkwürdig ist, wurde auffällig von Chladner als wahrscheinlich identisch mit dem berühmten Lexellischen Kometen von 1779 angesehen. Nachdem der Komet Brooks jetzt dreimal zur Sonne zurückgekehrt ist (1888, 1898 und 1902), haben die umfassenden Rechnungen von Prof. Lars Forer diesen zu der Überzeugung geführt, daß eine Identität mit dem Lexellischen Kometen völlig ausgeschlossen ist.

*) Astron. Nachr., No. 4009

Astronomischer Kalender für den Monat August 1905.

Tages- Zahl.	Sonnen				Mond			
	Wirklicher Sonnen Mittag				Wirklicher Berliner Mittag			
	Zeitp. M. L. — W. L.	Rektascension	Declination		Rektascension	Declination	Mond im Meridian	
1	+ 5 37.32	9 42 41.79	+23 5 42.75		9 37 44.06	+23 52 14.9	1 10.0	
2	+ 5 37.7	9 47 58.44	27 53 38.4		9 34 7.46	23 50 48.4	1 12.6	
3	+ 5 38.0	9 52 27.98	27 54 23.6		9 30 22.04	23 49 34.2	1 15.4	
4	+ 5 37.29	9 56 39.79	27 55 20.7		9 25 58.78	+ 23 47 51.7	1 18.4	
5	+ 5 36.84	9 59 31.98	27 5 31.5		9 20 36.71	— 23 45 18.0	1 21.0	
6	+ 5 36.64	10 2 1.79	26 55 50.7		9 15 16.84	23 42 29.4	1 23.9	
7	+ 5 36.46	10 4 31.74	26 55 48.1		9 10 17.93	23 39 38.4	1 26.7	
8	+ 5 36.28	10 10 41.14	26 55 58.0		9 5 44.70	23 37 17.9	1 29.6	
9	+ 5 36.03	10 16 30.98	26 55 52.6		9 11 1.68	23 34 28.0	1 32.0	
10	+ 5 35.54	10 18 58.99	26 55 34.0		8 57 1.82	23 31 54.9	1 35.4	
11	+ 5 35.38	10 20 4.44	26 55 7.1		8 52 1.87	23 28 58.0	1 38.6	
12	+ 5 35.07	10 20 59.44	26 5 7 20.7		8 47 59.70	23 26 48.2	1 41.6	
13	+ 5 34.74	10 20 30.18	26 48 9.4		8 43 50.69	23 23 2.4	1 44.7	
14	+ 5 34.45	10 20 58.97	26 50 27.7		8 40 47.84	23 19 48.0	1 47.0	
15	+ 5 34.11	10 21 30.94	26 47 54.7		8 36 50.46	23 16 30.7	1 49.7	
16	+ 5 33.79	10 21 58.68	26 45 53.0		8 33 58.44	23 13 47.4	1 52.1	
17	+ 5 33.48	10 22 30.79	26 34 59.6		8 30 27.14	23 10 3.3	1 54.9	
18	+ 5 33.14	10 23 54.18	26 33 30.7		8 26 54.82	— 23 6 2.7	1 58.7	
19	+ 5 32.54	10 25 4.70	26 30 5.4		8 24 1.66	+ 23 2 17.9	2 02.0	
20	+ 5 32.36	10 26 45.79	26 28 70.4		8 20 54.90	23 0 54.8	2 05.6	
21	+ 5 32.08	10 26 58.57	26 24 41.9		8 18 40.81	22 57 28.7	2 08.4	
22	+ 5 31.84	10 27 14.00	26 20 42.0		8 16 34.80	22 54 44.0	2 11.0	
23	+ 5 31.59	10 27 38.08	26 16 4.1		8 14 30.74	22 51 47.4	2 13.6	
24	+ 5 31.27	10 28 17.23	26 11 39.7		8 12 21.74	22 48 58.0	2 16.4	
25	+ 5 30.95	10 27 37.66	26 7 30.4		8 10 16.84	22 45 58.2	2 19.4	
26	+ 5 30.77	10 27 57.94	26 12 56.5		8 7 54.41	22 42 47.5	2 22.1	
27	+ 5 30.61	10 28 18.40	26 8 50.8		8 5 44.74	22 39 38.4	2 24.9	
28	+ 5 30.50	10 28 38.67	26 5 45.1		8 3 37.87	22 36 27.0	2 27.1	
29	+ 5 30.39	10 29 38.76	26 1 33.1		8 1 30 45.10	22 3 14.2	2 29.0	
30	+ 5 30.29	10 30 18.74	+ 26 43 52.8		8 1 18 38.89	+ 22 0 17.4	2 31.5	

Planetenkonstellationen 1905.

August	1	14	Merkur in großer östl. Konjunktion, 17° 28'
"	5	17	Merkur in Konjunktion mit dem Monde
"	9	9	Merkur im Äquator
"	7	23	Mars in Konjunktion mit dem Monde
"	14	21	Venus in Konjunktion mit Jupiter, Venus 5° 40' östl.
"	14	—	Mercuridauer.
"	14	24	Jupiter in Konjunktion mit dem Monde.
"	21	21	Jupiter in Opposition mit der Sonne.
"	23	4	Jupiter in Konjunktion mit dem Monde.
"	24	27	Merkur in großer östl. Konjunktion mit der Sonne.
"	26	7	Mars in Quadratur mit der Sonne.
"	27	2	Venus in Opposition mit dem Monde
"	29	21	Jupiter in Quadratur mit der Sonne.
"	30	26	Merkur in kleiner Konjunktion mit der Sonne.
"	30	24	Merkur in Konjunktion mit dem Monde.
"	30	—	Sonneneinstrahlung

Planeten - Ephemeriden.

Mittlere Berliner Zeit.					Mittlere Berliner Zeit.				
Jahr 1904	Rektascension			Obere Meridian- distanz	Jahr 1904	Rektascension			Obere Meridian- distanz
	h. m. s.	° ' "	h. m.			h. m. s.	° ' "	h. m.	
Merkur									
Aug. 4	20 27 27.00	+ 3.28 20.1	1.42	Aug. 1	23 16 47.64	—23.47 1.6	12.1		
5	20 28 28.36	4.28 22.7	1.41	12	23 17 47.32	23.44 0	12.10		
14	20 34 3.03	7.10 36.1	1.39	20	23 1 46.56	—23.46 11.1	11.45		
23	20 40 10.42	9.54 39.7	1.4	Uranus.					
34	20 46 40.15	12.48 4.1	1.35	Aug. 1	16 2 55.10	—22.45 25.8	6.15		
35	20 47 47.07	+ 1.48 53.9	12.37	12	16 2 54.35	22.45 44.8	6.17		
Venus									
Aug. 4	2 11 17.02	+0.14 8.57	10.1	20	16 2 53.61	—22.47 44.8	7.17		
5	2 11 20.58	11.21 4.8	10.1	Neptun					
14	2 16 40.40	13.28 10.3	10.10	Aug. 1	4 48 47.0	+22.35 54.8	11.15		
23	2 2 12.00	15.11 57.5	10.14	12	4 48 51.00	22.38 30.8	11.18		
34	2 37 14.28	16.12 56.9	10.18	20	4 47 50.54	+22.3 4.1	11.18		
35	2 51 45.43	+0.07 7.38.15	10.14	Mondphasen.					
Mars									
Aug. 1	14 13 0.37	—26.35 48.3	8.53	h. m.					
5	14 15 7.58	26.45 54.8	8.55	Aug. 7	12 10.1	Erster Viertel.			
14	14 23 34.52	31.71 42.9	8.6	12 10 10.4	Vollmond				
15	14 25 47.25	32.11 37.1	8.10	19 12 5.4	Letztes Viertel.				
23	14 35 55.12	33.41 30.6	8.17	29 12 7.8	Neumond				
24	14 3 47.04	—33.31 1.55	8.18						
Jupiter									
Aug. 1	6 4 21.36	+12.35 10.1	10.10						
11	6 8 53.35	16.14 5.3	10.10						
20	6 18 51.12	+12.54 1.00	11.10						

Sonnenbedeckungen durch den Mond für Berlin 1905.

Beobachtung	Son.	Goldst.	Dauert minuten Zeit		Anfang minuten Zeit	
			h.	m.	h.	m.
August 17.	17. Perseus	1.0	11	14.0	11	25.1
„ 18.	20. Procyon	0.0	15	58.5	16	30.1
„ 22.	27. Tau	0.0	19	55.	21	34.1

Lage und Größe des Sonnenringes (nach Struve).

August 2.	Große Achse der Ringlippe	41.0"	Kleine Achse	8.10"
	Erhebungswinkel der Erde über der Ringebene	11° 30'	„	„
August 3.	Mittlere Scheitel der Ringlippe	12° 17'	„	8.40"
	Scheitelpunkt „ „ „	12° 18'	„	17.38"
	Höhenwinkel der Sonne	14° 38.50"	„	„
	Parallax „ „	1.00"	„	„

Stellungen der Jupitermonde im August 1935.



Stellungen am 11^h für den Anblick im astronomischen Fernrohr.

Tag	West				Ost			
1								
2	Q	I						
3								
4								
5								
6								
7								
8								
9								
10								
11								
12								
13								
14								
15								
16								
17								
18								
19								
20								
21								
22								
23								
24								
25								
26								
27								
28								
29								
30								
31								

Ercheinungen der Jupitermonde. Die stündlichen Angaben über die Ercheinungen der Jupitermonde beziehen sich auf mittlere Zeit von Greenwich. Die Trabantentafel der Reihenfolge ihres Abstandes vom Jupiter nach III bis IV bezeichnet. Die vier größten Figuren zeigen die Stellung jedes Mondes mit Bezug auf den Jupiter für das Augenblick der Verhinderung (V) oder des Wiedererscheinens (W) bei r nicht angegeben, so kann der Ausstrich aus dem Schatten nicht beobachtet werden. Ferner bedeutet bei den nachfolgenden Zeitangaben:

- Eu D den Verschwinden des Trabanten im Schatten des Jupiter
 Eu E den Ausstrich des Trabanten aus dem Schatten des Jupiter
 Oc D den Verschwinden des Trabanten hinter der Jupiterscheibe
 Oc E den Wiedererscheinen endlich selbst der Jupiterscheibe
 Tr I den Eintritt des Trabanten vor die Jupiterscheibe
 Tr E den Ausstrich des Trabanten aus der Jupiterscheibe
 Sh I den Eintritt des Trabantenshadows auf die Jupiterscheibe
 Sh E den Ausstrich des Trabantenshadows aus der Jupiterscheibe

Es sind nur diejenigen Ercheinungen der Jupitermonde aufgeführt, welche sich ereignen, wenn Jupiter zu Greenwich über und der Sonne unter dem Horizont steht. Um die Momente dieser Ercheinungen nach mittelmässiger Zeit zu finden, hat man nur nötig, zu den angegebenen Zeitangaben zu addieren:

Aug. 1. I. Oc. E. 11^h 31^m. II. Sh. I. 10^h 12^m. Aug. 2. III. Tr. I. 11^h 30^m. III. Tr. E. 11^h 19^m. Aug. 3. II. Eu. R. 10^h 10^m 10^s. II. Oc. D. 10^h 30^m. II. Oc. E. 10^h 40^m. Aug. 4. I. Eu. D. 10^h 10^m 10^s. Aug. 5. I. Sh. I. 10^h 40^m. I. Tr. I. 10^h 10^m. I. Sh. E. 10^h 10^m. Aug. 6. I. Oc. R. 11^h 10^m. Aug. 7. I. Tr. E. 10^h 10^m. III. Sh. E. 11^h 10^m. III. Sh. E. 11^h 10^m. Aug. 10. II. Eu. D. 10^h 10^m 10^s. II. Eu. R. 10^h 40^m 10^s. II. Oc. D. 10^h 10^m. Aug. 12. II. Tr. E. 10^h 10^m. Aug. 14. I. Sh. I. 10^h 10^m. I. Tr. I. 10^h 10^m. Aug. 15. I. Eu. D. 11^h 10^m 10^s. I. Oc. R. 10^h 10^m. Aug. 16. I. Tr. I. 10^h 10^m. I. Sh. E. 11^h 10^m. I. Tr. E. 10^h 10^m. I. Tr. E. 10^h 10^m. Aug. 17. II. Sh. E. 10^h 10^m. Aug. 18. II. Tr. E. 10^h 10^m. Aug. 19. II. Oc. D. 10^h 10^m. Aug. 20. II. Oc. E. 10^h 10^m. Aug. 21. I. Eu. D. 10^h 10^m. Aug. 22. I. Sh. I. 10^h 10^m. I. Tr. I. 10^h 10^m. Aug. 23. I. Oc. R. 10^h 10^m. Aug. 24. I. Sh. E. 10^h 10^m. Aug. 25. I. Tr. E. 10^h 10^m. Aug. 26. I. Oc. D. 10^h 10^m. Aug. 27. I. Sh. E. 10^h 10^m. Aug. 28. I. Tr. E. 10^h 10^m. Aug. 29. I. Oc. R. 10^h 10^m. Aug. 30. I. Sh. I. 10^h 10^m. I. Tr. I. 10^h 10^m. I. Sh. E. 10^h 10^m. I. Tr. E. 10^h 10^m. Aug. 31. I. Oc. D. 10^h 10^m. Aug. 32. I. Oc. E. 10^h 10^m. I. Oc. R. 10^h 10^m.

Stellungen der Saturnmonde. (Erklärung S. 34.)

Zeiten der größten Elongation im August 1905.

Tethys. Aug. 1. 10^h 10^m, Aug. 2. 11^h 10^m, Aug. 3. 12^h 10^m, Aug. 4. 13^h 10^m, Aug. 5. 14^h 10^m, Aug. 10. 10^h 10^m, Aug. 11. 11^h 10^m, Aug. 12. 12^h 10^m, Aug. 13. 13^h 10^m, Aug. 14. 14^h 10^m, Aug. 15. 15^h 10^m, Aug. 16. 16^h 10^m, Aug. 17. 17^h 10^m, Aug. 18. 18^h 10^m, Aug. 19. 19^h 10^m, Aug. 20. 20^h 10^m, Aug. 21. 21^h 10^m, Aug. 22. 22^h 10^m, Aug. 23. 23^h 10^m, Aug. 24. 24^h 10^m, Aug. 25. 25^h 10^m, Aug. 26. 26^h 10^m, Aug. 27. 27^h 10^m, Aug. 28. 28^h 10^m, Aug. 29. 29^h 10^m, Aug. 30. 30^h 10^m, Aug. 31. 31^h 10^m.

Mimas. Aug. 1. 11^h 10^m, Aug. 2. 12^h 10^m, Aug. 3. 13^h 10^m, Aug. 4. 14^h 10^m, Aug. 5. 15^h 10^m, Aug. 10. 11^h 10^m, Aug. 11. 12^h 10^m, Aug. 12. 13^h 10^m, Aug. 13. 14^h 10^m, Aug. 14. 15^h 10^m, Aug. 15. 16^h 10^m, Aug. 16. 17^h 10^m, Aug. 17. 18^h 10^m, Aug. 18. 19^h 10^m, Aug. 19. 20^h 10^m, Aug. 20. 21^h 10^m, Aug. 21. 22^h 10^m, Aug. 22. 23^h 10^m, Aug. 23. 24^h 10^m, Aug. 24. 25^h 10^m, Aug. 25. 26^h 10^m, Aug. 26. 27^h 10^m, Aug. 27. 28^h 10^m, Aug. 28. 29^h 10^m, Aug. 29. 30^h 10^m, Aug. 30. 31^h 10^m.

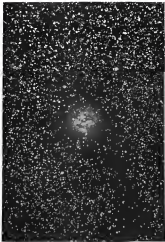
Enceladus. Aug. 1. 12^h 10^m, Aug. 2. 13^h 10^m, Aug. 3. 14^h 10^m, Aug. 4. 15^h 10^m, Aug. 5. 16^h 10^m, Aug. 10. 12^h 10^m, Aug. 11. 13^h 10^m, Aug. 12. 14^h 10^m, Aug. 13. 15^h 10^m, Aug. 14. 16^h 10^m, Aug. 15. 17^h 10^m, Aug. 16. 18^h 10^m, Aug. 17. 19^h 10^m, Aug. 18. 20^h 10^m, Aug. 19. 21^h 10^m, Aug. 20. 22^h 10^m, Aug. 21. 23^h 10^m, Aug. 22. 24^h 10^m, Aug. 23. 25^h 10^m, Aug. 24. 26^h 10^m, Aug. 25. 27^h 10^m, Aug. 26. 28^h 10^m, Aug. 27. 29^h 10^m, Aug. 28. 30^h 10^m, Aug. 29. 31^h 10^m.

Atlas. Aug. 1. 13^h 10^m, Aug. 2. 14^h 10^m, Aug. 3. 15^h 10^m, Aug. 4. 16^h 10^m, Aug. 5. 17^h 10^m, Aug. 10. 13^h 10^m, Aug. 11. 14^h 10^m, Aug. 12. 15^h 10^m, Aug. 13. 16^h 10^m, Aug. 14. 17^h 10^m, Aug. 15. 18^h 10^m, Aug. 16. 19^h 10^m, Aug. 17. 20^h 10^m, Aug. 18. 21^h 10^m, Aug. 19. 22^h 10^m, Aug. 20. 23^h 10^m, Aug. 21. 24^h 10^m, Aug. 22. 25^h 10^m, Aug. 23. 26^h 10^m, Aug. 24. 27^h 10^m, Aug. 25. 28^h 10^m, Aug. 26. 29^h 10^m, Aug. 27. 30^h 10^m, Aug. 28. 31^h 10^m.

Japetus. Aug. 1. 14^h 10^m, Aug. 2. 15^h 10^m, Aug. 3. 16^h 10^m, Aug. 4. 17^h 10^m, Aug. 5. 18^h 10^m, Aug. 10. 14^h 10^m, Aug. 11. 15^h 10^m, Aug. 12. 16^h 10^m, Aug. 13. 17^h 10^m, Aug. 14. 18^h 10^m, Aug. 15. 19^h 10^m, Aug. 16. 20^h 10^m, Aug. 17. 21^h 10^m, Aug. 18. 22^h 10^m, Aug. 19. 23^h 10^m, Aug. 20. 24^h 10^m, Aug. 21. 25^h 10^m, Aug. 22. 26^h 10^m, Aug. 23. 27^h 10^m, Aug. 24. 28^h 10^m, Aug. 25. 29^h 10^m, Aug. 26. 30^h 10^m, Aug. 27. 31^h 10^m.

Copyright 1905 by Hermann J. Böhm & Sohn-Gesellschaft — Druck von Otto Lohme & Sohn, AG

Abgegeben am 1. Juni 1905



SIRIUS.

Zeitschrift für populäre Astronomie.

Centralorgan für alle Freunde und Förderer der Himmelskunde.

Herausgegeben

unter Mitwirkung hervorragender Fachmänner und astronomischer Schriftsteller

von Prof. Dr. Hermann J. Klein in Köln.

Juli 1905.

„Wissen und Erleben sind die Freude und die
Bewältigung der Menschheit.“ — Kierkegaard.

Jeden Monat 1 Heft. — Jährlich 12 Mk.

Verlag von EDUARD HEINRICH MAYER in Leipzig.

INHALT: Das Winkler v. Struve's S. 145. — Die Expeditionen der Lick-Sternwarte zur Beobachtung der totalen Sonnenfinsternisse am 26. August d. J. S. 147. — Jenseits der Zeit S. und 2. September S. 149. — Der periodische Komet Weiske (1899 V) S. 149. — Die große Fernsicht von 20. März 1905, S. 152. — Der photographische Aufnahmen mit dem Newy-Bildung der Harvard-Sternwarte, S. 153. — Eine neue Hypothese über die Entstehung der Sternnebeln. Von J. Oppen, S. 154. — Die jährliche Mondtransit am 14. August 1905, S. 162. — Veränderte Nachstrahlen, S. 162. (Mitte Tafel VII.) — Astronomischer Kalender, S. 163. — Stellung der Japanswarte, S. 167. — Beobachtungen der Japanswarte, S. 167. — Stellung der Schwannwarte, S. 168.

Otto Wilhelm v. Struve.

Am 14. Mai verschied in Karlsruhe der ehemalige Direktor der russischen Hauptsternwarte Pulkowa, Otto Wilhelm v. Struve. Prof. M. Nyström widmet diesem hochverehrten Astronomen in No. 4003 der Astronomischen Nachrichten Nachruf, dem wir Folgendes entnehmen:

Gelesen am 7. Mai (25. April) 1819 in Dorpat, wo sein Vater, Wilhelm Struve, damals Professor und Direktor der Universitätssternwarte war, hatte Otto Struve schon mit 15 Jahren das Gymnasium verlassen, mußte aber des ungenügenden Alters wegen noch ein Jahr warten, ehe er an der

Universität seiner Heimatprovinz immatrikuliert werden konnte. Als er 1829

sein Examen machte, war er schon mit zwei Jahren, als Assistent seines Vaters, an der Sternwarte tätig gewesen. Dazwischen war unter der Leitung W. Struves in Pulkowa die astronomische Zentralanstalt für Rußland entstanden, und bei der Eröffnung seiner Tätigkeit wurde O. Struve dort, neben drei andern jungen Gelehrten, O. Fock, E. Seidler und C. A. F. Polak, als Gehilfe des Direktors

angestellt. Hiermit war der jetzt Einschüß in die Wissenschaftsgeschichte, die seine ganze Lebensarbeit



umfassen sollte. Einige Jahre später wurde er nach bestandenem Abtritte des Generalstabes und des Hydrographischen Departements, und hatte als solcher Gelegenheit, in die Tätigkeit dieser Behörden einzugreifen. Nachdem er schon lange vorher als zweiter Astronom und als Vizepräsident seinem Vater den größten Teil der mit der Verwaltung der Sternwarte verbundenen Last abgenommen, wurde er 1862 zum Direktor ernannt.

Im Jahre 1867 konnte er also zwei jubelnden Mütter, das 38-jährige seiner Sternwarte und das 25-jährige seiner Direktion. Mit Ausgang des Jahres 1888 nahm er seinen Abschied, obwohl von der Direktion der Sternwarte, wie auch von der Akademie der Wissenschaften, welcher er seit 1852 als Mitglied angehört hatte. Schon ein Jahr früher hatte Struve zurücktreten wollen, wurde aber auf eine Willensäußerung Kaiser Alexanders II. hin, er möge bis nach dem 50-jährigen Jubiläum der Sternwarte, August 1885, auf seinem Posten verbleiben, veranlaßt sein Vorhaben aufzuheben.

Voll 15 Jahre hat Struve sein Leben dem digitalen gewidmet, die erste Zeit in Petersburg, später seiner Gesundheit wegen im Ausland, hauptsächlich in Kadenah, wo er reichhaltige Angehörige hatte.

Dass die astronomische Tätigkeit in der Struvschen Familie nicht mit dem zwei ersten Generationen ausstarb, beweist das Leben nicht in Erinnerung gebracht zu werden.

Der junge Bolniss gab nicht, auch nur insoweit Otto Struve, wissenschaftliche Verdienste zu würdigen, wie auf seine Tätigkeit als Direktor der Sternwarte, welche dem außerhalb Bekannten weniger bekannt von ihm, die aber den weissen größten Teil seiner Zeit in Anspruch nahm, und wozu er auch hauptsächlich sein Augenmerk richtete, mochte hier einige Streiflichter geworfen werden.

Durch seine persönliche Mitwirkung in jeder Ausgestaltung der Schöpfung seines Vaters während eines halben Jahrhunderts, war diese ihm ganz aus Herz gewachsen, und der jugendliche Ehrer, mit welchem er, sobald es sich um die Arbeiten und die Elms-Park-Wiese handelte, wie Kälte dafür einsetzte, hat ihn bis ins Alter nicht im Stiche gelassen. Nur dadurch konnte es ihm gelingen, in Laus seiner Verdienste sowohl den Hof seiner Mitarbeiter, wie auch die astronomische Öffentlichkeit auf etwa die doppelte Höhe zu bringen.

Bei den Verhandlungen über die für solche Zwecke erforderlichen Mittel kamen Struve die zahlreichen, nach allen Seiten hin ihm offensichtlich persönlichen Verbindungen sehr zu statten, und einem Zweifel an der Zweckmäßigkeit der von ihm befürworteten Maßnahmen dürfte er in den entscheidenden Instanzen wohl kaum begegnet sein. Man weiß, daß Struve seinen dem rein wissenschaftlichen Interesse auch das Prestige Rußlands, speziell Polens auf dem höchsten Gebiete, als ein Auge hat. Seine durch die solche Interesse für die Struvsche Schöpfung geschaffene Blick war es unzweifelhaft auch anzuerkennen, daß er bei der Wahl seiner zahlreichen Mitarbeiter hat ein Füllhorn gegeben hat.

Für die experimentellen Untersuchungen auf astronomischen und angrenzenden Gebieten interessierte Struve sich lebhaft und war stets bereit, solche mit dem ihm zur Verfügung stehenden Mitteln zu fördern. Als Beleg für dieses Interesse kann hier hervorgehoben das große Zersetzungsrohr der Astronomischen Gesellschaft, die mindereuropäische Längengradmessung, welche in Rußland besonders eifrig gefördert wird, sowie die Verhandlungen über die photographische Aufnahme des Himmelsgerätes auch Meteorophenomenen u. a. Viele in Angelegenheiten dieser Fragen eintreffende Verhandlungen

lebte er als Vorsitzender. In der Astronomischen Gesellschaft, deren Mitbegründer er war, fungierte er als Präsident von 1865—70. Die gesellschaftliche Aufnahme des großen rumanischen Geistes hat es, soweit es von der Sternwarte abhängt, nach beiden Seiten gefördert; daß über auch die geographische Forschung am Horos liegt, hat er durch seine Mitarbeit bei Begründung der

Kaiserl. Geogr. Gesellschaft in St. Petersburg bewiesen.

Für die an der Sternwarte Angestellten bewährte Struve stets eine vollenstehende Führung und verstand immer, was nötig, die materielle Aufrechterhaltung ihrer Lage durchzusetzen. Auch bei er sonst bewies, um das gesellschaftliche Leben in dieser isolierten kleinen Kolonie möglichst angenehm zu gestalten.

Die Expeditionen der Lick-Sternwarte zur Beobachtung der totalen Sonnenfinsternis am 30. August d. J.

Ench die Hochherzogen von William O. Crocker in San Francisco ist die Lick-Sternwarte in die Lage versetzt, zur Beobachtung der nächsten totalen Sonnenfinsternis drei Expeditionen nach weit von einander entfernten Punkten der Erde zu senden. Die eine derselben wird über Aufstellung an einem Punkte der Küste von Labrador stehen, wo die totale Verfinsternung kurz nach 8 Uhr vormittags eintrifft und 2—3 Minuten dauert. Die zweite geht nach Spanien; wahrscheinlich in die Nähe von Dantón oder Alcazarras südlich von Madrid, wo die Totalität nach 1 Uhr eintritt und 3¹/₂ Minuten dauert. Eine dritte Expedition wird Station in der Nähe von Assens am Nil machen, wo die Totalität gegen 3¹/₂ Uhr eintritt und nahe so lang dauert wie in Labrador. Die Instrumente werden für alle drei Expeditionen wesentlich gleich sein, um vergleichbare Resultate zu erhalten, besonders in Bezug auf die Beobachtung der Frage, ob in den Strahlungen der Korona rasche Veränderungen statt finden oder nicht. Am günstigsten liegen die Verhältnisse für die Station in Spanien wegen der langen Dauer der Totalität und der größten Höhe der Sonne über dem Horizont. Dort soll deshalb auch die Beobachtung sich auf eine größere Anzahl von Spektroskopien erstrecken. Die beiden andern Stationen werden

die photographischen Aufnahmen der Korona als hauptsächlichste Aufgabe im betriebl. haben, damit aus der Vergleichung ihrer Aufnahmen mit denjenigen in Spanien die Frage, ob in der Zwischenzeit die Korona rasche Änderungen erleidet, entschieden werden kann. Wenn aus die oben angegebenen Orten aus für die Totalität auf der Zeit der Beobachtung von Ceres nach festgestellt, so ergibt sich, daß der wirkliche Zeitunterschied zwischen der Totalität in Labrador und jener in Ägypten, 2¹/₂ Stunden beträgt und es erscheint deshalb durchaus wahrscheinlich, daß rasche Veränderungen in der Strahlung der Korona, falls solche stattfinden, durch die Aufnahmen sicher nachgewiesen werden können. Der Hauptzweck ist die glänzende Wirkung, und solche ist für Spanien und Ägypten wahrscheinlich, bei Labrador ist es in dieser Hinsicht aber gar nicht sagen Verhältnisse sind das nordamerikanische staatliche Weiterbauen kurz vor dem Tage der Finsternis eine Weiterprognose für die Küste von Labrador wegen, die, wenn es sich auch, wie so viele andere Prognosen dieser kosmologischen Natur ausst, nicht bewährt, doch immerhin wenigstens in den Zeitungen figuriert.

Die Anstaltungen der drei Lick-Expeditionen werden durchaus den höchsten Anforderungen der heutigen Wissenschaft entsprechen und sich überhaupt zur Prüfung der wissenschaftlichen

durch höhere Sonnenkornmesser aufgelöstes Problems eignen, besonders auch bezüglich der viel diskutierten Frage nach einem Planeten innerhalb der Merkurbahn. An jeder dieser Stationen wird eine 3stellige photographische Linie von 48 Fuß Brennweite aufgestellt zur Photographie der Korona. Daneben finden an jeder Station 5 Objektivs zur photographischen Aufnahme der Region zwischen Sonne und Merkurbahn Aufstellung, behufs Nachforschung nach dem längst am vordersten mit dem Namen „Vulkan“ bezeichneten Planeten, der aber verheißt gar nicht existiert. Die spektroskopischen Untersuchungen werden nach allen Richtungen hin auf der spanischen Station ausgedehnt, doch wird auch ein Spektroskop mit nach Ägypten geführt. Berechnend für den heutigen Zustand der wissenschaftlichen Beobachtungen ist, daß direkte Beobachtungen mit dem Auge nicht beobachtet werden. Drei Spektrographen werden in Verbindung mit einem Coudéstrahl das Spektrum der letzten Spuren des Sonnengrandes aufzeichnen, besonders zur Konstatierung des Aussehens der von Prof. Young 1838 entdeckten sogenannten unbeschriebenen Schicht, jener nämlich, in welcher der hellste Spektrallinien in dunkels umgekehrt werden. Sie besteht aus einer Hülle von kleinen Gasen über dem eigentlichen Sonnenkörper, ist aber selbst noch glühend und gibt an und für sich die Spektrum

mit hellem Lichte. Sie kann kaum während ein paar Sekunden nach Verdeckung der Photosphäre durch den Mondrand gesehen werden. Die sehr kostbare Spektrograph soll das dicken, der gesamte Wellenlänge der eigentlichen Koronaregion betreuenden, die andere ist bestimmt, die Gestalt der Schicht, welche die dritte Linie vorragende Element Koronam um die Sonne bildet, zu ermitteln. Mitglieder der drei Expeditionen werden sein: Direktor Campbell, und C. D. Perrin, die nach Spanien gehen, Helmer D. Curtis, der nach Labrador entsandt wird und W. J. Henry, der nach Ägypten beordert wird. Mehrere andere Astronomen werden sich außerdem noch betheiligen, so in Spanien Prof. Hartmann (Potsdam), in Labrador Prof. Stebbins, in Ägypten Prof. West aus Bayreuth.

Die Lickobservatorien hat sich seit 1888 an der Beobachtung jeder totalen Sonnenfinsternis betheiligte. Meinen und zwar Dank der Generalsität der Familie Crocker. Die früheren Expeditionen nach Französisch-Guinea 1889, nach Japan 1890, nach Indien 1898 fanden statt auf Kosten von Charles F. Crocker, und nach dessen Tode hat sein Bruder William O. Crocker die Kosten der Expedition nach Georgia (1900) und nach Samatra (1901) bestritten, ebenso wie er die Kosten der projektirten drei Expeditionen im gegenwärtigen Jahre trägt.

Neueres über den 6. und 7. Jupitermond.

Noch einige Mittheilungen? machte C. D. Farrow über diese beiden neu entdeckten Trabanten. Der 6. Mond konnte bemerkt an dem Cressley-Reflektor bequeme in 18 Minuten photographisch dargestellt werden und

ist in 36 Nächten, zuletzt am 23. März aufgenommen worden. Später kann Jupiter zu nahe der Sonne, um noch Aufnahmen zu machen. Eine vorläufige Untersuchung der Bahn dieses Mondes ergab, daß derselbe gegen die Ekliptik und den Äquator des Jupiter etwa 36° geneigt ist. Die Umlaufzeit beträgt etwa 254 Tage und die mittlere

¹ Publ. of the Assoc. Am. of the Pac. Bd. XVI. No. 101 p. 52

Entfernung vom Jupiter ungefähr 7 Millionen Meilen — 11,2 Millionen Kilometer. Es ist noch notwendig, mit Bestimmtheit anzugeben, ob dieser Trabant sich achsenförmig oder retrograd bewegt. Die größte Neigung der Bahn ebene desselben (und der 7. Monden) gegen den Äquator des Jupiter lassen, sagt Perrine, vermuten, daß diese Monde nicht sich dem Jupitersystem angeschlossen, sondern Erwerbungen desselben sind. Der Durchmesser dieses Mondes kann gemäß seiner Helligkeit höchstens 100 Meilen oder weniger sein.

Die Negative, welche am 2., 3. und 4. Januar mit dem Croaley-Refraktor erhalten waren, ließen bei Untersuchung denselben auch dem 6. Monde, nach ein viel schwächeres Objekt erkennen, das anscheinend zum Jupitersystem gehört. Es stand demnach südlich und westlich vom Jupiter und bewegte sich auf denselben hin. Die Schwierigkeiten, welche sich bei Feststellung des Charakters des 6. Mondes gezeigt hatten, waren in diesem neuen Falle sehr groß. Da das Objekt viel lichtschwächer war, so war es schwieriger, Beobachtungen zu erhalten wegen der längeren Dauer des Expositums der Platten, auch war es schwer, seine Bewegung genau festzustellen. In diesem letzten der Aufnahmen vom 21. und 22. Februar, daß das Objekt dem Jupitersystem angehört, also ein Trabant desselben ist. Im ganzen wurden bis zum 8. März Aufnahmen desselben in 20 Nichten erhalten. Eine vorläufige Untersuchung der Bewegung dieses 7. Mondes sagt, daß seine Bahn sehr eccentric ist, sehr großer Abstand vom Jupiter etwa 6 Millionen

Meilen (= 9,6 Millionen Kilometer) und seine Umlaufdauer etwa 200 Tage beträgt. Die Neigung der Bahnebene gegen die des Jupitersystems beträgt etwa 34°, die Richtung der Bewegung ist noch unbekannt. Die photographische Helligkeit des Trabanten übersteigt nicht die 16. Größenklasse; sein wahrer Durchmesser dürfte kaum über 45 Meilen sein.

Europäische Astronomen, sagt Prof. Edward C. Pickering, hatten sehr lange gehofft, der neu entdeckte 6. Jupitermond so möglichkeitsweise nur durch die kleinen Platten Prof. Pickering bemerkt, daß er vor mehreren Jahren bei Untersuchung von Platten gezeigt war, dasselbe anzunehmen. Auf allen, die in den Monaten Juni und Juli 1889 erhalten worden, zeigte sich ein schwaches Objekt, das sich langsam vom Jupiter bewegte und keinen Einfluß auf der Photographie machte, auch schien es zugleich mit Jupiter stationär zu werden und also ziemlich in der nämlichen Entfernung wie dieser zu sein. Tatsächlich war es ein kleiner Planet nahe in seiner Sonnenstrasse, dessen langsame Bewegung durch die große Excentricität seiner Bahn hervorgerufen ward. Die Anzahl der auf den Platten gefundenen kleinen Planeten, die sich als kleine Sterne darstellten, ist sehr groß. Auf einer Platte von 1889 finden sich nicht weniger als sechsen; es ist aber schwer, sie zu identifizieren, da sie nicht nahe ihrer Opposition sind und nur für diese Zeiten im Berliner Jahrbuch Vorüberfliegungen der Orte einer großen Anzahl von Planetoiden gegeben wird.

Der periodische Komet Brooks (1890 V).

Nach den Untersuchungen von Charles Lemaître.

 Am 6. Juli 1890 entdeckte William F. Brooks zu Geneva im State New-York, einen schwachen teleskopischen Kometen, der bis in den Januar

1891 verfolgt werden konnte. Für den bloßen Auge wurde dieser Komet niemals sichtbar, auch zeigte er keinerlei bemerkenswerthe Eigenschaften im

Arbeiten, aber bald stellte sich heraus, daß die Bahn, die er beschrieb, die zu einem der interessantesten Gestirne dieser Art macht. Chandler war der Erste, welcher nachwies,¹⁾ daß diese Bahn im Jahre 1884, als der Komet dem Jupiter sehr nahe kam, eine seltige Ueberschiebung erfahren hatte und in ihrer heutigen Gestalt erst seit diesem Jahre besteht. Nach einer intensiven Erwägung des von Chandler gezogenen Folgerung, daß dieser Komet wahrscheinlich identisch sei mit dem berühmten, verloren gegangenen Kometen von 1770, der unter dem Namen des Leodacher Kometen in der Geschichte der neuen Astronomie eine große Rolle spielt. Der Leodacher Komet war zuerst gesehen worden in der Nacht des 14. zum 15. Juni 1770 von Messier und Lomet, mit einer Unterbrechung im Juli und August bis zum 3. Oktober beobachtet worden. Beobachtungen einer parabolischen Bahn derselben, welche Piquet, Lambert und andere ausführten, stimmten nicht genügend mit den Beobachtungen Cheneys und Lexell überein, daß dieser Komet eine elliptische Bahn mit einer Umlaufzeit von 5—6 Jahren beschreibt. Lexell zeigte ferner, daß der Komet im März 1770 dem Jupiter sehr nahe gekommen und somit damalige Bahn wahrscheinlich durch dessen Einwirkung so verändert worden sei, daß er umwende, 1770, für uns sichtbar wurde. Eine zweite Annäherung an den Jupiter beobachtete Lexell für den August 1779 und sprach aus, daß infolgedessen der Komet 1781 oder 1782 nicht zurückkehren werde. In der That ist er vergeblich gesucht und niemals wiedergefunden worden. Im Jahre 1844 legte Leverrier der Pariser Akademie eine genaue Untersuchung vor über die Bahn dieses Kometen und des Charakt. der Störung, welche derselbe 1779 durch den Jupiter erfahren hat.²⁾ Indessen konnte

er nicht zu endgültigen Ergebnissen gelangen, weil mehrere der älteren Beobachtungen sich als so ungenau erwiesen, daß eine definitive Bahnbestimmung unmöglich war. Der Vergleich der Bahn elemente des Kometen nach der großen Jupiternäherung vor 1770 mit denjenigen des Leodischen Kometen von 1885 nach Chandlers Berechnung, ergab eine überraschende Ähnlichkeit beider. Die Ergebnisse Chandlers beruhen indessen nur auf Beobachtungen, die sich über den kurzen Zeitraum von 3 Monaten erstrecken. Auch waren bei der Berechnung die Störungen, die der Komet in den Jahren 1886—1889 erfahren, nicht berücksichtigt worden. In seiner Abhandlung gab Chandler die Uebersicht des Kometen in der Bahn von 1886 auf 26,5 Jahre an und auf der folgenden Richtigkeit dieser Annahme beruht die Identität dieses mit dem Leodischen Kometen. Im Jahre 1889 hatte sich Schönbach auf Grund einer neuen Berechnung gegen diese Ansicht ausgesprochen.³⁾ In der zweiten Hälfte des Jahres 1888 ruft Prof. Lutz-Paar das Problem wieder auf,⁴⁾ über die Ergebnisse seiner Untersuchung werden ebenfalls von dem jungen Chandlers ab und laufen die Frage an. In der Hoffnung, daß die Beobachtungen beim Wiedererscheinen des Leodischen Kometen im Jahre 1896 zur Entscheidung der Frage von Bedeutung sein würden, berechnete Lutz-Paar neue Bahnelemente desselben und mit Hilfe derselben konnte der Komet aufgefunden und verfolgt werden. Prof. Baumbach'se bestimmte dann durch eine höchst sorgfältige Bearbeitung der Bahnelemente, die sich aus beiden des Erscheinungen des Kometen 1889—90 und 1888—89 ergaben,⁵⁾ wobei sich zeigte, daß keine periodische Verschiedenheiten zwischen den beobachteten und berechneten Order

¹⁾ Bull. astronomique 1883, November, December.

²⁾ Astron. Journ. Nr. 328.

³⁾ Unters. über den period. Kometen 1889 V, 1890 VI (Breslau 2. Teil).

⁴⁾ Astron. Journ. No. 325.
⁵⁾ Annales de l'Observ. de Paris. T. II, p. 325.

des Kometen bestanden. Auf Grund der Beobachtungsergebnisse Bahndatenpunkte liess das Neugebauer die Voraussagenungen für die Wiederkehr des Kometen im Jahr 1903 weiter fort und das Gelingen wurde am 18. August jenes Jahres sehr nahe dem vorausgerechneten Orte aufgefunden und weiterhin beobachtet. Es schien nunmehr Prof. Lenz Pörschungszeit, seine frühere Arbeit über den Kometen mit Hilfe dieser neuen Beobachtungen zu ergänzen und endgültige Ergebnisse über die Annäherung desselben an den Jupiter im Jahr 1893 und die dadurch hervorgerufene Veränderung seiner Bahn zu ermitteln. Diese Arbeit hat er durchgeführt und veröffentlicht.¹⁾ Das Nachfolgende teilt die Hauptresultate derselben kurz zusammen.

Um die Bahndatenpunkte des Kometen während der drei Epochen seiner Sichtbarkeit möglichst schnell zu erhalten, berechnete er zunächst auf eine die Störungen, denen der Komet in den Intervallen 1843—96 und 1896—1903 durch die Annäherung der Erde, des Mars, des Jupiter und Saturn ausgesetzt war. Es ergab sich, daß die mittlere Bewegung des Kometen von 1846 bis 1900 durchschnittlich grösser war als während der Zeit 1884—89, ohne keine Annahme über eine und dieselbe mittlere Bewegung, konnte also die Erklärungen des Kometen geübten Ernst Neumann der Rechnungen zufolge, daß auch die Störungen durch die Venus nicht vernachlässigt werden dürfen, indem sie nahezu gleich groß, wie die des Mars waren. Wurden diese berücksichtigt, so konnten alle Ortsbestimmungen des Kometen während seiner drei Erscheinungen in gute Übereinstimmung

Prof. Lenz Pörsch schritt dann zur Untersuchung der Einwirkung des Jupiter auf die Bahn des Kometen im Jahre 1893, indem er zunächst die Bahn be-

stimmte, welche dieser beschreibt, als er die Sphäre der überwiegenden Annäherung des Jupiter verlässt. Nachdem das geschieden, berechnete er die Elemente der hyperbolischen Bahn, in welcher sich der Komet im Jahre am Jupiter bewegt hatte, dann auch die Störungen seiner Bewegung durch die Sonne in der Zeit von Oktober bis März 1896 und jene, die von der abgeplatteten Gestalt des Jupiter herrühren. Unter Berücksichtigung dieser Einwirkungen ergaben sich dann die Bahndatenpunkte der Ellipse, welche der Komet am 24. März 1896 um die Sonne beschreiben habe, in dem Augenblicke, da er in die Äthionosphäre des Jupiter trat. Einige Monate vor dieser Zeit waren Jupiter und der Komet so nahe beisammen, daß die Bahn des letzteren unmerklich durch die Annäherung des ersten verändert wurde. Es wurde daher erforderlich, die Störungen, welche Jupiter auf denselben ausübte, nach noch tiefer gewisse früheren Daten zu berechnen, und auf diese Weise fanden sich dann endlich die Bahndatenpunkte für die Epoche 1893 bis 1895. Sie lieferten als Untersuchungszeit des Kometen die Zeit von 28 22 Jahren mit einer Unsicherheit von etwa 0 09 Jahr. Letztere Komet hatte 1779 die große Störung seiner Bewegung in dem Teile der Jupiterbahn erlitten, in welchem 1893 der Komet Brooks ebenfalls die Veränderung seiner Bahndatenpunkte erlitt. Zwischen beiden Apparaten liegt ein Zeitraum von 100 Jahren, drei, teils die Identität beider Kometen erkennen sein soll, genau angeschlossen werden muß. Wenn die Untersuchungsperiode des Kometen Brooks im Jahre 1893, vor der großen Störung aber, wie oben gefunden, 28 22 Jahre betrug, so ist dies sein abgänger Teil von 100, so daß, teils der Komet in der Zwischenzeit nicht noch andere und merkliche Bahnänderungen erlitten hat, die genau Frage nach der Identität beider Kometen hinlänglich wird. Eine große Annäherung des Kometen Brooks an den Saturn im

¹⁾ Comp. Rend. des Observatoire de Columbia Univ. No 72. Abhandlung daraus in Astron. Nachr. No 4046.

nicht nachweisen; wenn dagegen die Umfahrdauer dieses Kometen fünf etwas länger war, als nach den definierten Bahnelementen sich ergibt, hat, so würde eine bedeutende Annäherung derselben an den Jupiter im Jahre 1827 eintreten sein. Hielt man der Tat diese Umfahrdauer von 1823 28,6 Jahre bezogen, so wären 2 Umläufe des Kometen genau gleich 5 Umläufen des Jupiter gewesen und beide Weltkörper würden 1827 einander sehr nahe gewesen sein. Prof. Lane Fox hält es nicht für unmöglich, daß tatsächlich die

Umfahrdauer des Kometen 29,6 Jahre, wie die Berechnung ergibt 29,21 Jahre betrug. Da von der abgeplatteten Gestalt des Jupiter bedingten Störungen der Bewegung des Kometen etwas ähnlich einen beträchtlichen Einfluß aus, und dieser ist schwer mit völliger Schärfe zu bestimmen. Das Ergebnis der umfassenden Arbeit ist demnach, daß die Möglichkeit einer Identität des Kometen Brooks mit dem Leuchtkometen vorhanden ist, aber die Rechnungen selbst für die Nichtidentität beider sprechen.

Die grosse Feuerkugel vom 20. März 1905.

Von Thorvald Eke.

In südöstlichen Norwegen wurde am 20. März 1905 um 12¹/₂ Uhr Mittags die höchst merkwürdige Meteor wahrgenommen. Ein solches Phänomen am Tage bei hellem Sonnenschein ist ja schon so und für sich etwas seltsam. Kein Wunder, daß die Erscheinung nicht nur die Luftschichten, sondern auch die Menschen gemüht in Bewegung setzte.

In Christiansia wurde die Feuerkugel vom Hitzo Ursenstål-Spendstet Ck. Rührer in ausgezeichnete Weise beobachtet. Er sah in 30 einen schmalen intensiv leuchtenden Feuerstrahl in einer Höhe von 25—40°, fadenförmig schloß das Meteor schnell abwärts und nahm einen Winkel von 60° mit der Lokusit bildend. Nach 1¹/₂—2 Sekunden zerplatzte die Kugel in 4—5 Teile, welche ihre Bewegung immer schneller fortsetzten, dann divergierend, ein wenig schrägs gehend. Diese Teilchen waren sichtbar, bis die Häuser in 15° Höhe die Aussicht hinderten. An der Stelle des vorzeitigen Lichtauslösens wurde dann eine hell schraubensförmige Wolke gesehen; auch und nach wendete die schalen Konturen dieser Wolke gleichsam ausgewaschen, sie wurden breiter und matter, und nach eine Viertelstunde später war die

Wolke wie ein großheller Kreis sichtbar, langsam nach Norden hin schwebend. Kein Schall wurde gehört, was aber nicht ausschließt, daß ein solcher in der Tat hörbar gewesen sei, denn ein kleiner Nachhall konnte vom Stadengeräusch überhört werden.

Daß dies der Fall war, geht aus einer Beobachtung aus Aaker hervor, dann hier, unweit Christians, wurde ein starker Schall mit metallähnlichem, bronzeharigendem Klang in südöstlicher Richtung gehört. Man glaubte dort, daß der große Zerstörer aus Pershøus, Gjøll usw. auf einer Meilen land in dem Christiansfjord explodiert wären.

In Frederikstad und Umgebung wurde das Meteor gesehen und gehört. Es erschien als eine rote Kugel, welche hoch am Nordhemel nahe dem Zenit erschien und eine weißliche Wolke hinterließ. Nach 2—3 Minuten erschien die Luft, die ob Dampf von einem Kessel ausgelassen würde und ein Schall wurde vernommen. Viele Leute erschreckten und liefen aus den Häusern in dem Gedanken, daß eine Erdbebenstörung stangenförmig hätte.

In der Umgebung bei Høll wurde in 50 ein Kanonen, war heftiges Gewehrfeuer aus der Luft gehört, es war schwächer im Anfang und Schluß, und

eine halbe Minute später kam plötzlich ein überaus heftiger Hauch vom Süden her. In gleicher Weise wurde der Schall in Askani in südlicher Richtung gehört.

In Sargack-berg sah man ein starkes Licht am Himmel aufleuchten.

Ein Schiffbrüder befand sich 6 Meilen SW von Färder und sah die Feuerkugel senkrecht niedergehen in NO. Bei der Explosion wurde eine große Menge kleiner glühender Kugeln nach allen Seiten hin ausgehend, und danach erfolgte eine große Dampf- oder Rauchwolke. Es wurde kein Schall gehört.

Bei Sandeljarud hat man eine silberfarbene Kugel in runder Erde am Orlissawall fallen gesehen. Sie zer-

platzte, hinterließ eine Rauchwolke, und 4—5 Minuten danach kam ein langes Getöse wie von einer entzündeten Kanone.

In Frederikshald wurde der Schall in NW gehört.

Es scheint, als ob die Meteor etwa 44 Kilometer über einem Orte ca. 16 Kilometer NNO von Frederikshald explodiert sei. Die abgeworfenen Trücker wurden bis zu einer Höhe von nur 16 Kilometer gesehen. Die Richtung der Bahn in der Atmosphäre ist ziemlich steil gewesen. Keine Fragmente sind bisher aufgefunden worden. Würde solche vorhanden, so sind sie wahrscheinlich in den Christiansfjord gefallen.

Die photographischen Aufnahmen mit dem Bruce-Teleskop der Harvard-Sternwarte.

Bei Herstellung dieses Teleskops von 34 Zoll Öffnungsweite wurde unter anderem in der Absicht, dasselbe zur Nachforschung nach lichtschwachen Trabanten der Planeten zu verwenden. Dementsprechend wurden solche Aufnahmen so oft als thunlich angestellt, und die Untersuchung bei denjenigen des Saturn ergab die Entdeckung des Saturnmondes Phoebe. Es wurden gemäß den Angaben im Harvard-Observ. Zirkular No. 97 in den Jahren 1893 und 1894, im Ganzen 12 Aufnahmen des Merkur und seiner Umgebung erhalten, wobei die Expositionsdauer der Platten zwischen 3 und 36 Minuten variierte. Man wurde 1890 und 1897 je einmal, Venus 1894 und 1902, zusammen 5 mal, Jupiter 1893, 94, 97, 99 im Ganzen 21 mal, Uranus 1894, 97, 99 zusammen 12 mal und Neptun 1895 3 mal aufgenommen. Die Aufnahmen des Saturn und seiner Umgebung sind bereits früher mitgeteilt worden. Wie leichtsinnig die meisten auf diesen Platten erhaltenen Sterne sind, kann man aus den Beobachtungen des Saturnmondes Phoebe beurteilen.

Dieser Trabant erscheint auf fast allen guten Aufnahmen des Saturns mit dem Bruce-Teleskop, sobald die Expositionszeit der Platten mehr als 1 Stunde beträgt. In dem 40zölligen Yerkes-Refraktor ist dagegen dieser Trabant kaum sichtbar und ein Luck-Refraktor von 36 Zoll Öffnung hat man ihn vergebens zu sehen versucht. Rechnungsmäßig rechnen beide Refraktoren bei ca 17 resp. 16.6 Sternengröße und wenn man den Lichtverlust in den dicken Linsen ihrer Objektivs berücksichtigt, so kann man annehmen, daß Phoebe etwa einem Stern 15.5 Größe an Helligkeit gleichkommt. Die schwachen Sterne, welche mit dem Bruce-Teleskop erhalten worden, sind bei Exponierung von 1 Stunde 17.0 und bei zweistündigen Exponenzen 17.8 Größe, wenn die Felder klein und völlig rund sind. Sind dagegen die Sternabbildungen länglich, so können viel leichtere Sterne auf den Platten erscheinen. Eine Verlängerung der Expositionszeit über die angegebenen Grenzen gewährt keinen Gewinn an Sternen, wegen der dann geringen Dunkelheit des Hintergrundes der Platten, so zeigen

Filix hat sogar die Exposition von 1 Stunde Dauer ebenso schwache Sterne gelistet, wie eine 3-stündige Exposition. Prof. Pickering schreibt ferner, daß auf den oben besprochenen Platten weiteren Südlich der gemäßigten Pleiaden, die heller als 16 Größe sind, dergestalt sind, falls solche überhaupt vorhanden, schied die Richtungsweise des 6. und 7. Jupitermondes näherungs-

weise bekannt sind, werden die übrigen Aufnahmen dazu dienen können, besonders die Umlaufzeiten derselben genauer festzustellen. Denn da diese die schwachen dargezeigten Sterne schwebend Helligkeiten 14 und 16 Größe besitzen, dürfte es keine Schwierigkeiten haben, sie auf den Platten zu finden, sobald ihre näherungsweise Positionen bekannt sind.

Eine neue Hypothese über die Entstehung der Sternsysteme.

Von J. Cantu.

Einer der aus bekannten Himmelskörperssystemen drängt sich durch seine Form als das größte die sogen. „Milchstraße“ auf, von Spalten aus höherer Ordnung haben wir keine weitere Spüre.

Die für das Sonnensystem aufgestellte Kant-Laplace'sche Theorie läßt sich auf dieses Gebilde nicht anwenden, denn die Forschungen über die Bewegungen der sogenannten Fixsterne geben dazu keine Berechtigung.

Aus einem einzigen riesigen (Spiral- oder Ring-) Nebel konnte die Milchstraße durch partielle Verdichtung auch nicht entstehen. Die bestudierten Nebel bieten bei zunehmender einer allmählichen Verdichtung gegen das Zentrum dar, bei dem sogenannten Ringnebeln, welche solche Zentralverdichtung nicht darbieten, ist zu vermuthen, daß die Ursache nicht real sei, sondern diese Nebel hauptsächlich als verwickelte Strahlen auszuweisen, für welche das Auge nicht empfindlich ist. Eine Annahme machen auch die funkelnden, chaotischen Nebel, welche jedoch nur darum keine Verdichtungscentren darbieten, weil sie auf der niedrigsten Stufe der Ausbildung stehen. Aus den aus der Forschung sich ergebenden, regelmäßigen Nebeln werden entweder einzelne Körper, oder eines mächtigen Zentralkörpers bestehende Systeme, aber keine Sternhaufen entstehen. Man bestrebt aber die Sternhaufen, und vorwiegend unsere Milchstraße, keinen mächtigen Zentralkörper

ferner fordert die Hecht-Guthrie einen Nebel Rotationsbewegung, ohne welche derselben keine Spiral- oder Ring-Form annehmen kann. Dieser Rotationsbewegung verleiht die Sternhaufen (falls sie doch unmittelbar aus dem Nebeln entstanden) die Eigenbewegungen der Glieder, also ihr Fortbestehen als Sternhaufen, sonst wären alle Glieder flugig und in einem einzigen Körper zusammengefaßt. Denn wäre der Nebel noch so klein und ausgedehnt, wenn er einen Körper für sich bildet, so hat er auch einen Schwerpunkt, nach welchem alle Materie strömt, ist die Materie verdichtungslos und losl sie sich sogar in einzelne Verdichtungscentren auf, so können nach dem nicht ruhig bleiben, sondern gewöhnlich alle nach dem allgemeinen Schwerpunkt hin. Man ist daher bei den regelmäßigen Nebeln nicht blind ein mathematischer Punkt, sondern es handelt sich dort um ausgedehnte Nebelkerne, durch deren widerstehende Atmosphäre die äußere Verdichtungscentren allmählich in spiralförmigen Bahnen schließlich in dem Zentralkörper fallen und ihm das unsere Sonne ähnliche Rotationsbewegung einprägen. Vor dem Zusammenstoß des umgebungslosen Nebels brechen. Man folgt aus einer Rotationsbewegung, daß die durch partielle Verdichtung entstandenen Glieder des Systems eine gemeinsame Bewegung haben müssen, was aber bei

der Heliocentralen nicht der Fall ist, deren elliptische Störzweige sogar an dieser Ebene senkrechte Bewegungen zeigen.

Eine neue Hypothese, welche — im Gegensatz zu der Kant-Laplaceschen — von Kitzner zu Göttingen führt, ist im Folgenden kurz vorzutragen.

Im Universum ist ein Körper (ein Stern) so wenig wie ein Punkt; darum wird bei Annäherung zweier Körper zufolge ihrer Ovalität die kleine Abweichung von der geradlinigen Bewegung eine Parabel oder eine Hyperbel erzeugen, aber unter dem Einfluß eines dritten Körpers (eines störenden Körpers) oder zufolge des Durchlaufens durch die Widerstand leistende Atmosphäre des andern, kann die Bahn eine mehr oder weniger exzentrische Ellipse werden und dann sind die betreffenden Körper für immer zu einem System verbunden.

Beispiele solcher Bahnablenkungen haben wir in den durch die Anziehung der Planeten bewirkten den Jupiter verursachten Störungen von Kometebahnen.

Die im Folgenden vorgetragene Theorie beruht auf diesen Verhältnissen.

Gemäß dieser Theorie werden die Systeme eingeteilt in solche, die einen mächtigen Zentralkörper besitzen und in solche, denen derselbe fehlt. Doch ist eine strenge Trennung unmöglich, denn es gibt notwendigerweise Übergangssysteme, welche keiner der erwähnten Gruppen angehören. Die einen mächtigen Zentralkörper besitzenden Systeme sind hier nur des Zusammenhanges wegen erwähnt; unsere Theorie bezieht sich hauptsächlich auf jene Systeme, die einen mächtigen Zentralkörper nicht besitzen.

Systeme mit einem mächtigen Zentralkörper. Denken wir uns ein mächtiges Doppelsystem gebildet beziehungsweise zwei Himmelskörper in einem System, von denen der eine (ohne der Zentralkörper) viel mächtiger ist als der andere.

Der kleinere Körper wird der Bahn des freiesden Körper, welche in die Nähe des Zentralkörpers, von dem auszugehen, kommen, näher und nach Möglichkeit der Bahn in elliptische umwandeln, also die Körper dem System angeschlossen.

Man könnte auf den ersten Blick glauben, daß diese neuen Glieder des Systems in allen Richtungen, beziehungsweise unter allen möglichen Winkeln, gegen die Umlaufebene des Planeten gerichtet, den Zentralkörper ankränzen werden. Aber in der That ist es nicht so. Die Körper, welche mehr oder weniger senkrecht zu dieser Ebene sich bewegen, können nur in das stärksten Fällen in die Nähe des Planeten kommen, also werden sich diese eine Störung zu erleiden, in hohem Maße vielleicht für immer wieder verlieren. Sie können von einem System zum andern kommen, bis sie in die Ebene eines Systems kommen. Das Gegenstück der Fall bei den Körpern, die in der Ebene, oder sehr wenig zu dieser geneigt sich bewegen, sie können leicht in die Nähe des störenden Planeten kommen und es kann also unter diesem störenden Einflusse ihre Bahn in eine geschlossene Kurve umgewandelt, und die Körper können also zu dem System gehören werden.

Je mehr Körper sich auf dieser Ebene vereinigen, desto stärker wachsen die störenden Kräfte; doch und desto leichter werden sie die freiesden Körper zu dem System angeschlossen.

Das ist die Erklärung der Gruppierung der Körper eines Systems auf einer gemeinschaftlichen Ebene.

Die periodischen Kometen unseres Sonnensystems sind solche einer freiesden, dem System durch die Störungen der Planeten verursachte Körper, denn die Excentricitäten, die Neigungen ihrer Bahnen, die Bewegungsrichtungen sowohl als die Form und physische Beschaffenheit scheinen einen, mit den Planeten gemeinsamen Ursprung ganz aus.

Systeme ohne mächtigen Zentralkörper. Wenn wir daß das im vorigen Kapitel betrachtete ein System haben, in welchem die beiden Körper beinahe gleich wichtig sind, oder wenn in dem oben betrachteten System der Zentralkörper die höhere Obermacht verliert und zur Rolle eines einfachen Gliedes des Systems herabsinkt — so hört die Ordnung in den Bewegungen auf, es tritt nicht eine Tendenz der Bewegung gegen den gemeinschaftlichen Schwerpunkt des Systems ein, der bloß ein mathematischer Punkt im Raume ist. Die einzelnen Glieder beschreiben keine regelmäßigen Bahnen mehr, sondern unregelmäßige Kurven, mehr oder weniger in der Richtung des gemeinschaftlichen Schwerpunktes. Die Glieder haben weiterhin nichts gemeinschaftliches als die Ebene, um welche sie umhertreiben sind und in welcher sie sich bewegen, sie sind an denselben System gebunden, an dessen Spätes sie nicht mehr hinaus können.

Fremde Körper oder kleine Systeme, welche, von der Gesamtmasse der Körper angetrieben, in das System kommen, und denselben Veränderungen, wie in den oben betrachteten Systemen unterworfen.

Jein Körper nämlich, welche anknüpfen an der gemeinschaftlichen Ebene ankommend, nahe durch das Zentrum gelangen, laufen weiter in derselben Richtung, und indem sie keine Gelegenheit haben in die Nachbarschaft vieler Körper zu kommen, wird ihre Bahn keine nennenswerten Veränderungen erleiden, sie wird nicht gestört sein.

Das Gegenteil ist der Fall bei Körpern und kleinen Systemen, deren Bewegungsrichtung nahezu in der gemeinschaftlichen Ebene liegt. Indem sie von einem Ende des Systems bis zu dem andern, zwischen so vielen Körpern laufen, müssen sie immer mehr von ihrer Gleichförmigkeit verlieren, ihre Bahn kann ganz und gar umgewendet werden, so daß diese Kör-

per nicht mehr aus der Anziehungssphäre des Orients heraustraten.

So vermehrt sich die Zahl der gemeinschaftlichen Ebene gruppierten Systeme. Die Form eines solchen Körperhaufens wäre die einer Linse.

Infolge der gegenseitigen Anziehungen und Störungen und der Zusammenstöße mit Mehrern Planeten (Merkur, Neptunus usw.) verändern sich die Bahnen der einzelnen Glieder immer mehr und diese Veränderungen in Geschwindigkeit, sie entfernen sich immer weniger von dem gemeinschaftlichen Zentrum, die Gruppe zieht sich auf einen immer kleineren Raum zusammen, nach einem die Neigung der Bahnen zu der gemeinschaftlichen Ebene fortwährend ab, das Gewicht gegen das Zentrum wird immer lebhafter und führt ununterbrochen zur Bildung eines Zentralkörpers. Für die Körper, die von entgegengesetzten Richtungen kommen, ist, indem sie immer mehr dem Zentrum näherten, die Möglichkeit des Zusammenstoßes immer größer. Mit jedem Zusammenstoß tritt der Stillstand der Bildung eines Zentralkörpers näher.

Indem die Mehrern Körper zusammenstoßen, vereinigen sie sich zu einem immer größeren Körper in geformigem Zustande und indem sich ihre Bewegungen zum Teil oder ganz aufheben, nähern sie in der Nähe des Zentrums.

Indem auch die Zahl der Körper im Zentrum des Systems vermehrt und diese sich zu einem immer kolossaleren Körper vereinigen, wird die Tendenz der übrigen Körper des Systems nach diesem hin immer lebhafter, die Zusammenstöße werden immer häufiger, bis sich endlich ein unserer Sonne ähnlicher Zentralkörper bildet, der mächtig genug ist, um die Bahnen der dem Scheitel des Zusammenstoßes entnommenen Körper in Zügel halten, sie beherrschen und in geschlossenen Bahnen als Planeten laufen zu können. Der Zentralkörper wandelt allmählich

die Bahnen der umliegenden Sterne in schwach elliptisch sein.

Indem diese Sterne in ihrem Periastron bei sehr asymmetrischen Bahnen auf einem verhältnismäßig kleinen Raume zusammenströmen, können die mit entsprechenden Bewegungen begabten zusammenstößen und sich gegenseitig vernichten. Zudem ist aber die Gleichförmigkeit der Bewegungen in einem System für dessen Dauerhaftigkeit nicht so notwendig, wie das Vorhandensein eines richtigen Zentralkörpers. Die Verringerung der Bahnexzentrizitäten und die gegenseitigen Störungen allmählich vollziehen.

Es ist nicht ausgeschlossen, daß zu dem stabilsten ursprünglichen System sich gegen die Elipse desselben geeignete, störende Körper anschließen und dann erhalten wir uns in zwei oder mehreren Elipsen gruppiertes, oder sogar ein kugelförmiges System.

So organisiert sich das Chaos vom Kleinen zu unendlich Große.

Dann was geschieht wiederum mit den Teilnehmern der ständigen Kämpfe? Es scheint, daß nur ein allein sich bewegen und kämpfen in einem festen Ort in dem Zentrum des Weltalls. Aber in der Tat verhält es sich anders. Andere, immer größere Gemeinschaftliche Schwerpunkte sind, sondern die Materie constant, in Bildung begriffen, überall in Bewegung. Jede nirgends und dieser ganz Schnupitz der Kämpfe steht unendlich, immer größere Kräfte im Raume.

Anwendung der Theorie auf den Bau des Universums. Nach denselben Gesetzen, nach welchen sich die kleinen Systeme bilden, bilden sich auch die größeren. Von einem höhern System, dem unser Sonnensystem unmittelbar angehört würde, haben wir keine Kenntnisse und können als das „Milchstraßensystem“ kennen wir auch nicht.

Die Milchstraßen sind unsere Theorie, ein System ohne Zentralkörper, wie es oben beschrieben war, aber ein System

von unendlichen Dimensionen. Diese Ausbildung von Sternen und relativ kleinen Systemen erscheint, von dem Mittelpunkt der Milchstraße, wo wir uns ungefähr befinden, gesehen, als ein riesiger, unregelmäßiger Gürtel auf der Himmelskugel.

Es ist auffallend, daß die Dichtigkeit der Sterne in Bezug auf die Milchstraße (bisher) Verhältnisse aufweist, wie die Verteilung der periodischen Kometen in Bezug auf die Elipse.

Die folgenden Angaben stützen sich hauptsächlich auf Forschungen des Dichtigkeits der Sterne für eine Randstelle in Bezug auf die Milchstraße der

Für die oberste Seite der Milchstraße:

zwischen 0° und 15° 53 Punkte
• 15° • 30° 24 •
über 30° bis 60° 31 •

für die untere Seite:

zwischen 0° und 15° 59 •
• 15° • 30° 26 •
über 30° bis 60° 36 •

Also ebenso wie bei den Kometen sind zwischen 0° und 15° etwa zweimal so viele als zwischen 15° und 30°, oder eben so viele wie zwischen 15° und 60°. Daß das Verhältnis von 15° zu 15° auch bei den Kometen nicht parallel bis zu Ende verläuft. Wir ist sehr natürlich, indem die Zahl der Kometen so gering ist. Sind diese Erscheinungen mehr als das Ergebnis des bloßen Zufalls, sagt also ihnen ein Gesetz zugrunde, so folgte, daß die Milchstraße ihre Entstehung ähnlich wie die periodischen Kometen ihr Vorhandensein in dem Sonnensystem, den Störungen verdankt. Was nun auch von dieser Überbestimmung in der Verteilung der periodischen Kometen und der Milchstraßensysteme gelaufen wird, etwas bedeutet sie doch. Sie bedeutet nämlich, daß, vermehren wir die Zahl der periodischen Kometen nach denselben Verhältnisse, wie ein System von der Form einer Milchstraße zu einem bekommen. Und das bedeutet genug, denn was es

Kleiner möglich ist, ist auch möglich im Großen.

Freilich gibt die Vorstellung der Fixsterns der Neigung ihrer Bahnen gegen die Ebene der Milchstraße nicht ganz richtig an: Sterne, die sich schneller in der Folgezeit der Milchstraße befinden, können auch als Glieder derselben in ihrer Ebene bewegen (denn die Schicht der Milchstraße ist auch beträchtlich dick) und im Oxytrabell Stern, der sich heute in dem Canal der Milchstraße befindet, können zu ihrer Ebene senkrechte Bewegungen haben, also fremde Körper sein — jedoch wird das bei den verlassenen wenigsten Sternen der Fall sein, auch kompensieren sich zum Theil diese Abweichungen.

Man kann weiter annehmen, daß wir (unser Sonnensystem) nicht ganz in dem Schwerpunkt der Milchstraße liegen, für welchen Punkt die scheinbare Vertheilung der Sterne ihre Neigung in der Ebene der Milchstraße am genauesten wiedergibt — vorausgesetzt, daß die Sterne im allgemeinen nach dem Schwerpunkt des Systems gravitiren, denn nur so kann man von einem Sternensystem sprechen.

Inwiefern veranlaßt auch dieser Umstand in dieser Beziehung keine wesentliche Veränderung, dazu in welchem Maße wir aus von dem Schwerpunkt collectirt und in welchem Maße infolge dessen die Sterne, von welchen wir uns entfernen, aneinander näher rücken, also ihre scheinbare Neigung in der Milchstraße abnimmt, ohne in demselben Maße rücken die Sterne, denen wir uns nähern, aneinander, ihre scheinbare Neigung nimmt zu. — Die Veränderungen also kompensiren sich zum Theil, auch nach dieser Veränderung nur für die nächsten Sterne merklich. Noch all dem und in Anbetracht der großen Zahl der Fixsterne kann man die scheinbare Vertheilung der Sterne im Großen und Ganzen als die Maß ihrer Neigung zu der Ebene der Milchstraße betrachten.

Die neuen Observatorien der Milch-

straße und die Umriss der Flutzone, welche die Milchstraße ausmachen, besitzen bei der Anwendung dieser Theorie auf die Milchstraße keine Schwierigkeit dar. Haben wir einmal gelien gefunden, daß zwei oder mehrere starrte Körper sich zu einem System verhalten können, ist also diese Theorie in ihren Grundlagen richtig. Macht uns nichts anderes Geste, auch auf die ungeliebten und widersprechenden Systeme anzuwenden. Die Zeit, welche die Bildung eines solchen Systems in Anspruch nimmt, kommt nicht in Betracht, denn wir haben davon genug zur Verfügung.

Auch haben wir kein Kennzeichen um feststellen zu können, welche Störungen durch die Störungen, und welche aus einem einzigen Wirbel durch partielle Vertheilung entstanden sind, denn die Zeit der Umdrehung sowohl, als auch die Form des Störkreises kann als solches nicht dienen.

Aus dieser Erklärung der Milchstraße folgt, daß die Bewegungen, die Bahnen einzelner Glieder, sich zum großen Theil nahe in der gemeinschaftlichen Ebene befinden und im allgemeinen die Richtung nach und von dem gemeinschaftlichen Schwerpunkt haben. Es folgt weiter, daß die an der Ränder des Systems gelangten Glieder zurückkehren und von Neuem die unregelmäßige Bahn beginnen, bei der heutigen Beschaffenheit der Milchstraße aussert eine beständige Position bestehend.

Es folgt weiter, daß die Bewegungsgeschwindigkeiten der Glieder des Systems dem Abstande von dem Schwerpunkt und der Anziehung der Gesamtheit der Körper, die die Milchstraße ausmachen, proportional sind. Überschreitet die Geschwindigkeit eines Körpers diese Grenze, so gehört er nicht zu unserem Sternensystem.

Einige Folgerungen sind eine logische Nothwendigkeit, denn wäre es nicht so, dann blüht sich die Sterngruppe schon von selber auf und existirt heute nicht mehr.

Eine andere Folgerung ist die, daß die Sterne, deren Bahnen senkrecht zu der Milchstraße stehen, als dem System gewöhnlich nicht zugehörige, fremde Körper, die größten Geschwindigkeiten haben müssen. Selbstverständlich können wir auch in der Ebene der Milchstraße senkrechte und doch langsame Bewegungen wahrnehmen, solche können die Bewegungen der Glieder eines kleineren Systems sein (innerhalb dieses Systems), welche hier nicht in Betracht kommen, sondern nur die Bewegungen des Ganzen als des der Milchstraße unmittelbar gehörigen Gliedes.

Auch können wir in der Ebene der Milchstraße befindliche und doch sehr schnelle Bewegungen wahrnehmen; diese können zusammengezogene Bewegungen, oder neue, der Milchstraße auch nicht zuzurechnende Körper sein.

Untersuchen wir die von H. C. Vogt beschriebenen Eigenbewegungen in der Geschwindigkeit, so finden wir, daß unter diesen 50 Sternen 15 über 20 Kilometer Geschwindigkeit (in der Sekunde) haben und von diesen gehören 5 also $\frac{1}{3}$, zu dem Sternhaufen des großen Biers, die übrigen in der unmittelbaren Nähe des Milchstraßenpols befindlichen Sternhaufen, wobei die der Milchstraße gewöhnlich nicht zugehörigen, also mit schnelleren Geschwindigkeiten begabten Körper kommen. Beschreiben wir um den dynamischen Pol der Milchstraße einen Kreis von 30° Radius, so liegen die oben erwähnten 5 Sterne innerhalb dieses Kreises. Nun ist dieser Raum (bis 30°) nur $\frac{1}{3}$ der Hemisphäre; vertheilen wir die 15 Sterne auf diese zwei Räume, so sind wir um den Pol der Milchstraße viermal dichter als auf den übrigen Raum. Wir wissen aus Herschels Feststellungen daß diese Polgegend die 30° etwa 10mal stromreicher ist als der Raum zwischen 30° und 90° (in Bezug auf die Milchstraße) und demnach sind die senkrechten, schnellen Bewegungen um den Milchstraßenpol 40mal zahlreicher.

Freilich bräuhete man mehr Daten

und unleserliche Forschungen in dieser Beziehung, um sichere Schlüsse ziehen zu können, es ist aber doch auffallend, daß die schnelleren Bewegungen in dieser stromreichen Gegend so gruppenweise auftreten.

Bedenken wir uns nahe dem Mittelpunkt der Milchstraße, so müssen wir alle möglichen Bewegungsrichtungen wahrnehmen, und wir über von jedem anderen gesagt, so werden wir zum größten Theile in der Ebene der Milchstraße befindliche, von und zu dem gemeinschaftlichen Centrum gerichtete Bewegungen wahrnehmen.

Wir wissen indessen nicht sicher, ob unser Sonnensystem und die benachbarten Sterne unmittelbar dem Milchstraßenstrom, oder kleineren Systemen (innerhalb jenes) angehören. Dieser könnte, wie schon oben erwähnt ist, Sterne, welche dem Anblick nach sehr um den Pol der Milchstraße befinden, Glieder derselben sein und umgeben. Diese Umstände machen die Forschungen der Bewegungen in Bezug auf diese Theorie schwierig und die Schlüsse zum Theile unsicher.

Die Trennung der Milchstraße erklärt uns am besten die Annahme, die Milchstraße sei ein auf zwei gemeinschaftlichen gemeinsamen oder etwa 15° bis 20° geneigten Ebenen gruppiertes Sternsystem.

Mit dieser Annahme stimmen alle Umstände überein. Unser Sonnensystem befindet sich auf der Seite der stromreichen Region, also in der Richtung des Sternhaufens des Entbarns und da es etwas nördlich von der Milchstraße liegt, folgt, daß unser Sonnensystem (oben Wahrscheinlichkeit auch) jener Ebene angehört, welche auf der Seite des Schwannes liegt und gegen das Entbarn nördlich liegt, also gegen Entbarn dem südlichen Milchstraßenarmel gehört. Mit dieser Annahme stimmt auch die Tatsache überein, daß die Länge zwischen dem sichtbaren Knoten der zwei Gürtel (der Durchschnitte zweier Ebenen ist eine Linie) gegen das Ent-

bere größer als 160° ist und gegen den Schwanz kleiner. Da die schwebenden Rasterlinien des Sternbildes Cassiopeja (die Vereinigung der beiden Zweige oberhalb Deneb) kann man nur als eine zufällige Berührung desselben betrachten und Kreuz legen, so ist die Länge zwischen den Raster auf unserer Seite etwa 200° und gegen den Schwanz etwa 160° , also wären wir noch nicht $\frac{1}{2}$ des Durchmessers der Milchstraße von dem gezeichneten Zentrum entfernt (wir wären also gegen den Schwanz etwa $\frac{1}{2}$, und gegen das Ende $\frac{1}{3}$, der Milchstraße). Hieraus folgt, daß die wahre Neigung der zwei Milchstraßenarme etwa $\frac{1}{2}$, größer sein muß, als die scheinbare gegen den Schwanz.

Mit dieser Lage unseres Sonnensystems stimmt weiter überein die Tatsache, daß der Milchstraßenarm gegen den Schwanz hin heller ist als gegen das Ende, und zwar ist die stäbliche Region gegen den Schwanz heller und dichter als die stöbliche.

Von der Tatsache ausgehend, daß von Cassiopeja gegen das Ende eine stäbliche Verzweigung merklich ist (in dem Arme, welcher die Pegasus verbindet und in der galaktischen Region im Sternbild Orion) während vom Sternbild des Kreuzes gegen das Ende kein Stern zu sehen ist, im Gegenteil dort sind die beiden Arme, der sogenannte Kohlsack, und daß der Milchstraßenarm von hier beständig abnimmt und sich im Sternbild des Schiffs fast gänzlich zu verlieren scheint, folgt, daß unser Sonnensystem sich mehr auf dieser Seite, also gegen das Sternbild des Schiffs als gegen Cassiopeja hin befindet.

Die Unterbrechungen, die sogenannten Kohlsacke in der galaktischen Region sind zufällig, da der Anblick der Milchstraße zum größten Teil nicht von unvollständigen anderen Sternen, sondern von den verhältnismäßig wenigen der Milchstraße gehörigen kleinen Sternhaufen und Nebeln herrührt. Oder könnte man diese Lücken mittels einer

anderen Theorie besser erklären? Niemand wird geneigt sein zu glauben, daß die Milchstraße ein fester, unveränderlicher Körper ist. Dem Unvollständigen entzieht sich nichts im Weltall, also daß auch jeder Theorie diese Lücken nur zufällig sein können.

Ob die Milchstraße als ein solches Individuum einer höheren Formation angesehen, wissen wir nicht, warum könnte sie aber nicht einer solchen angehören? Was für ein Stäbchen möglich ist, ist auch möglich für ein Spinnennetz des Durchmessers der Milchstraße. Für die Unvollständigkeit ist auch eine Milchstraße nichts weiter als ein Stäbchen, besonders, daß das Licht selbst etwa 10000 Jahre braucht, um von einem Ende bis an den andere zu gelangen. Zwischen Stäbchen und Milchstraße gibt es ein Verhältniß, aber zwischen Milchstraße und Unvollständigkeit keine.

Von der Größe der Abstände zwischen den Fixsternen ausgehend, könnte man schließen, daß die Milchstraße von der Bildung eines Zentralkörpers noch fern ist.

Zusammenstoßen haben wir in dem neuen Stern, welcher in Uebereinstimmung mit dieser Theorie in den Sternhaufen am häufigsten auftritt. Dem Zusammenstoßen mit fixen Körpern verdanken die Nebel ihre Rotationsbewegung (wenn sie eine solche haben) und ihre Spinellform.

Wenn auch diese Sternhaufen und Nebel nicht unserm Sonnensystem angehören, so beweisen sie doch, daß Zusammenstoße möglich sind und wären besser der neuen Seite dem Zusammenstoße nachzusehen, so hätten wir doch keine Berichtigung der Möglichkeit der Zusammenstoße zu vermeiden, die überall im Weltall sichtbar sind und nicht unter unserm Auge, wohl aber vorgeten wir selbst innerhalb unser Augenweite.

Aber die heutige Beschaffenheit der Milchstraße, dieses riesigen ozeanischen Systems kann wohl einzig daraus,

welcher auch ihr Ursprung sei. Klänge im Zusammenstöße auch nur in Millionen Jahren, so ist doch die Schärfe der Melodie nicht mehr erreichbar. Es wird eine Zeit kommen, aber nicht mit den von unsen Planeten beschriebenen Kreisen, sondern eine mit Lebensaltern der Planeten und Sterne gemessene Zeit — eine Zeit, wo die Mischmasch sich auf einen immer engeren Raum zusammenziehen wird, die Zusammenstöße der Sterne immer häufiger aus werden, und aus ihnen wird sich der umgekehrte Zentralkörper bilden, welchen die dem Schicksale des Zusammenstöße und des Unterganges entzogenen Sterne als zerfallene Planeten umkreisen werden.

Aber vielleicht wird das Verhältnis dasselbe bleiben, nur tritt das Chaos immer näher zusammen. Vielleicht wird das milde Schimmern anderer kalauerer Güter auf blühende, immer höher Bildungen hinweisen.

Wird auch das ganze Chaos einmal organisiert und ein einziges System bilden? Oder werden sich zwei so viele Massen eben in zwei Körpern auflösen, daß es, wenn sie von unermesslichem Entfernung gegeneinander getrennt, mit einander so mächtig zusammenstoßen, daß die von dem Zusammenstoße erzeugte Wärme entsteht sein wird die Materie der Körper in ihren elementarsten Grundstoffe auflösen, und der so entstandene Dampf (oder strahlende Materie) infolge der ungeheuren Temperatur gewaltige Expansionskraft bekome wie der Dampf, auf welchem erst der Stoff entsteht war, ebenfalls zu erhitzen — denselben Tanz, denselben Kampf ewigwähig anhaltend.

Das ist nicht ausgeschlossen, im Gegenteil, man könnte sagen, daraus sei die einzige Erklärung der Gegenwart. Überall sehen wir Leben, überall Bewegung, leuchtende und im Erleuchten begriffene, sogar dunkle Wellen und alles, was eine Evolution andeuten, wo es relativ noch so unvollständig, es

ist, doch etwas andeuten, es hat ein Ende, so wie es einen Anfang haben mußte, wir aber, so wie wir uns auch heute um die Ewigkeit haben. Also das Ende, die ewige Ruhe wird von jeder erfüllt, wenn Anfang und Ende sich nicht ewigwähig um Unendliche ausbilden würden.

Das endlose Einwand, welche man gegen diese Theorie machen kann ist die Translationsbewegung der Sterne und Systeme. Es sind nämlich die einzelnen Sterne und Systeme und mit ihnen ihre Schwerpunkte keine Fixpunkte im Raume, so daß der gegen diese gravitierenden Körper von einem zum andern angezogen wandern können, bei uns an jemand angeknüpft werden, nachdem sie haben eine beträchtliche Eigenbewegung.

Darauf kann man bemerken, daß es nicht immer so war. Auch wenn wir eine Überlegung der Materie annehmen, können wir diese Bewegung nicht für jeden einzelnen Körper (für sich), sondern nur für einen Komplex, in einem verhältnismäßig kleinen unendlichen Raume annehmen. Die relative Bewegung der Individuen innerhalb dieser Gesamtheit hat nur in ihrer Quantität des Ursprung.

Denken wir von dem Stoff verteilt auf einen solchen unendlichen Raume streut, die einzelnen Verdichtungscentren, die sich zu bilden angefangen haben, indem sie von ihrem Selbst gleichförmig angezogen waren, einige Zeit (große oder weniger) in Bezug aufeinander und auf das Ganze in relative Ruhe, so daß die zwischen ihnen befindlichen Elemente der Lage nach gegen einen oder andern zu gravitieren, eventuell von dem einen zu dem andern zu eins angefangen haben. Ein größeres System, eine Bildung höherer Ordnung würde dann innerhalb des Ganzen langsame, später, als eine kleinere in Bewegung gebracht, so bei verhältnismäßig langer Zeit eine relative Ruhe gehabt, innerhalb welcher die in dieser Theorie vorstellte Analyse stattfinden konnte ...

Polarbereich des Antarktis vom Nord-
punkt geählt = 134°

Polarbereich des Antarktis vom Nord-
punkt geählt = 208°

Größe der Verformung in Teilen des
Nordhalbkreises = 0.782°.

Die Fixsterne sind demnach in der

südlichen Hälfte Europas, in Afrika,
im atlantischen Ozean, in Nordamerika,
in der nördlichen Hälfte Südamerika
und in der östlichen Hälfte des großen
Ozeans zu sehen sein.

In Berlin geht der Mond am 16.^{ten}
49^{ten} unter.

Vermischte Nachrichten.

Versuche, die Sonnenkorona
außerhalb der totalen Sonnen-
finsternisse in photographieren,
sind von verschiedenen Astronomen ge-
macht worden, bisher aber ohne Erfolg.
Um so interessanter ist daher ein
Bericht von A. Hensky über Experimente,
die er am 3. September 1904 auf dem
Gipfel des Montblanc angestellt und
die nach den von Janssen der Pariser
Académie vorgelegten Proben erfolgreich
gewesen zu sein scheinen. Hensky ver-
wendete für die experimentelle (ortho-
chromatische) photographische Aufnahme
und chromatische Blaupapier, die er
mit mehreren durchsichtigen, farbigen, des
Rot und die ultraviolette Strahlen ab-
sorbierenden Schichten bedeckte, während
die Sonne durch die geschaltete
Messinglinse von der Größe des
Sonnenbildes im großen 12zölligen
Fenster des Gipfelobservatoriums ab-
geblendet wurde. Die Expositionen
verliefen zwischen 30 Sekunden und
2 Minuten. Mit Hilfe von Hilfslin-
sen gelang es, 12 Photographien der Sonnen-
umgebung bei sehr reiner Luft zu er-
halten, welche im Observatorium zu
München entwickelt wurden. Sie geben
sichtlich einen fast gleichartigen Aus-
sehen der Sonnenumgebung. Das Bild der
Korona wurde sichtbar, wenn das Papier
nach dem Trocknen möglichst stark
mit Urin behandelt war, wodurch die
Photographie rot gefärbt wurde, und
dann die beiden Negativ von diesem
Positiv genommen wurde. Manchmal
mußte man das noch einmal wieder-
holen. Selbstverständlich ergaben sie sich
Koronaebilder, wie man sie bisher nur
bei totalen Sonnenfinsternissen erhalten

hatte. Hensky will diese Untersuchung
weiter forschen und hofft durch zweck-
mäßiger gewählte Farben für seine
Schärfe zu noch besseren Resultaten
zu gelangen. (Compt. rend. 1905, I. 180,
p. 766—771.)

Die Nordregion in der Nähe des
Gastrell. (Heron Teil VIII.) Die
hier im Lichtdrucke wiedergegebene
photographische Aufnahme der Um-
gebung des Gastrell wurde auf der
Vollmondperiode an einem 12zölligen
Refraktor durch zwei Farbennetze auf
einer Grossenformaten photographischen
Platte erhalten. Das Originalbild hat einen
Durchmesser von 2 Zoll und wurde
auf 11.5 Zoll vergrößert. Die Aufnahme
gibt die Erscheinung gewisser Ver-
hältnisse, deren Beschreibung nicht weiter
gehört. Die Zeit der Aufnahme wird
nicht angegeben, man nimmt aber an-
nehmlich an dem Schatzen, daß sie nach
dem Vollmonde geschah, bei Abend-
beleuchtung dieser Region durch die
Sonne. Das große Ringgebilde, nahe dem
rechten Rande außerhalb der Mitte mit
dunkelviolettgrünem Wallenformaten,
ist Gastrell, die dunkle Fläche oberhalb
halbwegs ist das Mare Humorum, die
dunkle Linie des Mare Nubrum am
dem der Ringwall des großen Kraters
Bellinus, auf der westlichen Seite noch
in der hellen Beleuchtung der Sonne
gelegt, hervortritt. Die große dunkle
Fläche am unteren Rande der Darstellung
gehört dem Oceanus Procellarum an,
dessen Grenze gegen links (Winden) der
gelblichgrüne Gegenstand der Ephora

¹ Naturwissenschaftl. Rundschau 1905,
S. 201.

besteht. Der Kster reiche davon mit der kalten Umgebung ist bachel.

Stern mit veränderlichen Radialgeschwindigkeiten, also spektroskopischer Doppelstern, und in nicht geringer Zahl von der durch die Lichtstreuung nach Oke entfernten D. O. Milla-Exposition entdeckt worden. Ein Verzeichnis von 12 dieser Objekte veröffentlicht worden der Leiter dieser Expedition (K. H. Wright). Wir erwähnen denselben die folgenden Bezeichnungen der betreffenden Sterne und einige weitere Angaben über dieselben.

• **Phoeniceis** (A R = 6h 21.3m D = — 42° 50'). Fünf Aufnahmen ergaben Geschwindigkeiten pro Sekunde, die zwischen + 744 und + 807 km schwanken.

• **Phoeniceis** (A R = 1h 28.0m D = — 45° 50'). Fünf Aufnahmen ergaben Geschwindigkeiten zwischen + 118 und + 408 km. Die Periode der Veränderungen scheint 190 Tage zu sein.

• **Erdaus** (A R = 2h 54.5m D = — 40° 12'). Die helle Komponente von 4 Erdaus. Das Spektrum ist als zusammengepresstes vom Typus der hellen Komponente von 2 Unus major und in der Teil ist das System 4 Erdaus dem der Minor ähnlich.

• **Erdaus** (A R = 4h 14.1m D = — 34° 27'). Das Spektrum gehört zur ähnlichen Klasse wie ganz von 4 Erdaus.

• **Columbae** (A R = 5h 18.4m D = — 33° 23'). Nach 5 Aufnahmen variert die radiale Geschwindigkeit dieses Sterns zwischen 40 und — 160 km.

• **Carinae** (A R = 4h 41.6m D = — 53° 31'). Den Aufnahmen liefern Geschwindigkeiten zwischen + 15 und + 48 km.

• **Puppis** (A R = 7h 26.1m D = — 43° 03'). Vier Aufnahmen geben Radialgeschwindigkeiten, die zwischen + 803 und + 1034 km schwanken.

• **Puppis** (A R = 7h 48.8m D = — 40° 16'). Aus fünf Aufnahmen

folgen Geschwindigkeiten zwischen + 16 und + 28 km.

• **Volantis** (A R = 8h 08.0m D = — 66° 03'). Die Spektrallinien dieses Sterns sind deutlich und enthalten sehr viele Linien. Nur auf einer Platte erscheint die Verdopplung dieser Linien vollständig, und der Grad der Deutlichkeit der Linien erfordert weitere Bestätigung der zusammengepressten Natur des Sternspektrums.

• **Carinae** (A R = 5h 34.4m D = — 54° 35'). Die Aufnahmen deuten Geschwindigkeiten zwischen — 1.2 und + 30.2 km an.

• **Velorum** (A R = 4h 18.0m D = — 54° 35'). Das Spektrum zeigt ziemlich schnelle Linien des Wasserstoffs und des Heliums, auch die Linien mit der Wellenlänge $\lambda = 4481$ ist vorhanden. Wegen des Charakters des Spektrums sind jedoch die Messungen der Radialgeschwindigkeit nur auf 1 oder 2 km genau. Sie schwanken zwischen + 13 und + 47 km.

• **Velorum** (A R = 4h 33.2m D = — 47° 42'). Dieser Stern hat ein zusammengepresstes Spektrum. Nach dem obigen, ähnlich, es ist ziemlich einzig unter den Sternen seiner Klasse durch die Schärfe seiner zahlreichen Spektrallinien da, so daß die Messungen an beiden Spektren mit großer Genauigkeit durchgeführt werden können. Die Geschwindigkeiten variieren zwischen — 16 und + 60 km.

Forschung für Freunde der Himmelsbeobachtung. Aus dem Lichte des Sterns sind mit mehreren großen und kleinen sehr gut erhaltenen Fernrohren zum Vorhande angewendet werden. Fernrohren der Himmelsbeobachtung, welche der Anschaffung eines solch ein Instrumentes beabsichtigen und sich deshalb an mich wenden, bin ich zu jeder gewünschten Auskunft geneigt.

De Klein

1) Lick-Observ. Bulletin Nr. 75

Astronomischer Kalender für den Monat September 1905.

Sonne				Mond					
Mittlere Berliner Zeit				Mittlere Berliner Zeit					
δ 1900	Zeit- N. L. — W. L.	Rektascension	Declination	Rektascension	Declination	Abst. im Meridian			
1	+	h m s	° ' "	h m s	° ' "	h m			
1	+	6 14.18	90 21 31.82	+	6 33 23.9	29 31 14.37	+	6 53 24.72	0 49 0
2	—	6 15.10	90 20 39.42		6 34 37.7	29 30 29.98	—	6 54 39.5	0 49 0
3		6 16.02	90 19 47.02		6 35 51.5	29 29 45.5		6 55 54.2	0 48.4
4		6 16.55	90 18 54.62		6 37 05.3	29 29 01.04		6 57 08.9	0 47.8
5		6 17.47	90 18 02.22		6 38 19.1	29 28 16.54		6 58 23.6	0 47.2
6		6 18.40	90 17 09.82		6 39 32.9	29 27 32.04		6 59 38.3	0 46.7
7		6 19.32	90 16 17.42		6 40 46.7	29 26 47.54		7 00 53.0	0 46.1
8		6 20.25	90 15 25.02		6 42 00.5	29 26 03.04		7 02 07.7	0 45.5
9		6 21.17	90 14 32.62		6 43 14.3	29 25 18.54		7 03 22.4	0 44.9
10		6 22.10	90 13 40.22		6 44 28.1	29 24 34.04		7 04 37.1	0 44.3
11		6 23.02	90 12 47.82		6 45 41.9	29 23 49.54		7 05 51.8	0 43.7
12		6 23.55	90 11 55.42		6 46 55.7	29 23 05.04		7 07 06.5	0 43.1
13		6 24.47	90 11 03.02		6 48 09.5	29 22 20.54		7 08 21.2	0 42.5
14		6 25.40	90 10 10.62		6 49 23.3	29 21 36.04		7 09 35.9	0 41.9
15		6 26.32	90 9 18.22		6 50 37.1	29 20 51.54		7 10 50.6	0 41.3
16		6 27.25	90 8 25.82		6 51 50.9	29 20 07.04		7 12 05.3	0 40.7
17		6 28.17	90 7 33.42		6 53 04.7	29 19 22.54		7 13 19.9	0 40.1
18		6 29.10	90 6 41.02		6 54 18.5	29 18 38.04		7 14 34.6	0 39.5
19		6 30.02	90 5 48.62		6 55 32.3	29 17 53.54		7 15 49.3	0 38.9
20		6 30.95	90 4 56.22		6 56 46.1	29 17 09.04		7 17 03.9	0 38.3
21		6 31.87	90 4 03.82		6 58 00.0	29 16 24.54		7 18 18.6	0 37.7
22		6 32.80	90 3 11.42		6 59 13.8	29 15 40.04		7 19 33.3	0 37.1
23		6 33.72	90 2 19.02		7 00 27.6	29 14 55.54		7 20 47.9	0 36.5
24		6 34.65	90 1 26.62		7 01 41.4	29 14 11.04		7 22 02.6	0 35.9
25		6 35.57	90 3 34.22		7 02 55.2	29 13 26.54		7 23 17.3	0 35.3
26		6 36.50	90 3 41.82		7 04 09.0	29 12 42.04		7 24 31.9	0 34.7
27		6 37.42	90 3 49.42		7 05 22.8	29 11 57.54		7 25 46.6	0 34.1
28		6 38.35	90 3 57.02		7 06 36.6	29 11 13.04		7 27 01.3	0 33.5
29		6 39.27	90 3 64.62		7 07 50.4	29 10 28.54		7 28 15.9	0 32.9
30		6 40.20	90 3 72.22		7 09 04.2	29 9 44.04		7 29 30.6	0 32.3
31		6 41.12	90 3 79.82		7 10 18.0	29 9 59.54		7 30 45.3	0 31.7

Planeteneinstellungen 1905

September	d	h k	
"	5	6	Mars in Konjunktion mit dem Mond, Mars 2 ^h 30' steht
"	6	6	Mars in Konjunktion mit dem Mond
"	10	10	Venus in Konjunktion mit dem Mond
"	11	28	Venus im aufsteigenden Knoten
"	12	17	Merkur im aufsteigenden Knoten
"	13	8	Merkur in größter westlicher Elongation, 27 ^h 10'
"	17	7	Merkur im Perihel
"	18	18	Jupiter in Konjunktion mit dem Mond
"	19	8	Uranus im Zeichen der Waage, Perihelion
"	22	10	Uranus in Opposition mit der Sonne
"	23	8	Venus in Konjunktion mit dem Mond, Venus 2 ^h 18' steht
"	24	9	Venus in Konjunktion mit dem Mond
"	27	10	Merkur in größter östlicher heliozentrischer Breite
"	27	12	Merkur in Konjunktion mit dem Mond

Planeten-Ephemeriden.

Mittlere Berliner Mittag.							Mittlere Berliner Mittag.							
Jahr 1890	Rektascension			Declination			Jahr 1890	Rektascension			Declination			
	h	m	s	°	'	"		h	m	s	°	'	"	
Merkur							Saturn							
Sept. 8	16	34	17.98	+	7 50	54.1	20 30	22	4	57.90	-31 50	3.0	32 1	
" 10	"	"	20.70	"	7 57	17.8	22 2	21	22	7	5.89	-31 49	12.4	
12	10	17	23.48	"	8 6	4.1	20 10	22	21	55	48.94	-34	0 0.0	
14	10	20	21.13	"	8 49	40.7	20 48	Uranus						
16	11	7	23.34	"	7 50	54.1	20 2	Sept. 7	18	1	4.99	-31 42	52.0	
18	11	20	21.50	+	8 58	50.0	20 54	17	17	1	12.93	-31 40	50.7	
Venus							Neptun							
Sept. 1	5	10	0.50	+	10 52	30.1	11 30	Sept. 7	4 44	58.00	+38	7 51.0	17 48	
4	"	48	57.10	"	10	7 44.0	10 30	17	4 44	57.54	38	7 50.0	18 1	
10	"	4	59.44	"	10 48	35.9	11 57	27	4 44	47.97	+38	8 18.1	18 10	
14	0	39	59.95	"	10 17	43.1	11 40	Mondphasen 1890.						
18	0	30	5.91	"	10 52	0.0	11 48	h m						
20	0	15	59.95	+	11 41	43.9	11 40	Sept. 8	17	34	Erster Viertel			
Mars							Vollmond							
Sept. 8	10	50	53.58	-	23 47	57.0	0 30	22	7	30	Letztes Viertel			
9	10	30	53.61	"	24 14	39.0	0 30	21	11	34	Neumond			
23	10	47	52.99	"	24 34	58.7	0 30							
26	11	4	49.52	"	24 55	12.9	0 30							
28	11	14	5.90	"	25 14	10.4	0 30							
29	11	10	53.95	-	25 35	47.5	0 30							
Jupiter							Mondphasen 1890.							
Sept. 7	4	10	58.85	+	48 20	49.0	21 14	Sept. 8	17	34	Erster Viertel			
17	4	16	58.35	"	50 24	27.0	21 38	22	7	30	Vollmond			
27	4	16	58.04	+	49 26	52.0	21 57	21	11	34	Letztes Viertel			
							Neumond							
							Mondphasen 1890.							
							h m							
							Sept. 8 17 34							
							22 7 30							
							21 11 34							
							20 10 33.1							
							1 0							
							16 17 8							
							25 1							
							16 17 8							
							25 1							

Sonnenbedeckungen durch den Mond für Berlin 1890.

Datum und Zeit	Starke	Größe	Dauer		Anfang	
			h	m	h	m
Sept. 4	1. Libus	4.0	9	59.4	9	56.0
" 11	2. Apollon	8.4	14	40.2	14	37.6
" 15	3. Proserpin	9.1	20	58.7	20	55.3
" 17	4. Ceres	4.0	14	58.0	14	47.7
" 19	5. Juno	8.7	20	58.0	21	57.4
" 20	6. Juno	4.0	11	58.0	11	58
" 22	7. Juno	4.0	15	58.0	17	57.1
" 25	8. Juno	4.0	16	58.0	17	44.4

Lage und Größe des Saturnmagnets nach Struve.

Sept. 8. Größe Achse der Hauptfluge, 4850", kleine Achse 770",
Einflusswinkel der Erde über der Hauptfluge, 18° 31' südlich.

Sept. 1. Mittlere Schiefe der Ekliptik 23° 27' 4.89"
Schrägen " " 23° 26' 34.18"
Höhenwinkel der Sonne 11° 2.950"
Parallax " " 1.79"

Ercheinungen der Jupitermonde. Die wichtigsten Angaben über die Erscheinungen der Jupitermonde beschränken sich auf mittlere Zeit von Greenwich. Die Trabanten sind der Seitenhöhe ihres Abstandes vom Jupiter nach mit I bis IV bezeichnet. Die vier größten Figuren zeigen die Stellung jedes Mondes mit Bezug auf den Jupiter für den Augenblick der Verfinsternng (M) oder des Wiederaufgehens (A), ist τ nicht angegeben, so kann der Austritt aus dem Schatten nicht beobachtet werden. Ferner bedeutet bei den nachfolgenden Zeitangaben:

- Ec D das Verschwinden des Trabanten im Schatten des Jupiter.
Ec R den Austritt des Trabanten aus dem Schatten des Jupiter.
Oc D das Verschwinden des Trabanten hinter der Jupiterschibe.
Oc R das Wiederaufgehen scheinb. neben der Jupiterschibe.
Tr I den Eintritt des Trabanten vor der Jupiterschibe.
Tr E den Austritt des Trabanten aus der Jupiterschibe.
Sh I das Eintritt des Trabanten in die Jupiterschatten.
Sh E den Austritt des Trabanten aus der Jupiterschatten.

Es sind nur diejenigen Erscheinungen der Jupitermonde aufgeführt, welche sich ereignen, wenn Jupiter im Greenwich über und die Sonne unter dem Horizont steht. Um die Momente dieser Erscheinungen nach mittheilungswürdiger Zeit zu finden, ist dies nur nöthig, τ zu dem angegebenen Zeitpunkt zu addiren.

Sept. 1. I. Sh. E. 2^h 10^m. I. Tr. E. 11^h 30^m. Sept. 2. II. Sh. I. 10^h 10^m. Sept. 3. III. Ec. D. 11^h 10^m 11^m. III. Ec. R. 12^h 10^m 11^m. Sept. 4. II. Ec. D. 10^h 10^m 41^m. II. Ec. R. 10^h 40^m 41^m. II. Oc. D. 10^h 10^m. II. Oc. R. 10^h 10^m. Sept. 5. III. Tr. E. 10^h 41^m. I. Sh. I. 10^h 10^m. I. Tr. E. 10^h 41^m. Sept. 6. III. Tr. E. 10^h 10^m. I. Oc. D. 10^h 10^m. I. Oc. R. 10^h 10^m. Sept. 7. III. Tr. E. 10^h 10^m. I. Ec. D. 10^h 10^m 41^m. I. Oc. R. 10^h 10^m. Sept. 8. I. Sh. I. 10^h 10^m. I. Tr. E. 10^h 10^m. I. Oc. R. 10^h 10^m. Sept. 9. III. Ec. D. 10^h 10^m 11^m. III. Ec. R. 10^h 10^m 11^m. II. Oc. D. 10^h 10^m. Sept. 10. II. Sh. E. 10^h 10^m. II. Tr. I. 10^h 10^m. II. Tr. E. 10^h 10^m. I. Sh. I. 10^h 10^m. III. Tr. E. 10^h 10^m. I. Sh. D. 10^h 10^m 11^m. Sept. 11. II. Ec. D. 10^h 10^m 11^m. II. Ec. R. 10^h 10^m 11^m. II. Oc. D. 10^h 10^m. Sept. 12. II. Sh. E. 10^h 10^m. II. Tr. I. 10^h 10^m. II. Tr. E. 10^h 10^m. I. Sh. I. 10^h 10^m. III. Tr. E. 10^h 10^m. I. Sh. D. 10^h 10^m 11^m. Sept. 13. I. Sh. I. 10^h 10^m. I. Tr. E. 10^h 10^m. I. Oc. R. 10^h 10^m. Sept. 14. I. Sh. I. 10^h 10^m. I. Tr. E. 10^h 10^m. I. Oc. R. 10^h 10^m. Sept. 15. I. Sh. I. 10^h 10^m. I. Tr. E. 10^h 10^m. I. Oc. R. 10^h 10^m. Sept. 16. I. Sh. I. 10^h 10^m. I. Tr. E. 10^h 10^m. I. Oc. R. 10^h 10^m. Sept. 17. I. Sh. I. 10^h 10^m. I. Tr. E. 10^h 10^m. I. Oc. R. 10^h 10^m. Sept. 18. I. Sh. I. 10^h 10^m. I. Tr. E. 10^h 10^m. I. Oc. R. 10^h 10^m. Sept. 19. I. Sh. I. 10^h 10^m. I. Tr. E. 10^h 10^m. I. Oc. R. 10^h 10^m. Sept. 20. I. Sh. I. 10^h 10^m. I. Tr. E. 10^h 10^m. I. Oc. R. 10^h 10^m. Sept. 21. I. Sh. I. 10^h 10^m. I. Tr. E. 10^h 10^m. I. Oc. R. 10^h 10^m. Sept. 22. I. Sh. I. 10^h 10^m. I. Tr. E. 10^h 10^m. I. Oc. R. 10^h 10^m. Sept. 23. I. Sh. I. 10^h 10^m. I. Tr. E. 10^h 10^m. I. Oc. R. 10^h 10^m. Sept. 24. I. Sh. I. 10^h 10^m. I. Tr. E. 10^h 10^m. I. Oc. R. 10^h 10^m. Sept. 25. I. Sh. I. 10^h 10^m. I. Tr. E. 10^h 10^m. I. Oc. R. 10^h 10^m. Sept. 26. I. Sh. I. 10^h 10^m. I. Tr. E. 10^h 10^m. I. Oc. R. 10^h 10^m. Sept. 27. I. Sh. I. 10^h 10^m. I. Tr. E. 10^h 10^m. I. Oc. R. 10^h 10^m. Sept. 28. I. Sh. I. 10^h 10^m. I. Tr. E. 10^h 10^m. I. Oc. R. 10^h 10^m. Sept. 29. I. Sh. I. 10^h 10^m. I. Tr. E. 10^h 10^m. I. Oc. R. 10^h 10^m. Sept. 30. I. Sh. I. 10^h 10^m. I. Tr. E. 10^h 10^m. I. Oc. R. 10^h 10^m.

Stellungen der Saturnmonde. (Erklärung S. 74.)

Zeiten der mittleren Elongation im September 1700.

Westen. Sept. 3. 17^h, Sept. 4. 17^h, Sept. 5. 17^h, Sept. 6. 17^h, Sept. 7. 17^h, Sept. 11. 17^h, Sept. 12. 17^h, Sept. 13. 17^h, Sept. 14. 17^h, Sept. 15. 17^h, Sept. 16. 17^h, Sept. 17. 17^h, Sept. 18. 17^h, Sept. 19. 17^h, Sept. 20. 17^h, Sept. 21. 17^h, Sept. 22. 17^h, Sept. 23. 17^h, Sept. 24. 17^h, Sept. 25. 17^h, Sept. 26. 17^h, Sept. 27. 17^h, Sept. 28. 17^h, Sept. 29. 17^h, Sept. 30. 17^h.
Osten. Sept. 1. 17^h, Sept. 2. 17^h, Sept. 3. 17^h, Sept. 4. 17^h, Sept. 5. 17^h, Sept. 6. 17^h, Sept. 7. 17^h, Sept. 8. 17^h, Sept. 9. 17^h, Sept. 10. 17^h, Sept. 11. 17^h, Sept. 12. 17^h, Sept. 13. 17^h, Sept. 14. 17^h, Sept. 15. 17^h, Sept. 16. 17^h, Sept. 17. 17^h, Sept. 18. 17^h, Sept. 19. 17^h, Sept. 20. 17^h, Sept. 21. 17^h, Sept. 22. 17^h, Sept. 23. 17^h, Sept. 24. 17^h, Sept. 25. 17^h, Sept. 26. 17^h, Sept. 27. 17^h, Sept. 28. 17^h, Sept. 29. 17^h, Sept. 30. 17^h.
Triden. Sept. 1. 17^h 17^m, Sept. 2. 17^h 17^m, Sept. 3. 17^h 17^m, Sept. 4. 17^h 17^m, Sept. 5. 17^h 17^m, Sept. 6. 17^h 17^m, Sept. 7. 17^h 17^m, Sept. 8. 17^h 17^m, Sept. 9. 17^h 17^m, Sept. 10. 17^h 17^m, Sept. 11. 17^h 17^m, Sept. 12. 17^h 17^m, Sept. 13. 17^h 17^m, Sept. 14. 17^h 17^m, Sept. 15. 17^h 17^m, Sept. 16. 17^h 17^m, Sept. 17. 17^h 17^m, Sept. 18. 17^h 17^m, Sept. 19. 17^h 17^m, Sept. 20. 17^h 17^m, Sept. 21. 17^h 17^m, Sept. 22. 17^h 17^m, Sept. 23. 17^h 17^m, Sept. 24. 17^h 17^m, Sept. 25. 17^h 17^m, Sept. 26. 17^h 17^m, Sept. 27. 17^h 17^m, Sept. 28. 17^h 17^m, Sept. 29. 17^h 17^m, Sept. 30. 17^h 17^m.



Seite 106

Tafel VII

Die Mandragora in der Umgebung des Ringsteins-Gasthof
nach photographischer Aufnahme auf der Yorks-Burg.

SIRIUS.

Zeitschrift für populäre Astronomie.

Centralorgan für alle Freunde und Förderer der Himmelskunde.

Herausgegeben

unter Mitwirkung hervorragender Fachmänner und renommierter Schriftsteller

von Prof. Dr. Hermann J. Klein in Bonn

August 1906.

„Wissen und Erleben“ und die Freunde und die
Bewegung der Menschheit. — Kosmos.

Jeden Monat 1 Heft. — Jährlich 12 Mk

Verlag von EDUARD HEINRICH WAYER in Leipzig.

INHALT: Die Antropometrie. Von W. W. Campbell. S. 145. — Meteorologische Schein-
tung der Elemente der Sonnenstrahlung. S. 124. — Zeitbestimmungen der Flecken des Planeten
Jupiter auf der Sternkarte zu Kielberg. S. 113. — Photographische Aufnahmen der Spindel
des Jovier. Umriss und Skizzen auf dem Lowell-Observatorium. S. 101. (Hans Taffel IX.)
— Ein volkreicher Stern sehr im Südlichen. S. 192. — Kometische Nachbarn. S. 185.
— Astronomische Kometen. S. 181. — Stellung der Jovierwelt. S. 171. — Entstehung
der Jovierwelt. S. 163. — Stellung der Saturnwelt. S. 151.

Die Astrophysik.

Rede auf dem internationalen Kongress für Kunst und Wissenschaft zu S. Louis

Von Paul W. W. Campbell, Direktor der Lickobservatorien

Es ist gerade einem Gebiete der Wissenschaft tätig sein sehr, nach dem Erfolg zu haben, die allgemeinen Prinzipien, welche sich auf den Gegenstand seiner Forschungen beziehen, im Auge behalten und gleichzeitig seine Aufmerksamkeit unablässig den Details zuzuwenden. Darunter ist es überaus, wenn er von Zeit zu Zeit nach der Tragweite seiner Arbeiten vom Standpunkte der Wissenschaft im allgemeinen betrachtet. Ob es unser Zweck ist die starren Positionen der Sterne festzulegen, oder ihre radialen Geschwindigkeiten zu bestimmen, ob wir die Bahnen der Planeten ermitteln oder die Beschaffenheit der Sonne studieren, nicht

verloren wir nur geringe Beiträge zur Lösung der beiden großen Probleme der Himmelskunde zu haben, die sich in folgender Formulierung ausdrücken lassen:

1. Ermittlung des Baues der Sonne selbst im inneren Raume, sowie der allgemeinen Anordnung ihrer Glieder und deren Bewegungen nach dem Gesetze der Anziehung.

2. Bestimmung der physikalischen Beschaffenheit der Nebelwolken, Sterne, Planeten und der anderen Himmelskörper, der Geschichte ihrer Entwicklung bis zum jetzigen Stadium und der Zukunft, die ihnen bevorsteht.

Das ursprüngliche Problem kann man

kann manieren die Position, wo die Sterne sind und wieweit sie gehen. Damit beschäftigt sich die Astronomie. Das zweite Problem betrifft die Natur und eigentümliche Beschaffenheit der Himmelskörper und hiermit beschäftigt sich die Astrophysik. Das Aufgaben beider Gruppen der Forschung sind bestimmt, aber wenn man das zukünftige Ziel dem die entsprechen, im Auge faßt, so beschäftigt sich jeder Astronom gewissermaßen doch mit beiden Gruppen. Der Astrophysiker entwirft der Astronomie die Angaben über die Positionen der Sterne, und der Astronom, welcher Sternörter bestimmt, bedarf seinerseits der Astrophysikers. Die Astrophysik will die Strahlungen der verschiedenen Sternentypen feststellen, z. B. des Sirius und der Sonne. Mit Hilfe des Mikroskops und des Teleskops hat man einen Begleiter des Sirius entdeckt, die spektroskopischen Messungen haben die Bahnform festgestellt, das Helium hat die Entfernung des Sternes, das Planchonier ist Leuchtstoffe. Die auf Grund dieser Daten angestellten Berechnungen ergeben, daß Sirius 25 mal so viel Masse hat als die Sonne und 21 mal so viel Licht ausstrahlt als diese. Hieraus folgt, daß eine gewisse Menge der Masse des Sirius bedeutend mehr Energie ausstrahlt als die gleiche Quantität der Sonne, und dies ist eine Tatsache von größter Bedeutung für das astrophysikalische Studium aller Sterne der Klasse des Sirius. Der Kenntnis der Protoplasma ist unerlässlich, sowohl für denjenigen, welcher die Entwicklung der Sterne studieren will, als für den, welcher den Bau der Sternwelt studiert. Auf der andern Seite verläßt die Ermittlung der roten od. b. des in der Quasidrehung zur Erde hinlaufenden Teleskop Gesteinsgebiet der Sterne hat ausschließlich stehenden Beobachtern, welche sich speziell mit den Problemen und Methoden der Astrophysik beschäftigen, während durch die Astronomie unabhängig diese Ergebnisse zur weiteren Verwertung erwartet. Diese gegen-

sätzliche Übergänge der beiden Gebiete der Astronomie ist aber das Symbol des Fortschritts.

Der Name Astrophysik ist während unserer Generation aufgenommen, aber die ersten Anfänge dieses Wissenschaftigen sind doch etwas älter. Die Entwicklungs-hypothese von Kant und Laplace, die Beobachtungen der Nebelringe und Sternhaufen durch Wilhelm Herschel und dessen schlußfolgernde Schlüsse über diese Himmelskörper, verschiedene Untersuchungen über die Eigenheitlichkeit der Planeten und die Verhältnisse, unter denen sich diese bilden, die systematischen Forschungen über die Sonnenflecken und die Entdeckung der 11-jährigen Periode ihrer Häufigkeit durch Schwabe, diese Forschungen bildeten vor etwa 50 Jahren den wesentlichen Teil der Wissenschaft. Der Wunsch, die Naturgesetze der Himmelskörper zu erforschen, war bereits bei vielen Forschern lebhaft, als die entscheidende Entdeckung der Prinzipien der Spektralanalyse durch Kirchhoff die Grenzen öffnete, welche zu übersteigen so manche längst ungeduldig waren. Das Spektroskop wurde plötzlich das Hauptinstrument der Astrophysiker und es ist so hart gebildet. Indessen besteht sich auch dieser keineswegs darauf, das Spektrum zu erforschen, und das Spektroskop ist nicht sein einziges Hand-instrument. Alle Arten der Strahlungen, vielmehr und es, die er untersucht, und die Instrumente, welche diese Menge und Beschaffenheit angeben, bilden seine Hilfsmittel. Die große Vervielfachung der wissenschaftlichen Wirkheiten aber, z. B. die Lehre der Entwicklung und der Erhaltung der Energie, erweitert sich hier nicht minder unbegrenzt als auf andern Gebieten.

Das Studium der Sonne bildet den Hauptteil der astrophysikalischen Untersuchungen. Die Sonne ist die gewöhnliche Stern gleich Millionen anderer Sterne, aber die einzige von denen, welcher uns nahe genug ist, um den Anblick einer Scheibe zu gewähren.

Die Sonne zeigt sich nur als Punkt, und jeder spätere Punkt kann nur als Ganzes studiert werden; die Sonne dagegen ist infolge ihrer großen Scheibe der Untersuchung im Detail zugänglich. Im Obertgen dürfen wir nicht eher hoffen, die Sonne im Großen und Ganzen zu kennen, als wir unsern eignen Stern, die Sonne, gründlich erkannt haben. Es ist uns indessen nur möglich den Sonnenkörper mittels indirekter Methoden zu studieren. Das Sonneninnere ist für uns unerschbar, der kugelförmige Körper, den wir gewöhnlich als Sonne bezeichnen, wird uns durch die nachdrückliche Photosphäre verborgen. Dieser photosphärische Schilder mit den dunklen Sonnenflecken, die heißen Sonnenbeuge, die sogenannte strahlende Schicht unmittelbar über der Photosphäre, die Chromosphäre, welche die obengenannte Schicht unmittelbar überdeckt, die Protuberanzen, welche wahrscheinlich aus der Chromosphäre hervorgehen, die Korona, welche in allen Richtungen und bis zu sehr großen Entfernungen die Sonne umgibt: alle diese verschiedenen Sonnenklassifikationen sind allein nur der direkten Beobachtung zugänglich. Sie bilden aber nur einen unbedeutenden Bruchteil der ganzen Sonnenmasse, in Wahrheit sind sie die von ihr nach außen gerichteten Partien, und was wir von der Sonne wissen, beruht fast ausschließlich auf dem Studium dieser Teile. Nichtsdestoweniger sind wir doch in der Lage eine einfache und überzeugende Theorie der Konstitution der Sonne zu formulieren.

Die Stoffe, aus denen die Sonne besteht, scheinen von der nämlichen Art zu sein wie diejenigen, welche die Erdrinde bilden. Von 80 chemischen Elementen, welche wir kennen, ist eines materialis die Hälfte gemäß ihren Spalten in der strahlenden Schicht und in der Chromosphäre der Sonne nachgewiesen worden. Das Vorhandensein der übrigen ist nicht erwiesen, aber man hat keinen besondern Grund anzunehmen, daß sie auf der Sonne fehlen. Die vollständigste

Untersuchung der Zusammensetzung der Sonne hat Rowland Angström angestellt, und er kommt dabei zu dem Schlusse, daß, wenn unsere Erde bis zur Temperatur der Sonne erhitzt würde, ihr Spektrum mit dem der Sonne identisch sein würde. Die Intensität der Schwerkraft an der Oberfläche der Sonne ist bekannt, die Größe des Druckes, welcher im Innern derselben herrscht ist indessen noch nicht ermittelt, weil es von dem uns unbekannten Gaset abhängt, nach welchem die Dichte mit der Tiefe unter der Sonnenoberfläche zunimmt. Der geringste Wert, den man für die Größe des Druckes im Zentrum der Sonne annimmt, ist wie man gleich 10000 Millionen mal so groß wie der Luftdruck auf der Erde im Meeresspiegel. Der wahrscheinlichste Wert der Temperatur an der strahlenden Oberfläche der Sonne beträgt etwa 6000° C, dergleichen im Zentrum der Sonne erreicht mindestens 1000000° C. Infolge dieser hohen Temperaturen und wegen der geringen durchschnittlichen Dichte der Sonne, muß das Innere derselben zum großen Teil oder vielleicht völlig gasförmig sein; aber wegen des ungeheuren Druckes ist die große Teil des centralen Kerns derselben vielleicht in einem festen Zustande und besteht in dem gasförmigen Zustand übertragene, welche durch Konvektionsbewegungen die äußere Masse unter geringeren Druck gehen.

Die oberflächlichen Schichten der Sonne strahlen nach allen Seiten ins Nirana in den Raum aus, und infolgedessen können Konvektionsbewegungen die strahlenden Massen ins Innere transportieren, während wirrelose Massen entsprechend an die Oberfläche emporsteigen. Diese Strömungen machen die Sonne zu einem köstlich umgebenen Centrum. Die Materie, welche emporsteigt, kommt dabei in Regionen mit größerer Rotationsgeschwindigkeit, die nachhergendem in solche mit geringerer, und diese Umstände müssen Einfluß auf die Bewegungen der Sonnenmaterie ausüben.

Die mechanische Theorie der Entstehung wenigstens eines Theils der Sonnenstrahlung muß als eine notwendige Folgerung aus dem Gesetze der Schwerkraft betrachtet werden. Helmholtz hat berechnet, daß eine Kontraktion des Sonnendurchmessers um weniger als 120 m jährlich, ausreichen würde, um den jetzigen Strahlungsverlust der Sonne zu kompensieren. Es ist aber sehr zweifelhaft, ob dies der einzige Umstand ist, der hier in Betrachtung tritt. In dieser Beziehung bietet die Entdeckung der radioactiven Kräfte des Urans, des Thorium und Radium gegenwärtig ein besonders interessantes, denn die Untersuchung dieser radioactiven Substanzen hat das Vorhandensein mächtiger Kräfte im Innern der Sonne enthüllt, von denen wir früher keine Wirkungen kannten. Die von einem Atom dieser Substanzen entwickelte Energie übertrifft um mehrere hundertmal die bei der gewöhnlichen chemischen Umföhrung entwickelte Energie einer gleich großen Masse aller uns bekannten Körper. Wirken diese Kräfte wirklich auch auf der Sonne, und vertragen deren Existenz als Energie ausstrahlenden Körper, indem die gleichzeitig die von Helmholtz hervorgehobene Kontraktion des Sonnendurchmessers vorwiegend? Wir wissen es nicht. Nichts aber zwingt uns zu der Annahme, daß die Gravitation allein der Regulator der Sonnenstrahlung sei, auch abgesehen die Schätzungen der Geologen bezüglich des Alters der Erde bei weitem die Zeithaube, welche nach der Sonnenstrahlung festgesetzt kann, wenn dieselbe vollständig von der Oberfläche unbedeckt wurde. Der besonderte Schöner der Photosphäre, welcher den Sonnenkörper zunächst umgibt, ist ohne Zweifel ein Produkt der Kondensation der glühenden metallischen Dämpfe, die beim Austritt ihrer Wärme in dem kalten Weltraum unter dem kräftlichen Einfluß ihrer Temperatur erstarren. Diese Wolken schwimmen in einem gasförmigen Meer nicht verdensierter Dämpfe, ähnlich wie unsere Wolken in der Atmo-

sphäre. Es scheint aber wahrscheinlich, daß sie sich nach und kontinuierlich bilden, und daß sie sich von oben oder in Zwischenräumen vergrößern, während die von unten empfindende Wärme sie immer von unten auflöst.

Die Flocke sind also die am meisten dichten und am wenigsten erdichten Sonnenphotosphären. Es ist unzweifelhaft, daß sie große Veröföhrungen in der Photosphäre bilden, auch bezogen sie offenkundig das Vorhandensein einer atmosphärischen Zirkulation. Die Beobachtungen von Flocken nahe dem Sonnenrande, um festzustellen, ob diese Erhöhungen oder Veröföhrungen in der Photosphäre sind, verdienen kein Vertrauen, wegen der wahrscheinlich vorhandenen unregelmäßigen Refraktoren in den Schichten, welche diese Flocken bedecken und umgeben. In unserem irdischen Atmosphäre zeigt hoher Barometerstand das Vorhandensein steigender Luftströme an, welche Erhöhung dieser Luftschichten durch Kompression verursachen und die Entstehung von Wolken verhindern. Könnte nicht die Penumbra der Sonnenflecke, wie Secchi zuerst ausgesprochen hat, eine Flocke hohen Grades auf der Sonnenoberfläche, wo die Strömungen sich allmählich abwärts bewegen, während in der Umgebung anhaltende Ströme vorhanden sind, welche die hellen Flocken hervorheben? Die Flocke sind es nicht allein, welche aus Kunde von lebhaften Bewegungen auf der Sonne bringen, vielmehr ist die Oberfläche der letzteren auch von einer Art Netzwerk dunkler Streife überzogen, welche die einzelnen Wolken voneinander trennen, und sich wahrscheinlich unter denselben Verhältnissen befindet wie diese, aber in wesentlich kleineren Verhältnissen.

Prof. Young hat wahrscheinlich recht, wenn er behauptet, daß die dunklen Fraunhofer'schen Linien ihren Ursprung der Absorption in einer wenig dichten Schicht uncondensierter Dämpfe der Sonne verdanken, welche sich unmittelbar über und zwischen den photosphärischen Wolken befindet. Die Ober-

osphäre, welche mehrere tausend Kilometer Höhe besitzt, erstreckt sich viel höher hinauf, als die unterste Schicht und enthält leichte Gase wie Wasserstoff und Helium, sowie Dämpfe des Kaliums, des Natriums und anderer chemischen Elemente, welche bei der dort herrschenden Temperatur nicht kondensiert werden.

Die Protuberanzen zeigen im allgemeinen die nämliche Zusammensetzung wie die Chromosphäre, in einigen Überlegen die leichteren Gase, in anderen die schweren metallischen Dämpfe. Es sind Teile der Chromosphäre, welche über deren gewöhnliches Niveau durch außerordentlich heftig aufsteigende Strömungen, oder vielleicht auch durch vulkanische Eruptionen emporgehoben sind; Kriße die hingegen sehr wahrscheinlich durch die Strahlung der Sonne verursacht werden. Schwer ist es, jene riesigen wolkenähnlichen Protuberanzen zu erklären, welche sich in sehr hohen Regionen über der Chromosphäre zeigen. Man nimmt an, daß sie in dieser Lage durch Kriße erhalten werden, welche dem Zuge der Schwerkraft entgegenwirken.

Von der Natur der Kriße, welche die allgemeine Ursache sind die Details der Korona bedingen, kann man sich gegenwärtig noch keine genügende Rechenschaft geben. Bewegung ist in der Korona noch niemals beobachtet worden, indessen kann es nicht zweifelhaft sein, daß der Materie der Korona von der Sonne her emporgeschleudert worden ist und ein Teil davon zurückfiel, so es heißt, oder zu größeren Flecken vorhanden. Einige nehmen an, daß die Teilchen der Koronamaterie ursprünglich in Bewegung versetzt wurden durch die gewaltige Zirkulation auf der Sonne, dann weiter getrieben werden durch den Druck der Radiation, und endlich unter dem Einfluß einer magnetischen Kriße, die charakteristische Strömungsrichtung gewonnen, welche die Korona zeigt. Das von ihr aus ausgehende Licht ist von anderer Art. Ein kleiner Teil

dieselben senden ist dunkel Gase, welches die Chromosphäre bedeckt und ruhen auf der Erde wohl bekanntes Element umschließt, das den kleinen Koronaeinrichtungen hat. Es ist sehr ungewöhnlich über die Sonnenoberfläche verstreut und bevorzugt insbesondere die Zone der Flecke. Die Strahlung dieser Koronaeinrichtungen ist sehr verschieden von der sonstigen Koronastrahlung, welche ein kontinuierliches Spektrum liefert und weit reichend von kleinen Teilchen einer glühenden Materie ausgeht, die von der Sonnenmitte auf diese hohe Temperatur gebracht wurde. Ein kleiner Teil des von innen, und ein großer Teil von dem äußeren Teile der Korona herkommenden Lichtes besteht aus Sonnenstrahlen, die von den Partikeln, welche die Korona bilden, reflektiert und gebrochen wurden.

Abbott hat festgestellt, daß die absolute Temperatur in der Korona fast gleich war derjenigen des Zimmers in dem er beobachtete, und Andersson hat jüngst gezeigt, daß dies sich gut mit der vom Spektralanalyse angedeuteten Existenz einer warmen Korona, bestehend aus glühenden Partikeln, vereinigt. Dieser Forscher berechnet, daß unter der Annahme von einem Kubikfaden in jedem Kubikfuß von 11 Kubikfaden, das von Abbott beobachtete Teilchen der Korona und unter Voraussetzung einer absoluten Temperatur von 4625°, wie solche die Sieghardsche Gaseisröhre, eine Korona von der Helligkeit und sichtbaren Temperatur sein würde, wie sie wirklich beobachtet wird. Arrhenius glaubt auch, daß eine Korona, die aus glühenden Partikeln besteht, keine größere Masse, als die einem Gewicht von 25 Millionen Tons entspricht, zu haben braucht, um soviel Licht auszusenden, als der hellste Koronaeinrichtung. Diese Masse entspricht einem kubischen Granitblocke von 200 m Seitenlänge, während sehr wenig für die Volumen von Millionen Kubikmetern!

Als Schlussfolgerung aus dieser Theorie der Sonne müssen wir eine

Menge von Fragen aufwerfen, die laienhaft wichtig, aber noch unbeantwortet sind. Die wichtigste darunter ist die, ob die Sonnenstrahlung variiert und nach welchem Gesetz? Ferner: weshalb erstreckt eine Periode mit der Sonnenflecke, und weshalb und dann vorzugsweise auf gewisse Zonen der Sonnenoberfläche beschränkt? Woher kommt es, daß das Aussehen der Korona sich in der nämlichen 11-jährigen Periode verändert, wie die Häufigkeit der Flecke? Warum nimmt die Rotationsgeschwindigkeit der Sonne von den Polen gegen den Äquator hin zu? Welches ist der Ursprung der Sonnenflecke? Wie kommt es, daß die Fraunhofer'schen Linien des Sonnenspektrums keinen hohen struk-

turalen Druck darüber verrät? Weshalb ist die Strahlung des Roten und anderer schweren Elemente in den hohen Regionen der Sonnenatmosphäre und in den Protuberanzen viel schwächer? Falls diese Fragen bereits auf Beantwortung im Verlaufe der wichtigsten Untersuchungen der letzten Zeit, ist man gegenwärtig mit einer Organisation beauftragt, welche die Sonnenbeobachtung in großem Maße ermöglichen soll, und welche ist von größter Wichtigkeit, dass das Studium der Sonne selbst die Hauptthema der astrophysikalischen Forschungen, und als angereicherter Quell bei jenen vernachlässigt worden.

(Forts. folgt)

Wahrscheinliche Schwankung der Intensität der Sonnenstrahlung.

Für den astrophysikalischen Observatorium der Smithsonian Institution in Washington sind in den Jahren 1903 bis 1905 Beobachtungen über die Sonnenstrahlung angestellt worden, welche nach den Berichten von Prof. Langley recht merkliche Schwankungen derselben bezeugen wahrscheinlich machen. In einem Referat darüber¹⁾ heißt es: Während der letzten 17 Monate sind Beweise in drei voneinander unabhängigen Gruppen der Beobachtungen erhalten worden, die zu dem Ergebnisse führen, daß die Sonnenstrahlung innerhalb kurzer Perioden von wenigen Monaten um Größen bis zu 10% der ganzen Strahlung schwankt, und daß diesen Schwankungen Temperaturschwankungen von mehreren Graden über große Fortlandgebiete der Erde entsprechen. Diese Tatsache ist von so bedeutender Wichtigkeit, daß man weitere Beläge zu ihrem Gelingen abwarten muß.

Was die oben erwähnten Beläge anbelangt, so bestehen sie in folgenden: 1. Die Konstanz der Sonnenstrahlung wurde an allen diese geringsten Tagen bestimmt und auf ihren Wert außerhalb der Atmosphäre reduziert. Dabei fanden sich Schwankungen bis zu 10%. Für die letzte zwei bemerkte Ursache sich auffinden ließ.

2. Das von einem horizontalen Fernrohr erhaltene Spektrum wurde mit dem Spektroheliometer untersucht, um die Absorption der Strahlung in der Sonnenkappe selbst zu bestimmen. Wenn man annahm, daß der Wert der Sonnenstrahlung außerhalb unserer Atmosphäre von Zeit zu Zeit nach auf und ab schwankt, wie solches beobachtet wurde, so kann die Ursache dieses nicht in der großen Veränderlichkeit der Temperatur eines so ungeheuer großen Körpers, wie die Sonne ist, liegen, wie man sich mehr auf der Veränderlichkeit der Absorption einer mehr oder weniger opaken, die Sonne umgebenden Hülle beruht. Dem entsprechend sind die besten Untersuchungen wenig miteinander ver-

¹⁾ American Journal of Science 1905, ser. 4, vol. 16, p. 266.

knüpft, dass wenn eine beträchtliche Zunahme in dem Werte der Sonnenstrahlung außerhalb unserer Atmosphäre stattfände, müssen wir eine entsprechende Abnahme in Absorptionsvermögen der Atmosphäre ansetzen.

Dies ist in der Tat eins der wichtigsten Ergebnisse der Arbeiten dieses Jahres. Im August, September und Oktober 1903 zeigten die Beobachtungen, daß die Strahlungsgröße etwa 10% unter der im Februar 1904 gemessenen war. Andererseits zeigten die Messungen der Absorption der Sonnenstrahlung eine bedeutend geringere Absorption im Februar 1904 als im September 1903.

3. Diese Art Befüge für die Schwankungen der Sonnenstrahlung stimmt sehr auf ein Studium der Temperaturen der nördlichen gemäßigten Zone, gemäss den internationalen Beobachtungsnetzen, die von der Deutschen Seewarte veröffentlicht wurden. Diese Berichte geben die mittlere Temperatur um 2° niedriger für je zehn Tage an etwa 100 Stationen, die über die Hauptlandflächen der nördlichen gemäßigten Zone verteilt sind, an. Für etwa 50 dieser Stationen sind auch die normalen Temperaturen (für Mittel mehr Jahre) für denselben Zeitabschnitt gegeben. Aus diesen Daten sind die Temperaturabweichungen von der Normen mit dem 1. Januar 1903 berechnet und diese graphisch mit den im Jahre 1903 gemachten Messungen der Sonnenkonstanten verglichen worden. Es ergab sich, daß kurz nach der beob-

achteten Abnahme der Sonnenstrahlung im März 1903 ein allgemeines Sinken der Temperatur eintrat, was ein natürliches Ergebnis solcher Änderung sein mußte. Dabei zeigte sich übereinstimmend mit den bekannten Strahlungsgrößen, daß 10% Abnahme der Sonnenstrahlung ein Sinken der Erdoberflächen um nicht mehr als 1.5° C. hervorbringen konnte, und daß mehrere Ursachen namentlich die Ozeane, eine solche Änderung der Temperatur, wie sie aus einer zeitweiligen Abnahme der Sonnenstrahlung von nur wenigen Monaten Dauer sich ergeben müßte, verursachen. Das beobachtete Sinken der mittleren Temperatur über den Landflächen der nördlichen gemäßigten Zone um etwa 2.5° C. im April 1903 stimmt somit in guter Übereinstimmung mit den Beobachtungen der Sonnenstrahlung zu sein.

Befüge der ungetrübten Beobachtung während der ersten sechs Monate des Jahres 1904 konnten nur wenig Messungen der Sonnenkonstante, die mit denjenigen von 1903 vergleichbar sind, erhalten werden. Die besten dieser Messungen scheinen aber keine Werte der Sonnenstrahlung im Februar 1904 und niedrigere in den folgenden Monaten anzudeuten. Dies stimmt in allgemeinen Worten mit der in der nördlichen gemäßigten Zone beobachteten Temperatur, nur war die Sonnenstrahlung im Januar ebensohoch als im Februar, doch der Mangel an guten Wetterbeobachtungen macht eine genau Feststellung unmöglich.

—*—

Beobachtungen der Flecken

des Planeten Jupiter auf der Sternwarte zu Königsberg.

Der Planet Jupiter bildet seit seiner Streifen und Flecken ein sehr dankbares Objekt für die teleskopische Beobachtung. Schon mit mäßigen Instrumenten sind seine Streifen zu sehen und selbst gelegentlich dunkle Flecken

in derselben, so daß schon Omnesius Cassini mittels eines solchen die Umdrehungsdauer Jupiters bestimmen konnte. Er fand dafür 9^h 56^m, was aber auch zu der Überzeugung, daß dieser Fleck eine gefolge und daß

veränderliche Eigenbewegung kennen habe. Noch im Jahre 1715 war der von Cassini beobachtete Fleck auf der Jupiterseite nicht sichtbar. Im Jahre 1715 beobachtete Sybasta in Marzelle eines andern dunklen Fleck auf der Jupiterscheibe und fand daraus als Umdrehungsdauer dieses Planeten (Umdrehungsummer) mit Cassini 9 1/2 Stn. Später hat H. Schröder sich ebenfalls mit Beobachtungen des Jupiter beschäftigt und kam bezüglich der Rotation dieses Planeten zu dem gleichen Resultate wie Cassini, nach demselben ist die Eigenbewegung der Flecke und spricht sich daher aus, daß auf dem Jupiter beträchtliche Stürme herrschen müßten, welche die Flecken durch die Atmosphäre des Planeten mit geringerer Geschwindigkeit fortbewegen. Eine genaue Untersuchung des Gegenstandes führte erst Beer und Mädler anstellen. Sie beobachteten zwei ziemlich gut begrenzte dunkle Flecken etwas nördlich vom Jupiteräquator, während der Zeit vom 4. November 1834 bis zum 19. April 1835. Die Pyramiden, deren sie sich bedienten, hatten Objectivs von 40" und 40" Durchmesser. Die beiden Flecke schienen sich auf einem genau streifen der nördlich vom Jupiteräquator und diesem parallel sich erstreckte, während auf der südlichen Hemisphäre Jupiters ein ähnlicher Streifen über einem dunklen Flecke bestand. Der nördliche Streifen wurde allmählich immer blässer und verschwand im Februar 1835 völlig, so daß der Flecke isolirt stehen blieb. Der südliche Streifen war dagegen lebhafter (dunkler) geworden. Zur Bestimmung der Rotationsdauer des Jupiter wurden die Beobachtungen so angestellt, daß die Zeissensysteme rotirt wurden, wenn jeder der beiden Flecke auf der Mitte der Scheibe des Planeten zu stehen schien. Bei geringerer Luft und ruhigerem Witter konnten sich die Beobachter meist schon nach zwei Minuten überzeugen, daß der Flecke nicht mehr auf der Mitte standen.

Mittels einer scharfen Berechnung ermittelten die Beobachter später die Rotation des Jupiter und die relative Eigenbewegung der Flecke. Sie fanden, daß eine gleichförmige Rotation des Beobachteten nicht genau d. h. mit andern Worten, daß die beobachteten Flecken keine festen Oberflächenmerkmale des Jupiter, sondern allem Anscheine nach Ansätze anderer Wolken sind, von denen sie sich allmählich durch ihre Größe, Intensität und Konstanz völlig unterscheiden. Die eigenen Bewegungen der Flecke stießen nicht recht sehr genau heraus, etwa 16 bis 21 Meilen täglich, was nur der Schwindigkeit eines schwachen Windes auf der Erde entspricht. Die durchschnittliche Umdrehungsdauer Jupiters fand sich dabei zu 9 1/2 5/8 = 26.54. Im November 1860 wurde auf dem Jupiter und zwar in dem südlichen dunklen Streifen derselben ein sehr großer Fleck gesehen, der Ende 1872 intensiv rot erschien, und diese hoch auffallende rote Wolke wurde Veranlassung, daß Jupiter sehr häufig und eingehend beobachtet worden ist. Die wichtigsten unter diesen Beobachtungen sind in den verschiedenen Bänden des *Solar-Compendium* worden. Hier liegt aus eine neue Untersuchung über Flecke auf dem Jupiter vor, welche Prof. Hermann Struve am Kaiserlichen Sternwarte der Königsberger Sternwarte angestellt hat.¹⁾ Diese Arbeit ist um so wichtiger, als die Orbitalbestimmungen der Flecke durch Mikrosternmessungen und eine genau mathematische Behandlung derselben festgestellt wurden, Umstände, die sich bei den meisten andern Untersuchungen dieser Art nicht finden. »Mit nur wenigen Ausnahmen, sagt Prof. Struve, »beobachten die bisherigen Fleckenbeobachtungen am Jupiter in Schätzungen der Komparativitäten der Flecke bezüglich der Mitte der Scheibe. Von geübten Beobachtern angestellt, be-

¹⁾ Abhandlungen der Kgl. Preuss. Acad. der Wissenschaften vom Jahre 1886.

stets solche Beobachtungen eine nicht unerhebliche Genauigkeit und haben in dem letzten Jahrzehnte ein interessantes Aufschließen über die Bewegungsverhältnisse auf dem Planeten gebracht. Gleichwohl wird ein kolossales Zersplitterter unterliegen, daß Mikromessungen noch eine erhebliche größere Genauigkeit in den Ortsbestimmungen der Flecke erreichen lassen und sich ganz besonders die Untersuchung der Bewegung der kleinen Flecke und gut definierten Lichtpunkte, die stets in größerer Zahl auf dem Planeten vorhanden sind, eignen. Aber auch bei dem weniger deutlichen, schwachen Objekten, zu denen gegenwärtig auch der rote Fleck gehört, bei Flecken mit asymmetrischer Form oder bei Grenzlinien ist es unmöglich ein Vorzug der Mikromessungen, daß sie nicht in solchem Grade von den Schätzungen von persönlichen Auffassungselementen abhängig sind. Überdies lassen sich Messungen jederzeit ausführen, sobald die Flecke dem Rande des Planeten nicht zu nahe gerückt sind, dabei häufiger wiederholen. Bei den vorliegenden Messungen am 13-tägigen Refraktor, der zum Teil unter wenig günstigen Umständen, bei mäßigen Ständen des Planeten und mit schwacher Vergrößerung erhalten sind, hat sich bei den gut definierten Objekten schon eine recht befriedigende Genauigkeit erreichen lassen. Unter günstigeren Bedingungen und mit größerer Vergrößerung wird man aber zweifellos die Genauigkeit der Ortsbestimmungen noch ganz wesentlich steigern können und damit eine zuverlässigere Grundlage für die Erkenntnis der Bewegungen und des Planeten, der so beträchtlichen Ursachen, sowie für die Ableitung der Rotationszeit gewinnen.

Die Beobachtungen geschahen während der Opposition des Jupiter im Jahre 1903, während der Monate September bis Dezember, in einem Nachmittags beobachtet Prof. Hermann Strug auch die von ihm im August

und September 1904 angestellten Beobachtungen. Die Planchette war während der Opposition 1903 von vier dunklen Streifen, die immer sehr schwach waren, durchzogen. In zwei schematischen Abbildungen, welche übrigens nur zur Orientierung dienen sollten und keinen Anspruch auf genaue Wiedergabe einzelner Details machen, bezeichnet Prof. Strug mit dem durchgezogenen Streifen beginnt, diese mit II, III, IV, V. Die beiden mittleren Äquatorstreifen III, IV erschienen am deutlichsten und dunkelsten in rotbrauner Färbung, die beiden äußeren II, V waren grau und hatten die meisten Ausbuchtungen. Der stäbchenförmige Äquatorstreifen IV war den Messungen zufolge 3° bis 4° breit, die anderen drei waren schmaler, nur etwa 1° bis 2° breit. Am gleichförmigsten und schärfsten begrenzt erschien während des ganzen Zeitraumes der Beobachtungen von Mitte September bis Mitte Dezember der Streifen III, in dessen Randern nur wenige geringe Einbuchtungen erkannt werden konnten, jedoch die so deutlich, daß sie durch Messungen genau hätte festgelegt werden können. Auch der Streifen II blieb im ganzen unverändert und zeigte nur unmerkliche kleine Vorsprünge. Lichtpunkte oder helle Flecke, abgesehen von Schätzungen, wurden weder auf diesen Streifen, noch überhaupt auf der nördlichen Hemisphäre bemerkt. Etwas nördlich von III, in dem 1° Abstand, war eine feine punktierte dunkle Linie sichtbar und auf dieser verlief eine schmale dunkle Flecke 1° bis 1,5° lang, von deren nördlichem Ende deutlicher hervorstach. Ferner war auf der nördlichen Hemisphäre unterhalb II in der Regel noch ein schmaler Streifen I sichtbar, der sich nicht über den ganzen Planeten erstreckte, sondern aus mehreren ziemlich gut begrenzten Abschnitten bestand und ungezogen durchlief und mehrere Partien aufwies. Nördlicher als I wurde nur an einem Tage ein etwas vorwiegend dunkler Fleck gesehen.

Meist Detail zeigte die südliche Hemisphäre des Planeten. An der südlichen Begrenzung des letzten Streifens IV war eine große Zahl dunkler Flecke, Einrückungen und Vorprossen zu erkennen, die Fläche, meist senkrecht in der Richtung der Streifen, haben sich durch besonders dunkle, zerstreute hellbraune Farbe deutlich von der Begrenzungsfläche ab, und waren meistens auch durch eine helle Lichtlinie von der letzteren getrennt. Die südliche Begrenzung von IV war doppelt, von der Partie des roten Fleckes abgesehen, ziemlich gleichförmig, hatte aber auf der einen Seite des Planeten eine ziemlich ausgeprägte Erhebung, welche den Zwischenraum zwischen IV und V merklich einschränkte. Dieser Erhebung genau entsprechend erschien das Intervall zwischen IV und V, im übrigen zu den hellsten Partien des Planeten gehörend, von einem matten hellgrünen Schimmer bedeckt, welcher die Streifen IV und V miteinander zu verbinden schien. Innerhalb des Streifens IV waren gewöhnlich hellere Rinnen oder Kanäle von unregelmäßigen Verläufen bemerkt, die in der Form und mit der Zeit vielfach wechselten. An einzelnen Tagen konnten auch helle runde Flecke oder Lichtpunkte, umgeben von der Größe der Trabantenoberflächen, etwas länglich und weniger scharf, innerhalb IV gesehen werden, von denen insbesondere zwei zu erwähnen wären, welche nach kurzer Sichtbarkeit Ende September verschwanden und erst nach 2½ Monaten wieder deutlich hervortraten.

Auf der südlichen Seite V waren häufig kleine Erhebungen und Spitzennarben am Aussehen sehr ähnlich dieser Streifen durch eine große Zahl heller Lichtpunkte war, die gleich über dem Streifen an dessen südlicher Begrenzung lagen und in dem Streifen verschwinden. Sie traten in 10 Ansichten an die hellen Schutchen der Trabanten und waren bei guter Luft sehr deutlich zu sehen und bis sehr

an die Grenzen der Streifen zu verfolgen.

Der rote Fleck hat gegenwärtig ein sehr verfallenes Aussehen. Ob seine Sichtbarkeit während der letzten Jahre zugenommen hat, was von einzelnen Beobachtern behauptet wird, ließ Prof. Steudt nichtgültig sein. «Der Umriss desselben waren verfallungsartig im deutlichen auf der hellen und nördlichen Seite zu erkennen, auf der westlichen und südlichen Seite schien ein leichter Schatten über das Ende ausgebreitet, auf der südlichen kam außerdem der obere Streifen V dem Rande des Fleckes sehr nahe. Sehr hell erschien die den roten Fleck umgebende Rinne, welche ein Kreuzsegment aus dem Streifen IV ausmachte. Am nachfolgenden Ende der Rinne, an der südlichen Seite von IV war nicht eine Spitze zu bemerken, welche mit der schärften Einsenkung war. Auf dem westlichen Ende war die Rinne ohne Spitze ziemlich gleichmäßig abgerundet. Sehr auffallend war immer die Unterschied in der Farbe von IV auf der hellen und westlichen Seite der Rinne die hellere Seite sehr dunkel, rotbraun, die westliche rötlicher. Die Grenze der dunklen Partie lag sich von der hellen Spitze langs der Rinne bis zu deren Mitte und weiter in geringer Krümmung bis zur nördlichen Seite von IV hin, wo die Ausläufer derselben gelegentlich noch sehr dunkle Flecke zeigten.

Die Mikromessungen erstreckten sich nur auf solche Objekte, welche hinsichtlich deutlich erschienen, um scharfe Einrückungen mit dem Mikrometerschraubenvermögen des Eyentubes:

1. die dunkle Fläche auf I, sowie die Grenzen der Abdränge, aus denen I zusammengefaßt war,
2. die schmale dunkle Fläche auf der punktierten Linie, nördlich vom Streifen III;
3. die dunkle Fläche und Einrückungen an der südlichen Begrenzung von IV;

4. die Lichtpunkte innerhalb des Strahles IV,
5. die Grenzen des großen Schleiern zwischen den Strahlen IV und V,
6. die Lichtpunkte und Erhebungen an der südlichen Begrenzung von V,
7. der rote Fleck und die Spitze auf IV am südlichen Ende der Ba.

Prof. Stuart entwickelt in seiner Abhandlung nun zunächst die mathematischen Formeln, nach denen sich aus den Messungen der scheinbaren Position der Flecke auf der Planetenoberfläche ihre wahre Länge und Breite auf der Jupiteroberfläche berechnen lassen. Dadurch wird es weiter möglich, die zu verschiedenen Zeiten mehrfach beobachteten Flecke besser zu identifizieren und ihre Bewegung für eine bestimmte Epoche abzulesen. Als Untersuchungszeit des Jupiter wurde 9^h 55^m 40^s angenommen (nach Marth). Es wurden bei der speziellen Untersuchung insgesamt 7 Gruppen von Flecken und Lichtpunkten in den einzelnen Strahlen unterschieden, die Abhandlung enthält bezüglich derselben alle Einzelheiten der Messungen. Hier genügt es die Ergebnisse dieser Beobachtungen anzuführen, wie sie Prof. Stuart zusammenstellt, wobei den von ihm gemachten Bemerkungen, wobei besonders die Beobachtungen des roten Flecken Anfalls gaben. Ein vollständiges Bild über die Bewegungen auf der Oberfläche des Planeten können natürlich Beobachtungen, die nur einen Zeitraum von wenigen Monaten umfassen, nicht geben.

1. Die in derselben jovianischen Breite gelegenen, auch im Aussehen einander ähnlichen Flecke haben näherungsweise die gleiche Bewegung parallel dem Äquator gezeigt. Es gilt dies sowohl hinsichtlich der dazwischen liegenden 1. und 2. Gruppe, wie auch hinsichtlich der Lichtpunkte in der 4. und 5. Gruppe. Man wird daher annehmen haben, daß die in öst-

lichen Breite gelegenen Flecke auch näherungsweise denselben Niveau angehören und denselben, in einer schwachen Zone um den Planeten sich herumziehenden Strömung, folgen. Mit Ausnahme des Strahles I, dessen Flecke keine merkliche Verdrängung gegen das System (H) erkennen lassen, zeigen alle übrigen Flecke rechtlaufige, d. h. überwiegend östliche Bewegungen bezüglich des Systems (H).

2. Bemerkenswert ist die Übereinstimmung in der Bewegung der Lichtpunkte über V, des Schleiern zwischen IV und V und der Erhebung am Südrande von IV, sowie die Zusammenfallen des eines Lichtpunktes mit dem Ostende des Schleiern, was auf einen ursächlichen Zusammenhang dieser Erscheinungen hindeutet.

3. Auf dem breiten Strahle IV waren nahe bei u und v sehr verschiedene Bewegungen vertreten: der dazwischen liegende Fleck am Nordende mit der größten Jovianisch östlichen Bewegung, die vier Lichtpunkte im inneren des Strahles mit einer gemeinsamen Bewegung, und endlich die Erhebung am Südrande von IV. Von Interesse ist ferner die Verschiebung der Lichtpunkte α , β und die Wiederkehrzeiten derselben nach einer Periode von zwei Monaten. Wie aus Erfahrungen anderer Beobachter hervorgeht, scheint die Hauptmasse des breiten Strahles an der großen rechtlaufigen Bewegung des dazwischen liegenden im Nordende von IV teilzunehmen, während die Lichtpunkte und die mit dem Schleiern konvergierende Erhebung in anderen Niveaus liegen.

4. Der rote Fleck hatte während des Zeitraumes dieser Beobachtungen eine sehr geringe, wahrscheinlich rechtlaufige Bewegung. Größere Schwankungen, die sich auf drei 6^h betrafen, zeigt die Spitze am Ende der Ba.

5. Der Durchmesser des Planeten folgt aus den Messungen der Minuten dicken Flecke unter III in Übereinstimmung mit den Resultaten aus Heliummessungen um etwa 1^o höher,

als im Mittel aus den Messungen an Refraktoren. —

In den höheren Schichten über dem roten Fleck, dessen wahrscheinlich die Streifen (Staubwolken) entstammten Ursprungsstelle angehört, scheint eine vorwiegend nach außen gerichtete Strömung zu bestehen, welche den oberen nördlichen Äquatorstrom in der breiten Bande IV nach Norden hin ablenkt, die zwingt um den Fleck herumzugehen und so dem Fleck beifliegt, während auf der anderen Seite des Flecks die vom Äquator nach Süd abfließende Strömung den Streifen IV wieder rekrutiert. Diese Deutung findet eine Stütze in folgenden zwei gemachten Wahrnehmungen:

1. der dunklen Färbung des Streifens IV auf der Ostseite der Bz, die sich von der Spitze am Ostende um die Bz herumzog und bis zum Nordende von IV sich erstreckte,

2. den vielen dunklen Flecken und Einbuchtungen am Nordende von IV, die auf dem Südende bei ganz hellem, oder doch viel schwächer waren,

3. dem Aussehen der Spitze am Ostende, welche ein wenig nach oben gehöhlet erschien, und den Verschärfungen dieser Spitze, welche sich den Messungen zufolge als sehr beträchtlich herausgestellt haben

Im großen und ganzen werden diese Wahrnehmungen auch durch Zeichnungen und Bemerkungen anderer Beobachter bestätigt: auf den meisten Zeichnungen finden sich die dunklen Flecke und Einbuchtungen am nördlichen Ende von IV, auf dem meisten ist auch die Spitze auf der Ostseite bemerkt und bemerkt es auffällig auch oben gekrümmt, daß eine andere Deutung als die einer Gegenströmung vom roten Fleck her kaum möglich sei. Die Ursache dieser vorwiegend nach außen gerichteten Strömung über dem Fleck (speziell festgesetzt wird man, wie wir sehen, am ungewissensten durch die Verhältnisse in der atmosphärischen Verfassung (Temperatur, Druck und Dichtigkeit) über dem Fleck und

den benachbarten Gebieten zu erklären haben, welche sicher vorhanden sein muß, wenn der rote Fleck einen festen Bestandteil auf der noch nicht erkalten Oberfläche des Planeten bildet. Jedenfalls erscheint obige Erklärung der Beobachtungswahrnehmungen stichhaltig. Anzeichen, daß der rote Fleck einem heißen Kern in der Atmosphäre angehört sollte, als die Streifen Dagegen sprechen vor allem seine Veränderlichkeit, aber auch die verhältnismäßig nur geringen langsamen Änderungen in seiner Bewegung.

Im August und September 1904 hatte sich das Aussehen des Planeten gegen die vorige Opposition etwas geändert. Auf der nördlichen Hemisphäre war der Streifen II, der im vorigen Jahr sehr deutlich hervortrat, verschwunden, oder höchstens vom Spar von demselben bei glänzender Luft zu vermuten. Womöglich ähnlich wie im vorigen Jahr war auch der aus einzelnen Abklüppeln bestehende Streifen I. Ferner hatte die periodische Linie mit den kleinen dunklen Flecken nördlich von III, zum ersten war etwas südlich von III eine ähnliche sehr feine Linie angedeutet. Die Streifen III, IV, V hatten ungefähr dasselbe Aussehen behalten. Über V war nach ein wenig später gelegener Streifen VI erschienen, der während der vorigen Opposition nicht bemerkt worden war. Sehr deutlich zeigten sich wieder eine größere Zahl runder Lichtpunkte an der Südseite von V, ferner die Einbuchtungen und dunklen Flecke an der nördlichen Begrenzung von IV. Auch die Fuge des roten Flecks hatte nur geringe Änderungen erfahren. Der große Spalt zwischen IV und V war seit der letzten Opposition über den roten Fleck hinweggegangen aus Westende war ebenso deutlich zu sehen wie im vorigen Jahr, während ein Ostende sich bis nahe an den roten Fleck erstreckte und dort im Schatten auf der Westseite der Bz verlief.

Die im vorjährigen Jahre angedeutete Abnahme der Lage des roten Flecks

wurde durch die starken Wellungen beeinträchtigt. Das Verhalten des Schliers zwischen IV und V war auch dieses Mal scharf begrenzt, während die Ovale sich bis in die Mitte des roten Fleckes bewegten und die Grenze dort nicht scharf festzustellen war. Die Bewegung scheint beim Vorüberzuge des Schliers vor dem roten Flecke, im Laufe des letzten Sommers, eine merkliche Störung erfahren zu haben. Seit 1901 ist dieser selbe Schlier, wie Paul Serret nachträglich bemerkt hat, auch von Denning u. a. wiederholt beobachtet worden.

Forster spricht einige frühere Beobachtungen dafür, daß dieser Schlier schon längere Zeit existiert oder sich aus denselben Ursachen immer wieder erneuert. Ja, er hat sogar den Anschein, daß ein Objekt welches jemand während seiner Beobachtungsreise in Nahahe 1888 in der Nähe des roten Fleckes gesehen hat, mit diesem Schlier identisch ist. „Jedenfalls“, sagt Paul Serret, „verdient dies merkwürdige Gebilde wegen seiner Beständigkeit und wegen der Vorüberzüge am roten Flecke auch in Zukunft besondere Beachtung.“

Photographische Aufnahmen der Spektren des Jupiter, Uranus und Neptun auf dem Lowell-Observatorium.

(Platt. Tafel IX.)

Im Bulletin Nr. 18 des Lowell-Observatoriums macht V. M. Slipher Mittheilungen über die dort begonnenen photographischen Aufnahmen des Jupiterspektrums. „Der Zweck der photographischen Spektroskopie“, sagt er, „ist, die Verhältnisse und Substanzen, welche in den Atmosphären der Planeten vorhanden sind, festzustellen. Das Problem zerfällt naturgemäß in zwei Theile. 1. Ausrichtung und Festsetzung der Lagen der Absorptionen oder Linien und 2. Identifizierung der Substanzen, welchen diese Spektrenlinien angehören. Der erste Theil ist von mehreren Astronomen unternommen worden und man hat eine Anzahl von Absorptionen der Planetenspektren aufgefunden und festgelegt, weniger dagegen bis jetzt in Bezug auf die Erkennung der Substanzen, welche die Absorptionen dieser Spektren erzeugen, entschieden worden. Was die großen Planeten betrifft, so ist das einzige Element, welches mit Sicherheit in den Atmosphären des Neptun und Uranus nachgewiesen wurde, das Wasserstoffgas, es haben die spektro-

graphischen Beobachtungen ergeben, daß die Atmosphären des Jupiter, Saturn, Uranus und Neptun eine unverkennbare Ähnlichkeit ihrer Zusammensetzung besitzen. Das starke Absorptionsband in Rot, dessen Wellenlänge $\lambda = 6700$ ist und das zuerst im Spektrum des Jupiter entdeckt wurde, ist auch in den Spektren des Saturn, Uranus und Neptun vorhanden, so daß die möglichsten eigentlichen photographischen Studien des Spektrums eines dieser vier Planeten interessante Enthüllungen über die Beschaffenheit ihrer Atmosphären in Aussicht stellt.“

Im Anschluß an seine frühere Untersuchung über die Spektren des Uranus und Neptun, hat H. Slipher nunmehr ein genaueres Studium des Jupiterspektrums unternommen und erhielt während des letzten Winters eine Anzahl photographischer Aufnahmen des rot orangefarbenen Theiles desselben. Das benutzte Instrument war der große Lowell-Spektrograph, der am 24-zölligen Refraktor des Observatoriums angebracht wurde, unter Anwendung von drei verschiedenen Prismen, eines Crownglassprismen von 60° , eines Prismen aus schwerem Flintglas ebenfalls von 60°

nach einem System von drei Plüßlin-
glassen von 61° brechendem Winkel.
Der Zweck der Anwendung dieser drei
verschieden großen Dispersionen war,
schwere Linien zu entfernen, was mit
dem eng zusammenhängenden Vorzeichen
war, dass aber die Absorptionsspektren,
besonders diejenigen der Wellenlänge
 $\lambda = 5190$ bei verschiedenen starker Disper-
sion, aufzuzeichnen. Leider gelang es
mit letzteren nur zwei Aufnahmen, die
sodann unterexponiert sind, so daß
die Untersuchung über die Auflösung
jenes Bandes in Linien, für die nächste
Periode glänzender Sichtung der
Jupiter aufgeschoben werden muß.
Jupiter betrachtet daher seine jetzt
Näherung nur als provisorisch.

In allgemeinen wurde auf dem Platten
auch das Spektrum des Mondes auf-
genommen und zwar wenn dieser in
gleicher Höhe mit Jupiter stand, um
den Verlauf der Entdeckung auf das
Ansehen der Spektren gleich zu machen.
Die Untersuchung der anderen Auf-
nahmen ergibt keinen sichern Unter-
schied des Jupiterspektrums vom Mond-
spektrum von der Fraunhofer'schen
Linie F an auch der hochblauen Seite
der beiden Spektren hin, in der Nähe
der Wellenlänge $\lambda = 3420$ zeigt sich
in allen mit dem zwischen Platten er-
haltenen Spalt aus dem doppelten Band.
Die gegen Blau hin beginnende Kom-
ponente desselben ist größtenteils, wenn
nicht ganz, der Absorption der Sonne
und der Erdatmosphäre auszuweichen,
denn sie erscheint ebenso dunkel im
Spektrum des Mondlichts. Der gegen
gelb gelegene Komponente des Doppel-
bandes ist dagegen im Spektrum des
Jupiter dunkler und daher hauptsächlich
der Absorption in der Atmosphäre dieses
Planeten zuzuschreiben. Ein Streifen
bei $\lambda = 5770$ erscheint im allgemeinen
etwas dunkler im Spektrum des Jupiter
und gewöhnlich doppelt, er gehört zu-
weilenfalls den Linien $\lambda = 5734$ und
 $\lambda = 5734$ des Sonnenpektrums an.
Auf einigen Platten erscheint die
Sonnenlinie $\lambda = 6822$ im Jupiterspek-

trum dunkler, vielleicht infolge von
Absorption in der Atmosphäre des
Planeten. Der Streifen $\lambda = 5798$ des
Jupiterspektrums ist sehr stark hervor-
tretend und auf einer Aufnahme scheint
er in Linien aufzulösen zu sein, wenigstens
nennend des Slips. Die Gruppe α
welche dem Wasserdampf in der Erd-
atmosphäre zukommt ist im Spektrum
des Jupiter nicht dunkler wie im Spek-
trum des Mondes. Nahe der Linie
 $\lambda = 6465$ erscheint im Jupiterspektrum
auch das dunkle Band, (Brenschneid)
in Linien auflösbar ist, in die endlich
eine gut definierte Linie mit der
Wellenlänge $\lambda = 6475$. Die Gruppe
der Sonnenlinien bei $\lambda = 6995$ liegt nahe
dem weniger brechen Band des
Bandes, bei der Fraunhofer'schen
Linie C ist das Spektrum des Jupiter
identisch mit dem Mondspektrum, die
weiterhin stoffende plüßsche Ab-
fälle des Jupiterspektrums bei $\lambda = 6460$
und sonstigen Ansehen zwischen
den Linien C und A zeigt dagegen
deutlich eine Abweichung vom Aus-
sehen der betreffenden Teile des Mond-
spektrums. Messungen der Wellenlängen
der beobachteten dunklen Absorption-
bande im Jupiterspektrum ergeben, daß
von den fünf auf den Photographen
erhaltenen Banden zwei den Wellen-
längen $\lambda = 5427$ und 5769 entsprechend
mit solchen in den Spektren des Ura-
nus und Neptun übereinstimmen, auch
in Bezug auf ihre Intensität. Drei von
den dunklen Banden bei den Wellen-
längen $\lambda = 6823$, 6182 und 6465 , von
denen das erste zweifelhafte ist, konnten
auf der Photographie der Spektren des
Uranus und Neptun nicht verglichen
werden, weil diese Photographie sich
nicht über die Linie D hinaus erstreckte.
H. Slips gibt die ebenfalls vergrößerte
Kopie vom am 19. Dezember 1904
aufgenommenen Spektrogramm des
Jupiter und darüber sowie darunter
eine Aufnahme des Mondspektrums zum
Vergleich. Das dem Jupiter eigen-
tlichen Absorptionsspektrum ist mit dem
Reichsten T. brechen und durch

Anfügung von Ziffern die Reihenfolge ihrer Intensitäten angegeben. Der Strahl T_1 ist der dunkelste. Die Wellenlängen λ sind ebenfalls angegeben und man ersieht daraus, daß das photographische Spektrum ungefähr von $\lambda = 4500$ bis $\lambda = 6600$ reicht.

Es ist von Interesse, mit diesen Spektralaufnahmen des Jupiter zwei höhere der Planeten Neptun und Uranus zu vergleichen, welche H. Sipher mit dem römischen Spektroskop an dem gleichen Refraktor erhalten hat. Seine bezüglich der Darstellungen sind hier in Lichtdruck reproduziert, wobei den Angaben für die Wellenlängen der beobachteten Teile der Spektren λ . Das Aufsehen des Neptunspektrums liegt darüber von der D-Linie bis zur Wellenlänge $\lambda = 4460$. Als Vergleichsspektrum über- und unterhalb des Neptunspektrums ist dasjenige des Sternes β in den Zwillingen, welches mit dem Sonnenspektrum übereinstimmt, gegeben. Das untere Vergleichsspektrum ist mit demselben Spektroskop erhalten worden wie das des Neptun, die für den Stern etwas zu groß war, das obere Spektrum dagegen mit einem Spalt und es trägt deshalb mehr Linien. An der Grenze der Gruppe β , gegen Violet hin, erscheint das Spektrum des Neptun auffällig hell, die starken dunklen Bande oder Linien, welche man bei F sieht,

sind sicher die Absorptionen des H₂ des Wasserstoffs. Auf der zweiten Platte, welche weiter gegen Violet hin Details unterscheiden läßt, erscheint auch die Wasserstofflinie H γ und ebenfalls recht stark. Leider ist es nicht möglich, die weit im Rot stehende Linie H α zu photographieren, doch glaubt H. Sipher, daß die Stärke der H γ -Linie das Vorhandensein einer großen Menge von freiem Wasserstoff in der Neptunatmosphäre anzeigt. Das Uranspektrum ist von Sipher aufgenommen worden unter Anwendung eines dicken Flintglases, welches eine doppelt so große Dispersion gibt als das Crown-Glas, das beim Neptun in Anwendung kam. Als Vergleichsspektrum ist über und unter dem Neptunspektrum dasjenige des Mondes photographiert. Bei Aufnahme geschah mit einer starkversteuerten Platte, die für Gelb sehr unedel ist, deshalb sind die Banden bei $\lambda = 5430$ und 5770 recht intensiv gezeigt bekommen und die Bande bei $\lambda = 5578$ ist fast verloren gegangen, obgleich sie auf einer anderen Aufnahme sehr deutlich erscheint. Aus dem Vergleich der beiden Spektren miteinander sieht Sipher, gestützt auf die größte Dunkelheit der Absorptionsbanden im Spektrum des Neptun den Schluß, daß die Atmosphäre dieses Planeten viel dichter ist als die des Uranus.

Ein wahrscheinlich neuer Stern im Ophiuchus.¹⁾

Die sogenannten neuen Sterne können in manchen Fällen von Veränderlichen nur durch ihre Spektren unterschieden werden. Das gewöhnliche Verhalten einer Nova ist gekennzeichnet durch ihr plötzliches Sichtbarwerden an einem Punkte des Himmels, wo voran kein Stern bekannt war und ihre darauf folgende allmähliche Lichtabnahme, während gleichzeitig ihr

Spektrum sich in dasjenige eines Gieseberts verwandelt. Indessen war der neue Stern, welcher 1865 im Sternbild der Krone aufleuchtete, schon vorher als Sternchen δ Griffe in der Bayer-Durchmusterung aufgeführt und er ist heute noch als Stern δ Griffe sichtbar. Der neue Stern von 1901 (Nova Persei No. 3) war nach Anwesen der photographischen Aufnahmen schon früher schwach und veränderlich vorhanden und die Nova von 1890 (P Cygni) ist auch als Stern δ Griffe sichtbar und

¹⁾ Lowell-Oberseer Bulletin No. 12.

²⁾ Harvard College Observatory Circular No. 90.

ragt keine merklichen Lichtschwankungen, während γ Cassio als Stern 7. Größe erscheint, nachdem er große und unregelmäßige Helligkeitsschwankungen während fast eines Jahrhunderts erleben hat. Aus den photographischen Aufnahmen des Draper-Memorials ergibt sich, daß die Spektra der Veränderlichen von langer Periode entweder dem dritten Typus, Klasse III, angehören, oder eben eine oder mehrere der Wasserstofflinien H β , H γ und H δ (aber nicht H ϵ) hell sind oder dem vierten Typus, Klasse IV. Die Spektra der hellen Nova sind sehr kompliziert, aber sobald diese Sterne halbsehend wurden, blieben nur wenige oder auch nur eine hell Leinie sichtbar.

Fölher bei Madam Fleming nachgewiesen,¹⁾ daß der Stern RS Cygnus gemäß photographischen Aufnahmen am 15. Juli 1898 ein Spektrum des dritten Typus zeigte, in welchem die Wasserstofflinien H ϵ , H δ , H γ , H β und H δ hell waren und außerdem zwei Linien, welche mit den hellen Banden der Wolfenlinie I 4018 und 4050 im Spektrum von γ Cygnus übereinstimmen scheinen. Da diese Banden diese hell und heller als diese als an dem ersten Bande sind, so ist es wahrscheinlich, daß Wolfenlinien genau anzugeben. Das Spektrum ist also sehr ähnlich demjenigen der Nova im Schützen und der Nova in den Zwillingen. Eine Tage vorher (am 14. Juli) aufgenommene Photographie bestätigt die Sichtbarkeit der hellen Linien, während eine Photographie vom 28. August 1898 zeigt, daß damals keine Spur von hellen Linien vorhanden war und das Spektrum nur Klasse K gehörte. Im Jahre 1898 herrschte deshalb Madam Fleming, nachdem sie das Spektrum zuerst untersucht, es als dasjenige einer wahrscheinlichsten Nova. Nach dieser genauesten Feststellung der Helligkeit des Sterns vor 1898 mit den Harvard-Photographien, wie P. L. Cannon darauf hin, daß der Stern 1898 eine beträch-

liche Helligkeitszunahme während einiger Monate erleben habe. Die durchschnittlichen jährlichen Helligkeiten desselben waren nach den offiziellen Harvard-Aufnahmen:

Jahr	Größe	Jahr	Größe
1890	10.50	1899	10.50
1891	10.70	1900	9.67
1892	10.85	1901	9.52
1893	10.26	1902	9.97
1894	10.46	1903	10.20
1895	10.36	1904	10.24
1896	10.21	1905	9.78
1897	10.50		

Die maximalen Helligkeitszunahmen des Sterns im Jahr 1898 sind in der folgenden Tabelle gegeben:

Jahr	Größe	Jahr	Größe
April 2	10.70	August 15	9.17
Mai 22	10.76	„ 29	9.72
„ 30	10.81	September 7	10.00
Juni 28	1.04	„ 29	10.15
Juli 14	8.16	Oktober 6	10.41
„ 15	8.32		

Aus diesen Angaben wird deutlich, daß der Stern vor 1891 10.9 Größe war, dann allmählich stieg um eine halbe Größenklasse an und so bis 1897 blieb. Im folgenden Jahr war er anfängl. schwach 10.6 Größe im 31. Mai; einen Monat später, Ende Juni, dagegen mehr als drei Größenklassen heller und nahm binnen zwei Monat um etwa eine Größenklasse ab bis zum 8. Oktober, wo er wiederum auf die Größe 10.8 gesunken war. Im folgenden Jahre (1899) blieb er schwach (10.6 Größe), aber 1900 erreichte er im April die Größe 9.3 und nahm dann im September bis 10.6 Größe ab. Sodann ist die Lichtabnahme gering geblieben. Die besten Phasen zeigen am Orte zur neuen Stern. Sowohl das Spektrum als die Lichtkurve, sagt Prof. Edward Pickering, zeigen, daß diese Objekt eher als Nova wie als veränderlicher Stern zu betrachten ist. Seine Beobachtung wird daher 1898 Nova Optische No. 3, da die neuen Stern vor 1884 und 1885 in dem nächsten Sternbild erschienen sind.

¹⁾ Harvard Obs. Circular No. 76.

Vermischte Nachrichten.

Sonnenkorona und Kometen

Das den der Sonne sehr nahe gekommenen Kometen 1843 I, 1858 I und 1882 II werden gewöhnlich als Beweis dafür citirt, daß die Dichte der Sonnenatmosphäre bereits in der Höhe von 100 000 km oberhalb der Photosphäre so gel wie Null sein müsse, und zwar, trotzdem die Probekometen sich oft weit höher erheben. Daß auch die ruhigen, nichtblau die optischen Probekometen in diese außerhalb der Atmosphäre liegenden Gegenden hineinreisten, glaubte man durch elektrische Kräfte oder als optische Täuschungen deuten zu müssen. Über die Beziehungen zwischen Kometen und Kometen fähre die gebräuchlichsten Lehrbücher (Schmarr, Newcomb, Arrhenius) übereinstimmend die gegenseitigen den Kometen als sicher. Folgt daher an, daß die Korona, welche die Kometen in größerer oder geringerer Strecke durchfliegen, nur ganz unverständlicher geringer Dichte haben müsse, da sie die Bahnen der Kometen nicht verändere hat.

J. F. H. Schultze wußte man auch,¹⁾ daß alle auf die verschiedenen Kometen gestützten Betrachtungen über die Dichte der Korona halbes und, wohl i. die Kometen 1843 I und 1858 I erst nach ihrem Periheldurchgange entdeckt worden sind, so daß wir gar nichts über ihre Bahn vor diesem Zeitpunkt wissen, bzw. ob sie im Perihel eine Störung erlitten haben oder nicht; 2. der Komet 1882 II war allerdings bereits sehr Tage vor dem Perihel beobachtet wor, aber trotzdem auch bei diesem kein solcher Beweis dafür erbracht ist, daß kleiner Störung infolge einer kritischen Widerstandes eingetreten sei; von geringer Abstand betrug längstes nach Prof. Kreske etwa 400 000 km; die Änderung seiner Kurve und die späteren Teilungen desselben nachher nämlich die Beobachtungen und nachher

als angegeben für die Begründung einer so wichtigen Schlussfolgerung.

Wenn es somit zweifellos vorliegt ist, die verschiedenen Kometen als Beweis für eine fast absolute Leere in der Korona zu dienen, so fragt es sich nunmehr, ob nicht vielleicht gerade das Gegenteil möglich wäre? Die Kometen 1843 I und 1882 II sind nämlich auch dadurch interessant, daß sie in der größten Sonnennähe einem sonst ohne Beispiel dastehenden Glanz zeigten. Der erstere ist am hellen Tage in unmittelbarer Nähe der Sonne entdeckt worden, und der zweite konnte bei fast zur schließlichen Berührung mit der Sonne verfolgt werden. Dieser ganz beispiellose Glanz ging aber sehr schnell vorüber, er dauerte nur so lange an, als die Kometen in der Umgebung der Sonne im Bereiche der Korona sich befanden. Da von einer Wirkung der Sonnenstrahlung schwerlich zu reden und gleichwohl auftretend würde, so hält Herr Schultze den merkwürdigen Glanz unmittelbar beim Perihel als eine Folge von Reibungserscheinungen und damit verbundenen Wärmeentwicklung an, entsprechend dem Aufwachen und dem Glanz der Sternschuppen in der Erdatmosphäre. Nimmt man an, daß der Kern der hier besprochenen Kometen im wesentlichen ein fester Körper von 10 bis 100 km Durchmesser ist, was sehr wohl möglich ist, so kann er die Korona passieren, ohne dabei merklich zu werden, und eine Wärme- und Lichtentwicklung entstehen, wie sie bei den drei Erscheinungen beobachtet ist und 3.

Beobachtungen des Jupiterkometen auf dem Gipfel des Mont Blanc bei Ey Hazy gütigst einer Beobachtung desselben angeführt. Das zweites in dieser Höhe des Licht in Gestalt eines glänzenden Dorens, dessen Gipfel sehr nahe in der Höhe lag. Die Höhe desselben betrug 57°, seine

¹⁾ *Wissenschaftliche der Astr. Obs.* 1904, S. 361.

Seite 185. Zeit 2.

²⁾ *Naturwissenschaft. Rundschau* 1905, Nr. 24.

Länge vom Sonnenmittelpunkt im geraden 80°, seine Breite 25°. Das letzte Dreieck war in Beziehung zur Elliptik zweigewertet, und der Nordpol war größer, aber weniger scharf als auf der Südseite; das Verhältnis beider Seiten war 2:1. Das Halbkreis nahm gegen das Zentrum hin zu, aber das Maximum desselben lag 3° von der Elliptik entfernt. Die Spitze des Dreiecks lag in + 3° Breite. Es hatten sich drei Zonen in diesem Kreis unterschieden, die letztere war die schwächste, die mittlere von mehr parabolischer Gestalt und die innerste, hellste, ebenfalls parabolisch. Die oberste Teile des Lichtes sind sehr schwach, in einer Entfernung von 10° von der Sonne ist die Intensität gleich der der Milchstraße, in 40° Entfernung ist es doppelt, in 10° dreifach so groß. Die Farbe ist schwer anzugeben wegen der geringen Helligkeit, Harky schätzte sie weiß mit etwas grünlichem Tone, sein Begleiter Branden hat sie für gelblich. Der erste meint die Erscheinung sei schwebendes Ungeheuer, gradezu wie die Sonnenkorona auf der Nordseite.

Hellas Meteor. H. G. Heydemann schreibt uns von Wienboden, Samstagabend (1. Juni) 11h 14m M.E.Z. sah ich ein außergewöhnlich helles Meteor in der Nähe des Arkturus verfliegen. Das Meteor zog langsam, wenn perspektivisch den Schwefel hinterlassend, nach der Richtung von «Dracon», in welcher Gegend es zerbrach. Das Meteor war so hell, daß die ganze Landschaft hinein glühend erleuchtet wurde. Nach dem Erloschen blieb der Schwefel noch 4 km St. sichtbar.

Künstlicher Meteorit. Prof. Friedrich Berwerth überreichte der Wiener Akademie eine Abhandlung in der es an einem Beispiel die Meteoriten von Tohoku den experimentellen Nachweis führte, daß bei Erhitzung einer Protopleite auf 1040° C. und rascher Abkühlung der nämliche beobachtete Komet in kristallin längigen Komast mit Füllstruktur umgelagert

werd. Dieses Resultat führt zunächst zur Erkennung einer Reihe von Meteoriten als «kristalline Meteorite» und bestätigt im übrigen die von Aulor früher voraussetzungsweise aufgestellte Annahme, daß viele Meteoriten, zunächst die kristallin dichten und längigen Eisen, durch kosmische Erhitzung im letzten Zustande unvollständiger silicidische Eisen und in einem natürlichen Monorotensystem als «Gruppe der Meteorite» entstanden sind.)

Die Veränderlichen in den Sternhaufen Messier 3 und Messier 5. Schon vor mehreren Jahren sind durch die photographischen Aufnahmen von Prof. S. J. Bailey zu Annapolis in den Sternhaufen Messier 3 (AR 12h 36m D + 30° 53') und Messier 5 (AR 13h 14m D + 2° 27') zahlreiche veränderliche Sterne nachgewiesen worden, deren Lichtwechsel sehr merkwürdig ist. Wie Prof. Edward C. Pickering jetzt mitteilt,¹⁾ und die Untersuchungen über diese veränderlichen Sterne nunmehr abgeschlossen. In Bezug auf Anzahl der Veränderlichen im Vergleich zur Sternzahl des Haufens selbst und die oben genannten Sternhaufen demerkrwürdigsten unter den bisher untersuchten. In dem ersten ist das Verhältnis der Veränderlichen zu den Sternen überwiegt wie 1:7, in dem andern wie 1:13. Von den 128 Sternen in dem Haufen Messier 3, deren Veränderlichkeit konstatiert ist, sind bei 108 die definitiven Perioden des Lichtwechsels ermittelt worden, in dem Sternhaufen Messier 5 bei 68 unter 87 Veränderlichen. 99) Ausnahme von 2 Sternen im Haufen Messier 5, deren Lichtwechselperiode 25.74 und 105.6 Tage beträgt, wegen die übrigen Perioden, die wenig von 134 abweichen. Sie gehören nach ihrem Spektrum in die Harward'sche Klasse IVa. Der mittlere Dauer des Lichtwechsels der Veränderlichen im Haufen Messier 3 beträgt 12h 4m, im Haufen 5 ganz Anzeichen der oben genannten beiden

¹⁾ Wiener Abh. Bericht 1901, S. 20.

²⁾ Harv Coll. Observ. Circular, No. 100.

Sterns 12^h 45^m; die durchschnittliche Abweichung von diesem Mittelwerte beträgt bei den Verinderlichen des ersten Sternhaufens 1^h 4^m, des zweiten 1^h 13^m. Alle diese Verinderlichen haben nahezu die gleiche Helligkeit und verändern dieselbe zwischen 13 und 15 GröÙe, wiewohl sind die Sterne des Haufens M 3 etwas schwächer als die des Haufens M 5. Die Beobachtungen umfassen bezüglich M 3 einen Zeitraum von 11 Jahren und bei M 5 einen solchen von etwa 5 Jahren. Im ersten umfassen die ungefähr 8250 Lichtwochenbeobachtungen, im letzten etwa 3000, so daß die Periodendauer in den meisten Fällen bei aufsteigender Zahl der Stunden genau ermittelt ist. Schon früher wurde hervorgehoben, daß bei 3 Verinderlichen des Haufens M 3 die Lichtzunahme während noch erfolgt, das hat sich bestätigt, auch werden noch mehrere andere Verinderliche in beiden Sternhaufen entdeckt, bei denen die Lichtzunahme ebenfalls sehr noch auffindet. Auch hat sich ergeben, daß bei einer großen Anzahl von Verinderlichen dieser Sternhaufen, die Dauer der Lichtzunahme innerhalb einer längeren Periode veränderlich ist, worüber weitere Untersuchungen in Aussicht gestellt werden.

Periodische Verschiebungen des Schwerpunktes der Erde. Schon vor vier Jahren hat Prof. Dr. R. Spitzer mitgeteilt, daß die jährliche Größe der Polverschiebung, wie sie aus den Beobachtungen ergibt, durch die jährlichen Luftmassenverschiebungen näherungsweise erklärt werden kann. Prof. R. Kinn und A. Sonnenfeld, welche diese Ergebnisse mit der Theorie der Polbewegung verglichen haben, fanden, daß eine allgemeine Übereinstimmung wegen der Größenordnung und dem Sinne der Bewegung des Trägheitspols noch vorhanden ist. Die hauptsächlich beobachteten Unterschiede können entweder durch unsere noch ziemlich vollständige Unkenntnis der ertischen und maritimen Luftdruckverhältnisse oder dadurch erklärt werden, daß außer den

Lufttransporten auch andere meteorologische Prozesse (Wassertransporte etc.) die jährliche Bewegung des Kohärenzpolis beeinflussen. Jedenfalls hat man in der Annahme guten Grund, daß es bei weiterer Ausdehnung des Beobachtungsmaterials möglich sein wird, den jährlichen Bestandtheil der Polverschiebungen als aufzufällige Massenverlagerungen beträchtigend zu erklären.

Es hat nun weiterhin Prof. Kinn aus den Beobachtungen des interannualen Bestandes noch eine jährliche kleine Wirt in den beobachteten Polverschiebungen aufgewiesen, die unabhängig ist von der geographischen Länge des Beobachtungsortes, und Prof. Allen hat dieselbe bestätigt gefunden. Wodurch diese sehr kleine Schwankung bedingt wird, darüber läßt sich jetzt noch nichts Näheres sagen.

Eine mögliche Ursache wäre eine gemeinsame Schwankung der Lote, hervorgerufen durch eine Verschiebung des Gewichtszentrums der Erde in der Richtung der Polarschne, wieweil Chandler zuerst angenommen hat. Da nun die Vermutung nahelegt, daß diese Verschiebung des Schwerpunktes der Erde durch die jährlichen Verschiebungen von Luft- und Wassermassen auf der Erdoberfläche verursacht wird, hat Prof. Spitzer einer Anregung Prof. Kinn's folgend, an der Hand der seiner eingangs genannten Arbeit zugrunde gelegten Zahlenmaterial untersucht, ob und von welcher Größe sich aus den Luftmassenverschiebungen auch eine periodische Verschiebung des Schwerpunktes der Erde ergibt.

Er hat das Ergebnis seiner Arbeit der Wiener Akademie der Wissenschaften vorgelegt.¹⁾ Es ergibt sich, daß infolge der periodisch wechselnden Luftmassen sich die Lage des gemeinsamen Schwerpunktes periodisch im Erdkörper verschieben muß. Allen

¹⁾ Sitzungsbericht der kaiserl. Akademie d. Wissenschaft. in Wien, Mathem.-naturw. Klasse, Bd. CXXIV. Abt. 2a. Juni 1905. S. 605 ff.

wegen der Kleinheit der Luftmassen gegenüber der Masse der Erde sind die so entstehenden Verschiebungen des Schwerpunkt der ganzen Erde außerst klein und kommen der von Kowalew entdeckten Schwerkraft der Polbewegung nicht gleich. Da mit den periodischen Luftdruckschwankungen wahrscheinlich auch periodische Verschiebungen von Wassermassen verbunden sind, indem dort, wo der Luftdruck gesunken ist, zur Herstellung des Gleichgewichtes sich die Luftdruckänderung entsprechende Wassermassen ansammeln werden, also beispielsweise in jener auf dem Ozean des borealstrichen Atlantik im nördlichen und nördpolischen Ozean, während unter dem erhöhten Luftdruck daselbst im Juli entsprechende Wassermassen weggedrängt werden, hat Prof. Spiller auch die damit verbundenen Schwerpunktsverschiebungen betrachtet. Es findet hierauch auch dieser Umstand wieder an dem bereits Gesagten, daß auf diese Weise das Kowalewski-Glied der Polbewegung nicht erklärt werden kann.

Mars. Prof. William G. Pickering macht Mitteilung über neue photographische Aufnahmen und Beobachtungen des Mars¹⁾ zu Cambridge. Die ersten Photographien desselben wurden am 31. März erhalten, diesen folgten Aufnahmen am 1., 2., 4., 15., 16., 18., 23., 25., 27. und 30. April. Die Aufnahmen geschahen mit dem 11-zölligen Draper-Teleskop von Mr. Wigg und die Originalnegative wurden durch eine Vergrößerungslinse auf die Skala von 1 mm = 1.5' gebracht. Die erste Aufnahme zeigt sowohl am Rande als an der Lichtgrenze des Mars Wolken, aber von den Schneekappen an den Polen war nichts zu bemerken bis April 23, an welchem Tage die Aufnahme eine hellere Zone um den Südpol erkennen ließ. Jedoch war diese doch nicht hell genug, um sie als Schneekappe anzuerkennen, sondern sie betrafte nur eine kleinere wolfige Region. Zu

gleich zeitlich sichtbar, nahm aber etwas an Größe und Intensität ab. Nahe dem Nordpol des Mars erschien April 15 eine kleine helle Fläche, die nur mit Schwermikroskop erkennbar ist. Eine Beobachtung des Mars April 30 mit dem 24-zölligen Reflektor zeigte am den Südpol deutlich eine helle Fläche und es ist wahrscheinlich, daß wenn die Wolken in der Atmosphäre des Mars über ganz Erde verschwinden, unter ihnen eine Schneefläche sichtbar wird. Das Jährzeit auf dem Mars entspricht über auf der Erde der Zeit vom 1. bis 7. August, d. h. dem Ausgange des Winters der nördlichen Hemisphäre. Selten sieht man früher auf dem Mars Schnee. Große grüne Flächen erscheinen dort im Juni.

P. Lowell will mit, daß nach neuen Beobachtungen im gegenwärtigen Jahre der mittl. Schnee auf der nördlichen Mars-hemisphäre am 18. Mai sichtbar war und zwar in großer Ausdehnung um den Nordpol. Ferner macht er die für die Frage nach der Röhre der Meridiane sehr wichtige Mitteilung, daß es auf seinem Observatorium zu Flagstaff im Arizon. dem Beobachter Landrand gelungen ist, photographische Aufnahmen des Mars zu erhalten, auf denen die Kanäle Nitrogen, Carbon, Verdunst, Theil, Carbon, Helicon, Syn, Chas und andere sich zeigen, einige davon auf mehr als 20 Negativen. Was die doppelte Marsopposition anbetrifft, so ist es, wie schon früher bemerkt, am 8. Mai 98, während Mars seine Sonnenmitte am 1. November erreichen wird. Der kleinste Abstand von der Erde um die Zeit der Opposition war 3543 Erdhalbmessern. Die beiden Oppositionen 1907 und 1909 werden unter wesentlich günstigeren Verhältnissen stattfinden. Gegenüber 1907 wird sich am 1. Juli und der kleinste Distanz des Planeten von der Erde wird 3.411 Erdhalbmessern sein, dagegen 1908 ereignet sich am 25. Sept. bei einem Abstände des Mars, welcher 3.180 Erdhalbmessern beträgt.

¹⁾ Pop. Astron. Nr. 125

Astronomischer Kalender für den Monat Oktober 1905.

		Sonne			Mond		
		Mittlere Berliner Zeit			Mittlere Berliner Zeit		
Tag des Jahrs	Tag des Monats	Zeit in $^{\circ}$ $'$ $''$	Rektascension	Declination	Rektascension	Declination	Mond im Meridian
		h m s	h m s	° ' "	h m s	° ' "	h m
1	1	108 34 47	12 37 59 52	- 5 3 59 9	14 59 52 49	-21 23 58 9	9 35 1
2	2	108 37 17	12 31 50 37	- 5 39 11 4	15 49 42 55	-24 27 1 4	9 32 0
3	3	108 40 79	12 26 1 01	- 5 47 29 4	16 40 36 55	-27 28 2 6	9 29 4
4	4	108 43 59	12 20 34 06	- 5 58 44 9	17 32 33 54	-30 26 53 6	9 27 1
5	5	108 47 49	12 15 26 43	- 6 09 54 5	18 24 35 50	-33 23 5 9	9 24 9
6	6	108 51 39	12 10 3 13	- 6 19 54 5	19 16 32 54	-36 19 27 4	9 21 4
7	7	108 55 27	12 5 42 37	- 6 29 2 4	20 8 26 1 5	-39 14 38 9	9 18 9
8	8	108 59 15	12 0 39 59	- 6 38 9 9	21 0 27 56	-42 8 54 9	9 16 1
9	9	109 03 43	11 55 7 49	- 6 46 8 4	22 14 22 56	-44 8 44 9	9 13 9
10	10	109 08 19	12 0 40 79	- 6 53 46 4	23 1 43 55	-46 5 54 9	9 10 8
11	11	109 13 79	12 1 53 45	- 7 0 39 9	23 47 42 56	-48 44 49	9 8 9
12	12	109 18 47	12 3 4 46	- 7 14 9 4	0 59 33 17	+ 4 8 46 1	9 6 7
13	13	109 24 59	12 11 49 59	- 7 26 42 4	1 17 29 56	+ 8 45 55 9	9 5 4
14	14	109 30 59	12 19 54 61	- 7 37 9 4	2 3 27 9	+ 12 37 9	9 34 9
15	15	109 36 57	12 15 12 56	- 7 46 39 4	3 49 56 57	+ 16 7 55 9	9 33 9
16	16	109 42 55	12 10 34 47	- 7 54 39 4	4 56 35 79	+ 19 8 56 4	9 3 8
17	17	109 48 55	12 5 58 55	- 8 0 46 9	6 56 29 57	+ 21 51 58 1	9 45 4
18	18	109 54 55	11 59 52 56	- 8 5 46 7	8 14 27 99	+ 23 36 32 9	9 38 9
19	19	109 60 58	11 56 2 54	- 8 47 54 4	9 3 46 56	+ 25 10 47	9 33 4
20	20	109 66 59	11 52 53 55	- 8 55 16 4	10 16 31 46	+ 26 15 34 9	9 28 9
21	21	109 72 59	11 49 39 56	- 9 0 46 9	11 3 29 9	+ 26 38 4 9	9 2 9
22	22	109 78 59	11 45 37 57	- 9 6 44 9	12 49 23 46	+ 26 50 57 9	9 5 4
23	23	109 84 59	11 41 38 58	- 9 12 34 9	14 1 11 46	+ 26 58 4 1	9 13 9
24	24	109 90 59	11 37 3 59	- 9 18 27 9	15 39 11 17	+ 26 57 9	9 46 9
25	25	109 97 59	11 32 57 57	- 9 23 16 9	17 3 47 16	+ 26 57 4	9 45 9
26	26	109 103 59	11 28 42 57	- 9 27 1 9	18 59 27 17	+ 26 51 51 9	10 39 9
27	27	109 109 59	11 24 33 58	- 9 30 39 9	19 59 28 56	- 26 37 18 9	10 32 9
28	28	109 115 59	11 20 34 58	- 9 33 35 4	21 24 19 56	- 26 1 1 9	10 25 7
29	29	109 121 59	11 16 34 58	- 9 36 27 9	22 54 11 45	- 25 57 59 9	9 58 9
30	30	109 127 59	11 12 34 59	- 9 39 17 9	24 29 3 54	- 25 57 28 4	9 57 9
31	31	109 133 59	11 8 34 59	- 9 42 59 9	25 59 2 18	- 25 57 7 4	9 54 9

Flut- und Ebbenzeiten 1905.

Ordnung	Tag	Stelle	Notizen zu Qualitäten mit dem Sonnen.
1	1	1	Mars in Konjunktion mit dem Monde.
2	2	28	Mars u. Saturnus von Uranus.
3	3	27	Saturn in Konjunktion mit dem Monde.
4	11	51	Merkur in einer Konjunktion mit dem Sonnen.
5	14	50	Mars in größter Nähe Saturnus Breite.
6	18	14	Sonne im Perihel.
7	26	58	Jupiter in Konjunktion mit dem Monde.
8	31	3	Merkur im untersteigenden Knoten.
9	31	60	Uranus in Konjunktion mit dem Monde.
10	31	60	Merkur in Konjunktion mit dem Monde.
11	31	1	Merkur im Apogel.

Planeten-Ephemeriden.

Mittlere Perijon Mittel.							Mittlere Aphelion Mittel.						
Jahr Tag	Rektascension			Declination			Jahr Tag	Rektascension			Declination		
	h	m	s	°	'	"		h	m	s	°	'	"
Merkur.													
Oct. 1	5	10	10	21-55	+	0-08 19-4	11	47					
	4	10	00	21-55	—	0-08 0-4	11	36					
	10	10	10	21-56	—	0-08 0-4	11	36					
	19	10	00	21-55	—	0-08 0-4	11	36					
	28	10	10	21-56	—	0-08 0-4	11	36					
	36	10	00	21-56	—	0-08 0-4	11	36					
Venus.													
Oct. 1	5	10	00	21-55	+	0-08 19-4	11	47					
	4	10	0	21-55	—	0-08 0-4	11	36					
	10	10	00	21-56	—	0-08 0-4	11	36					
	19	10	00	21-56	—	0-08 0-4	11	36					
	28	10	00	21-56	—	0-08 0-4	11	36					
	36	10	00	21-56	—	0-08 0-4	11	36					
Mars.													
Oct. 1	5	10	40	21-55	+	0-08 19-4	11	47					
	4	10	30	21-55	—	0-08 0-4	11	36					
	10	10	20	21-56	—	0-08 0-4	11	36					
	19	10	10	21-56	—	0-08 0-4	11	36					
	28	10	00	21-56	—	0-08 0-4	11	36					
	36	10	00	21-56	—	0-08 0-4	11	36					
Jupiter.													
Oct. 7	4	14	21-45	+	0-08 19-4	11	47						
	17	4	14	21-45	—	0-08 0-4	11	36					
	27	4	14	21-45	—	0-08 0-4	11	36					
Saturn.													
Oct. 7	4	14	21-45	+	0-08 19-4	11	47						
	17	4	14	21-45	—	0-08 0-4	11	36					
	27	4	14	21-45	—	0-08 0-4	11	36					
Uranus.													
Oct. 7	4	14	21-45	+	0-08 19-4	11	47						
	17	4	14	21-45	—	0-08 0-4	11	36					
	27	4	14	21-45	—	0-08 0-4	11	36					
Neptun.													
Oct. 7	4	14	21-45	+	0-08 19-4	11	47						
	17	4	14	21-45	—	0-08 0-4	11	36					
	27	4	14	21-45	—	0-08 0-4	11	36					
Wandelphasen.													
h m													
Oct. 1	7	4	14	21-45	+	0-08 19-4	11	47					
	10	20	00	21-45	—	0-08 0-4	11	36					
	18	2	44	21-45	—	0-08 0-4	11	36					
	27	26	00	21-45	—	0-08 0-4	11	36					
	16	2	—	21-45	—	0-08 0-4	11	36					
	27	2	—	21-45	—	0-08 0-4	11	36					

Sonnendeckungen durch den Mond für Berlin 1905.

Ansetzung	Ort	Grade	Eintritt		Ausgang	
			h	m	h	m
Oktober 10	• Plutonium	40	0	18 3	0	21 9

Lage und Größe des Saturnringses nach Schmidt.

- Oktober 1. Große Achse der Ringfläche: $44''$. Kleine Achse: $4-17''$.
 Erleuchtungswinkel der Ringe über der Ringebene: $11^\circ 14'$ westl.
- Oktober 2. Mittlere Scheitel der Ellipse: $28^\circ 20'$ $4-10''$
 Scheitel „ „ „ „ $28^\circ 20'$ $4-11''$
 Halbmesser der Sonne: $16'$ $4-13''$
 Perihelion „ „ „ $161''$

Stellungen der Jupitermonde im Oktober 1908.

I.

d



III.

d r
+ +



II.

d



IV.

Keine
deutl.



Verfinstert
Mond.

Stellungen um 12h 30m für den Ort der geographischen Länge.

Tag	West				Ost			
1	Q 1-		-1	2-	Q		1-	
2			-1		Q 11		1	
3			1		Q		1-	
4					1-Q	2-	1-	
5			1	2	1	Q	1	
6		1-		2-	Q	1-		1 1/2
7		1		1-	1-Q		1-	
8		1		1	1	Q		
9		1		-1	Q 1			
10			1		1	Q	1-	1
11			-1		Q	1-	1	
12			1	1	-1-Q		1-	
13				1	1	Q	1-	1
14			1-		1-Q		1	
15			-1		1-Q 1			1
16			-1		-1-Q			1 1/2
17				1	1-Q	1	1	
18					Q	-1	1	1
19				1	1	Q	1-	
20					1	Q	1-	
21				1	1	Q	1-	
22	Q 1		1		1	Q	1-	
23		1		-1	-1-Q			
24	Q 1-	1			Q	1	-1	
25		1			Q	-1	1	1
26		-1		1	1-Q		1-	
27			1		1-Q		1	
28			1	-1	1	Q		
29				1	1-Q	-1	1	
30					1-Q	-1	1	

182

SIRIUS.

Zeitschrift für populäre Astronomie.

Centralorgan für alle Freunde und Förderer der Himmelskunde.

Herausgegeben

unter Mitwirkung hervorragender Fachkünstler und astronomischer Schriftsteller

von Prof. Dr. Hermann J. Klein in Köln.

September 1906.

„Wissen und Erleben sind die Freunde auf der
Bewältigung der Menschheit.“ Krause.

Jeden Monat 1 Heft. — Jährlich 12 Mk.

Verlag von EDUARD HEINRICH MAYER in Leipzig.

INHALT: Die Astrophysik. Von W. W. Campbell. (Fort.) S. 175. — Die Tätigkeit der Harvard-Merkmale im Jahre 1904. S. 177. — Die Tätigkeit der astrophysikalischen Berliner Kleinstern (Heidelberg). S. 181. — Die erste Belichtung der astronomischen Kammerzeit nach Neuwand. S. 184. — Beobachtungen des Mars während der Opposition 1905. Von Ingemar Karl Jönas, Wien. (Fort.) Teil II. S. 189. — Die Spektren der Sterne des H. G. G. Jönas. S. 194. — Untersuchungen der Spektren starrer Körper. S. 198. — Neueste Nachrichten. S. 208. — Astronomischer Kalender. S. 211. — Mitteilungen der Jupitermonde. S. 215. — Entdeckung neuer Jupitermonde. S. 216. — Mitteilungen der Saturnmonde. S. 218.

Die Astrophysik.

Bede auf dem internationalen Kongress für Kunst und Wissenschaft zu St. Louis

Von Paul W. W. Campbell, Direktor der Lick-Observatoriums.

(Fortsetzung.)

Die Himmelskörper vollziehen ihre Entwicklung unter Verhältnissen, die uns entgehen. Wir müssen uns darauf beschränken, die Vorgänge, wie sie sich darstellen zu beobachten und gemäß den physikalischen Prinzipien, die auf unserer Erde im Bereich des menschlichen, zu denken. Um beim Studium der Veränderungen, welche die Natur in großen Entfernungen von uns unter den Einwirkungen der Wärme, des Druckes, der Elektrizität und anderer Naturkräfte erfährt, zu einem Ergebnis zu kommen, müssen wir die Wirkungen der natürlichen Kräfte auf die irdischen Materien vollständig kennen. Der Astrophysiker vollbringt ebenso viele Zeit

im Laboratorium als auf dem Observatorium und die Arbeiten in dem ersten sind es, welche die Beziehungen zwischen dem Leben unserer Planeten und dem der Sterne kennen lehren. Unglücklicherweise ist es nicht möglich, im Laboratorium die Vorgänge auf dem Sterne in verhältnismäßig großen Maßstäbe zu reproduzieren, denn wir sind wegen der Temperatur und des Druckes. Dennoch ist es gelungen, zu befriedigenden Ergebnissen zu gelangen. Deren, Ostrowski und andere haben große Triumphe gefeiert in Erzeugung hoher Temperaturen und in dieser Beziehung ist es ihnen gelungen, nahezu die Verhältnisse herzustellen, welche im

Wellenlänge zwischen den Continen hernehmen. Der elektrische Bogen und der elektrische Funke gibt Temperaturen ähnlich diejenigen die in den Chromosphären und den umhüllenden Schichten vieler Sterne hernehmen, Messungen elektrischer Ofen gibt Temperaturen, die wahrscheinlich diejenigen der Sonnenphotosphären vergleichbar sind. Untersuchungen über den Einfluß des Druckes von fest absoluter Lufttem bis zu dringenden mehreren Atmosphären, auf die Dichtezeit und andere Kräfte, haben gestattet mehrere astronomische Fragen zu beschweren und andere wichtige Probleme wenigstens in Angriff zu nehmen.

Untersuchungen im Laboratorium haben gezeigt, daß die Spektren der chemischen Elemente nicht unter allen Umständen gleich bleiben. Hatte man ebenfalls als notwendige Tatsache angenommen, daß der Stoffkörper aus oder durch chemische Spektren besteht oder das die Metall ein Funkenspektrum und es daraus verschiedenen Bogenspektren besteht, so wissen wir heute, daß ein Körper eine ganz Reihe von Spektren zeigen kann, je nach der Natur und Intensität der Kräfte, mittels deren man ihn schmelzlichtend macht. In den meisten Fällen unterscheiden sich frühlich diese Spektren nur durch geringe Veränderungen in der Intensität ihrer Linien, aber diese Verschiedenheiten wurden von mächtigen Hilfsmittel aus, um genauer als sonst möglich wird, die Zusammenhänge der Lichtquellen, welche die beobachteten Wirkungen erzeugen, zu erkennen.

Lange Zeit war mit Anwendung der Spektralanalyse auf astronomische Probleme, nahm man an, daß ein hochentwickeltes Spektrum wie bei glühenden, festen oder flüssigen Körpern vorkommt; heute ist diese Annahme nicht mehr richtig, denn gewisse Gase gehen, sobald sie unter hohem Drucke Licht ausstrahlen, nach Spektren, welche kontinuierlich erscheinen. Die Darstellung der Temperaturabhängigkeit auf das Aussehen

gewisser Spektren ist von langem bekannt; es gibt Spektrallinien deren relative Helligkeit ausreicht, wenn man von der Temperatur des elektrischen Bogens an einer der hochgasparien Punkte übergeht und andere, bei denen das Umgekehrte stattfindet. Dagegen scheint unvornehm, daß die Temperatur einen maßbaren Einfluß auf die Lage der Linien im Spektrum nicht besitzt. Phosphor und Metalle haben gezeigt, daß dagegen Druckveränderungen selbst Lichtveränderungen erzeugen und zwar gegen Rot hin, wenn der Druck in der des elektrischen Bogens umgebenden Atmosphäre manomet. Die Wichtigkeit dieser Entdeckungen für die Astrophysik ist unapromachlich, sie führt Konsequenzen in die Behandlung gewisser Probleme an, aber andererseits darf man hoffen, auf diese Weise Andeutungen über den Druck der in der Photosphäre der heißen Sterne herrscht, zu gewinnen. Man weiß ferner, daß das Spektrum gewisser Körper durch die Gegenwart anderer Körper Veränderungen erleidet, aber über die Ausdehnung dieser letzteren sind wir noch im Unklaren. Die Kenntnis dieser Änderung ist aber von größter Wichtigkeit, da in den Himmelskörpern meistens die chemischen Elemente isoliert auftreten.

Die Kenntnis der Temperatur, welche die elektrisch leuchtenden Gase in der Leuchtenden Röhre besitzen, ist von großer Wichtigkeit für die Schätzung der Temperatur der kosmischen Nebel-Becken und der Nordlichter und anderer Phänomene von diffusier Natur, welche hellen Spektrallinien zeigen. Es ist nicht sicher, daß die direkte thermometrische Bestimmung genügende Resultate liefern kann. Messungen dieser Art haben Temperaturen geliefert, die nur wenig über diejenigen des umgebenden Raumes liegen und dies mag richtig sein als die mittlere Wärme des ganzen Inhalts der Röhre, aber nicht bezüglich der leuchtenden Moleküle. Man nimmt an, daß nur eine sehr kleine Zahl von Molekülen die elektrische Entladung

fertigt, und während diese eine hohe Temperatur annehmen, die durchschneidender Temperatur aller übrigen sehr niedrig bleibt. Auch scheint die Annahme richtig zu sein, daß der schwarze niedrigere Temperatur zum Umstande anzuschreiben ist, daß der elektrische Strom nur während eines kleinen Zeitraumes gewirkt, das Auge umgibt dabei den Eindruck ununterbrochenen Lichtes und der Thermometer zeigt eine durchschnittliche Wärmestärke.

Der Einfluß eines magnetischen Feldes auf das Aussehen der Spektrallinien wie es im Laboratorium von Zeeman nachgewiesen wurde, ist bis jetzt noch nicht in den Spektren der Himmelskörper beobachtet worden, wahrscheinlich weil die hierbei notwendige Dispersion zu gering ist. Zu bemerken ist ferner, daß die Deutung der Spektren himmlischer Körper mit Vorlicht geschehen muß und unter Berücksichtigung der sonstigen allgemeinen Verhältnisse. Aus den heißen Linien in den Spektren der Nebelflecke, ergibt sich zunächst der Schluß auf eine hohe Temperatur der letzteren, aber daraus wird man die Schwierigkeit entgegnen, daß eine so außerordentlich wenig dichte Materie nicht imstande ist eine hohe Temperatur lange zu behalten. Die Moleküle derselben können sehr heiß sein, aber die Temperatur des ganzen Nebelflecks ist wahrscheinlich niedrig.

Der von Lebedew, Michail und Hall experimentell nachgewiesene Strahlungsdruck ist von großer Bedeutung für die kosmischen Probleme, wie manna natürlich dieser Kraft ebenfalls Rechnung tragen als der Gravitation. Die Entdeckung dieses Strahlungsdruckes zwängt zu einer Umpfindung unserer bisherigen Theorie über die Kompositionswerte, des Zodiaklichtes, der Sonnenkorona, überhaupt aller derjenigen Naturerscheinungen, in welchen Moleküle beteiligt. Früher hat man Hoffen und was bezeugte man denen nicht? Andererseits hat in einigen Fällen der Astronom den

experimentierenden Physiker die Richtung zu erfolgreichen Studien gezeigt. Die Reihe der Linien im atmosphärischen Teile des Wasserstoffspektrums wurde von Huggers photographisch im Spektrum der Wags gehalten, nach dem sie im Laboratorium erzeugt war und Prof. Pickering hat im Spektrum des Sterns ϵ Pupae eine andere Serie von Wasserstofflinien aufgefunden, die im Laboratorium noch nicht dargestellt werden konnte. Das Element Helium, welches in der Sonne entdeckt wurde, konnte erst nach einem Vordränge. hundert von Ramsay auf der Erde weitergefunden und sein vollständiges Spektrum dargestellt werden. Dagegen Astrophysiker, welche sich mit der Sonnenkorona und dem gasförmigen Nebellinien beschäftigen, entdecken die Eigenschaften der hypothetischen Elemente Calcium und Neonium ebenso bestimmt, als wenn sie diese Körper tatsächlich in den Händen hätten. Von etwa 1000 Absorptionen im Sonnenspektrum, welche Rowland registriert hat, waren noch mehr als die Hälfte auf Identifizierung durch Laboratoriumbestimmungen. Die mathematischen Berechnungen, die nach den Forschungen von Balmer, Kayser, Runge und Paschen zwischen den Positionen des Spektrallinien der verschiedenen Elemente bestehen, haben schon gute Dienste geleistet und es ist kein Zweifel, daß sie auch über die Struktur der Atome Aufschluß geben werden.

Eine neue Ära für die Physik hat vor etwa 5 Jahren mit Entdeckung des Argons und der X-Strahlen begonnen. Die erstere wurde selbst ergänzt durch Aufdeckung noch mehrerer anderer Elemente der Erdatmosphäre, deren Vorhandensein man schon auch in der Chromosphäre und im Polarlicht sah. Es würde wunderbar sein, wenn die verschiedenen Strahlungen, von denen wir jetzt bekannt wurden, nicht auch etwas Licht auf die Konstitution der Materie werfen würden. Die moderne Elektrotheorie, in welcher die materiellen Atome

eine Nebenrolle, die elektrisches Entladungsspielern die Hauptrolle spielen, scheint auch für das Stadium gewisser Fragen welche die Himmelskörper betreffen, von Wichtigkeit zu werden. Noch mehr scheint der Transport und Austausch der Materie unter der Form sehr kleiner Trüfchen zwischen den Sternen, wie solchen Arrhenius annimmt, eine wesentliche Folge der jüngst entdeckten physikalischen Tatsachen zu sein. Wenn diese Theorie in der Folge Bestätigung findet, wird sie von höchster Wichtigkeit sein. Das von Keeler aufgestellte Programm für die photographischen Aufnahmen mit dem Crowley-Kollimator der Lickobservatorien umfaßt 104 Negatives von Gegenden des Himmels, welche die hauptsächlichsten Nebellöcher und Sternhaufen enthalten. Diese Photographen, die nur $\frac{1}{1000}$ der gewöhnlichen Himmelslichter dicken, enthalten 850 Nebellöcher, von denen 746 bis dahin unbekannt waren. Wenn der übrige Himmel in dem nämlichen Verhältnis noch an Nebeln ist, so würde deren Anzahl etwa eine halbe Million betragen. Diese Anzahl würde indessen zu groß sein, wenn es wahr ist, daß die kleinen Nebellöcher eine Tendenz zeigen, sich am die größten zu gruppieren und bei uns diesen gewissen Grade ist dies in der Tat der Fall. Die Zahl der in unseren größten Teleskopen sichtbaren Sterne beträgt 100 Millionen und die Anzahl der nicht leuchtenden, überhaupt unsichtbaren Objekte, deren Vorhandensein durch verschiedene Tatsachen bewiesen wird, ist mehrfach größer. Astrophysikalische Theorien sind, daß alle diese Himmelskörper, Nebellöcher, glühende Sterne und unsichtbare Massen sämtlich Produkt eines kosmischen Entwicklungsprozesses sind. Der allgemeine Verlauf dieses Prozesses, welcher die verschiedenen Klassen der himmlischen Körper umfaßt, ist bereits bekannt, gegenwärtig sind wir sogar in der Lage diese Klassen nach ihrem Alter zu ordnen und haben wenig Geklar, haben in große Irrtümer zu verfallen.

Der erste oder unterste Form, welche wir bei der kosmischen Materie antreffen, ist die des großartigen Nebels. Nach dem einfachen alle physikalischen Gesetze muß ein Nebellöcher seine Wärme in dem umgebenden Vakuum ausstrahlen. Gemäß einem andern, ebenso einfachen Gesetze, muß er sich um diese oder mehrere Male zusammenschließen und dabei wiederum Wärme erzeugen. Auf diese Weise können sehr komplexe Gestalten entstehen wie Typen der planetarischen Nebel und auch Spiralnebel und andere Typen. Es ist durchaus möglich, daß es mehrere Wege gibt, auf denen die Natur zur Gestaltung der sich zusammenschließenden Nebelmassen gelangt, je nachdem diese sich in dem einen oder andern kritischen Stadium befindet. Tatsächlich gibt es eine große Verschiedenheit im Aussehen der Nebel und man kann wenig Ähnlichkeit zwischen dem sogenannten Trüfchennebel, der in unregelmäßige Massen zu zerfallen scheint, dem Dumbbell Nebel, von dem sich Ringe absondern scheinen, den großen Spiralnebeln, dem Ringnebel in der Leyer mit seinem Zentralstern und anderen bestimmten Formen erkennen.

Die bekanntesten kugelförmigen Massen, welche den Kern gewisser Nebellöcher bilden, bezeichnen ungefähr den frühesten Zustand des eigentlichen Sternbaus. Es ist nicht schwer eine lange Liste von Sternen anzuführen, die nicht weit von dem Stadium entfernt sind, in welchem sich die Nebellöcher befinden. Es sind diejenigen Sterne, deren Spektra nach Huggins und Pickering die Reihen der hellen Linien des Wasserstoffes, die hellen Heliumlinien und andere noch nicht identifizierbare helle Linien zeigen. Die Sterne γ Argus und ϵ Puppi gehören in diese Klasse, ebenso der Stern $4-38^{\circ}3039$ der Bessel Durchmusterung, der mit einer Wasserstofflinie von $5''$ Durchmesser umgeben ist. Diejenigen Sterne, welche reichlich helle und dunkle Wasserstofflinien zeigen, und schon etwas weiter vom Stadium der Nebel entfernt, wie

haben sie zusammen auf dem Sprünge aus der Sonne mit helfen zu jenseit mit dunklen Spektrallinien überzugehen. Hierher gehören die Sterne α Cassiopeae, Pleione und α Centauri. Sehr nahe diesem Stadium sind die Helium-Sterne; unter deren Absorptionen finden sich die Serie des Wasserstoffes nach Huggins vollständig, außerdem etwa 20 Heliumlinien, besonders auch einige der stärksten Serie und gewöhnlich noch ein paar schwache metallische Linien. Die Absorptionen des Kaliums fehlen oder sind kaum sichtbar. Zu dieser Gruppe gehören die meisten Sterne des Orion und die Pleiaden. Die Ursachen, welche die helien Linien in den Spektren der Sterne hervorruft, sind nicht genau bekannt, aber deren Auftreten scheint doch bedingt durch das Vorhandensein einer Atmosphäre der höheren Temperatur besitzt, als die dunkler hellfärblichen Schichten oder einer einfacher, sehr ausgebreiteten Atmosphäre. Es scheint gegenüber den unfeinlichen großen Dimensionen schwierig, anzunehmen, daß der eigengesamte Zustand sich realisiert finde, es könnte aber sein, daß helien Ursachen auf die helispektralen Schichten der Sterne mit helien Linien konzentriert und dadurch helien hervorruft.

Das Spektroskop war es zuerst welches dieser Hilfte, den oben erwähnten Sternen ein jugendliches Alter bewies. Die Photographie hat diesen Schritt bekräftigt durch den Nachweis des Vorhandenseins zahlreicher schwächer Massen in den Gegendern, in welchen viele Sterne mit helien Spektrallinien stehen.

Im Verlaufe der Zeit strahlt die Sternwelt mehr und mehr in den Weltraum aus und es für den einzelnen Stern verloren. Auf der andern Seite aber nimmt die Schwere in den oberflächlichen Schichten dieser Sterne zu. Die unauflösbare Kontraktion demselben wird begleitet von einer Zunahme der mittleren Temperatur und daraus

resultieren notwendig Veränderungen im Aussehen des Spektrums. Die zweite Serie der Wasserstofflinien verschwindet nach und nach, die gewöhnliche Absorption des Wasserstoffes aber wird vergrößert, die Heliumlinien werden unbedeutend, es entstehen Absorptionen des Kaliums und des Natriums. In diesem Entwicklungsstadium befinden sich Vega und Sirius. Mit zunehmendem Alter verlieren die Wasserstofflinien an Intensität, die Linien H und K werden breiter, die metallischen Linien treten mehr hervor, die bläuliche Farbe des Lichts wird mehr gelblich und nach Durchlaufen verschiedener Zustände, von denen wir unter den Sternen Beispiele kennen, erreichen diese das Stadium, in dem sich gegenwärtig unser Sonnen befindet. Die oberste Schicht der Atmosphäre der Sonne des Sonnen-typen zeigt nur 4 oder 5 Absorptionen des Wasserstoffes von mittlerer Intensität, die Kaliumlinien treten doppelt hervor und außerdem zeigt sich etwa 2000 metallische Linien. Der Typus der Sonne scheint dem Ende des leuchtenden Stadiums sich zu nähern. Die mittlere Temperatur der Sonnenmasse kann jetzt wohl weit von ihrem Maximum sein, denn die geringe Dichte zeigt einen noch geringeren Zustand an. Im weiteren Verlaufe der Zeit tritt vermehrt die mittlere Temperatur und die gelbliche Farbe des Lichts geht allmählich in Rot über infolge der Wärmeabnahme der strahlenden Masse und der zunehmenden Absorption des Lichts in der Atmosphäre des Sternes. Die Linien des Wasserstoffes werden unbedeutend, die Absorptionen der Metalle bleiben vorherrschend und breiten damit Absorptionen treten im Spektrum auf. In einem hierher gehörenden Sterntypus, dem von α Ekoris, sind die Elemente, welche diesen Banden entsprechen, nicht bekannt; es kann andere, dem der Stern 10 Perseus entspricht, entsprechen wie dem Nebelstern. Die Beziehungen beider Typen zu einander sind nicht

genügend ermittelt, man hat sogar die Vermutung ausgesprochen, die weitere Entwicklung über das Stadium der Sonne hinaus finde in zwei verschiedenen Richtungen hin statt, indem die rötlichere Sonne mit Absorptionen, die scharf gegen die violette Seite des Spektrums hin abgeschnitten sind, die eine und die sehr roten Sterne mit scharf gegen rot hin abgeschnittenen Absorptionen, die andere Richtung beschreibe. Indessen scheint uns, daß diese Art eine Schwierigkeit zu haben, was noch größerer herbeiführt und wir zweifeln nicht daran, daß systematische Untersuchungen die Beziehungen, welche wir jetzt noch vermessen, nachweisen werden. Eine bemerkende Tatsache ist es jedenfalls, daß die dunkelsten Teile der Absorptionen in den Spektren des IV. Sonnenstadiums, dieselbe Position einnehmen, wie die

ähnlichen Ränder der Banden des Spektraltypus III. Die Meinung äußern, daß die Absorptionen des Kohlenstoffes im Spektraltypus IV den Hydrogenen derselben Klassen entspricht, ist in einigen Sternen des III. Typus ausgesprochen, ist die wichtiger Hinweis auf Untersuchungen mit Hilfe stichtiger Instrumente.

Es ist fast als gewiß anzusehen, daß diese Stadien sich den letzten Entwicklungsstadien der Sonne nähern. Die Temperatur an der Oberfläche dieser Sterne ist nun schon bis zu einem Grade gesunken, daß chemische Veränderungen von langweiliger Art als auf der Sonne, sich bilden können. Tatsächlich findet man Fleckenbildung in großem Maßstabe auf diesen Sternen, ist es nun zu den ersten Versuchen kommen, daß eine feste Kruste zu erzeugen.

(Zitat folgt)

Die Tätigkeit der Harvard-Sternwarte im Jahre 1904.

Von Edward C. Pickering veröffentlichte den dem Präsidenten der Harvard-Universität erstatteten Bericht über die Tätigkeit der Sternwarte während des Jahres, mit dem 30 September 1904 abschließenden Aufwachen. Wir entnehmen demselben, daß es dem Observatorium gelungen ist, das große von A. A. Combes konstruierte Spiegelteleskop von 68 Zoll Öffnung zu verwenden. Dasselbe wird nämlich in der ähnlichen Weise wie das große Reflektor der Yerkes-Sternwarte. Das Okular Werk dabei unbeweglich und sehr genau des Stöpsel gesichert, der Beobachter dabei in einem geschützten Raum. Das Instrument wird in seiner Art das mächtigste der Welt sein und große Leistungen wird von ihm zu erwarten. Das sogenannte Equatorial wurde während des Beobachtungsjahres von Prof. O. C. Wendell benutzt, hauptsächlich zu photometrischen Beobachtungen, vor allem von veränderlichen Sternen des Algoltypus. Auch werden

sechs Planeten photometrisch verfolgt, um etwaige Veränderungen ihrer Helligkeit zu kontrollieren. Es ergab sich, daß der Planet Ivis (2) tatsächlich Helligkeitschwankungen zeigt, die etwa $\frac{1}{2}$ Größenklasse umfassen innerhalb einer Periode von 64 12m. Unglücklicherweise wurde nach Angaben Methode durch Vergleich ihrer Helligkeit mit derjenigen benachbarter Sterne beobachtet. Mit dem 12-zölligen Meridianphotometer wurden von Prof. Edw. Pickering in 193 Millionen stündliche Beobachtungen gemacht. Die Helligkeitsmessungen mit diesem Instrument können bis auf Sterne 12. Größe ausgedehnt werden. Im ganzen wieder mit demselben während der letzten 25 Jahre mehr als 1%, Million stündlicher Helligkeitsmessungen erhalten und auf einer schwächeren Stern ausgedehnt. Mit dem 11-zölligen Doppel-Teleskop wurden im Beobachtungsjahr 543 photographische Aufnahmen gemacht, so daß deren Gesamtzahl auf 15-200

stung; mit dem 8-zölligen Draper-Teleskop wurden 1816 Aufnahmen erhalten wodurch diese Zahl auf 35094 stieg. Die gesamte Anzahl der an Cambridge während des Jahres erhaltenen photographischen Sternaufnahmen beläuft sich auf 13465. Es wurden 31 Veränderungen der Jupitermonde und 5 Bedeckungen am 11-zölligen Draper-Teleskop aufgenommen. Dasselbe Instrument wird namentlich auch benutzt zu photographischen Aufnahmen der Spektra hellschwarzer Sterne mit einem Prisma und 60 Minuten Exposition. Hauptsächlich durch Aufnahmen mit dem 8-zölligen Draper- und dem Rache-Teleskop sind 9 veränderliche Sterne, ein Stern des 5. Spektraltyps, in welchem die Linie H β hell erscheint, 2 Cassiopei, 3 Sterne des 4. Typus und ein Stern mit eigenartigem Spektrum von Madame Fleming entdeckt. Außerdem sind 4 Veränderliche von Miss Wells und ein Stern mit heller H β -Linie von Miss Chanen entdeckt worden. Madame Fleming hat die Spektra von 1466 Sternen des stählernen Draper-Katalogs klassifiziert. Das Studium der Verteilung von Sternen mit verschiedenen Spektra hat zu interessanten Ergebnissen geführt. Es fand sich, daß in der Milchstraße hauptsächlich Sterne des I. Typus stehen, während der 2. und 3. Sternstypus nahezu gleichmäßig über den Himmel verteilt ist. Die Argyrops-Sterne nach der Leihung von Prof. Bailey untersucht. Dort wurden im Bereichspitze mit dem 13-zölligen Boyden-Teleskop 119 photographische Aufnahmen gemacht (Gesamtzeit derselben 3081.18881), mit dem 8-zölligen Rache-Teleskop 2351 (Gesamtzeit 25004). Die Zahl der Stereophotographien überhaupt, die dort im Berichtsjahre aufgenommene wurden, beträgt 4064. Zahlreiche photometrische Messungen wurden mit dem 13-zölligen Boyden-Teleskop ausgeführt, darunter solche an 13 hellen Planeten, von denen zwei oder drei genaue Variationen ihrer Helligkeit erkennen ließen, doch ohne daß es möglich war, bestimmte

Perioden derselben festzustellen. Das große photographische Bruce-Teleskop hat seine Überlegenheit wiederum erwiesen. Während des Berichtsjahrs hat Prof. W. H. Pickering das Verbalisieren des 9. Saturnmondes (Phoebe) auf mehr als 40 Aufnahmen belaufen können. Die Helligkeitsdifferenz in zwei Sterngößen unter jener des Hyperion und die Bewegung merklichgewisser rückwärts. Gleich Phoebe in einer oder zwei Nächten am großen Verbalisier-Teleskop gesehen worden ist, scheint dieser Trabant sonst für jedes Instrument durch direkte Beobachtung unersichtbar, auch hat bisher nur das große Bruce-Teleskop ihn photographisch dargestellt. Durch Untersuchung der mit diesem Instrument aufgenommenen Stereophotographien hat Miss Leavitt nach weniger als 313 neue Veränderliche entdeckt, hauptsächlich in den Bländern großer nebuliger Regionen, 152 davon stehen in der großen Magellanschen Wolke. Durch Untersuchung der Kopienplatten mit langer Exposition hat Prof. Frost in a. 203 Nebel in der jüngsten entdeckt, von denen in Dreyers Nebelkatalog nur 54 enthalten sind. Während des Jahres wurden mit dem Bruce-Teleskop 284 photographische Aufnahmen gemacht, darunter 26 mit Expositionen von 4 Stunden, Phoebe ist auf 12 Platten photographiert. Die Gesamtzahl der am Bruce-Teleskop erhaltenen Platten beläuft sich jetzt auf 6851.

Das 1902 von einem ungenannten Freunde geschenkte Kapital von 20000 Dollars hat ermöglicht, die Sammlung der astronomischen Photographien des Foucaults weiter unterstehen, sie enthält zur Zeit über 200000 Objektiv-Platten. Diese Sammlung bildet eine Darstellung der Zustände des Universums in einer Vollständigkeit, wie sie nirgendwo anders vorhanden ist. Jeder in irgend einem Teile des Himmels entdeckte Objekt kann bezüglich seiner Aussehen und seiner Stellung während der letzten 15 Jahre von einer Aufnahme, auf deren Platten nachgewiesen

wurden. Man kann das Ganze als Bibliothek betrachten von Büchern die nur in einem Exemplar vorhanden sind und deren Inhalt, falls er verloren ginge, niemals mehr ersetzt werden könnte. Etwa 15 Doreen sind enthalten

mit dem Studium dieser Photographien beschäftigt, außerdem waren inzwischen noch zehn andere Doreen vorhanden, deren Beschling durch Hülfe der Carnegie-Institution erfolgte.

Die Tätigkeit des astrophysikalischen Instituts Königsstuhl (Heidelberg).

Gleich die Tätigkeit des seiner Leitung anvertrauten astrophysikalischen Observatoriums auf dem Königsstuhl während des Jahres 1904, gibt Prof. Max Wolf den geschätzten Jahresbericht, welchem wir folgendes entnehmen.

Der Zähl der letzten Abende während des Jahres 1904 betrug 131, der Winter war schlecht, der Sommer für die astronomischen Arbeiten sehr gut. Juni war der beste Monat.

Photographische Himmelsaufnahmen. Mit dem belichteten Belichtungsraum wurden im Laufe des Jahres 220 verschiedene Gegenstände (124 am Bruce-Teleskop und 116 am Schmidt) mit im ganzen 107 Stunden Belichtung aufgenommen. Hierbei wurden 564 Platten exponiert. Im Jahre 1903 war der Anfall der Gegenstände 298, der Belichtungsstunden 329, der Platten 618.

Kleine Planeten. Auch im Jahre 1904 wurde die meiste Zeit der Verfolgung beobachtungsgeheißiger Planetoiden gewidmet. Wie stets, wurde hauptsächlich nur nach alten Planeten, nur nach neuen gesucht. Im ganzen war die 150 verschiedenen Gegenstände auf Platten hin aufgenommen. Dazu und zur Verfolgung einzelner Planetoiden wurden insgesamt 178 verschiedene Aufnahmen mit 441 Platten und 425 Stunden Belichtung gemacht. Es wurde also noch mehr Zeit auf die Planeten verwandt, als im Vorjahr. In einigen 100 verschiedenen Gegenständen fanden sich 50 neue und 132 alte Planeten. Das Verhältnis von neuen zu alten ist also

nach dieser 1904 wie 1:2,6, und es bleibt also wieder das so äußerst erwünschte konstante Verhältnis von einem zu drei bestehen, was schon vor mehr als 10 Jahren Prof. Wolf bereits ebenfalls auf die interessante Aufgabe aus der Wahrscheinlichkeitsrechnung aufzuheben, die sich bereits ergibt, nämlich:

Von einer Abnahme der Zahl der unbekannten Planeten ist vorläufig noch nicht die kleinste Andeutung vorhanden.

Außer den obigen 50 neuen, von denen 48 hier gefunden sind, wurden auf Platten aus früheren Jahren 4 weitere neue gebracht, so daß also im ganzen 54 neue Planeten hier im Laufe des Jahres entdeckt worden sind.

Für Kometen wurden 10 Aufnahmen mit 20 Platten und 18 Stunden Belichtung gemacht. Zuerst wurde von Prof. Wolf vorgeschlagen nach dem Kometen 1904 III gesucht. Glücklicherweise war Herr Kopf, der den Endischen Kometen am 11. September am Bruce-Teleskop auftrat, während das Objekt — es ist das ein schönes Beispiel für die Leistungsfähigkeit des Bruce-Teleskops — erst am 31. Oktober visuell beobachtet werden konnte. Der Komet 1904 d wurde von Prof. Wolf mehrmals aufgenommen, um während des besten Mondschattens Positionen dieses schwachen Kometen zu erhalten, was gut gelang. Eine Position des Endischen Kometen, sowie vier des letztgenannten wurden aufgenommen. — Das Zodiakallicht konnte wegen der schlechten Witterung

zu Anfang und Ende des Jahres nicht photographiert werden. Optische Beobachtungen im Januar, Februar und März zeigten, daß es im Frühjahr etwas noch sehr schwach leuchtete. Rechts hell wurde es gegen Ende des Jahres am Morgenhimmel um die Zeit des 15. November. Am 16. November früh rückte es bei uns a Leonis, die Achse war stark abgelenkt gegen die Ekliptik geneigt, und es schien doppelt so hell als die Milchstraße in der Cassiopeja.

— Für die Durchmusterung des Himmels nach kleinen Nebelflecken wurden sieben Aufnahmen auf 14 Platten mit 34 Stunden Belichtung von Prof. Wolf gemacht. Drei Gegenstände: am 12. Januar, am 17. Januar und am 31. Januar mit zusammen 718 Nebelflecken wurden aufgenommen und die Positionen der ersten beiden Gegenstände fertig gemacht. — In der Milchstraße wurden von Prof. Wolf während der so selten günstigen klaren Periode des Hochsommers zwölf Gegenstände am Breven-Teleskop mit im ganzen 55 Stunden Belichtung photographiert, und teilweise prächtige Bilder erhalten, die sämtlich reproduziert werden sollen. Bei dieser Gelegenheit

wurde Prof. Wolf auf einen Nebel im Schwanz aufmerksam, den er zwar seit 1891 öfters photographiert hatte, dessen Wichtigkeit ihm aber erst jetzt auffiel. Er sieht in einer langgestreckten Sternkette, und zwar völlig isoliert im erweiterten helixförmigen Ende derselben und spricht eine unverständliche Sprache für die Fortbewegung eines mit dem Nebel verbundenen Prozesses über große Raumstrecken hin. Er bietet somit ein Beispiel für die früher besprochene Gesetzmäßigkeit, welche Nebelflecken und Sternketten verbindet. Es muß dahingestellt bleiben, ob die Sternketten durch Absorption des Lichts der fernsten Sternedurch eine unbeschädigte Materie im Gefolge des Nebels hervorgerufen (oder aber durch den Umformungsprozeß in dem den Nebel umgebenden Sternnebeln selbst entstanden sind. Prof. Wolf neigt zu letzterer Anschauung.

Die veränderlichen Sterne nahmen auch einen großen Teil der Arbeitskraft des Observatoriums in Anspruch. Während des Jahres 1904 wurden 21 neue Veränderliche entdeckt, davon 11 in dem kleinen Sternfeld Veloposia.

Die erste Sichtbarkeit der schmalen Mondichel nach Neumond.

Die Frage, wann nach dem Neumond die Mondichel zuerst wieder gesehen werden kann, hat besonders in den vergangenen Zeiten für Juden und Mohammedaner besondere Bedeutung gehabt. Von Vesputi wird berichtet, daß er an einem und demselben Tage den Mond schick und weißlich von der Sonne gesehen haben und Kepler erwähnt zwei Fälle, in denen am Tage des Neumondes die neue Mondichel gesehen werden konnte. Heyl meinte dagegen, daß man die Mondichel (in Dünst) nicht vor dem dritten Tage nach der Konjunktion sehen könne. Ullageit hat Linné's Ob-

Schreden (Bode) in Nr. 4035 der Astron. Nachr. einige interessante Beobachtungen über diesen Gegenstand veröffentlicht. Er schreibt dort:

„Die Frage der frühsten Sichtbarkeit der Mondichel nach Neumond war für verschiedene Zeiten von großer Wichtigkeit, da zum Aharismus fast alle Völker die Einstellung ihrer Monate nach dem Monde richteten und bei dem ersten Sichtbarwerden der Ichel am Abendhimmel den Monat begannen. Nach denselben Grundsätzen richtete sich auch der arabische Kalender. Wenn sich für uns eine Untersuchung dieses Problems nicht mehr religiöser Wert be-

sei, so dürfte doch die Eingicht auf diese Frage nicht uninteressant sein, zumal da sehr wenig Literatur hierzu vorhanden. Außerdem würde das interessante Religionsphilosophen Moses Maimonides aus dem 12. Jahrhundert (= Über den Neumond) kommt zunächst ein Aufsatz von J. F. Julius Schmidt in Athen in den Astronomischen Nachrichten von 1866, Band 71, Seite 202 bis 208 in Betracht. Da ich seit 19 Jahren, ohne anfangs Kenntnis von dessen Arbeiten zu haben, mich diesen Untersuchungen gewidmet habe, möge es mir gestattet sein, einiges aus meinen Beobachtungen mitzutheilen. Da ich kürzlich bei, besonders ich zum Aufsuchen der Sichel ein Opernglas.

Am schwächsten ist für unsere Beobachtungen die Sichel sichtbar in den Monaten Juli bis Oktober wegen der sehr geringen Neigung der Ekliptik zum Horizont, dazu kommt im Juli noch die lange Dämmerung. Die Sichel steht dann ziemlich tief. Trotzdem ist es mir gelungen, am 29. Juli 1899 und am 1. Juli 1901 1^h, Tage nach Neumond bei offener Stellung des Mondes die Sichel sogar leicht zu finden. Der Abstand von der Sonne betrug 20°. Da der Himmel schon bedeckt war, der Horizont aber klar, so erschien die Sichel hell und deutlich. In den ungünstigsten Jahren fällt auch die Beobachtung vom 30. Oktober 1904, 1^h, Tage nach Neumond in Erdbebe, Abstand 21°. Mondschiel sichtbar bei nicht ganz durchfreiem Himmel; Monduntergang eine Stunde nach der Sonne. Erdbeben will ich hierbei noch den 6. Dezember 1895, wo ich den Mond (14 21^h nach Neumond in Erdbebe) 1^h, Stunde nach Sonnenuntergang (hell und) sehr gut beobachten konnte. Hierbei ist weniger der Abstand des Mondes, 25° 34' nach dem Nautikal Almanach (denn wir die genaue Angaben entnehmen), interessant, als die sehr starke stützliche Deklination von 26° 4'. Hieraus geht hervor, daß selbst bei ungünstiger Lage der Sonnenbahn der

Mond in einem Abstände von 20° bis 21° gesehen wird, also bei mittlerer Entfernung ungefähr 1 Tag 16 bis 18 Stunden nach Neumond. Schreitet sich der Mond in dieser Lage aber südlich von der Ekliptik, so bleibt er unsichtbar, weil er dann zu kurze Zeit nach der Sonne untergeht.

Erfolgreich günstiger liegen die Verhältnisse bei der Stellung der Ekliptik. Hierzu einige Beobachtungen aus der Zeit vom 21. Mai bis 12. Juni, die also bei sehr heller Dämmerung eingeleitet wurden.

1. 12. Juni 1896, 14 12^h nach Neumond. Abstand nicht ganz 18°. Zeit 20° 43' N. Mondschiel um 5^h 1^h, 40m nach Sonnenuntergang gefunden, sogar im Fernrohr gut zu beobachten.

2. 25. Mai 1895, 14 7^h nach Neumond. Abstand 17^h 1^h, Zeit + 38'. Monduntergang 2^h nach der Sonne. Schon 35m nach Sonnenuntergang gefunden, hell sichtbar.

3. Schwächer gestanden sich die Beobachtung am 1. Juni 1897 wegen des nicht ganz durchfreien Himmels, 14 7^h 1^h nach Neumond in Erdbebe. Monduntergang 1^h 1^h, Stunden nach der Sonne. 40m nach Sonnenuntergang im 1-eiligen Fernrohr gefunden, auch mit Opernglas sichtbar. Zeit + 26° 43'. Abstand nur 14° 32'.

4. 31. Mai 1898, 14 7^h nach Neumond, Erdbebe. Deklination + 25° 4'. 1^h, Stunden nach Sonnenuntergang im Fernrohr sichtbar trotz dunklen Horizont, daher mit Opernglas nicht untersuchen. Abstand nur 14° 20'.

Diese vier Beobachtungen, die zum Teil bei unklarem Horizonte geschehen sind, zeigen das Ergebnis, daß in der Zeit von Mitte Mai bis Mitte Juni bei starker stützlicher Deklination des Mondes die Sichel schon bei einem Abstände von unter 18°, ja sogar bei noch nicht 15° gefunden werden kann, sie wird trotz der lebhaften Dämmerung etwa 40m nach Sonnenuntergang sichtbar. Bei mittlerer Entfernung erreicht

der Mond des angegebenen Abstand etwa 14 bis 15 nach Neumond.

Die beste Sichtbarkeit erlangt der Mondseil für unsere Gegenden in der Zeit vom Anfang Februar bis gegen Ende April. Dazu ist die Dämmerung sehrnennenswert kurz, der Mond nicht weniger sehr stark nach Norden gerichteten Bewegung beim Untergange der Sonne noch ziemlich hoch am Himmel.⁵⁾ Daher konnte ich am 21. April 1889 bei 19 $\frac{1}{2}$ ° Abstand, 14 12 $\frac{1}{2}$ nach Neumond, der Seil schon 12 $\frac{1}{2}$ nach Sonnenuntergang finden, mit dem Opernglas wurde bei der schwachen Seil sogar der dunkle Teil des Mondes sichtbar. Der günstigen Stellung des Mondes ist es hauptsächlich, daß die Seil am 28. Februar 1903, 1474 nach Neumond, in nur 15° 30' Abstand leicht gefunden wurde. Da die Luft nach einem heftigen Regenschauer sehr durchsichtig geworden war, wurde die Seil bequem sichtbar und trotz der geringen Entfernung von der Sonne recht hell. Am 5. Februar 1905 wurde die Seil 14 44 nach Neumond bei Erdhöhe in noch nicht ganz 14° Abstand aufgefunden. Wegen des starken Dunstes erschien sie aber nicht besonders hell.

Die schönste Frühlingsbeobachtung gelang mir am 12. März 1906. Abends 6 $\frac{1}{2}$, 42 nach Sonnenuntergang fand ich mit dem Opernglas die äußerst schwache Mondseil. Sie erschien schwach, wurde aber von Mante zu

Minuten heller und erschien deutlich als sehr feiner gelber Lichtfaden. Sie stand fast wagerecht wegen der sehr starken Krümmung der Ellipse. Im Opernglas liess sie bei 7 $\frac{1}{2}$ 4 $\frac{1}{2}$ sichtbar, dann verschwand sie im Dunst des Himmels. Der Mond hatte um diese Zeit seine größte nördliche Abweichung von der Ellipse und das Bild von + 4° 21'. Die Beobachtung geschah 22 Stunden nach Neumond bei einem Sonnenabstand von nur 12° 30'.

Hieraus ergibt sich, daß im Frühjahr der Mond schon bei einem Abstände unter 15° sichtbar wird, unter besonders günstigen Verhältnissen sogar bei 12 $\frac{1}{2}$ °, so daß dann die Seil gesehen werden kann, wenn noch nicht 24 Stunden seit dem Neumond vergangen sind. Diese Beobachtungen, die in Berlin oder in unmittelbarer Nähe Berlin von mir angestellt sind, also unter sehr günstigen günstigen Bedingungen, führen zu dem Ergebnis. Selbst bei ungünstiger Lage der Ellipse kann der Mond bei etwa 21° Abstand in unsern Breiten gesehen werden, im Frühjahr genügt bei ungünstigen günstiger Stellung ein Abstand von 14°, der sogar bei 12 $\frac{1}{2}$ ° beobachtet kann. Eine Beobachtung der Venus am 21. April 1887, wo der Planet 14 Uhr vor der unteren Konjunktion in nur 7 $\frac{1}{2}$ ° Sonnenabstand von mir auch mit freiem Auge gesehen wurde, legt mir die Erwartung nahe, daß bei 12 $\frac{1}{2}$ ° die untere Grenze noch nicht erreicht ist, die dies bei 10° Abstand zeigen dürfte. Meine Untersuchungen erstrecken sich auf einen 19-jährigen Zeitraum; hoffentlich gelingt es mir, durch fortgesetzte Beobachtungen die ausgesprochene Ansicht zu bestätigen.

⁵⁾ Ähnlich günstig für die Seil kann vor Neumond und die Monate September und Oktober. Hier erscheint die 14. Oktober 1899, wo ich den Mond, der nur 1 $\frac{1}{2}$ Grade vor der Sonne stand, in 17 $\frac{1}{2}$ ° Abstand bei vorzüglich klarem Himmel bei 18° vor der Sonne sehen konnte.

Beobachtungen des Mars während der Opposition 1905.

Von Ingenieur Karl Sauer, Wien.

(Platt. Tafel X.)

Beobachtungsmarsopposition, während welcher ich wieder am meistentheiligen Refraktor von Reichenow & Hertel den Planeten so oft als möglich beobachtete, bot mir wenig Gelegenheit bei wirklich guter Luft feines Detail zu studieren. Trotzdem war es zu Zeiten möglich, ganz ununterbrochen, meistens bei etwas dünnerer Luft plötzlich die Planetenscheibe wie entzündet zu sehen und Detail zu bemerken, welches oft schon nach wenigen Minuten für den betrübenden Abend verschwand war. In solchen Momenten habe ich die Zeichnungen erhalten, welche auf Tafel X dargestellt sind. Das Vergleichen wegen sind einige Figuren ihrer Ausdehnung gegenseitiggestellt, um die Veränderungen wahrnehmen zu können, welche im Laufe der Zeit entstanden sind. Figur 1 und 2 stellen die große Syris dar, und zwar Figur 1 am 14. Februar 1901, Figur 2 am 6. Juni 1905. Man bemerkt sofort, daß namentlich in der Nähe des Nordpols wesentliche Veränderungen stattgefunden haben, wobei ich allerdings eingeben muß, daß es noch kraftvollerer Fernrohre manchen vielleicht anders dargestellt hätte.

In Bezug auf die Zeichnung vom 6. Juni erwähne ich nur meinen Beobachtungsbogen.

Die nördliche Hemisphäre des Planeten wird durch das von mir noch nicht wahrgenommene kleeblattartige, dunkle Figur zum Teil bedeckt, in welche die große Syris mündet. Östlich von der Syris ist noch die Kanal sehr deutlich.

In Figur 3 und 4 ist die Gegend in der Nähe von Elysium zu sehen, und zwar stellt Figur 3 die Gegend am 30. März 1903 dar, während die gleiche Gegend am 6. Mai 1905 von Figur 4 dargestellt wird. Auch hier sieht man manche Veränderungen, sel-

bstere Intimer natürlich immer vorbehalten. In Bezug auf Figur 4 erwähne ich meinen Tagebuch:

«Elysium sehr hell, fast weiß, aber nicht so hell, als der kleine Polarleck. Die Begrenzungen von Elysium sehr deutlich, namentlich die Kanäle Corbano und Syris. Propontis sehr dunkel. Luft II. Der Rand des Planeten auffallend hell.»

Figur 5. Die Gegend um den Nullmeridian. Ich erwähne nur meinen Tagebuch:

«Ich beschränke mich auf das äußerste nur die wirklich wahrgenommene Detail zu zeichnen. Viel geht dadurch verloren. Ich erkenne die Gegend sofort als die des Nullmeridian. Merkwürdigerweise kann ich «Indus» nicht sehen. Haidel und Ocher sind ganz deutlich. Nordöstlich sehr großer dunkler Fleck. Ferner ein doppelter Kanal, welcher gegen Haidel weg, gegen den Latus Nilum recht. Haidel und Ocher treffen deutlich zusammen zu einem Punkte, welcher nahe der Mitte der Scheibe steht, und etwas dunkler zu sein scheint, als die Kanäle selbst. Luft I bis II, manchmal vollkommen klar. Bilder. Wind erschüttert das Fernrohr. Ausnahmeweise vergrößerte Luft ganz gut das 5^{te}-fache Okular (monocentrisk) Vergrößerung 238 —. Ganz im Nordwesten am den Polarleck. Der Schatten ganz hell ist wahrscheinlich die große Syris. Trotz der guten Luft scheint mir das Fernrohr noch nicht sehr ganz ausreichende Kraft zu offenbaren. Man sieht keine Spinnweben und Detail, jedoch ist es ganz ungenügend gemacht zufrieden.»

Figur 6 stellt die Gegend um den Indus dar.

Die angewendeten Vergrößerungen waren namentlich 160-fach ausnahmeweise 210-fach.

Die Spektren der Sterne des IV. Spectralischen Spektraltypus.

1. In diese Spektralklasse gehören nur rote Sterne von geringer Helligkeit, denn der hellste darunter ist 53 Größe. Eine spektroskopische Untersuchung ist demgemäß schwierig, denn sie erfordert ein sehr lichtstarkes Instrument. Der Verfassers Refraktor erreichte daher keine besonders geringe und er wurde in der Tat von O. E. Hale, F. Edermann und J. A. Parkhurst zu diesem Zwecke benutzt. Der Bericht hierüber liegt (teilw.) vor.¹⁾

Angewandt wurde meist ein Spectrograph mit drei Prismen aus schwachem Flintglas und als Vergleichsspektrum diente die Funkenspektre des Eisens und Titans. Die Beobachtungen erstrecken sich auf die acht Sterne 19 Phoen., 318 Birmingham und 74, 75, 115, 132, 152, 280 des Katalogs der roten Sterne von Schepplerup. Das Schlußre, zu welchem die Beobachter durch ihre Untersuchung dieser Sternspektren kamen, sind kurz folgende:

1. Die Spektren dieses Sterntypus enthalten eine große Anzahl sehr heller sehr dunkler Linien, sowie dunkle Bänder an vielen.

2. Die meisten Geschwindigkeiten der untersuchten acht Sterne variieren zwischen $+5$ und -28 km in der Sekunde.

3. Die Messungen der Wellenlängen von 300 dunklen Spektrallinien ergaben die Anwesenheit von Kohlenstoff, Wasserstoff, Yttrium, Calcium, Magnesium, Natrium, Eisen, Chrom, Titan, Nickel, Mangan und vielleicht noch von ein paar anderen Elementen in der äußeren Atmosphäre dieser Sterne.

4. Kohlenstoff und die metallischen Dämpfe befinden sich dort in sehr dichtem Zustande, unerschrocken unmittelbar über der Photosphäre.

5. Über den dichten Dämpfen der umliegenden Schicht dieser Photosphäre befinden sich andere Gas- oder Dämpfe, welche im Spektrum durch helle Linien repräsentiert werden, so daß die Verhältnisse ähnlich wie auf unserer Sonne sind.

6. Die helle Linie, etwa 360 an der Zahl, scheint unbekanntes Gas anzuzeigen, wenigstens konnte keine davon mit Sicherheit identifiziert werden. Einige derselben korrespondieren vielleicht mit solchen im Spektrum der Wolf-Rayet'schen Sterne.

7. Die große Intensität der Linien wie z. B. der Calciumlinie 1.4227, und der Umstand, daß die Linien des elektrischen Bogens und Flammenspektrums stark erscheinen, während die des elektrischen Funkens schwächer sind, läßt vermuten, daß die Temperatur der umhüllenden Schicht auf diesen Sternen niedriger sein mag als auf der Sonne.

8. Die Tatsache, daß viele in den Sonnenflecken beobachtet auftretende Linien in den Spektren der in Rede stehenden Sterne sehr stark sind, läßt zu dem Glauben, daß auf diesen Sternen die Sonnenflecken sehr häufig vorkommen.

9. Im Spektrum des Sterns 10 Phoen. zeigte sich die Wasserstofflinie $H\gamma$ und $H\delta$ dunkel, während $H\beta$ hell im Spektrum von 280 Schepplerup und in einigen andern, im übrigen die Linie $H\beta$ hell. Hierdurch steht das Spektrum der Sterne des IV. Typus denjenigen der Wolf-Rayet-Sterne, in welchem die beschriebenen Wasserstofflinien dunkel, die weniger beschriebenen dagegen hell und sehr fehlen.

10. Die helle Linie $H\beta$ im Spektrum des Sterns 280 Schepplerup zeigt Veränderungen ihrer Helligkeit.

11. Ungefähr 20% aller Sterne des Typus IV sind veränderlich, und zwar scheint die Tendenz zur Veränderlich-

¹⁾ Publ. of the Yerkes Observatory, Vol. II, Chicago 1904.

keit hier viel größer zu sein als bei den Sternen des III. Spectralen Typus.

12. In der Milchstraße und in deren Umgebung finden sich die Sterne des IV. Typus am häufigsten.

13. Die Sterne des III. und IV. Typus sind kleiner ähnlich in Bezug auf Färbung, Tendenz zur Veränderlichkeit, Spektrum, wahrscheinliches Vorhandensein von Flecken an ihrer Oberfläche, physischer Beschaffenheit und wahrscheinlich auch im Verhältnis zu den Sternen des Typus unserer Sonne. Unter dem Gesichtspunkte der Klass-

fizierung können sie als Abwägungen vom Sonnentypus betrachtet werden.

14. Die Veränderungen der realen Intensitäten gewisser Spectrallinien des Titans zeigen, daß die Sterne des IV. Typus in Bezug auf ihre Entwicklung noch wahrscheinlich von den Wolf-Rayetischen Sternen unterschieden.

15. Die Sterne dieses IV. Typus stammen wahrscheinlich von solchen ähnlich unserer Sonne, deren Temperatur infolge ihrer Wärmestrahlung bereits gesunken ist.

Untersuchungen der Spektren heller Gasnebel.

21 In dem atmosphärischen Observatorium zu Potsdam haben die Professoren Dr. J. Schuster und Dr. J. Wilsing in den Jahren 1901 bis 1903 mit einem von Geh. Rat Vogel angekauften und von O. Töpler ausgestatteten Spektroapparat, der an dem großen Kollimator angebracht wurde, Untersuchungen an mehreren hellen Gasnebeln angestellt.¹⁾ Diese Untersuchungen erstreckten sich auf die Messungen der Linienverschiebungen in den Spektren jener Sterne, um daraus das in die Gesichtsbasis verlaufende Teil der Bewegungsgeradenhelligkeit jener Nebelflocke oder deren sogen. Radialgeschwindigkeit zu ermitteln und ferner um die Helligkeitsverhältnisse der drei Hauptlinien im Spektrum der Gasnebel fotometrischen Untersuchungen auszuführen, wie der Apparat mit einer photometrischen Einrichtung versehen worden, die ihn in ein Spektrophotometer umgestaltete.

Was zunächst die Bestimmung der Helligkeitsverhältnisse der drei Hauptlinien im Spektrum der Nebelflocken anbetrifft, so wurden schon früher von verschiedenen Seiten Schätzungen darüber unternommen, aber letzte regel-

haften Messungen. Solche Schätzungen sind indessen beträchtlich unrichtig, weil diese Linien nicht nur in der Farbe verschieden sondern auch äußerst schwach sind. Da die Hauptlinien im Spektrum der Nebelflocken haben folgende Wellenlängen $\lambda = 5087, 4039$ und 4130 Å . Die letzte ist die Wasserstofflinie H γ , die beiden anderen gehören dagegen noch unbekannten Stoffe an. Die erste Linie ist in allen Nebelirradiationen die hellste, bezüglich der relativen Helligkeiten der beiden anderen liegen die Angaben verschiedener. Nach Kertens Schätzungen ist in allen Nebelirradiationen das Verhältnis der ersten zur zweiten Linie unendlich, während die dritte sehr verschieden verhält. Diese Angabe wird nun durch die Messungen der beiden Astrophysiker zu Potsdam an zehn Nebelflocken durchaus bestätigt. »Es ist« sagen sie, »genau dasselbe Ergebnis, zu dem Nader auf Grund von Helligkeitsmessungen bereits gekommen war, und welches nunmehr durch unsere Messungen bestätigt worden ist. Wir machen darauf aufmerksam, daß dieses Resultat der Ansicht günstig ist, daß die erste und die zweite Nebellinie dem gleichen, vorläufig noch unbekannten Stoffe angehören, und daß der Wasserstoff in den verschiedenen Nebeln nicht unter dem gleichen phys-

^{1) Zeitschr. des Astrophys. Observ. zu Potsdam, Nr. 42, 1903.}

kalischen Bedingungen (relativer Mangel?) besteht. Der schon mehrfach, besonders von Balopolsky ausgesprochenen Ansicht, daß die erste und die zweite Nebellinie eines neutralisierten Wasserstoffspektrums angehören, ist unser Resultat weniger günstig, ohne ihr indessen zu widersprechen.

Im zweiten Teile ihrer Arbeit geben die Verfasser zunächst eine Übersicht über die bisherigen Versuche der Radialbewegung von Nebellinien zu ermitteln. «Derzeit», sagen sie, «welcher der Frage der Nebelbewegungen stiller ist, war Huggins, der sich mehrfach der Aufgabe unterzogen hat, die Position der Hauptnebelleine, besonders im Orionsnebel, mit möglicher Genauigkeit festzulegen. In Bezug auf den Orionsnebel kam Huggins¹⁾ zu dem Schlusse, daß in Rücksicht auf die Erdbewegung der Nebel sich nicht mit größerer Geschwindigkeit als 10 engl. Meilen von uns weg oder 20 bis 25 Meilen auf uns zu bewegen könne. 1874 gab er als Resultat²⁾ von seinen Beobachtungen an sieben Gasnebeln an, daß er in keinem Falle eine Änderung der relativen Position der Nebellinie gegenüber der benachbarten Nebellinie, die als Vergleichslinie diente, habe entdecken können.

Vogel³⁾ schloß aus seinen 1871 in Balkamp angestellten Beobachtungen auf eine Bewegung des Orionsnebel von + 27 km.

Schließlich sind noch die Beobachtungen Hainden in Orionsnebel zu erwähnen, der in Bezug auf den Orionsnebel zu dem negativen Resultate kam, daß dieser Nebel, wenn überhaupt, nur eine geringe Bewegung besitzen könnte.

Im Jahre 1890 hat Koster⁴⁾ seine grundlegenden Beobachtungen über diesen Gegenstand begonnen. Derselben wurden angesetzt durch Huggins, der

seine Untersuchungen über die Nebellinien wiederholt hatte, um die Beobachtung Lockyer zu widerlegen, daß die Hauptnebelleine mit der Karte eines Magnesiumbandes identisch sei.

Das in Verbindung mit dem großen Reflektor der Lick-Steinwarte benutzte Spektroskop war mit einem Knochenschalen Gitter von 14400 Linien auf den Zoll versehen, von welchem der dritte und die vierte Ordnung benutzt wurde. Die Beobachtungsmethode war die folgende: Das Bild des zu untersuchenden Nebels wurde auf den Spalt gebracht und die Hälfte des letzteren so verkleinert, daß er genau durch den Nebel ausgefüllt wurde. Hierauf erfolgte eine Einstellung auf die Nebellinie und die Ablösung der Scheibe des Mikrometers. Dann wurde ein isoliertstehender Prisma vor den Spalt gestellt und auf die zum Vergleichen gewählte Linie einer anderen Lichtquelle eingestellt, und so wurde abwechselnd verfahren.

Als Vergleichslinie für die Hauptnebelleine wurde Anfangs die beschriebene Karte des Magnesiumbandes und die Blocken bei 15085 benutzt, später nur die letztere, für die zweite Nebellinie kam die Grundoppellinie 14958 «falsch zur Verwendung, und die dritte Nebellinie wurde mit der H β -Linie einer Wasserstofflampe verglichen.

Das Verfahren Koster zur Bestimmung der Geschwindigkeitskomponenten der verschiedenen Nebel war das folgende: Zunächst konnte die Geschwindigkeit für den Orionsnebel und den hellen planetarischen Nebel G. C. 4390 durch die direkte Vergleichung der H β -Linie ermittelt werden, und an diese Ansetzungen wurden die für die beiden Nebel gefundenen Wellenlängen der ersten Nebellinie angesetzt. Das Differenzieren der Wellenlängen der Linien der übrigen Nebel gegen die so bestimmten absoluten Wellenlängen lieferten dann die Geschwindigkeiten.

Für den Orionsnebel erhielt Koster als mittlere Wellenlänge der Hauptnebel-

¹⁾ Phil. Trans. 1866.

²⁾ Proc. R. Soc. Vol. 18.

³⁾ Astron. Nachr. Bd. 22.

⁴⁾ Publ. of the Lick Observ., 11, Part IV, 1894.

lute (korrigiert wegen Endbewegung) 15007.34. Die Beobachtung der H γ -Linie ergab für die Geschwindigkeit des Orionsnebels + 0.29, mithin ist die absolute Wellenlänge 15007.06. Die entsprechenden Zahlen für den Nebel Q. C. 4390 sind 15006.69 + 0.15 = 15007.07. Im Mittel ist demnach die absolute Wellenlänge der ersten Linie 15007.06, bezogen auf das Bessel'sche System der Preliminary Tables.

Die hiernach von Koller gefundenen Werte der Geschwindigkeitskomponenten (nur für die nach von ihm beobachteten neuen Nebel) betragen in Kilometern:

Nebel	Geschwindigkeitskomponente	mittlere Fehler
Orionsnebel	+ 173	± 13
Q. C. 4394	— 343	± 21
Q. C. 4375	— 947	± 28
Q. C. 4398	— 87	± 16
N. O. C. 7827	+ 86.4	—
Q. C. 4394	— 83	± 24
N. O. C. 6808	+ 467	± 54
N. O. C. 7827	— 181	± 16
Q. C. 4394	— 317	± 48

Von den drei letzten Nebeln (Q. C. 4398, Q. C. 4375 und N. O. C. 7827 bei Hainmann⁵⁾) die Geschwindigkeitskomponenten auf photographischem Wege ermittelt. Aus den Messungen der H γ - und der H β -Linie wurde für den Nebel Q. C. 4390 diese Komponente direkt abgeleitet zu — 0.25. Die hiernach korrigierte Wellenlänge für die erste Hauptabschleifer resultierte zu 15007.04 in guter Übereinstimmung mit dem Bessel'schen Werte. Die schließlich erhaltenen Geschwindigkeitskomponenten sind:

Nebel	Geschwindigkeit
Q. C. 4390	— 183 km
Q. C. 4375	— 493 „
N. O. C. 7827	+ 86 „

⁵⁾ Sitzungsber. d. Kgl. Preuss. Akad. d. W., 1902, März.

Speziell über die Bewegung des Orionsnebels hat H. C. Vogel⁶⁾ auch spektroskopische Aufnahmen von überhundert Untersuchungen angestellt, wobei sich als Geschwindigkeitskomponente für die helixale Richtung des Orionsnebels + 17.5 km ergeben hat.

Die längste Untersuchung über diesen Gegenstand ist von Wright⁷⁾ angestellt worden, und zwar ebenfalls auf spektrophotischem Wege. Die Messungen beziehen sich auf eine größere Zahl von Linien, von denen die Wasserstofflinien zur Bestimmung der Geschwindigkeitskomponenten benutzbar waren. Ähnliche fand Wright

Nebel	Geschwindigkeit
Q. C. 4390	— 11 km
Q. C. 4394	— 7 „
N. O. C. 7827	+ 8 „
Orionsnebel	+ 17 „

Die Beobachter Prof. Schuster und Prof. Wilsing hatten ursprünglich beabsichtigt, alle 14 Nebel zu untersuchen, für welche Koller auf der Lick-Steinwarte die radialen Geschwindigkeiten bestimmt hatte. Indessen mußten sie mehrere, die für Potsdam zu tief am Horizont blieben, ausschließen, auch traten sich die Luftverhältnisse in Potsdam wesentlich ungünstiger als diejenigen unter denen die Lick-Steinwarte abhebt. Die Untersuchungen zur Bestimmung der radialen Geschwindigkeiten mußten sich auf Vergleichung der Position der Linie 15007 mit einer beobachteten Escalante beschränken. Dabei waren die Messungen außerordentlich schwierig und ungenügend, indessen den schwachen Nebeln selbst die Hauptlinie nur unter beschränktem Schenungsaufzuge für die Augen zu sehen war. Auf die Einzelheiten des Beobachtungsverfahrens und des Detail der Messungen ist hier nicht einzutreten.

⁶⁾ Sitzungsber. d. Kgl. Preuss. Akad. d. W., 1902, März.

⁷⁾ Astrophys. Journal, Vol. XVI

gehen, dagegen müssen die Ergebnisse für die Geschwindigkeiten der neun untersuchten Nebel mitgeteilt werden. Die Nebelstärke wird durch ihre Nummern im Gesamt Katalog (G. C.) und im neuen Gesamtkatalog (N. G. C.) bezeichnet und die Geschwindigkeiten in Kilometern pro Sekunde angegeben, wobei das Vorzeichen — bedeutet, daß der Nebel sich der Sonne nähert, + daß er sich entfernt. Die nachstehende Tabelle gibt die von Schuster und Wright er-

haltenen Resultate, darunter, zum Vergleich auch diejenigen, welche andere Astronomen für einzelne dieser Nebel-sterne erhalten. Es können hierbei für die sämtlichen von Schuster und Wright beobachteten Nebel nur diejenigen von Koller (K) in Frage, für die letztere Nebel die Beobachtungen von Hartmann (H) und Wright (Wr), sowie speziell für den Orinabel diejenigen von Vogel und Eberhard (V. u. E.), Frost und Adams ? (F. u. A.), die alle mit Ausnahme der von Koller auf photographischem Wege erhalten worden sind.

Nebel	W. u. R.	K.	H.	Wr.	V. u. E.	F. u. A.
G. C. 434	— 30	— 34	—	—	—	—
G. C. 435	— 64	— 66	— 66	—	—	—
G. C. 439	— 7	— 10	— 11	— 11	—	—
N. G. C. 439	+ 48	+ 48	—	—	—	—
G. C. 434	—	— 5	—	—	—	—
N. G. C. 440	+ 40	+ 41	—	—	—	—
N. G. C. 702	+ 12	+ 10	+ 5	+ 12	—	—
G. C. 464	— 5	— 11	—	— 7	—	—
Gesamtwert	+ 15	+ 18	—	+ 16	+ 12	+ 14.5

haltenen Resultate und darüber, zum Vergleich auch diejenigen, welche andere Astronomen für einzelne dieser Nebel-sterne erhalten. Es können hierbei für die sämtlichen von Schuster und Wright beobachteten Nebel nur diejenigen von Koller (K) in Frage, für die letztere Nebel die Beobachtungen von Hartmann (H) und Wright (Wr), sowie speziell für den Orinabel diejenigen von Vogel und Eberhard (V. u. E.), Frost und Adams ? (F. u. A.), die alle mit Ausnahme der von Koller auf photographischem Wege erhalten worden sind.

Oben unter durchschneidendes Abweichung von + 4 km zwischen den Beobachtungen dieses Nebels von Koller und

liegt. Der Hartmannsche Wert, allerdings nur auf einer Aufnahme beruhend, weicht stark nach der entgegengesetzten Seite ab. In allen übrigen Fällen dürfte die Übereinstimmung zwischen den verschiedenen Beobachtern als eine sehr befriedigende zu bezeichnen sein.

Geht auf die Verflechtung mit Koller, und der beiden Beobachter zu fließen zu der Annahme berechtigt, daß es ihnen gelungen ist, trotz ungleichzeitiger optischer und atmosphärischer Verhältnisse die von ihnen beobachtete Ziel zu erreichen die Bewegungskomponenten der hellen Orinabel unter Verwendung einer neuen Methode mit einer der von Koller erreichten vergleichbaren Genauigkeit zu erreichen.

? Astrophys. Journal, Vol. XIX.

Vermischte Nachrichten.

Die Estimation der vier hellen Jupitertrabanten, im Anschluß an eine früheren Mitteilung¹⁾ veröffentlichte neuerdings P. Gubbick, nach Abschluß seiner Beobachtungen, des vorläufigen Resultats aller seiner in dem Zeitraum 1904 Dezember 18. bis 1905 März 24. erhaltenen hessischen Helligkeitsbestimmungen der 4 hellen Jupitermonde, an einem zölinischen Photometer. »Das Hauptergebnis der Untersuchung«, sagt er, »ist die Feststellung eines gesetzmäßigen Lichtverlusts bei allen vier Trabanten während des gesamten Zeitraumes; die Perioden der Helligkeitsänderungen fallen mit den Umlaufzeiten zusammen, wonach ist die Oberfläche von Rotation- und Umlaufzeit bei den vier kleinen Jupitertrabanten sehr wahrscheinlich. Ausgesprochen habe ich von meinen Beobachtungen nur einige Schätzungen des Trabanten IV bei den Anomalien 258° bis 2° wegen aller großer Jupitermitte, sowie einige Messungen, die durch Wolken verhindert wurden, endlich die Anzahl Schätzungen von 1904 Dezember 22 bis 1905 Jan. 2, welche in Bonn an einem 2 $\frac{1}{4}$ -zöll Perzeptor mit 55facher Vergrößerung erhalten worden waren.

Von früheren Helligkeitsbestimmungen der Jupitertrabanten sei eine andere Beobachter im Gießbach diejenigen von Auwers (1856—60), Engelmann (1870) und Pickering (1877—78) berücksichtigt. Sie stimmen im allgemeinen gut mit den vorliegenden überein. Auf einen Punkt weist er besonders hin. »Vergleicht man«, sagt er, »die Lichtkurven der drei ersten Trabanten untereinander und mit der des vierten, so erkennt man die große Charakteristikalität der drei ersten und den allmählich abweichenden Typus der letzten. Da der absolute Verhältnis bezüglich der Fläche und,

wie gleich gezeigt werden wird, bezüglich der Albedo (der Licht reflektierenden Kraft) der Trabanten besteht, so liegt der Gedanke nahe, in der Verschiedenheit des Charakters der Lichtkurven den Ausdruck der Verschiedenheit der physikalischen Verhältnisse auf den Oberflächen dieser Himmelskörper zu suchen. Weitere Schlüsse können aber hier wegen aller vorliegenden Fälle nicht ohne Hilfe spekulativer Ueberlegungen der Trabanten gezogen werden, welche bisher noch auf fest unbewiesener Behauptung stehen.

»Man kann ferner die Lichtkurven dazu benützen, das ungleiche Helligkeit der Trabanten während ihrer Vorübergänge vor der Jupitercheibe zu ermitteln und daraus das Verhältnis von Trabantenalbedo und Jupiteralbedo für diesen Moment zu berechnen, was für die Erklärung der Phänomene der hellen und dunklen Vorübergänge von Bedeutung ist. Man erhält für die Schätzungen der Trabanten bei den Vorübergängen in runden Zahlen folgende Helligkeiten der Monde in Sterngrößen: I = 5.7 m , II = 5.8 m , III = 5.4 m , IV = 6.4 m . Nimmt man für Jupiter die Halbmesser 92.8" und 92.6" (Distanz = 1), für die Trabanten nach Bernard folgende für die Entfernung 5.20 gefunden Durchmesser am 1. 1.448", II 0.874", III 1.512", IV 1.430", für die relative Oppositivität des Jupiter nach Müller = 2.23 m , so erhält man folgende für die Vorübergänge größte relative Albedowerte, wenn die mittlere Albedo des Jupiter gleich 1 gesetzt wird:

Trabant I = 0.54, II = 1.12, III = 0.93, IV = 0.25.

Die Albedo des Trabanten II ist demnach während des Vorüberganges merklich größer als die mittlere Albedo Jupiters, was im Einklange mit der Tatsache steht, daß dieser Trabant sehr helle Vorübergänge hat. Die mittlere

¹⁾ Zeitschr. für Astr. 1906, S. 118.

²⁾ Astron. Nachr. Nr. 4020.

Helligkeiten der Trabanten hat Gaffney aus dem Kern abgeleitet und erhält:

Trabant I = 1.96^m, II = 5.66^m, III = 5.27^m, IV = 6.27^m.

Diesem Helligkeitsverhältnis entsprechen die relativen Albedowerte (Jupitersalbido = 1)

Trabant I = 0.25, II = 1.35, III = 0.72, IV = 0.27.

Evident sind auch die Massenverhältnisse der Albedo von Interesse. Die Kerne geben folgende Helligkeitsmaxima:

Trabant I = 5.18^m, II = 5.16^m, III = 4.74^m, IV = 6.16^m.

Diesem entsprechen die relativen Albedowerte:

Trabant I = 1.15, II = 2.11, III = 1.67, IV = 0.31.

Es geht aus diesen Werten, sagt Gaffney, hervor, vor allem aus dem letzten von II, daß die angestammte Albedo des Jupiter beträchtlich zu groß sein muß, wenn man nicht für die Trabanten I und II die unerschöpfliche Annahme eigener Lichterzeugung machen will.

Neuer Vortragsfehler in der Lagen. Auf dem Astrophysikalischen Observatorium Königstuhl-Heidelberg wurden am 12. April 1905 2 Platten mit dem Bruce-Teleskop erhalten, die zwei Stern 16. Größe zeigen, der auf keiner der zahlreichen früheren Platten dieser Himmelsregion vorhanden ist. Sein Ort (für 1905) ist nach Prof. Wolf A. R. = 12^h 50^m 17.00^s D = + 36° 23' 23.6".

Es ist, sagt Prof. Wolf, nicht ausgeschlossen, daß der Stern eine Nova ist, doch ist durch die Bildform nichts außergewöhnliches angedeutet¹⁾.

Feuerkugel. Herr A. Koch schreibt aus München (Oberbayern): „Am 10. Juli von 10^h 30^m ab beobachtete ich ca. 30 Sekunden lang ein prachtvolles

Metall, welches in der geschätzten Höhe von 100 km von Westen nach Osten begann zu mir vorüberzog. Es kam vom Horizont herauf und streifte den Zenit zu und begann mit aufzuleuchten, als die Luft vom Marschen bei dem Stern der Schlinge bewegt war, und nahm dann schnell an Helligkeit zu, während es ca. 12 Sekunden lang von einer himmelsternenartigen Dandachle, deren Stielgrund es bildete, begleitet wurde. Nach den ersten 7 Sekunden hatte es die Größe und Helligkeit des Jupiters erreicht, nach weiteren 5 die der Venus, welche es 7 Sekunden beobachtet, um sich dann unter der Woge der Luft in zwei gleich große Kugeln zu teilen, welche in diesem Abstand von 1/2 Durchmesser der Mondscheibe 4 Sekunden lang nebeneinander herliefen, worauf die vordere Kugel lauter erklang, während die andere noch 7 Sekunden lang denselben Beibehaltung zum Scheitern fortsetzte, um ebenfalls lauter aber plötzlich als die vordere Kugel zu erklingen.“

Berechnung der Höhen von Sternschnuppen. Prof. Dr. E. Weiß hat kürzlich in den Denkschriften der Kaiser Akademie zu Wien²⁾ eine umfassende Arbeit veröffentlicht, bei welcher folgende Gesichtspunkte maßgebend sind. Gleichwie in vielen anderen Zweigen der Astronomie die Photographie eine sich wachsende Bedeutung gewinnt, ist sie namentlich auch in der Meteorwissenschaft befruchtet, die Genußgebot der Beobachtungen dieser flüchtigen Phänomene auf ihre Höhe zu heben, welche bei der Beobachtung anderer Erscheinungen erreicht wird. Eine vorzügliche Gelegenheit, diese neue Beobachtungsmethode zu erproben und ihre Vorteile zu helles Licht zu setzen, schenkte sich dem Astronomen 1899 zu 41. Stern, wo man die Rückseite des großen Leonidenstromes mit Zuversicht ergründen, ihr, abgesehen von früheren, bis auf das Jahr 902 unserer Zeit-

¹⁾ Astron. Nachr. Nr. 4813

²⁾ Mathem.-naturw. Klasse, Bd. LXXVII, Wien 1905.

rechnung verwickeltes Errechnen, in 1799, 1832/33 und 1860 zu glänzenden Sternschuppenspielen Vorlesungen gegeben hatte. Prof. Weiß sollte daher im Jahr 1897 den Plan, bei der kaiserlichen Akademie der Wissenschaften die Organisation einer Expedition zur photographischen Aufnahme der bevorstehenden Leoniden-ansammlung zu beauftragen, bei welcher außer einer genauen Entleerung der Luft und des Chonders der Aufsteigspunkte auch korrespondierende Beobachtungen im Auge gefaßt wurden, von denen er sich eine reiche Ausbeute und mancherlei interessante Resultate versprach.

Um die Berechnung der Höhen, der verbesserten Beobachtungsmethode entsprechend, auf eine möglichst sichere Basis begründen zu können, unterzog er zunächst die Methoden der Höhenberechnung der Meteor, welche bisher in Anwendung gekommen sind, einer kritischen Durchsicht und fand dabei sehr bald, daß keine derselben von ihrem Autor auf die einfachste Form gebracht worden sei, deren sie fähig ist. Bei den älteren Methoden (von Brander und Olbers) rührt dies hauptsächlich daher, daß als Unbekannte die Entfernung des Meteors vom Zentrum der Erde oder anders ausgedrückt, ihrer Erdoht ungeklärt wird, in dessen Zähl das Meteor aufzutauchen oder verlosch. Auf den ersten Blick scheint dies allerdings die Zweckmäßigkeit zu sein, weil man die gesuchte Größe, nämlich die Höhe des Meteors über der Erdoberfläche aus seiner Entfernung vom Erdzentrum durch einfaches Subtrahieren des Erdradius erhält. Bei näherer Betrachtung erkennt man aber sehr bald, daß es unangenehm ist, die Entfernung des Meteors vom Beobachter als Unbekannte zugrunde zu legen. Um aus dieser die Höhe des Meteors zu erhalten, hat man jetzt freilich noch einen zweiten Höhe zu berechnen, falls man nicht dessen Positionen an einem Meteoroscope eingestellt hat. Diese

Mühsal wird aber schon dadurch reichlich aufgewogen, daß die Formeln viel einfacher, zum Teil sogar so einfach und durchsichtig wurden, daß man schon aus dem bloßen Anblicke der Beobachtungen ohne jegliche Rechnung erkennt, ob die Methode in dem speziellen Falle ein sicheres Resultat ergibt.

Prof. Weiß hat nun die wichtigsten der bisher bekannten Methoden der Höhenberechnung der Meteor auf ihre einfachste Form zurückgeführt.

Den Zweck, den er dabei im Auge hatte, war der, zu zahlreichen korrespondierenden Beobachtungen und Höhenberechnungen von Meteor anzuregen. Mit Recht ist Prof. Weiß der Überzeugung, daß es bei der großen Anzahl von Stationenpunkten, die nicht nur im Laufe eines Jahres miteinander auftreten, sondern häufig auch in die und derselben Nacht eintreffen, nur korrespondierende Beobachtungen ermöglichen werden, zu einer sicheren Bestimmung der Zeit und Position der tatsächlich vorhandenen Radiation zu gelangen und daß auch nur durch korrespondierende Beobachtungen die in unserer Zeit wieder in den Vordergrund der Debatte getretene Frage über die Veränderlichkeit von Influenza der wohlthätig ihren Ort am Himmel nahezu unverändert behaltenden, ihre endgiltige Lösung finden wird. Ebenso dürfen hinsichtlich zahlreicher Höhenbestimmungen von Meteor die Material zu interessieren und wichtigen Untersuchungen verschiedener Art darbieten. In befall dieses Punktes steht er darauf an, daß einige größere Beobachtungsreisen des Leoniden- und Leonidenstromes auszuführen scheine, die dem Meteor zu verschiedenen Zeiten in verschiedenen Höhen aufleuchten und verlöschen, was, wenn es sich durch weitere Beobachtungen bestätigen sollte, wohl nur von unvorstellbaren Veränderungen in den Zuständen der höchsten Schichten unserer Atmosphäre herrühren kann.

Astronomischer Kalender für den Monat November 1905.

Sonnen				Mond			
Mittlere Berliner Zeit.				Mittlere Berliner Zeit.			
Tag Monat	Zeit M. Z. — W. Z.	Rektascension	Declination	Rektascension	Declination	Mond im Meridian	
	h m s	h m s	° ' "	h m s	° ' "	h m	
1	— 22 18 03	14 55 57 77	— 14 18 54	20 55 4 39	— 22 58 58 3	3 55 0	
2	— 20 15 43	14 57 55 67	— 14 17 14 4	20 54 14 03	— 20 56 1 0	4 50 1	
3	— 18 13 23	14 59 53 54	— 14 15 17 5	20 53 15 43	— 18 53 11 5	5 45 4	
4	— 16 11 03	15 01 51 39	— 14 13 59 7	21 52 16 73	— 16 50 23 0	6 40 3	
5	— 14 08 43	15 03 49 22	— 14 12 39 0	22 51 20 39	— 14 47 34 0	7 35 3	
6	— 12 06 23	15 05 47 03	— 14 11 18 1	23 50 25 53	— 12 44 45 1	8 30 3	
7	— 10 04 03	15 07 44 43	— 14 9 57 0	24 49 31 07	— 10 41 56 1	9 25 3	
8	— 8 01 43	15 09 42 23	— 14 8 36 0	25 48 36 21	— 8 39 07 1	10 20 3	
9	— 5 59 23	15 11 40 03	— 14 6 54 1	26 47 41 35	— 6 36 18 1	11 15 3	
10	— 3 57 03	15 13 37 83	— 14 5 33 2	27 46 46 49	— 4 33 29 1	12 10 3	
11	— 1 54 43	15 15 35 63	— 14 4 12 3	28 45 51 63	— 2 30 40 1	1 5 3	
12	— 0 52 23	15 17 32 43	— 14 2 51 4	29 44 56 77	— 0 27 51 1	2 0 3	
13	— 0 50 03	15 19 30 23	— 14 1 30 5	30 43 61 91	— 0 25 02 1	3 5 3	
14	— 0 47 43	15 21 28 03	— 14 0 9 6	31 42 66 05	— 0 22 13 1	4 0 3	
15	— 0 45 23	15 23 25 83	— 13 58 47 7	32 41 71 19	— 0 19 24 1	5 5 3	
16	— 0 43 03	15 25 23 63	— 13 57 26 8	33 40 76 33	— 0 16 35 1	6 10 3	
17	— 0 40 43	15 27 21 43	— 13 56 5 9	34 39 81 47	— 0 13 46 1	7 5 3	
18	— 0 38 23	15 29 19 23	— 13 54 46 0	35 38 86 61	— 0 10 57 1	8 10 3	
19	— 0 36 03	15 31 17 03	— 13 53 25 1	36 37 91 75	— 0 8 8 1	9 5 3	
20	— 0 33 43	15 33 14 83	— 13 52 4 2	37 36 96 89	— 0 5 19 1	10 10 3	
21	— 0 31 23	15 35 12 63	— 13 50 43 3	38 35 101 03	— 0 2 30 1	11 5 3	
22	— 0 29 03	15 37 10 43	— 13 49 22 4	39 34 106 17	— 0 0 41 1	12 10 3	
23	— 0 26 43	15 39 08 23	— 13 48 1 5	40 33 111 31	— 0 0 52 1	1 5 3	
24	— 0 24 23	15 41 06 03	— 13 46 40 6	41 32 116 45	— 0 0 3 1	2 10 3	
25	— 0 22 03	15 43 03 83	— 13 45 19 7	42 31 121 59	— 0 0 14 1	3 15 3	
26	— 0 19 43	15 45 01 63	— 13 43 58 8	43 30 127 13	— 0 0 25 1	4 20 3	
27	— 0 17 23	15 46 59 43	— 13 42 37 9	44 29 132 27	— 0 0 36 1	5 25 3	
28	— 0 15 03	15 48 57 23	— 13 41 16 0	45 28 137 41	— 0 0 47 1	6 30 3	
29	— 0 12 43	15 50 55 03	— 13 39 55 1	46 27 142 55	— 0 0 58 1	7 35 3	
30	— 0 10 23	15 52 52 83	— 13 38 34 2	47 26 148 09	— 0 1 9 1	8 40 3	

Phasenkonstellationen. 1905.

November 1	21 1/2	Mars in Konjunktion mit dem Monde.
„ 4	25	Venus in Konjunktion mit dem Monde.
„ 6	6	Venus in größter östlicher heliocentrischer Breite.
„ 8	6	Mars im Perihel.
„ 22	26	Jupiter in Opposition mit dem Monde.
„ 23	7	u. Mars in Konjunktion mit dem Monde. Bedeckung.
„ 26	1	Saturn in Opposition mit der Sonne.
„ 29	20	Merkur in größter östlicher heliocentrischer Breite.
„ 30	10	Jupiter in Opposition mit der Sonne.
„ 31	16	Venus in Konjunktion mit dem Monde.
„ 34	16	Merkur in größter östlicher Heliocent. 2 ^{te} alt.
„ 37	26	Merkur in Konjunktion mit dem Monde.
„ 39	23	Mars in Konjunktion mit dem Monde.

Planeten-Ephemeriden.

Merkur (Mercur) Montag					Merkur (Mercur) Montag				
Jahr	Tag	Rechnungen		Globe Meridian- distanz.	Jahr	Tag	Rechnungen		Globe Meridian- distanz.
		h m s	° ' "				h m s	° ' "	
1885					1886				
Merkur					Saturnus				
Nov. 3	16 17 40 55	—10 50 31 5	5 54	Nov. 5	23 58 19 87	—11 17 47 3	5 51		
7	15 48 58 17	10 48 38 5	5 44	10	22 58 53 27	11 19 47 3	5 47		
15	14 14 55 45	10 46 47 5	5 34	18	22 58 18 87	—11 18 55 4	5 43		
23	12 46 55 51	10 45 57 5	5 24	Uranus.					
31	11 17 55 55	10 45 58 5	5 14	May 8	18 7 2 31	—10 45 49 5	5 1		
37	10 48 55 55	—10 45 58 1	5 58	16	18 6 7 54	10 45 58 5	5 58		
Venus.					24	18 11 18 87	—10 45 58 5	5 53	
Nov. 3	22 55 49 46	—4 12 52 3	15 15	Mars.					
7	22 24 45 52	5 50 52 5	15 14	Nov. 3	18 35 32 87	—12 55 26 5	4 38		
15	22 48 11 58	5 52 57 5	15 15	7	18 35 17 85	12 55 26 5	4 38		
23	24 1 49 54	11 5 38 5	15 15	15	17 55 49 54	10 48 48	4 28		
31	24 28 40 76	10 47 55 5	15 15	23	18 32 41 33	10 47 55 5	4 21		
37	24 54 33 45	—10 18 49 5	15 15	31	18 35 47 43	—10 47 55 7	4 17		
Mars.					Jupiter.				
Nov. 3	18 35 32 87	—12 55 26 5	4 38	Nov. 5	4 7 48 84	+10 54 55 5	15 8		
7	18 35 17 85	12 55 26 5	4 38	10	4 5 58 15	10 48 55	15 25		
15	17 55 49 54	10 48 48	4 28	18	3 55 52 30	+10 26 55 5	11 25		
23	18 32 41 33	10 47 55 5	4 21	Neptune.					
31	18 35 47 43	—10 47 55 7	4 17	Nov. 3	14 14 17 5	—11 18 55 4	5 43		
Jupiter.					7	14 14 17 5	—11 18 55 4	5 43	
Nov. 5	4 7 48 84	+10 54 55 5	15 8	15	14 14 17 5	—11 18 55 4	5 43		
10	4 5 58 15	10 48 55	15 25	23	14 14 17 5	—11 18 55 4	5 43		
18	3 55 52 30	+10 26 55 5	11 25	31	14 14 17 5	—11 18 55 4	5 43		

Merkur (Mercur) Montag					Merkur (Mercur) Montag				
Jahr	Tag	Rechnungen		Globe Meridian- distanz.	Jahr	Tag	Rechnungen		Globe Meridian- distanz.
		h m s	° ' "				h m s	° ' "	
1885					1886				
Merkur					Saturnus				
Nov. 3	16 17 40 55	—10 50 31 5	5 54	Nov. 5	23 58 19 87	—11 17 47 3	5 51		
7	15 48 58 17	10 48 38 5	5 44	10	22 58 53 27	11 19 47 3	5 47		
15	14 14 55 45	10 46 47 5	5 34	18	22 58 18 87	—11 18 55 4	5 43		
23	12 46 55 51	10 45 57 5	5 24	Uranus.					
31	11 17 55 55	10 45 58 5	5 14	May 8	18 7 2 31	—10 45 49 5	5 1		
37	10 48 55 55	—10 45 58 1	5 58	16	18 6 7 54	10 45 58 5	5 58		
Venus.					24	18 11 18 87	—10 45 58 5	5 53	
Nov. 3	22 55 49 46	—4 12 52 3	15 15	Mars.					
7	22 24 45 52	5 50 52 5	15 14	Nov. 3	18 35 32 87	—12 55 26 5	4 38		
15	22 48 11 58	5 52 57 5	15 15	7	18 35 17 85	12 55 26 5	4 38		
23	24 1 49 54	11 5 38 5	15 15	15	17 55 49 54	10 48 48	4 28		
31	24 28 40 76	10 47 55 5	15 15	23	18 32 41 33	10 47 55 5	4 21		
37	24 54 33 45	—10 18 49 5	15 15	31	18 35 47 43	—10 47 55 7	4 17		
Mars.					Jupiter.				
Nov. 3	18 35 32 87	—12 55 26 5	4 38	Nov. 5	4 7 48 84	+10 54 55 5	15 8		
7	18 35 17 85	12 55 26 5	4 38	10	4 5 58 15	10 48 55	15 25		
15	17 55 49 54	10 48 48	4 28	18	3 55 52 30	+10 26 55 5	11 25		
23	18 32 41 33	10 47 55 5	4 21	Neptune.					
31	18 35 47 43	—10 47 55 7	4 17	Nov. 3	14 14 17 5	—11 18 55 4	5 43		
Jupiter.					7	14 14 17 5	—11 18 55 4	5 43	
Nov. 5	4 7 48 84	+10 54 55 5	15 8	15	14 14 17 5	—11 18 55 4	5 43		
10	4 5 58 15	10 48 55	15 25	23	14 14 17 5	—11 18 55 4	5 43		
18	3 55 52 30	+10 26 55 5	11 25	31	14 14 17 5	—11 18 55 4	5 43		

Ständebildungen durch den Mond für Berlin 1905.

Datum	Zeit	Ordnung	Polaris		Antares	
			h	m	h	m
Nov. 3	11 10	11	11	11	11	11
7	11 10	11	11	11	11	11
15	11 10	11	11	11	11	11

Lage und Größe des Saturnrings am 1. November 1905
nach den Beobachtungen

Nov. 1. Merkur-Schleife der Elipse	11° 21'	11° 21'
Schleife " " "	11° 21'	11° 21'
Hauptachse der Sonne	11°	11°
Polaris " " "	11°	11°

Stellungen der Jupitermonde im November 1868.

I.



III.



II.



IV.

Klein
denn



Verfinstert
Mond.

Stellungen am 17. u. 18. für den Anblick im astronomischen Fernrohr.

Tag	West.	Ost.
1		III I II I
2		III I II I
3		III I II I
4		III I II I
5		III I II I
6		III I II I
7		III I II I
8		III I II I
9		III I II I
10		III I II I
11		III I II I
12		III I II I
13		III I II I
14		III I II I
15		III I II I
16		III I II I
17		III I II I
18		III I II I
19		III I II I
20		III I II I
21		III I II I
22		III I II I
23		III I II I
24		III I II I
25		III I II I
26		III I II I
27		III I II I
28		III I II I
29		III I II I
30		III I II I
31		III I II I
1		III I II I
2		III I II I
3		III I II I
4		III I II I
5		III I II I
6		III I II I
7		III I II I
8		III I II I
9		III I II I
10		III I II I
11		III I II I
12		III I II I
13		III I II I
14		III I II I
15		III I II I
16		III I II I
17		III I II I
18		III I II I
19		III I II I
20		III I II I
21		III I II I
22		III I II I
23		III I II I
24		III I II I
25		III I II I
26		III I II I
27		III I II I
28		III I II I
29		III I II I
30		III I II I
31		III I II I

Ercheinungen der Jupitermonde. Die sämtlichen Angaben über die Erscheinungen der Jupitermonde beziehen sich auf mittlere Zeit von Greenwich. Die Tabellen sind der Reihenfolge ihres Abstandes vom Jupiter nach und nach in 15e geordnet. Die vier größten Figuren zeigen die Stellung jedes Mondes zur Sonne auf den Jupiter für den Augenblick der Verbindung ist, oder der Wiedervereinigung 20. In 1 nicht angegeben, so kann der Ausfall aus dem Schatten wohl beobachtet werden. Ferner befindet sich das Aufsteigende Zeitgenosse.

- Es D das Verhältnissen des Trabanten im Schatten des Jupiter.
Es R den Ausfall des Trabanten aus dem Schatten des Jupiter.
Oc D das Verhältnissen des Trabanten hinter der Jupitersehne.
Oc R das Wiedervereinigen teilweise unter der Jupitersehne.
Tr I den Eintritt des Trabanten vor der Jupitersehne.
Tr E den Ausfall des Trabanten aus der Jupitersehne.
Sh I den Eintritt des Trabanten hinter der Jupitersehne.
Sh E den Ausfall des Trabanten hinter der Jupitersehne.

Es sind nur diejenigen Erscheinungen der Jupitermonde aufgeführt, welche sich anzeigen, wenn Jupiter zu Ostwärt über und die Sonne unter dem Horizont steht. Um die Momente dieser Erscheinungen nach mittlereuropäischer Zeit zu finden, hat man nur nötig, 12 zu den angegebenen Zeitangaben zu addieren.

Nov. 1. I. Es. D. 12h 40m 30s. I. Oc. R. 12h 10m. Nov. 2. I. Sh. I. 12h 10m. I. Tr. I. 12h 10m. I. Sh. E. 12h 10m. I. Tr. E. 12h 10m. Nov. 3. I. Oc. R. 12h 10m. II. Sh. I. 12h 10m. II. Sh. E. 12h 10m. II. Tr. I. 12h 10m. II. Tr. E. 12h 10m. Nov. 4. I. Es. D. 12h 10m 30s. Nov. 5. II. Es. D. 12h 10m 30s. II. Oc. R. 12h 10m. I. Sh. I. 12h 10m. I. Tr. I. 12h 10m. I. Sh. E. 12h 10m. I. Tr. E. 12h 10m. Nov. 6. I. Es. D. 12h 10m 30s. I. Oc. R. 12h 10m. II. Sh. I. 12h 10m. II. Sh. E. 12h 10m. II. Tr. I. 12h 10m. II. Tr. E. 12h 10m. Nov. 7. I. Es. D. 12h 10m 30s. I. Oc. R. 12h 10m. II. Sh. I. 12h 10m. II. Sh. E. 12h 10m. II. Tr. I. 12h 10m. II. Tr. E. 12h 10m. Nov. 8. I. Es. D. 12h 10m 30s. I. Oc. R. 12h 10m. II. Sh. I. 12h 10m. II. Sh. E. 12h 10m. II. Tr. I. 12h 10m. II. Tr. E. 12h 10m. Nov. 9. I. Es. D. 12h 10m 30s. I. Oc. R. 12h 10m. II. Sh. I. 12h 10m. II. Sh. E. 12h 10m. II. Tr. I. 12h 10m. II. Tr. E. 12h 10m. Nov. 10. I. Es. D. 12h 10m 30s. I. Oc. R. 12h 10m. II. Sh. I. 12h 10m. II. Sh. E. 12h 10m. II. Tr. I. 12h 10m. II. Tr. E. 12h 10m. Nov. 11. I. Es. D. 12h 10m 30s. I. Oc. R. 12h 10m. II. Sh. I. 12h 10m. II. Sh. E. 12h 10m. II. Tr. I. 12h 10m. II. Tr. E. 12h 10m. Nov. 12. I. Es. D. 12h 10m 30s. I. Oc. R. 12h 10m. II. Sh. I. 12h 10m. II. Sh. E. 12h 10m. II. Tr. I. 12h 10m. II. Tr. E. 12h 10m. Nov. 13. I. Es. D. 12h 10m 30s. I. Oc. R. 12h 10m. II. Sh. I. 12h 10m. II. Sh. E. 12h 10m. II. Tr. I. 12h 10m. II. Tr. E. 12h 10m. Nov. 14. I. Es. D. 12h 10m 30s. I. Oc. R. 12h 10m. II. Sh. I. 12h 10m. II. Sh. E. 12h 10m. II. Tr. I. 12h 10m. II. Tr. E. 12h 10m. Nov. 15. I. Es. D. 12h 10m 30s. I. Oc. R. 12h 10m. II. Sh. I. 12h 10m. II. Sh. E. 12h 10m. II. Tr. I. 12h 10m. II. Tr. E. 12h 10m. Nov. 16. I. Es. D. 12h 10m 30s. I. Oc. R. 12h 10m. II. Sh. I. 12h 10m. II. Sh. E. 12h 10m. II. Tr. I. 12h 10m. II. Tr. E. 12h 10m. Nov. 17. I. Es. D. 12h 10m 30s. I. Oc. R. 12h 10m. II. Sh. I. 12h 10m. II. Sh. E. 12h 10m. II. Tr. I. 12h 10m. II. Tr. E. 12h 10m. Nov. 18. I. Es. D. 12h 10m 30s. I. Oc. R. 12h 10m. II. Sh. I. 12h 10m. II. Sh. E. 12h 10m. II. Tr. I. 12h 10m. II. Tr. E. 12h 10m. Nov. 19. I. Es. D. 12h 10m 30s. I. Oc. R. 12h 10m. II. Sh. I. 12h 10m. II. Sh. E. 12h 10m. II. Tr. I. 12h 10m. II. Tr. E. 12h 10m. Nov. 20. I. Es. D. 12h 10m 30s. I. Oc. R. 12h 10m. II. Sh. I. 12h 10m. II. Sh. E. 12h 10m. II. Tr. I. 12h 10m. II. Tr. E. 12h 10m. Nov. 21. I. Es. D. 12h 10m 30s. I. Oc. R. 12h 10m. II. Sh. I. 12h 10m. II. Sh. E. 12h 10m. II. Tr. I. 12h 10m. II. Tr. E. 12h 10m. Nov. 22. I. Es. D. 12h 10m 30s. I. Oc. R. 12h 10m. II. Sh. I. 12h 10m. II. Sh. E. 12h 10m. II. Tr. I. 12h 10m. II. Tr. E. 12h 10m. Nov. 23. I. Es. D. 12h 10m 30s. I. Oc. R. 12h 10m. II. Sh. I. 12h 10m. II. Sh. E. 12h 10m. II. Tr. I. 12h 10m. II. Tr. E. 12h 10m. Nov. 24. I. Es. D. 12h 10m 30s. I. Oc. R. 12h 10m. II. Sh. I. 12h 10m. II. Sh. E. 12h 10m. II. Tr. I. 12h 10m. II. Tr. E. 12h 10m. Nov. 25. I. Es. D. 12h 10m 30s. I. Oc. R. 12h 10m. II. Sh. I. 12h 10m. II. Sh. E. 12h 10m. II. Tr. I. 12h 10m. II. Tr. E. 12h 10m. Nov. 26. I. Es. D. 12h 10m 30s. I. Oc. R. 12h 10m. II. Sh. I. 12h 10m. II. Sh. E. 12h 10m. II. Tr. I. 12h 10m. II. Tr. E. 12h 10m. Nov. 27. I. Es. D. 12h 10m 30s. I. Oc. R. 12h 10m. II. Sh. I. 12h 10m. II. Sh. E. 12h 10m. II. Tr. I. 12h 10m. II. Tr. E. 12h 10m. Nov. 28. I. Es. D. 12h 10m 30s. I. Oc. R. 12h 10m. II. Sh. I. 12h 10m. II. Sh. E. 12h 10m. II. Tr. I. 12h 10m. II. Tr. E. 12h 10m. Nov. 29. I. Es. D. 12h 10m 30s. I. Oc. R. 12h 10m. II. Sh. I. 12h 10m. II. Sh. E. 12h 10m. II. Tr. I. 12h 10m. II. Tr. E. 12h 10m. Nov. 30. I. Es. D. 12h 10m 30s. I. Oc. R. 12h 10m. II. Sh. I. 12h 10m. II. Sh. E. 12h 10m. II. Tr. I. 12h 10m. II. Tr. E. 12h 10m.

Stellungen der Saturnmonde. (Zählung S 14)

Zeiten der heliotischen Conjunction im November 1905.

Tethys. Nov. 1. 17h 15', Nov. 2. 16h 15', Nov. 3. 15h 15', Nov. 4. 14h 15', Nov. 5. 13h 15', Nov. 6. 12h 15', Nov. 7. 11h 15', Nov. 8. 10h 15', Nov. 9. 9h 15', Nov. 10. 8h 15', Nov. 11. 7h 15', Nov. 12. 6h 15', Nov. 13. 5h 15', Nov. 14. 4h 15', Nov. 15. 3h 15', Nov. 16. 2h 15', Nov. 17. 1h 15', Nov. 18. 12h 15', Nov. 19. 11h 15', Nov. 20. 10h 15', Nov. 21. 9h 15', Nov. 22. 8h 15', Nov. 23. 7h 15', Nov. 24. 6h 15', Nov. 25. 5h 15', Nov. 26. 4h 15', Nov. 27. 3h 15', Nov. 28. 2h 15', Nov. 29. 1h 15', Nov. 30. 12h 15'.

Dione. Nov. 1. 17h 15', Nov. 2. 16h 15', Nov. 3. 15h 15', Nov. 4. 14h 15', Nov. 5. 13h 15', Nov. 6. 12h 15', Nov. 7. 11h 15', Nov. 8. 10h 15', Nov. 9. 9h 15', Nov. 10. 8h 15', Nov. 11. 7h 15', Nov. 12. 6h 15', Nov. 13. 5h 15', Nov. 14. 4h 15', Nov. 15. 3h 15', Nov. 16. 2h 15', Nov. 17. 1h 15', Nov. 18. 12h 15', Nov. 19. 11h 15', Nov. 20. 10h 15', Nov. 21. 9h 15', Nov. 22. 8h 15', Nov. 23. 7h 15', Nov. 24. 6h 15', Nov. 25. 5h 15', Nov. 26. 4h 15', Nov. 27. 3h 15', Nov. 28. 2h 15', Nov. 29. 1h 15', Nov. 30. 12h 15'.

Rhea. Nov. 1. 17h 15', Nov. 2. 16h 15', Nov. 3. 15h 15', Nov. 4. 14h 15', Nov. 5. 13h 15', Nov. 6. 12h 15', Nov. 7. 11h 15', Nov. 8. 10h 15', Nov. 9. 9h 15', Nov. 10. 8h 15', Nov. 11. 7h 15', Nov. 12. 6h 15', Nov. 13. 5h 15', Nov. 14. 4h 15', Nov. 15. 3h 15', Nov. 16. 2h 15', Nov. 17. 1h 15', Nov. 18. 12h 15', Nov. 19. 11h 15', Nov. 20. 10h 15', Nov. 21. 9h 15', Nov. 22. 8h 15', Nov. 23. 7h 15', Nov. 24. 6h 15', Nov. 25. 5h 15', Nov. 26. 4h 15', Nov. 27. 3h 15', Nov. 28. 2h 15', Nov. 29. 1h 15', Nov. 30. 12h 15'.

Titan. Nov. 1. 17h 15', Nov. 2. 16h 15', Nov. 3. 15h 15', Nov. 4. 14h 15', Nov. 5. 13h 15', Nov. 6. 12h 15', Nov. 7. 11h 15', Nov. 8. 10h 15', Nov. 9. 9h 15', Nov. 10. 8h 15', Nov. 11. 7h 15', Nov. 12. 6h 15', Nov. 13. 5h 15', Nov. 14. 4h 15', Nov. 15. 3h 15', Nov. 16. 2h 15', Nov. 17. 1h 15', Nov. 18. 12h 15', Nov. 19. 11h 15', Nov. 20. 10h 15', Nov. 21. 9h 15', Nov. 22. 8h 15', Nov. 23. 7h 15', Nov. 24. 6h 15', Nov. 25. 5h 15', Nov. 26. 4h 15', Nov. 27. 3h 15', Nov. 28. 2h 15', Nov. 29. 1h 15', Nov. 30. 12h 15'.

Hyperion. Nov. 1. 17h 15', Nov. 2. 16h 15', Nov. 3. 15h 15', Nov. 4. 14h 15', Nov. 5. 13h 15', Nov. 6. 12h 15', Nov. 7. 11h 15', Nov. 8. 10h 15', Nov. 9. 9h 15', Nov. 10. 8h 15', Nov. 11. 7h 15', Nov. 12. 6h 15', Nov. 13. 5h 15', Nov. 14. 4h 15', Nov. 15. 3h 15', Nov. 16. 2h 15', Nov. 17. 1h 15', Nov. 18. 12h 15', Nov. 19. 11h 15', Nov. 20. 10h 15', Nov. 21. 9h 15', Nov. 22. 8h 15', Nov. 23. 7h 15', Nov. 24. 6h 15', Nov. 25. 5h 15', Nov. 26. 4h 15', Nov. 27. 3h 15', Nov. 28. 2h 15', Nov. 29. 1h 15', Nov. 30. 12h 15'.

Phaeton. Nov. 1. 17h 15', Nov. 2. 16h 15', Nov. 3. 15h 15', Nov. 4. 14h 15', Nov. 5. 13h 15', Nov. 6. 12h 15', Nov. 7. 11h 15', Nov. 8. 10h 15', Nov. 9. 9h 15', Nov. 10. 8h 15', Nov. 11. 7h 15', Nov. 12. 6h 15', Nov. 13. 5h 15', Nov. 14. 4h 15', Nov. 15. 3h 15', Nov. 16. 2h 15', Nov. 17. 1h 15', Nov. 18. 12h 15', Nov. 19. 11h 15', Nov. 20. 10h 15', Nov. 21. 9h 15', Nov. 22. 8h 15', Nov. 23. 7h 15', Nov. 24. 6h 15', Nov. 25. 5h 15', Nov. 26. 4h 15', Nov. 27. 3h 15', Nov. 28. 2h 15', Nov. 29. 1h 15', Nov. 30. 12h 15'.

Angaben von 1. September 1905.



Fig. 1



Fig. 2

Самост

SIRIUS.

Zeitschrift für populäre Astronomie.

Centralorgan für alle Freunde und Förderer der Himmelskunde.

Herausgegeben

unter Mitwirkung hervorragender Fachmänner und renommierter Schriftsteller

von Prof. Dr. Hermann J. Klein in Köln

Oktober 1905.

„Wissen und Erkennen sind die Freunde mit der
Berechtigung der Menschheit.“ Komow.

Jedes Heft 1 Hbf. — Jährlich 12 Mk.

Verlag von EDUARD HEINRICH MAYER in Leipzig.

INHALT: Die Astrophysik. Von W. W. Campbell (Schluß) S. 213. — Prof. George Jacobus über den physikalischen Bauaufbau der Sonne S. 224. — Die Rotation des β und γ Jupitermondes S. 226. — Die Bewegung der Saturnmonde zweiter Ordnung S. 227. — Die Vorgänge des atmosphärischen Observatoriums in Potsdam im Jahre 1904. S. 231. — Beschreibung der Perseiden 1905 S. 236. — Was ist die Sonne als Stern anzusehen. Von W. Hildebrandt S. 238. — Vermutete Nachrichten. (Sonnen Total 20) S. 238. — Astronomischer Kalender S. 237. — Störungen der Jupitermonde S. 239. — Beobachtungen der Jupitermonde S. 240. — Störungen der Saturnmonde S. 242.

Die Astrophysik.

Rede auf dem internationalen Kongress für Kunst und Wissenschaft in S. Louis.

Von Prof. W. W. Campbell, Direktor der Lickobservatorien

(Schluß)

Der Typus III umfaßt einige hundert veränderliche Sterne mit langer Periode des Lichtwechsels wie z. B. Mira im Wallfisch, dessen Spektrum um die Zeit der größten Helligkeit mehrere helle Linien des Wasserstoffes und anderer Elemente zeigt. Die heißen Gase und Dämpfe scheinen auf diesen Sternen bald angesprochen, bald den zu sein. Heutzutage wissen wir, daß die rötlichen (veränderlichen) Sterne sämtlich lichtschwach, keiner von ihnen übersteigt die Größenklasse 5.5, wobei wir annehmen dürfen, daß ihre Lichtabstrahlung tatsächlich nicht groß ist und sie nicht blind wegen ihrer großen Entfernungen von uns, lichtschwach scheinen. In der

letzten Entwicklungsperiode, welche auf Abklinge der roten Sterne des IV. Typus folgt, befindet sich gewöhnlich der Planet Jupiter und dann unsere Erde, die nur in geringem Maße Licht empfangt. Sobald die Eigenstrahlung eines Himmelskörpers sich nach außen hin nicht mehr sehr zeigt, kann man weiterhin nur noch eine langsame abklingende Wirkung der Strahlung und der atmosphärischen Kräfte erwarten. Allerdings vermag die kontinuierliche Zusammenstrahlung von Wärme zu sehr Wärme zu erzeugen, um aus einem erdähnlichen, kühlen Körper wiederum einen glühenden Nebel zu bilden, der den langen Weg der geschweiften Entwicklung von

sonst durchsichtige wird, aber diese schiere Theorie hat in den Beobachtungen bis jetzt noch keinen Beleg gefunden. Es ist fast gewiß, daß die sogenannten neuen Sterne (Novae) der letzten Jahre in Folge von Kollisionen unterschieden entweder zwischen zwei dunklen Körpern oder zwischen einem dunklen Körper und einem unsichtbaren Nebelfleck. Die Photometrie der Erscheinung spricht für die erste Annahme, aber die zweite ist aus verschiedenen Gründen wahrscheinlicher. Die Nebeloptika der neuen Sterne erscheinen rasch, aber in allen untersuchten Fällen bleibend; die hellen Nebeln erscheinen auch rasch ab und auch Verlust von nur paar Jahren ist bloß ein kosmischeres Spektrum übrig geblieben, wahrscheinlich dasjenige eines gewöhnlichen Sternes. So es nun, daß die verdammten Massen äußerst klein waren, oder daß die Wirkung nur die Oberfläche des Sternes in Mitleidenschaft zog, jedenfalls können diese Novae nicht als Belege der vollständigen Umwandlung eines dunklen Körpers in einen Nebelfleck gelten.

Ich habe oben hervorgehoben, daß die mittlere Temperatur eines Sternes die Maximum erreicht, so bald dieser in das Sonnenstadium tritt, auf der Grenze zwischen dem gasförmigen und dem glühendflüssigen Zustande seiner Materie. Dies beschränkt sich aber wohl vorhanden nur auf sehr kleine Sterne im ganzen. Die Temperatur seiner Oberfläche variiert in ganz anderer Weise. Die Sterne mit heißen Lagen und mit denen des Heliums, scheinen an der Oberfläche heißer zu sein als die Sterne vom Sonnentypus und die roten Sterne. Die von uns beobachteten Spektren verzeichnen nur von Phänomenen der oberflächlichen Teile, welche die Temperatur der strahlenden und der absorbierenden Schichten anzeigt. Die Maximumtemperatur der kontinuierlichen Strahlungen ist größer an den weißen Sternen als an den gelben und roten, entsprechend einer höheren Tem-

peratur der inneren. Die Temperatur an der Oberfläche hängt aber ab von der Geschwindigkeit mit welcher Konvektionsbewegungen die Wärme aus dem Innern an die Oberfläche befördern. Die relativ geringere Wärme im Innern der weißen Sterne, die durch rasche gasförmige Strömungen an die Oberfläche befördert wird, kann leichter die hohe Temperatur der dazwischen liegenden Atmosphäre erhalten, als welches durch die wärmere Innere bei Sternen des Sonnentyps möglich ist, wo die Zirkulation sich infolge des wärmeren Zustandes der Materie langsamer vollzieht.

Se William und Lady Huggins stiegen zu der Ansicht, daß Masse und Dichte eine wichtigeren Rolle in der Entwicklung der Sterne spielen als die Temperatur, weil unter dem Einflusse großer Anziehung (Schwerkraft) die Erregung und Steigung der Wärme beschleunigt und das Leben eines Sternes rascher durchlaufen werde. Sie wurden auf diese Ansicht geführt durch die Doppelsterne in denen der Hauptstern, dem man die größere Masse zuschreiben muß, meist gelblicher ist als sein Begleiter. Diese Frage ist jedoch sehr schwierig, denn die Massen- und Druckverhältnisse mit denen wir nur in unserem Laboratorium arbeiten können, sind leider zu gering um endgültige Lösung zu verfügen.

Im Anfang des 19. Jahrhunderts begann man nur 12 veränderliche Sterne, während der 1888 erschienene Katalog von Chandler deren 228 enthält. Wie groß die Fortschritte der Astronomie in den letzten 15 Jahren gewesen sind, mag man daraus ersehen, daß während dieser kurzen Zeit, die Anzahl der bekannten veränderlichen Sterne auf über 1400 gestiegen ist. Der Harvardkatalog wurde in Cambridge bei New York gehalten die Erde ungefähr 600 dieser Sterne enthalten helfen Unter mehreren Gesichtspunkten erweisen die veränderlichen Sterne als die interessantesten Fixsterne. Als die Millionen von gewöhnlichen Fixsternen und die vielen

Tausende von Nebeln, aus denen nicht durch Kondensation Sterne entstehen, unterlagen ununterbrochenen Veränderungen, aber diese vollziehen sich auf ständiger Lageweise und nach unserer unmittelbaren Wahrnehmung erzeugen Dagegen wechselte die veränderlichen Sterne ihre Helligkeit vor unsern Augen und wechselten ununterbrochen ihre Plattenformen. Dadurch gewöhnten uns die Möglichkeit von Beobachtungen, die es wert für sich ist interessant und für das Studium der Sternentwicklung wichtig sind.

Die Behauptung ist nicht übertrieben, daß von 30 veränderlichen Sternen wir bei 19 nur eine vage Idee der wahren Ursache ihres Lichtwechsels haben. Beim Algol und einigen anderen Veränderlichen dieser Klasse kennen wir dagegen die Veranlassung ihrer Lichtschwankungen in ausgedehnter Begleiter, welche in unermesslicher und bei jedem Umlauf zwischen dem Stern und der Erde treten und um auf diese Weise einen Teil des leuchtenden Sterns verdecken. Bei dem Veränderlichen ϵ Comae und 3 oder 4 anderen seiner Klasse hat das Spektroskop nachgewiesen, daß große dunkle Begleiter sehr nahe bei dem Hauptstern sitzen, dessen rasch wechselnde und Störungen in dessen Atmosphäre erzeugen die uns als Lichtschwankungen erscheinen. Die genaue Art und Weise dieser Störungen ist aber nur noch Gegenstand von Hypothesen. Beim Veränderlichen η Cassiopeiae und anderen ähnlicher Art spielt wieder das Vorhandensein von Begleitern an und hier müssen wir bezüglich des Lichtwechsels an Ursachen denken, die im Innern des Veränderlichen anzunehmen sind. Vielleicht sind wir dem Studium, in welchem sich eine neuverwirklichte neue Kräfte an der äußeren Oberfläche zu bilden beginnt, die dann zunächst nur vorübergehenden Bestand hat und im Laufe von einigen Monaten bald hier bald dort eingedrungen wird und die glühendflamme Masse zu Tage tritt

läßt. Wahrscheinlich gibt es auch Sterne die an ihrer Oberfläche mit Flecken besetzt sind wie unsern Sonne, aber mit solchen von größerer Ausdehnung und kürzerer Dauer. Möglicherweise können sich diese Erklärungen aber auch sehr weit von der Wahrheit entfernen.

Während des letzten halben Jahrhunderts haben sich viele Astronomen sehr häufig mit Helligkeitsbeobachtungen der veränderlichen Sterne beschäftigt. Eine der bedeutendsten oder kleineren Observatorien verwendet einen großen Teil ihrer Tätigkeit auf solche Arbeiten, auch haben sich Astronomen bemüht, um systematisch das photometrische Studium der veränderlichen Sterne zu betreiben und andere für diese photometrische Apparate sind nicht teuer, die Beobachtungsmethoden sind einfach, und noch haben sich die Beobachtungsmethoden vervollständigt. Dagegen sind Beobachtungen der Veränderlichen mit Hilfe von Spalt-Spektrographen mangelhaft selten und fragmentarisch, nicht ein Observatorium, nicht ein Teleskop, nicht ein Beobachter ist auf diese Weise ununterbrochen oder auch nur häufig tätig. Doch aber ist diese Untersuchungsmethode sehr wesentlich, denn schon die bisherigen normalen Beobachtungen dieser Art haben zu bemerkenswerten Ergebnissen geführt. Der Gegenstand selbst allerdings große Schwierigkeiten, der Messungen und Aufzeichnungen der photographischen Systeme erfordert sehr Zeit und ebenso muß der Beobachter über gewisse große Instrumente verfügen. Auf dem Harvardobservatorium und unter Anwendung eines Spektrographen mit Objektivprisma zahlreiche Vorlesungen eingebracht worden, was darf die Hoffnung ausprechen, daß auch mit Spalt-Spektrographen die in nachstehenden Abschnitten angedeutet werden, bald systematische Untersuchungen dieser Art angestellt werden und auch auf diese Weise eine der wichtigsten Gebiete astronomischer Forschung angereichert wird.

Ein Jahrhundert während dessen Beobachtungen der Sterne im Meridiankreis ungestört werden sind, hat neben andern wichtigen Ermittlungen, zur Kenntnis der Eigenbewegungen von mehreren tausend Fixsternen geführt. Mehrere ausgezeichnete Astronomen haben sich zur Grund dieser Ermittlungen bemüht, die wahrscheinlichsten Werte für die Richtung und Geschwindigkeit der Sonnenbewegung durch den Raum zu berechnen und die wahre Verteilung der Sterne im Weltraum zu ergründen. Und nur müssen aber bei Untersuchungen dieser Art gewisse hypothetische Annahmen über die Entfernungen der Sterne zugrunde gelegt werden. Einige Jahre nachher ist das Spektroskop zum Studium der Himmelskörper benutzt worden, erkannt Huggins, daß das sogenannte Doppelsicht Prinzip wesentliches Element, Anwendung finden könnte denjenigen Teil der Eigenbewegungen der Fixsterne direkt zu ermitteln, welcher in der Gesichtsebene zur Erde fällt und den man als Radialgeschwindigkeit bezeichnet. Er erkannte auch, daß die Anwendung dieser Methode dazu führen werde Richtung und Geschwindigkeit der Sonnenbewegung zu ermitteln, ohne daß man die Entfernungen der Sterne zu kennen brauche. Die Anwendung dieser Methode führte jedoch während eines Zeitraumes von 20 Jahren nur zu Mißerfolgen, so daß man bereits überhaupt an der Möglichkeit eines Erfolges zu zweifeln begann. Erste Erfolge wurden dann aber von Huggins und E. Pickering erlangt, welche zeigten, daß mit Hilfe der Photographie sehr feine Spektrallinien zur Darstellung kommen, die das Auge direkt am Spektroskop nicht zu sehen im Stande ist.

Im Jahre 1858 wurde Vogel diese Methode an und erzielte in Bezug auf die Radialbewegungen der Sterne Erfolge, welche der Ausgangspunkt neuer neuen Forschungen wurden. Seine Arbeiten wurden zuerst mit einem kleinen Teleskop und einem aussergewöhnlichen Spektro-

graphen angestellt und konnten deshalb nicht so genau sein wie die hauptsächlichsten Probleme, um die es sich hier handelt zu lösen, aber als wertvoller Ausgangspunkt zahlreicher wichtiger Entdeckungen die zu Problemen gemacht wurden und zeigten den Weg zu neuen Fortschritten. Erst 1866 gestattete die Anwendung eines vollständigen Teleskops in Verbindung mit einem vortrefflichen Spektrographen Resultate von ausserordentlicher Schärfe zu erhalten, so die Genauigkeit derselben übertrifft alles was man vorher in dieser Beziehung zu hoffen wagte.

Es kann nicht überraschen, daß ein Zeitraum von 30 Jahren erforderlich war um auf diesem Gebiete zu beachtlichen Ergebnissen zu gelangen. Die Arbeit ist in der That so schwierig, daß wenn man nicht in jedem Augenblicke die größten Vorsichtsmassregeln handhabt, die Fehler der Bestimmungen leicht größer werden als die zu suchenden Größen selbst. Bei dem Mikrospektroskop z. B. erzeugt eine Radialgeschwindigkeit von 2 km in der Sekunde nur eine Verschiebung der Spektrallinien von 0.01 mm. Der wahnsinnigste Fehler bei Ermittlung der Radialbewegung der hellstehenden Sterne, z. B. des Polarsterns, erreicht 0.25 des pro Sekunde und diesem entspricht eine Verschiebung der Spektrallinien um nur 0.003 mm. Da es sich um einen neuen Forschungsgegenstand handelt, das Untersuchungsfeld groß ist und die Folgen der großen Teilscheit last alle auf diese Untersuchungen gerichtet sind, so stelle ich hier zusammen was am meisten dazu beigetragen hat die neuesten Fortschritte herbeizuführen:

1. Die Idee, daß der Spektrograph ein vollständiges Instrument für sich ist, da das Teleskop, an welchem es befestigt wird lediglich dazu dient das Sternlicht zu sammeln und in geeigneter Weise auf den Spalt des Spektroskops zu bringen.

2. Die Entwicklung einer Radial-

gebendes Linien in den Sternspektren zu beobachten, gleichzeitig welches ihre Lage in der Linie im Vergleichspektrum ist.

3. Die Anwendung eines kleinen Collimators, welcher die Anwendung eines größeren Spaltens gestattet und größere Prismen erfordert, so daß eine bessere Auflösung der Linien möglich ist.

4. Anwendung starker Prismen aus gedrehtem Glase und mit sorgfältig hergerichteten optischen Flächen.

5. Nachweis, daß das Sternlicht und das Licht der Vergleichsquelle die nämlichen Teile der Collimatorlinsen durchschneiden.

6. Anwendung einer kompakten und unveränderlichen Montierung für den Spektrographen.

7. Ausschaltung der Wirkungen der Durchbiegung durch geeignete Befestigung des Spektrographen am Teleskop.

8. Herstellung und Erhaltung einer unveränderlichen Temperatur rings um das Instrument.

9. Einführung gewisser Vorsichtsmaßregeln zur Vermeidung von Fehlerquellen beim Ausmessen der Spektrogramme.

Im Jahr Dezember 1900, also im zum letzten Monat im 19. Jahrhundert hatte man die Radialgeschwindigkeit von 325 Sternen zu etwa 1%, der nördlichen Hemisphäre mittels des Spektrographen bestimmt. Zudem war bloß ein ab-mäßig Sterne, in deren Spektren die Linien nicht genau gemessen werden konnten, lieber aber Heliographische Doppelsterne für welche die Geschwindigkeit des Schwerpunktes noch unbekannt ist, so bloßes 280 Sterne übrig, deren gemessene Radialbewegungen zu einer Berechnung der Eigenbewegung des Sonnensystems benutzt werden konnten. Würden die Ergebnisse symmetrisch verteilt, so fand sich für die Bahnsumme des Punktes, gegen welchen die Bewegung des Sonnensystems gerichtet ist (des Sonnenpuls) der Wert der aus dem Bruchteil einer Minute von dem durch

Newcomb (auf anderen Wägen) bestimmten abweicht. Im Bezug auf Deklination waren die zur Berechnung benutzten Sterne weniger symmetrisch verteilt, es standen wenige zwischen -15° und -30° Deklination und keine nördlicher von -30° Deklination zur Verfügung. Die gefundenen Deklination für den Apex der Sonnenbewegung lag 15° nördlich von der durch Newcomb bestimmten. Für die Geschwindigkeit der Sonnenbewegung durch den Raum ergab sich der Wert von 20 bis pro Sekunde und dieser kommt ziemlich der Wahrheit sehr nahe. Hierin sind zwei Punkte besonders zu beachten. Die herangezogene Bewegung des Sonnensystems ist durchaus trivial, denn sie bezieht sich auf die ganze Gruppe von Sternen, welche wir bei Lösung des Problems benutzten. Wir können leicht 20 oder 30 Sterne auswählen, deren Bewegungen so sind, daß sie für die Richtung der Sonnenbewegung ein ungegründetes Resultat ergeben als man erhält, wenn man die ganze Sternsystem in Betracht zieht. Um zu einer befriedigenden Lösung zu gelangen ist es daher erforderlich, bei der Untersuchung eine so große Zahl von Sternen zu verwenden, daß man diese als Repräsentanten des ganzen Systems verwenden kann. Der zweite Punkt ist folgender. Um die großen astronomischen Probleme zu lösen, müssen die Beobachtungsresultate auf die man sich stützt, aus allen Teilen der Hemisphäre geübt stammen. Nach vier Jahren erstreckten sich die Bestimmungen der Radialgeschwindigkeiten der Sterne aber nur auf etwa 1%, der nördlichen Hemisphäre, es waren daher noch Bestimmungen aus dem südlichen Teil notwendig, wenn man nicht Gefahr laufen wollte, daß das Resultat durch unbekannte systematische Fehler verfaßelt werde. Daß der ausgezeichneten Fähigkeit der Sternwarten am Cap und der Genossenschaft von D. G. Mills wird diesem Mangel jetzt abgeholfen. Der Heliograph hat

auf der südlichen Erdhälfte etwa 3000 Spektrogramme für ungefähr 500 Sterne geliefert und demgegen auf der nördlichen Hemisphäre 400 für 125 Sterne. Die Anzahl der Sterne, welche mit dem Heliographen nicht untersucht worden sind, wohl aber mit anderen Spektrographen von großer Leistungsfähigkeit, mag 100 bis 200 betragen. Wir haben daher allen Grund zu hoffen, daß in 2 oder 3 Jahren für 800 Sterne genaue Bestimmungen der Radialgeschwindigkeiten vorliegen und zur Lösung der wichtigsten Probleme des Sternsystems verwendet werden können.

Man hat bereits die Frage aufgeworfen ob das Sonnensystem sich durch den Raum in einer geschlossenen Bahn bewegt und darauf wieder an den Punkt seiner Bahn gelangen werde, den es zur Zeit einnimmt. Der menschliche Geist magt diese Frage zu bejahen. Die Annahme welche jeder einzelne Stern auf unsere Sonne ausübt ist sicherlich äußerst gering, wegen der ungeheuren Entfernungen der Fixsterne, die Anziehung aller Sterne zusammengekommen kann aber auch nicht viel stärker sein, weil sich die Wirkungen gegenseitig fast aufheben müssen, da der Ort der Sonne sehr im Zentrum unseres Fixsternsystems ist. Selbst wenn die Sonne gegenwärtig fast ganz horizontale Bahn unter den Sternen durchläuft, so ist es, meiner Meinung nach, kaum zweifelhaft, daß sie früher oder später diese verläßt und, sobald sie in den Bereich eines Sternes gelangt, dessen Anziehung auf sie stärker ist als die kompensierende Anziehung aller übrigen. Solches wird dann die Voraussetzung sein, daß die Sonne ihre alte Bahn verläßt und eine neue einschlägt. Auch in dieser wird sie nicht bleiben, sondern sich ihr wiederum abzuwenden, sobald sie in das oberwähnte Anziehungsfeld einer andern großen Sonne gerät. Die Bahn der Sonne durch den Weltraum würde also eine Reihe von Kurven bilden, die zu einander keine Beziehung haben.

Die bei Gelegenheit der spektroskopischen Aufnahmen erzielten sogenannten spektroskopischen Doppelsterne haben ein hohes Interesse dar, da sie gelehrt sind Licht zu verbreiten über die Organisation von Sternensystemen die von dem unseren verschieden sind. In diesen spektroskopischen Doppelsystemen ist es nicht möglich selbst unter Anwendung der mächtigsten Teleskope den Begleiter zu sehen. Wahrscheinlich stehen diese Begleiter so nahe bei dem Hauptstern, daß bei der großen Entfernung, die sie von uns scheiden, beide Sternchen nicht getrennt werden können. In den meisten Fällen wird der Abstand weniger als 100" sein. Nur bei einem kleinen Teile dieser Systeme ist es möglich die Spektren beider Sterne aufzunehmen, man muß aber nicht voraus setzen, daß der Begleiter dunkel ist, sondern nur das er um mindestens 1 oder 2 photographischer Größenklassen schwächer ist als der Hauptstern. Ein Begleiter 4 Größen und kann seinen Einfluß auf das Spektrum eines Sternes 2 Größen herabdrücken machen. Die ausserordentlich spektroskopischer Doppelsterne würden wahrscheinlich geliebte Sterne sein, wenn sie nicht am Himmel ständen.

Man hat bei jenen spektroskopischen Doppelsternen von relativ kurzer Umlaufzeit um den Schwerpunkt der beiden Komponenten entdeckt, und festgestellt, welche die Veränderungen der radialen Geschwindigkeit beträchtlich sind. Die kürzeste beobachtete Veränderung folgt der Periode und sie beträgt 6 km in der Sekunde. Würde sie nur 1 km in der Sekunde betragen, so müßte in unserer Wahrnehmung zweifellos entgehen. Es ist wahrscheinlich, daß es viele Doppelsterne gibt, bei welchen die Veränderung der Radialbewegung geringer als 6 km pro Sekunde ist, als solche bei denen sie größer ist, und alle jene hatten also noch der Entdeckung. Die Veränderung der Geschwindigkeit unserer Sonne im Raume ist unmerklich

genug, da die im umflossenden Plasma zur sehr klein sind im Vergleich mit dem umschlossenen Bechlein in den spektroskopischen Doppelsystemen. Die Sonne bewegt sich folgedessen um den gemeinsamen Schwerpunkt des Systems in einer sehr kleinen Bahn mit einer Geschwindigkeit von höchstens 0.03 km pro Sekunde. Würde die Beobachter im Weltraum mit Instrumenten welche die Eigenbewegung der Sterne mit genügender Genauigkeit messen, unsere Sonne beobachten, so würde er diese kleine Veränderung ihrer Eigenbewegung bemerken und daraus schließen, daß unsere Sonne vom Begleiter umkreist wird. Der irdischen Beobachter besitzen keine Instrumente, welche so kleine Bewegungen messen könnten, vornehmlich, aber da die Genauigkeit mit der Erkennung wächst, so wird die Anzahl der uns bekannt werdenden spektroskopischen Doppelsysteme mit der Zeit sehr erheblich zunehmen. In der Tat kann man jetzt schon sagen, daß der Fall eines Sternes ohne dunklen Begleiter ein ausnahmewertig zu sein scheint. Es ist auch möglich, das Paarstern mit mehreren Begleitern miteinander sind als diejenigen mit kleinen Planeten und unser Sonnensystem bildet vielleicht einen anderen Typus oberhalb des allgemeinen oder Durchschnittstypus unter den Planeten.

Die Untersuchungen über die Eigenbewegungen der Sterne in der Richtung der Geschwindigkeit zur Erde gestatten noch die Lösung anderer wichtiger Probleme. Wir werden uns lediglich nur mit einem davon hier beschäftigen, nämlich mit der Bestimmung der Entfernungen der Fixsterne, einer sehr wichtigen Frage. Diese Ermittlungen sind sehr schwierig und wir können bis jetzt nur für zwei ein Dutzend Sterne deren Entfernung mit absoluter Genauigkeit und für noch ein Dutzend annähernd. Die Bestimmungen der radialen Geschwindigkeiten der Fixsterne werden aber in Verbindung mit Beobachtungen ihrer schließlichen Eigenbewegun-

gen gestatten die mittleren Entfernungen ganzer Klassen von Sternen zu berechnen. Betrachten wir beispielsweise die Sterne 5 Größe von denen über 1000 existieren. Sie bewegen sich im Mittel nach allen Richtungen hin, aber es muß eine bestimmte Beziehung zwischen ihrer mittleren schließlichen Eigenbewegungen und ihrer Radialgeschwindigkeit bestehen. Wenn die Sternbeobachtungen zeigen, daß die mittlere schiefe Eigenbewegung dieser Sterne 5 Größe an der Himmelskugel etwa 0.02 beträgt und die spektroskopischen Beobachtungen sichern, daß die mittlere Geschwindigkeit ihrer Radialbewegung in der Geschwindigkeit 35 km pro Sekunde beträgt, so ist es nicht schwer zu verstehen, daß die mittlere Entfernung dieser Sterne von uns nur ganz bestimmt sein muß, welche die angegebenen Zahlengrößen bedingt. Für mit 250 Sternbewegungen begründete Untersuchungen dieser Art hat in der Tat zu interessanten Ergebnissen geführt. Aus den spektroskopischen Untersuchungen von 47 Sternen bis zur 5 Größeklasse konnte ergab sich deren durchschnittliche Radialgeschwindigkeit zu 26 km pro Sekunde, 116 Sterne 3 bis 4 Größe ergaben dafür 32 km, 121 Sterne unter 4 Größe 39 km. Die Zunahme der Geschwindigkeit mit zunehmender Helligkeit der Sterne wird aus diesen Zahlen ausgezeichnet und wir haben, indem Erklären, den Rest daraus zu schließen, daß die Sterne von geringerer Helligkeit unter den untersuchten sich viel rascher bewegen als die hellere. Es verbleibt nun, durch Untersuchungen einer viel größeren Zahl von Sternen diese Ergebnisse zu bestätigen oder zu widerlegen.

Schließlich noch ein Wort über die Verbindung einer Anzahl Beobachter der Radialbewegungen der Sterne zum Zwecke unabhngiger Doppelarbeiten zu vermeiden und die Zahl der untersuchten Sterne zu vergrößern. Gegenwrtig besteht zwischen 7 Hauptkennwerten der schiefe Erhlle und einer auf der

stüßlichen das bestmögliche Vorführen, die unendlichste auf längere Zeit andauern wird. Das zweite Observatorium auf der stüßlichen Hemisphäre, das sich ausschließlich mit Beobachtungen dieser Gattung beschäftigen wird, dürfte wahrscheinlich nur vorübergehend tätig sein. Obgleich es deutlich, daß mehrere der bestehenden Sternwarten, auch das bisherige Rosetten zu schließen, auch noch im Stadium des Vorrückens auf diesem Gebiete befinden, anderseits bemühen sich sonstige Beobachter insofern um Verbesserung der Methoden, welche Erreichung großer Genauigkeiten, Solange überhaupt die Genauigkeit der Instrumente und Beobachtungsmethoden sich noch in rapidster Fortschritt befindet, wie eine so gute und selbstbestimmte Kooperation, nicht verweigert. Die Beobachtungsanforderungen sind jedoch von Hauptknoten durch unabhängige Untersuchungen an mehreren Observatorien ist ebenso wissenschaftlich als Unbedenklichkeit der Stern durch Meridianbeobachtungen selbst in-

denen die Beobachtungsmethoden derjenigen selbstständig geworden haben, wird es an der Zeit sein, die Hemisphäre unter der Observatorien, welche sich mit diesen Beobachtungen betonen, zu verziehen nach einem wohl eingetragenen Plan und mit Berücksichtigung der periodischen Initiative der Beobachter. Es handelt sich hierbei um ein großes und wichtiges Unternehmen, vergleichbar denjenigen der Zonenbeobachtungen, welche unter Ägide der Astronomischen Gesellschaft im Leben sind.

Die Probleme, die sich dem Astrophysiker des 20. Jahrhunderts darstellen, sind vielfältig und die Arbeiten die seiner hienzu sind groß und schwierig. An Mängeln und Mischen wird es aber nicht fehlen. Wie in der Vergangenheit und Gegenwart großes auf diesem Gebiete geleistet worden, so dürfen wir gleichermaßen für die Zukunft hoffen, denn das Streben des Universums kommt zu lernen ist ein unveränderlicher und charakteristischer Zug des menschlichen Geistes.

Prof. Youngs Ansichten über die physische Beschaffenheit der Sonne.

Eine aller Forschungen beruht über die physische Beschaffenheit des Sonnenlichtes, sobald es sich um die wissenschaftliche Deutung der speziellen Erscheinungen handelt, nach große Vorurteilbarkeit der Ansichten. Der Direktor des astrophysikalischen Observatoriums zu Potsdam, Prof. H. C. Vogel, hat nun gelegentlich der Herausgabe einer neuen Auflage von Newcomb-Pagelmans Populäre Astronomie, die durch seine vielfältigen spektroskopischen Sonnenbeobachtungen bekannten Direktor der Princeton Sternwarte Prof. Young an Darlegung seiner heutigen Ansichten über die physische Beschaffenheit der Sonne ersetzt. Dieser Aufforderung ist Prof. Young nachgekommen, und da es sich um eine der

wichtigsten astronomischen Fragen handelt, so mag die Anschauung des bestmöglichen Forschers, wie er sie in dem überaus reichen Werke hand gibt, ihrem wesentlichen Inhalt nach hier mitgeteilt werden.

Prof. Vogel sagt selbst, daß die Anschauungen von Young als die beste Zusammenfassung dessen gelten dürfen, was derzeit als gesichertes Ergebnis der Forschungen über die physische Beschaffenheit der Sonne angesehen werden darf. (Prof. Young sagt:)

„1. Es scheint mir bei der geringen mittleren Dichtigkeit der Sonne und der

¹⁾ Newcomb-Pagelmans Populäre Astronomie, 3. Aufl., herausgegeben von Dr. H. C. Vogel, Leipzig 1906, Verlag von Birk. Engelman.

ernsten Kerk der Sonnenstrahlen betrachten, daß in dem inneren Theile des Sonnenkörpers, mit allmähiger Annäherung einer vollständig dicken Oboflächenicht, alle Substanzen infolge der dort herrschenden hohen Temperatur, welche weit über den höchsten Punkt aller bisher bekannten Dämpfe liegt, in gasförmigen Zustande sind. Ob aber alle chemischen Elemente sich vollständigweise in dem Zustand der Dissociation befinden, was man früher annahm, ist jetzt nicht leicht zu entscheiden, da man Verbindungen aufgefunden hat, z. B. gewisse Kohlenstoffverbindungen, welche sich selbst bei der höchsten Temperatur des elektrischen Lichts ungeschmolzen bleiben.

Bei dem enormen Druck sind die neuen Gase erheblich dichter als Wasser und wahrscheinlich so abkühlend, daß der Kern sich vorwiegend aus einem gewissen Grade aus der halbfeste Kugel von hochdichter Konsistenz verhält, wodurch es möglich wird, daß besondere Bedingungen für einige Zeit in bestimmten Punkten (Schlieren) wurden. Diese Annahme wird nahegelegt durch die an Sonnenflecken und andere Störungen beobachtete Tendenz, sich an denselben Stellen der Oberfläche zu wiederholen.

3. und 3. Ich halte es immer noch für wahrscheinlich, daß die Photosphäre oder leuchtende Oberfläche der Sonne aus einer Hülle von Wolken besteht, welche sich durch die Kondensation und Vertheilung derjenigen Sonnenstrahlen gebildet hat, die durch die Ausstrahlung in den Raum herumstrahlend abgelenkt sind. Diese Hülle, welche in ihrer stehenden Leuchtkraft wie ein Ausbrecher Glühbirnen wirkt, gibt den kontinuierlichen Untergrund des Sonnenpektrums. Die photosphärischen Wellen schwingen natürlich in der sie umgebenden Gase und nicht kondensierten Dämpfen, gerade wie die Wellen in unserer eigenen Atmosphäre.

Wenn diese Wellenschicht wirklich
Sonn. 188. Heft 10.

existiert, so muß von ihrer unteren Fläche entsprechendweise ein fortwährendes Hindrängen in den Oboern darunter stattfinden, denn dann wieder die Emporsteigen von Dämpfen aus dem Innern entspricht eine vollständige Zirkulation von großer Kraft und Helligkeit, die unter anderem noch auszusprechen dem Druck auf den Kern ausüben muß, nicht ungleich dem der flüssigen Masse einer Glase auf die eingeschlossene Luft, jedoch mit dem Unterschiede, daß die Wellenfläche der Photosphäre nicht eine zusammenhängende Schicht bildet, sondern vielmehr porös ist, voller Oboen, durch die die aufsteigenden Dämpfe und Gase in die darüber befindlichen Regionen emporsteigen.

Was die Dicke der Photosphäre anbelangt, so ist nur geringfügig vom Mittel bekannt, es mit Sicherheit zu bestimmen, so muß mehrere Tausend Kilometer betragen.

Ich vermute nicht, daß diese Theorie einer aus Wellen bestehenden Photosphäre zu mancherlei Schwierigkeiten führt, und daß sich viele Argumente der von Schmidt in Stuttgart aufgestellten Hypothese gegen sie, nach welcher die Photosphäre ein rein optisches Phänomen ist, das von der Refraktion in einer vollkommen gestörten Kugel herrührt. Aber es scheint mir bei jeder vom obenangelegten Folge der bekannten physikalischen Gesetze zu sein, daß eine gasförmige Kugel, welche zu einem beträchtlichen Teile aus unelastischen Dämpfen besteht, unvermeidlich sehr wohl mit einer Wellenfläche umgibt.

4. Die umhüllende Schicht und die Chromosphäre sind nach meiner Meinung weiter nichts als die unelastischen Dämpfe und Gase, welche die Atmosphäre bilden, in der die Wellen der Photosphäre schwingen, sich aber auch weit über diese erheben. Es soll jedoch mit dem Worte »Atmosphäre« gesagt sein, daß diese über der Photosphäre liegende Gashülle der Atmosphäre der Erde in ihrer weiche-

weisen Konstitutionen gleich. Unter dem Einfluss der Schwerkraft der Sonne kann sie sich nicht im statischen Gleichgewichte befinden, sondern gleitet eher einem Flussumwand — einer homogenen Pyrene —, um das besprechende Ausdrück von Prof. Langley zu gebrauchen.

Die sogenannte umkehrbare Schicht ist das dünne Stratum auf dem Grunde des Flussumwand, nach so allen den Dämpfen, aus denen die photosphärischen Wolken gebildet sind. Hier hauptsächlich und in den Tiefen zwischen den Wolken ist der Ursprung der dunklen Fraunhofer'schen Linien zu suchen, und beim Beginn und beim Ende der Totalität einer Sonnenkollimation erscheint für wenige Sekunden das Spektrum dieser Schicht als das hellste Linien-spektrum Flus-Spektren.

Die Chromosphäre ist die Gegend über der umkehrbaren Schicht; sie besteht aus demselben Gasen und Dämpfen, welche unter den dort herrschenden Bedingungen nicht kondensiert werden — hauptsächlich aus Wasserstoff, Helium und derjenigen Form des Kaliumdampfes, welche in seinem Spektrum die Linien H und K liefert. Sehr wahrscheinlich sind auch noch andere, bisher nicht identifizierte Gase vorhanden.

Die Protuberanzen sind ausschließlich Massen dieser chromosphärischen Gase, welche durch Stürme und vulkanische Strömungen über die allgemeine Niveau emporgeschleudert sind, und die zunehmend in den unteren Regionen der über der Chromosphäre liegenden Atmosphäre, der Korona schwimmen. Gelegentlich wurden metallische Dämpfe (Mg, Na, Si, Fe usw.) bis zu beträchtlichen Höhen emporgeschleudert, besonders in Örgeniten, welche in der Umgebung großer und großer Sonnenflecken liegen (jedoch nicht innerhalb der letzteren); in solchen Fällen zeigen die Protuberanzen gewöhnlich schnelle Änderungen in Form und Größe, verbunden mit Verschiebungen und Verschiebungen der Linien ihrer Spektren. Bis vor ganz kurzer Zeit sind diese

Spektroskopierungen als eine Folge von Druck von explosionsartiger Gewalt und von Bewegungen in der Gasströmung von fast ungleichartigen Fortschritten erklärt worden. Neuere Untersuchungen von Julius und andere arbeiten jedoch darauf hin, zu zeigen, daß diese Erscheinungen eine optische Natur sein können und von innerer Rotation in dichten Nebelbildungen herrühren.

5. Die Korona ist noch bis zu einem gewissen Grade räthselhaft. Ohne Frage ist sie ein Teil einer Hülle, welche aus einem außerordentlich dünnen und bisher noch nicht identifizierten Gas (probabilisch Coronium genannt) besteht. Das Spektrum dieses Gases ist durch eine gut definierte Reihe Linien charakterisiert, die man lange Zeit für die Linien der Linie Kirchhoff 1874 (J. 5317) hielt, besonders aber als diese beschäufert (J. 1903) erkannt hat. Außerdem hat man bei letzten Finsternissen mit Hilfe der Photographie im violetten und ultravioletten Teile des Koronaspektrums noch einige andere Linien nachgewiesen, die wahrscheinlich demselben Element angehören.

Was die Strahlen der Korona anbelangt, welche hell durch reflektiertes Sonnenlicht zu sehen scheinen, mit einfach selbstleuchtend sind, so muß man nach ihrem Spektrum annehmen, daß sie nicht aus Gasen bestehen, sondern aus kleinen Partikeln, welche durch irgend eine Repulsivkraft von der Sonne fortgeschleudert werden — möglicherweise elektrischer Natur, vielleicht aber auch durch die Repulsivkraft der Strahlung, deren Vorhandensein man allerdings im Laboratorium nachgewiesen hat. Ihre Ausdehnung ist bezug auf die Sonnenoberfläche weit erheblich durch Kräfte bestimmt, welche in ihrer Wirkung, wenn nicht gar in ihrem Ursprung, denen analog sind, welche die Ausdehnung der Nordlichtstrahlen in unserer irdigen Atmosphäre regeln, letztere scheinen aber wesentlich gleichmäßig zu sein.

4. Hinsichtlich der Sonnenflecke scheint die Annahme nicht mehr zuzulassen zu sein, daß sie innerer Vorrichtungen in der Photosphäre sind, da es nach Beobachtungen, die in Position und anderen gemacht sind, außer Frage zu sein scheint, daß in der Nähe des Sonnenrandes ihre Wärmestrahlung die der benachbarten Sonnenoberfläche gänzlichlich übersteigt. Vielleicht läßt sich diese Tatsache durch die Annahme erklären, daß die Absorption der Sonnenstrahlung für die leuchtenden Strahlen der photosphärischen Wolken sehr viel größer ist, als für die dunklen, langwelligeren Strahlen, welche der Fleck ausstrahlt, plausibler aber dürfte die Schließfolgerung sein, daß sich in diesem besonderen Falle die Flecke in beträchtlichen Höhen befinden. Das dunkle Aussehen der Flecke ist ziemlich sicher durch Absorption hervorgerufen, und diese Absorption wird mindestens bis zu einem gewissen Grade durch Gase, nicht durch bloße Nebel bewirkt. Dies geht aus der bemerkenswerten Verstärkung der dunklen Linien des Vanadiums und einiger anderer Substanzen hervor, und ferner daraus, daß die grauen Partien des Fleckenspektrums in ein Band von dichtgedrängten dunklen Linien aufgelöst werden.

Von den bisher aufgestellten Theorien über die Entstehung der Sonnenflecke finde ich keine einzige gänzlich befriedigend. Die Vorstellung der Flecke auf der Sonnenoberfläche besetzt, daß es in gewisser Beziehung eng mit dem besondern Rotationsgebiete der Sonnenoberfläche verknüpft sind, und dies stimmt insofern mit der Pynchon'schen Theorie überein; aber die physikalischen Überlegungen, die diese Theorie enthalten, sind sicherlich nicht von Ansehn. Ferner scheint ein Zusammenhang zu bestehen zwischen der Position eines Flecks auf der Sonnenoberfläche und Zuständen, welche in dem unter der Photosphäre befindlichen, aus Gasen bestehenden, aber nichtflüssigen Kern herrschen. Dies wird durch die so oft

beobachtete Tendenz der Flecke, sich wiederholt an denselben oder wenigstens nahe denselben Stelle der Oberfläche zu bilden, bewiesen.

Unverwehrt findet oft, vielleicht sogar in der Regel, ein wichtiges Aufwärtstreten der atmosphärischen Gas rings um den Rand eines Flecks statt, aber niemals oder wenigstens höchst selten durch den Kern selbst. Ob die Flecke durch Materie entstehen, welche von oben herabsinkt, oder ob er (wie ich anzunehmen pflege) aus Einwirkung in der Photosphäre ist, vermag ich durch ein Nachdenken des von unten wirkenden Druckes, oder ob er irgend eine ganz andere, Entstehungsursache hat — darüber habe ich jetzt keine feste Meinung.

Im Ungewissen bin ich auch noch über den Grund der Periodizität der Sonnenflecke und über den nicht zu beweisenden Zusammenhang zwischen der Sonnenfleckigkeit und den magnetischen Störungen auf der Erde. Ich neige jedoch im ganzen immer noch zu der Ansicht, daß die Ursache der Periodizität in der Sonne selbst zu suchen ist, planetarischen Einflüssen darf es jedenfalls nicht zugeschrieben werden, wenn auch äußere Einflüsse immerhin eingeschlossen sind.

7. Nach den Beobachtungen der letzten 25 Jahre ist die effektive Temperatur der Sonne nicht weit von 5500° C. entfernt, aber die Solarkonstante selbst ist noch nicht sehr sicher bestimmt. Langley's Wert 34 Kalorien auf Quadratmeter oder 34 Wärmeeinheiten verleiht der Wahrheit um so mehr, aber die Beobachtungen im Smithsonian Institut aus den Jahren 1902 und 1903 machen es wahrscheinlich, daß dieser Wert um etwa 2½ bis auf 32½ vermindert werden muß.

Die Frage nach der Kanalar der Sonnenstrahlung, eine der wichtigsten im ganzen Bereiche der astrophysikalischen Wissenschaft, ist noch ungeklärt, aber die Hoffnung ist begründet, daß Untersuchungen, welche in Vorbereitung

und zum Teil schon im Gange sind, bald Licht in dieselbe bringen werden. Der Schwerepunkt liegt unstreitig in ihrer Verknüpfung mit der vorläufig-beschlossenen der irdischen Atmosphäre.

Was die Erhaltung der Sonnenstrahlung anbetrifft, so kann kein Zweifel darüber bestehen, daß die Heliostatische Kosmikauffassung uns veranlaßt darzustellen und wohl ist, so weit als sie geht. Aber daß sie die ganze Wahrheit wiedergibt, scheint mir, ungeachtet des bereits angedeuteten Verhaltens des Radium und der ihm verwandten Stoffe, zum mindesten zweifelhaft, da dem demselbst bemerkt, daß es neben den mechanischen noch andere wichtige Energiequellen gibt, die zur Erhaltung der Sonnenstrahlung beitragen.

§ Die äquatoriale Beschleunigung der Sonnenoberfläche schneidet nur in den Untersuchungen von Salomon und Widing ihre richtigste Erklärung gebenden zu haben, welche dieselbe als ein langsam veränderndes Überbleibsel von Zuständen ansehen, die sich nicht mehr bestehen, die aber noch, als das Sonnensystem in seiner Bildung begriffen war, wirksam waren. Es ist mir bekannt, daß allerdings andere Forscher, besonders Lindqvist, den Versuch gemacht haben, diese Differenz auf mechanischen Wege als eine notwendige Folge der Kontraktion der Sonne herzustellen. Ich bin aber hierdurch nicht überzeugt worden, da mir einige der grundlegenden Annahmen zweifelhaft erscheinen.

Die Bahnen des 6. und 7. Jupitermondes.

Die beiden äusseren Himmelskörpern unserer Trabantensysteme des Jupiter sind am Cassiopey-Befinder der Lick-Observatorien in der Zeit vom Dezember 1904 bis anfangs März des gegenwärtigen Jahres so häufig photographisch aufgenommen worden, daß eine Berechnung ihrer Bahnen mit gutem Erfolge vorgenommen werden konnte. Der 6. Jupitermond wurde aufgenommen in der Zeit von 1904 Dezember 3 bis 1905 März 22, der 7. Trabant in der Zeit von 1905 Januar 2 bis März 6. Die von C. D. Perrine auf Grund dieser Aufnahmen begrenzten Bahnberechnungen, an deren Vollendung er durch die Absterben für die Sommerferien des 30. August verhindert wurde, sind von Dr. Frank E. Ross in Washington durchgeführt worden¹⁾.

Hiernach bewegt sich Trabant 6 in der nämlichen Richtung wie die vier übrigen Jupitermonde und hat eine Umlaufdauer von 242 Tagen. Der Excentricität

seiner Bahn beträgt 0.16 und die Neigung der Bahn gegen die Ebene der Jupiterbahn beträgt 30°. Seine mittlere Distanz vom Jupiter ist ungefähr 11 7 Millionen Kilometer.

Für den 7. Jupitermond gibt Dr. Ross folgende Angaben für die Epoche 1905 Januar 9^h Cassiopea Mittlere Zeit:

Mittlere periheliontrale Länge	= 211.55°
Länge der Perihelionstr.	= 238.45
Länge des Knotens	= 231.73
Neigung gegen die Ekliptik	= 31.00
Neigung gegen die Bahn Jupiter	= 37.00
Länge des Knotens auf der Jupiterbahn	= 238.4
Mittlere tägliche Bewegung	= 1.258 ^h
Halb-große Achse der Bahn	= 11.64
Excentricität	= 0.0246
Umlaufdauer	= 256.6 Tage
Große schenkel Distanz vom Jupiter	= 30

Die Vorrichtung der aus diesen Bahnberechnungen berechneten Positionen des Trabantens mit den Beobachtungen ist nicht befriedigend. Die Bewegung des Satelliten ist wie die aller übrigen Jupitermonde direkt, während es in

¹⁾ Lick Obs. Bulletin, No. 42, Publ. Art. Soc. of Pasadena, No. 123.

²⁾ Lick Obs. Bulletin, No. 42, Publ. Art. Soc. of Pasadena, No. 123.

fangt schien, daß die Bewegung richtig
 liegt sein würde.

„Vergleicht man,“ bemerkt Dr. Roß,
 „die Bahnen der Satelliten 6 und 7 mit-
 einander, so sieht man, daß ihre Um-
 laufzeiten und daher auch ihre Ab-
 stände vom Jupiter sehr wenig von-
 einander verschieden sind und infolge
 der beträchtlichen Exzentrizitäten beider
 Bahnen diese ineinander abgelenkt.
 Die Neigung beider Bahnen gegen-

einander beträgt 27°.“ Zur Aufschung
 des 2. Satellites gibt Dr. Roß eine
 Ephemeride, in derselben bezeichnet
 p den Perihelienwinkel und d den
 Winkelsabstand vom Jupiter für 4^h mitt.
 Zeit von Greenwich. Aus dieser Epha-
 meride ist folgendes entnommen:

Oct. 4	$p = 290^\circ$	$d = 50'$
10	292 ¹	54 ¹
Nov. 2	295 ¹	58 ¹
13	297 ¹	59 ¹

Die Bewegung der Schweifmaterie zweier Kometen.

Wie auf Seite 57 d. J. der „Stern-
 „angekreuzt wurde, hat H. Jägernann
 in Menden die Tatsache beobachtet
 können, daß die Schweifspitze des Ko-
 meten 1903 IV sich innerhalb eines
 Zeitraumes von 4^h 59^m mit einer Ge-
 schwindigkeit von 35 km in der Sekunde
 auf einem zur Sonne konvergenz Bogen
 fortbewegt hat. Diese Tatsache hat der
 genannte Herr auf Grund der Photo-
 graphien von Quénouet, Bernard, Curtes
 und Wiltner, die am 24. Juli 1903 auf-
 genommen worden waren, festgestellt.
 Er macht daraufhin¹⁾ zwei Unter-
 suchungen über diesen Geschwindig-
 keitswert, für welche er photographische
 Aufnahmen von J. Roberts und M. F.
 Smith, die an dem nämlichen Tage er-
 halten worden, benutzen konnte. Die-
 selben betrugen in Verbindung mit
 den früheren Aufnahmen die ständige Fort-
 bewegung der Schweifspitze vom Komet
 des Kometen und gleichzeitig von der
 Sonne. Hiernach wogte sich die Fort-
 bewegung der Schweifspitze von der
 Sonne auf einem zur Sonne konvergenz
 Bogen, dessen Länge, 683590 km, vom
 Schweifende in 7^h 58^m durchlaufen
 wird. Hiernach ergibt sich eine mittlere
 Ortsgeschwindigkeit der Schweif-
 materie, auf Grund dreier Beobach-
 tungen, von nur 34.3 km pro Sekunde.
 Im Laufe dieser 7^h 58^m hat sich die

Schweifmaterie von dem Komet, in der
 Richtung des verläugerten Radvektors,
 mitdormittleren Geschwindigkeit 51.21 km
 pro Sekunde fortbewegt, von der Sonne
 aber in derselben Richtung, nur mit
 16.26 km pro Sekunde.

Wie Jägernann schon in der ersten
 Abhandlung bemerkte, nähert sich die
 vor dem Perihel des Kometen ausgeführte
 Materie zuerst der Sonne, geht dann
 durch ihr hyperbolisches Perihel, um
 sich darauf stieg von der Sonne zu
 entfernen. Es ergibt sich, daß die Schweif-
 materie mit nach ihrem Perihelien-
 schlag photographiert wurde doch muß
 dieser Perihelienbeschlag sich kurz vor
 der photographischen Aufnahme von
 Roberts vollzogen haben.

Diesen Rechnungen zufolge ist die
 aus inflexionswende Schweifmaterie vom
 Komet ausgeht im Maximum 1903
 Juli 23 00003 M. Z. Berlin, mit der An-
 langsgeschwindigkeit 0.42 oder 12.5 km
 pro Sekunde zum Komet, unter dem
 Winkel $= 21^\circ 30'$ zum Radvektor
 (negativ vor dem Radvektor) und
 bewegte sich in der Kometenbahn-
 ebene auf einer zur Sonne konvergenz Hyperbel,
 unter dem Einfluß einer von der Sonne
 ausgehenden repulsiven Kraft $= 0.09$.

Im Ausströmungsmaximal (21. Juli)
 hat die Schweifmaterie mit einer Ortsges-
 chwindigkeit von 55.3 km pro Sek.
 (zur Sonne) in die Kometenbahn, unter
 einem Winkel von $3^\circ 13.5'$ zu der-

¹⁾ Astron. Nachr., Nr. 4026.

selben, kann Sie bewegt sich also fast in derselben Richtung, wie der Kern, nur Sonne hin und hat erst fünf Stunden später mit der schon bis zu 46,7 km pro Sekunde verminderten Orbitalgeschwindigkeit aus denselben wieder heraus, um aber immer noch eine Bewegung zur Sonne, in der Mitte des Kernes, jedoch sehr vor demselben verbleibend, fortzusetzen. Ungefähr drei Stunden nach dem Austritt der Schwefelmaterie aus der Kammerbahn wird der Kern von Barnard und fünf Stunden später nach demselben Moment, von Curtis photographiert, als die Geschwindigkeit der Schwefelmaterie nur noch 42,1 resp. 38,9 km pro Sekunde beträgt, während der Kern sich die ganze Zeit mit einer nahezu konstanten Orbitalgeschwindigkeit von 42,1 km pro Sekunde bewegt. Solange dieser fast gleichmäßige, und mit dem Kern in derselben Richtung sich vollziehende Bewegung der Materie des Schwefelkerns, behält letzterer, während der photographischen Aufnahmen von Barnard und Curtis, sich in so geringer Entfernung vom Kern, welche kleiner als der entsprechende Radius der Nebelhülle ist. Beiden des andern, vom Kern entfernt, schon früher, etwa im Jahr 1912 ausgesandten Schwefelkerns sind dagegen auf der Photographie Barnard und namentlich Curtis deutlich ausgesprochen.

Es ist also der »ephemere« Schwefelkern am 23. Juli photographiert worden, nur bevor er noch nicht die Länge, wie am folgenden Tage (24. Juli), war, insbesondere mit der mechanischen Theorie der Kammerbahn übereinstimmt, da eine Hyperbelbewegung der Schwefelmaterie in kurzer Zeit, namentlich bei einer so großen Kraft, eine ungeheure Ausdehnung und Zerstörung der Schwefelmaterie in der Richtung von der Sonne weg hervorruft. Die vom Kern entfernten und früher ausgesandten Teile des Kammerkerns, bestehen im allgemeinen aus einer, größeren Geschwindigkeit und bewegen sich in

andern Bahnen ab als der Kern, näher Teile.

Am folgenden Tage (24. Juli) erreichte die entsprechende Schwefelmaterie eine maximale Orbitalgeschwindigkeit von 30,15 km pro Sekunde im Perihel.

«Der der weiteren Fortbewegung der Schwefelmaterie von der Sonne unter dem Einfluß der gleich der gewöhnlichen Attraktion, nach dem Gesetz des Quadrats der Abstände wirkenden repulsiven Kraft, muß natürlich die größte Geschwindigkeit stetig wachsen und die Schwefelmaterie, welche sich außerdem noch auf einander gehenden Hyperbelbahnen bewegt, muß sich immer mehr und mehr bis zur Unsichtbarkeit im Raum ausdehnen und endlich ganz zerstreuen. Den Rechnungen gemäß befindet sich die am interessierende Schwefelkern am 25. Juli, während der photographischen Aufnahmen von Barnard und Curtis, schon in sehr großer Entfernung vom Kammerkern und somit namentlich schon solche großen Orbitalgeschwindigkeiten, 74 resp. 52 km pro Sekunde, daß die Wirkung mehr auf die photographische Platte äußere konnte.

«Die hier beim Kammer 1903 IV nach durch die neuen Photographien völlig bestätigte Bewegung des Schwefelkerns auf einer zur Sonne konvexen Hyperbel, mit einer, nur einer periodischen Materie zukommenden Geschwindigkeit, bestätigt somit endgültig, wenn es überhaupt einer solchen Bestätigung in Anbetracht der grundlegenden Untersuchungen von Th. Berdine bedarf, hier, daß erstens die Kammerkerns mehrere Gebilde sind und daß zweitens die Existenz einer von der Sonne ausgehenden repulsiven Kraft, welcher Natur wir noch sehr frag, nicht dem geringsten Zweifel mehr unterworfen werden kann und darf.

«Es ist noch interessant, M. Jagermann hat, schon an dieser Stelle ganz zu bemerken, daß eine ebenfalls völlige Bewegung der Schwefelmaterie auf einer

zur Sonne konvergen. Hyperbel nach beim Kometen Smith 1892 I, auf Grund der von W. H. Pickering¹⁾ gegebenen Messungen einer Schweifverdünnung, in einer noch viel kleineren Form nachgewiesen werden kann. Die Bewegung der Schweifverdünnung kann im Laufe von sechs Tagen, 5. bis 10. April 1892 (in der Periheliumsgrad des Komet) auf einem zur Sonne und zur Kometenbahn sehr stark konvergen Bogen von 31.5 Millionen Kilometer Länge verfolgt werden. Die mittlere Orbitalgeschwindigkeit des Kometes betrug während dieser Zeit 41.5 km pro Sek., während die mittlere Orbitalgeschwindigkeit der Schweifverdünnung in dem erwähnten Zeitintervalle, auf Grund direkter Beobachtungen, bedeutend höher und zwar:

1892 April 5 bis April 6:	45 km pro Sek.
• 6 • • • 7 • 17 • • •	
• 7 • • • 8 • 58 • • •	
• 8 • • • 10 • 95 • • •	

Die Ursache der längeren Stiche:

best der Schweifmatten liegt in diesem Falle hauptsächlich in dem viel geringeren Werte der repulsiven Kraft, als beim Kometen 1892 IV. Den vorliegenden Rechnungen gemäß übertrifft die die gewöhnliche Abkühlung nur umgekehrt 21mal, nach Pickering 28.5mal. Einen solchen Wert der repulsiven Kraft 36 für den I Schweiftypus erhält schon ebenfalls auf Grund einer Untersuchung der von Hasey gemessenen Bewegung einer Schweifverdünnung des Kometen Bondane 1893 II. Dieser Wert 36 steht also nicht mehr vereinzelt da.

Interessant ist noch der Umstand, daß die bis jetzt bekannten Werte der Repulsionskräfte I Typus 13, 36, 59 nicht kontinuierlich, sondern überlappend, sondern auch wie die ganzen Zahlen 1 : 2 : 3 verhalten. Die Ursache hiervon ist gewiß in einer Abwanderung von physikalischen oder chemischen Verhältnissen der diesen Kometen entsprechenden Schweifmatten zu suchen.

Die Tätigkeit des astrophysikalischen Observatoriums in Potsdam im Jahre 1904.

Eine Nachrichtende ist dem Jahresberichte entnehmen, den Geh. Rat Vogel, Direktor des astrophysikalischen Observatoriums zu Potsdam, über die Arbeiten dieser Anstalt während des Jahres 1904 veröffentlichte.

Das große Objekt von 80cm Durchmesser, welches behufs einiger Vervollkommenungen nach München in die Scheibentische Werkstatt geschickt worden war, wurde Ende März 1905 wieder im großen Refraktor eingestrichen. Beiläufig der wissenschaftlichen Arbeiten zu hier aus dem obigen Bericht folgen die mitgeteilten:

Spektralanalyse. In der Zeit, in welcher sich das 80 cm Objektiv in

München befand, hat Prof. Hartmann den Querspektrographen, einen Apparat ohne Kollimator und Spalt, mit dem großen Refraktor in Verbindung gebracht und bei der Aufnahme des optischen Fernrohr von 50 cm Öffnung als Linsenrolle benutzt. Es gelang ihm, die Sternspitzen weiter ins Ultraviolett zu verfolgen, als das bisher von anderer Seite möglich gewesen ist. Im ganzen sind 75 Sternspitzen mit diesem Apparat aufgenommen worden. Im Spektrum des Orionnebels wurden interessante Erscheinungen wahrgenommen, über welche in den Sitzungsberichten der Berliner Akademie der Wissenschaften vom 9. März 1905 berichtet worden ist.

Von dem früher mit dem Spektrographen I des Observatoriums am großen Refraktor erhaltenen Sternspektralen hat

¹⁾ Annals of the Astrophysical Observatory of Harvard College, Vol. XXIII, Part II, 1900, p. 272.

Prof. Hartman 38 Platten ausgemessen und vollständig bearbeitet, darunter 42 Platten des spektroskopischen Doppelsterns β Orionis und 20 Platten von β Perse.

Zur Revision des Rowlandschen Wellenlängensystems hat Prof. Hartman in einer Abhandlung „Die Verbesserung der Wellenlängennormalen“ nochmals das Wort ergriffen. Zu dem bei Gelegenheit der Wellenstellung in St. Louis abgehaltenen Astronomischen Kongress stellte er ferner seine Aufsätze ein, in dem er eine Beobachtungsreise schildert, welche die Ausmessung von Sternspektren in gewissen Fällen in erheblichem Grade zu vereinfachen vermag.

Mit dem Spektrographen IV von photographischem Refraktor von 30.5 cm Öffnung hat Dr. Elshard im Verein mit Dr. Lindorff in jedem geeigneten Abend Aufnahmen von Sonnenspektren gemacht. An 103 Abenden wurden 214 Sternspektren, mit zum Teil langer Expositionszeiten erhalten.

Von den vorerwähnten Spektren hat Dr. Elshard die große Serie von α Perse fertig gemessen und reduziert.

Prof. Vogel hat an einer größeren Anzahl von Spektren, die mit dem Spektrographen IV erhalten worden waren, Messungen angestellt und unter diesen auch die von Mizar im Jahre 1903 erhaltenen Aufnahmen. Durch Verlesung mit dem Interferon, am 3. Mai 1904, der Akademie der Wissenschaften in Berlin vorgetragene Beobachtungen über diese mikroskopischen spektroskopischen Doppelsterne, über welchen mehr als ein Dutzend lang Unklarheit geherrschte hatte, konnte die Unklarheit etwas gemindert, zu 20.54 Tagen, festgestellt werden, außerdem ergab sich eine fast vollkommen Gleichheit der Massen beider Komponenten.

Prof. Latsch hat seine Untersuchungen über Metallspektren auch fortgesetzt und mehrere Spektrogramme erhalten und ausgemessen.

Classen hat Prof. Müller mit Hilfe des großen Gitterspektrographen Wilson

Aufnahmen des Sonnenspektrums zur Aufklärung terrestrischer Linien erhalten. Wissenschaftlich gefördert wurden diese Arbeiten durch Benutzung eines neuen, von Prof. Hefke konstruierten Filterobjekts, welcher sich zur Sensibilisierung der Platten für das gelbe und rote Partien des Spektrums besonders gut eignet. Die Aufnahmen im Spektrum zweiter Ordnung sind jetzt bis ins höchste Rot fortgeführt worden, und es stehen über die ganze Ausdehnung des Spektrums von H bis fast nach A mehrere Serien von Platten zur Ausmessung zur Verfügung. Die Ausmessung des ganzen Materials muß jedoch einer späteren Zeit vorbehalten bleiben.

Mit dem großen Spektrographen für terrestrische Untersuchungen hat Prof. Wiking die im Jahre 1903 begonnenen Aufnahmen von Funktionspektren von Metallen unter verschiedenen Druck weitergeführt.

Beobachtungen an großen Planeten. Von den großen Planeten ist von Prof. Lohse nur Jupiter beobachtet worden, und zwar an 15 Abenden in den Monaten Januar, Oktober, November und Dezember. Es wurden Messungen der Durchmesser und selbstiger Objekte der Oberfläche Jupiters, besonders der Götter, angestellt. Der rote Fleck war immer noch weiterbekannt.

Photometrie. Die von Prof. Müller und Prof. Kopp gemeinsam unternommene photometrische Durchmesserbestimmung des oberirdischen Himmels ist im Jahre 1904 nahezu zum Abschlusse gelangt worden.

Von dem veränderlichen W Ursa majoris mit der außerordentlich kurzen Periode von 4 Stunden und zwei Maxima beobachtet worden, wozu sich die Periodebestimmung weiter etwas erhöht, nämlich zu $4^h 0^m 13.2^s$, bestimmen ließ. Mit dem neuen Photometer hat Prof. Müller die Helligkeit der Nova Perse für die Zeit von 1904 (Dec. 12 bis 1905 Jan. 2 im Mittel aus alten Beobachtungen zu 11.4^m abgelesen, sie hat demnach seit Aufg. März 1903

nach den Potsdamer Messungen um etwa 0.7^m abgenommen. Der veränderliche ST Herculis wurde im Jahre 1904 im ganzen Helligkeitsverlaufe beobachtet, seine Helligkeitsänderungen sind aber so unregelmäßig, daß sich eine Periode noch nicht ablesen läßt. Die Resultate der bisher ausgeführten Messungen sollen demnächst veröffentlicht werden. Ebenso sollen die Messungen an dem veränderlichen X Persei aus dem letzten Jahre binnen Kurzem publiziert werden; der Stern ist auch im vergangenen Jahre noch im Maximum der Helligkeit geblieben, sein Lichtwechsel vollständig unbewußt ganz unregelmäßig.

Der Arbeiten an dem neuen Katalog der veränderlichen Sterne, der in Auftrage der Astronomischen Gesellschaft herausgegeben wird, hat Prof. Möller weitergeführt. Bereits im Sommer 1904 war die Sammlung der Laster in der Hauptache beendet, und es wurde mit der Bearbeitung der einzelnen Sterne begonnen. Eine ausführliche Beschreibung des Stand der Angelegenheit hat Prof. Möller auf der Astronomerversammlung in Lund erstattet. Da sich eine Anzahl junger Astronomen zur Mitarbeit bereit erklärt hat, ist die Hoffnung vorhanden, daß der Katalog in 4 bis 5 Jahren vollständig sein wird.

Dr. Ludendorff hat eine Diskussion aller vorhandenen Beobachtungen des Veränderlichen R Coronae begonnen, und zwar wurden zunächst die Beobachtungsergebnisse von Schwach, Salick und einigen anderen Beobachtern bearbeitet.

Sonnenstatistik. Es wurden im Jahre 1904 insgesamt 54 photographische Aufnahmen der Sonne für die Potsdamer Sternwarte hergestellt. Die Sonne erschien nur an vier Tagen bedeckt, so daß sich demnach ein Aufheben auch dem Maximum der Sonnenaktivität hat kundgetan.

Der Spektrophotograph konnte von Ende März bis Mitte November in Gebrauch gehalten werden. Da die Sonnenstrahlung während der größten Teile dieser Zeit recht bedeutend war, wurden demnach für die Auswertung der

Apparats-erforderlichen Platten 216 Aufnahmen angesetzt. Die Aufnahmen wurden größtenteils von Prof. König unter Anleitung von Dr. Schweydar angefertigt, während einer längeren Abwesenheit des Prof. König hat Dr. Schweydar auch selbständig Aufnahmen gemacht.

Photographische Himmelskarte. Die für die Fortsetzung des VI. Bandes des Katalogs noch zu erledigenden Arbeiten sind von Dr. Schweydar vollendet worden, mit dem Druck des Bandes wird demnächst begonnen werden. Ferner hat Dr. Schweydar 12 Platten mit rund 1000 Sternen aufgenommen. Prof. Schuster hat die Größen der mit Störungen der Sonne Durchmusterung identifizierten Sterne mit den Größen der Durchmusterung verglichen und die Beziehungen zwischen diesen Größen-schätzungen für jede der Platten und für verschiedene Größenabstufungen abgeleitet. Eine durch Dr. Schweydar angeführte Vergleichung der Positionen dieser Sterne ergab in etwa 50 Fällen größere Abweichungen zwischen den Potsdamer Katalog und der Durchmusterung, in allen diesen Fällen wurden die Messungen und Reduktionen von Prof. Schuster wiederholt, wobei etwa 50 Fehler im Potsdamer Katalog aufgefunden wurden. Ein Verzeichnis der rund 300 hier nichtaufgeführten sternenähnlichen Erscheinungen wurde auch bereit gestellt, wo Herr Prof. Dr. Münnichmeyer die Originalbeobachtungen nachgesehen hat. Hierbei wurden mehrere Fehler in der Sonne Durchmusterung gefunden.

Vermutliche Beobachtungen und Untersuchungen. Prof. Löhr hat im Jahre 1904 an 32 Abenden im 30 cm-Refraktor im ganzen etwa 50 Doppelsterne gemessen. Der Stern 79 Cygnus wurde während der ganzen Beobachtungsperiode vom 15. Mai bis 6. Dezember verfolgt, und es konnten 65 Messungsergebnisse erhalten werden.

Die von Dr. Ludendorff unternommene Nachforschung seiner Messungen am Sternhaufen im Perseus wurde im Jahre 1904 nahezu vollständig.

Beobachtung der Perseiden 1905.

Es dürfte sich, unterstehen ich auch heute die Beobachtung dieser Meteor, die leider gerade am Zeit des Maximum vom Mondlichte erheblich beeinträchtigt wurde. Beobachtet wurde am 4., 9., 10 und 13 August in einer Gesamtzahl von 134 Stk. Am 11., dem Tage des Maximum, war in den Abendstunden der Himmel total bewölkt, und es fehlte ein Zusetzen auf Beobachtung anzuwenden. Wie ich nachträglich konstatiert konnte, hätte sich der hellste Himmel in den Frühstunden demnach auf, und wäre demnach eine schwerste Beobachtung des Maximum möglich gewesen. Am 13. wurde um 14^h 10^m M.E.Z. begonnen, doch konnte bei der auch heute intensiven Mondlichte und der bald anbrechenden Dämmerung keine Sternschnappe mehr wahrgenommen werden. Nachstehend die Gesamtresultat:

Datum 1905	Zeit (M.E.Z.)		Richt.	Richtung	Gesamt Perseiden
	von	bis			
4 August	0 ^h 15 ^m	14 ^h 45 ^m	14 30 ^m	73	5
9. "	11 ^h 15 ^m	15 ^h 45 ^m	14 45 ^m	75	9
10. "	11 ^h 15 ^m	15 ^h 15 ^m	14 45 ^m	105	13
13. "	14 ^h 30 ^m	15 ^h 30 ^m	20 ^m	—	—

Zusammen in 134 Stk 263 Meteor, darunter 27 Perseiden.

Von den Perseidenstunden brachte der bei 9 Uhr beginnende 9., der bei 9-8 Meteor, die Beobachtungspunkte γ , ϵ und δ Perseiden ergaben 5, 3, resp. 2 Meteor. Sehr bemerkbar machte sich der Radiant in α , $\alpha = 24^\circ$ 10^m, $\delta = 4^\circ$ 14^m in der Größe,

der an den drei Beobachtungstagen zusammen 35 Sternschnappen beobachtet. Eine erhebliche Tätigkeit ergab die des Vorplatzes links der Radiant unmittelbar bei α Cassiopeia anzuweisen. Die Beobachtungspunkte bei $\gamma = \delta$ Andromeda, $\epsilon = \gamma$ Cassiopeia und $\delta = \gamma$ Cygnus waren nicht sichtbar. Erwähnt sei noch, daß der Beobachtungspunkt südlich von γ Andromeda, dessen Meteor erst am den 21. September erschien, eine auffallende Tätigkeit erkennen ließ.

Ich zählte 14 Meteor zur ersten, 13 zur zweiten, 50 zur dritten, alle zudem in niedrigster Größenklasse.

Es sind fünf hellgelbe und zwei gelbe Meteor war der Farbe stets weiß, die schönsten Bahnen größtenteils senkrecht, einige nach gekrümmt. Ein Meteor mit hellblauweißer am 4. um 10^h 40^m M.E.Z. (Ausgangspunkt südlich von γ Perseid) Endpunkt $\gamma = \gamma$

Perseid) das 4 Sekunden lang sichtbar war und einen Lichtstrahl von bemerkenswert langer Dauer (12 Sekunden) hinter ließ, hatte schwach wellenförmige Bahn.

Gesamter Richter, und phil.
Beobachtungsstation bei Wien

Weshalb die Sterne als Sterne erscheinen.

Von W. Rotta, Gießen 1905

So viel ich weiß, ist es noch nicht bekannt, weshalb die Sterne, wenn man sie mit bloßem Auge ansieht, als

9. Von Herrn Verleger abgesetzt aus dem Mathematischen der K. Universität der Wissenschaften zu Gießen. Naturwissenschaftliche Klasse 1905. Heft 3

Sterne erscheinen, δ δ in Form einer Figur, welche man auch sonst einem Stern zu nennen pflegt. In Lehrbüchern der Physik und Astronomie findet man darüber kein Wort, und doch ist die Erscheinung nicht so selbstverständlich, daß man darüber schweigen dürfte. Ich

glaube ormai, die Strahlenbildung an ein Interferenzphänomen daher rührend, daß die Pupille, weil von einem Muskel begrenzt, keinen glatten Umriss habe und sich zwei verhält, was ein etwas oder einiges Loch. Aber ich fand, als ich in Block völlig runde Linsen bohrte, die etwas kleiner als die Pupille waren, und hindurchsah, dasselbe Bild. Es begann sich der Stern lange und aufmerksamen zu betrachten, indem ich nach verflüchtigtem Wieder ständertlang ins Freie tratle und Venus und Jupiter, welche nahe hintereinander standen, harrte und miteinander und mit einem Stern verglich.

Hieraus fand ich die folgenden Tatsachen heraus. Alle Sterne zeigen genau dasselbe Strahlen, nur daß sie bei den hellen dunkler und wohl auch etwas länger sind. Diese Strahlen sind keineswegs regelmäßig, sondern bald mehr bald weniger krasser, und an einzelnen Stellen laufen Strahlen über andere Strahlen fort. Mit dem menschlichen Auge sieht man anders als mit dem andern, aber was man so leicht nicht, nicht man als der Hauptstrahl nach wegsen, nur daß teilweise bald der eine, bald die andere etwas dunkler und kleiner ist. Man hat man hoch schärfe die andere Bild, aber das ist nur die Folge des menschlichen Sehens, welche bald hier, bald dort mehr dunkle Punkte erzeugen. Vorherseht man sie durch eine Bewegung des Auges, so sieht man immer

wieder das frühere Bild. Neigt man den Kopf seitlich, so neigen sich die Strahlen mit, am Strahl, der vorher oben stand, liegt jetzt horizontal. Führt man eine Karte mit einem Nadelstich über die Pupille fort, so sieht man nur dem schwach leuchtenden Punkt, der während der Verschiebung bald heller bald dunkler wird. Nimmt man die Karte ab, so werden die Strahlen länger, nämlich auch dunkler, in der Mitte aber zeigen sie denselben Contact.

Aus alledem schloß ich, daß der Ursprung der Strahlenbildung nicht in den Sternen, sondern in unserem Auge liegt und zwar darin, daß die Mitte der Netzhaut nicht völlig homogen in der Empfindung ist. Wegen vollkommenen Akkommodations wird kein Punkt, sondern eine kleine runde Fläche berührt, aber in dieser gibt es Lücken, im ganzen radial verlaufend, welche empfindlicher und andere, welche unempfindlicher und Vornachlässig laufen. Freie kleine Blutsäulen oder kleine Nervenzweige nach der Mitte des gelben Fleckes hin, und man mag es vorzüglich dahingehend bleiben, als es solchen Stellen der Lichtempfindung überwiegen als der schwächeren ist, wenn ich die Lücken nach für wahrnehmbarer halten möchte. Bei gutem Lichte oder hellen Bildern wird diese Unhomogenität nicht empfunden. Nur bei dem schwachen Lichte der Sterne kann sie zur Wahrnehmung gelangen.

Vermischte Nachrichten.

Die Sonnenfinsternis des 30. August ist, wie die bei uns empfindlichen Nachrichten lauten, auf den Hauptstellen mit Erfolg beobachtet worden. Näheres wird nach Bekanntwerden an dieser Stelle mitgeteilt werden.

Der Meteor vom 29. Juli. Herr Gideon Regier schreibt uns: »Das in den Tagesblättern in der letzten Zeit vielfach besprochene Meteor vom 19. Juli wurde von mir in Hainbach

bei Wiedingen 14° 13' 22" lat. von Göttingen und 46° 13' 36" nord. geograph. Br. um 10° 36' abends MEZ gesehen. Beobachtet wurde durch die plötzliche Auflebung des Himmels auf dem Nordgegend aufmerksam und sah das Meteor in Höhenmann = 24 53m, Deklination = + 14° gegen den Horizont zu stehen. Das Meteor von unheimlicher Helligkeit, der Farbe nach hellweiß auf einem Strich von Bläuliche (am

besten zu vergleichen mit der Farbe des kochenden Magnesiumdrabes) war am Kopfe mit einem orangefarbenen Anstrich versehen. Am gegenüberliegenden Ende (Ende) konnte ebenfalls verschiedene eine stichige Farbe gesehen werden. Farbenprüben oder Schweißbildung fand nicht statt. Das Phänomen war sichtlich sehr abgegrenzt und bewegte sich in schwach wellenförmiger Linie dem Horizont zu, wo es nach der Sekunde hinter Mitternacht verschwand. Die Entdeckung sichtlich konnte infolge der des Anblicks hindern des Raumes eines naheliegenden Objekts nicht beobachtet werden. Der Fotoapparat verschwand für den Beobachter im Sekundensatz um 34 25^m, Deklination $= + 52^{\circ}$. Lichtbreiten wird keiner mitgeteilt. Von einer Schätzschätzung konnte auch nach 8^{1/2} langen Wartezeit nichts zusammengefasst werden.

Photographische Aufnahme des Orionnebels im Lichte der ultravioletten Strahlung $\lambda = 3723$. (Harris' Table XI) Im Hubble'schen-Spektroskop wurde über die wichtigsten Untersuchungen berichtet, welche Prof. Dr. J. Hartmann über die Lichtausbreitung des Orionnebels angestellt hat. Es wurde dort hervorgehoben, daß die Aufnahmen lediglich mit dem Lichte der ultravioletten Linie von der Wellenlänge $\lambda = 3726.4$ die Bild des Orionnebels geben, das denselben in einer nahezu 10³ größeren Ausdehnung zeigt, als die Aufnahme mit dem Lichte der beiden Hauptstrahlen ($\lambda = 4753$ und 5007) und der Linie H β , oder auch die unmittelbaren Beobachtungen in den größten Teleskopen ergaben. Die wichtigsten Aufnahmen produzierte, wie im 6. Hefte des »Sera« näher angegeben, mit einem Nivellierrohr. Durch die Güte des Herrn Prof. Hartmann, der von seinem Zwecke ein Dutzend überreichte, sind wir in der Lage eine Reproduktion der besten monochromatischen Photographie mit dem Nivellierrohr auf Table XI

zu geben. Die Aufnahme wurde am 25. Januar dieses Jahres bei 120 Minuten Exposition erhalten. Über Eigenschaften des Bildes muß man die Mitteilungen im 6. Hefte des »Sera« nachlesen. In einem Briefe an den Herausgeber des »Sera« bemerkt Prof. Hartmann noch, daß durch ein Spiel des Zufalles die in Rede stehende Aufnahme des Orionnebels eine Art Öggenität zu dem bekannten »Gesicht im Monde« erhielt, nämlich die Umrisse eines von der Seite gesehenen Kopfes, oder vielmehr zwei übereinander gestapelten. Diese Figur zeigt sich im oberen linken Teile des Nebels, wo die hellen und dunklen Partien kreuz durcheinander gewendet erschienen. Der obere Kopf sieht etwas photographisch aus. Das zweite und besser dargestellte Gesicht liegt weiter unten und seine Stirn wird von der Nase des oberen, sowie Nase vom Kinn desselben gebildet, das Auge ist durch einen Nebelknoten dargestellt, Haar und Bart sind deutlich zu erkennen. — Die Güte aus denen der Orionnebel besteht, sind Wasserstoff und die unbekannte Materie, welche die H α -Strahlung emittiert. J. 4753 und 5007 liefert, welche die ebenfalls unbekannte Materie, die in dem ultravioletten Lichte der Wellenlänge $\lambda = 3723$ leuchtet und welche liefert die größte Ausdehnung besitzt.

Veränderungen in den Direktoren der Sternwarten. In der Sitzung des Astronomischen Rates, die am 2. Februar stattfand, hat Prof. O. E. Hale den Direktor der Yerkes Sternwarte niedergelegt und die Leitung derselben Sonnenobservatoriums auf dem Mt. Wilson in Kalifornien übernommen. Zum Nachfolger als Leiter der Yerkes Sternwarte ist Prof. F. B. Frost ernannt worden. Dr. Frank Schlegel, der von der Yerkes Sternwarte ist an Stelle von Prof. F. L. O. Wainwright zum Direktor der Allegheny-Observatorium ernannt worden. W. J. Hussey hat die Position des Detroit-Observatoriums der Universität von Michigan übernommen.

Astronomischer Kalender für den Monat Dezember 1908.

Tag des Monats	Sonne			Mond		
	Mittlere Berliner Zeit			Mittlere Berliner Zeit		
	Zeit M. Z. — W. Z.	Rektascension	Declination	Rektascension	Declination	Mond im Meridian
1	— 41 30.0	16 52 39.00	— 41 44 48.4	20 35 47.9	— 41 38 48.0	4 28.6
2	— 40 57.6	16 53 48.10	— 41 44 33.0	21 47 50.00	— 39 52 53.4	9 18.7
3	— 40 14.0	16 54 58.94	— 41 43 44	22 38 57.97	— 38 23.5	9 2.0
4	— 39 30.0	16 56 08.71	— 41 41 33.0	23 34 11.11	— 37 03.4	9 40.7
5	— 38 46.0	16 57 18.94	— 41 39 33.0	24 34 47.98	— 35 41.4	7 58.0
6	— 38 02.0	16 58 29.00	— 41 37 0.0	25 34 58.44	+ 3 41 59.0	9 38.5
7	— 37 18.0	16 59 39.51	— 41 34 37.0	26 35 30.92	+ 5 55 30.5	9 52.4
8	— 36 34.0	16 60 50.00	— 41 31 00.0	27 34 43.00	7 18 0.0	9 39.4
9	— 35 50.0	17 0 0.00	— 41 27 34.0	28 33 4.98	12 33 33.6	10 38.8
10	— 35 6.0	17 0 10.50	— 41 24 0.0	29 32 0.00	18 57 0.0	10 48.0
11	— 34 22.0	17 0 21.00	— 41 20 30.0	30 30 44.98	17 54 59.0	10 54.0
12	— 33 38.0	17 0 31.50	— 41 17 0.0	31 29 19.0	16 8 33.6	9 58.0
13	— 32 54.0	17 0 42.00	— 41 13 47.0	32 28 43.0	15 38 38.4	9 0.0
14	— 32 10.0	17 0 52.50	— 41 10 30.0	33 28 18.0	14 33 39.1	8 0.0
15	— 31 26.0	17 0 63.00	— 41 7 0.0	34 28 0.0	13 45 59.0	9 49.0
16	— 30 42.0	17 0 73.50	— 41 3 30.0	35 27 55.0	12 58 0.0	9 40.0
17	— 30 0.0	17 0 84.00	— 41 0 0.0	36 27 50.0	12 10 34.7	9 39.0
18	— 29 16.0	17 0 94.50	— 40 56 30.0	37 27 45.0	11 23 47.7	9 38.1
19	— 28 32.0	17 0 105.00	— 40 53 0.0	38 27 40.0	+ 9 40.0	9 34.0
20	— 27 48.0	17 0 115.50	— 40 49 30.0	39 27 35.0	+ 8 50 59.0	7 4.0
21	— 27 6.0	17 0 126.00	— 40 46 0.0	40 27 30.0	+ 8 0 0.0	7 57.4
22	— 26 22.0	17 0 136.50	— 40 42 30.0	41 27 25.0	7 10 39.0	6 57.0
23	— 25 38.0	17 0 147.00	— 40 39 0.0	42 27 20.0	6 20 59.0	6 0.0
24	— 24 54.0	17 0 157.50	— 40 35 30.0	43 27 15.0	5 31 0.0	10 47.0
25	— 24 10.0	17 0 168.00	— 40 32 0.0	44 27 10.0	4 41 0.0	16 47.0
26	— 23 26.0	17 0 178.50	— 40 28 30.0	45 27 5.0	3 51 0.0	17.4
27	— 22 42.0	17 0 189.00	— 40 25 0.0	46 27 0.0	3 0 59.0	1 28.0
28	— 21 58.0	17 0 199.50	— 40 21 30.0	47 26 55.0	2 10 0.0	1 13.0
29	— 21 14.0	17 0 210.00	— 40 18 0.0	48 26 50.0	1 19 59.0	0 0.0
30	— 20 30.0	17 0 220.50	— 40 14 30.0	49 26 45.0	12 29 59.0	0 0.0
31	— 19 46.0	17 0 231.00	— 40 11 0.0	50 26 40.0	— 1 40 0.0	1 28.0

Finsternisabrechnungen 1908—

Dezember	Tag	Bezeichnung
1	10	Sonne in Konjunktion mit dem Monde
2	11	Merkur im aufsteigenden Knoten
3	12	Jupiter in Konjunktion mit dem Monde
4	13	4 Teile in Konjunktion mit dem Monde, Bedeckung
5	14	Merkur im Perihel.
6	15	Merkur in erster Konjunktion mit der Sonne
7	16	Merkur in Konjunktion mit Venus, Merkur 2° 30' westl.
8	17	Sonne am Kränzen des Sternhaars, Winteranfang
9	18	Merkur in Konjunktion mit dem Monde
10	19	Merkur in größter westl. scheinbarer Breite
11	20	Venus in Konjunktion mit dem Monde
12	21	Mars in Konjunktion mit der Sonne, Mars 6° 30' westl.
13	22	Uranus in Konjunktion mit der Sonne
14	23	Sonne in Konjunktion mit dem Monde
15	24	Mars in Konjunktion mit dem Monde
16	25	Mars in Konjunktion mit dem Monde
17	26	Neptun in Opposition mit der Sonne

Planeten-Ephemeriden.

Mittlere Berliner Zeit.						Mittlere Berliner Zeit.							
Jahr 1890	Rechnungen			Declination			Jahr 1890	Rechnungen			Declination		
	h	m	s	+	-	h		m	s	+	-	h	m
Mercur.						Saturn.							
Dec. 1	24	0	42 00	—	25 17 28 4	0 39	4	33	0	24 10	—	25 17 28 4	0 39
7	24	5	47 34	—	24 14 3 4	0 3	10	33	0	40 03	—	24 14 3 4	0 3
14	25	10	53 33	—	23 39 48 4	0 30	20	33	0	54 34	—	23 39 48 4	0 30
22	25	19	59 59	—	23 14 42 8	0 45							
30	25	3	48 50	—	22 44 50 9	0 50							
37	25	10	50 11	—	22 46 50 3	0 50							
Venus.						Uranus.							
Dec. 1	15	17	35 37	—	17 4 50 5	0 30	4	35	10	10 10	—	17 4 50 5	0 30
7	15	40	40 34	—	16 44 20 4	0 40	10	35	10	24 05	—	16 44 20 4	0 40
14	16	19	43 44	—	15 14 3 7	0 40							
22	16	37	4 47	—	14 37 13 4	0 45							
30	17	3	54 54	—	13 55 50 5	0 50							
37	17	16	7 40	—	13 5 40 5	0 50							
Mars.						Neptun.							
Dec. 1	10	14	43 43	—	11 45 33 4	0 30	5	41	10 10	—	11 45 33 4	0 30	
7	10	19	5 40	—	11 44 54 7	0 30	10	40	43 50	—	11 44 54 7	0 30	
14	11	24	7 41	—	10 59 54 0	0 30	20	40	57 54	—	10 59 54 0	0 30	
22	11	40	7 34	—	10 10 25 4	0 30							
30	11	46	37 43	—	10 13 50 7	0 34							
37	12	0	34 51	—	10 29 4 4	0 40							
Jupiter.						Mondphasen.							
Dec. 1	0	14	10 10	+	11 0 10 0	0 30	h. m.						
8	0	48	10 13	+	10 58 10 0	0 30	Dec. 1	0	1	42 0	Erstes Viertel.		
15	0	43	12 00	+	10 45 10 0	0 30	11	10	44 0	Vollmond.			
							18	1	47 0	Letztes Viertel.			
							25	20	47 0	Neumond.			
							27	14	—	Mond in Erdkegel.			
							30	18	—	Mond in Erdkegel.			

Sonnenebedeckungen durch den Mond für Berlin 1905

Ansetzung	Name	Größe	Einst.		Austr.	
			h	m	h	m
Dec. 4	ε Cass.	4.0	0	20 0	1	52 0
5	γ Taur.	4.0	0	21 1	2	58 0
26	γ Taur.	4.0	0	22 1	2	20 0
26	Antares	4.0	17	49 0	18	20 0
28	α Taur.	1.0	14	24 0	16	42 0

Lage und Größe des Sonnenstrahes und im Monat December 1905 nicht zu bedecken.

Dec. 6.	Mittlere Scheit der Elipse	10° 25' 34"
	Excentricität	10° 10' 17 40"
	Halbmesser der Sonne	16' 18 10"
	Parallaxe	950"

Stellungen der Jupitermonde im December 1908.

I.



III.



II.



IV.

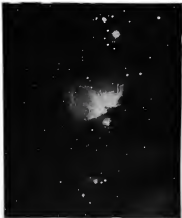
Kreis
dieses



Veränderung
Mondes.

Stellungen am 21^{te} für den Anblick im astronomischen Fernrohr.

Tag	West		Öst
1		Ö I	I-
2		I- I- Ö I	I
3	I-	Ö	I- I- I-
4	I-	I- Ö	I
5		I- I- Ö	I I-
6		I- Ö	I- I-
7		Ö I I-	I I-
8		I- I- Ö	I I-
9	Ö I-	I- Ö I-	I I-
10		I- I- Ö I-	I-
11	I- I-	I- Ö	I-
12	I-	I- I- Ö	I-
13	I-	I- Ö	I-
14	I-	I- I- Ö	I-
15	I-	I- I- Ö	I-
16	I-	I- I- Ö	I-
17	I-	I- I- Ö	I-
18	I-	I- I- Ö	I-
19	I-	I- I- Ö	I-
20	I-	I- I- Ö	I-
21	I-	I- I- Ö	I-
22	I-	I- I- Ö	I-
23	I-	I- I- Ö	I-
24	I-	I- I- Ö	I-
25	I-	I- I- Ö	I-
26	I-	I- I- Ö	I-
27	I-	I- I- Ö	I-
28	I-	I- I- Ö	I-
29	I-	I- I- Ö	I-
30	I-	I- I- Ö	I-



(Seite 185)

Der Orionstern.

Tafel 34

Monochromatische Photographie mit Licht der Wellenlänge 3827
von Prof. Dr. J. Hartmann.

SIRIUS.

Zeitschrift für populäre Astronomie.

Centralorgan für alle Freunde und Förderer der Himmelskunde.

Herausgegeben

unter Mitwirkung hervorragender Fachmänner und wissenschaftlicher Schriftsteller

von Prof. Dr. Hermann A. Klotz in Köln.

November 1965.

Wissen und Erleben und die Freude an der
Erforschung der Kosmos. — Kosmos.

Jeden Monat 1 Heft. — Jährlich 12 Mk.

Verlag von EDUARD HEINRICH WAYER in Leipzig.

DEBELT) Wahrscheinliche periodische Veränderungen der Gestalt der Sonne. S. 241. — Vorläufige Ergebnisse der Beobachtungen gegenüber der letzten Sonnenform am 20. Juni. S. 244. — Eine neue Gruppe der Sonnenflecken in den Spalten der Sonne. S. 245. — Eine spektroskopische Untersuchung der Sonnenatmosphäre. S. 249. — Mathematische Modelle der Sonne in der Mitte des Jähres. S. 258. — Das Meteor vom 2. August 1964. S. 261. — Der neue Stern im Lili. S. 273. — Wie ein planetarischer Nebel in Galien. S. 285. — Von W. Hulse, Cambridge. S. 286. — Der größte Refraktor der Weltzeit mit seiner neuen Beobachtung. (Hans J. J. S. S. 294. — Über das Meteor vom 2. August 1964. S. 295. — Variablen. S. 296. — Sonnenflecken. S. 297. — Sonnenflecken. S. 298. — Sonnenflecken. S. 299. — Sonnenflecken. S. 300. — Sonnenflecken. S. 301. — Sonnenflecken. S. 302. — Sonnenflecken. S. 303. — Sonnenflecken. S. 304.

Wahrscheinliche periodische Veränderungen der Gestalt der Sonne.

Die Gestalt des Sonnenscheibens wird bei allen astronomischen Untersuchungen als vollkommen kugelförmig angenommen, und die bisherigen Untersuchungen zeigten sich in der Tat dabei, daß eine merkliche Abweichung von der runden Kugelform aus den Beobachtungen nicht hervorgeht. Andererseits sind die Bestimmungen des Sonnendurchmessers durch Messungen hauptsächlich so übereinstimmend, als man von normalem Messen und Überhaupt erwarten dürfte. Nicht man von den Messen und weniger genauen Messungen folgt ab, so schwanken die meisten Bestimmungen des Sonnendurchmessers selbst in den besten Mittelwerten um mehr als 2%. Es ist daher begründlich,

daß bei einer solchen Lage der Sache Untersuchungen über Veränderungen der Gestalt und Größe des Sonnenscheibens völlig ausscheidend sein können. Denn solche Größenveränderungen, wenn sie ständend, können wohl kaum von der Erde aus gesehen der Welt vom ein paar Sekunden ausreichen, wenn man nicht Vorhersagen auf oder in der Sonne voraussetzt, die weit über den Rahmen der menschlichen schon geringsten Bewegungen auf dem Sonnenscheibens hinausgehen. Es scheint man, als wenn die photographischen Aufnahmen der Sonnenscheibe Messungen ihres Durchmessers von weit größerer Genauigkeit gestatten als auf andere Wege erreichbar ist. Wenigstens ist das die Er-

gebnis, welches aus einer Untersuchung von Charles Lane Poor hervorgeht. Derselbe hat seine Arbeit zunächst auf eine Reihe von Sonnenphotographien gestützt, welche Lewis N. Rutherford in den Jahren 1860 bis 1874 aufgenommen und die er in einer Anzahl von 136 Stück der Sternwarte der Columbia-Universität geschenkt hat. Lane Poor hat seinen Untersuchungen diese Aufnahmen in zwei Gruppen geteilt, von denen eine die Zeit 1860 bis 1866, die andere die Jahre 1870 bis 1874 umfaßt. Die Platten der ersten Gruppe wurden mit einem kleinen Objektiv erhalten, die der zweiten dagegen mit dem 13zölligen photographischen Objektiv, welches Rutherford 1866 schenkte. Die letzteren Platten waren außerdem optische Photographien der Sonne ohne Gegenstrahlungsfilter über die Lage der Mitellinie eingezeichnet, um 1870 begann Rutherford dagegen auf den Platten Gegenstrahlungsfilter anzuwenden, doch fehlten auch diese wieder noch etwa auf der Hälfte derselben. Von 61 im Jahre 1870 erhaltenen Platten konnten deshalb nur 4 für die Zwecke der Untersuchung benutzbar werden, aus dem Jahre 1871 nur 7, aus 1873 nur 10, aus 1874 nur 1, die aber sonst zu schlecht war um mitbenutzt zu werden. Die Platten wurden mit größter Sorgfalt mit Hilfe einer Reparatürkollimatormaschine ausgemessen, indem auf jeder derselben 28 Punkte des Sonnenrandes gemessen wurden, nämlich je 7 an oder in der Nähe jedes Pols und 7 um oder in der Nähe des letzten Punktes des Sonnenquadranten. Bei diesen Messungen und Berechnungen wurden alle Vorwärtswinkel beachtet und auch der Unsymmetrie der Refraktion für die höheren und letzten Punkte des Sonnenrandes ganz berücksichtigt. Auf diese Weise ergab jede Platte 28 Werte für den Sonnenradius, von denen der mittlere

Hälfte den Mittelwert für den polaren, die andere für den äquatorialen Radius lieferte.

Es ergab sich auf diese Weise, daß die verschiedenen Platten jedes Jahres Werte ergaben, die untereinander vielfach übereinstimmen, während die Ergebnisse der verschiedenen Jahre nicht miteinander übereinstimmen. Die Platten des Jahres 1871 zeigten, daß damals der äquatoriale Radius der Sonne den polaren um etwa 0.30% übertraf, während diejenigen aus den Jahren 1870 und 1873 ergaben, daß der polare Halbmesser der Sonne um 0.2% größer war als der äquatoriale. Während der Zeit von 1871 bis 1873 nahm der Polardurchmesser im Vergleich zum äquatorialen relativ zu und war 1872 entschieden der größere. Zur Erklärung dieses Umstandes können verschiedene oder sonstige zufällige Einflüsse nicht herangezogen werden, vielmehr sieht Lane Poor das geschehene Ergebnis als tatsächlich an und zieht den Schluß, daß in den Jahren 1870 bis 1872 der Äquatorialdurchmesser der Sonne zu- und wieder abnahm im Verhältnis zum Polardurchmesser. Veranlaßt durch die Vorausschläge 1874 und 1882 haben die in den damaligen Expeditionen bestimmten deutschen Astronomen eine große Anzahl heliographischer Messungen des Sonnendurchmessers ausgeführt im ganzen und damals von 21 Beobachtern 260 einzelne Messungen des Sonnendurchmessers an den für die Expeditionen bestimmten fünf Heliostern gemacht worden. Die Auswert hat später diese Messungen sorgfältig diskutiert und daraus als Mittelwert für den Sonnendurchmesser in der mittleren Entfernung von der Erde gefunden 31' 59.35" mit einem wahrscheinlichen Fehler von ± 0.10 ". Der Wert für den Polardurchmesser übersteigt den für den Sonnenäquator um 0.03%, ein sehr geringer, kaum zu verlässender Betrag, den Auswert auf geringe Beobachtungsfehler zurückführt. Hiernach ist der

^{1) Astrophysical Journal 1908, LXII, Nr. 2, p. 155}

Sonnenscheibengrößenausnahmen und dessen Schluss stimmt auch Newcomb zu. Dr. Lane Poor hat aus die von Prof. Auerer beobachteten Messungen des Sonnendurchmessers nicht wie diese zu einem allgemeinen Mittelwert zusammengezogen, sondern nach der Zeitfolge geordnet. Er teilt die ganze Menge dieser Messungen in zwei Gruppen — die erste vom September 1873 bis zum Januar 1875, die andere vom Mai 1880 bis zum Juni 1883. Die ganze Untersuchung ergab nun eine ständige Zunahme des Polardurchmessers im Verhältnis zum Äquatoraldurchmesser in ähnlicher Weise und Größe wie bei den Rutherford'schen Aufnahmen 1871 bis 1872. Die zweite Reihe, die Jahre 1883 bis 1885 umfaßt, ergab das umgekehrte Verhältnis: der Äquatoraldurchmesser wird zunehmend größer im Verhältnis zum Polardurchmesser.

Dr. Lane Poor war in der Lage nach einer Anzahl Sonnenaufnahmen zu untersuchen, die in den Jahren 1890 und 1894 von Dr. H. C. Wilson auf dem Northfield-Observatorium (Mass.) erhalten worden. Die Zahl dieser Platten ist nicht groß, allein die daraus doch auf eine zunehmende Verkleinerung des Äquatoraldurchmessers im Verhältnis zum Polardurchmesser hin.

Dr. Lane Poor stellt aus das Verhältnis der beiden Sonnendurchmesser mit der Fleckenhäufigkeit der Sonnenscheibfläche zusammen. Das Maximum der Flecke trat in dem letzten Teile von 1850 ein, dann nahm die Fleckenzahl ab bis 1876. In den Jahren 1876 bis 1881 ergab die Rutherford'schen Aufnahmen, daß der Äquatoraldurchmesser der Sonne zunahm, aber von da bis 1878 trat nach diesen Aufnahmen und ebenso nach den Polardurchmessungen, ein Zusammenwachsen des Äquatoraldurchmessers im Verhältnis zum Polardurchmesser ein. Von 1880 bis 1883

nahm die Anzahl der Sonnensflecken wieder zu und während dieser Zeit nahm auch der Äquatoraldurchmesser wieder zu im Verhältnis zum Polardurchmesser. Indessen war das Fleckenmaximum 1883 kaum halb so groß als jenes von 1850 und man konnte erwarten, daß jetzt auch die Änderungen im Sonnendurchmesser weniger beträchtlich seien als damals. Dies wird durch die Beobachtungen durchaus bestätigt. Ein drittes Maximum der Sonnensflecke trat Ende 1883 ein und während des Jahres 1884 nahm die Zahl der Flecke wieder recht ab. Die Northfield-Platten zeigen, daß während dieser Periode der Äquatorale Durchmesser der Sonne im Verhältnis zum polaren ebenfalls abnahm.

Aus diesen Tatsachen schließt Dr. Lane Poor, daß das Verhältnis des polaren zum Äquatorialen Radius der Sonne veränderlich ist und zwar in einer Periode die mit der Periode der Sonnensflecke übereinstimmt. „Die Sonne“, sagt er, „besteht aus einem riesigen Kugel zu sein, deren Äquatorialer Durchmesser im allgemeinen das polare um ein geringes übertrifft, so Zeiten dagegen verläuft sich dieses Verhältnis so, daß der polare Durchmesser größer wird als der Äquatorale.“

Schließlich bemerkt Dr. Lane Poor, daß in dieser veränderlichen Gestalt der Sonne möglicherweise die Ursache der in den Bewegungen des Merkur, des Venus und der Mars vorhandenen und bei jeder merklichen Annäherung zu finden ist. Darüber dürfen sich jene periodischen Vorsetzungen der Sonnenkugel aber auch in der Intensität der Sonnenstrahlung wiederergeben, also in meteorologischen Erscheinungen. Wünschenswert ist die Veranlassung der Sonnenkugel die polare und die Zunahme der Flecke die von ihr abhängige sekundäre Erscheinung.

Vorläufige Ergebnisse der Beobachtungen gelegentlich der totalen Sonnenfinsternis am 30. August.

Eben den zur Beobachtung der totalen Sonnenfinsternis (am 30. August) bekannten wissenschaftlichen Expeditionen liegen zur Zeit erst ähner, vorläufige Berichte über die Ergebnisse vor. Aus diesen ist ersichtlich, daß die meisten Beobachter vom Wetter begünstigt waren und man daher auf eine gute, wissenschaftliche Ausbeute hoffen darf. Folgende kurze Übersicht zeigt aus der Zone der Totalität vor:

Beobachtungen in Spanien: Burgos. Trotz der Wolken wurden gute Aufnahmen erhalten. Die Korona wurde auch spektroskopisch erfolgreich untersucht. Zu Soria, wo die Astronomen der Sternwarte von San Fernando stationiert waren, konnten gute Beobachtungen erhalten werden. Man sah mit bloßem Auge den Marsen Venus. Zu Alhama, wo die Beobachter der Letsternwarte weilten, war das Wetter ziemlich ungünstig. Die drei verschiedenen Stationen von Madrid aus topographisch unterschieden Zeiten des Anfangs der Finsternis, waren nämlich ziemlich verschieden (infolge Neigung der Teleskopbarren).

Algerien. Aus Oran berichtet Prof. Tropic vom Observatorium in Algeri. Die Beobachtungen waren vom Wetter vorzüglich begünstigt. Sobald die Sonnenhitze schwach wurde, sah man Merkur, Neptun und Venus am dunklen Himmel aufstrahlen. Die Korona der Sonne war sehr hell. Sie zeigte im Ganzen die charakteristischen Eigenschaften, die man gemäß der 60-jährigen Periode erwarten konnte: d. h. die Korona war keine sehr große, aber war gleichmäßig um die Sonne verteilt. Leichtschwebende Wasserstoff-Probieren wurden am Sonnenrand zu Beginn und am Ende der Totalität gesehen. Die algerische Expedition machte 31 Photographien vor, während und nach der Totalität.

Das Spektrum der Korona wurde photographiert. Die Temperatur lag um 9°C . (von 22° auf 20°). Der Wind war sehr stark. Der sogenannte Finsternisaufbruch war bei Beginn der Totalität. Zu gleicher Zeit waren wir auf dem Boden auch bewegende Schattenstreifen, ein Phänomen, das noch nicht erklärt worden ist. Da das Wetter günstig war, wurden die Photographieren vorzüglich aus. Die astronomische Expedition, die besondere photographische Apparate zur Verfügung hatte, erhielt große Photographien und machte auch einen besonderen Vorfall von Aufnahmen von Probieren am Ende der Totalität. Die Expedition machte zahlreiche ausgezeichnete Beobachtungen an Alle Beobachter sind sehr zufrieden und erwarten große Resultate.

Beobachtungen in Sizilien. Während des ersten Teils der Sonnenfinsternis sahen keine Wolken über die Sonne, aber die eigentliche Totalität wurde durch Wolken nicht gestört. Die Engländer brachen inoffiziell geschickte aus, als die Sonne wieder aufhörte. Alle in Sizilien beobachtenden Astronomen waren befriedigt von den günstigen Verhältnissen, unter denen sie hatten arbeiten können. Die Engländer widerten ihre Aufmerksamkeit hauptsächlich dem unteren (der Sonnenoberfläche nächsten) Teil der Korona. Die italienischen Beobachtungen sich hauptsächlich mit dem Studium des Spektrums. Der Abbe Morax vom Observatorium in Turin bestund lediglich die Ausdehnung der Korona. Die Temperatur sank während der vollständigen Verfinsternis auf 27°C . Viele der Engländer wurden durch die Finsternis, obwohl sie vorher von dem kommenden Ereignis unterrichtet worden waren, in Furcht versetzt und flohen. Als über Kap an der europäischen Stadt auch den arabischen Vandalen, wo zahlreiche Weiber mit alten mög-

lichen Gegenständen einen heftigen Skandal machen, um die beim Gesteir zu verordnen. Die Menschen waren gefüllt mit heftigen Mohnmedikamenten.

Trip-pa-lis. An den Beobachtungen bei Trip-pa-lis nahmen 3 verschiedene Expeditionen teil, eine amerikanische, eine deutsche und eine französische. Die Führer dieser Gruppen waren David Todd vom Auburn College, Professor Mitternich von Bonn und Monsieur Léveillé (P) aus Paris. Die totale Verfinstörung wurde bei klarer Atmosphäre beobachtet. Sie dauerte 3 Minuten 4 Sekunden. Die Schattenländer auf dem Erdboden waren besonders deutlich, die begannen zehn Minuten vor der Totalität. Die Korona war gleichzeitig ebenfalls über lange Strahlen. Professor Todd machte eine große Anzahl von Photographien vermittelst seines automatischen Apparates zum Photographieren der Korona.

Egypten. Am Azous wird gemeldet, daß die Beobachtung der Sonnen-Ränder bei hearem Winter stattfand. Die Korona war von mäßiger Größe. Die Totalität dauerte 2 Minuten 24 Sekunden. Der Haupt Strahl der Korona wurde in südöstlicher Richtung geschoben. Er hatte die Länge von etwa 1 1/2 Sonnenradien aus.

Zahlreiche Schätzungen von Privatpersonen und Amateuren, welche in der Zone der Totalität oder in der Nähe desselben gemacht waren, sind in den Zeitungen und den Unterhaltungsblättern enthalten. Der wissenschaftliche Wert derselben ist ziemlich gering. Man wird die öffentlichen Berichte der Fachexpeditionen abwarten müssen um sichere Resultate zu erhalten. Sowie steht aber auch bereits jetzt schon fest, daß besonders überraschende Erscheinungen sich bei dieser Finsternis nicht gezeigt haben.

Eine neue Deutung der Dispersionsstreifen in den Spektren der Sterne.

Es ist nicht weit her, das aus heftigen Linien oder breiten Strahlen (Banden) bestehende Spektrum mit dem Namen Emissionenspektrum zu bezeichnen, während das kontinuierliche Fraunhofer-Spektrum, das von dunklen Linien und dunklen Streifen durchsetzt ist, Absorptionsspektrum genannt wird. Prof. W. H. Jones hat aber bereits vor einigen Jahren bewiesen, daß in einem Spektrum sowohl breite als dunkle Streifen auch aus einer ganz andern Ursache, nämlich durch anomale Dispersion der Lichtstrahlen hervorgehen können können, d. h. dadurch, daß gewisse Strahlensorten viel weiter als die übrigen von dem gesunden Wege abgelenkt werden. Das geschieht aber, wenn die Strahlen auf ihrem Wege Materie durchdringen, in denen die Materie ungleichmäßig dicht oder aber veränderlich zusammengepresst ist. Wie die Sonnen-

phänomene als Folgen solcher anomalen Dispersion des Lichtes erklärt werden können, hat Prof. Jones vor fünf Jahren gezeigt¹⁾. Er unterscheidet dabei neben den Emissions- und Absorptionslinien des Spektrums noch eine dritte Gruppe, welche er Dispersionenlinien nennt. Im Entstehen hat Prof. Jones für die Nahtlinie experimentell nachgewiesen. In neuerer Zeit haben Untersuchungen von Short, Wood, Lemmer u. Fritzsche und Paschen gezeigt, daß die Fraunhofer, anomale Dispersion hervorgerufen, allen Metall-Linien und auch andern absorbierenden Gases zukommt.

Eine Verhinderung von Emissions- und Absorptionen erfolgt nicht dem Eingefalle der Untersuchungen von

¹⁾ Vgl. Series 1902, S. 28 ff., inner Series 1903, S. 10 ff.

Haupttypen und Minder unter dem Einfluß hoher Drücke. Verdopplung und Verwischung von Spektrallinien wird, wie Zerkow erwähnt hat, beobachtet, wenn der strahlende oder absorbierende Stoff sich in einem Magnetfeld befindet. In beiden Fällen verändert sich der Schwingungspunkt der Elektronen. Die oben erwähnten Versuche beweisen, daß die Spektrallinien ähnliche Erscheinungen aufweisen können, infolge von Veränderlichkeit der Dispersionsbanden, welche man mit Unrecht als Einatom oder Absorptionsspektren anzusehen hat. Da absorbierende Stoffmassen wohl niemals vollkommen homogen sind, müssen die Dispersionsbanden ein- oder mehr oder weniger wichtige Rolle bei der Bildung jeder Spektralausschüttung spielen. Viele Erscheinungen, die man im dem Spektrum des Lichtbogens und am Fraunhofer bei starker Dampfentwicklung beobachtet hat, lassen sich von diesem Standpunkte aus empfindlicher erklären.

Prof. Julius behandelt ferner die Frage, welche Rolle die erwähnten Dispersionsbanden nicht nur im Spektrum der verschiedenen Teile der Sonnenoberfläche sondern auch in dem Spektrum verschiedener Fixstern spielen.¹⁾

„Viele handeln Sonne, sagt er, vertragen eine Veränderlichkeit ihrer Helligkeit. Beachtet man nicht nur die gesamte Lichtstärke der Himmelskörper, sondern auch die Verteilung des Lichtes in ihren Spektren, so findet man, daß die Anzahl Sterne, deren Strahlung nicht konstant ist, noch sehr vielmal größer ist, so daß (nach Campbell und Hale) bei fast dem sechsten Teil der Gesamtzahl der beobachteten Sterne bereits eine Veränderlichkeit des ausgesandten Lichtes nachgewiesen ist. Auch die Sonne ist ein veränderlicher Stern. Man bemerkt nicht nur das und wann Veränderungen in ihrem Spektrum (Hale,

1866), sondern es scheint nach den Ergebnissen einer kürzlich von Langley veröffentlichten Untersuchung²⁾ auch die gesamte Sonnenstrahlung, gemessen durch die sogenannte „Sonnenkonstante“, unregelmäßige Schwankungen von reichlich 10% anzuweisen. Es ist von Unter „Sonnenkonstante“ versteht man die Anzahl Kalorien, die pro Quadratmeter und pro Minute in der Grenz unserer Atmosphäre von der Sonne bei ununterbrochener Bestrahlung an einen vollkommen schwarzen Körper abgegeben werden würden. Man findet diese Zahl, indem man die beobachtete Sonnenstrahlung um die atmosphärische Absorption korrigiert. Wenn langwierige Untersuchungen die Richtigkeit dieses merkwürdigen Ergebnisses bestätigen, so würden wir es mit einer höchst interessanten Entdeckung zu tun haben, die u. a. mit dem häufig unregelmäßigen Gang meteorologischer Erscheinungen einen Licht werden könnte. Allerdings würden durch die selbe Entdeckung die postulierten Eigenschaften der Sonne wiederum eine nicht antwortende Vermutung erfahren, falls man die so schnell verlaufenden starken Variationen der Sonnenkonstante entsprechenden Veränderungen der Strahlungsvermögen der Photosphäre oder des Absorptionsvermögens der Erdatmosphäre zu schreiben wollte. In diesem bewahren wir die Ursache nicht in einer Veränderlichkeit der Sonne selbst zu suchen.

Mit Sicherheit können wir vielmehr sagen, daß Unregelmäßigkeiten in der Dichte der äußeren Teile der Sonnenkorona bestehen, und daß daher ein ungleichmäßiges Strahlungsfeld bei der Auflebenszeit der Sonne über die Erde herrscht. Wir haben daher Anlaß zur Aufstellung der Hypothese, daß die Veränderlichkeit der Strahlung der Sonne und ebenso die vielen Fixstern, zum bei weitem größten Teil die Folge von Ungleichmäßigkeiten der

¹⁾ Vgl. Abh. von Untersuchungen in Astronomie 1904, VII, 134, 136. Phys. Zeit. 1905, 6. Jahrg., S. 220 f.

²⁾ Phil. Mag. 54, Bd. 4, S. 78, 1904.

Strahlungsfeld ist, und daher erfüllt werden muß, ohne anzunehmen, daß die Himmelskörper selbst ein so stark wechselndes Strahlungsvermögen besitzen, oder daß ihr Licht überaus durch dazwischen liegenden Stoff verdunkelt werde.

«Wenden wir uns,» führt Prof. Julius Korti, «der Sonne zu, so ist es sicherlich nicht zu gewagt, die Hypothese aufzustellen, daß sich Sterne aus Strahler bestehen, welche der der Sonne ähnlich. Große Lichtschlacke müssen ja wohl in der Ausdehnung ihrer Gasebenen und im Grad der Verdichtung bestehen, ebenso in ihrer kritischen Temperatur und weilsicht auch im Verhältnis, in dem die verschiedenen Elemente in den Gasen verteilt sind, aber wir sehen sie alle als selbständige Classen an, welche Licht mit einem kontinuierlichen Spektrum aussenden, in dem nur seltene wirkliche Absorptionen vorkommen. Die Vorhersagen und Ueberführungen, die dunkeln und hellen Banden, welche außerdem anzuweisen sind und die in Spektra veränderlicher Sterne häufig schnell sowohl der äußeren wie ihrer Stellung wechseln, sind nach dieser Auffassung nicht der Absorption oder unvollständigen Emission, sondern anomaler Dispersion zuzuschreiben.

Da der Helligkeit eines Sternes eine sehr Arhet droht sich nach dem Strahlungsfeld mit. Das Ungleichmäßigkeit der Stoffverteilung im System seiner Diskontinuitäten, Wags davor die von reichlichen Lichtstrahlen ihren Weg genommen haben, verraten sich im Spektrum des Sternes durch die wechselnde Intensität des Lichtes in der Nähe der wirklichen Absorptionen.

Die Literatur über Sternspektren scheint nicht nur an Umfang, sondern wegen der Verbesserung der Hilfsmittel auch an Bedeutung schnell zu. An Material zur Prüfung unserer Hypothese fehlt es daher nicht. Bei der Durchsicht desselben gelangte ich zu der Überzeugung, daß das ungleichmäßige Strahlungsfeld in dem ersten Falle,

in dem die Anwendung des Doppelstrahles Methode zu sehr unbefriedigenden Ergebnissen führt, eine Aufklärung liefern kann.

Als Beispiele mögen die Sterne α Centauri, β Cygni, β Orionis und einige andere genannt werden, die nach Foucault und Adams*) sich alle in Nebelwolken befinden und deren «Gleichmässigkeit» in der Gasverteilung nicht den sonstigen periodischen Veränderungen von 70, 90, 140 der pro Sekunde erhalten würden, diese unserer physikalischen Begriffe hinsichtlich Widerstand ständiger Mittel. Ferner kommt das Verhalten der spektroskopischen Doppelsterne α Persei, β Aurigae, ϵ Ursae Majoris*) in Betracht, in denen Spektra sich der Linie periodisch verlagern oder verschieben, bei denen aber die Komponenten in so regelmäßiger Weise der Äußerer und innerer Stellung wechseln, daß keinerlei Bewegungen in der Gasverteilung, die von den komplizierten Erscheinungen Rechenschaft abgeben könnten, denkbar sind.

Nicht weniger räthselhaft bleiben noch immer die Erscheinungen im Spektrum und der Helligkeitsveränderungen der variablen Sterne von langer Periode, wie α B. Mira Ceti, und der neuen Sterne (Nova Aurigae, Nova Persei, Nova Geminae) m. w. g., wo häufig man sich auch die Ausbrüche und Zusammenstöße vorstellen möchte, die sich stehenden Himmelskörpern abspielen sollten.

Die Lösung dieser Probleme wird sehr vereinfacht, wenn man hierbei den Begriff des ungleichmäßigen Strahlungsfeldes benutzt.

Mit einem einzigen weiter angeführten Beispiele will ich den zum Schluß noch erläutern.

*) Astrophysical Journal, Bd. 18, S. 334.

*) Vogel, Abhandlungen d. Kgl. Preuss. Akad. d. W., Bd. 13, S. 1179; Bd. 14, S. 497.

*) Auch in die häufigste Gruppe der neuen Sterne einschließend hat Korti für den Grundtypus diese Spektra eine auf anomale Dispersion gegründete Erklärung gegeben. Astron. Nachr., Nr. 3035.

Dieses Beispiel betrifft eine merkwürdige Entdeckung, die J. Hartmann¹⁾ im Spätherbst von δ Orion gemacht hat. Bei diesem Stern hatte Deslandres im Jahre 1803 schlechte Vorstellungen der Lage der Spektrallinien beobachtet und daraus geschlossen, daß man es mit einem Doppelstern zu tun habe, dessen Umlaufzeit 180 Tage betrage. Die Beobachtungen von Hartmann stimmten mit dieser Periode nicht, deswegen untersog Hartmann den Stern zwischen Januar 1901 und März 1903 einer systematischen spektroskopischen Untersuchung und stieß auf eine Reihe von 42 Aufnahmen folgenden:

Das Spektrum enthält hauptsächlich Linien von Wasserstoff und Helium, sowie auch einige von Sauer, Magnesium und Kalium. Die Kaliumlinie λ 3934 (entsprechend der Linie K des Sonnenpektrums) ist sehr schwach oberhalb, die übrigen Linien (zwei weniger) sind schwächer und meist auch schwach asymmetrisch oder sogar verdoppelt zu sein. Bei den Messungen wurde sehr zu verschiebung vorzüglich auf die dunkelsten Teile der unverschobenen Linien eingegangen und gefunden, daß diese sich wirklich periodisch verschieben; aber wegen der asymmetrischen Aussehen vieler Linien konnte man keine Sicherheit darüber erhalten, daß die Verschiebung für alle Linien auf einer und derselben Teil nach dem passenden Wert besaß. Aus den durchschnittlichen Verschiebungen berechnete man dann die wechselnde Geschwindigkeit in der Geschwindigkeit und heraus die Elemente der Bahn des Doppelsternes.

Die räumlicher Umstand, den die Messungen an den Tag brachten, war nur der, daß die einzige Linie, und zwar die linke, schwache Kaliumlinie λ 3934 nicht an den periodischen Verschiebungen teilnahm, sondern sich drei und dieselbe Verschiebung zeigte,

die einer konstanten Geschwindigkeit von $+16$ km pro Sekunde in der Geschwindigkeit (auf der Sonne reduziert) entsprach.

Hartmann warf den Gedanken, daß diese Linie auf Rechnung von Absorption in der Erdatmosphäre kommt, und auch den, daß die dem zweiten Stern des Systems zugehörigen sei. Als einziges Mittel, um zu einer Erklärung zu gelangen, wies er auf das Vorhandensein einer Welle von Kaliumdampf in irgend einer Stelle des Raumes in der Linie an, die nur mit δ Orion verbunden. Die Welle würde sich dann von der Sonne mit einer Geschwindigkeit von 16 km pro Sekunde entfernen. Bei beobachteten Sternen hat sich aber ein Einfluß dieser Welle nicht feststellen lassen. Huggins hat das Spektrum von Nova Persei im Jahre 1901 genau dieselbe Erscheinung dar, die Linien des Wasserstoff und anderer Elemente waren außerordentlich stark verbreitert und verschoben und lieferten fast dieselbe (in Aussehen), aber während dessen Stücken die Kaliumlinien λ 3934 und λ 3968 und auch die D-Linien sehr wellenförmig waren und verschoben ihre Lage nahen, die wiesen nur auf eine konstante Geschwindigkeit von $+7$ km pro Sekunde. Auch auf der Geschwindigkeit von Nova Persei muß sich daher Hartmann zufolge eine Welle von Kaliumdampf, der hier mit Natriumdampf vermischt sein würde, befinden haben.

Man wird zugeben müssen, daß diese hypothetischen Wellen keinen befriedigenden Eindruck machen.

Wenn wir den Fall vom Standpunkte des ungeschicklichen Strahlungslehres aus betrachten, so bildet sich unmittelbar eine ungewollte Erklärung. Wir könnten vor unsnehmen, daß in den äußeren Teilen von δ Orion und von Nova Persei viel Wasserstoff und Helium und wenig Kalium und Natrium vorhanden ist. Die Strahlungen und Wirbel in der Gegend, die ebenso wie bei der Sonne die Ungleichmäßig-

¹⁾ J. Hartmann, *Sitzungsber. d. Kgl. Preuss. Acad. d. W.*, Bd. 13, S. 507, 1904.

liegen im Strahlenfeld anzugetrieben, verursachen dann in der Umgebung der Wasserstoff- und Natriumlinien sehr breite Dispersionen, besonders solche Triple sehr periodisch hin- und herbewegen, wenn bei der Adsorption des Sterns Gasmassen von wechselnder Dichteverteilung längs unserer Gesichtslinie vorüberziehen. Die Dispersionen hängen von Kalorien und Natrium und hängen (da diese Gase sich in sehr verdünntem Zustande befinden) so schnell, daß ihre Lage von denen der dazu gehörenden Absorptionen nicht so unterschieden ist. Die konstant bleibende Verschiebung dieser Linien beweist, daß δ Orionis sich mit einer Geschwindigkeit von 16 km und Mars Perseus mit einer Geschwin-

digkeit von 7 km von der Sonne entfernt.

Nach unserer Auffassung besteht δ Orionis also aus spektroskopischer Doppelstern zu sein.

Es gibt viele Sterne, in deren Spektrum man periodische Verschiebungen und Verdröppelungen nur bei unruhigen Linien beobachten hat, in allen diesen Fällen ist es sehr wahrscheinlich, daß dasselbe, dessen Verschiebung man beobachten hat, Dispersionen und nicht Absorptionen oder Emissionen waren. Zur Annahme einer veränderlichen Geschwindigkeit in der Geschwindigkeit fehlt dann jeder Grund, und man kann solche Objekte aus der Liste der spektroskopischen Doppelsterne streichen.

Eine spektrographische Untersuchung der Marsatmosphäre.

Auf dem Lowell-Observatorium bei V M Slipher eine solche ausgeführt, nach einer von P. Lowell angegebenen Methode¹⁾. Dasselbe bestand darin, die Wasserdampflinien im Spektrum der Erdatmosphäre mit den Linien an den nämlichen Stellen des Marspektrums zu vergleichen. Wenn diese Linien im letzten dem Wasserdampf der Marsatmosphäre angehören, müssen sie infolge der Umlaufbewegung des Mars und seiner Rotation, genau die nämlichen Linien etwas verschoben sein, besonders kurz vor der Opposition des Planeten. Ob diese Verschiebung deutlich in den spektrophotographischen Aufnahmen erkennbar sein würde, muß sich erst aus den Versuchen ergeben. Solche sind von Slipher während der Marsopposition von 1902 bis 1903 ohne Erfolg, dann mit besser geeigneten Platten in den Monaten Januar, Februar und März 1908 angestellt worden. Das Maximum der relativen Bewegung des Mars gegen die Erde betrug im letzten

Fälle 18,7 km pro Sekunde und diesem entspricht auf den Platten eine Verschiebung der Linien von nur 0,0025 mm. Es wurden 4 Spektrogramme des Mars erhalten und auf jede Platte zum Vergleich auch das Spektrum des in gleicher Höhe am Himmel stehenden Mondes aufgenommen. Von den erhaltenen Platten waren zwei gut und der Prüfung unter dem Mikroskop ergab keine Linie im Mars- und im Mondspektrum, welche mit Sicherheit dem Wasserdampf zugeordnet werden konnte, doch waren schwache Spuren von Linien an der Stelle, welche im Spektrum der Erdatmosphäre von dem sogenannten »Hydrobande« eingenommen wird, in beiden Spektren zu sehen. Die relative Verschiebung der Linien der beiden Spektren war auch hier fast unbedeutend, es schien auch, als wenn die Verschiebung des dem Sauerstoff angehörigen Bandes A mit den planetarischen Spektrallinien verschoben sei. Dies läßt vermuten, das dasselbe teilweise der Marsatmosphäre angehört, aber es stütze keine Verdichtung und Vertheilung,

¹⁾ Lowell-Observatory, Bulletin Nr. 17, Seite 180. 1897-98.

die dementsprechend zu erweitern waren. Ähnliche Aufnahmen wurden vom Spektrum der Venus gemacht und das Sonnenspektrum zum Vergleich herangezogen, nach hier ließen die Ergebnisse unklar. Später wurden noch zwei gute Spektrogramme des Mars erhalten, aber die genaue Untersuchung derselben durch Lowell und Stiller ergab kleinere Abweichung denselben vom Mondspektrum abgesehen auf das dunkle Linien. Doch ist das Spektrum

keine Spektrum des Mars im engeren Teile erkennbar als die betreffende Partie des Mondspektrums, während in der Mitte der Linie E das ungleiche stattfindet. Die Ergebnisse dieser Aufnahmen sind daher im allgemeinen negativ und man kann nach F. Lowell nur schließen, daß Wasserdampf auf der beschriebenen Seite der Venus nicht, und in der Mondatmosphäre war außerordentlich vorhanden ist.

Bemerkwürdige teleskopische Meteore in der Nähe des Mondes.

Hr. Wilhelm Spill in Vöhrst teilt mit die folgenden Wahrnehmungen mit über Meteore, die er vor der Mondcheibe wahrgenommen hat. Bei vielfältigen Beobachtungen des Mondes tritt es sich heraus, daß man im kleinen Meteor durch das Gesichtsfeld strichen sieht, allein so häufig wie in der nachfolgenden Schilderung hat wohl noch niemals ein Mondbeobachter Strichschuppen vor dem Monde gesehen.

Hr. Spill schreibt weiter dem 31. August d. J.: am Oktober vorigen, sowie im August dieses Jahres bemerkte ich bei meinen Mondbeobachtungen 6 teleskopische Strichschuppen, deren Bahnen sich für mich auf dem Monde projizierten.

Einen Antrag von den Notizen, die ich zu den Beobachtungstagen niederschrieb, wurde von Skurz über die Lage der Meteorbahnen auf der Mondcheibe keine ich folgen.

Am 13. Oktober 1904, abends beobachtete ich mit meinem etwa 2 Fuß Fernglase bei klarem besten Vergrößerung die Mondcheibe, um den Krater Manius, der oben sichtbar war, zu suchen. Das Gesichtsfeld war etwa 25 Min. groß. Ich übernahm daher die Mondcheibe sehr gut. Die Luft war außerordentlich klar. Um 6 Uhr 45 Min. sah plötzlich ein helles Flackern durch den Mond, welches weißlich

vom Langen ausstrahlte, in geringer Linie in die Nachtsicht leuchtend und nach einem Lauf von ungefähr 6 Bogenminuten im dunklen Monde ersicht, etwa über Auga. Seine Helligkeit und feine Größe stieg mit der des Lichtflecks auf dem vorderen Nordpol des Prodes ungefähr überein. Es zog seinen Schweif rasch nach her, erschien mir mehrere völlig rund. Die Zeitdauer betrug etwa $\frac{1}{4}$ Sekunde.

Um 7 Uhr 5 Min. wiederholte sich die Erscheinung. Dieses zweite Meteor zog aber etwas langsamer sowie etwa 5 Min. lang. Dabei, es erschien mir dünner und blauer als das erste. Die Flugbahn lag um einen Durchmesser des Langen weiter nach Süden und war der Bahn des ersten Meteors parallel. Zeitdauer fast 1 Sekunde. Nach zehn Tagen machte ich die dritte Beobachtung. Dasselbe leuchtete um 6 Uhr 25 Min. abends nördlich vom Glavende ein helles Scheiteln auf, zog nach NO und trat bei etwa 1° süd. Breite über den Rand des fast vollen Mondes heraus. Nach einem Lauf von $\frac{1}{4}$ Monddurchmesser erlosch es. Die Zeitdauer betrug fast eine Sekunde. Trotz unbewölkter, bei täglicher Beobachtung konnte ich bis zum 6. August d. J. nichts dergleichen mehr wahrnehmen. An dem genannten Tage fand ich die Mondcheibe um 3 $\frac{1}{4}$ °

nachen im S. in etwa 30° Höhe. Mit Dünstiger atmosphärischer Vergrößerung erhielt ich bei sehr klarer und ruhiger Luft, die Sonne war durch dicke Wolken verdeckt, ein helles, scharfes Bild des Mondes. Um 4 1/2 Uhr löste sich NO-Ende des Mars crimson in glänzender Funke auf, zog in langsamem Fluge nach SO, wendete sich dann aber in einem größeren Entzuen nach rechts ab, in einem Winkel von etwa 120° und verlosch nach kurzem immer langsamer werdenden Laufe jenseits der Lichtgrenze, wie ich vermute, ähnlich von Kopernikus. Der langere Schenkel der Bahn wurde in etwa 1/2 Sekunde, der kürzere in etwa 1 1/2 Sekunden durchlaufen. Dieses Meteor erschien mir besonders glänzend, heller als die früher beobachteten, verschwand aber wie diese, ohne bemerkbare Verleinerung.

Am 12. August beobachtete ich die helle Meteorerscheinung um 8 1/2 Uhr morgens, ebenfalls bei hellem Tage. Bei 30maliger atmosphärischer Vergrößerung sah ich südlich vom Berge Piaz eine kleine quadratische Kugel nach einem Lauf von 1/2 Sekunde Zeitdauer nach links und verschwinden. Die Bahn verläuft etwa 230° und schloß mir dem Verlauf des Timochans an entsprechend.

Das 6., 7. und 8. Meteor sah ich um 5 1/2 Uhr und 5 1/2 Uhr morgens am 26. August. Das 6. wurde nur am Kreuze Wolken sichtbar, zog nach NO, bei 46° n. Br. über den Mondrand und verlösch nach einem Lauf von 4 Bogensekunden. Zeitdauer fast 1 Sek. Zeit 5 1/2 Uhr. Das 7. Meteor, welches 4 m später erschien, hatte seinen Ursprung im Norden außerhalb des Mondes. Es nahm seinen Weg, das

südliche Ende der abnehmenden Mondsehe unterstehend, über Onopiden, Harpates, Baesches, Maepotais und Plais, wo es verschwand. Der Endpunkt der Bahn lag nach meiner Vermutung zwischen Timos und Fontanelle. Die Zeitdauer dieser Erscheinung war etwa 1 1/2 Sek. Noch war dasselbe nicht verschwunden, als etwa 18 Meilen südlich vom Plais ein Lichtblitz auftrat, mit steigender Schwachheit nach Süden über Helicon, Carles, Euler bis nach Tob. Mayer zog und nach weniger als einer Viertelstunde verschwand. Diese Flugbahn, die sich als schwach nach NO gebogene Lichtlinie darstellte, wurde mit Hilfe vergrößerten. Das Meteor mußte wohl wenig klein gewesen sein. Die Länge der Bahn schätze ich nach der Eintragung der Meteorbahnen auf Neumons Mondkarte auf etwa 9 Bogensekunden. Zur bessern Übersicht lasse ich nun die Skizze folgen, auf welcher die einzelnen Bahnen der hellen Objekte nach Lage und Länge verzeichnet sind. (Die Skizze kann hier nicht reproduziert werden.)

Phase des Mondes beim Erscheinen des Meteors: Nr. 1 und 2 Scheit 4 1/2, Tage nach Neumond. Nr. 3 16 Stunden vor Vollmond. Nr. 4 Scheit 3 1/2, Tage nach Vollmond. Nr. 5 Halbmond. 1 Tag vor dem letzten Viertel. Nr. 6, 7 u. 8 Scheit 2 Tage nach dem letzten Viertel.

Zu den Beobachtungen bemerke ich noch, daß von einer Täuschung wahrscheinlich keine Rede sein kann, da die Erscheinungen zum Teil sehr hell und glänzend auftraten und der Dauer eine gute, deutliche Wahrnehmung ermöglichte.

Das Meteor vom 3. August 1905.



In diesem Tage 5 1/2 Uhr MEZ beobachtete, trachtete ein Meteor auf, das durch seine Helligkeit und langsame, schwache Bewegung außerordentlich

auffiel. Das unter Leitung von Prof. Dr. Vaterlauer stehende astronomische Institut der großherzoglichen Sternwarte Königstuhl in Heidelberg, hat die

Sammlung der Beobachtungen und die Berechnung derselben in die Hand genommen. Diese Arbeit ist von Dr. Heischke durchgeführt worden und hat zu sehr interessanten Ergebnissen geführt, deren Ergebnisse hier mitgeteilt werden sollen.

Bezüglich der allgemeinen Schlußfolgerungen ergab sich, daß das Meteor in der ganzen Schwanz in Süddeutschland, in den Rheinlanden, in Brandenburg und Böhmen bis nach Mittelrussland hin sichtbar war. Es trübte sich zunächst über einem Ort von $49^{\circ} 8' N$ Breite und $13^{\circ} 26'$ Ostl. L. v. Greenwich, also in der Nähe von Paderborn in Oberbrunnen und seine Höhe in der Atmosphäre betrug damals 152 km. Von dort bewegte es sich gegen WNW über Regensburg und Würzburg hinweg. Etwa 18 km nordöstlich von Aschaffenburg trennte sich ein Stück ab, welches, nachdem es etwa 1 km gefallen war, in der Luft zerbrach. Das Meteor selbst setzte seinen Lauf fort und zerbrach wie eine Rakete über einem Ort nahe bei Haas in 520 km Höhe. Über die wahre Größe des Meteors läßt sich nichts Sicheres sagen, da der scheinbare Durchmesser erfolgt der Irradiation in beträchtlicher aber weit unbestimmter Weise vergrößert wird. Was die Geschwindigkeit anbetrifft, so lassen die Schätzungen nach herüber eine große Unsicherheit bestehen. Der Berechner findet sie zu 41.93 km pro Sekunde. Aus dieser und der Bahnlänge von 413 km folgt die Dauer der Erscheinung zu 8.6 Sekunden.

Aus dem so bestimmten Teile der Meteorbahn die eigentliche Bahn um die Sonne abzuleiten, ist an und für sich eine mathematische Aufgabe, der aber eine große Unsicherheit anhaftet, da die so schwierig zu bestimmende Geschwindigkeit einen wesentlichen Einfluß dabei ausübt. Wegen der durch die Annäherung der Erde hervorgerufenen Störung in der Bewegung des Meteors reduziert sich seine Geschwindigkeit auf 45.58 km in der Sekunde. Der Punkt des

Himmels, von dem es herankam, scheint, betrachtet man in 313.8° Rektaszension und -11.9° Deklination, er liegt also im Sternfeld des Wassermanns. Berücksichtigt man, daß die Geschwindigkeit der Erde im Raum zur selben Zeit 29.13 km betrug, und das ferner der Winkel zwischen der scheinbaren Bewegung des Meteors und der der Erde 84.8° betrug, so erhält man für die absolute Geschwindigkeit des Meteors im Raum den Betrag von 62.34 km. Der Punkt, von dem es in Wahrheit herkam, liegt nicht weit von der Ekliptik in einer nördlichen Breite von 3.6° und einer Länge von 283.8° .

Mit diesen Zahlen findet sich für die Bahn des Meteors eine Hyperbel, in deren einem Brennpunkt die Sonne steht. Der Punkt der Bahn, in dem es vor eintreten in nördlicher Breite übergehend die Ekliptik schneidet, also der nächstgelegene Knoten, lag bei der Sonne im 180.7° Länge, die Erde befand sich, als sie den Weg des Meteors kreuzte, in dessen absteigendem Knoten, in 318.7° Länge. Die Ebene der Erd- und Meteorbahn bildeten einen Winkel von 7.8° . Der Exzentrizität der Hyperbel war 1.352. Ihre halbe große Achse betrug 129.6 Millionen Kilometer. Wäre das Meteor in seinem Laufe nicht von der Erde aufgehalten und zerstört worden, so hätte es den der Sonne nächsten Punkt seiner Bahn in einer Länge von 516° am 1. September, vormittags 24.28^m MEZ erreicht. Seine Entfernung von der Sonne wäre in diesem Augenblick 44.7 Millionen Kilometer gewesen, also bei weitem geringer, als die der Erde, deren mittlere Entfernung 149.5 Millionen Kilometer beträgt. Die Bewegung des Meteors war durch, d. h. es bewegte sich um die Sonne in derselben Sinne wie die Planeten.

Daraus, daß die Bahn eine Hyperbel war, folgt, daß das Meteor aus dem Planetensystem kam und sich wieder in der Unendlichkeit verlor. Es hatte, wenn es der Begegnung mit der Erde entgegen, die es in wenigen Sekunden erreichte,

Da ich mit der Inneneinrichtung nicht experimentieren konnte, versuchte ich es mit der Elektrostat. Mit Hilfe eines größten aus Glas und Elfenbein bestehenden Statives hing ich an einem eingedrehten Kokonfaden¹⁾ eine 5 cm große, teilweise dünne Glasplatte auf und führte dieselbe in 30 cm Abstand, die Kante voraus, eine eingeleitete Elfenbeinplatte vorbei. Wie diese nachtrübte, so bewegte sich die Kugel wenig oder gar nicht, auch wenn ich den Versuch öfter wiederholte, weil die Luft wenig in Bewegung kam. Wie sie elektrisch, so war die Kugel vorher einem ungeschulten, so-inti in vielen Fällen, aber nicht in allen, die erwartete Drehung an. Der Effekt war also nicht sicher, und das kam daher, daß die Kugel nicht ganz rund und beweglos war und so der Schwerpunkt nicht in der Mitte lag. Der Punkt der Kugelfläche, welcher diesem näher war, bewegte sich nach der Platte hin, und je nachdem er feins oder rohrs lag, mußte der Drehungssinn zu ändern werden. Diese resultierte die Kugel aber in diesem Sinne weiter nach der Verschiebung der

Platte ansgesogen, weil sie nicht leicht genug war.

Infolgedessen erstellte ich, da es im Grunde gleich war, ob die rotierende Masse Kugelförmig oder flach sei, die Kugel durch eine große rund geschliffene 12 cm große Pappscheibe und brachte den Kokonfaden genau in der Mitte derselben an. Natürlich lag die Scheibe horizontal. Hiermit gelang der Versuch sicher. Die Scheibe kam immer in die richtige Drehung. Als ich dann über eine Sammelochse darunter hielt, drehte sie sich selbst. Nun konnte sich, während die Platte vorbeiging, die Elektrostat in der Scheibe verschieben, ohne daß diese in Drehung kam.

Ein Uebel kann also leicht in Rotation kommen, sei es durch die allgemeine Massenanziehung, sei es durch elektrische Fernwirkung, sei es durch beide zugleich. Für die Ausschließung der Elektrostik liegt jedenfalls kein Grund vor, sei es von der Sonne und den Kometen so gut wie sicher wissen, daß sie elektrisch sind.

Der Greßley-Reflektor der Licksterwarte mit seiner neuen Montierung.

(S. 119 Tafel XII.)

Der durch die damit erhaltenen photographischen Aufnahmen costellischer Objekte berühmte Reflektor von 3 Fuß Spiegeldurchmesser, der nach dem Namen seines Geschenkgebers als Greßley-Reflektor bezeichnet wird, hat durch nach den Plänen von C. D. Farns angeführte Montierung erhalten. Durch diese werden die Leistungen desselben für die Himmelsphotographie auf die höchste Stufe ge-

bracht, wie die Ergebnisse während der letzten Monate erweisen. Tafel 12 gibt eine allgemeine Ansicht des Instruments und seiner neuen Montierung. Wie man sieht, ist die Polarese an beiden Endpunkten gestützt. Das Gewicht der bewegten Teile des Instruments beträgt 128 Zentner, trotzdem bewegt sich dasselbe mit Leichtigkeit und völlig gleichmäßig mittels eines durch Gewichte getriebenen Uhrwerkes, ähnlich dem der 36-schüssigen Refraktoren. Die Herstellung der neuen Montierung, welche mit sehr großen Kosten verknüpft war, wurde durch die Generalkasse von Frk. Phoebe A. Fernal unterstützt.

¹⁾ Ich erhielt solche Fäden von der Firma Hartmann & Braun in Frankfurt-Eschensheim. Ich erwähne dies, da man als ungeschulte Kokonfäden gebraucht und die klaffenden Enden deselben auf

Über den Nebelfleck der Nova im Perseus.

Von Charles Fiedmann, Astronom der Sternwarte in Nova.

Das unglückliche Studium der Umgebung der Nova im Perseus in mehreren Observatorien Europas und Amerikas hat zur Entdeckung verschiedener merkwürdiger Phänomene geführt. Prof. Wolf in Heidelberg entdeckte zuerst in der unmittelbaren Nähe der Nova eine sehr schwache Helligkeit und die später auf der Verkleinerung durch Ritchey und am Lick-Observatorium von Perseus erhaltenen Photographien bestätigten diese Entdeckung. Ähnliche Aufnahmen ergaben, daß der Nebelfleck nahezu kreisförmig zu der Nova war und offenbar ihr anzugehören schien. Die Lichtstärke des Nebels war in den meisten Teilen derselben indessen sehr ungleich, an gewissen Stellen, besonders nördlich von dem Stern, zeigten sich Lichtkondensationen in besonderer Lebhaftigkeit und Deutlichkeit. Die während mehrerer Monate von Ritchey und Perseus aufgenommenen Photographien stellten zu dem außer Zweifel, daß diese hauptsächlich Lichtkondensationen sich mit außerordentlich großer Geschwindigkeit mehr und mehr von der Nova entfernten. Kurz zusammengefaßt ergibt sich aus der Prüfung der Aufnahmen von Ritchey und Perseus folgendes ¹⁾:

1. In der amschonend komplizierten Struktur des Nebels, welcher den neuen Stern umgibt, lassen sich zwei Hauptlichtstärken unterscheiden. Die erste besteht in einem ziemlich gleichmäßig aber unregelmäßigen und in seinem inneren Teile ungleich verteilten Ringe, der im Januar 1902 etwa 15 im Durchmesser maß, die zweite aus einem ähnlichen, nahezu kreisförmigen Ringe von 30 im Durchmesser.

2. Diese beiden ringförmigen Zonen erweiterten sich und schoben sich von der Nova zu entfernen. Eine Ver-

gleichung der im Januar und im März 1902 aufgenommenen Photographien lehrt, daß die totale Expansionsbewegung dieser beiden kreisförmigen Zonen in Bezug auf die zentrale Nova, für den inneren Ring 1.0, für den äußeren 1.5 täglich betrug.

Betrachtet man diese Bewegungen als durchschießende für beide Zonen sei deren Entstehen, so ergibt sich, daß beide gegen den 12 Februar 1901 entstanden waren, d. h. genau in dem Momente der plötzlichen Explosion, welche der Nova bei dem Aufbruch den großen Glanz verlieh. Daraus läßt, wie es scheint, keinen Zweifel über den nächsten Zusammenhang beider Erscheinungen.

3. Die beiden kreisförmigen Hauptzonen zeigten eine sehr komplizierte Struktur. Mehrere besonders kondensierten besaßen individuelle Bewegungen, welche nicht radial in Bezug auf die Nova waren, sondern sehr beträchtlich tangential gerichtete Komponenten erkennen ließen. Gewisse Kondensationen schienen sich in ihrer Ortsveränderung sogar dem Zentralstern zu nähern.

4. Die Helligkeit des Nebels im allgemeinen schien sich sehr schnell zu vermindern, indessen wurden in der äußeren Region derselben, Partien beobachtet, die auf früheren Aufnahmen nicht gefunden wurden.

5. Die totale Bewegung der hauptsächlichsten Kondensationen war nicht begleitet von beträchtlichen Änderungen der Gestalt der letzteren.

Diese Phänomene von so außerordentlichem, so vorhergesagtem Charakter, die aber trotzdem durchaus unvorstellbar sind, da sie durch zahlreiche photographische Dokumente belegt werden, haben die Aufmerksamkeit der Astrophysiker in hohem Grade auf sich gelenkt. Mehrere amerikanische Astronomen, darunter besonders Prof.

¹⁾ Bulletin of the Lick-Observ. 1902.

E. Pickering, haben die Ansicht ausgesprochen — welche sich in der Tat zunächst von selbst ergibt — es handelt sich bei den Vorgängen um wirkliche Ortsveränderungen der durch die Explosion, welche das Erscheinen der Nova, veranlaßt, Hitzeschichten der Materie bis zu ungeheuren Entfernungen. Wenn solche wirkliche Ortsveränderungen der Materie stattgefunden hätten, so müßten wir also, in der Entfernung auf die Himmelsgröße projiziert, 17" im Jahre betragen. Man wird das Umgekehrte dieser Geschwindigkeit annehmen, wenn man sich erinnert, daß die größte jährliche Ortsveränderung eines Fixsterns nur 9" beträgt, also 115 mal geringer ist. Übrigens hat F. Very nachgewiesen¹⁾, daß die Maximum der maximalen Geschwindigkeit, welche die Spektralanalyse für die Nova ergab, unter Berücksichtigung der Ausdehnung, die die Nebelkugel nach und nach ergiebt, zu einer Parallel der Nova von etwa 2" führen würde. Nach den Messungen von Dr. Coorssen in Haddberg, Tieler und Asten auf der Lichtsterne, und Chase in New-Haven, kann die Parallel der Nova bestimmt nicht 31" erreichen. Andererseits sind die in der Nebelkugel beobachteten Bewegungen wohl davon entfernt alle in radialer Richtung zu erfolgen, fast alle haben auch beträchtliche tangentielle Komponenten, die übrigens je nach der Kondensation verschieden und unregelmäßig sind. Solches ist aber unvereinbar mit der Annahme, daß die Materie von der Nova her ausgeschleudert wurde. Ferner müßte man unter Annahme dieser Hypothese erwarten, daß die Helligkeit des Nebels überall und entsprechend dem Abstände von der Nova steilere, statt dessen hat die Helligkeit in den äußeren Teilen, wo sich kochende Kondensationen bilden, abgenommen, während die im ganzen allerdings im Laufe der Zeit sich

vermindert. Somit scheint die obige Hypothese den Thatsachen nicht zu genügen und man muß eine andere suchen.

Prof. Kapteyn²⁾ und bei gleichzeitig Dr. Wilson und Prof. Seeliger³⁾ haben unabhängig von einander eine sehr wahrscheinlich klingende Theorie dieser Erscheinungen aufgestellt. Gemäß dieser waren die beobachteten Phänomene der sogenannten Entdeckung des Hüllers um die Nova verursacht vorhandenen Nebels durch die mit dem Material des Auflebens von der Nova ausgesandten Lichtstrahlen verursacht. Die Geschwindigkeit der schwebenden Verrückung des Nebels wäre also hierdurch diejenige des Lichts und wenn man dieses annimmt, so ergibt sich als Parallel der Nova der Wert von 1_{10} Bogensekunde, was mit der unmittelbaren Beobachtung, gemäß der diese Parallel kleiner als $\frac{1}{10}$ Sekunde sein muß, übereinstimmt. Wäre das erlaube auch die ersten andern Wahrnehmungen mit dieser Hypothese durchaus vereinbar, in welcher Beziehung auf die Abfindung von Prof. Kapteyn verwendet werden mag. Derselbe sagt am Schluß derselben: »Die große Frage ist zuletzt der: Darf man in der Tat annehmen, daß unter den bei der Nova stattfindenden Veränderungen das (von dem Nebel) reflektierte Licht noch intensiv genug ist, um die photographische Platte noch zu wirken, was es in der Tat der Fall ist, zu bejahen?»

Prof. Turner hat gezeigt, wie man diese Frage beantworten kann und zwar auf dem im folgenden angegebenen Wege.

Das Licht bedurfte acht Monate um von der Nova aus bei 10 der damals beobachteten Grenze des Nebels zu gelangen, während es acht Monate braucht um von der Sonne bis zum Monde zu kommen. Mit Rücksicht auf

¹⁾ A. N. 1902, Feb. 31.

²⁾ A. N., S. 276 (Juli 1901).

³⁾ A. N., S. 190 (Jan. 1902).

die Helligkeit der Nova im Augenblick ihres Aufstretens und indem man die Parallaxe annimmt, welche der Ausdehnung des Nebels bei der Geschwindigkeit des Lichts entspricht, findet man, daß die wirkliche Helligkeit der Nova dieselbe unserer Sonne am 2000 fache Abstande bei Maß dem Instrumente von Rüdow auch der Mond auf der photographischen Platte in 0.003 Sekunde einen Eindruck, der an Intensität demjenigen gleich ist, welchen die Nova an demselben Instrumente auf der nämlichen Platte in 20 Minuten hervorruft. Anderseits verhält sich die Helligkeit des Nebelheckes zu der des Mondes für einen solchen Radius wie $(20 : 24 : 60)^2$ zu 2000. Berechnet man aus dem Reflexionsvermögen (des Albedo) des Nebels an dem des Mondes durch $\frac{1}{2}$, so hat man

$$\frac{20 : 60}{0.003} = \frac{(20 : 24 : 60)^2}{2000} \cdot n$$

aus der sich ergibt, daß n nahezu zu 1 sein muß. Mit andern Worten: Da die Hypothese, daß die Nebelhülle, welche die Nova umgibt, lediglich vom Lichte der letztern erhellt wird, muß man annehmen, daß das Reflexionsvermögen dieser Nebelhülle gleich demjenigen der Mondoberfläche ist. Man weiß nun aber, daß die Oberfläche des Mondes aus sehr stark lichtreflektierendem Material besteht und er scheint unmöglich anzunehmen, daß eine gasförmige und sehr wenig dichte Materie wie die eines Nebelheckes, ein ebenso großes Reflexionsvermögen besitzen sollte. Porritt hat schon mit einem Apparat, der demjenigen ähnlich ist, mit welchem er die Polarisation der Sonnenkorona bei der Finsternis von 1900 untersuchte, eine Reihe sehr sorgfältiger Aufnahmen angefertigt, um das Licht des Nebels der Nova zu studieren. Während aber der Apparat in der Korona einen merklichen Teil polarisierbaren (reflektierten) Lichtes aufweist,

sind ebenso das reflektierte Licht eines beliebigen Sterns unter den geringsten Verhältnissen als polarisiert erregt, teilte im Lichte des Nebelheckes der Nova jede Spur von Polarisation, als derselbe mit dem gleichen Apparat untersucht wurde. Daraus folgt, daß dieser Nebel kein so wenig als reflektiertes Licht leuchtet, wie die Hypothese von Kapteyn und von Seeliger voraussetzt. So blieb das Problem durchaus ungeklärt. Folgendes ist die Lösung, welche wir davon geben, zu einer Zeit als die physikalischen Untersuchungen Porritts diesem noch nicht bekannt waren.]

Gegenüber der jenen Worte nach auch sehr interessant! Katastrophe, die zu dem glücklichen Aufstehen der Nova in Perseus führte, lauten unvorstellbar, ähnlich wie bei den Explosionen auf der Sonne, plötzliche Störungen des elektrischen Gleichgewichts sind, gefolgt von elektrischen Entladungen, von deren Naturhaft wir uns keine Vorstellung machen können. Die elektrischen elektrischen Wellen, welche bei diesen Entladungen von der Nova rings in den Raum ausstrahlen, stellen dabei folgende Erscheinungen voranstellen. Dort wo diese Wellen auf (gasförmige) Ströme der Nebelhülle einwirken, so alle eine gewaltigen bekannten Verhalten diese erweichen, und zwar um so intensiver je näher sich denselben bei der Nova befinden und umso mehr je mehr der dort herrschende Druck zunimmt.] Thomson angenommen kritischen Druck nahe kommt, welcher dem Maximum der Erleuchtung entspricht. Daraus ergibt sich

1. Wie auch die Verteilung der Nebelhülle in der Nachbarschaft der Nova beschaffen sein mag, so mußte, da die Ausbreitung der elektrischen Wellen mit Lichtgeschwindigkeit von der Nova aus erfolgt, der gesamte Nebelraum er-

*) Rev. ges. des Sciences 1902, 8-200

leuchteten Regionen um diese Nova aus Spitze von Ringen zu bilden scheinen, von denen jeder sich mit der gleichen Geschwindigkeit des Lichtes fortbewegte. Die schonen Erscheinungswirkungen dieser Ausbreitung mußten natürlich verschieden sein, je nachdem die erzeugten elektrischen Wellen mehr oder weniger schräg zu unserer Gesichtslinie ausgingen. Auf diese Weise erklärt sich das Vorhandensein der beiden kreisförmigen Hauptzonen, von denen die eine sehr viel größere Geschwindigkeit andeutete als die andere. Die wirklichen Geschwindigkeiten derselben waren gleich, der Unterschied war scheinbar und durch die Projektionen derselben auf das Himmelsgerüst bedingt.

2. Die nahezu ringförmige Gestalt der erleuchteten Zone war nur scheinbar, in Wirklichkeit mußte dieselbe eine sehr unregelmäßige Struktur besessen haben, die von ihrer Orientierung um die Stern und gleichzeitig der Verteilung von Verdichtungen innerhalb derselben abhing. So erschienen die Regionen, in welchen die Dichtigkeit des Nebels nahe bei dem leuchtenden Punkte lag in dem leuchtenden Ring als besonders helle Kerne.

3. Im allgemeinen mußte die Helligkeit des Nebels auf die Zeit abnehmen, in dem Maße als die elektrischen

Wellen, indem sie sich von der Nova entfernten, dem Intensität verminderten. In gewissen Richtungen um die Nova trafen diese Wellen erst in großer Entfernung auf gasförmige Nebelschichten, die sich nahe beim leuchtenden Punkte des Druckes befanden, und daher kam es, daß in gewissen Richtungen ziemlich weit von der Nova etwas leuchtende und sehr glänzende Kondensationen erschienen.

4. Da die leuchtenden Kondensationen demjenigen Regionen der Nebelschicht entsprachen, in welchen der kritische Druck herrschte, diese Regionen aber mit Bezug auf die Nova in den verschiedenen Richtungen lagen, so mußte die scheinbare Orientierung dieser hellen Nebelkerne in verschiedenen Richtungen erfolgen, also keineswegs immer radial zu der Nova. Im Falle, in welchem sich gasförmige Masse sich in solcher Lage befand, daß dem entferntesten Teile in der Projektion scheinbar der Nova näher sich darstellte als die wirklich nächsten, mußten auch die leuchtenden Kondensationen sich der Nova zu nähern scheinen.

5. Da das von diesen Kondensationen ausgesandte Licht eigenes Licht war, teilweise aber reflektiertes, so konnten derselben natürlich keine Polarisation zeigen.

Vermischte Nachrichten.

Jupiter. Herr Torvald Kahl schreibt von aus Odessa: Der Planet Jupiter zeigt bekanntlich außer mehreren feinen dunklen Streifen zwei große dunkle Gürtel, den nördl. und den südl. Äquatorialgürtel. Im Herbst 1904 war es mir auffallend, daß nur der südliche Gürtel deutlich sichtbar war, und dies ist noch heute der Fall. Soweit ich aus meinem Beobachtungsjournal und aus anderen mir zugänglichen Observations erhalten habe, scheint es, daß in den Jahren der Sonnenfleckenmaxima ebenso wie jetzt nur der südliche Äquatorialgürtel des Planeten Jupiter deutlich hervortritt.

Was hier gesagt, trägt die folgende Liste, in welcher die Jahreszeiten der Sonnenfleckenmaxima eingetragen sind:

1871.	Süd. Gürtel am deutlichsten
1874.	Nordl. „ „ „
1881.	Süd. „ „ „
1888.	„ „ „
1897.	Beide Gürtel ebenfalls ziemlich gleich
1900.	
1903.	
1906.	
1908.	Süd. Gürtel am deutlichsten
1909.	„ „ „
1910.	Nordl. „ „ „
1904.	Süd. „ „ „
1907.	„ „ „

Es findet ausserhalb eine Wechselwirkung statt zwischen der Sonne und dem Kernplaneten unseres Sonnensystems. Diese Veränderlichkeit im Aussehen der Jupitersehne dürfte wohl auch mit anderen periodischen Schwankungen der Helligkeit des Planeten in Verbindung stehen. Vielleicht haben wir hier einen Schlüssel zur Erkennung der Vorgänge bei gewissen veränderlichen Fixsternen.

Der Trabant des Neptun ist von Dr. C. W. Wirtz am 18-zelligen Refraktor der Sternburger Sternwarte in den Jahren 1903 und 1904 wiederholt beobachtet worden.¹⁾ Dabei bemerkte der Beobachter, daß ihm der Trabant nicht immer gleich hell erschien, daß er bisweilen hell und leicht zu beobachten war, besonders nur bei hellen Monden auftrat. »Sicherlich,« sagt Dr. Wirtz, »ist ein gut Teil dieser schwachen Veränderlichkeit auf Schwankungen des Luftzustandes zurückzuführen, nicht-dieswegen möchte ich auf die merkwürdige Kugelförmigkeit hinweisen, die meine Helligkeitskurven andeuten, wenn man sie nach der Länge des Trabanten in der Bahn ordnet und sie der besseren Übersichtlichkeit halber dann in Zahlen umschreibt, daß der Reihe nach die Angaben sehr schwach, schwach, ziemlich schwach, ziemlich hell, hell durch die Zahlen 1 bis 5 dargestellt werden.«

Dann ergibt sich folgendes: »Der Mond erreicht seine größte Helligkeit in der mittleren Länge 48°, am geringsten in der Länge 246°. Über die Größe der hypothetischen Schwanzung läßt sich wenig sagen. Man darf jedoch annehmen, daß sie nur gering zu sein braucht, um in unserem Refraktor, für den das Planetensystem nicht viel oberhalb der Grenze der Sichtbarkeit sich abspitzt, auffällig zu werden, vielleicht genügt eine Veränderlichkeit von weniger als 1/2 Größenklassen.«

Der Neptuntrabant gehört, wie Dr. Wirtz auch erwähnt, zu den wenigen

Körpern unseres Sonnensystems, die photographisch heller sind als optisch. Das beweist schon häufiglich die Leuchtkurve, mit der sehr genau meßbare Aufnahmen der Satelliten in den 13-zelligen Refraktoren der Sternwarte bei Exposizioni von 12^m an gelingen.

Die Bahn des spektroskopischen Doppelsternes ϵ Teles ist von Walter S. Adams berechnet worden.²⁾ Schon 1903 haben die spektroskopischen Aufnahmen von Prof. Frost und Adams die voränderliche Eigenbewegung dieses Sternes und damit seinen Charakter als spektroskopischer Doppelstern erkennen lassen. Seitdem wurden noch weitere Aufnahmen erhalten, so daß der Rechner über 24 Platten verfügt, die zwischen 1902 Februar 12 und 1906 März 24 erhalten worden waren. Aus diesen fand sich, daß die Umlaufdauer des Systems der gleichnamigen Saturnpunkt 183 Tage beträgt, die Gesamtgeschwindigkeit desselben in Betrag auf die Sonne 16.4 km, was wieder noch darüber von uns erhöht. Die halbe große Achse der Bahn beträgt wiederum 27.600000 km, die Exzentrizität 0.150. Die Zeit des Periastrons fällt mit der Zeit der größten radialen Geschwindigkeit zusammen, was uns zeigt, daß die große Achse der Bahn nahezu senkrecht zur Geschwindigkeit nach der Erde steht.

Ein Koppernikus-Denkmal in Frauenburg. Zur Errichtung eines solchen schloß die Kommission, zu deren Spitze der dortige Bürgermeister Dr. Drösch steht, einen Antrag, in dem es heißt: »Nikolaus Koppernikus, der weltberühmte Entdecker unseres jetzigen Sonnensystems, verlebte seine noch jugendliche Jahre in dem Orte, wo er 49 Jahre hindurch als Dozent, Arzt, Gelehrter gewirkt, wo er sein weltberühmtes Werk »De revolutionibus coelestium revolutionibus« vollendet, wo er auch seine letzte Ruhestätte gefunden hat, dem

¹⁾ Astron. Nachr., No. 4026.

²⁾ Astrophysik. Journal 1905. Bd. XXX. S. 128.

seiner schätzbaren Denkmals. Die nur noch Gedenktafel, welche der gelehrte Bischof Martin Krieger (von im Dome von Freising) neben seinem Grabe setzte (1541), ist nicht mehr vorhanden, und die Urne, welche das Denkmal zum Ersatz dafür an dieselbe Stelle anbringen ließ, ist weiter ein schöner noch ein würdiger Denkstein für einen Mann von solcher Größe, als nur noch ein Denkstein nur als Personensatz gedacht. Wohl von dem letzten bayerischen Pfalzgrafen von Ermland angegeben, hieß Friedrich II., nachdem er Ermland seinem Kaugroßvater überlassen hatte, den Plan eines Denkmals für den Astronomen. Im August 1773 schrieb er an Voltaire: „Ich werde in einer kleinen Stadt Ermlands ein Monument über dem Grabe des berühmten Koppernikus errichten lassen.“ Dieser Voratz wurde aber nicht ausgeführt. Auch Kaiser Wilhelm I. beauftragte Tolstojew für den Plan. Später wurde die kaiserl. Stadtergung mehrmals (1865 und 1866) im Hause der Abgeordneten an des Vorhaben König Friedrich II. erinnert, beide Male sprach der Kaiser sich sehr sympathisch für die Idee aus und stellte ständige Unterstützung in sichere Aussicht. Neuerdings hat sich auch Fürst v. Bismarck zugunsten der Errichtung eines Koppernikus-Denkmal in Freising gelassen. Es stünde nun endlich die Stadt für die Ausführung des Planes gewonnen sein. In einer Zeit, da man so gern bereit ist, wahre Größe dankbar anzuerkennen, und das in dem neu erwachten historischen Bewußtsein bei begründetem Wunsch liegt, die großen Männer gerade an dem Orte, wo sie gelebt und gewirkt haben, in der vollen Wahrheit ihrer wirklichen historischen Erscheinung und Gestalt plastisch und charakteristisch dargestellt und vornehmlich zu sehen, wird man sich die Stadt, wo Koppernikus die größte Entdeckung gemacht, die je-

denen Sterblichen gelungen, wo er das wahre Weltsystem wissenschaftlich begründet hat, nicht für immer auf das unwahrscheinlich sehr geringe, das er sich selbst am Himmel gesetzt hat, verwenden dürfen. Thore, seine Geburtsstadt, hat bereits im Jahre 1855 ein festliches Staatstheater des hervorragenden dortigen Sohnes errichtet. Warschau hat in einem ausgezeichneten Kunstwerk aus Thorwaldsens Meisterhand zugleich ein würdiges Denkmal dessen errichtet, das auch die Polen als ihren Landesmann anerkennen. Krakau, der abgewurde Hauptstadt, an dem er seine akademische Studien begonnen und den ersten Grund für seine mathematischen und astronomischen Kenntnisse gelegt hat, besitzt nicht weniger als drei Koppernikus-Denkmalen. König Ludwig von Bayern reiste in der Weihnachtszeit unsere Astronomen Gäste denen der großen Namen aus, auch die Italiener stützen ihn, weil er sich in dieser Universitäten lehrte und lehrte aufgeführt, diese großen Männer zu und setzen den ständigen Enkulturreis in Bologna, Rom, Padua. Soll man Freising, die Hauptstadt eines reichreichen Fürstentums, noch länger diese wichtige Denkmals enthalten? Das Komitee schickte die dringende Bitte an alle Fürsten, an alle Deutsche, „ja an die Welt, an der Errichtung des Denkmalen mitschreiben. Beträgt nicht der geschichtliche Anschau in Freising ungenug.

Entscheidungen für Freunde der Himmelsbeobachtung. Aus dem Lesezettel des „Astron.“ und der mehrere größere und kleinere sehr gut abgelesene Entwürfe zum Verkauf angeordnet werden. Freunden der Himmelsbeobachtung, welche die Anschaffung eines solchen Instrumentes beabsichtigen und sich darüber an mich wenden, bei ich zu jeder gewünschten Auskunft bereit. Prof. Dr. Klein

Astronomischer Kalender für den Monat Januar 1906.

Sonnen- Mittlere Berliner Mitterg.	Sonnen			Mond		
	Mittlere Berliner Mitterg.			Mittlere Berliner Mitterg.		
	Zeit ab 2. — 12	Rektensionen	Declination	Rektensionen	Declination	Mond im Merkur
1	0 00 00	18 44 18 00	— 50 0 00 0	0 00 00	— 50 0 00 0	0 00 0
2	0 00 00	18 44 18 00	— 50 0 00 0	0 00 00	— 50 0 00 0	0 00 0
3	0 00 00	18 44 18 00	— 50 0 00 0	0 00 00	— 50 0 00 0	0 00 0
4	0 00 00	18 44 18 00	— 50 0 00 0	0 00 00	— 50 0 00 0	0 00 0
5	0 00 00	18 44 18 00	— 50 0 00 0	0 00 00	— 50 0 00 0	0 00 0
6	0 00 00	18 44 18 00	— 50 0 00 0	0 00 00	— 50 0 00 0	0 00 0
7	0 00 00	18 44 18 00	— 50 0 00 0	0 00 00	— 50 0 00 0	0 00 0
8	0 00 00	18 44 18 00	— 50 0 00 0	0 00 00	— 50 0 00 0	0 00 0
9	0 00 00	18 44 18 00	— 50 0 00 0	0 00 00	— 50 0 00 0	0 00 0
10	0 00 00	18 44 18 00	— 50 0 00 0	0 00 00	— 50 0 00 0	0 00 0
11	0 00 00	18 44 18 00	— 50 0 00 0	0 00 00	— 50 0 00 0	0 00 0
12	0 00 00	18 44 18 00	— 50 0 00 0	0 00 00	— 50 0 00 0	0 00 0
13	0 00 00	18 44 18 00	— 50 0 00 0	0 00 00	— 50 0 00 0	0 00 0
14	0 00 00	18 44 18 00	— 50 0 00 0	0 00 00	— 50 0 00 0	0 00 0
15	0 00 00	18 44 18 00	— 50 0 00 0	0 00 00	— 50 0 00 0	0 00 0
16	0 00 00	18 44 18 00	— 50 0 00 0	0 00 00	— 50 0 00 0	0 00 0
17	0 00 00	18 44 18 00	— 50 0 00 0	0 00 00	— 50 0 00 0	0 00 0
18	0 00 00	18 44 18 00	— 50 0 00 0	0 00 00	— 50 0 00 0	0 00 0
19	0 00 00	18 44 18 00	— 50 0 00 0	0 00 00	— 50 0 00 0	0 00 0
20	0 00 00	18 44 18 00	— 50 0 00 0	0 00 00	— 50 0 00 0	0 00 0
21	0 00 00	18 44 18 00	— 50 0 00 0	0 00 00	— 50 0 00 0	0 00 0
22	0 00 00	18 44 18 00	— 50 0 00 0	0 00 00	— 50 0 00 0	0 00 0
23	0 00 00	18 44 18 00	— 50 0 00 0	0 00 00	— 50 0 00 0	0 00 0
24	0 00 00	18 44 18 00	— 50 0 00 0	0 00 00	— 50 0 00 0	0 00 0
25	0 00 00	18 44 18 00	— 50 0 00 0	0 00 00	— 50 0 00 0	0 00 0
26	0 00 00	18 44 18 00	— 50 0 00 0	0 00 00	— 50 0 00 0	0 00 0
27	0 00 00	18 44 18 00	— 50 0 00 0	0 00 00	— 50 0 00 0	0 00 0
28	0 00 00	18 44 18 00	— 50 0 00 0	0 00 00	— 50 0 00 0	0 00 0
29	0 00 00	18 44 18 00	— 50 0 00 0	0 00 00	— 50 0 00 0	0 00 0
30	0 00 00	18 44 18 00	— 50 0 00 0	0 00 00	— 50 0 00 0	0 00 0
31	0 00 00	18 44 18 00	— 50 0 00 0	0 00 00	— 50 0 00 0	0 00 0

Planetenkonstellationen 1906

Januar	1	2h	Merkur im niedersteigenden Knoten
+	2	1	Neue im Feggen.
+	4	10	Merkur in größter westlicher elongation 11° 7'
+	6	1	Venus in Konjunktion mit dem Uranus. Venus 12° 4' nord.
+	8	20	Jupiter in Konjunktion mit dem Monde.
+	10	10	„ Venus in Konjunktion mit dem Monde. Bedeckung.
+	12	9	„ Saturn in Konjunktion mit dem Monde. Bedeckung.
+	14	10	Merkur in Konjunktion mit dem Uranus. Merkur 8° 10' nord.
+	17	1	Merkur im niedersteigenden Knoten.
+	22	20	Merkur in Konjunktion mit dem Monde.
+	25	20	Venus in Konjunktion mit dem Monde.
+	28	1	Jupiter in Konjunktion mit dem Monde. Bedeckung.
+	31	9	Merkur im Aufg.
+	32	1	Mars in Konjunktion mit dem Monde.

Planeten-Ephemeriden.

Mittlere Sonnentafel 1900						Mittlere Sonnentafel 1900							
Jahr	Monat	Rektascension			Declination	Abstand Mittel- sonne	Jahr	Monat	Rektascension			Declination	Abstand Mittel- sonne
		h	m	s					h	m	s		
Mars						Saturn							
Jan.	1	47	55	30.55	— 53 55 43.4	99.95	Jan.	1	10	14	16.50	— 12 55 1.5	9.85
	10	47	55	34.54	— 53 55 37.5	99.95		10	10	14	17.50	— 12 55 17.5	9.85
	15	47	55	35.53	— 53 55 34.4	99.95		15	10	10	14.50	— 12 55 1.5	9.85
	20	47	55	37.52	— 53 55 27.5	99.95							
	25	47	55	40.51	— 53 55 20.5	99.95							
	30	47	55	43.50	— 53 55 13.5	99.95							
Jan.	5	47	55	47.49	— 53 55 6.5	99.95							
Venus						Uranus							
Jan.	1	54	55	18.51	— 53 55 18.5	99.95	Jan.	1	14	55	47.49	— 53 55 18.5	99.95
	10	54	55	18.54	— 53 55 12.5	99.95		10	14	55	47.49	— 53 55 18.5	99.95
	15	54	55	18.57	— 53 55 6.5	99.95							
	20	54	55	19.00	— 53 54 50.5	99.95							
	25	54	55	19.03	— 53 54 44.5	99.95							
	30	54	55	19.06	— 53 54 38.5	99.95							
Mars						Neptun							
Jan.	1	22	55	32.75	— 54 55 32.75	99.95	Jan.	1	1	55	32.75	— 54 55 32.75	99.95
	10	22	55	32.78	— 54 55 26.75	99.95		10	1	55	32.75	— 54 55 32.75	99.95
	15	22	55	32.81	— 54 55 20.75	99.95							
	20	22	55	32.84	— 54 55 14.75	99.95							
	25	22	55	32.87	— 54 55 8.75	99.95							
	30	22	55	32.90	— 54 55 2.75	99.95							
Jupiter						Merkur							
Jan.	1	1	55	37.55	+ 55 55 37.55	99.95	Merkur						
	10	1	55	37.58	+ 55 55 31.55	99.95	Merkur						
	15	1	55	37.61	+ 55 55 25.55	99.95	Merkur						
	20	1	55	37.64	+ 55 55 19.55	99.95	Merkur						
	25	1	55	37.67	+ 55 55 13.55	99.95	Merkur						
	30	1	55	37.70	+ 55 55 7.55	99.95	Merkur						

Stärkenderungen durch den Mond für Berlin 1900

Mondtag	Stem.	Größe	Tages mittlerer Zeit		Mittels mittlerer Zeit	
			h	m	h	m
Jan. 1	1. Carl	4.5	1	57.5	1	57.5
10	1. Carl	4.5	1	58.5	1	58.5
15	1. Carl	4.5	1	59.5	1	59.5
20	1. Carl	4.5	1	60.5	1	60.5
25	1. Carl	4.5	1	61.5	1	61.5

Lage und Größe der Saturnringe sind im Januar 1900
nicht zu beobachten

Jan. 10. Station Schiele der Elbpfähle	55° 55'	4.55°
Wahr	55° 55'	4.55°
Mittelpunkt der Sonne	45°	15.15°
Parallax	15.15°	15.15°

Stellungen der Jupiters Monde im Januar 1908.

I.



III.



II.



IV.

Kreis
dabei



Verfinstert
Mond

Stellungen um 10^h 10^m des Abends im astronomischen Fernrohr.

Tag	West	Ost
1	10 ^h 10 ^m	10 ^h 10 ^m
2	10 ^h 10 ^m	10 ^h 10 ^m
3	10 ^h 10 ^m	10 ^h 10 ^m
4	10 ^h 10 ^m	10 ^h 10 ^m
5	10 ^h 10 ^m	10 ^h 10 ^m
6	10 ^h 10 ^m	10 ^h 10 ^m
7	10 ^h 10 ^m	10 ^h 10 ^m
8	10 ^h 10 ^m	10 ^h 10 ^m
9	10 ^h 10 ^m	10 ^h 10 ^m
10	10 ^h 10 ^m	10 ^h 10 ^m
11	10 ^h 10 ^m	10 ^h 10 ^m
12	10 ^h 10 ^m	10 ^h 10 ^m
13	10 ^h 10 ^m	10 ^h 10 ^m
14	10 ^h 10 ^m	10 ^h 10 ^m
15	10 ^h 10 ^m	10 ^h 10 ^m
16	10 ^h 10 ^m	10 ^h 10 ^m
17	10 ^h 10 ^m	10 ^h 10 ^m
18	10 ^h 10 ^m	10 ^h 10 ^m
19	10 ^h 10 ^m	10 ^h 10 ^m
20	10 ^h 10 ^m	10 ^h 10 ^m
21	10 ^h 10 ^m	10 ^h 10 ^m
22	10 ^h 10 ^m	10 ^h 10 ^m
23	10 ^h 10 ^m	10 ^h 10 ^m
24	10 ^h 10 ^m	10 ^h 10 ^m
25	10 ^h 10 ^m	10 ^h 10 ^m
26	10 ^h 10 ^m	10 ^h 10 ^m
27	10 ^h 10 ^m	10 ^h 10 ^m
28	10 ^h 10 ^m	10 ^h 10 ^m
29	10 ^h 10 ^m	10 ^h 10 ^m
30	10 ^h 10 ^m	10 ^h 10 ^m

Erscheinungen der Jupitermonde. Die simplischen Angaben über die Erscheinungen der Jupitermonde beruhen sich auf mittlerer Zeit von Greenwich. Die Trabant und der Kometen des Abends vom Jupiter nach den 1. bis IV. bezeichnet. Das war größte Figuren zeigen die Stellung jedes Mondes mit Bezug auf den Jupiter. Bei den Angaben der Verfinsternung (V) oder der Wiederaufgehens (A) ist nicht angegeben, ob man der Ansicht aus dem Schatten nicht beobachtet werden. Ferner begeben bei den nachfolgenden Zeitangaben:

- Co D das Verschwinden des Trabanten aus Schatten des Jupiter
- Co R das Aussteigen des Trabanten aus dem Schatten des Jupiter
- Co D das Verschwinden des Trabanten hinter der Jupitersehne
- Co R das Wiederaufgehens endlich neben der Jupitersehne.
- Tr I das Eintreten des Trabanten vor die Jupitersehne
- Tr E das Austritt des Trabanten aus der Jupitersehne
- St I das Eintreten des Trabantenshadows auf die Jupitersehne
- St E das Austritt des Trabantenshadows aus der Jupitersehne

Es sind nur diejenigen Erscheinungen der Jupitermonde aufgeführt, welche sich ereignen, wenn Jupiter zu Greenwich über und der Sonne unter dem Horizonte steht. Um die Momente dieser Erscheinungen nach mitteleuropäischer Zeit zu haben, so man nur nötig, so zu den angegebenen Zeiten zu addieren:

Jan. 1. I. Tr. I. 21^h 41^m. II. Tr. I. 21^h 41^m. I. St. I. 12^h 34^m. II. St. I. 22^h 34^m. I. Tr. E. 12^h 34^m. II. Tr. E. 12^h 34^m. I. St. E. 12^h 34^m. II. St. E. 12^h 34^m. Jan. 2. I. Co. D. 21^h 41^m. I. Co. R. 12^h 34^m. Jan. 3. I. Tr. I. 21^h 41^m. II. Co. D. 21^h 41^m. I. St. I. 12^h 34^m. II. Co. D. 21^h 41^m. I. Tr. E. 12^h 34^m. II. Co. R. 12^h 34^m. I. St. E. 12^h 34^m. II. Co. R. 12^h 34^m. Jan. 4. I. Co. D. 21^h 41^m. II. Co. R. 12^h 34^m. I. Tr. I. 21^h 41^m. II. Co. D. 21^h 41^m. I. St. I. 12^h 34^m. II. Co. R. 12^h 34^m. Jan. 5. I. Co. D. 21^h 41^m. II. Co. R. 12^h 34^m. I. Tr. I. 21^h 41^m. II. Co. D. 21^h 41^m. I. St. I. 12^h 34^m. II. Co. R. 12^h 34^m. Jan. 6. I. Co. D. 21^h 41^m. II. Co. R. 12^h 34^m. I. Tr. I. 21^h 41^m. II. Co. D. 21^h 41^m. I. St. I. 12^h 34^m. II. Co. R. 12^h 34^m. Jan. 7. I. Co. D. 21^h 41^m. II. Co. R. 12^h 34^m. I. Tr. I. 21^h 41^m. II. Co. D. 21^h 41^m. I. St. I. 12^h 34^m. II. Co. R. 12^h 34^m. Jan. 8. I. Co. D. 21^h 41^m. II. Co. R. 12^h 34^m. I. Tr. I. 21^h 41^m. II. Co. D. 21^h 41^m. I. St. I. 12^h 34^m. II. Co. R. 12^h 34^m. Jan. 9. I. Co. D. 21^h 41^m. II. Co. R. 12^h 34^m. I. Tr. I. 21^h 41^m. II. Co. D. 21^h 41^m. I. St. I. 12^h 34^m. II. Co. R. 12^h 34^m. Jan. 10. I. Co. D. 21^h 41^m. II. Co. R. 12^h 34^m. I. Tr. I. 21^h 41^m. II. Co. D. 21^h 41^m. I. St. I. 12^h 34^m. II. Co. R. 12^h 34^m. Jan. 11. I. Co. D. 21^h 41^m. II. Co. R. 12^h 34^m. I. Tr. I. 21^h 41^m. II. Co. D. 21^h 41^m. I. St. I. 12^h 34^m. II. Co. R. 12^h 34^m. Jan. 12. I. Co. D. 21^h 41^m. II. Co. R. 12^h 34^m. I. Tr. I. 21^h 41^m. II. Co. D. 21^h 41^m. I. St. I. 12^h 34^m. II. Co. R. 12^h 34^m. Jan. 13. I. Co. D. 21^h 41^m. II. Co. R. 12^h 34^m. I. Tr. I. 21^h 41^m. II. Co. D. 21^h 41^m. I. St. I. 12^h 34^m. II. Co. R. 12^h 34^m. Jan. 14. I. Co. D. 21^h 41^m. II. Co. R. 12^h 34^m. I. Tr. I. 21^h 41^m. II. Co. D. 21^h 41^m. I. St. I. 12^h 34^m. II. Co. R. 12^h 34^m. Jan. 15. I. Co. D. 21^h 41^m. II. Co. R. 12^h 34^m. I. Tr. I. 21^h 41^m. II. Co. D. 21^h 41^m. I. St. I. 12^h 34^m. II. Co. R. 12^h 34^m. Jan. 16. I. Co. D. 21^h 41^m. II. Co. R. 12^h 34^m. I. Tr. I. 21^h 41^m. II. Co. D. 21^h 41^m. I. St. I. 12^h 34^m. II. Co. R. 12^h 34^m. Jan. 17. I. Co. D. 21^h 41^m. II. Co. R. 12^h 34^m. I. Tr. I. 21^h 41^m. II. Co. D. 21^h 41^m. I. St. I. 12^h 34^m. II. Co. R. 12^h 34^m. Jan. 18. I. Co. D. 21^h 41^m. II. Co. R. 12^h 34^m. I. Tr. I. 21^h 41^m. II. Co. D. 21^h 41^m. I. St. I. 12^h 34^m. II. Co. R. 12^h 34^m. Jan. 19. I. Co. D. 21^h 41^m. II. Co. R. 12^h 34^m. I. Tr. I. 21^h 41^m. II. Co. D. 21^h 41^m. I. St. I. 12^h 34^m. II. Co. R. 12^h 34^m. Jan. 20. I. Co. D. 21^h 41^m. II. Co. R. 12^h 34^m. I. Tr. I. 21^h 41^m. II. Co. D. 21^h 41^m. I. St. I. 12^h 34^m. II. Co. R. 12^h 34^m. Jan. 21. I. Co. D. 21^h 41^m. II. Co. R. 12^h 34^m. I. Tr. I. 21^h 41^m. II. Co. D. 21^h 41^m. I. St. I. 12^h 34^m. II. Co. R. 12^h 34^m. Jan. 22. I. Co. D. 21^h 41^m. II. Co. R. 12^h 34^m. I. Tr. I. 21^h 41^m. II. Co. D. 21^h 41^m. I. St. I. 12^h 34^m. II. Co. R. 12^h 34^m. Jan. 23. I. Co. D. 21^h 41^m. II. Co. R. 12^h 34^m. I. Tr. I. 21^h 41^m. II. Co. D. 21^h 41^m. I. St. I. 12^h 34^m. II. Co. R. 12^h 34^m. Jan. 24. I. Co. D. 21^h 41^m. II. Co. R. 12^h 34^m. I. Tr. I. 21^h 41^m. II. Co. D. 21^h 41^m. I. St. I. 12^h 34^m. II. Co. R. 12^h 34^m. Jan. 25. I. Co. D. 21^h 41^m. II. Co. R. 12^h 34^m. I. Tr. I. 21^h 41^m. II. Co. D. 21^h 41^m. I. St. I. 12^h 34^m. II. Co. R. 12^h 34^m. Jan. 26. I. Co. D. 21^h 41^m. II. Co. R. 12^h 34^m. I. Tr. I. 21^h 41^m. II. Co. D. 21^h 41^m. I. St. I. 12^h 34^m. II. Co. R. 12^h 34^m. Jan. 27. I. Co. D. 21^h 41^m. II. Co. R. 12^h 34^m. I. Tr. I. 21^h 41^m. II. Co. D. 21^h 41^m. I. St. I. 12^h 34^m. II. Co. R. 12^h 34^m. Jan. 28. I. Co. D. 21^h 41^m. II. Co. R. 12^h 34^m. I. Tr. I. 21^h 41^m. II. Co. D. 21^h 41^m. I. St. I. 12^h 34^m. II. Co. R. 12^h 34^m. Jan. 29. I. Co. D. 21^h 41^m. II. Co. R. 12^h 34^m. I. Tr. I. 21^h 41^m. II. Co. D. 21^h 41^m. I. St. I. 12^h 34^m. II. Co. R. 12^h 34^m. Jan. 30. I. Co. D. 21^h 41^m. II. Co. R. 12^h 34^m. I. Tr. I. 21^h 41^m. II. Co. D. 21^h 41^m. I. St. I. 12^h 34^m. II. Co. R. 12^h 34^m.

Gestern und heute Mitternacht sind im Januar, Februar und März 1906 nicht sichtbar.

Mehrere größere und kleinere

astronomische Fernrohre

sind sehr preiswürdig zu verkaufen. Kollektanten wollen sich wegen billiger Mittelungen an mich wenden.

Prof. Dr. Hermann J. Klein in Köln-Lindenthal.



Seit 1905

Tafel 38

Der Gröning-Reflektor der Lick-Observanz
mit seiner neuen Montierung.

SIRIUS.

Zeitschrift für populäre Astronomie.

Centralorgan für alle Freunde und Förderer der Himmelskunde.

Herausgegeben

unter Mitwirkung hervorragender Fachlehrer und wissenschaftlicher Schriftsteller

von Prof. Dr. Hermann J. Klein in Köln.

December 1905.

(Wissen und Erreuen sind die Freude und die
Berechtigung der Menschheit.) Kreuzer.

Jeden Monat 1 Heft. — Jährlich 12 Mk.

Verlag von EDUARD HEINRICH MAYER in Leipzig.

INHALT: Eine neue Methode zur Ermittlung der Sonnenparallaxe. S. 385. — Die Grundlagen der Bestimmung der Entfernungen. S. 388. — Spektralanalytische Beobachtungen am kleinen sternförmigen Stern. S. 394. — Der neue Stern im Adler (Nova Aquilae 1905). S. 395. — Die Entwicklung des Sonnensystems während der Bildung eines Sterns aus kosmischer Materie. S. 397. — Die Bildung kosmischer Systeme. S. 399. — Venuscher Nachklang. S. 401. — Astronomisches Kalendarium. S. 404. — Notizen des Japansenten. S. 407. — Erdbebenlagen des Jahres 1905. S. 411.

Eine neue Methode zur Ermittlung der Sonnenparallaxe.

Die mittlere Entfernung des Sonnen-Systems vom Mittelpunkt der Erde bildet das Grundmaß für die kosmischen Dimensionen und daher ist ihre möglichst genaue Ermittlung eine Hauptaufgabe der Astronomie. Drei Methoden sind hierzu bisher angewandt worden, nämlich Parallaxenbestimmung von der Erde aus beobachtenden Planeten (Venus, Mars, Erös), Messung der Lichtgeschwindigkeit im Vakuum, infrareden Distanzen und Bestimmung grosser Ungleichheiten der Mondbewegung. Von diesen Methoden hat die erste bis jetzt die zuverlässigsten Resultate ergeben und als Maßstab dessen wird gewöhnlich Resultat der internationalen Konferenz zu Paris (1904) die Sonnenparallaxe angenommen zu 8.64

angenommen. Neuerdings hat Prof. F. Küstner (praktisch gezeigt,¹⁾ daß auch mit Hilfe des Spektrographen genauere Werte für die Sonnenparallaxe ermittelt werden können und diese neue Methode in schärferer Ausbildung und durch die Irthümlichkeit zu erzielende Verringerung der Beobachtungsraumverhältnisse herausgegebenen Ergebnisse führen kann, als die beste der bisherigen Methoden. Schon die ersten mit dem Spektrographen der Sternwarte zu Bonn erhaltenen Resultate für die radiale Geschwindigkeit grosser Fixsterne haben eine große innere Genauigkeit dieser Messungen gezeigt und ferner ergeben, daß die Fehler hauptsächlich in der Identifizierung der

¹⁾ Astr. Nachr. Nr. 408—99.

Linsen, also in den Ausstrichen für die Wellenlängen zu suchen waren. Denn jede Lichtstrahlte Ausstrahlung über die Wellenlänge einer Linse geht mit ihrem vollen Betrage auf die berechnete Verschönerung dieser Linse über und muß demnach das Resultat für die radiale Bewegung entsprechend verflücken. Bei dieser Lage der Sache schien es Prof. Klotter sehr erfolgreich, durch eine besonders angestrebte Beobachtungswerte die Erdgeschwindigkeit und typisch die Sonnenparallaxe zu bestimmen. Denn bei einer solchen Beobachtung war es sich nicht um die absolute radiale Geschwindigkeit, sondern nur um ihre Differenz, beobachtet in entgegengesetzten Jahreszeiten, handelt, welche offenbar die Linsenwirkung der korrigierten Art gleiches fort, wenn man sich denselben Linsen zur Messung bezieht. Sorgt man sich für die möglichst gleichförmigen Arbeiten bei der Aufnahme sowohl wie bei der Auswertung der einzelnen Spektrogramme, so werden auch instrumentelle und persönliche Fehler aus der Differenz herausfallen. Um dies zu erproben, hat Prof. Klotter im Sommer 1904 und in dem darauf folgenden Winter eine Reihe von Aufnahmen des Antares gemacht, da dieser Stern sich wegen seiner großen Helligkeit, die einen kleinen Spalt bei kurzer Expositionzeit ausreichten erlaubt, und wegen seines Spektrums mit zahlreichen sehr scharfen Linien, besonders dazu eignet, und auch sein Abstand von der Ekliptik ein willigen ist, so daß noch $\frac{1}{2}$ der Erdgeschwindigkeit zur Wirkung kommen. Ferner scheint seine eigene radiale Geschwindigkeit konstant zu sein, doch muß in Betreff dieser Frage zunächst noch etwas geklärt werden. Ginge auch zur Ermittlung etwaiger sehr kleinen periodischer oder kurzschreitender Änderungen der Radialgeschwindigkeit dieser oder auch anderer Sterne und ebenso zur scharfen Untersuchung erwiesener Änderungen werden streng differential angeordnete Reihen, wie

die vorliegende, erheblich aus demselben Grunde, wie sie oben bezüglich der jährlich wechselnden Erdgeschwindigkeit eingeführt sind, von besonderem Nutzen sein.

Einige von den Aufnahmen waren durch Wolken oder schlechte Luft wellungen und mußten von vornherein ausgeschlossen werden. Es blieben als brauchbar 15 Platten übrig, die sämtlich zur Messung herangezogen worden sind.

Diese Aufnahmen verlaufen sich auf den Zeitraum von 1904 Juni 24 bis 1905 Januar 15. Sie sind von Prof. Klotter mit einem Tüpfelchen Mikroskop genau ausgemessen worden. Die Auswertung wurde auf den Teil des Spektrums zwischen den Wellenlängen $\lambda = 4171$ und $\lambda = 4246$ beschränkt, weil hier besonders viele und scharfe Standardlinien auftreten und auch das Linienspektrum zahlreiche Linien mittlerer Stärke enthält. Dadurch ist die ungehörte Anzahl zwischen beiden möglich, vorab zur Eliminierung sämtlich von Verwirrungen der photographischen Schicht, dann aber allgemein von Fehlern der Abbildung und der Messung hier besonders Gewicht zu legen ist.

Bei Auswahl der einzelnen Sternlinien wurde darauf geachtet, daß sie möglichst auf allen Platten gleichmäßig scharf abgebildet waren. Namentlich mußten solche sonst gute Linien ausgeschlossen werden, die in unentzifferbarer Höhe schwache Begleiter zeigten, da letztere bei den unverschiedenen Schwankungen in der Intensität und in der Scharfe des Linienspektrums sehr mehr oder weniger mit dem Bilde der Hauptlinie vermischt und ihre Einstellung in wechselnder Weise beeinflussen konnten. Die unveränderliche Identifizierung der Linien mit Rowlands Sonnenlinien und die exakte Festsetzung ihrer Wellenlängen kommt dagegen, wie erwähnt, nicht in Frage, solange es sich nur um die Beobachtung von Änderungen der Geschwindigkeit handelt, mögen diese nun von der periodischen

Bewegung der Erde oder des Sterns herabzuheben.

Es wurden 16 Linsen des Spektrophotons angewandt und ebenso 16 Linsen des Cassegrainstrahls. Die Messungen und die deren anknüpfenden Rechnungen sind in aller Schärfe durchgeführt worden. Als Resultat für die Geschwindigkeit V des Asteroiden relativ zur Sonne ergibt sich aus diesen Messungen auf 16 Plätzen $V = -483 \pm 027$ km (für 1904.6). Unter der Annahme, daß die Lichtgeschwindigkeit im luftleeren Raum 299885 km (± 26 km) beträgt, findet sich der von Prof. Klotter beobachtete Wert für die mittlere Entfernungsabgibt $= 29.617$ km (± 0.057 km) und daraus folgt als Wert der Sonnenparallaxe $8.814'' \pm 0.017''$ (Neues Resultat, sagt Prof. Klotter, erscheint beschwerend in zweierlei Hinsicht. «Erstens enthält es einen neuen, möglichst scharfen empirischen Beweis für die Richtigkeit des Doppelstrahlens Prinzips in seiner Anwendung in der Reduktion angewandter Form, und zweitens beweist sein kleiner wahrscheinlicher Fehler die Möglichkeit, die Sonnenparallaxe auf spektrophotischen Wege mit aller wissenschaftlichen Schärfe zu bestimmen.

«Es ist natürlich, fährt er fort, nicht meine Absicht gewesen, bereits durch diese ganz kurze Reihe von nur 16 Aufnahmen, deren jede zur Auswertung einschließlich Justierung der Platte in beiden Lagen noch nicht zwei Stunden Arbeit erfordert hat, die Sonnenparallaxe mit einer Schärfe bestimmen zu wollen, die den besten Stern, und ein ganz unergiebiglich viel größerer Beobachtungsanstand gegründeten Berechnungen gegenüber erheblich im Gewicht liegt. Ich wollte vielmehr nur zeigen, und eben dies glaube ich erreicht zu haben, daß es der Tat die spektrophotische Methode mit den anderen Methoden zur Bestimmung dieser wichtigsten astronomischen Konstante in Wettbewerb treten kann und also auch treten muß. Die darüber

Platte hat hier in diesem relativ kleinen Instrument von nur 36 cm Öffnung die Geschwindigkeit mit einem \pm Fehler von ± 0.2 km ergeben, d. h. Besseres auf die Sonnenparallaxe von ± 0.014 . Diese elementare Beobachtungsschärfe wäre schon genügend, man darf aber erwarten, daß die großen Spektrophotoren der Riesentraktoren, in ähnlicher Weise gehandhabt, mindestens die doppelte Genauigkeit liefern werden lassen. Weiter handelt es sich, den Rechen- und bühnliche Ausrechnung zu geben und so das Gewicht des Resultats beliebig zu steigern, da man nicht, wie z. B. bei der Plattenoppositionen oder gar den Venusdurchgängen, an einem kurzen Zeitraume gebunden ist.

Praktisch wird es am einfachsten und zweckmäßigsten sein, Rechen- und spektrophotischen Bestimmung der Sonnenparallaxe zu verbinden mit dem von Prof. Frost angeregten und in verschiedenen Observatorien aufgenommene Beobachtungen der Standard Velocity Stars, diese Liste sich noch etwas erweitern läßt. Am nördlichen Himmel kommen als genügend hell und genügend nahe an der Ekliptik außer α Arietis, α Perseus, α Taurus, γ Orionis, α Leonis, α Virginis, η Boötis und vielleicht auch α Cassiopeiae, da die scharfe Eliminierung einer Bahnbewegung möglich sein wird. Eine ähnliche Anzahl geeigneter Sterne dürfte am südlichen Himmel vorhanden sein.

Diese Sterne sind dann also, außer zur Opposition, der allgemeinen Vergleichung der Instrumente wegen, auch noch in beiden Quadranten zu beobachten, und zwar immer möglichst nahe am Meridian, oder doch in demselben kleinen Stundenwinkel, und schließlich in demselben Lagen des Instrumenten. Hiermit ist besonders zu achten und es darf deshalb die kleine Unvollkommenheit der Beobachtung in den frühen Morgenstunden darüber nicht getrübt werden, damit systematische

Fehler, wie sie z. B. die Bewegung des Spektrographen erzeugen kann, die vom Stundenwinkel und der Lage des Instrumentes abhängen, eliminiert werden. Wie dem überhaupt auf völlig gleichmäßigen Arbeiten bei der Aufnahme und bei der Auswertung an jedem einzelnen Instrument und bei jedem einzelnen Stern das größte Gewicht zu legen ist. Dagegen ist es nicht notwendig, an den verschiedenen Instrumenten nach demselben Schema zu arbeiten; vielmehr wird in dieser Hinsicht eine möglichst Abweichung, z. B. in der Wahl der Linsen, garkeineswegs schaden.

Die ganze Methode ist so einfach und durchschlagend, und läßt sich so streng differential handhaben, daß systematische Fehler, deren Eliminierung bei anderen Methoden zur Bestimmung der Sonnenparallaxe oft so schwierig ist, kaum zu befürchten sind. Besondere Mühe ist nicht mehr am Fehlerfortschritt, nämlich der von strengen periodischen Bewegungen der betreffenden Sterne her-

stammende. Ob solche vorhanden sind, darüber werden gerade diese Beobachtungen aus dem besten Aufschuß geben, und es wird kaum dann noch möglich, noch bloß Aufnahmen zu dem Zweck der Quadraturen, auf die ich mich bei dieser Versuchsanlage hier beschränkt habe, sondern einige wenigstens auch zu den andern Zeiten und namentlich um die Opposition herum zu machen. Im Mittel aus einer größeren Zahl von Sternen können solche periodischen Bewegungen, selbst wenn sie vorhanden wären, auch ausreichten zum konstanten Fehler im Resultat für die Endgeschwindigkeit zu bringen, sondern meistens nur den zufälligen Fehler vergrößern.

Durch die Bestimmung der Sonnenparallaxe mit Hilfe der Spektrographie wird ein steter Zusammenhang zwischen Astrophysik und Astronomie geknüpft, gezeigt, diese beiden Zweige der Astronomie, die zu einer Zeit einmal stark auseinander zu stehen schienen, eng mit einander zu verbinden, zum Nutzen beider.

Die Grundlagen der Bestimmung der Erdgestalt.

Auf dem 3. Internationalen Meteorologischen Congress in Hamburg, bei Prof. A. Börsch vom Kgl. Preuss. geodätischen Institut (Berlin) eine hochwichtige und wissenschaftliche Darstellung der Arbeiten zur Bestimmung der Erdgestalt und des heutigen Standes dieses Arbeitens gegeben. Folgendes ist die wesentliche Inhalt seiner Darstellung¹⁾.

Es gehen das Ende des 18. Jahrhunderts gleich man, durch wenige ist möglichst verschiedenen Stellen geographisch und mit äußerster Genauigkeit ausgeführte Gradmessungen — und zwar kamen damals fast nur Breitengradmessungen in Betracht — die

Elemente des Erdellipsoids, nämlich die Länge der beiden großen Achsen und die Abplattung, bestimmen zu können, eine Anschauung, die besonders scharf in der hiermit begründeten Ableitung eines sogenannten natürlichen Längenmaßes, des Meters, zutage tritt. Bestimmten, der sich in der Länge der Breitengrade in verschiedenen Gegenden, unter denselben und unter verschiedenen Breiten, gegen die theoretischen Werte ergaben, wurden die Beobachtungen, vorzüglich aber den astronomischen Bestimmungen, zur Last gelegt. Jedoch liegt man schon zu früherer Unterscheid zwischen den beobachteten und den aus den physikalischen Messungen unter Zugrundelegung eines bestimmten Ellipsoids berechneten

¹⁾ Verhandlungen des 3. Internationalen Meteorologischen Congress in Leipzig 1900 S. 426 ff.

Dieses durch lokale Abkühlungen, angedeutet durch solche dichtstehenden Massen, zu erklären. Orte mit solchen lokalen «Lohbedrungen» heißt man für ungeeignet zur Auflegung astronomischer Stationen. Durch die Befunde der Versteinerungen der Instrukten und der Beobachtungsverfahren immer häufiger als vorher bekannten Lohschläger veranlaßt, kam man gegen das Ende des 18. Jahrhunderts auf die Idee, durch schickliche Wahl der Lage und der Dimensionen eines besondern «Elliptisch» diese Lohschlägerungen für ein beschränktes Gebiet, wie z. B. Großbritannien und Island, möglichst klein zu machen. Der Erfolg war jedoch gering. Man glaubte gleichwohl noch längere Zeit hindurch, aus den bereits vorhandenen Beobachtungen mit einiger Sicherheit ein allgemeines Ellipsoid ableiten zu können, was schließlich die aus verschiedenen Beobachtungen herausgegangenen, ebenfalls übereinstimmenden Werte der halben großen Achse und der Abplattung der Erde bedingten, wie sie u. a. durch Walbeck, Aery und Bessel (1841) ermittelt wurden. Die Beobachteten Werte der Größe und Gestalt der Erde galten lange Zeit als die besten, und auch heute liegen sie noch die Beobachtungen vieler und ungedeckter Landesvermessungen zugrunde. Indessen ergaben neuere Abmessungen aus den Jahren 1846 und 1880 durch A. R. Clarke gegen Bessel eine Vergrößerung der halben großen Achse um etwa 1 dm und eine solche der Abplattung von 1:299 auf 1:293. Man war sich hierbei, abgesehen von einigen andern Bedenken, darüber klar, daß sich die zu bestimmende Form nur den meisten Beobachtungen entsprechend gut anschließen, aber u. B. kein feststehendes Ungleichgewicht in der Gestalt der Erde vermindert werden können. Bei einer nähergehenden Inprozesssetzung Verbindung zweier Beobachtungsreihen müßte sich dieser Umstand bemerkbar machen. So führte dieser

nach bei der 1888 bekannten Verbindung der russisch-französischen mit der englisch-französischen dadurch daß sich das wiederholte Verändern beider Meridianbogen gegeneinander um 80 mm von etwa 5' ergab, die später (1900) auf einen andern Beobachtungsweg bestätigt wurde. Der hervorragende Einfluß, den die ostindische Gradmessung, sowohl infolge ihrer Ausdehnung, als auch auf Grund ihrer geographischen Lage in der Nähe des Äquators zwischen dem indischen Ozean und dem Himalaya mit dem Hochlande von Tibet, auf die Bestimmung der Erdform ausüben mußte, veranlaßte zunächst die Zweifel an der Richtigkeit einer gewissen Bestimmung der Erdgestalt als Rotationsellipsoid; hielt sich die doch ständes die Beobachtungen und ein Clastisches Ellipsoid hat gleich gut anpassen.

Die Folgerungen, die bereits aus den 1828 bekannten Ergebnissen für die Weiterentwicklung und die Aufgaben der wissenschaftlichen Geodäsie zu ziehen waren, hat wohl kaum in der Bestimmung des Breitenkreises zwischen Ostlängen und Längen — zuerst in voller Klarheit ausgesprochen. «Nach unserm Dafürhalten», sagte er, «betrachtet man diesen Gegenstand (nämlich die Aufgabe von Lohbedrungen) aus einem falschen Gesichtspunkte, wenn man bei solchen Erhebungen immer nur von Lohbedrungen der Lohlinie spricht, und sie also gleichsam nur als ungenutzte Ausnahmen ansieht. Was wir im gemeinsamen Sinn Oberfläche der Erde meinen, ist nichts anderes als diejenige Fläche, welche überall die Richtung der Schwere senkrecht schneidet, und von der die Oberfläche des Weltmeeres einen Teil ausmacht. Die Richtung der Schwere an jedem Punkte wird aber durch die Gestalt des festen Teiles der Erde und seine ungleiche Dichtigkeit bestimmt, und an der äußeren Rinde der Erde, von der alles was drum herum, folgt sich diese Gestalt und

Diebigkeit als höchst ungenügend; die Unregelmäßigkeit der Diebigkeit mag sich leicht noch erweitern und erstreckt sich gute unsere Berechnungen, zu welchen fast alle Daten führen. Die geometrische Oberfläche ist das Produkt der Gesamtsteigung dieser ungleich verteilten Elemente, und man ist veranlaßt, unvollständige Beweise der Unregelmäßigkeit des Erdbaus zu finden, schon so klar zu bewandern, daß sie nicht noch größer ist. Waren die astronomischen Beobachtungen einer zehn- oder hunderttausendmal größeren Genauigkeit fähig, als sie gegenwärtig haben, so würden wir diese Unregelmäßigkeit eines Zweifels ohne Nachdenken bei dieser Lage der Sache hundertmal mehr, die Erde so genau als ein elliptischer Umdrehungsphäroid zu betrachten, von dem die wirkliche (geometrische) Oberfläche überall bald zu starkem, bald zu schwachem, bald zu starkem, bald zu geringer Unebenheiten abweicht. Wäre es möglich, die ganze Erde mit einem trigonometrischen Netze gleichsam zu umspannen, und die gegenwärtige Lage aller Punkte dadurch zu beschreiben, so würde die wirkliche Umdrehungsphäroid dasjenige sein, auf welches berechnet die Richtungen der Vertikalen die möglichste Übereinstimmung mit den astronomischen Beobachtungen gäbe.»

Als mathematischer Erdgestalt wird mit dem Wortes Begriff diejenige Fläche definiert, die die Oberfläche des Wassers mit dem Meere zusammenhängenden, die Erde bedeckenden Netze von ungen Kurven bildet würde, wobei aber das Wasser in ruhiger Ruhe gegen das Festland, also ohne Strömungen und ohne die Einwirkungen von Sonne und Mond (Ebbe und Flut) und der Winde und unter unveränderlichen Luftdrucke an der Meeresoberfläche gedacht wird. Für diese Fläche ist dann später von J. B. Listing der Name Geoid eingeführt worden.

Geoid wird auch darauf hin, daß zur

Untersuchung des Geoids nicht Verwirklichung der Gradmessungen die Hauptsache ist, sondern die Ausbreitung möglichst ausgebreiteter und in Zusammenhang stehender trigonometrischer und astronomischer Messungen, er bezieht sich daher über die Schwierigkeiten jener Art, die diesem Zusammenhang schon damals mehrfach Deutschlands und seiner Nachbarländer entgegenstanden. General Beyer machte diese Forderung zunächst für Zentral-europa 1810 durch die Begründung der Mitteleuropäische Gradmessung zu erfüllen, mit der ausgesprochenen Absicht, die Klimaverhältnisse der Erde in dem höchsten Gebirge zu untersuchen. Die Mitteleuropäische Gradmessung erstreckte sich 1862 zur Europäischen und 1888 auch Bayerns Teile und schloß fast alle Kaiserstaaten der Konvention begründet waren, zur Internationalen Erdmessung. Durch sie und die großen Meist, die ihr nach jeder Richtung hin, besonders auch in der Personen- und Geldfrage, zur Verfügung stehen, angeregt, konnte man die Frage nach der Möglichkeit der Bestimmung des Geoids oder wenigstens einzelner seiner Teile, sowie der Feststellung der dazu nötigen Erfordernisse theoretischer und praktischer Natur näher treten. Man mußte vor allen Dingen untersuchen, ob die Lösung der Aufgabe ohne Hypothesen über das Bildungsgesetz der Fläche möglich sei, und ob für den Fall, daß man aus praktischen Gründen gewisse Hypothesen aussetzen gezwungen wird, sich ihr Inhalt mit hinreichender Schärfe erfüllen oder ob belanglos gegenüber den durch die Beobachtungsglieder verursachten Unsicherheiten nachzuweisen ist.

Weil man nur auf einem kleinen Teile der Erdoberfläche Menschen genau Beobachtungen anstellen kann, so ist es zunächst notwendig, das Geoid als Geozen zu betrachten. Derselbe erfaßt durch Bruns (1878) durch den Ausdruck: »Ebenso wenig, wie man

versuchen wird, das Maß, welches eine großräumige Kartographie, mit möglichem Anspruch auf Genauigkeit in einer Formel zu belegen, herauszubringen wird man auf ein brauchbares Mittel rechnen dürfen, wenn man es unbekannt, für die Gestalt der Erde einen Ausdruck zu suchen, der die wahre Form derselben, bis auf Quantitäten von der Ordnung der Beobachtungsfehler angibt.

Prof. Schuch gibt dann einen Überblick über die Rolle, welche die Ermittelung der Intensität der Schwerkraft (durch Bestimmung der Länge des vertikalen Seilabwärtzfalls) bei den Untersuchungen über die allgemeine Erdgestalt für sich allein und im Zusammenhang mit den Gradmessungen spielt. Der französische Geometer Clairaut leitete 1738 unter der Annahme, daß ein homogen geschichtetes Rotationsellipsoid Gleichgewicht der Erde sei, sein bekanntes Theorem ab, das die Abplattung mit der Schwerkraft am Äquator und am Pol und mit der Schwerkraft am Äquator in Beziehung setzt. Unter andere haben dieses später besonders O. G. Stokes, H. Helm und E. R. Halmst zur Verallgemeinerung dieses Theorems beigetragen. Die neuere Bestimmung der Abplattung des Normalellipsoids aus den Schweremessungen, durch Helmst im Jahre 1901, die sich nur wenig von seinem 1884 gefundenen Resultat unterscheiden, ergibt hierfür mit einer relativ großen Sicherheit 1 : 298,3. Diese Umrechnung erstreckte sich getrennt auf eine sehr große Anzahl von Fußwerts- und von Kilogrammwerten, die auf die Mittelbreiten von 2° bis 75° in Intervallen von 1° verteilt sind; die Stationen auf denen heute in beiden Werten wurden stets besonders Vorherrschen wegen vorerst noch ausgerechneten. Die gute Überbestimmung der aus beiden Gruppen ermittelten mittleren Werte der Abplattung ist für die Schätzung der Genauigkeit der gesamten Zahl besonders wertvoll.

Da die Bestimmung der Abplattung aus den Gradmessungen, zum Teil schon wegen ihrer jetzigen Verrückung, und auch ihrer Ableitung aus astronomischen Daten, aus Beobachtungen und aus der Präzisionskonstanten, deren Ergebnisse sich aber gleichwohl dem neuen Wert nahe anschließen, ungenauer ist, so ist der Höhenwerte Wert heute als der beste anzusehen. Dagegen kann man mit hinlänglich ausreichenden Gradmessungen, etwa von über 2000 km Ausdehnung, unter Annahme des gesamten Abplattungswertes, sehr wohl die halbe große Achse des Ellipsoids ableiten. Vielfache Untersuchungen im Zentralbereich der internationalen Erhebung zu Potsdam, bei denen vor allem auch die beiden ersten großen Längengradmessungen, die europäische in 52° und die nordamerikanische in 38° Breite, berücksichtigt wurden, liefen für die halbe große Achse den abgerundeten Wert 8378 km ergeben.

Wenn die Schwere auf der ganzen Erdoberfläche bekannt wäre, so könnte man sich einer Formel von O. G. Stokes (1849) die regionalen Erhebungen des Geoids gegen das Normalellipsoid aus den Schwerestörungen, δh , aus den Abweichungen der auf die Meeresfläche reduzierten beobachteten Schwere von der berechneten, stützen. Abgesehen davon, daß auch für die Zukunft nur in ganz besonderen günstigen Fällen eine solche Verrückung der Schwerestörungen möglich sein wird, aus mit einiger Sicherheit nur regionalen Erhebungen für einzelne Punkte bestimmen zu können, ist die Formel zur Ermittlung der allgemeinen Erdgestalt schon dadurch unbrauchbar, weil sie nur die Variationen des Radiusvector liefert, während sein Mittelwert anderenorts gegeben sein muß. Dieser kann allein durch Gradmessungen ermittelt werden. Endlich kann aus Schwerebestimmungen in Verbindung mit Höhenmessungen allein ein mittlerer Eindruck nur in ganz ruher Wert ab-

geleitet werden. Die Gesteinsmassen wurden daher auch aus diesem Grunde (des Unvollständigkeit bei der Ableitung der allgemeinen Erdgestalt) bestraft.

Bei der Einführung der Poissontheorie in die Untersuchungen über die Erdgestalt dachte man natürlich sehr bald daran, die Erhebungen und Senkungen des Gesteins gegen die Normalhöhe des Meeresspiegels durch die Anziehung der irdischen und verschiedenen dichten Massen der Erdkruste, hauptsächlich zufolge des Gegensatzes von Festländern und Ozeanen, entstehen zu lassen, durch Rechnung, wenn auch zuerst nur in roher Schätzung, zu erfüllen. Nach den mehr theoretischen Betrachtungen von G. G. Stokes (1849) waren es besonders Ph. Fischer (1866) und J. B. Listing (1872 und 1885), die unter anderem, zum Teil einschneidendes Anschauungsbild der Rechnungen ermittelten. So fand Fischer, daß sich an den Küsten der Festländer das Gestein um 500 m erhebt, die unter den Festländern bis auf 1000 m sinken können; nach Listing sollte sogar die Dagegenmassen der Meeresfläche etwas über 1000 m betragen, so daß den Senkungen des Meeres unter bis 2000 m möglich erschienen. H. Bruns stellte 1878 zuerst auf richtigen Voraussetzungen beruhende Untersuchungen an, wobei freilich die Verteilung von Wasser und Land noch sehr idealisiert angenommen wurde, und fand, daß man wohl noch zugeben könne, daß das Gestein gegen den Normalhöhenstand des Meeresspiegels zwischen ± 500 m enthalten sein. Zu ähnlichen Resultaten gewannen — 400 m und ± 300 m, jedenfalls aber auch unter ± 500 m — bereits Helmer 1884, indem er, abgesehen von anders Anschauung, die Komensate in angemessener Weise durch Meeresküsten als Kräfte ersetzte. Durch eingehende Untersuchungen über den Verlauf der Schwerkraft gelangt er aber zu der Ansicht, daß bei der Anschauung

von Senkungen, die der äußeren Figur der Festlandmassen entsprechen, der beschärfte Verbalen der Schwerkraft, wozu sie sich auf den kleineren Inseln der Ozeane nicht größer zeigt als auf dem Festlande, unverständlich ist. Es wird also schon eine Kompensation der Festländer durch unterirdische Massendichte als wahrscheinlich angenommen. Adametz teilte aber Pape (1886 und 1889) die Hypothese aufgestellt, daß die Dichtegrenzen gewisser Erdschichten unter den Ozeanen größer sei als die der entsprechenden unter den Festländern. Unter diesen Umständen würden dann die Höhenstörungen des Gesteins nur Bruchteile von ± 500 m betragen. Die Ergebnisse der Gesteinsmessungen und die der Pendelmessungen in Vorderindien, hatten übrigens schon 1895 J. H. Pratt zu der Annahme geführt, daß die Massenschiebungen, welche der äußeren Begrenzung der Kontinentalmassen entsprechen, durch Dichtegleichgewichtsänderungen bis zur Tiefe von einigen tausend Kilometern eingeleitet werden.

Die große Ausdehnung, die die Schwerkraftmessungen erfahren haben, seitdem es das v. Seemannsche normale Halbbereichsprodukt ermöglicht, liegt, auch und mit großer Genauigkeit relative Bestimmungen der Schwerkraft anzeigenden, in Verbindung mit neuen Erklärungen über die Verteilung der Lotabweichungen geben Helmer 1890 die Mittel in die Hand, in seiner Schwerkraft am Hochgebirge nachzuweisen, daß die Abstände des Gesteins vom Normalhöhenstand unterhalb der Ozeane von ± 500 m bis hin, und daß die Höhe der Gebirge und auch die Kontinente zum größten Teil durch unterirdische Massendichte kompensiert sein. Schon 1890 konnte aber Helmer auf Grund seiner früheren Untersuchungen und aus den Ergebnissen der Gesteinsmessungen, besonders der neuen europäischen Längengradmessungen in 62° Breite, schließen, daß auch die Senkungen des Gesteins, auch die kon-

fliegender Nadel und die unter der Grenze, sogar in den Grenzen ± 100 m bewegen werden. Diese ± 100 m sind aber vollkommen ausreichend, um den Widerspruch in den aus den Gradmessungen und den Probenmessungen erhaltenen Werten der Abplattung zu erklären. Auch die vorher erwähnte widersprüchliche Lage des russischen Breitenbogens gegenüber dem französischen, würde sich auf eine durch kontinuierliche Ausziehung verursachte Erhebung des Gesteins in dem südlichen Teile der ersten im Betrage von unter 50 m ausmachen lassen.

Zur vollständigen Festlegung der erhaltenen Zahlen war es aber von der größten Wichtigkeit, auch über den Tiefs des Ozeans Schwereanomalien aufzählen zu können; doch ergaben sich alle Versuche, dies zu ermöglichen, als ungeeignet und zu ungenau. Erst 1961 gelang es G. Hecker, auf Helmerls Anregung hin, durch vergleichende Beobachtungen an Querschnittsbarometern und Seichtromonometern (s. auch Mehl) auf dem Atlantischen Ozean zwischen Hamburg, Lissabon und Rio de Janeiro die Schwerekraft mit der nötigen Sicherheit zu bestimmen. Das Ergebnis war, daß die Schwerekraft auf dem tiefen Wasser des Atlantischen Ozeans zwischen Lissabon und Bahia als normal und der kontinentalen Schwereformel Helmerls von 1944 entsprechend gefunden wurde. Auch die von Nansen bei seiner Polarfahrt über dem hohen Polarmeer auf dem Eis zugeordneten Probenmessungen bestätigen diese Erklärung. Man kann also auf der Prütischen Hypothese von der überall vorhandenen westlichen Lagerung der Massen der Erdkruste (wenn auch nur im Sinne einer allgemeinen Regel) als einer Tatsache stehen und behaupten, daß sich die richtigen Anzeichen des Gesteins in den vorher angegebenen Grenzen von ± 100 m halten. Man mag sich dies vorstellen, daß die Massen- und Dichteanomalien der physikalischen Erdoberfläche auswendig sind,

durch Massenberechnungen aus einer ursprünglich homogenen oder homogen geostatischen Erdkruste entstanden sind. Natürlich braucht man sich diese Masse nicht für jedes Quadratmeter der Erdoberfläche erhält zu denken, sondern vielleicht für Kreise von einigen hundert Kilometern Radius, um von der Größenordnung dieser Zahl eine angemessene Vorstellung zu geben. Hierauf weisen auch die auf Grund der Anziehungswirkungen richtiger Massen berechneten relativen Lotabweichungen hin, die bei dieser Berücksichtigung bis auf 25—40 km Unstetigkeiten, durch die beobachteten Lotabweichungen meistens ungefähr dargestellt werden. Dazu kommt noch, daß die geometrischen Normalwerte nach Ausziehung des normalen Teiles der durch die Nichtgleichheit der Normalflächen bedingten Rotations ergeben haben, daß die Mittelwasser der Europa ausgedehnten Meer bis auf Beträge von der Ordnung der Beobachtungsfehler und bis auf solche, die durch lokale Störungen, wie vorherrschende Winde, verursacht werden, ihrer Niveaufläche entsprechen.

Eine wichtige Folge der skizzierten Resultate ist, daß man sich nunmehr in der bisher üblichen Weise terrestrischen geographischen Höhenwerte mit ausreichender Genauigkeit als auf ein bestimmtes „Referenz-niveau“ übertragen denken kann. Relativ Lotabweichungen von etwa 100' sind nur noch in ganz vornehmen Fällen zu erwarten; meistens werden sie unter 10'—20' bleiben und können sich über größere Gebiete erstreckenden systematischen Charakter annehmen. Schließlich geht Prof. Bosch auf die Methoden ein, die für die schätzungsweise Darstellung von Flächenanteilen des Gesteins in geographischen Formausgeprägungen in Frage kommen, wobei er sich, der historischen Entwicklung folgend, im allgemeinen auf die Vorschläge beschränkt, die er in sich abgeschlossenen Bild geformt und mit den Namen Yves Villarmet, H. Bruns und F. R. Helmert verknüpft sind.

Spektrographische Beobachtungen einiger veränderlichen Sterne.

Aährend des verfloßenen Jahres hat Prof. Edwin H. Frost mit dem Brunspektrographen des Vinkelobservatoriums nach mehreren Veränderlichen, hauptsächlich solche des Algoltypus untersucht¹⁾ zu dem Zwecke, die Radialgeschwindigkeiten derselben zu ermitteln. Das von ihm kürzlich mitgeteilte Ergebnisse dieser Untersuchungen sind nur vorläufig, doch zeigen die Messungen, daß die Veränderlichen *R Cass majoris*, *Z Herculis* und *V Sagittae* spektroskopische Doppelsterne sind und daß ihre Geschwindigkeiten in der Richtung unserer Gesichtslinie sich so verändern, wie es nach der Phase ihres Lichtwechsels erwartet werden muß. Folgendes ist der wesentliche Inhalt der Mitteilungen von Prof. Frost.

R Cass majoris. Der Lichtwechsel dieses Sterns bewegt sich zwischen 5.8 und 6.7 Größe und die Dauer der Periode beträgt 27.14^h. Drei Aufnahmen im Januar, Februar und April, ergaben durch Messung der Linsenverschiebung im Spektrum, daß die Bewegung in der kreisförmigen Bahn etwa 37 km beträgt und das ganze System sich mit einer Geschwindigkeit von 40 km in der Gesichtslinie, der Erde nähert. Das Spektrum ist eine Mischung zwischen dem Yagelischen Typen Ia₁ und Ia₂, doch sind die Linien besser.

Z Herculis. Dieser Stern ist im Maximum 7, im Minimum 8 Größe. Die Linsenverschiebungen im Spektrum deuten auf eine Geschwindigkeit in der erwarteten Richtung, doch nähert sich das System der Erde, doch sind einzelne Messungen etwas un sicher. Das Spektrum steht demjenigen des vorher-

genannten Sterns, doch sind die Linien ziemlich schwach. Mit Ausnahme der Ausdehnung einer Doppelheit der Linie H γ bei der Aufnahme am 18. August, fehlt im Spektrum jede Spur des Begleiters.

U Sagittae. Die Helligkeit schwankt zwischen 6.5 und 8.1 Größe und die Periode des Lichtwechsels beträgt 36.9^h. Das Spektrum gehört zum Quesotypus. Zwei Aufnahmen ergaben Geschwindigkeiten von — 49 und + 60 km in der Sekunde. Von Linien, die dem Begleiter zugehören könnten, ist in dem Spektrum nichts zu sehen.

U Ophiuchi. Von diesem bekannten Veränderlichen des Algoltypus sind 3 Spektrogramme erhalten worden. Das Spektrum ist das der Orionssterne über die Heliumlinien und schwach, während die Wasserstofflinien und die Linie mit der Wellenlänge λ 4481 äußerst breit und verworren erscheinen, auch sind die Messungen auf den Platten sehr schwierig. Die Aufnahmen ergaben, daß das Spektrum zusammengesetzt ist aus zwei Spektren und deutliche Verschiebungen der Linien auffinden, doch müssen noch weitere Aufnahmen erfolgen um bestimmte Zahlenangaben zu ermöglichen.

R X Herculis. Zwei Spektrogramme dieses Veränderlichen wurden erhalten, sie zeigen die wahrscheinliche Vorhandensein der Heliumlinien, doch sind diese sehr schwach. Die Linie λ 4481 erscheint auf der ersten Platte deutlich doppelt, auf der zweiten dagegen einfach. Weitere Aufnahmen sind erforderlich.

V Cygni. Auch bei diesem Stern sind noch weitere Aufnahmen notwendig um sichere Ergebnisse zu erzielen.

R Coronae. Von diesem Ver-

¹⁾ Astrophysical Journal 1905, 84: 23, 8: 213.

inderlichen wurde im Juli und August je eine Aufnahme des Spektrums erhalten. Sie ergaben eine anfängliche Geschwindigkeit von 13 km pro Sekunde,

mit der sich der Stern entfernt. Er war damals ungefähr 7. Größe. Das Spektrum ähnelte demjenigen von α Perse.

Der neue Stern im Adler (Nova Aquilae Nr. 2).

 Prof. Edward Pickering macht folgende Mitteilungen über die Auflebung dieser Nova.¹⁾ Es ist der zweite Stern dieser Klasse, der im Adler von 1846 Planung durch Untersuchung der Doppel-Messieratlasen bemerkt wurde. Vor dem 18. August 1895 findet sich auf keiner photographischen Platte eine Spur des Sterns. Bemerkenswert ist, daß er die zweite Nova im Adler ist, die seit 1890 aufgesuchte, beide aber waren ohne die Hilfe der Photographen der Wahrnehmung ausgegangen. Prof. Pickering gibt eine Tabelle, in welcher die hauptsächlichsten Tatsachen enthalten sind, welche die Prüfung einer Anzahl photographischer Aufnahmen der Umgebung des neuen Sterns ergab. Die früheste Aufnahme datiert vom 22. Mai 1895 und zeigt am Orte der Nova keinen Stern, der die 12. Größe erreicht, das gleiche ergaben Aufnahmen 190 und 94, welche aus den Jahren 1896 und 97 entfallen

Stern 11. bis 14. Größe aber nicht am Orte der Nova, absonderung zeigt sich dort schon auf einer Aufnahme von 1903, welche Stern 15.7 Größe enthält. Die Aufnahme vom 2. August 1905 zeigt, daß die Nova damals schwächer als 11.5. Größe gewesen sein muß, eine solche vom 10. August enthält Stern 9.3 Größe, aber am Orte der Nova steht dagegen erstarkt letztere am 18. August in der Größe 8.07, am 28. in der Größe 8.3, am 28. 10. Größe, am 31. bereits 10.3 Größe. Die Lichtabnahme dauerte nun mit ganz geringen Schwankungen stetig fort. Sept. 1 war der Stern 10.4, Größe, Sept. 9. 10.6 Größe, Sept. 22 bereits von der (photometrischen) Größe, 11.55. Nach allem muß die Nova zwischen dem 10. und 18. August entstanden sein, ein Zeitpunkt, welches sich, wie Prof. Pickering heißt, nach Bestreben der zu Annapolis aufgenommenen Platten vorzuziehen wird.

Die Entwicklung des Spektrums während der Bildung eines Sterns aus kosmischer Nebelmasse.

 Eine Reihe von Erörterungen hat W. E. Wilson angestellt über die Veränderungen, welche das Spektrum eines kosmischen Klopers erfährt, während dieser vom Zustande einer Nebelmasse zu dem eines Fixsterns fortschreitet.²⁾ Er geht von dem Zu-

stande einer Gasmasse aus, die so hohe Temperatur besitzt, daß sie Licht ausstrahlt und dabei in so verdünntem Zustande ist, daß sie alle Lichtwellen absorbiert, denen die sie selbst ausstrahlt vermag, durchläßt ihr Spektrum wird dann aus hellen Linien besteht. Ein solches aus wenigen hellen Linien bestehendes Spektrum hatte William Huggins bereits 1844 ausriß von einigen Nebeln erhalten. Dasselbe wies auf die Anwesenheit von Wasserstoff und Helium hin, einige schwache Linien

¹⁾ Harvard Coll. Obs., Circular Nr. 386.

²⁾ Proceedings of the Royal Soc. 1906.

Son. A. vol. 76, p. 371. Referat in der Naturwissenschaftlichen Rundschau 1906, Nr. 46, S. 50.

konnte nicht durchdringt werden. Während die Gase, welche der Entladung wegen kugelförmig ausströmen, leicht abfließen, nimmt der Druck im Zentrum zu und erreicht mit der Zeit einen Grad, bei dem das Gas für Licht oder Wellenlängen undurchsichtig ist, die schwarzen rötlichen Linien des Spektrums werden allmählich dicker und enden schließlich in die kontinuierlichen Spektrallinien über. Die Masse würde sich dann wie ein schwarzer Körper verhalten. Aber da die rötlichen schärferen Linien wegen der Temperaturdifferenzen mäßige Konvektionsbewegungen hervorrufen müssen, werden schon die Strahlen, die aus geringerer Tiefe stammen, nach innen abgelenkt, so daß das Spektrum auch dem rein schwarzen Körper gleicht, woselbst dasselbe bleibt wie vor dem vollständigen Undurchsichtiggeworden des Kernes.

Wenn der Nebel ursprünglich aus sehr verdünntem Wasserstoff bestand, der geringfügige Mengen von Dämpfen anderer Metalle beigemischt sind, dann wird das Spektrum dieser Metalle erst erscheinen, wenn mit der Zeit die Elemente im höheren Abwärtswinkel nach dem Zentrum niedergewallen sind und sich dort so verdichtet haben, daß sie ihre hellen Linienspektren ausstrahlen. Dabei verdrängen die die leichteren Elemente, Wasserstoff, Helium, Kohlenstoff, so daß die schwereren Elemente im Kern des Nebels die hellen bandartigen, fast kontinuierlichen Spektren liefern, während die leichteren Stoffe in den höheren Schichten sich abköhlen und ein dunkles Linienspektrum zu ausstrahlen anfangen. Dieser Zustand hält an, bis der Nebel sich so weit abgekühlt hat, daß der Kohlenstoffdampf zu Täfelchen harter Kohle erstarrt, welche aus Wellenachtern oder Photosphären in der Sternatmosphäre bilden.

Mit Erreichung dieses Stadiums hat sich das Spektrum wesentlich verändert. Der Wellenachtern schwindet der vom Kern kommende, aus hellen Bländern

bestehende Spektrum ab und gibt ein absolut kontinuierliches, das das Fraunhofer'sche Spektrum dunkler Linien aufgelegt ist. Das Sonnenfeld gibt das Sonnenspektrum aus dem Stadium, wo die Sonne so heiß gewesen, daß die Kohlenstoffwellen nicht verdrängen konnten. Stacy, der zuerst diese Erklärung für die Photosphäre aufgestellt, war darauf aus, daß von der Oberfläche der Photosphäre die Trüffchen des Kohlenstoffs in hellere hellere Schichten fallen, in denen sie wieder verdampfen und mit den hellen Gasen reagieren, wir blieben daher im Faden durch die verdampften Wolken in dem Gasraum, und der Hof eines Sonnenflecks ist die Gegend, in der die Wolke nicht regnet, sondern darrt oder schmelzt.

Das gewöhnliche Fraunhofer'sche Spektrum wird danach nur von dem Dämpfen der Elemente gebildet, die wegen ihres Abwärtswinkels über der Kohlenstoffwolke liegen, neben solchen, welche von den mäßigen Konvektionsströmen, die bei dem schwachen Temperaturgradienten infolge der starken Strahlung von den Wolken vorhanden sein müssen, ausgehen werden. Das Spektrum der Sonnenflecke entspricht dem, welches wir erwarten müssen, wenn die Strahlung von einer Gaswolke herkommt, die heißer ist als die Wolke, denn es besteht aus hellen Bändern und Linien, welche von Absorptionen der Dämpfe durchgehen, das, die zwischen der Wellenschicht und dem hellen Gasraum liegen. Wenn die Tiefe oder der Partialdruck eines Dampfes zunimmt, werden die Linien dieses Absorptionsspektrums dunkler und breiter; sie gehen in Bänder und schließlich in ein kontinuierliches Spektrum über. Wenn umgekehrt der Druck vermindert wird, so streutenden, wie Huggins für den Calciumdampf nachgewiesen, einige Linien des Spektrums, während nur einzelne — z. B. die Linien K und H beim Calcium — bestehen bleiben. Nicht

nur des Verschwindens, sondern auch Umgebildungen einzelner Linien beim Unverändertbleiben anderer Linien desselben Spektrums werden beobachtet, wenn der Dampf nur teilweise, z. B. durch von einem Stern nur die obersten Schichten eines tiefen Dampfstroms, erzeugt werden.

Die große Durchsichtigkeit des Wasserstoffs macht es unmöglich, charakteristisch Absorptionen derselben wie einem Sonnenstrahligen Spektrum zu erhalten; erst Schichten von mehreren tausend Malten, wie sie in der Sonne vorkommen, geben scharfe, dunkle Linien, während die ihre Durchsichtigkeit nicht verliert. Andere Dämpfe, z. B. Natrium, werden hingegen schon in geringen Schichten nachweisbar, es sind in der Sonnenatmosphäre, die der Hauptmasse nach aus Wasserstoff und Helium besteht, nur in sehr geringer Menge vorhanden, und wenn man das Sonnenlichter sich wieder zum Natrium ausgedehnt denkt, etwa auf den reinlichen Durchmesser der Hauptscheibe, dann wird der Partialdruck des Natriums und in ähnlich geringer Menge an anderer anderer Stoffe so gering, daß ihre Linien im Spektrum verschwinden; es bleibt nur ein Spektrum, das dem des Quecksilbers vollkommen gleicht.

Hieraus folgt, daß das Spektrum eines Sterns in irgend einem Stadium seiner Entwicklung mehr von dem Partialdruck seiner Elemente als von seiner Temperatur abhängt.

Aus einer weiteren vergleichenden Betrachtung des Einflusses der Temperatur auf die Spektren der Gase mit dem der Schmelzpunkte, des Partialdrucks und der elektrischen Erregungen kommt Wilson zu folgenden Schlüssen:

1. Wenn die Temperatur eines Sterns hoch genug ist, daß die Gase, welche die nötige Dichte haben, alle über Linien bis zum letzten violetten emittieren können, dann wird eine Steigerung der Temperatur sehr geringen Einfluß auf die Änderung des Spektrums haben. 2. Unterschiede in dem Partialdruck irgend eines Gases auf zwei Sternen von gleicher Temperatur, haben einen sehr bedeutenden Einfluß auf das Auftreten der Linien, die man in einem Spektrum sehen kann. 3. Sterne, deren Temperatur nur wenig über oder unter dem kritischen Punkte liegt, bei dem die Phasengrenzenverhältnisse sich ändern, können in dem Spektrum bedeutend differieren. 4. Aus diesen Gründen erscheint es unmöglich, die Sterne nach ihrer Temperatur allein einzuteilen.

Die Bildung kosmischer Systeme.

Eine veränderliche Sonne des Algelytyps, bei denen der Lichtwechsel auf eine kurze Zeitsdauer beschränkt ist, haben so der an und für sich sehr wahrscheinlich, später durch spektroskopische Beobachtungen als vollständig erwiesenen Ansicht geführt, daß dieser Lichtwechsel durch die Verhinderung eines dunklen Trabanten vor dem hellen Hauptstern entsteht, also das Analogon einer Sonnenfinsternis für uns darstellt. Unter dieser Voraussetzung ist es auf Grund der spektroskopischen Ermittlungen möglich ge-

worden, die Bahnelemente, Massen und Größen dieser veränderlichen Sterne zu berechnen. Dabei hat sich die überraschende Tatsache ergeben, daß die mittlere Dichte der Sterne des Algelytyps ungewöhnlich gering und, obwohl geringer als die mittlere Dichte unserer Sonne. Wir sind geneigt, diese Sterne als Gasmassen anzusehen, die in dünnen Fäden gegeneinander zu nahe sind, daß sie sich mit ihren äußeren Teilen fast berühren. Dadurch müssen aber infolge der gegenseitigen Anziehungen der Massen, Co-

zelen von ganz ungleicher Größe unter denselben Bedingungen und dadurch die Gestalten der um einander kreisenden Weltkörper wesentliche Veränderungen erleiden. Diese Überlegungen genauer kennen zu lernen, hat J. H. Jeans eine mathematische Untersuchung angestellt⁷⁾ die zu kosmologisch interessanten Ergebnissen führte. Er betrachtet zunächst die Gleichgewichtsstellung eines rotierenden Systems, das aus einer inkompressiblen Masse besteht. Bei einer nicht rotierenden Masse dieser Masse ist die Gestalt derselben kugelförmig. Wenn eine solche kugelige Kugel langsam in Rotation versetzt wird, so packt sie sich an den Umdrehungspolen ab, wird sphäroidisch und diese Gestalt erhält sich mit zunehmender Abplattung bis die Winkelgeschwindigkeit der Rotation eine gewisse Größe erreicht hat. Über diesen Punkt hinaus wird die Gestalt ellipsoidisch, es entstehen die sogenannten polaren Ellipsoide, diese können so bis die Winkelgeschwindigkeit abnormale Werte erreicht, worauf die Masse zunächst eine kirschenförmige Gestalt annimmt. Die Theorie dieser Gestalten ist jüngst von Poincaré studiert und dann von U. H. Darwin ausgebaut worden, wodurch sich fand, daß über diese Rotationsverhältnisse hinaus schließlich die flüssige Masse in zwei geschiedene Teile zerfällt. Bei Voraussetzung einer ursprünglich nahezu kugelförmigen Gestalt derselben, sind dann Gleichgewichtsbedingungen unter Einfluß der Gravitationskräfte von Harker und Darwin behandelt worden. Dabei hat sich ergeben, daß eine kleine Masse in Kontakt mit der Hauptmasse nur rotieren kann, wenn die Masse des Satelliten mindestens $\frac{1}{125}$ von der Hauptmasse ausmacht. Betrachtet man den ganzen Vorgang von Anfang bis zu diesem Punkte, so ergibt sich, daß die ursprüngliche kugelförmige Gesamtmasse

zerfällt in ein Doppelsystem (Ringel), das aus einer einzigen Masse konstanter Masse ein Doppelsystem wird. Den ganzen Vorgang läßt Jeans in zwei Perioden. Die erste derselben endet in dem Augenblicke, wo die Masse ihre sphäroidale in die ellipsoide Gestalt umwandelt. Während dieser Periode muß die Masse, wenn die Licht ausstrahlt, wegen der Symmetrie ihrer Gestalt, gleiche Masse und Masse der Halbkugel sagen. Über jenen Punkt hinaus tritt die Periode ein, in welcher die Gestalt des Sterns nur aus dem Symmetrischen besteht. Wenn nun die Oberfläche denselben abkühlen gleich hell ist, so können wir annehmen, daß der Stern, außer in sehr wenigen speziellen Fällen, periodisch zwei gleiche Massen und zwei ungleiche Massen der Halbkugel zeigen wird. Bis zum Moment der völligen Trennung in zwei Massen wird der Stern während der ganzen Periode konstant seine Helligkeit ändern, nach der Trennung dagegen wird der Betrag des ausgestrahlten Lichtes während gewisser Zeiten für die Massen und Massen unverändert bleiben, und diese Zeiten hängen von der Größe der Trennung beider Massen ab.

Die Berechnung der Dichtigkeit der Veränderlichen der Algolklasse ergibt nun, daß es sich bei diesen nicht um flüssige, sondern nur um gasförmige Massen handeln kann. Unter diesen physikalischen Bedingungen ist aber die Entstehung eines Doppelsystems wesentlich von der zu vorherrschenden geschätzten nachfolgenden Mathematik betroffen. Betrachtet besteht der Hauptunterschied darin, daß nicht mehr eine gleichförmige Bewegung zwischen der Dichtigkeit und der Winkelgeschwindigkeit der Rotation besteht und wahrscheinlich die Trennung der Massen schon bei äußerst kleinen Winkelgeschwindigkeit vor sich gehen kann, denn jetzt wirkt nicht nur die Rotation allein auf diese Trennung hin, sondern auch die Gravitation. Tatsächlich kann infolge der letzteren ein

⁷⁾ Astrophysical Journal, Vol. XX, No. 1, S. 55-8.

Nebellock in zwei zerfallen, falls zwei Kerne sich in derselben bilden und anschließend auf die umgebende Materie wirken. Jensei kommt auf Grund seiner Untersuchungen zu dem Schluß, daß in der Tat eine Wirkung dieser Art rasch die weiteren Evolutionen der Materie herbeiführt habe, so daß Laplace's Annahme der Rotation seines Weltalls nur den ersten Teil des ganzen Vorganges darstellt, nämlich den nach Bildung eines Schließens. "Weiter", sagt Jensei, "kann Blick rückwärts, auf die ursprüngliche Nebelmasse, aus der wir Ursache haben das Weltsystem entstanden zu denken, so müsse man diese schädlich aus Um von gleichförmiger Dichtigkeit und gleichmäßiger Temperatur ausmachen, die sich nach allen Seiten unbestimmt weit ausdehnt. Eine solche Gasmasse ist offenbar im Gleichgewicht, so lange wir die Existenz ihrer Umgebung nicht weiter in Betracht ziehen. Diese Gleichgewichts kann aber stabil oder unstabil sein, und eine kleine Störung zeigt, daß letzteres der Fall ist. Die ganze Masse wird daher die Neigung besitzen, um eine Anzahl von Kernen sich zu

vertheilen, die in (Stern-) Haufen zu bestehen. Die wahrscheinlichste Verteilung dieser Haufen ist ein Problem der statistischen Mechanik, von dem Jensei eine solche Lösung nicht versucht hat. Würde sie gegeben, so könnte man u. a. die wahrscheinlichste mittlere Distanz der Kerne von einander berechnen. Diese wird nur durch drei Umstände bedingt, nämlich 1. durch die Größtenkonstante der Gravitation, 2. durch die Dichtigkeit des ursprünglichen Gases und 3. durch den Druck desselben. Die Voraussetzung, welche der ganzen Untersuchung zu Grunde liegt ist, daß der ursprüngliche Zustand der Materie ein gasförmiger war, würde diese bedingte, so würden auch die Folgerungen nicht zutreffen. Man hat allerdings N. Lockyer der Hypothese entgegen, daß das Sonnensystem ursprünglich aus einem großen Schwarm meteoroidischer Körper bestanden habe und damit in seinen häufigen Zutriffl Eingegebenen ist, allein diese Hypothese widerspricht den spektroskopischen Beobachtungen in so hohem Grade, daß sie keine Berücksichtigung verdient.

Vermischte Nachrichten.

Die Beobachtung der Sonnenfinsternis am 30. August 1906 war in Deutschland durch das schlechte Wetter ganz bedeutend erschwert, je mindestens annäherlich Verlaufsrichtung sehr günstig habe ich in Bremerhaven, (Breit. Hansen, 4. 33° 20', 10° 30' O.) die Finsternis beobachten können, da ich außerdem über Temperatur, Wind usw. genaue Aufzeichnungen gemacht habe, glaube ich wohl, daß dieselben einiger Interesse haben.

Am Vormittag des 30. gegen 10h war der Himmel ganz gut gegen Wolken bedeckt. Um 11h zerstreute sich der Schleier, die Wolken zogen sich auf und die Sonne schien am klaren Himmel. Während der Finsternis

selbst war es bis 2-30h ganz klar. Dann begann es sich wieder, so daß der Schluß der Finsternis nicht beobachtet werden konnte.

Der Wind war 10h u. m. NW/NW, sehr schwach. Um 11h wurde er etwas stärker und blieb konstant bis 11-10h. Um 11-40h wurde das östliche Schwärzenwerden des Windes zu bemerken und um 11-50h wurde es absolut windstill. Die Bedeckung der Landschaft während des mittleren Teils der Finsternis war etwa wie unmittelbar vor einem schweren Gewitter, die Luftstille wie besonders in der Mitte der Finsternis deutlich sehr viel schwächer als sonst, es machte den Eindruck, als ob die Sonne durch eine Lücke in

dicken schwarzen Wolken schen. Dabei erschien die Farbe des grünen Leuchtens eigenartiglich schwachlich. Um 2-30m wurde der Wind wieder ein, nicht allmählich, sondern plötzlich, so daß die Zeit gut notiert werden konnte. Die Richtung war etwas nördlicher als vorher, besonders um 4h, nach Ende der Finsternis, drückte der Wind sich nordlich. Seine Stärke war etwas geringer als vor Beginn der Windstille.

Die Finsternis begann 14-4. Genaue Zeit war wegen einer Wolke nicht feststellbar. Um 14-20m zeigte sich eine eigentümliche Erscheinung. Vor der Sonne stand eine helle Wolke mit scharfen weißen Rändern. Über dieser Wolke, ritt auf dem blauen Himmel, erschien konzentrisch zur Sonne ein ringförmiger Strich, der goldenen Strahlen sichtbar machte, bis die Wolke vorüber war. Sein Aussehen mochte etwa $\frac{1}{2}$ eines vollen Kreises umfassen, er zeigte sich ziemlich senkrecht, vor allem bei der roten Farbe auf, wie bei einem Regenbogen. Es war interessant, wenn diese Erscheinung noch anderswo gesehen war, — mit der Sonnenfinsternis hat sie wohl nichts zu tun. Um 14-40m war die Hälfte des Durchmesser verloschen, 14-50m ging die Scheitelfronte mitten durch den Doppelfleck auf der Sonne. 14-4m verschwand der große mittlere Fleck und 2-13m hatte es die größte Verfinsternis gemessen, nämlich 4600 des Durchmessers. Um 2-32m tauchte der Doppelfleck wieder auf. Leider brach sich der Himmel langsam und abgibt Minuten vor 3h war von der Sonne nichts mehr zu sehen.

Die Temperatur habe ich zu jedem Tag durchschnittlich alle halbe Stunden abgelesen. Etwas Merkwürdiges ist wiederum zu bemerken, als die Temperatur, was sonst auf 2-1,5 fällt, schon um 14cent.

Das Barometer stieg zu Anfang der Finsternis nach, blieb dann stationär und stieg gegen Ende der Finsternis wieder langsam.

Besondere Aufmerksamkeit habe ich auf den Stand der Magnetnadel gerichtet. Zum Beobachten diente eine Boussole von ca 8 cm Durchmesser. Abgelesen wurde mit Hilfe einer Lupe vergrößernden Lupe. Das Instrument war mitten im Garten frei von Eisenstücken auf einem Isolierpfeiler montiert. Die Kurve der Bewegung zeigt deutlich einen Knick etwa $\frac{1}{4}$ Stunde nach Beginn der Finsternis und ganz merklich in das Vorüber um 2h. Die Nadel schwang ein paar mal langsam um etwa 0,1°, gerade als ob sie Magnet zu ihrer Nähe bewegt würde. Es war aber kein Hin- und Herschwenken um die Ruhelage, sondern jede Schwenkung dauerte etwa 5 bis 10 Sekunden. Vermutlich hat sich Südwestwind nur, aus meiner Tasche entfernt, die ich an das Instrument hat. Ich bin geneigt zu glauben, daß dieses auffällige Verhalten mit einem Hagelsturm, welcher 1405h ausbrach, zusammenhängt. Der Hagel (Graupel) fiel etwa eine Minute lang sehr heftig, dann regnete es noch einige Minuten mit außerordentlich dicken Tropfen.

Die Beobachtungen sind mit möglichster Sorgfalt gemacht, zum Beobachten der Finsternis diente ein Fernrohr von ca 60 cm Öffnung. Das Sonnenbild wurde auf einem am Rohr befestigten Schirm projiziert, erst mit einem Durchmesser von 5 cm.

Georg v. Hauffsterg.

Definitive Numerierung neu entdeckter kleiner Planeten. Prof. Baumeister, Vorsteher des Astron. Observatoriums in Berlin, veröffentlichte die nachfolgenden Numerierung von neuen Planeten, die also an Stelle der provisorischen Bezeichnungen treten.

Nr.	Peri.	Opp.	Entdecker	entdeckt	1905.
554	1905 PS	P. Götz	Jan	5	
555	1905 PT	M. Wolf	Jan	14	
556	1905 PW	P. Götz	Jan	8	
557	1905 PY	M. Wolf	Jan	26	
558	1905 QO	M. Wolf	Febr	9	

550	1905 QD	M. Wolf	März	8
560	1905 QP	M. Wolf	März	13
551	1905 QJ	M. Wolf	März	26
562	1905 QH	M. Wolf	April	3
563	1905 QK	P. Götz	April	6
564	1905 QM	P. Götz	Mai	9
565	1905 QN	M. Wolf	Mai	9
566	1905 QO	P. Götz	Mai	26
567	1905 QP	P. Götz	Mai	28
568	1905 QS	P. Götz	Juni	26
569	1906 QT	J. Palau	Juni	27

«Mit diesen Planeten sind ferner identisch:

1905 PV	=	(149)	Medusa
1905 PK	=	(513)	[1903 MH]
1905 QC	=	(127)	[1937 DJ]
1905 QE	=	(311)	Claua
1905 CR	=	(316)	Kloppstein
1905 QJ	=	(608)	[1905 Cij]
1905 QV	=	(263)	Dreide
1905 QY	=	(167)	Uda

und schließlich, bekannt, nicht sicher festzustellen

1905 PU	=	(402)	Cassina
1905 QI	=	(480)	[1901 GL]

Unbestimmt bleiben die ganz unvollkommen beobachteten Planeten PQ, PR, PZ, QA, QL, QQ, QR.

Der Planet 1904 QW war auf der Harvard-Reise nicht auffindbar (H. 173). Beobachtungen worden (siehe A. N. 4014).

Der Planet (554) [1905 PS] trug das Name Phipps (A. N. 4017), 1905 [1905 QT] hat vom Entdecker Dr. J. Palau den Namen Mia erhalten.

Der 8. Trabant des Jupiter ist am 14. Jüngsten Reflektor der Sternwarte Oranien zwischen dem 23. August und 4. Oktober 13 mal photographisch aufgenommen worden¹⁾, mit Expositionszeiten von 20 bis 60 Minuten. Der Trabant gehört also keineswegs zu den schwachen Objekten. Die Vergleichung der Stellungsmessungen mit der Verräuberrechnung von F. E. Hoff ergibt eine nicht unbefriedigende Übereinstimmung.

Heile Messure Meisor vom 3. August 1905, 9½ abends. Ein Meisor, merklich durch die ungewöhnlich lange seltene Bahn und die vollständige Lagerung des Gegenstandes. Der Reaktionspunkt war bei 4. Jungfrau ungefähr 5° von West gegen Süd. Von da verlor sich die Bahn bis etwa 5° über West gegen Nord, also zusammen über 10° und fand hier sein Ende, da sie hinter einer Sterngruppe verschwand. Der Körper wird auf 1-4 angegeben; das Licht unterschied sich nicht von dem der Sterne, war nur etwas stärker, glänzender und sehr auffallend. Das Meisor stach über einen großen Teil des langen Teils der Platen vom populo, das bei der Plattenarbeit zusammen war.

Meisor vom 4. August 1905, 9½ abends. Das Meisor ist merklich durch die sehr kleine seltene Größe des Körpers und den Schwere. Ich machte eine Zeichnung der schwachen Größe und merkte deutlich den Stern des Körpers, Schwere, der Bahn und des Endes. Reaktionspunkt etwa 4° von West gegen Süd unter dem Höhenwinkel von ca. 18°. Von da ging sich die Bahn etwa gegenüber 6° über West gegen Nord und endete etwa unter dem Höhenwinkel von 5° Zenit. Der Körper des Körpers war goldfarben, perlweiß, die Bahn nach oben schwach gezogen. Der Wellengang ist hier nur nach der Hauptmasse angegeben.

Meisor am 9. August 1905, 10½ abends. Um dass Zeit machte ein glühendes mit roten Feuerschein am kleinen Himmel auf und etwas selbst.

Wenn man von 10 in der Luft drei Linien nach im großen Blau zieht dann einen Teil fest, so lag der Reaktions- und Endpunkt ungefähr etwa im 5. Teil über von Wege gemacht.

Tobisch (Hilber), 15. Aug. 1905.

Theodor Wranitzky.

Sternschlappen. Herr Leo
Schnitzer schreibt uns aus Bodo:

Am 8, 9, 10, 12, 13 und 14. Aug.

Am 8. sah ich 36 Meteoriten und

• 9. „ „ 127 „ „

• 10. „ „ 152 „ „

• 12. „ „ 148 „ „

• 13. „ „ 68 „ „

• 14. „ „ 51 „ „

äußersten Teile des Nebels und nicht
tief und nämlich 33 Bogenminuten von
einander entfernt, tief und weithin
nur von 24— bis 36 B.

beobachtet ich in Kastrich mit Karten
der k. k. Sternwarte in Wien, den
Perseidschwarm.

Somit beobachtete ich im ganzen
518 Meteoriten, darunter 52 Feuerkugeln.
Das Maximum 188 sah man nicht
auf den 12. August, weil an diesem Tag
schon um 12^h 15^h Meteoriten gefallen
waren, während z. B. am 10. in der
ganzen Nacht nur 167 fielen. Ich be-
obachtete größtenteils nur das Gebiet
um den Perseus herum, da ich allein
beobachtete und daher es nicht mög-
lich war den ganzen Himmel zu über-
wachen.

Ein merkwürdiger Nebel im
Sternbild des Fährtenmanns. (Himmels
Tafel XII.) Der auf dieser Tafel dar-
gestellte Nebelteil ist in Doyers Index-
Katalog mit Nr. 495 bezeichnet. Er
umgibt den Stern 34° 580 der Bayer
Durchmusterung, welcher 47 Größe ist
und steht zu dem großen Nebel. Sein
Ort am Himmel ist zwischen den Sternen

B. D. 34° 578 R. A. 5^h 53^m

D. + 16° 14' 7^s Größe und

B. D. 34° 565 R. A. 5^h 51^m

D. + 34° 5' 52 Größe (für 1900/0)

Von diesem Stern ist der erste auf
der Tafel mit einem schwachen Punkte
in der Mitte seiner Scheibe kenntlich
gemacht, der zu elf durch zwei schwache
Punkte. Die photographische Aufnahme
des Nebels geschah durch Dr. J. Hubert
mit dem 33-zölligen Refraktor 1902 Jan. 14
bei einer Exposition der Platte von
90 Minuten Dauer. Der Stern 495, der
der Nebel umgibt, ist auf der Repro-
duktion nicht zu erkennen, da er in
dem Nebelfeld verschwindet, auf dem
Ongestirngitter erscheint er deutlich
in der Mitte der Hauptbedeutung. Die

27 Bogenminuten, so daß er sich also
auf einer Fläche des Himmels eben von
der schon oben Größe der Mondecke
darstellt. Der Nebel hat ansehnend
die Gestalt einer zwölffachigen Spirale,
deren Arme jedoch mehrfach getrennt
und zerstreut sind, auch hellere, knochen-
braune Partien aufweisen. Die Sterne
der Fährtenstraße stehen über dem ihm
verstreut, wahrscheinlich ohne näher
Beziehung zu ihm.

Ein neuer Komet (1905 b) ist von
E. Schw. auf der Sternwarte zu Göttingen
am 17. Nov. abends entdeckt worden.
Er stand in der Nähe des Polarsterns,
im Sternbild des Cygnus, und bewegte
sich mit auffälliger Geschwindigkeit
gegen 55^h. Nach einer Beobachtung auf
der Lich-Sternwarte stand er Nov. 18
5^h 12^m in A. H. 2° 28' 0", D. + 12°
42". Seine Helligkeit war 7.5 Größe,
Durchmesser der Nebelhülle 10", mit
Kern 11 Größe. Das Aussehen war
die auffallend starke Bewegung lassen,
wie Post-Erde herbeistiebt, auf eine
große Erleuchtung des Kometen schließen.

Die Bahn des Doppelsterns
z. Gammee. Dieser Doppelstern 5. und
6. Größe wurde 1780 von Wih.
Herschel entdeckt, dass von Seiner
Beobachtungen 1819 regelmäßig von
den Doppelsternbeobachtern gemessen.
Die Distanz des Begleiters vom Haupt-
stern nahm bis Mitte der dreißiger
Jahre auf 12" ab, ist aber seitdem in
bedeutender Zunahme und beträgt
gegenwärtig 45". Verschiedene Bahn-
berechnungen des Begleiters sind versucht
worden, die aber bezüglich der Un-
sicherheit desselben sehr verschiedene
Werte ergaben, nämlich solche zwischen
200 und 800 Jahren. Soweit bei jeder-

falls sicher, daß diese Umlaufzeit Jahr-
hunderte umfaßt. In jüngster Zeit hat
W. Debes eine neue Bahnberechnung
dieses Sterns ausgeführt, wobei er stän-
digen zuverlässigen Beobachtungen von
Hendrick's Zeit bis zur Gegenwart be-
nutzte. Aus denselben ergibt sich, daß
der Umlaufzeit 1679 Jahre beträgt, die
halbe große Achse der Bahn 4018", die
Excentricität 0.6180 und die kleine
Epochen des Perihels 1828.71 stattfand.
Gegenüber der langen Umlaufdauer
ist die Beobachtungszahl über die sich
die bisherigen Messungen erstrecken
nur sehr kurz und daher die Bestimmung
dieser Umlaufdauer noch sehr ungenau,
sowohl als aber kurz dieselbe nach
Debes's Messung 400 Jahre betragen.¹⁾

Walter F. Willkomm. Am
3. October starb nach kurzer Krankheit
der u. a. Prof. an der Kaiser-Wilhelms-
Universität Dr. Walter F. Willkomm,
dessen Name unter den Astronomen
einen guten Klang besitzt und der nach
den Freunden der Wissenschaften durch
populäre Schriften und Vorträge wohl
bekannt ist. Prof. F. Debes widmete
demselben²⁾ seinen Nachruf, dem wir
folgendes entnehmen:

October am 3. November 1887,
hatte Walter Willkomm seine Vor-
bereitung auf das Gymnasium zum
heiligen Kreuz und dem Anton-Rydgymnasium zu Osnabrück empfangen, um
sich dem Studium der Mathematik und
Astronomie zu widmen. Nach ein-
jährigem Besuch der Leipziger Univer-
sität rückte er Ostern 1886 an die
Universität Straßburg über, die durch
den astronomischen Lehrstuhl Willkomm's
und die der Vollendung entgegen-
gehende neue Sternwarte ein Haupt-
ziehungspunkt für jüngere Astronomen
geworden war. Nach zwei Jahren hat
Willkomm sich der Überwindung des
gesunden Lebens erfreuen dürfen und
sich empfindlicher Geist vollste An-
regung und nachhaltige Eindrücke in
sich aufgenommen.

Im Jahre 1882 erhielt er den Auf-
trag, als wissenschaftlicher Gehilfe mit
der deutschen Expedition H. nach
Bataschina zur Beobachtung des
Vordurchgangs der Venus vor der
Sonnenscheibe zu gehen, eine Aufgabe,
die nur auf ein halbes Jahr den ge-
wöhnlichen Studiengang unterbrach, ande-
rens aber durch die Vorbereitung, die
er verlangte, und der Notwendigkeit,
sich mit dem Holzmayer und dem
höchstnützlichen Messungsverfahren ver-
traut zu machen, eine solche Quelle
der Belehrung und geistlicher Er-
leuchtungen für ihn wurde.

Ein wenig ausgedehntes Arbeitsfeld
bot sich ihm dar, als er — 1883 März
zum Herbstsemester, 1884 April zum
Autumnus der Straßburger Sternwarte
ernannt — den neuen Expeditions-
Hauptquartier zugewiesen bekam. An
den in des Jahres 1884—85 an diesem
Instrument angestellten Arbeiten hat
Willkomm als Beobachter den be-
deutendsten Anteil. Neben den Beob-
achtungen am Meridianinstrument hat
er auch an den Höhenmessungen zur
Bestimmung der Größe und Figur
des Sonnenscheibens regelmäßig teil-
genommen.

Inzwischen hatte er seine Studien
an der Universität abgeschlossen und
mit der Arbeit „Beitrag zur Bestimmung
der Rotationszeit des Planeten Mars“,
am 3. December 1887 promovirt.
Zwei Jahre später erhielt er auf Grund
der Habilitationsschrifts Untersuchungen
über den absoluten persönlichen Fehler bei
Durchgangshöhenbeobachtungen, die
seine Legende, worauf er im folgenden
Sommer die akademische Laufbahn
begann, die er, bis Juli 1894 als Privat-
dozent, dann als außerordentlicher
Professor mit Eifer und Erfolg weiter-
geführt hat. In Mayer und Hirschfeld's
Spende verstand er es vortrefflich, den
Lehrgegenstand methodisch zu be-
handeln und selbst bei gesprochenen
Vorlesungen die Aufmerksamkeit der Zu-
hörer zu fesseln. Auch seine zahlreichen
aufsteller der Universität gehaltenen

¹⁾ A. N., Nr. 496.

²⁾ A. N., Nr. 497.

Vorliegt, ließen sich großen Stoffe zu ziehen.

In Herzscher Hinsicht hat Wilkenas eine große Produktivität entwickelt und die Wissenschaft mit einer Anzahl wertvoller und durch schnelle Darstellung ausgezeichnete Publikationen bereichert. An Veröffentlichungen, die sich an die in den Vorlesungen behandelten Themen anschließen, sind zu nennen: «Handbuch der geographischen Ortsbestimmungen auf Reisen zum Gebrauch für Geographen und Forschungsreisende», «Tafeln zur Bestimmung der planetischen Auf- und Untergänge der Gestirne», «Astronomische Chronologie. Ein Hilfsbuch für Historiker, Archäologen und Astronomen», Leipzig 1895, und weiter die Arbeit in dem von Vaterländer herausgegebenen Handbuche der Astronomie über «Astrophotometrie», «Astrophysikale» und «Chronologie». An einen größeren Leserkreis werden sich durchsichtige und wesensvoll — geschweigenfalls Danielsungen — «Astronomie von A. F. Moebius, 9. verbesserte Auflage, bearbeitet von Dr. Walter F. Wilkenas» (Sammlung Göschen), «Astrophysik» (Sammlung Göschen), «Der Kalender in geschichtlicher Darstellung» (Treubner, Aus Natur und Geschichte).

Für den Unterricht in der mathematischen Geographie und elementaren Astronomie hat Wilkenas einen als Unterrichtsmittelchen Demonstrationsapparat konstruiert und mit dieser doppelten Beschreibung und Gebrauchsanweisung versehen. An Abhandlungen von astronomischen Inhalten sind zu erwähnen: «Über die Anwendung von Mikromessungen an physischen

Beobachtungen des Mars», «Über einige neue Methoden der Zeit- und Breitenbestimmung», «Physische Beschreibungen des Mars während der Opposition 1890», «Über die Mondlichter des Lungen», Das vorerwähnte Werk, das Wilkenas den Astronomen gewidmet, und wozu er eine mit jedem Jahre höherwerdende Lücke ausgefüllt hat, ist der von ihm begründete und mit Unterstützung der Astronomischen Gesellschaft herausgegeben: «Astronomische Jahrbücher», von dem sechs Jahrgänge erschienen sind, der sechste in Vorbereitung war. In eifriger Arbeit hat er hier ein Werk geschaffen, das in systematischer Anlage und Gliederung der Stoffe, in prägnanter Darstellung und Vollständigkeit im ganzen gleich bedeutend ist. Der «Astronomische Jahrbuch» wird es sich schon als beschäftigter Teil sein, um den Vorleser, der zum angenehmen Schmecken der Sprache und bei Interesse von einem großen Kreis von Freunden, Bekannten und Kollegen, in der Mitte seiner Jahre aus dem Leben hinweggerafft wurde, den menschlichen Dank der Astronomen zu sichern.

Fortwähren hat Freunde der Himmelsbeobachtung. Aus dem Leserkreise des «Stern» sind mir mehrere große und kleine sehr gut erhaltenen Fernrohre zum Verkaufe angeboten worden. Freunden der Himmelsbeobachtung, welche die Anschaffung eines solchen Instrumentes beschließen und sich darüber zu nach werden, bin ich in jeder gewisslichen Hinsicht gern bereit. Prof. Dr. Klein.

Astronomischer Kalender für den Monat Februar 1906.

Tag des Jahrs	Sonne						Mond						
	Mittlere Berliner Zeit						Mittlere Berliner Zeit						
	Zeitg. M. 2. — M. 1.		Rechnung		Deklination		Rechnung		Deklination		Mond im Monat		
	h	m	h	m	h	m	h	m	h	m	h	m	
1	+10	41.39	22	56	49.48	—17	56	59.9	5	53	+10	33	37.9
2		41.44	22	56	49.52	—17	56	59.72	5	53	33	38.1	
3		41.48	22	56	49.56	—17	56	59.56	5	53	33	38.3	
4		41.52	22	56	49.60	—17	56	59.40	5	53	33	38.5	
5		41.56	22	56	49.64	—17	56	59.24	5	53	33	38.7	
6		42.00	22	56	49.68	—17	56	59.08	5	53	33	38.9	
7		42.04	22	56	49.72	—17	56	58.92	5	53	33	39.1	
8		42.08	22	56	49.76	—17	56	58.76	5	53	33	39.3	
9		42.12	22	56	49.80	—17	56	58.60	5	53	33	39.5	
10		42.16	22	56	49.84	—17	56	58.44	5	53	33	39.7	
11		42.20	22	56	49.88	—17	56	58.28	5	53	33	39.9	
12		42.24	22	56	49.92	—17	56	58.12	5	53	33	40.1	
13		42.28	22	56	49.96	—17	56	57.96	5	53	33	40.3	
14		42.32	22	56	50.00	—17	56	57.80	5	53	33	40.5	
15		42.36	22	56	50.04	—17	56	57.64	5	53	33	40.7	
16		42.40	22	56	50.08	—17	56	57.48	5	53	33	40.9	
17		42.44	22	56	50.12	—17	56	57.32	5	53	33	41.1	
18		42.48	22	56	50.16	—17	56	57.16	5	53	33	41.3	
19		42.52	22	56	50.20	—17	56	57.00	5	53	33	41.5	
20		42.56	22	56	50.24	—17	56	56.84	5	53	33	41.7	
21		43.00	22	56	50.28	—17	56	56.68	5	53	33	41.9	
22		43.04	22	56	50.32	—17	56	56.52	5	53	33	42.1	
23		43.08	22	56	50.36	—17	56	56.36	5	53	33	42.3	
24		43.12	22	56	50.40	—17	56	56.20	5	53	33	42.5	
25		43.16	22	56	50.44	—17	56	56.04	5	53	33	42.7	
26		43.20	22	56	50.48	—17	56	55.88	5	53	33	42.9	
27		43.24	22	56	50.52	—17	56	55.72	5	53	33	43.1	
28		43.28	22	56	50.56	—17	56	55.56	5	53	33	43.3	
29		43.32	22	56	51.00	—17	56	55.40	5	53	33	43.5	
30		43.36	22	56	51.04	—17	56	55.24	5	53	33	43.7	
31	+17	49.95	22	56	51.08	—17	56	55.08	5	53	33	43.9	

Planetenkonstellationen 1906.

Februar	h	m	Jupiter in Konjunktion mit dem Monde.
1	7	—	„ Venus in Konjunktion mit dem Monde. Bedeckung.
2	10	—	Venus im April.
3	10	—	Mercurdistanz.
4	13	—	„ Uranus in Konjunktion mit dem Monde. Bedeckung.
5	13	10	Venus in oberer Konjunktion mit der Sonne.
6	13	18	Merkur in größter südlicher heliocent. Breite.
7	13	26	Jupiter in Opposition mit der Sonne.
8	13	13	Merkur in unterer Konjunktion mit der Sonne.
9	10	9	Venus in Konjunktion mit Saturn, Venus 12° 12' südlich.
10	10	17	Merkur in Konjunktion mit Saturn, Merkur 12° 12' südlich.
11	13	26	Merkur in Konjunktion mit Venus, Merkur 12° 12' südlich.
12	—	—	Simulandistanz.
13	9	—	Saturn in Konjunktion mit dem Monde.
14	1	—	Venus in Konjunktion mit dem Monde.
15	9	—	Merkur in Konjunktion mit dem Monde.
16	13	10	Saturn in Konjunktion mit der Sonne.
17	9	—	Merkur in Konjunktion mit dem Monde.
18	21	9	Venus in größter südlicher heliocent. Breite.

Planeten-Ephemeriden.

Mittlere Berliner Mittag.								Mittlere Berliner Mittag.									
Mittlere Zeit h m s	Rektascension			Declination			Grosse Mittlere Entfernung h m	Mittlere Zeit h m s	Rektascension			Declination			Grosse Mittlere Entfernung h m		
	h	m	s	°	'	"			h	m	s	°	'	"			
1986																	
Merkur.																	
Febr. 4	20	22	30.60	—	21.12	28.2	23	20	20	22	30.60	—	21.12	28.2	23	20	
8	20	22	32.47	—	19.19	29.7	23	22	20	22	32.47	—	19.19	29.7	23	22	
16	21	24	37.24	—	16.58	30.9	23	26	20	22	37.24	—	16.58	30.9	23	26	
23	21	26	40.20	—	14.14	32.3	23	30	20	22	40.20	—	14.14	32.3	23	30	
28	21	27	42.12	—	10.7	33.6	23	32	20	22	42.12	—	10.7	33.6	23	32	
Venus.																	
Febr. 4	23	4	50.52	—	22	48.5	4	2	20	22	50.52	—	22	48.5	4	2	
8	23	25	51.50	—	20.37	50	4	50	20	22	51.50	—	20.37	50	4	50	
16	24	26	56.88	—	18.20	52.3	4	58	20	22	56.88	—	18.20	52.3	4	58	
23	25	28	61.85	—	16.05	53.6	4	53	20	22	61.85	—	16.05	53.6	4	53	
28	26	29	62.54	—	12.4	54.9	4	50	20	22	62.54	—	12.4	54.9	4	50	
Mars.																	
Febr. 4	22	55	1.28	—	0.51	1.9	5	5	20	22	55	1.28	—	0.51	1.9	5	5
8	23	5	2.85	—	0.54	3.6	5	58	20	22	5	2.85	—	0.54	3.6	5	58
16	24	26	55.80	—	2.51	58.5	5	52	20	22	26	55.80	—	2.51	58.5	5	52
23	25	40	57.85	—	4.3	59.8	5	48	20	22	40	57.85	—	4.3	59.8	5	48
28	26	51	59.32	—	6.52	59.3	5	43	20	22	51	59.32	—	6.52	59.3	5	43
Jupiter.																	
Febr. 4	3	32	32.20	+	19.45	34	6	38	20	3	32	32.20	+	19.45	34	6	38
8	3	42	32.75	+	19.3	35	6	52	20	3	42	32.75	+	19.3	35	6	52
16	3	45	40.27	+	18.58	34.58	6	57	20	3	45	40.27	+	18.58	34.58	6	57

Mittlere Berliner Mittag.								Mittlere Berliner Mittag.									
Mittlere Zeit h m s	Rektascension			Declination			Grosse Mittlere Entfernung h m	Mittlere Zeit h m s	Rektascension			Declination			Grosse Mittlere Entfernung h m		
	h	m	s	°	'	"			h	m	s	°	'	"			
1986																	
Merkur.																	
Febr. 4	20	22	30.60	—	21.12	28.2	23	20	20	22	30.60	—	21.12	28.2	23	20	
8	20	22	32.47	—	19.19	29.7	23	22	20	22	32.47	—	19.19	29.7	23	22	
16	21	24	37.24	—	16.58	30.9	23	26	20	22	37.24	—	16.58	30.9	23	26	
23	21	26	40.20	—	14.14	32.3	23	30	20	22	40.20	—	14.14	32.3	23	30	
28	21	27	42.12	—	10.7	33.6	23	32	20	22	42.12	—	10.7	33.6	23	32	
Venus.																	
Febr. 4	23	4	50.52	—	22	48.5	4	2	20	23	4	50.52	—	22	48.5	4	2
8	23	25	51.50	—	20.37	50	4	50	20	23	25	51.50	—	20.37	50	4	50
16	24	26	56.88	—	18.20	52.3	4	58	20	23	26	56.88	—	18.20	52.3	4	58
23	25	28	61.85	—	16.05	53.6	4	53	20	23	28	61.85	—	16.05	53.6	4	53
28	26	29	62.54	—	12.4	54.9	4	50	20	23	29	62.54	—	12.4	54.9	4	50
Mars.																	
Febr. 4	22	55	1.28	—	0.51	1.9	5	5	20	22	55	1.28	—	0.51	1.9	5	5
8	23	5	2.85	—	0.54	3.6	5	58	20	23	5	2.85	—	0.54	3.6	5	58
16	24	26	55.80	—	2.51	58.5	5	52	20	24	26	55.80	—	2.51	58.5	5	52
23	25	40	57.85	—	4.3	59.8	5	48	20	25	40	57.85	—	4.3	59.8	5	48
28	26	51	59.32	—	6.52	59.3	5	43	20	26	51	59.32	—	6.52	59.3	5	43
Jupiter.																	
Febr. 4	3	32	32.20	+	19.45	34	6	38	20	3	32	32.20	+	19.45	34	6	38
8	3	42	32.75	+	19.3	35	6	52	20	3	42	32.75	+	19.3	35	6	52
16	3	45	40.27	+	18.58	34.58	6	57	20	3	45	40.27	+	18.58	34.58	6	57

1987														
Saturn.														
Febr. 4	21	21	45.18	—	21.25	49.5	1	18						
8	21	22	45.18	—	21.22	48.5	1	28						
16	21	23	45.31	—	20.47	47.5	1	38						

Uranus.														
Febr. 4	19	21	48.48	—	23.22	50.7	21	18						
8	19	21	48.58	—	23.21	50.4	21	28						
16	19	21	48.68	—	22.50	49.8	21	38						

Neptun.														
Febr. 4	0	34	50.37	+	27.38	18.9	0	38						
8	0	31	49.58	+	28.28	17.5	0	48						
16	0	31	49.28	+	28.51	17.4	0	58						

Wendepunkte.														
h m														
Febr. 4	1	1	24.9	Grös.	Veränd.									
8	0	50	30.5	Veränd.										
16	0	51	34.1	Grös.	Veränd.									
23	0	52	42.8	Veränd.										
28	1	1	—	Mond in Erdferne.										
19	12	—	Mond in Erdferne.											
28	12	—	Mond in Erdferne.											

Sterbedeckungen durch den Mond für Berlin 1986

Monatstag	Stern	Grösse	Entst.		Anst.	
			h	m	h	m
Februar 4	α Tau	1.9	4	52.5	5	48.8
8	γ Cassio	4.5	4	42.5	5	34.7
8	α Scorp	1.7	4	37.8	5	48.1
16	γ Lince	4.8	12	15.5	13	58.0
16	δ Scorp	1.9	14	44.5	15	37.1
28	α Cor	1.9	5	17	6	5.8

Lage und Grösse der Sternbedeckungen sind im Monat Februar 1986 nicht zu beobachten.

Februar 1.	Mittlere Scheitl der Ekliptik	19° 31' 0.60"
Wahr	" " "	19° 30' 48.57"
Halbmessung der Sonne		19' 53.43"
Parallaxe	" " "	0.847"

Stellungen der Jupitermonde im Februar 1906.



Stellungen um 10 10^h für den Anblick im astronomischen Fernrohr.

Tag	West.	Ost.
1		O -10 -11
2	O 1	O -10 -11
3		O -10 -11
4		O -10 -11
5		O -10 -11
6		O -10 -11
7		O -10 -11
8		O -10 -11
9		O -10 -11
10		O -10 -11
11		O -10 -11
12		O -10 -11
13		O -10 -11
14		O -10 -11
15		O -10 -11
16		O -10 -11
17		O -10 -11
18		O -10 -11
19		O -10 -11
20		O -10 -11
21		O -10 -11
22		O -10 -11
23		O -10 -11
24		O -10 -11
25		O -10 -11
26		O -10 -11
27		O -10 -11
28		O -10 -11
29		O -10 -11
30		O -10 -11

Erleuchtungen der Jupitermonde. Die nachstehenden Angaben über die Erleuchtungen der Jupitermonde beziehen sich auf mittleren Zeit von Greenwich. Die Trabanten und die Nebelhänge dieses Ablandes vom Jupiter nach III bis IV berechnet. Die vier größten Figuren zeigen die Stellung jedes Mondes und Betrag auf dem Jupiter bei dem Ausbruch der Verfinsternung 10; oder das Wiedererschauen 11; bei 1 nicht angegeben, so lange der Ausbruch aus dem Schatten nicht beobachtet werden konnte (besonders bei den nachfolgenden Zeitangaben).

- Io D das Verschwinden des Trabanten am Schilde des Jupiter.
 II B den Ausbruch des Trabanten aus dem Schatten des Jupiter.
 Oc D das Verschwinden des Trabanten hinter der Jupiterscheibe.
 Oe R das Wiedererschauen nach dem Austritt aus der Jupiterscheibe.
 Tr I den Eintritt des Trabanten vor der Jupiterscheibe.
 Tr E den Ausbruch des Trabanten aus der Jupiterscheibe.
 Ch I den Eintritt des Trabanten hinter die Jupiterscheibe.
 Ch E den Ausbruch des Trabanten hinter die Jupiterscheibe.

Es sind nur diejenigen Erleuchtungen der Jupitermonde aufgeführt, welche sich ereignen, wenn Jupiter in Cernereh Höhe und die Sonne unter dem Horizont steht. Um die Momente dieser Erleuchtungen nach mitteleuropäischer Zeit zu finden, hat man nur nötig, 1^h zu dem angegebenen Zeitpunkt zu addieren.

Febr. 1. I. Oc. D. 21^h 27^m. I. Eo. B. 12^h 24^m 30^s. Febr. 2. I. Tr. I. 24^h 37^m. I. Sb. I. 24^h 37^m. I. Tr. E. 24^h 37^m. II. Tr. I. 24^h 37^m. I. Sb. E. 24^h 37^m. II. Tr. E. 24^h 37^m. Febr. 3. I. Oc. D. 21^h 27^m. I. Eo. B. 12^h 24^m 30^s. Febr. 4. II. Eo. B. 24^h 37^m. III. Tr. I. 24^h 37^m. III. Tr. E. 24^h 37^m. Febr. 5. I. Oc. D. 21^h 27^m. I. Eo. B. 12^h 24^m 30^s. Febr. 6. I. Tr. I. 24^h 37^m. I. Sb. I. 24^h 37^m. I. Tr. E. 24^h 37^m. I. Sb. E. 24^h 37^m. II. Tr. I. 24^h 37^m. II. Tr. E. 24^h 37^m. II. Sb. I. 24^h 37^m. Febr. 7. I. Oc. D. 21^h 27^m. I. Eo. B. 12^h 24^m 30^s. Febr. 8. I. Tr. I. 24^h 37^m. I. Sb. I. 24^h 37^m. I. Tr. E. 24^h 37^m. I. Sb. E. 24^h 37^m. Febr. 9. I. Oc. D. 21^h 27^m. I. Eo. B. 12^h 24^m 30^s. Febr. 10. I. Tr. I. 24^h 37^m. I. Sb. I. 24^h 37^m. I. Tr. E. 24^h 37^m. I. Sb. E. 24^h 37^m. Febr. 11. I. Oc. D. 21^h 27^m. I. Eo. B. 12^h 24^m 30^s. Febr. 12. I. Tr. I. 24^h 37^m. I. Sb. I. 24^h 37^m. I. Tr. E. 24^h 37^m. I. Sb. E. 24^h 37^m. Febr. 13. I. Oc. D. 21^h 27^m. I. Eo. B. 12^h 24^m 30^s. Febr. 14. I. Tr. I. 24^h 37^m. I. Sb. I. 24^h 37^m. I. Tr. E. 24^h 37^m. I. Sb. E. 24^h 37^m. Febr. 15. I. Oc. D. 21^h 27^m. I. Eo. B. 12^h 24^m 30^s. Febr. 16. I. Tr. I. 24^h 37^m. I. Sb. I. 24^h 37^m. I. Tr. E. 24^h 37^m. I. Sb. E. 24^h 37^m. Febr. 17. I. Oc. D. 21^h 27^m. I. Eo. B. 12^h 24^m 30^s. Febr. 18. I. Tr. I. 24^h 37^m. I. Sb. I. 24^h 37^m. I. Tr. E. 24^h 37^m. I. Sb. E. 24^h 37^m. Febr. 19. I. Oc. D. 21^h 27^m. I. Eo. B. 12^h 24^m 30^s. Febr. 20. I. Tr. I. 24^h 37^m. I. Sb. I. 24^h 37^m. I. Tr. E. 24^h 37^m. I. Sb. E. 24^h 37^m. Febr. 21. I. Oc. D. 21^h 27^m. I. Eo. B. 12^h 24^m 30^s. Febr. 22. I. Tr. I. 24^h 37^m. I. Sb. I. 24^h 37^m. I. Tr. E. 24^h 37^m. I. Sb. E. 24^h 37^m. Febr. 23. I. Oc. D. 21^h 27^m. I. Eo. B. 12^h 24^m 30^s. Febr. 24. I. Tr. I. 24^h 37^m. I. Sb. I. 24^h 37^m. I. Tr. E. 24^h 37^m. I. Sb. E. 24^h 37^m. Febr. 25. I. Oc. D. 21^h 27^m. I. Eo. B. 12^h 24^m 30^s. Febr. 26. I. Tr. I. 24^h 37^m. I. Sb. I. 24^h 37^m. I. Tr. E. 24^h 37^m. I. Sb. E. 24^h 37^m. Febr. 27. I. Oc. D. 21^h 27^m. I. Eo. B. 12^h 24^m 30^s. Febr. 28. I. Tr. I. 24^h 37^m. I. Sb. I. 24^h 37^m. I. Tr. E. 24^h 37^m. I. Sb. E. 24^h 37^m.

Sonn- und Mondfinsternisse sind im Januar, Februar und März 1900 nicht sichtbar.

Schreiben größere und kleinere

astronomische Fernrohre

sind sehr preiswürdig zu verkaufen. Erfahrene wollen sich wegen ständiger Mitteilungen an mich wenden.

Prof. Dr. Hermann J. Klein in Köln-Lindenthal.

Verlag von Hermann J. Klein in Köln-Lindenthal — Druck von Georg Lohme in Leipzig. 1900

Erschienen am 1. Dezember 1900



Sivva 1905

N

Tafel XXII

Merkwürdiger Nebel im Sternbild des Fuhrmanns.



